

# АТЛАС

МОЛЛЮСКОВ  
И ФОРАМИНИФЕР  
морских  
отложений  
верхней юры  
и неокома  
Западно-  
Сибирской  
нефте-  
газоносной  
области

II



МИНИСТЕРСТВО ГЕОЛОГИИ СССР

Сибирский научно-исследовательский институт геологии,  
геофизики и минерального сырья (СНИИГГиМС)  
научно-производственного объединения "Сибгео"

Западно-Сибирский научно-исследовательский  
геологоразведочный  
нефтяной институт (ЗапСибНИГНИ)

# АТЛАС

МОЛЛЮСКОВ  
И ФОРАМИНИФЕР

морских отложений  
верхней юры и неокома  
Западно-Сибирской  
нефтегазоносной  
области

В ДВУХ ТОМАХ

ТОМ II

ФОРАМИНИФЕРЫ



МОСКВА "НЕДРА" 1990

ББК 28.1

А 92

УДК 564+563.12(084.4) : 551.762.3+551.763.1(571.1)

Составители: *С. П. Булыникова, В. К. Комиссаренко, Н. А. Белоусова, Е. Д. Богомякова, Г. Е. Рылькова, К. Е. Тылкина*

Выпущено по заказу Сибирского научно-исследовательского института геологии, геофизики и минерального сырья (СНИИГГиМС) НПО «Сибгео»

**Атлас моллюсков и фораминифер морских отложений**  
А 92 верхней юры и неокома Западно-Сибирской нефтегазоносной области. В 2 т./Мин-во геол. СССР. Сиб. научн.-исслед. ин-т геологии, геофизики и минер. сырья.— М.: Недра, 1990.— Т. II: Фораминиферы/Сост.: С. П. Булыникова, В. К. Комиссаренко, Н. А. Белоусова и др.— 359 с.: ил.

ISBN 5-247-02088-X

Обобщены результаты многолетних исследований позднеюрских и неокомских моллюсков (аммониты, двустворчатые моллюски) и фораминифер из керна скважин, пробуренных в Западной Сибири. Второй том состоит из описания 313 видов фораминифер из 78 родов, 17 семейств и 5 отрядов (с приложением унифицированной части региональных стратиграфических схем верхнеюрских и нижнемеловых отложений Западно-Сибирской равнины).

Для стратиграфов и палеонтологов, изучающих юрские и нижнемеловые отложения, геологов-нефтяников, съемщиков, студентов геологических вузов и биологических факультетов.

А 1804030000—386 Заказное  
043(01)—90

ББК 28.1

ISBN 5-247-02472-9  
ISBN 5-247-02088-X

© Сибирский научно-исследовательский институт геологии, геофизики и минерального сырья (СНИИГГиМС), 1990

## ПРЕДИСЛОВИЕ

---

Второй том «Атласа...» посвящен описанию фораминифер, слагающих комплексы, с помощью которых определяется возраст вмещающих отложений, приводятся широкие, включая межрегиональные, корреляции, воссоздаются условия осадконакопления, уточняются палеогеографические построения.

Среди фораминифер верхней юры и неокома (берриас—готерив) Западной Сибири известно более 350 видов, относящихся к 80 родам, 20 семействам и 5 отрядам. В систематическом отношении разнообразие агглютинирующих и секреторных фораминифер примерно одинаковое, но в количественном отношении основу большинства комплексов составляют первые [86].

В «Атласе...» приводятся диагнозы, описания и дополнения к авторским описаниям 313 видов из 78 родов, 17 семейств и 5 отрядов. При описании и ревизии таксономического ранга *Fo*raminifera (вплоть до выделения типа) и соответственно повышения систематического статуса практически всех вышших таксонов в «Атласе...» не рассматривались.

Дискутируемые в отечественной и зарубежной литературе вопросы повышения таксономического ранга *Fo*raminifera (вплоть до выделения типа) и соответственно повышения систематического статуса практически всех вышших таксонов в «Атласе...» не рассматривались.

Материалом для выполнения исследований послужили коллекции фораминифер из десятков тысяч образцов керна, хранящиеся в СНИИГГиМСе (г. Новосибирск) и ЗапСибНИГНИ (г. Тюмень) и собранные, начиная с середины 50-х годов.

Описание фораминифер приводится в «Атласе...» в систематическом порядке, а иллюстрации к описанным видам — отдельно для юрских и раннемеловых таксонов.

Работа среди составителей распределялась следующим образом: С. П. Булыникова (СНИИГГиМС) — научно-организационная работа, описание фораминифер неокома и верхней юры. В. К. Комиссаренко и К. Е. Тылкина (ЗапСибНИГНИ) — описание фораминифер верхней юры, Н. А. Белоусова, Е. Д. Богомякова и Г. Е. Рылькова (ЗапСибНИГНИ) — фораминифер неокома.

Палеонтологические таблицы составлены по работам Ф. И. Зайцевой, В. И. Жаркова, А. А. Фирсова (СНИИГГиМС) и О. А. Денисовой (ЗапСибНИГНИ). В оформлении «Атласа...» и подготовке его к печати приняли участие С. И. Бельх, В. Г. Жилиева, Т. В. Сапьяник (СНИИГГиМС) и О. В. Боровская (ЗапСибНИГНИ).

Всем лицам, способствовавшим работе над «Атласом...», коллектив составителей выражает благодарность за содружество и творческое участие.

# Палеонтологическое описание

---

## ТИП PROTOZOA

## КЛАСС SARCODINA

## ПОДКЛАСС FORAMINIFERA Eichwald, 1830

## ОТРЯД ASTRORHIZIDA Lankester, 1885

## НАДСЕМЕЙСТВО ASTRORHIZIDEA Brady, 1881

## Семейство RHIZAMMINIDAE Rumbler, 1895

## РОД *BATHYSIPHON* M. Sars in G. O. Sars, 1872

## *Bathysiphon proprius* Bulatova, 1976

Табл. 70, фиг. 16

*Bathysiphon proprius*: Булатова, 1976, с. 46—47, табл. 1, фиг. 1, 2.

Голотип — СНИИГГиМС/ИГиГ СО АН СССР, № 115. Западно-Сибирская равнина, Ново-Портовская скв. 77, гл. 908—914 м. Средний альб, зона *Ammobaculites fragmentarius*, хантымансийская свита.

Диагноз. Раковина в виде цилиндрической трубки с легкими поперечными, иногда с редкими шейкообразными перегородками. Стенка гладкая или слабо шероховатая с примесью большого количества кремнистого материала. Устье — открытый конец трубки.

Распространение и возраст. Западная Сибирь; нижний готерив, алясовская, ахская свиты (редко); апт, альб (скопления), хантымансийская свита.

## *Bathysiphon broegei* Tarran, 1957

Табл. 70, фиг. 19

Синонимика: см. Булатова, 1976, с. 47.

Диагноз. Раковина широкотрубчатая с глубокими и частыми поперечными складками и бороздками. Стенка массивная, кремнистая. Устье — открытый конец трубки.

Распространение и возраст. Европейская часть СССР, Прикаспийская низменность; альб. Западная Сибирь; нижний готерив (очень редко), альб. Вне СССР: Северная Аляска; альб—сенон.

**Семейство** SACCAMMINIDAE Н. В. Brady, 1884

Подсемейство SACCAMMININAE Н. В. Brady, 1884

РОД *SACCAMMINA* M. Sars in Carpenter, 1809

*Saccamina inanis* Gerke et Sossipatrova, 1961

Табл. 1, фиг. 1

*Saccamina inanis*: Герке, 1961, с. 91, табл. IV, фиг. 4—6.

Голотип — ВНИИОкеангеология, № 421—1. Средняя Сибирь, Нордвикский район, скв. К-241, гл. 43 м. Тоар.

Диагноз. Раковина маленькая однокамерная, иногда с тенденцией к двухкамерности, яйцевидная, реже удлинненно-яйцевидная. Стенка тонкая, состоит из мелких зерен кварца, сцементированных большим количеством кремнистого материала. Устье маленькое, слабо различимо.

Распространение и возраст. Западная и Средняя Сибирь; плинсбах и тоар. Часто, в небольшом количестве.

Местонахождение и материал. Западно-Сибирская равнина, п-ов Ямал, Новопортовская, Бованснковская, Верхнеколикъеганская разведочные площади; шерлакинская (нижняя часть), тюменская (нижняя часть), джангодская свиты. 10—15 экз. в образце.

*Saccamina callosa* Булатова, 1971

Табл. 69, фиг. 1—10; табл. 106, фиг. 1

*Saccamina callosa*: Булатова, 1971, с. 66—67, табл. I, фиг. 12 [16].

*Saccamina testideformabilis*: Мятлюк, Василенко, 1988, с. 28—29, табл. 1, фиг. 9—12 [4].

Голотип — СНИИГГиМС, № 61. Западно-Сибирская равнина, Медведевская скв. 21, гл. 838—836 м. Нижний готерив, слон с *Trochammina gyroidiniformis* — *Acruliammina pseudolonga*, ахская свита.

Диагноз. Раковина от средних до крупных размеров, широкоокруглая или овальная со слабошероховатой поверхностью. Стенка кварцевая, цемент кремнистый. Устье — округлое отверстие в центре слабообразитой широкой шейки.

Описание. В дополнение к авторскому описанию вида установлена густопористая стенка раковины. Поры неправильно-округлой формы, мелкие (см. табл. 106, фиг. 1).

К изменчивым признакам *Saccamina callosa* следует отнести неустойчивую форму раковины — от почти округлой до эллипсоидальной. Размеры колеблются от 0,39 до 0,85 мм.

Распространение и возраст. Западная Сибирь, западная и центральная части; нижний готерив, слои с *Trochammina gyroidiniformis* — *Acruliammina pseudolonga* (редко); слои с *Hyperammina aptica* — *Saccamina callosa* (часто). Север европейской части СССР (бассейн Печоры); нижний готерив, зона *Speetonicerus versicolor*, слои с *Ammobaculites reophacoides*.

Местонахождение и материал. Многие скважины Полульского профиля, Алясовской, Березовской, Деминской и других разведочных площадей западной части Западной Сибири; скважины Сургутско-Вартовского района Широного Приобья. Ахская, алясовская, вартовская свиты. Более 100 раковин различной сохранности.

### *Saccamina testideformabilis* Bulatova, 1964

Табл. 69, фиг. 11—13

*Saccamina testideformabilis*: Булатова, 1964, с. 105—106, табл. VI, фиг. 10—12 [96].

Голотип — СНИИГГиМС, № 21. Западно-Сибирская равнина, Малиновская скв. 1, гл. 1193—1198 м. Альб, зона *Verneuilinoides borcalites assanoviensis*, хантымансийская свита.

Диагноз. Раковина крупная овальная, реже — округлой формы. Стенка тонкозернистая, гладкая, состоит из мелких зерен кварца со значительной примесью кремнистого материала. Устье округлое или овальное, часто неровное в очертании, располагается на слегка срезанном устьевом конце.

Распространение и возраст. Западная Сибирь; нижний готерив западных и центральных районов, слои с *Trochammina gyroidiniformis* — *Acruliammina pseudolonga*, с *Hyperammina aptica* — *Saccamina callosa*; альб, зоны *Verneuilinoides borealis assanoviensis*, *Ammobaculites fragmentarius*.

### *Saccamina orbiculata* Bulatova, 1964

Табл. 70, фиг. 1—6

*Saccamina orbiculata*: Булатова, 1964, с. 103, табл. VI, фиг. 1—4 [96].

Голотип — СНИИГГиМС, № 19. Западно-Сибирская равнина. Чербулинская скв. 2, гл. 1330—1336 м. Альб, зона *Verneuilinoides borealis assanoviensis*, хантымансийская свита.

Диагноз. Раковина маленькая округлая или широкоовальная, слабо приостренная в устьевой части. Стенка кварцевая тонкозернистая, гладкая или слабошероховатая, цемент кремнистый. Устье неразлично.

Распространение и возраст. Западная Сибирь; нижний готерив, слои с *Trochammina gyroidiniformis* — *Acruliammina pseudolonga*, алясовская свита; см. также голотип.

РОД *LAGENAMMINA* Rumbler, 1911

*Lagenammina impexa* Булыникова, 1984

Табл. 70, фиг. 7

*Proteonina scherborniana*: Романова, с. 46—47, табл. I, фиг. 4, 5 [92].

*Lagenammina impexa*: Булыникова, 1984, с. 83—84, табл. XXVIII, фиг. 2.

Голотип — СНИИГГиМС, № 1—ФБ/12-1. Западно-Сибирская равнина, Медведевская скв. 22, гл. 828—837 м. Нижний готерив, слои с *Trochammina gyroidiniformis* — *Acruliammina pseudolonga*, ахская свита.

Диагноз. Раковина колбовидной формы, вытянутая в длину, с хорошо развитой устьевой шейкой. Периферический край узкоовальный. Стенка кварцевая, грубозернистая, рыхло сцементированная.

Распространение и возраст. Западная Сибирь, Западная и южная части; нижний валанжин (верхи куломзинской и низы тарской свит), зона *Temnoptychites insolutus*: верхний валанжин (?) — нижний готерив (верхняя подсвита ахской свиты, чуэльская пачка алясовской свиты), слои с *Homolosomes* sp. зона *Speetoniceras versicolor*. Редкая форма.

РОД *PELOSINELLA* Parr, 1950

*Pelosinella parca* Булыникова, 1984

Табл. 70, фиг. 8

*Pelosinella parca*: Булыникова, 1984, с. 84—85, табл. XXIII, фиг. 1.

Голотип — СНИИГГиМС, № 1—ФБ/12-2. Западно-Сибирская равнина, Медведевская скв. 22, гл. 837—844 м. Нижний готерив, слои с *Trochammina gyroidiniformis* — *Acruliammina pseudolonga*, ахская свита.

Диагноз. Раковина средних размеров, уплощенная, состоит из округлой центральной камеры и отходящих от нее в полярных направлениях двух коротких трубок. Стенка тонкозернистая, существенно кремнистая. Устья на концах трубок.

Распространение и возраст. Западная Сибирь, северо-западная часть; нижний готерив, слои с *Trochammina gyroidiniformis* — *Acruliammina pseudolonga*; ахская, алясовская свита. Редкая форма.

ОТ Р Я Д А М М О Д И С C I D A Furssenko, 1958

НА Д С Е М Е Й С Т В О А M M O D I S C I D E A Reuss, 1862

С е м е й с т в о H I P P O C R E P I N I D A E R h u m b l e r, 1895

П о д с е м е й с т в о H I P P O C R E P I N I N A E R h u m b l e r, 1895

Р О Д H I P P O C R E P I N A P a r k e r i n G. M. D a w s o n, 1870

*Hippocrepina electa* Булыникова, 1984

Табл. 70, фиг. 9

*Hippocrepina electa*: Булыникова, 1984, с. 85, табл. XXIII, фиг. 3.

Голотип — СНИИГГиМС, № 1—ФБ/12-3. Западно-Сибирская равнина, Деминская скв. 19, гл. 1286—1288 м. Нижний готерив, алясовская свита.

Диагноз. Раковина боченковидная с неглубокой и неравномерной поперечной гофрировкой, иногда зауженная в дистальной части. Стенка гладкая, тонкозернистая, кремнистая. Устье округлое, располагается в углублении на дистальном конце.

Распространение и возраст. Западная Сибирь, западная часть; нижний готерив, зона *Speetoniceras versicolor*, слой с *Trochammina gyroidiniformis* — *Acruliammina pseudolonga*, алясовская свита. Редкая форма.

Р О Д H I P P O C R E P I N E L L A Heron-Allen et Earland, 1932

*Hippocrepinella rugosa* Богомякова, 1986

Табл. 70, фиг. 10, 11

*Hippocrepinella rugosa*: Богомякова, 1986, с. 155—156, табл. XIX, фиг. 1 а—г; 2 а, б [25].

Голотип — ЗапСибНИГНИ, № 2117. Западно-Сибирская равнина, Уватская скв. 1, гл. 2363—2379 м. Валанжин, слой с *Cribrostomoides infracretaceous* — *C. ? sinuosus*.

Диагноз. Раковина от овальной до закругленно-клиновидной формы. Поверхность собрана в поперечные складки, сконцентрированные на более широком конце. Стенка мелкозернистая, толстая, цемент кремнистый. Два небольших устья расположены на противоположных концах раковины.

Распространение и возраст. Западная Сибирь, северо-западная, северная и центральные части; валанжин, зоны

*Temnoptychites insolutus*, *Polyptychites michalskii*, слои с *Dichotomites* sp., *Homolsomites* sp., слои с *Cribrostomoides infracretaceous* — *C. (?) sinuosus*; готерив, зоны *Homolsomites bojarkensis*, *Speetonicerias versicolor* с комплексом *Trochammina gyroidiniformis* — *Acruliammina pseudolonga*.

Местонахождение и материал. Разрезы, вскрывшие ахскую, вартовскую, тангаловскую, сортымскую (= вартовскую и мегионскую) свиты. Около 100 раковин различной сохранности.

#### РОД *HYPERAMMINA* Brady, 1878

*Hyperammina aptica* (Dampel et Mjatljuk), 1949

Табл. 70, фиг. 12, 14

Синонимика: см. Булатова, 1964, с. 128 [96].

Паратип — СНИИГГиМС, № 40. Приполярное Зауралье, Салехардская скв. 1-К, гл. 353,2—360,2 м. Нижний готерив, слои с *Trochammina gyroidiniformis* — *Acruliammina pseudolonga*.

Диагноз. Раковина в виде прямой изогнутой трубки с закругленным начальным концом, неясными пережимами, иногда срединными вмятинами; округлая в поперечном сечении. Стенка гладкая, существенно кремнистая. Устье — открытый конец трубки.

Распространение и возраст. Европейская часть СССР, запад и север Средней Сибири; нижний мел. В Западной Сибири вид образует скопления в нижнеготеривских и особенно альбских отложениях. Вне СССР: Северная Аляска; нижний мел.

*Hyperammina rugosa* Bulatova, 1976

Табл. 70, фиг. 13

*Hyperammina rugosa*: Булатова, 1976, с. 48—49, табл. I, фиг. 5—7.

Голотип — СНИИГГиМС, № 119. Западно-Сибирская равнина, Тюменская скв. 5-КП, гл. 391—399 м. Средний альб, зона *Ammobaculites fragmentarius*, хантымансийская свита.

Диагноз. Трубчатые обломки с округлым сечением и частыми поперечными морщинками или складками. Стенка мелкозернистая, кварцевая; цемент неизвестен.

Распространение и возраст. Западная Сибирь, западная часть; нижний готерив, средний альб. Средняя Сибирь, север; валанжин. Редко (в виде обломков).

*Hyperamminoides barksdalei* Tappan, 1957

Табл. 71, фиг. 1

*Hyperamminoides barksdalei*: Булатова, 1964, с. 141, табл. XII, фиг. 13—15 [96].

Экземпляр — СНИИГГиМС, № 52. Западно-Сибирская равнина, Березовская скв. 1, гл. 726 м. Альб, зона *Ammobaculites fragmentarius*, хантымансийская свита.

Диагноз. Раковина конической или узкоконической формы, гладкая; лишь на деформированных экземплярах имеет неглубокие ложбины и поперечные пережимы. Стенка толстая, гладкая, эластичная, состоит из халцедона. Устье узкоовальное, окаймлено невысоким валиком, расположено в центре устьевой поверхности.

Сравнение. *Hyperamminoides barksdalei* проявляет сходство с раннемеловыми западносибирскими видами *Hyperamminoides patella* Rom. [92] и *H. apiculiformis* Булун. [24]. От *H. patella* отличается лишь более крупными размерами раковин, более толстой стенкой и отсутствием ярко выраженных поперечных борозд на ее поверхности, а от *H. apiculiformis*, как и от *H. patella*, — относительно крупными размерами, а также более конической формой раковины.

Распространение и возраст. Западная Сибирь; валанжин, нижний готерив, зоны *Temnoptychites insolutus*, *Polyptychites michalskii*, *Homolosomes bojarkensis*, *Speetonicerus versicolor*, слои с *Trochammina gyroidiniformis* — *T. sibirica*, *Cribrostomoides ? sinuosus* — *C. infracretaceous*; *Trochammina gyroidiniformis* — *Acruliammina pseudolonga*; альб, слои с *Ammobaculites fragmentarius*. Вне СССР: Северная Аляска: средний—верхний альб.

Местонахождение и материал. Западно-Сибирская равнина, валанжин, готерив, алясовская, мегнионская, ахская, вартовская свиты; альб, хантымансийская свита. Единичные, редко встречающиеся раковины.

*Hyperamminoides patella* Романова, 1960

Табл. 70, фиг. 15, 17

*Hyperamminoides patella*: Романова, 1960, с. 47, табл. 1, фиг. 6, 7 [92]. Булатова, 1964, с. 141, табл. XII, фиг. 10 а, б—12 а, б [96].

Голотип — ВСЕГЕИ, Центральный геологический музей, № 7766. Западно-Сибирская равнина, Тюменская скв. 1, гл. 1300—1301 м. Валанжин, ахская свита.

Диагноз. Раковина маленькая, узкоконусовидная с тремя-четырьмя поперечными более или менее равномерно расположенными бороздками. Стенка гладкая, тонкозернистая кварцевая с примесью кремнистого материала. Устье эллиптической формы на широком конце раковины, занимает все основание конуса.

Распространение и возраст. Западная Сибирь, валанжин — нижний готерив, слои с *Trochammina gyroidiniformis*; нижний готерив, зона *Speetonicerias versicolor*, слои с *Trochammina gyroidiniformis* — *Acruliammina pseudolonga*; альб, зона *Verneuilinoides borealis assanoviensis*; кампан, слои со *Spiroplectammina senonana pocurica* — *S. lata*.

Местонахождение и материал. Валанжин — нижний готерив, ахская свита; нижний готерив, ахская, алясовская свиты; альб, хантымансийская свита; кампан, березовская свита. Единичные экземпляры в комплексах.

*Hyperamminoides apiculiformis* Булыникова, 1984

Табл. 70, фиг. 18

*Hyperamminoides apiculiformis*: Булыникова, 1984, с. 85—87, табл. XXVIII, фиг. 4.

Голотип — СНИИГГиМС, № 1—ФБ/12-4. Западно-Сибирская равнина, Медведевская скв. 22, гл. 838,8—847,3 м. Нижний готерив, слои с *Trochammina gyroidiniformis* — *Acruliammina pseudolonga*, ахская свита.

Диагноз. Раковина широко-, реже овально-конической формы, уплощенная, гладкая или иногда с нечеткими прерывистыми поперечными складками в проксимальной части. Стенка кварцевая мелкозернистая, тонкая с примесью халцедона. Устье овальное, на широком конце раковины.

Распространение и возраст. Западная Сибирь, западная, реже центральная части; нижний готерив, слои с *Trochammina gyroidiniformis* — *Acruliammina pseudolonga*, алясовская, вартовская свиты. Редкая форма.

**Семейство** AMMODISCIDAE Reuss, 1862

Подсемейство AMMODISCINAE Reuss, 1862

**РОД** *GLMOSPIRA* Rzehak, 1888

*Glomospira gordialis* (Parker et Jones), 1860

Табл. 2, фиг. 1

Синонимика: см. Пяткова, 1978, с. 15, табл. I, фиг. 15, а—в.

Экземпляр — ЗапСибНИГНИ, № 2120. Западно-Сибирская равнина, Новопортовская скв. 91, гл. 2697—2708 м. Плинсбах.

Диагноз. Раковина маленькая или средних размеров в виде округлого клубка. Трубочатая камера увеличивается в диаметре по мере роста раковины очень плавно, почти незаметно; навивается в различных плоскостях, иногда петлеобразно. Стенка белого и желтого цвета, гладкая, мелкозернистая, в основном кремнистая.

Распространение и возраст. Западная Сибирь, п-ов Ямал; плинсбах и байос; нижний мел (неоком). Средняя Сибирь, Енисей-Хатангский прогиб; средняя юра. Украина, Днепровско-Донецкая впадина; юра, Молдавия; верхний байос. Северный Кавказ; аален, байос, келловей. Вне СССР: Швейцария, средняя, верхняя юра; ФРГ, лейас; Австралия, рэт; Польша и ФРГ, келловей, оксфорд; Болгария, оксфорд — нижний мел; Тихий океан и арктические моря — современные формы [85].

Местонахождение и возраст. Новопортовская и Бованенковская площади п-ова Ямал; шеркалинская, леонтьевская свиты. Плинсбах, байос. Встречается в скоплениях до 300 и более экземпляров.

### *Glomospira oxfordiana* Scharovskaja, 1966

Табл. 3, фиг. 10

*Glomospira oxfordiana*: Шаровская, 1966, с. 48, табл. I, фиг. 1—3; Лутова, 1981, с. 14, табл. I, фиг. 3—5; табл. VIII, фиг. 2.

Голотип — ВНИИОкеангеология, № 1009/8. Средняя Сибирь, Нордвикский район, Сындаско, скв. Р-201, гл. 634,4 м.

Экземпляр — ЗапСибНИГНИ, № 2204. Западно-Сибирская равнина, Вачимская скв. 5, гл. 2745—2749 м. Нижний оксфорд.

Диагноз. Раковина крупная, беспорядочно свернутая в клубкообразную спираль. Спиральный шов углубленный. Стенка гладкая, существенно кремнистого состава. Устье — открытый конец трубки.

Распространение и возраст. Западная Сибирь; нижний — средний оксфорд. Средняя Сибирь; оксфорд.

Местонахождение и материал. Многие разрезы центральных и северных районов Западной Сибири, васюганская, даниловская свиты; север Средней Сибири. Массовые скопления.

*Glomospira otorica* (Романова), 1972

Табл. 3, фиг. 7

*Glomospirella otorica*: Романова, 1972, с. 33—34, табл. I, фиг. 7, 8 [97].

Голотип—ВНИГРИ, № 520/10. Приполярный Урал, Оторьинская скв. 17, гл. 85 м. Нижний кимеридж.

Диагноз. Раковина маленькая, клубковидная; трубчатая камера образует пять—шесть оборотов спирали, почти одинаковых по ширине. Стенка гладкая, тонкозернистая в значительной степени кремнистая. Устье неразличимо.

Распространение и возраст. Западная Сибирь, северо-западные, западные и центральные районы; нижний кимеридж, слои с *Trochammina omskensis* — *Verneuulinoides graciosus*; абалакская, даниловская, георгиевская свиты.

РОД *GLMOSPIRELLA* Plummer, 1945

*Glomospirella galinae* Scha gov skaja, 1966

Табл. 2, фиг. 2, 3

*Glomospirella galinae*: Шаровская, 1966, с. 52—54, табл. II, фиг. 1—6.

Голотип—ВНИИОкеангеология, № 1009/13—14. Западно-Сибирская равнина, Туруханская скв. 16, гл. 431—435 м. Оксфорд, слои с *Glomospirella galinae*.

Диагноз. Раковина сравнительно крупная, дискоидальная; трубчатая камера образует от двух до шести оборотов спирали. Ранние обороты с клубковидным навиванием, поздние располагаются в одной плоскости. Стенка гладкая, мелкозернистая, существенно кремнистая (см. табл. 106, фиг. 3). Устье—открытый конец трубчатой камеры.

Распространение и возраст. Западно-Сибирская равнина, южная, восточная и северо-восточная части; оксфорд. Вид-индекс одноименных слоев верхнего оксфорда, где образует скопления.

Местонахождение и материал. Скважины в Новосибирской, Омской, Томской областях, Красноярском крае (Туруханско-Ермаковский район); наунакская, васюганская, сиговская свиты. Более 1000 экземпляров.

*Glomospirella ex gr. gaultina* (Berthelin), 1880

Табл. 72, фиг. 5, 6

Экземпляр—ЗапСибНИГНИ, № 2164. Западно-Сибирская равнина, Харасавэйская скв. 19, гл. 3165—3179 м. Нижний валанжин, слои с *Orientalia ? baccula* — *Ammodiscus micrus*, ахская свита.

З а м е ч а н и я. Западно- и среднесибирские формы из пограничных отложений юра — мел и готерива по морфологическим признакам раковины очень близки виду *Glomospirella gaultina* Berth., описанному из альба Франции и широко прослеженному в отложениях этого возраста в Западной Европе, европейской части СССР, Сибири, Северной Америке, Канаде, а также известному в альб-сеноманских отложениях Северной Америки и верхнемеловых отложениях Сибири [96].

В течение последнего десятилетия они выделяются В. А. Басовым как самостоятельный вид *G. intrita* Bassov in koll. и под этим названием вошли в региональные стратиграфические схемы мезозоя севера Средней Сибири, хотя не имеют статуса вида, охраняемого правилами приоритета [10].

Отличие, по-видимому, нового, но не опубликованного В. А. Басовым вида от *G. gaultina*, по представлениям составителей данной работы, незначительно, что позволяет рассматривать его пока в составе группы *Glomospirella gaultina*. Оно заключается главным образом в более высокой стрептоспиральной части и соответствующем очертании раковины со стороны периферического края. Размеры раковин играют второстепенную роль и могут колебаться как у того, так и у другого вида в зависимости от стадии роста организма и условий обитания.

Распространение и возраст. Западная Сибирь; валанжин — нижний готерив. Средняя Сибирь, север; пограничные отложения юра — мел, зоны *Chetaites chetae* — *Ch. sibiricus*, берриас, валанжин. Встречается часто; от единичных экземпляров до заметных скоплений, особенно в валанжинских и нижнеготеривских отложениях.

### *Glomospirella multivoluta* (Romanova), 1955

Табл. 107, фиг. 3; табл. 108, фиг. 1

Синонимика: см. Романова, 1960, с. 50, табл. II, фиг. 3, а, б; 4.

Голотип — ВСЕГЕИ, № 1. Западно-Сибирская равнина, Тюменская опорная скв. 1, гл. 1273—1274 м. Валанжин — нижний готерив, ахская свита.

Диагноз. Раковина крупная, на ранней стадии клубкообразная, на поздней — почти или полностью спирально-плоскостная. Клубкообразная сокращенная, составляет не более 1/3 диаметра раковины. По мере роста раковины трубчатая камера незначительно увеличивается в диаметре. Стенка преимущественно кремнистая, гладкая, мелкозернистая. Устье — типичное для рода.

З а м е ч а н и е. Вид отличается от известных мезозойских представителей рода хорошо развитой плоско-спиральной стадией, состоящей из трех и более оборотов спирали, в то время,

как в ранней стрептоспиральной части у него не более двух оборотов.

Распространение и возраст. Европейская часть СССР, север (Большеземельская тундра); верхний валанжин, зона *Polyptychites polyptychus*. Западная Сибирь; валанжин — нижний готерив. Средняя Сибирь, север; валанжин. Встречается часто в небольшом количестве.

Местонахождение и материал. Многочисленные скважины преимущественно западной, северо-западной и центральной частей Западно-Сибирской равнины; ахская, алясовская, вартовская, мегионская свиты. Более 100 раковин.

*Glomospirella compacta* Булыникова, 1986

Табл. 72, фиг. 2, 3

*Glomospirella compacta*: Булыникова и др., 1986, с. 156, табл. XIX, фиг. 3—5, а, б.

Голотип — СНИИГГиМС, № 1—ФБ/12-31. Западно-Сибирская равнина, Завьяловская скв. 3, гл. 2000,1—2005,5 м. Валанжинская часть слоев с *Ammodiscus continentalis*, киялинская свита (у контакта с нижележащей тарской).

Диагноз. Раковина небольшая, округлая, с высоким периферическим краем, хорошо развитой клубкообразной стадией, состоящей из четырех—шести оборотов спирали. Только два последних навиваются по спирально-плоскостному типу. Последний оборот почти наполовину объемлет предшествующий. Стенка мелкозернистая, кремнистая, мелкопористая, желтовато-серого цвета. Устье — открытый конец трубчатой камеры.

Распространение и возраст. Западная Сибирь, южные и восточные районы; валанжин, низы киялинской и вартовской свит. Редко, в большом количестве.

Местонахождение и материал. Рязкинская скв. 1, гл. 1256,5—1262,5 м; Завьяловская скв. 3, гл. 2000,1—2005,5 м; Варламовская скв. 1-К, гл. 385 м. Более 100 экземпляров различной сохранности и многочисленные пиритизированные ядра с частично сохранившейся стенкой.

РОД *AMMODISCUS* Reuss, 1862

Синонимика: см. Даин, 1972, с. 34 [97].

Замечания. Диагностические признаки рода *Ammodiscus* следует дополнить на основании выполненного А. А. Герке [30], Л. Г. Даин и В. Ф. Козыревой [97] изучения видов этого рода из мезозойских отложений севера Средней и Западной Сибири. Этими исследователями установлено, что у ряда видов *Ammodiscus* из мезозоя Сибири (*A. pseudoinfimus* Gerke et Sossip., *A. uglicus* Егемеева, *A. zaspelovae* Kos., *A. veteranus* Kos. и др.) на стадии формирования первых полутора-

двух оборотов спирали наблюдается отклонение от спирально-плоскостного типа навивания. Предположительно эти формы Л. Г. Даин и В. Ф. Козырева отнесли к микросферическому поколению. По наблюдениям В. Ф. Козыревой, а позднее и составителей настоящей работы, данный феномен отмечается только у части особей микросферического поколения. В обильных популяциях некоторых видов редко встречаемые раковины микросферического поколения могут иметь полностью спирально-плоскостную раковину [97, табл. 3, фиг. 8а; табл. 5, фиг. 5].

А. А. Герке и В. Ф. Козыревой [30, 97] установлено также псевдотрубчатое строение второй камеры у видов, которым присуще частично или полностью полуэволютное навивание оборотов спирали [97, табл. III, фиг. 10].

*Ammodiscus glutaceus* Gerke et Sossipatrova, 1961

Табл. 1, фиг. 7

Синонимика: см. Герке, 1961, с. 128, табл. XII, фиг. 2—6; табл. XIII, фиг. 15.

Голотип — ВНИИОкеангеология, № 421—35. П-ов Нордвик, Тигяно-Чайдахский участок, скв. К-341, гл. 19—42 м. Тоар.

Диагноз. Раковина маленькая, округлая в очертании, сильно уплощенная; образована пятью-шестью оборотами спирали, заметно увеличивающимися в ширину. Спираль навивается полуэволютно. Спиральный шов слабоуглубленный. Стенка гладкая, очень тонкая, кварцевая, мелкозернистая, с примесью кремнистого материала.

Распространение и возраст. Западная Сибирь; нижняя юра — тоар, средняя юра — аален (частично). Средняя Сибирь; тоар.

Местонахождение и материал. Западная Сибирь, п-ов Ямал, Новопортовская, Бованенковская площади; тоарская пачка, вымская свита. До 500 экземпляров в комплексе.

*Ammodiscus ex gr. asper* (Terquem), 1863

Табл. 1, фиг. 3

*Ammodiscus ex gr. asper*: Герке, 1961, с. 124, табл. XII, фиг. 16; *Ammodiscus cf. asper*: Пяткова, Пермякова, 1978, с. 15, табл. 2, фиг. 1.

Экземпляр — ЗапСибНИГНИ, № 2122. Западно-Сибирская равнина, Новопортовская скв. 91, гл. 2697—2708 м. Плинсбах, шеркалинская свита.

Распространение и возраст. Западная и Средняя Сибирь; плинсбах.

Местонахождение и материал. Западная Сибирь, п-ов Ямал, Новопортовская, Бованенковская площади; низы шеркалинской свиты, левинская свита. До 100 и более экземпляров в образце.

*Ammodiscus uglicus* Еремеева, 1972

Табл. 1, фиг. 5

*Ammodiscus uglicus*: Еремеева, 1972, с. 35, табл. II, фиг. 1, 2, 6; табл. V, фиг. 1—5 [197].

Голотип — ВНИГРИ, № 520/5. Полярный Урал, р. Толья, скв. 155, гл. 194—195 м. Келловой.

Диагноз. Раковина маленькая, дисковидная с закругленным периферическим краем, образована четырьмя—семью оборотами спирали, плавно увеличивающимися в размерах. Спиральный шов слабоуглубленный. Стенка кварцевая, мелкозернистая, с небольшим количеством органического цемента и вкраплениями более крупных зерен кварца. Устье — типичное для рода.

Распространение и возраст. Западная Сибирь; келловой. Вид-индекс одноименного комплекса.

Местонахождение и материал. Большое число разведочных скважин в западной и юго-западной бортовых частях Западно-Сибирской плиты; даниловская, маурыньинская, абалакская, васюганская свиты. Массовые скопления в монотаксонном комплексе.

*Ammodiscus uglicus* subsp. *ehremeevae* Даин, 1972

Табл. 1, фиг. 6

*Ammodiscus uglicus ehremeevae*: Даин, 1972, в кн.: Фораминиферы..., с. 36, табл. II, фиг. 3, 4; табл. V, фиг. 6—8, 10, 11.

Топотип — ВНИГРИ. Приполярный Урал, р. Оторья, скв. 100, гл. 134 м. Келловой — нижний оксфорд, маурыньинская свита.

Диагноз. Раковина небольшая с быстро увеличивающимися по мере роста оборотами спирали, которых насчитывается от четырех до девяти. Спиральный шов слабо углублен. Стенка кварцевая с большой примесью чешуек слюды, почти гладкая.

Распространение и возраст. Приполярный Урал; келловой — нижний оксфорд.

Местонахождение и материал. Ограниченное число скважин на Приполярном Урале; маурыньинская свита. В образцах до 30—50 экземпляров.

*Ammodiscus pseudoinfimus* Gerke et Sossipatrova, 1961

Табл. 1, фиг. 4, 9

Синонимика: см. Герке, 1964, с. 130.

Голотип — ВНИИОкеанология, № 421-15. Средняя Сибирь, Нордвикский район, Чайсанг-Тумитовский участок, скв. К-318, гл. 72 м. Плинсбах.

**Диагноз.** Раковина крупная, образована пятью—восемью, иногда 11—12 оборотами спирали; полуэволютная, с заметным увеличением ширины оборотов по мере ее роста. Обороты спирали имеют неравномерную гофрировку или пережимы. Стенка кварцевая, преимущественно мелкозернистая, слабощероховатая.

**Замечание.** Позднеюрские формы *Ammodiscus pseudoinfimus* отличаются от плинсбахских гофрировкой спирали на протяжении всего периода роста раковины.

**Распространение и возраст.** Средняя Сибирь, север; плинсбах, келловей, оксфорд. Западная Сибирь; келловей—средний оксфорд; вид-индекс среднеоксфордских слоев с *Ammodiscus pseudoinfimus* — *Tolypammina svetlanae*.

**Местонахождение и материал.** Многочисленные скважины, вскрывшие абалакскую и васюганскую свиты. Более 500 экземпляров.

### *Ammodiscus zaspelovae* Козырева, 1972

Табл. 1, фиг. 8

*Ammodiscus tenuissimus*: Заспелова, 1948, с. 194.

*Ammodiscus zaspelovae*: Козырева, 1972, с. 37—38, табл. III, фиг. 1—6 [97].

**Голотип**—ВНИГРИ, № 521/9. Западно-Сибирская равнина, Елогуйская скв. 1, гл. 1164—1194 м. Средний подъярус волжского яруса, зона *Dersoplanites panderi*, яновстанская свита.

**Диагноз.** Раковина небольшая, округлая в очертании, уплощенная. Вторая трубчатая камера навивается почти эволютно. Ширина спирали возрастает в процессе роста раковины очень постепенно. Спиральный шов слабоуглубленный. Стенка тонкая, состоит из слабораскристаллизованного кремния с участием зерен вторичного карбоната и стяжений пирита; цемент кремнистый.

**Распространение и возраст.** Средняя Сибирь, север; волжский ярус (паксинская свита). Западная Сибирь; волжский ярус, повсеместно; характерный вид для зоны — *Spiroplectamina vicinalis* — *Dorothia tortuosa* среднего подъяруса волжского яруса, тутлеймская, даниловская свиты.

### *Ammodiscus veteranus* Козырева, 1972

Табл. 1, фиг. 10; табл. 71, фиг. 2, 3

*Ammodiscus veteranus*: Козырева, 1972, с. 38—39, табл. III, фиг. 7—10; табл. IV, фиг. 1—3; табл. V, фиг. 12 [97].

**Голотип**—ВНИГРИ, № 521/12. Западно-Сибирская равнина, Покровская скв. 4, гл. 1570,6 м. Верхний подъярус волжского яруса, слои с *Ammodiscus veteranus*.

**Диагноз.** Раковина крупная, уплощенная; спираль образована шестью—восемью постепенно расширяющимися оборо-

тами. По мере роста трубчатой камеры увеличивается ее инволютность, особенно на стадии последних двух оборотов спирали. Стенка слабошероховатая, кварцевая с небольшой примесью кремнистого материала.

Распространение и возраст. Европейская часть СССР (север), Западная Сибирь и север Средней Сибири; пограничные отложения юры — нижнего мела; верхняя юра — верхний подъярус волжского яруса; нижний мел — берриас, не выше зоны *Hectoroceras kochi*.

На шельфе Баренцевоморской плиты, в Западной и на севере Средней Сибири образует устойчивые скопления в верхнем подъярусе волжского яруса верхней юры (зона *Chetaites chetae*) и берриасе (зоны *Chetaites sibiricus*, *Hectoroceras kochi*). В Западной Сибири скопления вида в зоне *Hectoroceras kochi* известны только на юге (Татарская разведочная площадь). Видиндекс слоев с *Ammodiscus veteranus* — *Evolutinella volossatovi*.

Местонахождение и материал. Многочисленные скважины, особенно в прибортовых частях Западно-Сибирской плиты, обнажения нижнего мела на севере Средней Сибири (п-ов Пакса, Анабарский залив и др.), тутлеймская, даниловская, яновстанская свиты. Более 1000 экземпляров, в основном удовлетворительной сохранности.

#### *Ammodiscus micrus* Rylkova, 1979

Табл. 71, фиг. 5—7

*Ammodiscus micrus*: Рылькова, 1979, с. 52—54, табл. VIII, фиг. 1—6.

Голотип — ЗапСибНИГНИ, № 2047. Западно-Сибирская равнина, Чуэльская скв. 233, гл. 1612,35—1615,35 м (верх). Нижний валанжин, зона *Temnoptychites insolutus*, слой с *Orientalia? baccula* — *Ammodiscus micrus*, алясовская свита (демнская пачка).

Диагноз. Раковина маленькая, умеренно уплощенная. Образована четырьмя—восемью узкими оборотами спирали, очень плавно возрастающими в ширину и навивающимися почти эволютно. Периферический край ровный, равномерно уплощенный. Стенка гладкая, кварцевая, мелкозернистая.

Распространение и возраст. Западная Сибирь, север, северо-запад и запад; нижний валанжин, зона *Temnoptychites insolutus*, слой с *Ammodiscus micrus* — *Orientalia? baccula*.

Местонахождение и материал. Скважины, вскрывшие тутлеймскую (верхняя часть), алясовскую, ахскую, мульминскую свиты в западных, северо-западных и северных районах Западно-Сибирской равнины. Более 300 экземпляров на различных возрастных стадиях. Раковины деформированы, полости заполнены пиритом.

*Ammodiscus kosyrevae* Булычкова, sp. nov.

Табл. 71, фиг. 9

Название вида — в память Веры Филипповны Козыревой — одного из первых и старейших микропалеонтологов Западной Сибири.

Голотип — СНИИГГиМС, № 1—ФБ/12-49. Западно-Сибирская равнина, Медведевская скв. 24, гл. 1075,5—1087,5 м. Нижний готерив, слои с *Trochammina gyroidiniformis* — *Acruliammina pseudolonga*.

Диагноз. Раковина крупная или средних размеров, умеренно уплощенная. Образована пятью-шестью оборотами спирали, постепенно увеличивающимися в ширину; эволютная, на стадии последних двух оборотов полуэволютная. Стенка кварцевая, слабошероховатая, светло-серая.

Описание. Раковина крупная, чаще средних размеров, уплощенная, округлая в очертании, с ровным закругленным периферическим краем. Начальная камера округлая, вторая трубчатая, образует пять-шесть оборотов спирали, навивающихся почти эволютно; на поздней стадии последние два оборота частично объемлют предшествующие. Последний оборот в 1,5 раза шире видимого предшествующего. Устье — открытый конец трубки. Стенка среднезернистая, шероховатая, состоит из зерен кварца, чешуек слюды и кремнистого материала, выполняющего, по-видимому, роль цемента; пронизана беспорядочно расположенными порами различной величины, в основном, мелкими, округлыми в очертании. Кремнистый материал образует натечные утолщения; изредка вкрапленные чешуйки слюды создают видимость черепицы (табл. 107, фиг. 1, 2).

Размеры голотипа (в мм): Д 0,74; Т 0,096; Ш последнего оборота 0,096; Т : Д = 0,013, число оборотов спирали — 5,5.

Изменчивость проявляется в незначительном колебании размеров раковины.

Сравнение. Новый вид имеет наибольшее сходство с *Ammodiscus veteranus* Кос. из верхневолжско-нижеберриасских отложений Сибири. Основными его отличиями от *A. veteranus* являются: заметно более уплощенная раковина, меньшее число оборотов спирали у взрослой раковины (пять-шесть против шести-восьми у *A. veteranus*), более грубозернистая стенка, а также более плавное увеличение ширины оборотов спирали трубчатой камеры.

От североамериканского альбского *A. rotalarius* Гаррап [112, с. 247, табл. 46, фиг. 1] *A. kosyrevae* отличается большими размерами, степенью уплощенности раковины и грубозернистой стенкой при сходстве характера навивания трубчатой камеры и одинаковом числе оборотов спирали, образующих скелет взрослой особи.

Распространение и возраст. Западная Сибирь, северо-западная и северо-восточная части; валанжин, нижний готерив.

Местонахождение и материал. Скважины Медведовской и Сухо-Дудинской разведочных площадей; ахская, нижнехетская свиты. Редкая форма.

*Ammodiscus continentalis* (Schagovskaja), 1966

Табл. 71, фиг. 4, 8, 10; табл. 108, фиг. 3—5

*Glomospirella ? continentalis*: Шаровская, 1966, с. 50—52, табл. I, фиг. 4—8.

Голотип — ВНИИОкеангеология, № 1009/11. Средняя Сибирь, Нордвикский район, Хара-Тумус, скв. К-2, гл. 33,05—39,05 м. Верхний валанжин (?) — нижний готерив, слои с *Ammodiscus continentalis*, тигянская свита.

Диагноз. Раковина средних и крупных размеров, состоит из начальной и псевдотрубчатой камер. Последняя образует четыре-семь полуэволютных оборотов спирали, увеличивающихся по мере роста в диаметре. На стадии роста первых полутора-двух оборотов у микросферических особей нередко наблюдается отклонение от спирально-плоскостного типа навивания спирали. Последний оборот широкий, наполовину охватывает предпоследний, у спирального шва отмечаются неглубокие, почти поверхностные складки.

Распространение и возраст. Западная Сибирь; валанжин, готерив, слои с *Ammodiscus continentalis*; у границы тарской и киялинской свит, карбанская и вартовская (?) свиты. Север Средней Сибири; верхний валанжин ? — нижний готерив; над отложениями с *Homolosomes* sp., тигянская свита.

Местонахождение и материал. Большое число скважин южной, центральной и восточной частей Западно-Сибирской плиты. Более 1000 экземпляров.

РОД *AMMODISCOIDES* Cushman, 1909

*Ammodiscoides visendus* Kosyreva, 1972

Табл. 1, фиг. 12

*Ammodiscoides visendus*: Козырева, 1972, с. 40, табл. IV, фиг. 4 [97].

Голотип — ВНИГРИ, № 521/2. Западно-Сибирская равнина, Татарская скв. 2, гл. 2363—2370 м. Верхний подъярус волжского яруса, марьяновская свита.

Диагноз. Раковина небольшая биморфная, часто эллипсоидная в очертании. Ранние обороты второй трубчатой камеры образуют неправильной формы конус с асимметричными боко-

выми сторонами. Поздние обороты располагаются в одной плоскости. Общее число оборотов не превышает восьми. Стенка мелкозернистая, кварцевая с большим количеством цементирующего материала. Устье — открытый конец трубки.

Распространение и возраст. Западная Сибирь, юго-западная и южная части; верхний подъярус волжского яруса, баженовская, марьяновская свиты. Встречается узлокально, в небольшом количестве.

РОД *ARENOTURRISPIRILLINA* Tairov, 1956

*Arenoturrspirillina phiala* Kosyreva, 1972

Табл. 1, фиг. 11

*Arenoturrspirillina phiala*: Козырева, 1972, с. 41—42, табл. IV, фиг. 5—6 [97].

Голотип — ВНИГРИ, № 521/3. Западно-Сибирская равнина, Татарская скв. 2, гл. 2363—2370 м. Верхний подъярус волжского яруса, марьяновская свита.

Диагноз. Раковина маленькая конусовидная с округлым или овальным основанием, состоит из начальной округлой и второй ложно-трубчатой камеры, образующей невысокий конус, насчитывающий семь-восемь оборотов. Ширина оборотов возрастает медленно (за исключением последних двух). Стенка тонкозернистая, кварцевая. Устье — открытый конец трубчатой камеры.

Распространение и возраст. Западная Сибирь, юго-западная и южная части; верхний подъярус волжского яруса, баженовская, марьяновская свиты. Встречается локально, в небольшом количестве.

Местонахождение. Скважины Покровской площади на юге Тюменской области, Татарской площади на юге Новосибирской области, марьяновская и баженовская свиты (вблизи кровли). Наблюдается совместно с *Ammodiscoides visendus*.

Подсемейство *TOLYPAMMININAE* Cushman, 1928

РОД *TOLYPAMMINA* Rumbler, 1895

*Tolypammia svetlanae* Da in, 1966

Табл. 3, фиг. 1, 2

*Tolypammia svetlanae*: Даин, 1966, с. 229—230, табл. I, фиг. 1—4, 6, 7; табл. II, фиг. 5, 6; табл. III, фиг. 1—7.

Голотип — ВНИГРИ, № 520/2. Восточный склон Полярного Урала, Лабытнанги. Средний оксфорд.

Диагноз. Раковина крупная. Ложно-трубчатая вторая камера образует спирально-плоскостную часть (два-четыре оборота), состоящую из нескольких неправильных изгибов, стелю-

щихся беспорядочно на ранней части скелета и субстрата. Стенка кварцевая, мелкозернистая, гладкая, при смачивании водой легко рассыпается. Устье конечное, узкоовальное или щелевидное.

**Сравнение.** От известных видов рода отличается ясно выраженной двух-четырёхоборотной спиралью и большим числом изгибов полностью прикрепленной камеры.

**Распространение и возраст.** Западная Сибирь; нижний—средний подъярусы оксфорда. Вид-индекс среднеоксфордских слов с *Ammodiscus pseudoinfimus* — *Tolyrammina svetlanae*.

**Местонахождение и материал.** Западная Сибирь, юг п-ова Ямал, Березово-Шаимский район, частично Широтное Приобье и Полярное Зауралье; даниловская, абалакская, васюганская, маурыньинская свиты. В больших количествах вид встречается в глинистых алевролитах. Более 500 экземпляров различной сохранности.

### *Tolyrammina confusa* Da in, 1966

Табл. 2 фиг. 5, 6; табл. 3, фиг. 3

*Tolyrammina confusa*: Даин, 1966, с. 230—231, табл. II, фиг. 1—4; табл. III, фиг. 8.

**Голотип** — ВНИГРИ, № 520/13. Восточный склон Полярного Урала, Салехардский район, ст. Обская. Верхний оксфорд, зона *Amoboceras alternans*.

**Диагноз.** Раковина средних размеров. Вторая ложно-трубчатая камера навивается вокруг начальной неправильно-клубкообразно, формируя несколько петлевидных неплотных узлов. На поздней стадии отходит от клубка, иногда переходя в настоящую трубчатую камеру. Стенка кварцевая, мелкозернистая. Устье конечное, округлое.

**Сравнение.** От *Tolyrammina svetlanae* Da in [33] отличается неплотным навиванием последних оборотов и переходом на поздней стадии в неприкрепленную камеру с округлым поперечным сечением.

**Распространение и возраст.** Полярный Урал, Фроловский, Шаимский районы; верхний — средний подъярусы оксфорда.

**Местонахождение и материал.** Ограниченное число разрезов; маурыньинская, даниловская, абалакская свиты. Более 300 раковин.

### *Tolyrammina virgula* Козырева, 1972

Табл. 3, фиг. 4—6

*Tolyrammina virgula*: Козырева, 1972, с. 31—32, табл. I, фиг. 2—5 [97].

Голотип — ВНИГРИ, № 521/19. Западно-Сибирская равнина, Рязкинская скв. 1, гл. 1421,2—1431,2 м. Нижний кимеридж, марьяновская свита.

Диагноз. Раковина маленькая. Ложно-трубчатая камера навивается вокруг начальной чаше стрептоспирально, иногда образует петли, по мере роста скелета увеличивается в диаметре. Стенка тонкозернистая кварцевая с примесью кремнистого материала. Устье конечное, округлое.

Сравнение. От *Tolypamma svetlanae* Daip из среднего — верхнего оксфорда Западной Сибири отличается более тонкой второй камерой с большим числом изгибов по субстрату и по ранним оборотам ложной трубки, часто — клубком причудливой формы.

Распространение и возраст. Западная Сибирь, северная, западная, центральная и северо-восточная части; верхний кимеридж — нижний подъярус волжского яруса.

Местонахождение и материал. До 30 разведочных и поисковых скважин. Верхние части абалакской и георгиевской свит, даниловская, лопсинская свиты. В отдельных разрезах образует массовые популяции.

*Tolypamma dainae* Булыпникова, sp. nov.

Табл. 106, фиг. 2

Голотип — СНИИГГиМС, № 1—ФБ/12-38. Западно-Сибирская равнина, Медведевская скв. 24, гл. 1075—1087 м. Нижний готерив. слой с *Trochamma gyroidiniformis* — *Acruliamma pseudolonga*, ахская свита.

Описание. Раковина небольшая, состоит из начальной округлой камеры и второй ложно-трубчатой клубкообразно изогнутой, расширяющейся по мере роста организма. Диаметр раковин от 0,29 до 0,32 мм, голотипа — 0,30 мм. Стенка кварцевая, с большим количеством кремнистого материала, мелкозернистая, почти гладкая, серовато-белого цвета. При увеличении раковины в 1200 раз различается натечная бугристая поверхность стенки, густо пронизанная очень мелкими округлыми порами и редко — беспорядочно разбросанными крупными, неправильной формы (см. табл. 106, фиг. 2б). Устье — открытый конец трубки.

Изменчивость проявляется в колебаниях размера раковины и особенностях навивания «трубчатой» камеры вокруг субстрата, для которой иногда отмечается тенденция к разворачиванию клубка.

Сравнение. По типу навивания трубчатой камеры *T. dainae* несколько сходна с *T. virgula* Kos. из кимеридж-волжских отложений Западной Сибири [97], но отличается от последней большими размерами раковины (у *T. virgula* диаметр раковины

0,15—0,20 мм) и, по-видимому, меньшим числом изгибов «трубчатой» камеры. От оксфордской *Tolyrammina confusa* Dain из Западной Сибири новый вид отличается бóльшим развитием трубчатой камеры и менее широкими оборотами [97, табл. I, фиг. 6].

Распространение и возраст. Западная Сибирь; нижний готерив; редко. Север Средней Сибири; валанжин; часто в небольшом количестве.

Местонахождение и материал. Скважины Медведовской и Деминской площадей, алясовская, ахская свиты (Западная Сибирь); обнажение валанжина по р. Тигян-Юрях (север Средней Сибири), тигянская свита. Более 70 раковин.

РОД *AMMOVERTELLA* Cushman, 1928

*Ammovertella sincera* Dain, 1966

Табл. 3, фиг. 8

*Ammovertella sincera*: Дайн, 1966, с. 232, табл. I, фиг. 5. Голотип — ВНИГРИ, № 520/4. Приполярный Урал, р. Северная Сосьва. Нижний подъярус волжского яруса, зона *Pavlovia iatriensis*.

Диагноз. Раковина маленькая, прикрепленная к субстрату. Состоит из начальной округлой камеры и второй ложнотрубчатой. Первые два-три оборота спирали располагаются в одной плоскости, последующее нарастание второй камеры зигзагообразное.

Распространение и возраст. Северное Зауралье; волжский ярус, нижний подъярус. Редкая форма.

РОД *LITUOTUBA* Rhumbler, 1895

*Lituotuba igarkaensis* Bulynnikova, sp. nov.

Табл. 3, фиг. 9

Название вида — по местонахождению.

Голотип — СНИИГГиМС, № 1—ФБ/12-50. Западно-Сибирская равнина, Игарский профиль, скв. 9, гл. 201,1—206,1 м. Оксфорд, пограничные отложения точинской и сивговской свит.

Диагноз. Раковина средних размеров, свернутая в спираль, распрямляющуюся на конечной стадии роста. Трубчатая камера в последнем обороте имеет почти поверхностные равномерные пережимы.

Описание. Раковина средних размеров, округлая в очертании, свернутая в спираль, распрямляющуюся на конечной стадии роста; умеренно уплощенная. Трубчатая камера на ранней

стадии роста, по-видимому, стрептоспиральная, на поздней — спирально-свернутая почти в одной плоскости, образует три видимых оборота, увеличивающихся в диаметре по мере роста раковины. Последний оборот с довольно равномерными неглубокими пережимами. Стенка кремневая, гладкая, мелкозернистая, светло-желтого цвета. Устье — открытый конец трубчатой камеры.

Размеры голотипа (мм): Д — 0,75, Т — 0,15; Ш трубки — 0,25.

Изменчивость не прослежена.

Сравнение. По морфологическим признакам и размерам новый вид имеет сходство с туронской *Litoutuba confusa* (Zasp.) из Западной Сибири [77]. Отличается от позднемелового вида неполной гофрировкой (пережимами) трубчатой камеры, выраженной только в последнем обороте, более тонкозернистой с меньшими размерами раковины. Других близких видов неизвестно.

Местонахождение и материал. См. голотип. Три раковины различной сохранности.

## НАДСЕМЕЙСТВО LITUOLIDEA Blainville, 1825

### Семейство NORMOSINIDAE Haesckel, 1894

#### РОД *REOPHAX* Montfort, 1808

#### *Reophax adaptatus* Dain, 1972

Табл. 4, фиг. 1, 2

*Reophax adaptatus*: Дайн, 1972, с. 43—45, табл. VI, фиг. 3—5 [97].

Голотип — ВНИГРИ, № 520/7. Полярный Урал, Лабытнанги, скв. 11, гл. 312—319 м. Средний подъярус волжского яруса, зона *Laugaites groenlandicus*.

Диагноз. Раковина относительно крупная, неправильной веретеновидной формы со вздутой срединной частью. Образована двумя-тремя камерами вздутой удлиненной формы. Швы четкие. Стенка грубозернистая, кварцевая с вкраплениями спикул губок, обломков игл, зерен глауконита и других минералов. Устьевая трубка короткая широкая. Устье конечное, округлое.

Распространение и возраст. Западная Сибирь; средний подъярус волжского яруса. Встречается в небольшом количестве.

Местонахождение и материал. Немногочисленные разрезы восточного склона Полярного Урала: Шаимский, Карабашский, Губкинский районы; тутлеймская, даниловская, баженовская свиты. До 30 экземпляров в образце.

*Reophax consonus* Булыникова, 1984

Табл. 72, фиг. 4

*Reophax consonus*: Булыникова, 1984, с. 87—88, табл. XXVIII, фиг. 5 а, б.

Голотип — СНИИГГиМС, № 1—ФБ/12-5. Западно-Сибирская равнина, Медведевская скв. 22, гл. 837—844 м. Нижний готерив, слои с *Trochammina gyroidiniformis* — *Acruliammina pseudolonga*, ахская свита.

Диагноз. Раковина небольшая, прямая, короткая, уплощенная; состоит из двух камер, разделенных поперечным швом. Вторая камера в 3—4 раза длиннее первой. Стенка грубозернистая, состоит из рыхло сцементированных зерен кварца. Устье на вытянутом в виде горлышка конце второй камеры.

Распространение и возраст. Западно-Сибирская равнина, западная и центральная части; нижний готерив, слои с *Trochammina gyroidiniformis* — *Acruliammina pseudolonga* (комплексы с *Evolutinella nascens* и *Hyperammina aptica* — *Saccamina callosa*). Редкая форма.

Семейство NAUROPHRAGMOIDIDAE Маунс, 1952

Подсемейство RECURVOIDINAE Алексеевич, 1973

РОД *RECURVOIDES* Earland, 1934

Замечания. Виды рода *Recurvoides* из верхней юры и неокома Сибири по морфологическим признакам, степени развития спирали и величине углов, под которыми пересекаются оси ее навивания, по-видимому, составляют не менее трех генетических групп: *R. disputabilis*, *R. sublustris*, *Recurvoides eotrochus*.

В популяциях ряда видов выявлены ложно-трохоидные формы мегасферического поколения, обнаруживающие признаки рода *Recurvoides* (тенденция к стрептоспиральному навиванию) только на заключительной стадии роста раковины. Они рассматриваются С. П. Булыниковой в составе рода *Recurvoides*, так как имеют целый ряд общих морфологических признаков с видами, которым сопутствуют и отдельно от которых не встречаются.

Л. С. Мицкевич выделила такие формы в род *Trochitendina* [3, 29]. Ф. С. Путьра включил ложно-трохоидные формы из популяции *Recurvoides scherkalyensis* Le v. в состав *Trochammina gryci* Гарр. [82]. В. К. Комиссаренко в настоящей работе относит их к роду *Recurvoides* условно, но описывает как самостоятельный вид *R. ? gryci* Гарр. Если последняя точка зрения будет подтверждена дополнительными материалами, то получит подтверждение правомерность рода *Trochitendina*.

## Г р у п п а *Recurvoides disputabilis*

Характеризуется хорошо развитой спиралью, образующей до пяти оборотов, навивающихся по отношению друг к другу под углом, близким к прямому. Раковины имеют полуэволютные асимметричные боковые стороны с часто выступающими ранними оборотами спирали на одну из боковых сторон в виде шишки. С периферического края форма раковин от широкоовальной до неправильно-ромбовидной.

Группу составляют виды: *R. scherkalyensis* Lev. (келловей — оксфорд), *R. disputabilis disputabilis* Dain (верхний оксфорд Западной и Средней Сибири), *R. disputabilis plana* Dain (нижний кимеридж Западной Сибири), *R. praeobskiensis* Dain et Vulp. (верхний подъярус волжского яруса — нижний берриас Западной Сибири и севера Средней Сибири), *R. obskiensis* Rom. (верхний берриас — нижний готерив Западной Сибири, берриас — нижний валанжин Средней Сибири), *R. neremovensis* Vulp. (нижний готерив Западной Сибири). В популяциях *R. scherkalyensis* и *R. praeobskiensis* присутствуют ложно-трохидные формы.

### *Recurvoides scherkalyensis* Levina, 1962

Табл. 4, фиг. 7, 8; табл. 5, фиг. 6; табл. 6, фиг. 1

*Recurvoides scherkalyensis*: Левина, 1962, с. 83—85, табл. I, фиг. 1—2, 4, 6—9; Булыникова, 1962, табл. I, фиг. 4; Путря, 1967, с. 51—58, табл. VII, фиг. 1—3; Дайн и др., 1972, табл. IX, фиг. 8; Лутова, 1981, с. 19, табл. II, фиг. 2, табл. VIII, фиг. 3.

Голотип — ЗапСибНИГНИ, № 406. Западно-Сибирская равнина, Игримская скв. 114, гл. 1654,5—1657,6 м. Средний — верхний келловей, абалакская свита.

Диагноз. Раковина средних размеров, округлая в очертании, с умеренно-выпуклыми боковыми сторонами, иногда с несколько уплощенной брюшной стороной. Образована двумя-тремя с половиной оборотами спирали; в последнем 10—12 трапезиевидных камер. Швы прямые, поверхностные.

Распространение и возраст. Западная Сибирь; средний — верхний келловей, нижний оксфорд (нижняя часть). Широко распространенный вид; в юго-восточной части равнины является видом-индексом слоев с *R. scherkalyensis* — *Globulina paalzovi*, на востоке — слоев с *R. scherkalyensis* — *Haplophragmoides magnus* [86]. Север Средней Сибири; келловей, оксфорд.

Местонахождение и материал. Западная Сибирь — повсеместно; абалакская, даниловская, васюганская свиты. Более 500 экземпляров.

*Recurvoides? gryci* (Таппан), 1955

Табл. 5, фиг. 3—5; табл. 10, фиг. 4, 5; табл. 11, фиг. 2—9

*Trochammina gryci*: Таппан, 1955, с. 50, табл. XIV, фиг. 12—14; Шаровская, 1961, с. 26, табл. I, рис. 3, 4; Путря, 1967, с. 55, табл. VII, фиг. 11—15 [82].

*Recurvoides scherkalyensis* (частично): Левина, 1962, с. 83, табл. I, рис. 3, 5.

Голотип — из верхнего оксфорда Северной Аляски.

Экземпляр — ЗапСибНИГНИ, № 340. Западная Сибирь, Игримская скв. 114, гл. 1654—1657 м. Келловей.

Замечание. С. П. Бульникова рассматривает *R. ? gryci* вслед за В. И. Левиной [97] и Л. Г. Даин [97] в составе *R. scherkalyensis* Lev.

Распространение и возраст. Западная Сибирь; келловей, низы оксфорда. Вне СССР: Аляска, оксфорд.

Местонахождение и материал. Запад, северо-запад, юго-запад, частично центральные районы Западно-Сибирской равнины; абалакская, даниловская, васюганская свиты. Небольшое число раковин в келловейских комплексах.

*Recurvoides disputabilis* subsp. *disputabilis* Даин, 1972

Табл. 6, фиг. 4—6; табл. 7, фиг. 1—6

*Recurvoides disputabilis*: Даин, 1972 (частично), с. 55—56, табл. X, фиг. 6, 7; табл. XI, фиг. 1, 2, 4; табл. XIX, фиг. 1 [97].

Голотип — ВНИГРИ, № 520/20. Полярный Урал, Обская скв. 6, гл. 213—218 м. Верхний оксфорд, слои с *Amoeboceras* spp. зоны *Recurvoides disputabilis disputabilis*, даниловская свита.

Диагноз. Раковина округлая, умеренно сжатая с боковых сторон, асимметричная; спинная сторона полуэволютная, брюшная от полуэволютной до инволютной. В последнем обороте семь—десять слабоздутых трапециевидных камер, разделенных нечеткими поверхностными или слабоуглубленными швами; с периферического края овально-округлая. Стенка тонкозернистая, кварцевая, часто из микроагрегатного кварца; цемент железистый (?). Устье ареальное, часто неразличимое.

Распространение и возраст. Полярный Урал, восточный склон, Западная Сибирь, низовье р. Енисей; верхний оксфорд, слои с *Amoeboceras* spp., зона *Recurvoides disputabilis disputabilis*.

Местонахождение и материал. Многие скважины различных районов Западной Сибири; абалакская, даниловская, васюганская, точинская свиты. Большое число раковин различной степени сохранности.

*Recurvoides disputabilis* subsp. *plana* Dain, 1972

Табл. 8, фиг. 1—5

*Recurvoides disputabilis* subsp. *plana*: Дайн, 1972, с. 56—57, табл. XI, фиг. 5, 6; табл. XII, фиг. 1, 2 [97].

Голотип — ВНИГРИ, № 520/24. Западно-Сибирская равнина. Лабитнангская скв. 11, гл. 341—345 м. Нижний кимеридж.

Диагноз. Раковина средних размеров, округлая; от умеренно уплощенной до равномерно вздутой, с небольшим углом смещения плоскостей навивания (20—40°); полуэволютная, с асимметричными боковыми сторонами. В последнем обороте семь-восемь трапециевидных или субтреугольных камер, разделенных поверхностными или слабоуглубленными швами. Периферический край ровный или слаболопастный.

Распространение и возраст. Западная Сибирь, северо-западная и восточная части; нижний кимеридж.

Местонахождение и материал. Многие скважины Полярного Урала, Западно-Сибирской равнины (северо-запад, запад, юго-запад, восток); абалакская, даниловская, лопсинская, георгиевская, сиговская свиты. Большое число раковин.

*Recurvoides praeobskiensis* Dain et Bulynnikova, 1985

Табл. 9 фиг. 2—6; табл. 72, фиг. 7—9; табл. 107, фиг. 4

*Recurvoides praeobskiensis*: Булыникова, 1986, табл. XLVII, фиг. 2 а—в; 3 а, б; табл. XLVIII, фиг. 1—5 а—в [5].

Голотип — СНИИГГиМС, № 1—ФБ/13-16. Средняя Сибирь, п-ов Пакса обн. 33. Верхний подъярус волжского яруса зона *Craspedites taimyrensis*.

Диагноз. Раковина полуэволютная овально-округлая или овальная в очертании, образована тремя—пятью оборотами спирали. Камеры четырехугольные, вытянутые в ширину, в последнем обороте от 10 до 18 камер, чаще 15—17. Септальные швы поверхностные, широкие, прямые. Устье типичное для рода.

Распространение и возраст. Западная Сибирь и север Средней Сибири; верхний подъярус волжского яруса — берриас, зоны *Chetaites chetae* — *Hectoroceras kochi*.

Местонахождение и материал. Многие скважины западной, южной и восточной частей Западной Сибири; тутлеймская, марьяновская, яновстанская свиты. Более 80 раковин различной сохранности. Север Средней Сибири, п-ов Пакса, обн. 33, паксинская свита. До 20—25 экземпляров в образце.

*Recurvoides obskiensis* Романова, 1960

Табл. 73, фиг. 5, табл. 74, фиг. 1

Синонимика: см. Булыникова, 1973, с. 77.

Голотип — ВСЕГЕИ, Западно-Сибирская равнина, Березовская скв. 1, гл. 1285,6—1311,2 м. Нижний готерив, алясовская свита (у границы чуэльской и деминской пачек).

Диагноз. Раковина средних размеров, образована двумя—двумя с половиной оборотами спирали, округлая в очертании; во внешнем обороте спирали 10—14 трапециевидных камер. Септальные швы прямые поверхностные, двукамерные. С периферического края широкоокруглая. Устье щелевидное, ареальное.

Сравнение. *R. obskiensis* — широко изменчивый вид, обладает рядом морфологических признаков, свойственных группе *R. disputabilis* в целом; вызывает затруднение в определении, особенно деформированных экземпляров.

Наибольшее сходство он имеет с *R. praeobskiensis* Dain et Bulyn и *R. neremovensis* Bulyn. От первого вида *R. obskiensis* отличается меньшим числом оборотов спирали (2—2,5 против 3—5 у *R. praeobskiensis*), меньшей степенью эволютивности раковины и количеством камер в последнем обороте (10—14 против 10—18 у *R. praeobskiensis*). По размерам, форме камер и очертанию раковин с периферического края оба вида достаточно близки. От *R. neremovensis*, с которым сравниваемый вид встречается вместе в отложениях готерива, его можно отличить по меньшим размерам раковин (у *R. obskiensis* Д от 0,43 до 0,49 мм; у *R. neremovensis* от 0,6 до 0,75 мм) и форме камер (у *R. obskiensis* камеры более низкие, трапециевидные, а не закругленно-трапециевидные, как у *R. neremovensis*). С периферического края раковина *R. obskiensis* более ровная за счет более или менее одинаковой выпуклости боковых сторон. У *R. neremovensis* асимметричность и вздутость боковых сторон выражены резче.

Распространение и возраст. Западная Сибирь; берриас (верхняя часть) — нижний готерив. Повсеместно. Средняя Сибирь, север, Енисей-Хатангский прогиб; берриас—валанжин. Часто.

Местонахождение и материал. Многие скважины западной, центральной и восточной частей Западно-Сибирской равнины; алясовская, ахская, куломзинская, тарская, мегинская, нижнехетская свиты. Большое число раковин, в основном деформированных.

### *Recurvoides neremovensis* Bulynnikova, 1967

Табл. 74, фиг. 2, 5—7

*Recurvoides neremovensis* (частично): Булынникова, 1967, с. 63—65, табл. X, фиг. 1—4; табл. XI, фиг. 1—3, 7.

Голотип — СНИИГГиМС, № 624. Западно-Сибирская равнина, Неремовская скв. 104, гл. 1410,2—1412,2 м. Нижний готерив, слои с *Trochammina gyroidiniformis* — *Acruliammina pseudolonga*.

Диагноз. Раковина относительно крупная, округлая или овальная в очертании, часто уплощенная с брюшной и вздутая

со спинной стороны, реже — равномерно вздутая; образована двумя с половиной — тремя оборотами спирали. Камеры достаточно высокие, зубовидной формы. Септальные швы поверхностные, двуконтурные.

Распространение и возраст. Западная Сибирь, западная часть; нижний готерив, слои с *Trochammina geroidiniformis* — *Acruliammina pseudolonga*. Развита локально.

### Группа *Recurvoides sublustris*

Представлена видами, обладающими раковинами, умеренно уплощенными с боковых сторон, чаще овально-вытянутыми с периферического края, со слабоуглубленными швами.

К ним относятся: *Recurvoides anabarensis* Bass. et Sok. (байос — нижний келловей), *R. sublustris* Dain (нижний кимеридж), *R. stschekuriensis* Dain (нижний, средний подъярус волжского яруса), *R. transitorius* Bulyn. (верхний подъярус волжского яруса — берриас), *R. dubrovskajae* Bulyn. (нижний готерив).

### *Recurvoides anabarensis* Bassov, 1985

Табл. 4, фиг. 3, 4

*Recurvoides anabarensis*: Соколов, 1985, с. 64, табл. I, фиг. 1.

Голотип — ВНИИОкеангеология, № 526/309. Анабарская губа, обн. 128, сл. 1. Бат, нижний подъярус, слои с *Boreiospherulites pseudoborealis*.

Диагноз. Раковина крупная, округлая в очертании, уплощенная, с 14—17 узкими высокотрапецевидными камерами в последнем обороте спирали. Септальные швы тонкие, слабоуглубленные. Стенка кварцевая, мелкозернистая, гладкая.

Распространение и возраст. Средняя Сибирь (север), Земля Франца-Иосифа, Баренцево море; байос — бат. Западная Сибирь, арктические и центральные районы; бат — нижний келловей [51].

Местонахождение и материал. Западно-Сибирская равнина; тюменская, васюганская, абалакская свиты. Немногочисленные раковины. Анабарский район севера Средней Сибири. Несколько десятков раковин различной сохранности.

### *Recurvoides sublustris* Dain, 1972

Табл. 8, фиг. 6—8

*Recurvoides sublustris*: Дайн, 1972, с. 57—58, табл. XII, фиг. 3—6 [97].

Голотип — ВНИГРИ, № 520/23. Приполярный Урал, р. Ятрия, скв. 257, гл. 82 м. Нижний кимеридж (верхняя часть).

**Диагноз.** Раковина полуэволютная, округлая или овальная в очертании, равномерно сжатая с боковых сторон. Во внешнем обороте спирали 10—12 четырехугольных камер. Швы поверхностные, радиальные. Периферический край ровный, широкозакругленный. Устье овальное, ареальное, у основания септальной поверхности последней камеры.

**Распространение и возраст.** Западная Сибирь; верхний оксфорд, кимеридж.

**Местонахождение и материал.** Многочисленные разрезы северной, западной, центральной и восточной частей Западно-Сибирской равнины; даниловская, абалакская, лопсинская, георгиевская, яновстанская свиты. Более 200 раковин различной сохранности.

### *Recurvoides stschekuriensis* Dain, 1972

Табл. 9, фиг. 1

*Recurvoides stschekuriensis*: Дайн, 1972 (частично), с. 58—59, табл. XIII, фиг. 5, 6 а—в [97]; Комиссаренко, 1986, с. 123 [5].

**Голотип**—ВНИГРИ, № 520/25. Приполярный Урал, восточный склон Шекурбинская скв. 5, гл. 72,8 м. Нижний подъярус волжского яруса (верхняя часть).

**Диагноз.** Раковина округлая в очертании, образована полутора-двумя оборотами спирали, с небольшим отклонением угла поворота оси навивания. В последнем обороте спирали 8—11 камер, разделенных почти поверхностными двуконтурными, но тонкими швами. Периферический край овально-закругленный. Устье—широкая щель у основания септальной поверхности последней камеры.

**Распространение и возраст.** Полярный и Приполярный Урал, Восточный склон, Западная Сибирь, западная часть; нижний (верхняя часть)—средний подъярус волжского яруса.

**Местонахождение и материал.** Многочисленные скважины северо-западной, западной, южной и восточной частей Западно-Сибирской равнины; даниловская, федоровская, мулымьинская, тутулеймская, яновстанская свиты. Около 60 раковин. Встречается в небольших количествах, часто.

### *Recurvoides transitorius* Bulynnikova, 1973

Табл. 10, фиг. 1, 2; табл. 73, фиг. 1, 2

*Recurvoides transitorius*: Булынникова, 1973, с. 76—77, табл. I, фиг. 1—5.

*Recurvoides obskiensis*: Булынникова, 1964 (частично), табл. XIII, фиг. 1 а—в, 2 [96]; 1967, табл. IX, фиг. 1.

*Recurvoides stschekuriensis*: Даин, 1972 (частично), табл. XIII, фиг. 7 а—в [97].

Голотип — СНИИГГиМС, № 769. Западно-Сибирская равнина, Рязкинская скв. 3, гл. 1343—1349 м; берриас, куломзинская свита.

Диагноз. Раковина от округлой до овально-округлой, умеренно сжатая с боковых сторон, с высоким и почти ровным в очертании периферическим краем; полуэволютная. Во внешнем обороте 11—13 субтрапезиевидных камер. Швы поверхностные, двуконтурные.

Сравнение. Вид более всего близок по форме раковины, камер, числу оборотов спирали к *R. excelens* Ruginа из берриаса Южно-Эмбенского района [87]. Отличительными признаками *R. transitorius* являются: большее число камер, в том числе в последнем обороте (11—13 у *R. transitorius* против 10 у *R. excelens*), большая степень эволютности и толщина раковины.

Распространение и возраст. Западная Сибирь, западная, юго-западная и южная части; пограничные отложения юра—мел, зоны *Chetaites chetae*, *Ch. sibiricus*. Север европейской части СССР, бассейн Печоры; берриас, слои с *Ammobaculites praegoodlandensis* — *Lenticulina sossipatrovae* и с *Gaudryina gerkei* — *Ammobaculites pseudogoodlandensis*.

Местонахождение и материал. Западно-Сибирская равнина, Рязкинская скв. 3-р, гл. 1343—1349 м, Вяткинская скв. 2-р, гл. 1666,1—1677,1 м, Чузельская скв. 6-р, гл. 1625—1629 м, Половинкинская скв. 110-р, гл. 1871,1—1875 м и др. (Северо-Казахстанская и Тюменская области); марьяновская, тутлеймская, куломзинская, алясовская свиты. Около 50 раковин различной сохранности.

### *Recurvoides dubrovskajae* Булыникова, 1967

Табл. 74, фиг. 3, 4

*Recurvoides dubrovskajae*: Булыникова, 1973, с. 61—62, табл. VIII, фиг. 1.

Голотип — СНИИГГиМС, № 629. Западно-Сибирская равнина, Деминская скв. 19, гл. 1295—1298 м. Нижний готерив, алясовская свита.

Диагноз. Раковина маленькая, округло-овальная, умеренно уплощенная, образована двумя с половиной — тремя оборотами спирали, полуэволютная почти с симметричными боковыми сторонами. В последнем обороте 7,5—12 трапезиевидных камер, разделенных тонкими слабоуглубленными швами. С периферического края овально-закругленная. Устье ареальное, у основания устьевого поверхности.

Распространение и возраст. Западная Сибирь, северо-западная часть; нижний готерив, слои с *Homolosomes* spp., зона *Speetonicerias versicolor*.

Местонахождение и материал. Скважины Деминской, Березовской и Резимовской разведочных площадей, алясовская свита. 43 экземпляра различной сохранности.

### Группа *Recurvoides eotrochus*

Объединяет виды, обладающие сокращенной спиралью, состоящей из полутора-двух с половиной оборотов, навивающихся в двух плоскостях под более или менее острым углом, с полуэволютной выпуклой спинной и инволютной уплощенной брюшной сторонами; швы узкие, слабоуглубленные. К ней относятся: *Recurvoides eotrochus* Da in (нижний оксфорд), *R. canningensis* (Т а р р.) (келловей — кимеридж), *R. paucus* D u b r. (берриас), *R. paucus inflatus* B u l y n. (нижний готерив).

### *Recurvoides eotrochus* D a i n, 1972

Табл. 6, фиг. 2, 3

*Recurvoides eotrochus*: Даин, 1972, с. 53—54, табл. X, фиг. 3—5; табл. IX, фиг. 9 [97].

*Recurvoides disputabilis*: Даин, 1972 (частично), табл. XI, фиг. 3 а—в [97].

Голотип — ВНИГНИ, № 520/22. Приполярный Урал, Обской проф., скв. 6, гл. 227—230 м. Нижний оксфорд, даниловская свита.

Диагноз. Раковина низкокonusовидная с резко выраженными спинной полуэволютной и брюшной инволютной сторонами и почти ровным периферическим краем. В последнем обороте шесть-семь камер. Швы слабоуглубленные, почти поверхностные. Устье ареальное у основания устьевого поверхности последней камеры, овальное.

Распространение и возраст. Западная Сибирь, северо-западная, редко западная и центральная части; нижний оксфорд.

Местонахождение и материал. Немногочисленные скважины; абалакская, даниловская, васюганская свиты. Большое число в основном деформированных раковин.

### *Recurvoides canningensis* (Т а р р а н), 1955

Табл. 4, фиг. 5, 6

*Trochammina canningensis*: Таррап, 1955, с. 49, табл. 14, фиг. 1—3.

*Trochammina ? canningensis*: Даин, 1972, табл. XIII, фиг. 1 а—в, 2 а—в [97].

*Trochammina ? triloba*: Даин, 1972, табл. XIII, фиг. 4 [97].

Экземпляры — ЗапСибНИГНИ, № 2104. Западно-Сибирская равнина, Мало-Тапская скв. 1, гл. 2096—2100 м. Нижний

кимеридж, № 2128. Там же, Федоровская скв. 97, гл. 2795—2797 м. Келловей.

Диагноз. Раковина маленькая, асимметричная, образована полутора-двумя оборотами спирали. В последнем обороте три—шесть камер, имеющих на спинной стороне бобовидную форму, а на брюшной — округленно-треугольную. Швы тонкие, слабоуглубленные, четкие. Периферический край округлый, более или менее лопастный, высокий. Стенка кварцевая тонкая, гладкая.

Распространение и возраст. Западная Сибирь; келловей, нижний оксфорд, кимеридж. Вне СССР: Северная Аляска; кимеридж.

Местонахождение и материал. Западно-Сибирская равнина, северо-запад (п-ов Ямал), юго-запад, центральные районы; даниловская, абалакская, васюганская, георгиевская свиты. До 20—30 экземпляров в образце.

*Recurvoides paucus* subsp. *paucus* Dubrovskaja, 1962

Табл. 73, фиг. 3, 4

*Recurvoides paucus*: Дубровская, 1962, с. 70, табл. I, фиг. 7; Булырникова, 1967 (частично), с. 59; 1973, с. 78—79, табл. II, фиг. 1—6.

Голотип — ЗапСибНИГНИ, № 397. Западно-Сибирская равнина, Сартыннинская скв. 152, гл. 1166,6—1171,3 м. Берриас, слой с *Trochammina polymera*, алясовская свита.

Диагноз. Раковина маленькая, в очертании округло-овальная, выпуклая со спинной стороны и незначительно уплощенная с брюшной. Брюшная сторона инволютная, спинная — полуэволютная. В последнем обороте пять-шесть трапециевидных камер, разделенных тонкими углубленными швами. Стенка кварцевая, тонкозернистая, гладкая. Устье неразлично.

Распространение и возраст. Западная Сибирь, западная часть; пограничные отложения берриаса — валанжина, слой с *Tollia* spp. и с *Trochammina polymera*; единичные находки в нижнем валанжине, слой с *Ammodiscus micrus* — *Orientalia* ? *baccula*. Север Средней Сибири, западная часть; берриас, зоны *Hectoroceras kochi*, *Surites analogus*. Редкая форма.

Местонахождение и материал. Большинство районов, прилегающих к западному борту Западно-Сибирской плиты; тутлеймская, алясовская свиты (у контакта). В образцах до 10—12 экземпляров.

*Recurvoides paucus* Dubrovskaja subsp. *inflatus*

Bulyrnikova, 1973

Табл. 73, фиг. 7, 8

*Recurvoides paucus*: Булырникова, 1967 (частично), с. 59, табл. VIII, фиг. 7—11.

36

*Recurvoides paucus inflatus*: Булынникова, 1973, с. 79—80, табл. II, фиг. 7—9.

Голотип (подвида) — СНИИГГИМС, № 606. Западно-Сибирская равнина, Деминская скв. 16, фл. 1184—1190 м. Нижний готерив, слой с *Trachamina gyroidiniformis* — *Acruliammina pseudolonga*; алясовская свита (устремская пачка).

Диагноз. Раковина маленькая, вздутая, с сильно вышуклой спинной стороной и относительно уплощенной брюшной. На спинной полуэволютной стороне в последнем обороте пять-шесть трапециевидных, иногда субшаровидных камер, на брюшной инволютной их форма от субтрапециевидной до треугольной. Камеры разделены тонкими углубленными швами. С периферического края раковина слаболопастная, с устьевой поверхности — округло-овальная.

Распространение и возраст. Западная Сибирь; нижний готерив, зона *Speetoniceras versicolor*, слой с *Trachamina gyroidiniformis* — *Acruliammina pseudolonga* (редко).

Местонахождение и материал. Скважины северо-западной части Западно-Сибирской плиты, вскрывшие алясовскую свиту. 25 экземпляров, в основном деформированных.

#### Подсемейство HAPLOPHRAGMOIDINAE Мауиц, 1952

Гаплофрагмоидины из верхнеюрских и неокомских отложений Сибири представлены тремя морфологическими типами раковин. К первому относятся эволютные и почти эволютные, часто билатерально симметричные, уплощенные (В:Д от 1/4 до 1/6) раковины с укороченным щелевидным ареальным устьем (р. *Evolutinella* Мятлик, 1971).

Второй тип составляют наиболее широко распространенные инволютные и полуэволютные, умеренно уплощенные (В:Д от 1/3 до 1/4) раковины (рис.). Они в зависимости от сочетания таких признаков, как положение устья и степень инволютности, могут принадлежать, по крайней мере, к четырем родам: *Haplophragmoides* Cushman, 1910; *Pseudohaplophragmoides* Saiduva, 1981; *Labrospira* Hoeglund, 1947 и *Loculorbis* Alekseitchik, 1973 (= *Labrospira* Hoeglund, 1947) [3, 90, 112, 116]. Поскольку в ископаемом состоянии у большинства раковин этого типа положение устья неразлично или смещено из-за деформации, не существует единого мнения о их родовой принадлежности. Последнее обстоятельство осложнено неизученностью предела изменчивости признака инволютности на уровне вида.

И, наконец, третий тип образуют преимущественно инволютные, более или менее вздутые (В:Д от 1/2 до 1) раковины с ареальным удлиненным щелевидным устьем, сочетающимся с низкой и широкой арковидной устьевой поверхностью (р. *Cribrostomoides* Cushman, 1910).

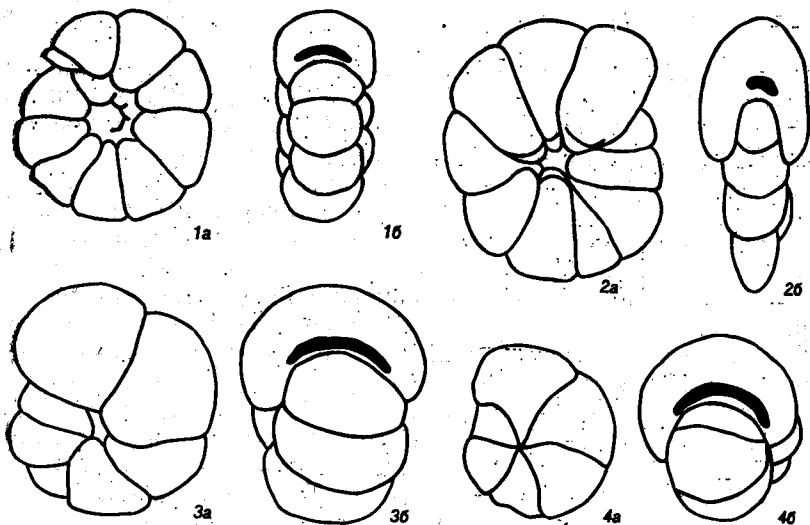


Рис. Схема основных диагностических признаков родов *Haplophragmoides* Cushman, 1910 (1), *Labrospira* Hoeglund, 1947 (2) и *Cribrostomoides* Cushman, 1910 (3, 4).

1a—4a — вид раковин с боковой стороны; 1б—4б — форма раковин с периферического края; 1б — овальная, 2б — овально-приостренная, 3б — широко-овальная, 4б — округлая

### *EVOLUTINELLA* Mjatljuk, 1971

*Evolutinella*: Мятлюк, 1971, с. 23.

*Schleiferella*: Булыникова, 1971, с. 13—14.

*Labrospira*: Подобина, 1978 (частично), с. 49—50.

### *Evolutinella tota* Dain, 1980

Табл. 17, фиг. 3

*Schleiferella* ? *tota*: Дайн, 1980, с. 38, табл. 6, фиг. 9.

Голотип — ВНИГРИ, № 520/106. Западно-Сибирская равнина, Салехардская скв. 1-КС, гл. 394—395 м. Нижний кимеридж.

Диагноз. Раковина средних размеров, слабоуплощенная с широкоокруглым периферическим краем. Образована двумя—двумя с половиной оборотами спирали. Последний оборот заметно объемлет предшествующий, состоит из 8—10 высокотрапезиевидных камер, почти равных по высоте и увеличивающихся в ширину. Швы радиальные, слабоуглубленные. Стенка кварцевая, гладкая с кремнистым цементом. Устьевая поверхность арковидная, достаточно высокая. Устье ареальное.

Замечание. Вид отнесен к роду *Evolutinella* условно, поскольку в его популяциях встречаются экземпляры со слабо-выраженным стрептоспиральным навиванием камер на ранней

стадии роста [37]. Возможно, эти отклонения не являются аномальными для некоторых представителей отряда *Ammodiscida* (см. семейство *Ammodiscidae*).

Распространение и возраст. Западная Сибирь, кимеридж.

Местонахождение и материал. Небольшое число раковин на севере и северо-востоке равнины (Ярайнерская, Север-Хохряковская, Геофизическая, Южно-Мангазейская, Мангазейская, Турковская разведочные площади); георгиевская, абалакская, сиговская, яновстанская свиты. 20 раковин.

*Evolutinella schleiferi* (Schagovskaja), 1966

Табл. 17, фиг. 2; табл. 75, фиг. 1

Синонимика: см. Булыникова, 1986, с. 123 [5].

Голотип — ВНИИОкеангеология, № 1009/42. Север Средней Сибири, Южно-Тигянская скв. 280-К, гл. 185,6 м. Волжский ярус, средний подъярус, слой со *Spiroplectamina vicinalis* — *Kutsevella labythnangensis* (= *S. vicinalis* — *Dorothia tortuosa*).

Диагноз. Раковина небольшая округлая, со слаболопастным почти ровным периферическим краем, равномерно уплощенная. Эволютная, с симметричными боковыми сторонами. Образована двумя, неполными тремя оборотами спирали. В последнем обороте резко возрастают размеры 12—16 трапецевидных камер. Септальные швы тонкие, почти поверхностные. Стенка мелкозернистая, гладкая, кварцевая, цемент кремнистый. Устье ареальное, у устьевой поверхности.

Распространение и возраст. Западная Сибирь; средний и верхний подъярусы волжского яруса. Север Средней Сибири; средний и верхний подъярусы волжского яруса, нижняя часть берриаса, зоны *Chetaites sibiricus*, *Hectoroceras kochi*.

Местонахождение и материал. Многие скважины западной части Западно-Сибирской плиты; даниловская, тутлеймская, мулымьинская, марьяновская свиты. Енисей-Хатангский прогиб; паксинская свита. Часто, в скоплениях. Многочисленные пиритизированные раковины, слабдеформированные.

*Evolutinella volossatovi* (Schagovskaja), 1966

Табл. 16, фиг. 4—8; табл. 17, фиг. 5; табл. 75, фиг. 2

*Haplophragmoides* ? *volossatovi*: Шаровская, 1966, с. 63—65, табл. V, фиг. 1—4.

*Schleiferella volossatovi*: Булыникова, 1973, с. 83—84, табл. V, фиг. 6, 8, 9.

Голотип — ВНИИОкеангеология, № 1009/46. Север Средней Сибири, Енисей-Хатангский прогиб, Малохетская скв. 10, гл. 926—933,7 м. Верхний подъярус волжского яруса.

Диагноз. Раковина средних размеров, округлая с лопастным периферическим краем, умеренно уплощенная с боковых

сторон, асимметричная; образована полутора-двумя оборотами спирали, почти или полностью эволютная. В последнем обороте семь-девять субтреугольных камер, разделенных углубленными тонкими радиальными швами. Стенка тонкозернистая, кварцевая. Устье ареальное, щелевидное, у основания устьевой поверхности последней камеры.

Распространение и возраст. Средняя Сибирь, северная часть; средний, верхний подъярус волжского яруса. Западная Сибирь; верхний подъярус волжского яруса; вид-индекс одноименных слоев. Широко распространен.

Местонахождение и материал. См. [5].

### *Evolutinella emeljanzevi* (Schleifer), 1966

Табл. 17, фиг. 4; табл. 75, фиг. 3—6

Синонимика: см. Булыникова, 1986, с. 123 [5].

Голотип — ВНИИОкеангеология, № 1009/38. Север Средней Сибири, Южный Тигян, скв. 263-К, гл. 168—174 м. Волжский ярус.

Диагноз. Раковина крупная с лопастным периферическим краем, умеренно уплощенная, почти эволютная, чаще с симметричными боковыми сторонами. С периферического края овально-вытянутая. Образована двумя—тремя с половиной оборотами спирали, в последнем обороте 11—14 трапециевидных камер, плавно увеличивающихся в размерах. Швы слабоуглубленные. Стенка от средне- до крупнозернистой, кварцевая. Устье ареальное, у основания устьевой поверхности.

Распространение и возраст. Западная Сибирь, север Средней Сибири (Енисей-Хатангский прогиб); волжский ярус. Вид наиболее многочислен в пограничных отложениях юра — мел севера Средней Сибири (зоны *Craspedites taimyrensis*, *Chetaites chetae*, *Ch. sibiricus*, слои с *Trochammina septentrionalis*, *Ammodiscus veteranus* — *Evolutinella volossatovi*) и в верхнем подъярусе волжского яруса западной Сибири (слон с *A. veteranus* — *E. volossatovi*).

Местонахождение и материал. Западно-Сибирская плита, бортовые части; даниловская, тутлеймская, мулымьинская, яновстанская свиты. Енисей-Хатангский прогиб, естественные выходы пород волжского яруса и низов берриаса; паксинская свита. Массовые скопления. В основном деформированные раковины.

### *Evolutinella fimbriata* (Scharovskaja), 1968

Табл. 76, фиг. 1

*Haplophragmoides fimbriatus*: Шаровская, 1968, с. 110—112, табл. I, фиг. 1, 2 а—в.

Голотип — ВНИИОкеангеология, № 1009/34. Север Средней Сибири, Енисей-Хатангский прогиб, Малохетская скв. 10,

гл. 924—927 м. Берриас, зоны *Chetaites sibiricus*, *Hectoroceras kochi*, слои с *Trochammina rosaceaformis* — *Evolutinella fimbriata*.

Диагноз. Раковина очень маленькая, округлая, с приостренным лопастным периферическим краем; эволютная с симметричными боковыми сторонами, образована полутора—двумя с половиной оборотами спирали. В последнем обороте 8—11 субтреугольных камер. Септальные швы слабоуглубленные дуговидно-изогнутые или прямые. Стенка тонкозернистая, кварцевая. Устье ареальное, у основания устьевой поверхности.

Замечание. Вид отнесен к роду *Evolutinella* на основании эволютности раковины и септального положения фораменов. Устье из-за неудовлетворительной сохранности материала неразлично.

Распространение и возраст. Средняя Сибирь, северо-западная часть, Енисей-Хатангский прогиб; Западная Сибирь, северо-восточная часть, Туруханская, Ермаковская разведочные площади; берриас, слои с *Trochammina rosaceaformis*.

Местонахождение и материал. Единичные скважины. 23 раковины.

*Evolutinella grandis* (Romanova), 1955

Табл. 76, фиг. 6; табл. 77, фиг. 1, 2; табл. 109, фиг. 1

*Pseudocyclammina grandis*: Романова, 1955, с. 11, табл. I, фиг. 7, 8 [6].

*Haplophragmoides ? grandis*: Шаровская, 1966, с. 57—58, табл. IV, фиг. 1.

*Cribrostomoides grandis*: Булынникова, 1973 (частично), с. 80—81, табл. VIII, фиг. 1, 2 а, б; табл. IX, фиг. 1 а, б; 2, 3 а—в.

Голотип — ВСЕГЕИ, № 4. Западно-Сибирская равнина, Тюменская опорная скв. 1, гл. 1295—1296 м. Нижний валанжин, ахская свита.

Диагноз. Раковина крупная, округлая с лопастным периферическим краем; умеренно уплощенная, полуэволютная, часто с симметричными боковыми сторонами, образована двумя—двумя с половиной оборотами спирали, резко увеличивающимися в ширину. Начальная камера скрыта первым оборотом. В последнем обороте 13—16 узкотрапецевидных камер. Септальные швы двуконтурные, поверхностные, у деформированных форм тонкие углубленные. Положение фораменов септальное. Стенка мелкозернистая, кварцевая со значительной примесью кремнистого материала. Устье неразлично.

Распространение и возраст. Западная Сибирь, преимущественно центральная, южная, реже северо-восточная части; нижний валанжин, зона *Temnoptychites insolutus*; слои с *Cribrostomoides infracretaceous* — *C. ? sinuosus*, нижний готерив, зона *Homolsomites bojarkaensis*.

Материал. Более 40 раковин.

*Evolutinella nascens* (Кузина), 1967

Табл. 76, фиг. 2—5

*Haplophragmoides nascens*: Кузина, 1967, с. 53, табл. I, рис. 7, 8.

*Schleiferella nascens*: Булынникова, 1973, с. 84—85, табл. V, фиг. 1—5, 7.

*Loculorbis nascens*: Мятлюк, 1984, с. 79—80, табл. I, фиг. 3, 4.

Голотип — ВНИГРИ, № 610/3. Западно-Сибирская равнина, Медведевская скв. 24, гл. 1017—1028,3 м. Нижний готерив, зона *Speetonicerias versicolor*, слои с *Trochammina gyroidiniformis* — *Acruliammina pseudolonga*, ахская свита.

Диагноз. Раковина маленькая, округлая, с лопастным периферическим краем, умеренно сжатая с боковых сторон, чаще эволютная с выпуклой начальной камерой, асимметричная. С периферического края овально-закругленная. Образована полутора-двумя оборотами спирали, в последнем обороте шесть-восемь субшаровидных камер, резко увеличивающихся в ширину по сравнению с камерами первого оборота. Септальные швы тонкие, углубленные. Стенка тонкозернистая, преимущественно кремнистого состава. Устье неразлично. Положение фораменов ареальное.

Распространение и возраст. Западная Сибирь, северо-западная и локально центральная части; нижний готерив; иногда обильные популяции в верхах слоев с *Trochammina gyroidiniformis* — *Acruliammina pseudolonga*. Среднее Поволжье, Ульяновская обл.; готерив, нижняя часть зоны *Speetonicerias versicolor*.

Материал. Большое число раковин.

РОД *HAPLOPHRAGMOIDES* Cushman, 1910

*Haplophragmoides*: Cushman, 1910 (частично), с. 99; 1933, с. 135, табл. 4, 5; Алексейчик-Мицкевич, 1973 (частично), с. 25, табл. 2, фиг. 1, 2а—в; 1981, с. 26, табл. 4, фиг. 6; Саидова, 1981, с. 17.

*Labrospira*: Hoeglund (частично), 1947, с. 141.

Типовой вид — *Nonionina canariensis* d'Orbigny, 1839; современный, Канарские острова.

Замечание. В составе рода *Haplophragmoides* Cushman, 1910, рассматриваются, исходя из основных систематических признаков типового вида [107], формы, имеющие более или менее симметричные инволютные или почти инволютные раковины с уплощенностью 1/3—1/4, ареальным положением фораменов и, в основном, с неясным положением устья.

Не исключается принадлежность некоторых из них к роду *Pseudohaplophragmoides* Saïdova, 1981 [90], если при дальнейших исследованиях гаплофрагмоидин на массовом современ-

ном материале хорошей сохранности не будет установлен факт смещения ареального устья к внутрикравеюму в пределах рода *Haplophragmoides* Cushman.

*Haplophragmoides magnus* Булыннаякова, 1962

Табл. 12, фиг. 2

*Haplophragmoides magnus*: Булыннаякова, 1962, с. 91, табл. I, фиг. 2 а, б.

Голотип — СНИИГГиМС, № 505. Западно-Сибирская равнина, Нарыкарская скв. 120, гл. 1876—1882 м. Келловей.

Диагноз. Раковина крупная, инволютная, слаболопастная в очертании, умеренно сжатая с боковых сторон (уплощенность 1/3). В последнем обороте семь-восемь субтреугольных камер, разделенных тонкими углубленными швами. В центре раковины неглубокое, но широкое пупочное углубление. Положение фораменов ареальное. Устье неразлично.

Распространение и возраст. Западная Сибирь, западная и центральная части; келловей.

Местонахождение и материал. Многие скважины, вскрывшие даниловскую, абалакскую и васюганскую свиты. Многочисленные деформированные раковины. Не более 7—10 экземпляров в образце.

*Haplophragmoides incognitus* Булыннаякова, sp. nov.

Табл. 13, фиг. 2; табл. 14, фиг. 1—4

Название вида — от *incognitus* (лат.) — неизвестный.

Голотип — СНИИГГиМС, № 1Б/13-51. Север Средней Сибири, Западно-Пясинская скв. 2, гл. 163,3 м. Оксфорд — кимеридж (?).

Описание. Раковина средних размеров, инволютная, от округлой до слаболопастной в очертании, с толщиной, составляющей 1/3 диаметра. Образована неполными двумя оборотами спирали, в последнем 9-10 камер треугольной формы с закругленной вершиной, очень плавно увеличивающихся в размерах. В центре раковины небольшой, но довольно глубокий пупок округлой формы. Швы радиальные, тонкие, слабоуглубленные, реже поверхностные. С периферического края форма раковины умеренно овальная. Стенка среднезернистая, состоит из зерен кварца, скрепленных кремнистым цементом. Устьевая поверхность последней камеры у менее деформированных экземпляров по форме высокоарковидная с высотой, незначительно превышающей ширину. Положение фораменов ареальное, у основания септальной поверхности. Устье неразлично.

Размеры (в мм): а) голотипа — Д 0,57; Д<sub>1</sub> 0,67; Т 0,2; Т : Д = 0,35; число камер в последнем обороте 9; б) 10 экземпля-

ров — Д 0,52—0,82; Д<sub>1</sub> 0,68—0,96; Т 0,19—0,28; Т : Д от 0,35 до 0,36; число камер в последнем обороте 9—10.

Изменчивыми признаками являются размеры раковин, степень углубленности септальных швов, реже их ширина (см. табл. 13, фиг. 2). Колебания степени уплощенности связаны, скорее всего, с деформацией раковин. У слабодеформированных экземпляров этот признак достаточно выдержан.

Сравнение. Новый вид наиболее близок по форме и размерам раковины, числу и форме камер к *Haplophragmoides volgensis involutus* Da in из волжских отложений европейской части СССР и Западной Сибири [34]. Отличается он от подвида Л. Г. Даин, особенно от его сибирских экземпляров, менее высокими камерами, менее шероховатой стенкой раковины и постоянством степени эволютности. В популяциях *H. incognitus* все раковины инволютные с симметричными боковыми сторонами. От *Haplophragmoides volgensis volgensis* M j a t l i u k [34] новый вид отличается также инволютностью раковин и менее лопастным очертанием периферического края.

Распространение и возраст. Западно-Сибирская равнина, Игримская площадь; оксфорд, абалакская свита. Средняя Сибирь, северо-западная часть, Западно-Пясинский участок; оксфорд — кимеридж (?), сиговская свита.

### *Haplophragmoides loeblichii* Da in, 1980

Табл. 13, фиг. 6, 7

*Haplophragmoides loeblichii*: Даин, 1980, с. 29, табл. 6, фиг. 2—4 [35].

Голотип — ВНИГРИ, № 520/103. Приполярный Урал, р. Толья, скв. 282, гл. 149 м. Верхи оксфорда — низы кимериджа.

Диагноз. Раковина маленькая или средних размеров, инволютная, иногда с тенденцией к эволютности на одной из боковых сторон. Образована полутора-двумя оборотами спирали, в последнем шесть-восемь треугольных камер. Швы радиальные, незначительно изогнутые, почти незаметны. Стенка состоит из зерен кварца различной величины; шероховатая. Форамены имеют ареальное положение. Устье неразлично или занимает внутрикраевое положение, что может быть следствием плохой сохранности раковины.

Распространение и возраст. Западная Сибирь; кимеридж, частично верхи оксфорда.

Местонахождение и материал. Многочисленные разрезы северо-запада, запада (п-ов Ямал), юго-запада, центра и востока равнины; даниловская, лопсинская, верхи мауруньинской, абалакская, сиговская, георгиевская свиты. Более 50 деформированных раковин.

*Haplophragmoides volgensis* Mjatliuk subsp. *inviolatus*  
Dain, 1972

Табл. 79, фиг. 1—3

*Haplophragmoides volgensis inviolatus*: Даин, 1972, табл. VIII, фиг. 6 а, б; [97]; Даин, Кузнецова, 1976, с. 35—37, табл. I, фиг. 4.

Диагноз. Раковина средних размеров, инволютная с тенденцией к эволютности; округлая в очертании, с периферического края овальная. В последнем обороте 9—10 узкотреугольных камер, разделенных поверхностными слабозаметными швами. В центре раковины углубленный пупок. Стенка со средне-грубозернистой поверхностью, кварцевая. Устье неразличимо.

Распространение и возраст. Европейская часть СССР, Кировская, Ульяновская обл.; средний подъярус волжского яруса, зона *Dorsoplanites panderi* и *Vergatites virgatus*. Западная Сибирь, восточный склон Полярного Урала; зона *Dorsoplanites panderi* и *Laugeites stschurovskii*. Вне СССР: Польша; волжский ярус.

Материал. Около 30 экземпляров различной сохранности.

РОД *LABROSPIRA* Hoeglund, 1947

*Labrospira*: Hoeglund, 1947 (частично), с. 141; Подобина, 1978 (частично), с. 49—50.

*Cribrostomoides*: Волошинова, Даин, 1959, в кн.: Основы палеонтологии, с. 187; Loeblich and Tappan, 1964 (частично), с. 225, Булыникова, 1973 (частично), с. 85.

*Loculorbis*: Алексейчик-Мицкевич, 1973, с. 33; 1981, с. 27. Типовой вид — *Haplophragmium crassimargo* Norman, 1892. Современный.

Диагноз. Раковина округлая, полуинволютная, уплощенность 1/3; со стороны периферического края овально-закругленная. Устьевая поверхность более или менее высокоарковидная, устье ареальное, короткое, окружено губами.

*Labrospira canuiformis* (Dain), 1972

Табл. 12, фиг. 6; табл. 15, фиг. 1, 6

*Haplophragmoides* ? *canuiformis*: Даин, 1972, с. 48—49, табл. XIII, фиг. 2, 3 а—в; табл. XIX, фиг. 2 [97].

Голотип — ВНИГРИ, № 520/41. Полярный Урал, Обская скв. 6, гл. 178—187 м. Нижний кимеридж.

Диагноз. Раковина средних размеров, полуинволютная, округлая, часто с асимметричными боковыми сторонами, умеренно уплощенная. Образована полутора-двумя оборотами спирали, в последнем 9—11 камер треугольной формы. Швы поверхностные, тонкие, слабо различимые. Стенка средне-грубозернистая, кварцевая. Форамены занимают ареальное положение. Устье неразличимо.

З а м е ч а н и е. Вид отнесен к роду *Labrospira* Н о е г л у н д, 1947 по сочетанию таких признаков, как тенденция раковин к эволютивности, степень уплощенности и ареальное положение фораменов [97, табл. VIII, фиг. 2 е; табл. XIX, фиг. 2 а, б].

Распространение и возраст. Западная Сибирь; нижний кимеридж (верхняя часть) — частично верхний кимеридж.

Местонахождение и материал. Повсеместно: даниловская, абалакская, лопсинская, георгиевская, точинская свиты. Большое число раковин. В образцах встречается очень часто.

*Labrospira ? mutabila* (Булыникова), 1973

Табл. 78, фиг. 4

*Cribrostomoides mutabilis*: Булыникова, 1973 (частично), с. 86—87, табл. VI, фиг. 1—2 а—в, 3.

Голотип — СНИИГГиМС, № 626. Западно-Сибирская равнина, Рязкинская скв. 4, гл. 1400—1406 м. Берриас, куломзинская свита.

Диагноз. Раковина средних размеров, полуэволютная (Д<sub>н.к</sub>: Д от 0,3 до 0,5), с асимметричными боковыми сторонами; периферический край слаболопастный. Образована двумя—тремя с половиной оборотами спирали; в последнем 11—13 тупотреугольных камер, разделенных поверхностными широкими швами. С периферического края овальная. Форамены занимают септальное положение. Устьевая поверхность высокая. Устье неразлично.

Распространение и возраст. Западная Сибирь, юго-западная часть; берриас? — нижняя часть валанжина; куломзинская свита.

Местонахождение и материал. См. [23].

РОД *CRIBROSTOMOIDES* Cushman, 1910

*Cribrostomoides*: Cushman, 1933, с. 135—136; 1948, с. 102; Маупс, 1952, с. 43—45; Волошинова, Даин, 1959 (частично), с. 197 [76]; Loeblich, Тарпан, 1964 (частично), с. 225; Булыникова, 1972 (частично), с. 49—50 [97]; Алексейчик-Мицкевич, 1973, с. 34; 1981, с. 27 [29]; Булыникова, 1973 (частично), с. 85.

*Cribrostomoides canui* (Cushman), 1929

Табл. 12, фиг. 4, 5

*Haplophragmoides canui*: Cushman, 1929, с. 133, табл. 4, фиг. 1 а, б; Пяткова, 1978, с. 18, фиг. 2, 3.

*Cribrostomoides canui*: Даин, 1972, с. 49, табл. VII, фиг. 3, 4; табл. VIII, фиг. 1 [97].

Экземпляр — ЗапСибНИГНИ, № 2160. Западно-Сибирская равнина, Нейтинская скв. 33, гл. 2716—2731 м. Келловей.

Диагноз. Раковина достаточно крупная, инволютная, уплощенность 1/2. В последнем обороте семь—девять треугольных камер почти одинакового размера, разделенных прямыми радиальными слабоуглубленными швами, образующими в центре раковины небольшое пупочное углубление. Периферический край округлый слаболопастный. Стенка кварцевая разнозернистая, цемент кремнистый. Устьевая поверхность арковидная широкая. Устье ареальное.

Распространение и возраст. Западная Сибирь; келловей, верхи оксфорда — низы кимериджа. Белоруссия; кимеридж — нижний подъярус волжского яруса. Вне СССР: Великобритания, ФРГ и Франция; оксфорд; Польша, нижний кимеридж; Северная Аляска, верхняя юра.

Местонахождение и материал. Западно-Сибирская равнина, ограниченное число разрезов; келловей северо-западной и центральной частей, верхи оксфорда — низы кимериджа северо- и юго-запада; даниловская, васюганская, абалакская свиты. Незначительное число раковин.

### *Cribrostomoides dolininae* Булыникова, 1972

Табл. 13, фиг. 1

*Cribrostomoides dolininae*: Булыникова, 1972, с. 50, табл. VII, фиг. 1, 2 а—в [97].

Голотип — СНИИГГиМС, № 563. Западно-Сибирская равнина, Покровская скв. 8, гл. 1695—1702 м. Верхний оксфорд, абалакская свита.

Диагноз. Раковина средних размеров, вздутая, уплощенность 2/3; инволютная или почти инволютная, асимметричная. Образована неполными двумя оборотами спирали, в последнем обороте шесть с половиной—семь высоких треугольных камер, плавно увеличивающихся в размерах. Швы прямые почти поверхностные. Периферический край округлый, слаболопастный. Стенка мелкозернистая, гладкая, кварцевая. Устье неразлично.

Распространение и возраст. Западная Сибирь, юго-западная часть; верхний оксфорд. Редкая форма.

Местонахождение и материал. Скважины Покровской площади; марьяновская свита. 30 экземпляров, больше половины деформированных.

### *Cribrostomoides mirandus* Даин, 1972

Табл. 13, фиг. 3, 4

*Cribrostomoides mirandus*: Даин, 1972, с. 51, табл. VIII, фиг. 4, 5 а—в; табл. V, фиг. 14, 15 а, б [97].

Голотип — ВНИГРИ, № 520/30. Полярный Урал, восточный склон, Лабытнангская скв. 71, гл. 345—349 м. Верхний оксфорд.

Диагноз. Раковина средних размеров инволютная, уплощенность 1/2. Образована двумя оборотами спирали; в последнем пять, реже шесть широкотреугольных камер. Периферический край слаболопастный, в очертании широкоэвальный. Швы четкие, углубленные. Стенка шероховатая, среднезернистая, состоит из зерен кварца с небольшой примесью кремнистого материала. Устье ареальное.

Распространение и возраст. Западная Сибирь, северо-западная и центральная части; верхний оксфорд, зона *Amoeboceras alternans* (верхняя часть).

Местонахождение и материал. Ограниченное число разрезов северо-западной и центральной частей равнины: Обской профиль, Верхне-Коликъеганская, Бахилловская площади; даниловская свита, верхняя подсвита васюганской свиты. В комплексах иногда более 100 раковин.

*Cribrostomoides* ? *kellogensis* Bulynnikova, sp. nov.

Табл. 81, фиг. 2, 3

Название вида — по местонахождению (пос. Келлог).

Голотип — СНИИГГиМС, № 1—Б/12-61. Западно-Сибирская равнина, Кыксинская скв. 1, гл. 1026—1031 м. Средний — верхний ? подъярус волжского яруса, яновстанская свита.

Описание. Раковина от средних до крупных размеров, инволютная, умеренно уплощенная, с более или менее симметричными боковыми сторонами и слаболопастным периферическим краем. Образована полутора неполными — двумя оборотами спирали, в последнем 9—11 треугольных выпуклых камер, постепенно увеличивающихся в высоту. В центре раковины концы камер не смыкаются и формируют достаточно большое округлое пупочное углубление, приоткрывающее одну-две камеры предшествующего оборота спирали. Швы углубленные тонкие. Сечение раковины с периферического края овально-закругленное. Устьевая поверхность последней камеры арковидная невысокая, типичная для раковин рода *Cribrostomoides*. Положение фораменов ареальное. Стенка раковины кварцевая, тонкозернистая, с примесью кремнистого материала, почти гладкая.

Размеры 5 экз. (в мм): Д 0,75—0,86; Д<sub>1</sub> 0,58—0,65; Т 0,19—0,29; Т : Д от 0,25 до 0,36. Изменчивость вида проявляется в колебании размеров и толщины раковины, числа камер в последнем обороте спирали, диаметра пупочного углубления.

Сравнение. Новый вид отнесен к роду *Cribrostomoides* с некоторой условностью из-за более значительной уплощенности раковины, допустимой для типичных крибростомоидесов. Однако это могло быть следствием деформации раковин; учесть

которую трудно из-за присутствия вида в одном разрезе, хотя и в достаточном количестве.

По размерам, форме камер, составу стенки вид во многом сходен с *Haplophragmoides ? nonioninoides* Reuss из аптальбских отложений Западной Сибири, но имеет несколько более уплощенную раковину, более открытый и углубленный пупок и более широкую низкую устьевую поверхность последней камеры, характерную для рода *Cribrostomoides*. От *Cribrostomoides infracretaceous* Mjatl. [71] отличается более низкими и узкими камерами, их числом в последнем обороте и несколько меньшими размерами раковин.

Распространение и возраст. Западная Сибирь, восточная часть; средний—верхний ? подъярусы волжского яруса; встречается совместно с *Ammodiscus zaspelovae* Kos.

Местонахождение и материал. См. голотип. Более 50 раковин удовлетворительной сохранности.

### *Cribrostomoides infracretaceous* (Mjatluk), 1973

Табл. 78, фиг. 3; табл. 80, фиг. 4, 5; табл. 109, фиг. 3, 4; табл. 110, фиг. 1, 2; табл. 111, фиг. 3

*Haplophragmoides nonioninoides*: Мятлюк, 1939, с. 40—41, табл. I, фиг. 1, а, б; 2, 3; 1973, с. 24, табл. 9, фиг. 4—6 [74]; Заспелова, 1948, с. 196; Романова, 1955, с. 8—10, табл. I, фиг. 3, 4.

*Recurvoides obskiensis*: Романова, 1960 (частично), табл. IV, фиг. 1 а, б [92].

*Cribrostomoides infracretaceous*: Мятлюк, 1973 (частично), с. 24, табл. 9, фиг. 4, 5 [74]; Булыникова, 1973, с. 90—92, табл. X, фиг. 1 а—в, 2, 3; табл. XI, фиг. 1 а, б; 2, 3 а, б.

Голотип—ВНИГРИ, № 618/48. Волго-Уральское между-речье, центральная часть. Нижний готерив, глобулиновые слои, зона *Leopoldia biassalensis*.

Диагноз. Раковина крупных и средних размеров, округлая, со слаболопастным периферическим краем, инволютная, иногда полуинволютная, асимметричная; уплощенность 1/2—1/3. Образована двумя оборотами спирали, в последнем 8—11 треугольных камер. Швы прямые, почти поверхностные, двуконтурные. Стенка кварцевая, мелко- и среднезернистая, гладкая или слабощероховатая. Устье ареальное, щелевидное.

З а м е ч а н и е. Вид изучен на материале, состоящем преимущественно из деформированных раковин, в результате чего истинная степень их уплощенности не установлена. Судя по некоторым изображенным экземплярам [74, табл. 9, фиг. 5 а, б], минимальная уплощенность *C. infracretaceous* не более 1/2, чаще 1/3 [74, табл. 9, фиг. 4 а, б], что более соответствует признаку рода *Haplophragmoides*. Вид сохранен в составе рода *Cribrosto-*

*moides* из-за отсутствия в популяциях, изучавшихся Е. В. Мятлюк, экземпляров, отвечающих по степени уплощенности наименее типичным представителям рода *Cribrostomoides*.

Распространение и возраст. Европейская часть СССР; валанжин, нижний готерив. Западная Сибирь; волжский ярус, берриас, нижний валанжин — нижний готерив. Север Средней Сибири; верхний подъярус волжского яруса (зона *Chetaites chetae*) — валанжин.

Местонахождение и материал. Юрские отложения на западе, юго-западе Западной Сибири; мулымьинская, тутлеймская свиты. В неокоме повсеместно; ахская, алясовская, мегнионская, куломзинская, тарская, вартовская, нижнехетская, суходудинская свиты. Большое число раковин.

### *Cribrostomoides* ? *sinuosus* Булыникова, 1973

Табл. 76, фиг. 7; табл. 77, фиг. 3; табл. 78, фиг. 1, 2; табл. 109, фиг. 2

*Cribrostomoides sinuosus*: Булыникова, 1973 (частично), с. 87—89, табл. VII, фиг. 1—3.

*Cribrostomoides grandis*: Булыникова, 1973 (частично), с. 87—89, табл. VIII, фиг. 2—3 а, б.

Голотип — СНИИГГиМС, № 797. Западно-Сибирская равнина, Покровская скв. 8, гл. 1568,8—1574,2 м. Валанжин, ахская свита.

Диагноз. Раковина от средних до крупных размеров, полуинволютная, с более или менее симметричными боковыми сторонами. Уплощенность  $1/2$ , у деформированных экземпляров  $1/2,5$ . Образована двумя с половиной оборотами спирали; в последнем 10—12 трапециевидных широких камер, разделенных почти поверхностными широкими прямыми швами. Периферический край слаболюстный. Стенка кварцевая, мелкозернистая. Устье неразличимо.

Замечание. Вид отнесен к роду *Cribrostomoides* Cushman, 1910 условно. По степени уплощенности раковины он отвечает одному из главных признаков этого рода, а по тенденций к эволютности напоминает *Labrospira* Hoeglund, 1947 [111]. Отдельные экземпляры вида имеют сходство с полуэволютными симметричными раковинами нетипичного представителя рода *Evolutinella* Mjatljuk, 1972 — *E. grandis* (Rom.) [72].

Распространение и возраст. Западная Сибирь; валанжин, нижний готерив. Широко распространен в нижневаланжинских отложениях зоны *Temnoptychites insolutus* (слой с *Cribrostomoides infracretaceous* — *C. (?) sinuosus*).

Местонахождение и материал. Многие скважины западной, юго-западной, южной и центральной частей Западной Сибири; ахская, вартовская, мегнионская свиты. Более 100 раковин, преимущественно деформированных.

*Cribrostomoides volubilis* (Romanova), 1960

Табл. 79, фиг. 4, 7, 8

*Haplophragmoides volubilis*: Романова, 1960, в кн.: Стратиграфия и фауна. . . , с. 51—52, табл. II, фиг. 10 а—в, 11 а—в.

Голотип — ВСЕГЕИ. Западно-Сибирская равнина, Тюменская опорная скважина 1, гл. 1315,8—1322 м. Берриас, ахская свита.

Диагноз. Раковина небольшая, шаровидная, округлая в очертании, инволютная. В последнем обороте шесть—восемь треугольных камер. Септальные швы радиальные, тонкие поверхностные. В центре боковых сторон небольшое округлое пупочное углубление. Септальная поверхность последней камеры широкоарковидная, низкая, типичная для рода *Cribrostomoides*. Стенка кварцевая, тонкозернистая. Устье ареальное.

Замечание. Голотип вида, выбранный В. И. Романовой, имеет существенно деформированную раковину, поэтому при авторском описании вида истинные диагностические признаки достаточно не отражены.

Распространение и возраст. Западная Сибирь, западные и северо-восточные районы; средний — верхний подъярусы волжского яруса — нижняя часть берриаса.

Местонахождение и материал. Тюменская и Кыксинская разведочные площади, ахская и яновстанская свиты. Более 30 раковин удовлетворительной сохранности.

*Cribrostomoides umbonatus* (Romanova), 1960

Табл. 81, фиг. 1; табл. 82, фиг. 3; табл. 83, фиг. 6, 7; табл. 111, фиг. 1, 2

*Haplophragmoides umbonatus*: Романова, 1960, с. 52—53, табл. III, фиг. 2 а, б [92].

Голотип — ВСЕГЕИ. Западно-Сибирская равнина, Покровская скв. 3, гл. 1441,2—1449,3 м. Валанжин, ахская свита.

Диагноз. Раковина средних размеров, округлая, инволютная, симметричная с почти ровным периферическим краем; уплощенность  $1/2—1/3$ . Образована двумя оборотами спирали, в последнем 8—10 закругленно-треугольных камер, разделенных прямыми тонкими слабоуглубленными швами. Стенка мелкопесчаная, кварцевая, толстая. Устьевая поверхность последней камеры низкая, широкоарковидная. Устье ареальное.

Распространение и возраст. Западная Сибирь, юго-западная и южная части; берриас, нижний валанжин. Редкая форма.

Материал. 15 раковин.

*Cribrostomoides romanovae* Булынная, 1971

Табл. 82, фиг. 1, 2, 4; табл. 83, фиг. 5

*Haplophragmoides latidorsatus*: Романова, 1955, с. 10—11, табл. I, фиг. 5, 6; 1960, с. 53, табл. III, фиг. 1 а, б [92].

*Cribrostomoides romanovae*: Булынная, 1971, с. 6—9, фиг. 1—4.

Голотип — СНИИГГиМС, № 730. Западно-Сибирская равнина, Медведевская скв. 21, гл. 815—821 м. Нижний готерив, слои с *Trochammina guroidiniformis* — *Acruliammina pseudolonga*, ахская свита.

Диагноз. Раковина от средних до крупных размеров, инволютная, субсферическая, округлая в очертании; слаболопастная; уплощенность 1/1,3. Образована полутора-неполными двумя оборотами спирали, в последнем шесть с половиной—восемь с половиной треугольных камер, разделенных слабоизогнутыми радиальными швами. Стенка толстая, состоит из зерен кварца, скрепленных аморфным кремнистым материалом. Устьевая поверхность последней камеры подковообразная, широкая. Устье ареальное в виде удлиненной, иногда слабоволнистой щели.

Распространение и возраст. Западная Сибирь, западная часть; берриас, валанжин, нижний готерив, ахская свита. Редкая форма.

Материал. Около 50 раковин различной сохранности, преимущественно деформированных.

*Cribrostomoides concavoides* Булынная, 1971

Табл. 83, фиг. 1—4

*Cribrostomoides concavoides*: Булынная, 1971, с. 9—12, табл. II, фиг. 1—8.

*Cribrostomoides uralensis*: Мятлюк, 1973, с. 25, табл. 9, фиг. 8—11.

Голотип — СНИИГГиМС, № 766. Западно-Сибирская равнина, Добринская скв. 3, гл. 1102,1—1107,8 м. Готерив, комплекс с *Cribrostomoides concavoides*.

Диагноз. Раковина маленькая, инволютная, округлая, почти ровная в очертании; уплощенность 1/2 и более. Образована двумя оборотами спирали, в последнем пять с половиной—семь камер субтреугольной формы, разделенных прямыми слабоуглубленными швами. С периферического края широкоовальная. Стенка мелкопесчаная, кварцевая с кремнистым цементом, эластичная. Устьевая поверхность низкая, арковидная. Устье ареальное, часто неразлично.

Распространение и возраст. Западная Сибирь, центральная и северо-восточная части; нижний готерив, слои с

*Cribrostomoides concavooides*. Прикаспийская впадина, Большеземельская тундра; баррем, апт (редко).

Материал. Большое число преимущественно деформированных раковин.

Подсемейство АММОВАКУЛИТИНАЕ Alekseitchik, 1981

РОД *BULBOBACULITES* Maуnc, 1952

*Haplophragmium*: Loeblich and Tappan (частично), с. 244; Булыннаякова, 1971, с. 55—62; Даин, Булыннаякова, 1972, с. 68 [97]; Алексейчик-Мицкевич, 1973, с. 38; Даин, Кузнецова, 1976, с. 43; Подобина, 1978, с. 61—62.

*Bulbobaculites*: Maуnc, 1952, с. 47; Яковлева, 1982, с. 93.

*Аммобасулинус*: Саидова, 1975, с. 90; 1981, с. 18.

Диагноз. Раковина биморфная стрептоспиральная на ранней стадии роста, однорядная — на поздней. Стенка простая, однослойная, агглютинированная. Устье простое, терминальное.

*Bulbobaculites pokrovkaensis* (Козырева), 1972

Табл. 24, фиг. 3—7

*Haplophragmium pokrovkaensis*: Козырева, 1972 (частично), с. 68, табл. XVIII, фиг. 1—5 [97].

Голотип — ВНИГРИ, № 521/5. Западно-Сибирская равнина, Колпашевская скв. 2, гл. 2345 м. Нижний кимеридж, георгиевская свита (верхняя часть).

Диагноз. Раковина маленькая, биморфная. В начальном стрептоспиральном отделе в видимом обороте три-четыре камеры треугольной формы, скрывающих первый сокращенный клубок из двух камер и начальную камеру. Выпрямленный отдел состоит из двух-трех закругленно-прямоугольных камер, увеличивающихся только в высоту. Последняя камера в виде колпачка, швы прямые углубленные. Стенка гладкая, кварцевая с большим количеством кремнистого материала. Устьевая поверхность приостренная. Устье простое, терминальное.

Распространение и возраст. Западная Сибирь; верхний оксфорд, нижний кимеридж.

Местонахождение и материал. Повсеместно в зоне развития кимериджских отложений; абалакская, даниловская, георгиевская, сиговская свиты. До 30—40 раковин в образце.

*Bulbobaculites elongatum* (Daин), 1973

Табл. 24, фиг. 8—10

*Haplophragmium elongatum*: Даин, 1972, с. 69—71, табл. XVIII, фиг. 8—10 [97].

Голотип — ВНИГРИ, № 520/48. Полярный Урал, восточный склон, Лабытнангская скв. 12, гл. 242—244 м. Средний подъярус волжского яруса, зона *Laugeites groenlandicus*.

Диагноз. Раковина небольшая, палочковидная, биморфная с хорошо развитым однорядным отделом. Ранний спиральный отдел образует клубок с четырьмя видимыми камерами. Однорядный состоит из трех—шести камер; их ширина равна диаметру камер начального отдела, а высота — почти равна. Швы тонкие, углубленные, несколько изогнуты на ранней стадии роста, прямые — в однорядном отделе. Стенка шероховатая, грубозернистая, кварцевая. Устье конечное простое.

Распространение и возраст. Западная Сибирь, верхи кимериджа (частично) — средний подъярус волжского яруса.

Местонахождение и материал. Северо-западные, западные, юго-западные, северо-восточные разрезы Западно-Сибирской плиты; даниловская, тутлеймская (частично), марьяновская свиты. Большое число раковин.

*Bulbobaculites scabrum* (Булынникова), 1971

Табл. 84, фиг. 1, 2, 5

*Haplophragmium scabrum*: Булынникова, 1971, с. 56—57, табл. I, фиг. 1—3.

Голотип — СНИИГГиМС, № 792. Казахстан, Октябрьская скв. 2, гл. 1322—1328. Берриас, куломзинская свита.

Диагноз. Раковина средних размеров, удлиненная. В раннем клубкообразном отделе три видимых камеры, разделенных прямыми, слабо заметными швами; в однорядном — три-четыре прямолинейно нарастающие камеры, увеличивающиеся по мере роста в высоту. Последняя камера имеет форму усеченного конуса. Стенка очень грубозернистая, толстая, кварцевая, состоит из острооскользящих плотноцементированных зерен. Устье простое, терминальное.

Распространение и возраст. Западная Сибирь, западная, юго-западная части; берриас, зона *Surites analogus*.

Местонахождение и материал. Скважины Добринской, Октябрьской и других разведочных площадей; ахская, куломзинская свиты. Единичные раковины.

*Bulbobaculites indigenus* (Булынникова), 1971

Табл. 84, фиг. 3, 6—9

*Haplophragmium indigenus*: Булынникова, 1971, с. 61—62, табл. I, фиг. 4—9.

Голотип — СНИИГГиМС, № 740. Западно-Сибирская равнина, Медведевская скв. 21, гл. 815—821 м. Нижний готерив, слои с *Trochammina gyroidiniformis* — *Acruliammina pseudolonga*, ахская свита.

Диагноз. Раковина небольшая или средних размеров, биморфная, прямая. В раннем спиральном отделе, состоящем из шести-семи камер, видны три закругленно-треугольные камеры, разделенные углубленными слабо изогнутыми швами. В однорядном отделе три-четыре прямоугольные камеры, одинаковые по ширине и несколько зауженные по сравнению с диаметром раннего отдела. Устьевая часть последней наиболее высокой камеры закруглена. Стенка раковины тонкозернистая, кварцевая с примесью аморфного кремнезема. Устье терминальное, округлое.

Распространение и возраст. Западная Сибирь, западная и юго-западные части, нижний готерив. Часто, в небольшом количестве.

Местонахождение и материал. Скважины Медведевской, Добринской и Покровской разведочных площадей. Прибрежно-, мелководно-морские и солоноватоводные фации, ахская, карбанская свиты. 25 экземпляров.

### *Bulbobaculites concinnus* (Булыникова), 1971

Табл. 84, фиг. 4

*Haplophragmium concinnus*: Булыникова, 1971, с. 60—61, табл. II, фиг. 1, 2.

Голотип — СНИИГГиМС, № 690. Западно-Сибирская равнина. Тюменская скв. 1, гл. 1273,3—1280,4 м. Валанжин — нижний готерив, ахская свита.

Диагноз. Раковина средних размеров, прямая, удлиненная. Спиральный отдел состоит из пяти-семи клубкообразно нарастающих камер. В последнем обороте две-три субшаровидные камеры, разделенные слегка изогнутыми швами. Выпрямленный однорядный отдел включает три-четыре камеры. Последние одна-две имеют бочонкообразную форму с высотой, превышающей ширину. Стенка кварцевая, неоднородная по размеру зерен, слабошероховатая. Устье терминальное.

Распространение и возраст. Западная Сибирь, западная и юго-западная части; валанжин, нижний готерив. Редкая форма.

Местонахождение и материал. Скважины Тюменской и Покровской разведочных площадей. Мелководные морские фации. 40 раковин различной сохранности.

### *Bulbobaculites taigaensis* Levina, sp. nov. \*

Табл. 24, фиг. 1

Голотип — ЗапСибНИГНИ, № 428. Западно-Сибирская равнина, Игримская скв. 114, гл. 1654—1657 м. Келловой — нижний оксфорд.

\* Вид описан В. И. Левиной.

Таблица I

Параметры раковин *Bulbobaculites taigaensis* Levina, sp. nov.

Экземпляр	Высота, мм		Диаметр клубка, мм	Толщина одно-рядной част., мм	Число камер	
	раковины	однорядной части			в одно-рядной части	общее
Голотип № 428	1,05	0,78	0,45×0,27	0,34	3	7
Паратип:						
наибольший	1,50	1,20	0,3×0,3	0,51	4	8
средний	1,35	1,06	0,3×0,3	0,39	5	9
„	1,06	0,75	0,4×0,3	0,45	3	7
наименьший	0,72	0,45	0,32×0,27	0,32	3	7

Описание. Раковина крупная, удлиненная; начальная часть шире однорядной. Поперечное сечение однорядного отдела округлое. Высота раковины в 3 раза больше толщины. Начальная часть клубковидно-свернутая, состоит из четырех-пяти угловато-округлых камер, образующих полтора оборота. Первые две-три камеры лежат в одной плоскости, последние одна-две расположены под некоторым углом к первой камере. Последняя камера начального отдела значительно крупнее первых. В однорядном отделе две—четыре, реже пять неправильно-цилиндрических камер, мало увеличивающихся по мере роста раковины. Ширина их превышает высоту. Последняя камера вздутая, оттянутая в устьевой части. Швы тонкие, углубленные, неровные. Поверхность раковины бугорчатая. Стенка грубозернистая, агглютинированная крупными зернами кварца, халцедона, пирита; цемент железисто-кремнистый. Полость раковины часто заполнена пиритом. Устье простое, округлое, конечное.

Изменчивость проявляется в колебании размеров раковины (от 0,72 до 1,5 мм — табл. I), числа камер однорядного отдела (от 3 до 5). В различных фациях отмечается изменение характера зернистости стенки от средне- до грубозернистой.

Сравнение. *Bulbobaculites taigaensis* отличается от видов, известных из юрских отложений Западной Сибири, крупной массивной раковинной, а от других юрских видов (*B. ? suprajurassica* Schwager из оксфорда Германии и *B. suprajurassica* Mjatluk [68] из волжских отложений Поволжья) — массивной клубковидной начальной частью, грубозернистой стенкой раковины и углубленными швами.

Распространение и возраст. Западная Сибирь; келловей, нижний оксфорд.

Местонахождение и материал. Березово-Игримский, Кондинский, Красноленинский, Карбашский, Сургутский, Нижневартовский, Ямальский районы; абалакская, даниловская, васюганская свиты. До 50 раковин в образце. Сохранность удовлетворительная.

Таблица II

Параметры раковин *Bulbobaculites praeelongatum* Levina, sp. nov.

Экземпляр	Высота, мм		Диаметр клубка, мм	Толщина однорядной части, мм	Число камер	
	раковины	однорядной части			в однорядной части	общее
Голотип № 2173	0,57	0,50	0,12×0,7	0,15	4	8
Оригинал	0,57	0,46	0,12×0,11	0,15	4	8
"	0,33	0,28	0,06×0,05	0,09	4	8
"	0,52	0,44	0,09×0,08	0,09	5	9

*Bulbobaculites praeelongatum* Levina, sp. nov. \*

Табл. 24, фиг. 2

Голотип — ЗапСибНИГНИ, № 2173, Западно-Сибирская равнина, Пунгинская скв. 520, гл. 1762,3—1766,3 м. Келловей.

Описание. Раковина очень маленькая, тонкая, вытянутая, с клубковидным ранним отделом и почти прямым однорядным. Начальный отдел состоит из четырех-пяти камер, беспорядочно расположенных по отношению к оси раковины, однорядный — из четырех, реже трех или пяти камер, растущих неравномерно. Так, последняя камера может оказаться меньше предшествующей. В связи с этим боковые стороны раковины могут быть слегка изогнутыми. Камеры неправильно-сферической формы на ранней стадии и плотно примыкающие одна к другой округло-четырёхугольные — на поздней. Швы тонкие, неровные, слабоуглубленные. Стенка кварцевая, тонкозернистая. Полости камер заполнены пиритом. Устье конечное на слегка оттянутой устьевой поверхности, округлое.

Изменчивость проявляется в колебании размеров (от 0,33 до 0,57 мм — табл. II), степени уплощенности раковины (от 0,2 до 0,3 мм), числа камер в однорядном отделе. Остальные признаки устойчивы.

Сравнение. Наиболее близок описываемый вид к *Bulbobaculites elongatum* D a i n из средневожских отложений Западной Сибири [97]. Сходство заключается в форме удлиненной раковины, характере сочленения камер. Отличие между ними состоит в меньшем числе камер у нового вида как в клубковидной (4 против 5—6), так и в однорядной (3—5 против 4—7) частях. Кроме того, раковины *B. praeelongatum* обладают более тонкозернистой стенкой. От *B. taigaensis* Levina, sp. nov. из низов верхней юры Западной Сибири и *B. pokrovkaensis* Kos. [97] из кимериджских отложений описываемый вид отличается маленькой тонкой раковинной.

\* Вид описан В. И. Левиной.

Распространение и возраст. Западная Сибирь; келловей, нижний оксфорд.

Местонахождение и материал. Березовский район, абалакская свита. До 50 раковин в образце. Обнаружен только в мелкой фракции пород.

*Bulbobaculites proluxus* (Булынникова), 1971

Табл. 85, фиг. 1—3

*Ammobaculites subaequalis*: Романова, 1960, с. 56, табл. V, фиг. 2, 3, 4 а, б [92].

*Haplophragmium proluxus*: Булынникова, 1971, с. 57—60, табл. II, фиг. 3—5.

Голотип — СНИИГГиМС, № 689. Западно-Сибирская равнина. Ярская скв. 3, гл. 1284,3—1289 м. Нижний готерив, ахская свита.

Диагноз. Раковина крупная, удлиненная; ширина камер однорядного отдела почти равна диаметру камер спирального. Неправильная клубковидная спираль раннего отдела образована чаще пятью камерами; две-три камеры видимые, одна из них может принадлежать первому обороту. Швы углубленные почти прямые. В однорядном отделе три камеры прямоугольной формы с округлыми боковыми сторонами. Последняя камера куполовидная, по высоте в 1,5 раза превышает ранние. Стенка толстая, грубозернистая. Устье терминальное, большое, округлое.

Распространение и возраст. Западная Сибирь, юго-западная часть; валанжин — нижний готерив, ахская свита. Редкая форма.

Местонахождение и материал. См. голотип. 15 экземпляров.

#### РОД *AMMOBACULITES* Cushman, 1910

*Ammobaculites*: Cushman, 1910, с. 114 (частично); 1928, 1948 (частично); Maupс, 1952, с. 43; Волошинова, Даин, 1959 (частично), с. 187 [76]; Loeblich, Tarpan, 1964 (частично), с. 239; Алексейчик-Мицкевич, 1981, с. 28, табл. V, фиг. 8 [29]; Саидова, 1981, с. 17.

Замечание. Л. Г. Даин [35] исключила из состава рода *Ammobaculites* Cushman, 1910, виды, имеющие раковины, сдавленные перпендикулярно оси навивания, со слабо- или неразвитой однорядной частью и камерами, подразделенными едва заметными пережимами, по крайней мере на стадии формирования первого оборота спирали. Они вошли в состав нового рода *Kutsevella* Daин, 1973 [35].

К новому роду Л. Г. Даин были отнесены виды *Ammobaculites scharovskajae* Булун. и *A. praegoodlandensis* Булун., а также некоторые европейские аммобакулитесы [35, с. 137]. Упо-

мянутые виды имеют лишь один сходный с куцевеллами признак — это сохранение у последних двух-трех камер однорядной части направления развертывающейся спирали. По другим диагностическим признакам они соответствуют роду *Ammobaculites* и рассматриваются в настоящей работе в его составе.

*Ammobaculites* cf. *lobus* Gerke et Sossipatrova, 1961

Табл. 19, фиг. 1

*Ammobaculites lobus*: Герке, 1961, с. 139, табл. XVI, фиг. 4—7.

Голотип — ВНИИОкеангеология, № 421—49. Средняя Сибирь, Нордвикский район, Тигяно-Чайдахский участок, скв. К-250, гл. 17—24, м. Тоар.

Диагноз. Раковина небольшая с хорошо развитой спиральной частью, состоящей из 17—18 камер, образующих более двух оборотов спирали. В последнем обороте пять—шесть с половиной треугольных камер. Однорядная часть слаборазвита, имеет одну—три камеры округленно-треугольной формы с тенденцией роста в высоту и уменьшением размеров в ширину. Швы слабоуглубленные. Стенка тонкая, мелкозернистая, кварцевая.

Распространение и возраст. Западная Сибирь; тоар. Средняя Сибирь; нижний подъярус тоара.

Местонахождение и материал. П-ов Ямал, Новопортовская площадь; тогурская пачка шеркалинской свиты. В комплексе 30 экземпляров.

*Ammobaculites* aff. *fontinensis* Terquem subsp. *rossica*

Макарьева, 1971

Табл. 19, фиг. 2, 4

Экземпляры — ЗапСибНИГНИ, № 2138, 2140. Западно-Сибирская равнина, Северо-Толькинская скв. 300, гл. 2780—2797 м. Бат.

Сравнение. От экземпляра, изображенного С. Ф. Макарьевой [64], отличается менее массивной раковинной и тонкозернистой стенкой.

Распространение и возраст. Западная Сибирь; Кавказ; тоар.

Местонахождение и материал. Северо-восток Западно-Сибирской плиты, Толькинская площадь, тюменская свита. Небольшое число преимущественно деформированных раковин.

*Ammobaculites borealis* Gerke, in coll.

Табл. 20, фиг. 5

Голотип — ВНИИОкеангеология, № 1009/54. Средняя Сибирь, Нордвикский район, скв. 497-К, гл. 33,3 м. Келловей.

Распространение и возраст. Западная Сибирь; келловей. Средняя Сибирь; келловей — нижний оксфорд.

Местонахождение и материал. Немногочисленные разрезы северного, частично центрального районов Западной Сибири; даниловская, васюганская свиты. Немногочисленные раковины.

*Ammobaiculites subgracilis* Levina, sp. nov. \*

Табл. 20, фиг. 3

Голотип — ЗапСибНИГНИ, № 338. Западная Сибирь, Игримская скв. 114, гл. 1654—1657 м. Келловей — нижний оксфорд.

Паратип — ВНИГРИ, № 520/108. Там же.

Описание. Раковина маленькая, удлиненная, уплощенная с боковых сторон. Последние камеры спирали постепенно переходят в незначительно изогнутую однорядную часть, спинная сторона которой является касательной по отношению к окружности завитка. Периферический край уплощенный, слаболопастный. Диаметр спиральной части в 2 раза превышает ширину однорядной. Раковина состоит из 12—19 камер. В спиральной части 9—15 постепенно увеличивающихся камер, составляющих полтора-два оборота с шестью-семью камерами в последнем. Пупочная область вдавленная. Камеры видимого внутреннего оборота округлые, внешнего — трапециевидные, в распрямленном отделе становятся четырехугольными. Однорядный отдел состоит из трех-четырех одинаковых по высоте камер. Септальные швы слегка углубленные, тонкие, прямые; спиральный шов различим. Стенка раковины кварцевая, мелко- и среднезернистая. Камеры часто заполнены пиритом. Устье неясное, но в проходящем свете хорошо видны устьевые каналы.

Размеры голотипа (в мм): В 0,52; Т 0,08; Д спиральной части 0,22; В и Ш однорядной части 0,34 и 0,14; число камер спиральной части — 15, в последнем обороте — 7, в однорядной части — 4; число оборотов спирали — 2.

Изменчивость незначительная. Проявляется в колебании размера раковин от 0,4 до 0,52 мм, числа камер (от 13—15 в спиральной части при 7 — в последнем обороте до соответственно 9—10 и 6 у микросферических генераций).

Сравнение. Наибольшее сходство рассматриваемый вид обнаруживает с *A. gracilissimus*, описанным Л. Г. Даин из оксфорд-кимериджских отложений Куйбышевской области [34, с. 38]. Отличиями нового вида являются: большее число камер (18 против 11—12), более крупные размеры, расположение однорядной части по отношению к спиральной. У *A. subgracilis* ось однорядной части выходит на периферический край спинной стороны раковины, а у *A. gracilissimus* она проходит через центр спирали.

\* Вид описан В. И. Левиной.

Распространение и возраст. Западная Сибирь; келловей, оксфорд.

Местонахождение и материал. Тюменская область: Чульская, Игримская, Пунгинская, Шухтунгортская, Сысконсыньинская, Каменная, Елизаровская, Эсская, Даниловская, Турговская, Карабашская разведочные площади; абалакская, даниловская свиты. Более 50 экземпляров различной сохранности.

*Ammobaculites igrimensis* Булыникова et Левина, 1972

Табл. 19, фиг. 3

*Ammobaculites igrimensis*: Булыникова, Левина, 1972, с. 60, табл. XIV, фиг. 1—4 [97]; Лутова, 1981, с. 22, табл. III, фиг. 1.

Голотип — СНИИГГиМС, № 565. Западная Сибирь, Игримская скв. 114, гл. 1654—1657 м. Средний — верхний келловей.

Диагноз. Раковина крупная, в спиральной части инволютная, плотносвернутая со слаболопастным периферическим краем. В видимом обороте спирали шесть—восемь треугольных камер. Однорядный отдел слабо развит, камеры широкотрапециевидные. Швы двуконтурные, поверхностные. Стенка раковины состоит из зерен кварца и халцедона. Устье ареальное в спиральной части, конечное округлое — в однорядной.

Распространение и возраст. Западная Сибирь; келловей, частично нижний подъярус оксфорда.

Местонахождение и материал. Многие разрезы Западной Сибири: Ямальский, Березово-Игримский, Красноленинский, Шаимский, Надым-Пурский и другие районы; абалакская, даниловская, васюганская свиты.

Встречается в больших количествах, чаще в виде молодых раковин, лишенных однорядного отдела. Сохранность удовлетворительная.

*Ammobaculites tobolskensis* Левина, 1972

Табл. 19, фиг. 5; табл. 21, фиг. 5

*Ammobaculites* ex gr. *coprolithiformis*: Булыникова, 1962, с. 91, табл. I, фиг. 3.

*Ammobaculites tobolskensis*: Левина, 1972, с. 61, табл. XV, фиг. 3—7 [97].

Голотип — ЗапСибНИГНИ, № 583. Западная Сибирь, Тобольская скв. 3, гл. 2205—2217 м. Нижний оксфорд.

Диагноз. Раковина крупная, толстая, со слабо развитым однорядным отделом. Спиральный отдел образован неполными двумя оборотами спирали; инволютный. В последнем обороте пять округленно-треугольных камер. Однорядный отдел отсутствует или состоит из одной-двух камер. Последняя камера по

высоте превосходит предшествующие в 2 раза и более. Камеры однорядного отдела несколько наклонены к спиральному. Устьевая поверхность последней камеры оттянута вверх. Швы углубленные. Периферический край слаболопастный. Стенка состоит из зерен кварца и плагиоклаза различной величины.

Распространение и возраст. Западная Сибирь; нижний оксфорд.

Местонахождение и материал. Многие разрезы северо-западной, западной, центральной частей Западно-Сибирской плиты; абалакская, даниловская, васюганская свиты. От единичных раковин до 30 экземпляров в образце.

### *Ammobaculites syndascoensis* Schagovskaja, 1961

Табл. 21, фиг. 1—4

*Ammobaculites syndascoensis*: Шаровская, 1961, с. 24, табл. I, фиг. 2, а—с.

Голотип — ВНИИОкеангеология, колл. № 748/3. Средняя Сибирь, Нордвикский район, Сындасский участок, скв. Р-201, гл. 633,4 м. Оксфорд.

Диагноз. Раковина средних размеров, широкоокруглая в основании, со слаборазвитой однорядной частью. Спиральная часть с глубоким пупком, состоит из шести-семи камер. Однорядную составляют одна-три низкие прямоугольные камеры. Швы углубленные, отчетливые.

Распространение и возраст. Западная Сибирь; средний, верхний оксфорд. Средняя Сибирь; оксфорд.

Местонахождение и материал. Северо-запад, запад, юго-запад Западной Сибири; даниловская, маурыньинская, абалакская свиты. Небольшое число экземпляров.

### *Ammobaculites multiformis* Da in, 1972

Табл. 22, фиг. 1, 3—5

*Ammobaculites multiformis*: Даин, 1972, с. 63, табл. XVI, фиг. 3—8 [97].

Голотип — ВНИГРИ, № 520/36. Приполярный Урал, восточный склон, р. Толья, скв. 159, гл. 168—171 м. Верхние оксфорды — низы кимериджа.

Диагноз. Раковина крупная, широкозакругленная в спиральной части, почти одинаковая по ширине в однорядной, слабо сдавлена с боковых сторон. Спинальная часть однорядного отдела слабо дугообразно изогнута. Спиральная часть крупная, плотновернутая. В последнем обороте пять-шесть вздутых неправильно-треугольных камер, быстро увеличивающихся в размерах. Однорядный отдел включает три, реже две—четыре низкие и широкие камеры. Устьевой конец последней притуплен.

Швы углубленные, слабозаметные. Стенка грубошероховатая, толстая; состоит из различных минералов, преимущественно неотсортированных зерен кварца.

Распространение и возраст. Западная Сибирь; оксфорд, верхний подъярус (у границы с кимериджем).

Местонахождение и материал. Немногочисленные разрезы Приполярного Урала, маурыньинская свита. Скопления раковин различной сохранности.

*Ammobaculites validus* Beljaevskaja, 1972

Табл. 23, фиг. 1

*Ammobaculites validus*: Даин, 1972, с. 65, табл. XV, фиг. 1, 2 [97].

Голотип — ВНИГРИ, № 520/26. Западная Сибирь, Абакская скв. 1, гл. 2233—2243 м. Нижний кимеридж.

Диагноз. Раковина средних размеров с небольшим однорядным отделом; в спиральной части почти эволютная, в последнем обороте пять—семь закругленно-треугольных камер. Швы углубленные, достаточно четкие. Камеры однорядной части, если она выражена, четырехугольные, последняя в виде приостренного колпачка. Стенка толстая, разнородная, состоит в основном из зерен кварца. Устье расположено на приостренной части.

Распространение и возраст. Западная Сибирь; нижний кимеридж.

Местонахождение и материал. Немногочисленные разрезы арктических, западных, частично центральных и восточных районов; абалакская, даниловская, георгиевская свиты. Небольшое количество раковин.

*Ammobaculites haplophragmioides* Furssenko et Poljenova, 1950

Табл. 23, фиг. 4

*Ammobaculites haplophragmioides*: Комиссаренко, 1968, с. 124, табл. XIX, фиг. 1, 2а—в [5].

Голотип — ВНИГРИ. Прикаспийская низменность, побережье оз. Индер, овраг Караджира; средний подъярус волжского яруса.

Экземпляр — ЗапСибНИГНИ, № 653. Западная Сибирь, Усть-Ляпинская скв. 150, гл. 1359,3—1362,3 м. Средний подъярус волжского яруса.

Диагноз. Раковина средних размеров, как правило без однорядного отдела. Спиральная часть почти инволютная с широким пупочным углублением. Последний оборот состоит из пяти—восьми закругленно-треугольных камер. Периферический край

слаболопастный. Стенка преимущественно кварцевая, иногда с включениями чешуек слюды, зерен глауконита и других минералов. Устье ареальное, в центральной части устьевой поверхности, округлое.

Распространение и возраст. Западная Сибирь, Западный Казахстан; нижний — средний подъярусы волжского яруса. Днепровско-Донецкая впадина, Нижнее и Среднее Поволжье, Татария, Западный Казахстан; оксфорд — волжский ярус.

Местонахождение и материал. Многие скважины северо-западных, западных, юго-западных и северо-восточных районов Западной Сибири; даниловская, мулымьинская, тутлеймская (частично), баженовская (частично), марьяновская, яновстанская свиты. Большое число раковин.

*Ammobaculites pungaensis* Levina, sp. nov. \*

Табл. 19, фиг. 6; табл. 20, фиг. 1, 2

Название вида — по местонахождению.

Голотип — ЗапСибНИГНИ, № 909. Западно-Сибирская равнина, Пунгинская скв. 209, гл. 1839,65—1845 м. Нижний оксфорд, зона *Cardioceras cordatum*.

Описание. Раковина средних размеров, эволютная; обычно округлая на ранней стадии роста, реже несколько вытянутая за счет однорядного отдела. Спинной край закругленный, брюшной — слегка вдавленный в месте смыкания последнего оборота спирали с однорядным отделом. Боковая поверхность уплощенная, в области пупка слегка вдавленная. Периферический край слаболопастный. Толщина раковины постоянна на всех стадиях роста. Спиральный отдел образован 13—18 быстро возрастающими в высоту и ширину камерами. Состоит из двух—двух с половиной оборотов; во внешнем семь-девять камер. Последняя камера спирального отдела в 2 раза больше первой того же оборота. Однорядный отдел включает одну-две камеры, но чаще всего отсутствует. Форма камер спирального отдела от округлой до округло-четыреугольной. Пупок широкий, равен диаметру внутреннего оборота. Устьевая поверхность овальной формы, выпуклая. Устье ареальное, округлое, простое. Швы углубленные, радиальные в спиральной части. Стенка мелкозернистая, кварцевая.

Изменчивость проявляется в небольшом колебании размеров раковины (от 0,3 до 0,42 мм — табл. III), общего числа камер (от 13 до 18), числа камер в последнем обороте (от 7 до 9). У мегалосферических экземпляров крупная начальная камера, общее число камер 13—14, в последнем обороте — 7; у микросферических форм 17—18 камер и 8—9 — в последнем обороте. Уплощенность и степень эволютности раковины постоянны.

\* Вид описан В. И. Левиной.

Таблица III

Параметры раковин *Ammobaculites pungaensis* Levina, sp. nov.

Экземпляр	Размеры камеры, мм			Диаметр завитка, мм	Число камер		
	высота	ширина	толщина		в завитке	в однорядной части	всего
Голотип № 909	0,68	0,39	0,18	0,34×0,39	5/7	1	13
Паратип: № 786 (наименьший экземпляр)	0,4	0,3	0,14	0,3×0,4	8/9	—	17
№ 788	0,52	0,33	0,15	0,3×0,5	7/7	—	14
№ 789	0,51	0,42	0,16	0,4×0,5	10/8	—	18
№ 791	0,49	0,36	0,16	0,4×0,5	9/9	—	18
№ 792 (наибольший экземпляр)	0,57	0,42	0,16	0,4×0,5	6/8	—	14

Сравнение. Описываемый вид по ряду признаков (эволютность, уплощенность) сходен с *Ammobaculites fontinensis* Terg. из нижнего бата Франции. Отличается от последнего меньшими размерами, меньшим числом оборотов (2,5 против 3), менее развитым однорядным отделом. Из позднеюрских видов новый вид имеет сходство с *A. validus* Beljaevskaja, описанным из нижнекимериджских отложений Западной Сибири [97], но *A. pungaensis* обладает большими числом камер, уплощенностью и степенью эволютности. По тем же признакам *A. pungaensis* отличается и от развитого в Западной Сибири *A. haplophragmioides* Furs. et Pol. волжского яруса.

Распространение и возраст. Западная Сибирь; келловей, нижний, реже верхний оксфорд.

Местонахождение и материал. Арктические, северо-западные и центральные районы — Ямальский, Надым-Пурский, Березово-Игримский, Кондикский, Сургутский и др.; абалгская, даниловская, васюганская свиты. До 20—25 раковин в образце; сохранность хорошая и удовлетворительная.

### *Ammobaculites infravolgensis* Mjatljuk, 1939

Табл. 23, фиг. 3

*Ammobaculites infravolgensis*: Мятлюк, 1939, с. 45, табл. II, фиг. 17 а, б; фиг. 18; Пяткова, 1978, с. 21, табл. 4, фиг. 7 а, б.

Голотип — ВНИГРИ, № 939. Восточно-Европейская равнина, ст. Озинки Ульяновской обл., скв. 1501, гл. 9,5—13 м. Нижний подъярус волжского яруса.

Диагноз. Раковина небольшая, уплощенная. В последнем обороте спиральной части пять-шесть выпуклых треугольных ка-

мер. В центре спирали слабое пупочное углубление. В однорядном отделе три—шесть низких широких камер. Последняя камера превосходит по высоте более ранние. Швы прямые углубленные. Периферический край слабопастный. Стенка кварцевая, мелкозернистая, иногда с включениями более крупных зерен глауконита и других минералов.

Распространение и возраст. Западная Сибирь, Саратовское Поволжье; нижний—средневожский подъярус волжского яруса.

Местонахождение и материал. Ограниченное число разрезов северо-запада, запада, юго-запада Западно-Сибирской равнины; даниловская, федоровская, тутлеймская, мулымьинская свиты. Небольшое число раковин.

*Ammobaculites aff. alaskensis* Т а р р а н, 1955

Табл. 23, фиг. 2; табл. 20, фиг. 4

Экземпляр — ВНИГРИ, № 520/67. Западная Сибирь, Обской профиль, скв. 11, гл. 297—305 м. Средний подъярус волжского яруса.

Распространение и возраст. Западная Сибирь; верхне-средневожский подъярус.

Местонахождение и материал. Немногочисленные разрезы северо-запада, запада Западно-Сибирской равнины; даниловская, абалакская свиты. Немногочисленные раковины.

*Ammobaculites verus* Д а и н, 1978

Табл. 23, фиг. 5

*Ammobaculites haplophragmioides* (частично): Фурсенко, Поленова, 1950, с. 16, табл. I, фиг. 3.

*Ammobaculites verus*: Даин, 1976, с. 40, табл. II, фиг. 2—4 [34].

Голотип — ВНИГРИ, № 428/5. Куйбышевская обл., пос. Приволжье. Верхний кимеридж.

Экземпляр — ЗапСибНИГНИ, № 2155. Западно-Сибирская равнина, Тагринская скв. 59, гл. 2795—2801 м. Верхний кимеридж.

Диагноз. Раковина средних размеров, округлая в основании, толстая, с глубоким пупком и широкозакругленным периферическим краем, слабо развитым однорядным отделом. В спиральной части шесть—восемь закругленно-треугольных камер, быстро увеличивающихся в размерах. Однорядный отдел представляет одну-две камеры, отходящих от завитка, но не выпрямляющихся, а сохраняющих направление разворачивающейся спирали. Последняя камера спирали превосходит по величине первую камеру видимого оборота в 3 раза и более. Швы прямые, углубленные. Стенка кварцевая, разнозернистая.

Распространение и возраст. Западная Сибирь; верхи нижнего кимериджа, верхний кимеридж, низы волжского яруса. Нижнее и Среднее Поволжье, Общий Сырт; Днепровско-Донецкая впадина, Эмбенская нефтегазоносная обл. (овраг Караджира); верхний кимеридж — низы волжского яруса.

Местонахождение и материал. Многочисленные разрезы арктической, северо-западной, центральной частей Западно-Сибирской равнины; даниловская, абалакская, георгиевская, сиговская; яновстанская свиты. От единичных до 100 раковин в образце.

*Ammobaculites praegoodlandensis* Булыникова, 1972

Табл. 85, фиг. 4, 5; табл. 86, фиг. 1—5; табл. 112, фиг. 1, 2

*Ammobaculites praegoodlandensis*: Булыникова, 1972, с. 124—127, табл. 1.

*Kutsevella praegoodlandensis*: Даин, 1978, с. 132.

Голотип — СНИИГГиМС, № 681. Западно-Сибирская равнина, Добринская скв. 3, гл. 1145,6—1152,9 м. Берриас, слои с *Gaudryina gerkei*, ахская свита.

Диагноз. Раковина средних размеров, биморфная, с недоразвитым однорядным отделом, состоящим из одной-двух камер, нарастающих по отношению к спиральному отделу под углом, близким к 45°. В спиральном отделе семь-восемь треугольных камер, образующих в центре завитка довольно широкое пупочное углубление, разделенных относительно тонкими углубленными швами. Последняя, а иногда единственная камера однорядного отдела имеет форму усеченного конуса. Стенка кварцевая от средне- до грубозернистой. Устье конечное, неправильно-округлой формы.

Замечание. Вид по внешним морфологическим признакам напоминает представителей рода *Kutsevella* [35]. Отличается от последних четким делением камер в спиральной части, соединяющихся при помощи фораменов (см. табл. 86, фиг. 4), а также менее уплощенной формой раковины, характерной для кутцевел. Является типичным представителем группы рода *Ammobaculites* со слабо- или неразвитым однорядным отделом.

Распространение и возраст. Средняя Сибирь, северная часть; верхний подъярус волжского яруса, зона *Chetaites chetae* — берриас, зона *Surites analogus*. Западная Сибирь, берриас.

Местонахождение и материал. Многочисленные скважины Западной Сибири (ахская свита), обнажения на севере Средней Сибири (паксинская свита). Большое число раковин; скопления известны только в паксинской свите (п-ов Пакса, Анабарский залив).

*Ammobaculites gerkei*: Шаровская, 1966, с. 65—67, табл. VII, фиг. 1—8.

Голотип — ВНИИОкеангеология, № 1009/67. Усть-Енисейский район, Малохетская скв. 5, гл. 628—633 м. Валанжин, слой с *Cribrostomoides infracretaceous*.

Диагноз. Раковина средних размеров, биморфная, цилиндрическая, ровная; широкоокруглая в основании и куполообразно-закругленная с устьевого конца. Спиральный отдел инволютный, сформирован двумя оборотами спирали. В последнем обороте пять-шесть камер. Швы радиальные, поверхностные. Однорядный отдел состоит из двух—семи низких округленно-прямоугольных камер, ширина которых несколько больше диаметра спирального отдела. Швы почти прямые, углубленные. Стенка грубошероховатая, крупнозернистая, кварцевая. Устье — округлое отверстие в центре устьевой поверхности.

Распространение и возраст. Западная Сибирь и север Средней Сибири; берриас, верхняя часть зоны *Surites analogus* — нижний валанжин. Наиболее часто встречается в нижнем валанжине; алясовская, вартовская, ахская, мегнионская свиты.

Материал. Небольшое число раковин в образцах.

*Ammobaculites sertaeformis* Bulynnikova, sp. nov.

Табл. 88, фиг. 2

Название вида — от *sertaeformis* (лат.) — четковидный.

Голотип — СНИИГГиМС, № 779. Западно-Сибирская равнина, Ракитинская скв. 6, гл. 1580—1586 м. Валанжин, ахская свита.

Описание. Раковина небольшая или средних размеров, биморфная. Спиральная часть инволютная, образована полутора — неполными двумя оборотами спирали. Четыре треугольных камеры последнего оборота формируют в центре спирали небольшое пупочное углубление. Однорядная часть включает пять четырехугольных слабовыпуклых с боковых сторон камер, высота которых на стадии роста последних трех камер начинает заметно превышать ширину. Устьевая поверхность последней камеры сужена. Швы тонкие умеренно-углубленные, прямые. В однорядной части образуют горизонтальные пережимы. Стенка шероховатая, довольно толстая; состоит из зерен кварца, создающих неровную бугристую поверхность. Устье в центре устьевой поверхности.

Размеры голотипа (в мм): В — 1,0; Т — 0,09; Д спиральной части — 0,2; Ш однорядной части — 0,2; В и Ш последней камеры — 0,2; число камер в последнем обороте спирали — 4, в однорядной части — 5.

Изменчивость не прослежена из-за плохой сохранности материала.

Сравнение. Новый вид обладает некоторым сходством в строении спиральной части, слабой искривленности однорядной части и форме последних двух камер с *Ammobaculites orbatus* Schaefer из валанжина севера Средней Сибири. Основное отличие от *A. orbatus* заключается в постепенном увеличении высоты напоминающих четки камер однорядной части, почти равной их ширине, а также в почти равной ширине камер однорядной части диаметру спиральной. У *A. orbatus* на ранней стадии развития однорядной части камеры более заметно растут в ширину и только у последних двух резко увеличивается высота. Других близких к *A. sertaeformis* видов в палеонтологической литературе не известно.

Местонахождение и материал. См. голотип. Верхний валанжин севера европейской части СССР (бассейн Печоры, р. Ижма, обн. Щельское). 10 раковин, преимущественно в виде обломков.

*Ammobaculites subasper* Булыникова, 1973

Табл. 87, фиг. 1—3

*Ammobaculites subasper*: Булыникова, 1973, с. 96—98, табл. XIII, фиг. 1—10; Мятлюк, 1984, с. 84, табл. I, фиг. 5—6 а—г.

Голотип — СНИИГГиМС, № 775. Западно-Сибирская равнина, Добринская скв. 3, гл. 1102,1—1107,8 м. Нижний готерив, карбанская свита.

Диагноз. Раковина маленькая или средних размеров, бифорная, удлиненная. В спирально-плоскостной части плотно-свернутая, инволютная, образует два оборота спирали; в последнем пять-шесть вздутых треугольных камер. Однорядная часть включает три-четыре прямоугольные камеры, увеличивающиеся в высоту. Ширина камер выпрямленной части несколько меньше диаметра спиральной части. Швы прямые, углубленные. Стенка мелкозернистая, кварцевая.

Распространение и возраст. Западная Сибирь и Среднее Поволжье; нижний готерив.

Местонахождение и материал. Скважины Березовской, Деминской, Добринской, Покровской разведочных площадей. 50 раковин хорошей и удовлетворительной сохранности.

*Ammobaculites artutus* Булыникова, 1973

Табл. 89, фиг. 1, 2

*Ammobaculites artutus*: Булыникова, 1973, с. 98—99, табл. XIV, фиг. 1—3.

Голотип — СНИИГГиМС, № 761. Западно-Сибирская равнина, Медведевская скв. 21, гл. 815—821 м. Нижний готерив,

слои с *Trochammina gyroidiniformis* — *Acruliammina pseudolonga*, ахская свита.

Диагноз. Раковина крупная, с развитой однорядной частью. Спирально-плоскостная часть инволютная, в последнем обороте четыре-пять треугольных камер. В центре завитка четкое пупочное углубление. Однорядная часть состоит из пяти-шести низких неправильно-трапециевидных камер. Последняя высокая, более чем в 2 раза выше предшествующей, в виде усеченного конуса, суженного в устьевой части. Швы прямые, углубленные. Стенка слабошероховатая, кварцевая. Устье округлое, обрамленное устьевым валиком.

Распространение и возраст. Западная Сибирь, северо-западная часть; нижний готерив. Часто, единичные раковины.

Местонахождение и материал. См. голотип. 20 раковин.

### *Ammobaculites fragosus* Булыникова, 1973

Табл. 88, фиг. 3, 4

*Ammobaculites fragosus*: Булыникова, 1973, с. 99—100, табл. XV, фиг. 1—2 а—в.

Голотип — СНИИГГиМС, № 817. Западно-Сибирская равнина, Тавдинская скв. 1, гл. 1192—1195 м. Готерив, карбанская свита.

Диагноз. Раковина от средних до крупных размеров, биморфная с ровным, хорошо развитым однорядным отделом. Контур раковины неровный, угловатый из-за грубозернистой стенки. Камеры спирального отдела (примерно четыре-пять) и однорядного (четыре-шесть) видны только при просмотре в проходящем свете раковины, смоченной в ксилоле. Швы и устье неразличимы. Стенка грубая, неоднородная, состоит из зерен кварца и редко — крупных зерен глауконита и пирита; цемент неразличим.

Распространение и возраст. Западная Сибирь, юго-западные районы; готерив.

Местонахождение и материал. Тавдинская и Покровская разведочные площади; карбанская свита. Единичные экземпляры, часто в виде обломков.

### РОД *KUTSEVELLA* Даин, 1978

Синонимика: см. Даин, 1978, с. 131 (частично).

### *Kutsevela labythnangensis* (Даин), 1972

Табл. 23, фиг. 6

*Ammobaculites labythnangensis*: Даин, 1972, с. 67—68, табл. XVIII, фиг. 1—4 [97].

*Kutsevella labythnangensis*: Даин, 1978, с. 131—132, рис. 1. Голотип — ВНИГРИ, № 520/28. Полярный Урал, Лабытнанги, скв. 12, гл. 278—280 м. Средний подъярус волжского яруса, зона *Laugeites groenlandicus*, даниловская свита.

Диагноз. Раковина крупная, уплощенная, полуэволютная, иногда со слабо развитым однорядным отделом, состоящим из двух, очень редко трех камер. В спиральной части в последнем обороте восемь-девять камер, образующих в центральной части широкий и мелкий пупок. Периферический край слаболопастный. Стенка кварцевая с железистым цементом, шероховатая. Устье в спиральной части ареальное, в однорядной — конечное.

Распространение и возраст. Западная Сибирь; средний — верхний подъярусы волжского яруса. Среднее Поволжье; средний подъярус волжского яруса.

Местонахождение и материал. Ряд скважин Лабытнангской, Сандибинской, Ярайнерской, Мортымьинской, Сысконсыньинской, Мангазейской площадей; даниловская, тутлеймская, мулымьинская, яновстанская свиты. Большое число раковин удовлетворительной сохранности.

### *Kutsevella difficilis* (Kusina), 1964

Табл. 91, фиг. 1—5

*Ammoscalaria difficilis*: Кузина, 1964, с. 151—152, табл. XV, фиг. 5—9 [96]; Булытнникова, 1973, с. 101—102, табл. XVI, фиг. 3—5.

Голотип — ВНИГРИ, № 458/1. Западно-Сибирская равнина, Покровская скв. 3, гл. 1366—1373 м. Готерив, комплекс с *Kutsevella difficilis*, карбанская свита.

Диагноз. Раковина средних размеров, инволютная на ранней стадии; однорядный отдел часто отсутствует или образован одной-двумя камерами. В спиральном отделе 11—14 камер, в последнем обороте спирали шесть-семь треугольных камер, разделенных тонкими, углубленными, плохо различимыми радиальными швами. Стенка кварцевая, грубошероховатая, хрупкая. Устье конечное на клювовидном конце последней камеры.

Распространение и возраст. Западная Сибирь, западная, преимущественно юго-западная части; готерив. Вид-индекс одноименных узколокальных слоев.

Материал. Образует скопления до 100 и более экземпляров в образце.

### *Kutsevella memorabilis* (Scharovskaja), 1958

Табл. 12, фиг. 1

*Haplophragmoides* (?) *memorabilis*: Шаровская, 1958, с. 85, табл. I, фиг. 3—5; Лутова, 1981, с. 17, табл. II, фиг. 1.

Голотип — ВНИИОкеангеология, № 211/15. Средняя Сибирь, п-ов Нордвик, скв. 14-к, гл. 685—688 м. Байос.

Экземпляр — ИГиГ СО АН СССР, № 507/34. Анабарская губа, западный берег, обн. 10, пачка 24. Нижний келловей.

Диагноз. Раковина маленькая инволютная, с заметным пупочным углублением; округлая в очертании, с периферического края широкоовальная. Камеры треугольные, в последнем обороте их восемь-девять; разделены радиальными прямыми слабоуглубленными швами. Стенка состоит из зерен кварца различной величины, грубошероховатая. Устьевая поверхность широкая, очень низкая. Устье ареальное.

Распространение и возраст. Средняя Сибирь; байос — бат, нижний келловей. Западная Сибирь; келловей.

Местонахождение и материал. Западный и восточный берег Анабарской губы в Средней Сибири. На Западно-Сибирской плите преимущественно Широтное Приобье. Немногочисленные раковины.

#### РОД *AMMOSCALARIA* Hoeglund, 1947

Синонимика: см. Булыникова, 1973.

#### *Ammoscalaria tenuitestata* Kusina, 1964

Табл. 91, фиг. 6—8

*Ammoscalaria tenuitestata*: Кузина, 1964, с. 150, табл. XV, фиг. 1—4 [96]; Булыникова, 1973, с. 101, табл. XVI, фиг. 1—2.

Голотип — ВНИГНИ, № 458/5. Западно-Сибирская равнина, Покровская скв. 3, гл. 1380—1387 м. Готерив, комплекс *Kutsevella difficilis*, карбанская свита.

Диагноз. Раковина средних размеров, биморфная. Спиральный отдел образован двумя—двумя с половиной оборотами спирали. В последнем обороте пять—восемь трапециевидных камер, формирующих в центральной части довольно широкое пупочное углубление. Швы радиальные, углубленные, неотчетливые. Однорядный отдел состоит из одной-трех неправильно округленных камер. Стенка кварцевая мелкозернистая с примесью кремнистого материала. Устье конечное.

Распространение и возраст. Западно-Сибирская равнина, южная, юго-западная части, готерив, комплекс с *Kutsevella difficilis*.

Местонахождение и материал. Скважины Покровской и Заводоуковской площадей, карбанская свита. 50 экземпляров плохой сохранности, в основном сплюснутых.

Подсемейство PLACOPSILININAE Rumbler, 1913

РОД *ACRULIAMMINA* Loeblich et Tappan, 1946

*Acruliammina pseudolonga* Subbotina, 1964

Табл. 92, фиг. 3—6

*Acruliammina pseudolonga*: Субботина, 1964, с. 146, табл. XIV, фиг. 4 [96]; Булыникова, 1973, с. 103, табл. XVI, фиг. 7, 8.

Голотип — ВНИГРИ, № 519/133. Западно-Сибирская равнина, Южно-Алясовская скв. 22, гл. 1345,8—1341,7 м. Нижний готерив, алясовская свита.

Диагноз. Раковина маленькая, удлинённая. Начальная часть образована тремя оборотами спирали, не всегда навивающимися на ранней стадии в одной плоскости; полуэволютная. В последнем обороте до 10 камер. Однорядная часть выпрямлённая, состоит из четырех-пяти камер четырехугольной формы. Швы слабоуглубленные, четкие. Стенка гладкая, кварцевая, тонкозернистая с примесью кремнистого материала. Устье на ранней стадии простое, ареальное, на поздней — множественное.

Распространение и возраст. Западно-Сибирская равнина, вид широко развит в нижнеготеривских отложениях и приурочен к зоне *Speetonicerias versicolor* (слои с *Trochammina gyroidiniformis* — *Acruliammina pseudolonga*).

Местонахождение и материал. Улансынская, мультыньская, алясовская (чуэльская и устремская пачки), ахская (верхняя часть), вартовская свиты готерива Западной Сибири. Многочисленные раковины различной сохранности, чаще с недоразвитой однорядной частью. Следов прикрепления к субстрату не сохранилось.

## INCERTAE SUBFAMILIAE

РОД *AMMOBACULOIDES* Plummer, 1932

Синонимика: см. Комиссаренко, 1977, с. 50.

*Ammobaculoides primoris* Комиссаренко, 1977

Табл. 25, фиг. 1—12

*Ammobaculoides primoris*: Комиссаренко, 1977, с. 59.

Голотип — ЗапСибНИГНИ, № 1158. Западно-Сибирская равнина, Даниловская скв. 106, гл. 1830,6—1834,1 м (0,9 м от верха интервала). Нижний оксфорд, даниловская свита.

Паратипы — ЗапСибНИГНИ, № 1242, 1244—1253; Западно-Сибирская равнина, Малотапская скв. 3, Пунгинская скв. 520. Келловой — нижний оксфорд, абалакская свита.

Диагноз. Раковина маленькая, овально-вытянутая, сужающаяся к устьевой части, уплощенная. Спиральная часть инволютная, образована полутора-двумя оборотами. В последнем шесть—восемь быстро увеличивающихся камер, разделенных прямыми слабоуглубленными швами. Двурядный отдел короткий, включает две-три, иногда пять неправильно трапециевидных камер, располагающихся одна над другой. Стенка из аморфного кремнезема; цемент — ожеженный карбонат вторичного происхождения. Устье типичное для рода.

Распространение и возраст. Западная Сибирь, северная, северо-западная, западная, частично центральная части; верхний келловей — нижний оксфорд.

Местонахождение и материал. Пунгинская, Малотапская площади, верхний келловей — нижний оксфорд, абалакская свита; Новопортовская, Тазовская, Уренгойская, Эргинская, Бахилевская, Муравленковская площади, средний—верхний келловей, даниловская, абалакская, васюганская свиты. Более 500 раковин удовлетворительной сохранности.

*Ammobaculoides spiroplectamminaeformis*  
Комиссаренко, 1977

Табл. 25, фиг. 13, 14

*Ammobaculoides spiroplectamminaeformis*: Комиссаренко, 1977, с. 63, табл. I, фиг. 13—14.

Голотип — ЗапСибНИГНИ, № 1254; Западно-Сибирская равнина, Даниловская скв. 100, гл. 1769,9—1773 м (1,9 м от верха интервала). Нижний оксфорд, даниловская свита.

Диагноз. Раковина маленькая, овально-вытянутая со слабоволнистым периферическим краем. Спиральный отдел полуэволютный, образован полутора-двумя оборотами, в последнем шесть-семь камер. Двурядный отдел развит слабо, по ширине равен диаметру спиральной части или несколько меньше. Состоит из двух-трех пар камер и последней непарной. Стенка гладкая, тонкозернистая, кварцевая с небольшой примесью карбонатного цемента. Устье типичное для рода.

Распространение и возраст. Западно-Сибирская равнина, западные районы; нижний оксфорд, даниловская, абалакская свиты.

Местонахождение и материал. Даниловская, Малотапская площади; нижний оксфорд, даниловская, абалакская свиты. Около 20 раковин удовлетворительной сохранности.

*Ammobaculoides instabilis* Комиссаренко, 1977

Табл. 25, фиг. 15—25

*Ammobaculoides instabilis*: Комиссаренко, 1977, с. 63, табл. I, фиг. 15—25.

Голотип — ЗапСибНИГНИ, № 2003. Западно-Сибирская равнина, Кульнигольская площадь, скв. 2, гл. 2314—2318 м (0,1 м от верха интервала). Кимеридж, георгиевская свита.

Диагноз. Раковина маленькая, уплощенная с инволютной спиральной частью, образованной полутора оборотами. В последнем 8—10 камер, разделенных слабоуглубленными швами. Двурядный отдел состоит преимущественно из двух камер, слабо смещенных по отношению друг к другу. В однорядном отделе одна-две камеры. Стенка состоит из аморфного кварца, скрепленного карбонатным цементом.

Распространение и возраст. Западно-Сибирская равнина, северо-западная, западная, частично центральная, юго-восточная, восточная части; кимеридж — низы волжского яруса.

Местонахождение и материал. Новопортовская, Бованенковская, Геофизическая, Уренгойская, Салымская, Нижне-Сартымская, Восточно-Сабунская, Западно-Сикторская, Северо-Хохряковская, Верхне-Часельская, Кынская, Верхне-Камбарская, Яхлинская, Весенняя, Кульнигольская площади; кимеридж, верхний кимеридж — низы волжского яруса, абалакская, георгиевская, даниловская, яновстанская свиты. Свыше 500 раковин удовлетворительной сохранности.

*Ammobaculoides sibiricus* (Romanova), 1960

Табл. 92, фиг. 1, 2

Синонимика: Булынникова, 1973, с. 105, табл. XVI, фиг. 6.

Лектотип — ВНИГРИ, № 519/136. Западно-Сибирская равнина, Покровская скв. 5, гл. 1292,6—1308,5 м. Берриас, слои с *Trochammina rosaceaformis*, ахская свита.

Диагноз. Раковина маленькая, гетероморфная. Спиральный отдел состоит из двух — неполных оборотов. В последнем шесть-семь прямоугольных высоких и узких камер, разделенных прямыми углубленными швами. В двурядном отделе две — четыре пары камер, однорядный не выражен, но последняя камера двурядного отдела имеет тенденцию к однорядности [23, табл. XIV, фиг. 5—7 а]. Стенка микрозернистая, гладкая, кремнистая. Устье в спиральном и двурядном отделах арельное, в последнем — конечное.

Распространение и возраст. Западная Сибирь; берриас, слои с *Trochammina rosaceaformis* (зона *Hectoroceras kochi*) и с *Gaudryina gerkei* (зона *Surites analogus*).

Местонахождение и материал. Скважины Покровской, Вяткинской, Большереченской, Тюменской и других площадей; тутлеймская, марьяновская, ахская, куломзинская свиты. Более 35 раковин.

Семейство TEXTULARIIDAE Ehrenberg, 1838

Подсемейство SPIROPLECTAMMINAE Cushman, 1927

РОД SPIROPLECTAMMINA Cushman, 1927

*Spiroplectamina tobolskensis* Beljaevskaja  
et Komissarenko, 1972

Табл. 26, фиг. 1—3

*Spiroplectamina tobolskensis*: Комиссаренко, 1972, с. 72, табл. XX, фиг. 1—6 [97]; Brooke, Brown, 1981, с. 22, табл. 5, фиг. 10—14.

Голотип — ВНИГРИ, № 520/129. Западно-Сибирская равнина, Тобольская скв. 5, гл. 2176—2187 м. Верхний оксфорд, слой с *Amoeboceras alternans*, абалакская свита.

Диагноз. Раковина средних размеров, «неправильно овальной формы, удлинённая, зауженная в начальной и сильно расширяющаяся в поздней части» [97]. Спиральная часть состоит из полутора оборотов. В последнем пять-восемь неправильно-округлых камер, разделённых углублёнными швами. Выпрямлённый отдел быстро расширяется к устью, состоит из семи-девяти пар неправильно-четырёхугольных камер. Стенка толстая, среднезернистая, кварцевая. Устье типичное для рода.

Распространение и возраст. Европейская часть СССР, северо-запад; Архангельская обл.; верхний оксфорд, слой с *Amoeboceras alternans*; Тимано-Уральская обл., нижний кимеридж, слой с *Amoeboceras kitchini* (Salf.) и со *Spiroplectamina* ex gr. *tobolskensis*; Западная Сибирь, западная и центральная части; верхний оксфорд, слой с *Amoeboceras alternans*. Западная Сибирь, северо-восточная и восточная части; нижний кимеридж, слой с *Amoeboceras kitchini*. Вне СССР: Британская Колумбия, оксфорд, [111].

Местонахождение и материал. Ахтым-Турская, Верхне-Кондинская, Южно-Чан-Чарская, Половинкинская, Тобольская, Тюменская, Черкашинская, Карабашская, Куминская, Салымская, Красноселькупская, Усть-Часельская, Западно-Сидоровская площади Западно-Сибирской равнины. До 100 раковин удовлетворительной сохранности.

*Spiroplectamina suprajurassica* Козырева, 1972

Табл. 26, фиг. 4—14

*Spiroplectamina suprajurassica*: Козырева, 1972, с. 74, табл. XX, фиг. 7—16 [97]; Brooke, Brown, 1981, с. 21, табл. 5, фиг. 4—9.

Голотип — ВНИГРИ, № 521/127. Западно-Сибирская равнина, Татарская скв. 2, гл. 2465—2467 м. Нижний кимеридж.

Диагноз. Раковина небольшая удлиненная, узкая, сдавленная с боковых сторон, слабо расширяющаяся к устьевому концу. Спиральная часть округлая, более уплощенная по сравнению с двурядной, образована двумя оборотами, в последнем — пять-шесть неправильно-четырёхугольных камер. Швы радиальные. Двурядная часть состоит из четырех-пяти пар неправильно-четырёхугольных камер, две последние более округлой формы. Устьевая поверхность выпуклая. Стенка среднезернистая, шероховатая, кварцевая с небольшой примесью известково-кремнистого цемента.

Распространение и возраст. Западная Сибирь; нижний кимеридж. Вне СССР: Британская Колумбия, верхняя юра [111].

Местонахождение и материал. Северо-запад, запад, юго-запад, юг, юго-восток и северо-восток Западно-Сибирской плиты; даниловская, абалакская, лопсинская, георгиевская, сеговская свиты. От 5 до 30—60 экземпляров в образце.

### *Spiroplectamina vicinalis* Dain, 1967

Табл. 27, фиг. 7—9; табл. 28, фиг. 1, 2

Синонимика: см. Комиссаренко, 1986, с. 125 [5].

Голотип — ВНИГРИ, № 428/13. Приволжье, Куйбышевская обл., скв. 31, гл. 37,2 м. Средний подъярус волжского яруса.

Диагноз. Раковина достаточно крупная, удлиненная, двурядная часть расширяется по мере роста. Спиральная часть инволютная, образована чаще двумя оборотами. В последнем шесть-семь камер, разделенных слабозаметными радиальными швами. Двурядная часть — пять-семь пар камер неправильно-четырёхугольной формы. Швы углубленные, плохо заметные из-за грубой структуры стенки раковины. Стенка грубозернистая, кварцевая с примесью известково-кремнистого цемента.

Распространение и возраст. Среднее Поволжье, Татария, Общий Сырт, Прикаспий, бассейн р. Карлы европейской части СССР; волжский ярус, зоны *Subplanites klimovi* — *Dorsoplanites panderi*. Западная Сибирь; нижний и средний подъярусы волжского яруса.

Местонахождение и материал. Северо-, юго-запад, запад, юго- и северо-восток Западно-Сибирской плиты; тутлеймская, даниловская, мулымьинская, яновстанская свиты. Большое число раковин.

### *Spiroplectamina paravicinalis* Dain, 1972

Табл. 27, фиг. 1—6

*Spiroplectamina paravicinalis*: Дайн, 1972, с. 77, табл. XXI, фиг. 5—8, 10—15 [97].

Голотип — ВНИГРИ, № 520/124. Западная Сибирь, Лабитнангская скв. 12, гл. 242—244 м. Средний подъярус волжского яруса.

Диагноз. Раковина преимущественно средних размеров, продолговатая, постепенно расширяющаяся к устьевому концу, сдавленная с боковых сторон. Спиральная часть образована полутора-двумя оборотами, в последнем 8—10 камер. Двурядная часть несколько смещена в одну сторону, что придает раковине вид сапожка. Состоит из семи—девяти пар овально-трапезиевидных, достаточно узких камер. Ширина последней приближается к диаметру спиральной части. Стенка разнотрапезистая, грубошероховатая кварцевая, с железистым цементом.

Распространение и возраст. Западная Сибирь; средний подъярус волжского яруса.

Местонахождение и материал. Восточный склон Полярного Урала и Приполярного Урала; даниловская, федоровская свиты. Большое число раковин.

*Spiroplectamina improcera* Bulynnikova, sp. nov.

Табл. 92, фиг. 7—10

Название вида — от *improcerus* (лат.) — невзрачный.

Голотип — СНИИГГиМС, № 900. Западно-Сибирская равнина, Медведовская скв. 21, гл. 847,3—860,6 м. Нижний готерив, слон с *Trochammina gyroidiniformis* — *Acruliammina pseudolonga*, ахская свита.

Описание. Раковина маленькая, узкая, умеренно-уплощенная, ровная или слабо расширяющаяся к устьевому концу. Спиральный отдел эволютный, образован пятью—семью камерами, неправильно-трапезиевидной формы (за исключением начальной и второй). Положение фораменов внутрикравое. Швы прямые, слабоуглубленные, радиально расходящиеся от начальной камеры. Диаметр спирали равен ширине двурядного отдела или чуть менее ширины двух-трех последних пар камер. В двурядном отделе пять-семь пар слабовыпуклых ступенчатообразно расположенных камер неправильно-овальной или колосовидной формы (см. табл. 92, фиг. 7—10). Швы между камерами тонкие слабоуглубленные, продольный шов зигзагообразный, углубленный. Стенка раковины гладкая, очень тонкая, состоит из микроагрегатного кварца; цемент, по-видимому, известково-кремнистый. Устьевой конец почти округлый, иногда слабоприостренный. Устье неразлично. При изучении строения в проходящем свете раковины, помещенной в просветляющие жидкости, видно, что устьевые каналы двурядного отдела располагаются в основании камер.

Размеры голотипа (в мм): В — 0,27; Д спирали — 0,07; Ш — 0,08; Т — 0,025; число камер в спиральной части — 6, в двурядной — 5 пар; Д начальной камеры < 0,025.

Размеры вида достаточно стабильны; несколько колеблется высота раковины, которая зависит от стадии роста организма. Неявно изменчивым признаком является отношение диаметра спирального отдела к ширине последней пары камер двурядного отдела. Замечено колебание числа камер спирального отдела (от 5 до 7).

Сравнение. Новый вид наиболее близок по размерам и форме раковины раннекимериджской *Spiroplectimmina suprajurassica* Kos., достаточно широко распространенной в Западной Сибири [97], и *S. inderica* Furgss. et Pol. из нижнего подъяруса волжского яруса Эмбенской области, первоначально описанной ее авторами как *Bolivinopsis* aff. *biformis* (Park. et Jop.) [98]. От первого вида *S. improcera* Bulyn. sp. nov. отличается главным образом меньшим числом камер в завитке и двурядной части, меньшими размерами, тонкозернистой, гладкой раковинной и временем существования. От *S. inderica* ее можно отличить по несколько меньшим размерам раковины, меньшей толщине и гладкой тонкой стенке. Стратиграфическое положение видов также неодинаково.

Местонахождение и материал. См. голотип. 11 раковин удовлетворительной сохранности.

Подсемейство TEXTULARIINAE Ehrenberg, 1838

РОД *TEXTULARIA* DeFrance in de Blainville, 1824

*Textularia* ex gr. *areoplecta* Tarpan, 1955

Табл. 28, фиг. 4—6

Экземпляры — ЗапСибНИГНИ, № 2168, 2165, 2124. Западная Сибирь, Новопортовская скв. 146, гл. 2558—2563 м. Плинсбах, шеркалинская свита.

Распространение и возраст. Западная Сибирь; плинсбах.

Местонахождение и материал. П-ов Ямал, Новопортовская, Бованенковская разведочные площади, Широное Приобье, Верхнеколикъеганская площадь; шеркалинская, тюменская свиты, тогурская пачка. 50 и более раковин в образце.

*Textularia* aff. *gibbosa* d'Orbigny, 1826

Табл. 28, фиг. 3

Экземпляр — ЗапСибНИГНИ, № 2123. Западная Сибирь, Новопортовская скв. 91, гл. 2697—2708 м. Плинсбах, шеркалинская свита.

Распространение и возраст. Западная Сибирь, п-ов Ямал; плинсбах.

Таблица IV

Параметры раковины *Textularia kisselmanaе* Komissarenko, sp. nov.

Экземпляр	Длина, мм	Ширина оборота, мм		Число рядов
		первого	последнего	
Голотип	0,375	0,15	0,425	4
Наибольший	0,525	0,125	0,6	4
Наименьший	0,25	0,1	0,3	2

Местонахождение и материал. Ограниченное число разрезов на п-ове Ямал (Новопортовская площадь), шеркалинская свита. Небольшое число раковин.

*Textularia kisselmanaе* Komissarenko, sp. nov.

Табл. 28, фиг. 7, 8

Название вида — в честь микропалеонтолога Кисельман Эллы Наумовны.

Голотип — ЗапСибНИГНИ, № 1048. Западно-Сибирская равнина, Даниловская скв. 85, гл. 1744—1748 м (2,1 м от верха интервала). Верхний оксфорд, даниловская свита.

Описание. Раковина небольших размеров, клиновидная, быстро расширяющаяся к устьевому концу (табл. IV). В поперечном сечении овальная. Состоит из трех—пяти рядов камер, по две в каждом. Камеры первого оборота маленькие, размеры последующих возрастают в 2—3 раза. Начальная камера (Д 0,025 мм) округлая или слабоовальная; последующие приобретают округло-прямоугольную форму, их высота в 2 раза меньше длины. Камеры последнего оборота вздутые, шаровидные или овальные. Спиральный шов углубленный, слабо зигзагообразный, межкамерные — углубленные, расположены под углом 60° к вертикальной оси раковины. Стенка тонкозернистая. Устьевая поверхность выпуклая. Устье внутрикраевое в виде щели у внутреннего края последней камеры.

Изменчивость проявляется в размерах раковины, в соотношении высоты к ширине. Почти неизменно число рядов — 4, реже 3—5.

Сравнение. По клиновидной форме раковины, характеру и расположению камер описываемый вид напоминает *Textularia gibbosa* d'Orb. из оксфорда Швейцарии [110], отличаясь более низкими камерами на ранней стадии роста.

Распространение и возраст. Западная Сибирь; верхний оксфорд.

Местонахождение и материал. Юго-западные районы Западно-Сибирской плиты, Мало-Тапская, Даниловская площади; абалакская, даниловская свиты. До 30 раковин различной сохранности; большая часть раковин сжата с боковых сторон.

РОД *PSEUDOBOLIVINA* Wiesner, 1931

*Pseudobolivina acutata* Комиссаренко, sp. nov.

Табл. 28, фиг. 9—11

*Verneuilinoides postgraciosus*: Комиссаренко, 1986, с. 126, табл. I, фиг. 2 а, б [5].

Название вида — от *acutatus* (лат.) — заостренный.

Голотип — ЗапСибНИГНИ, № 564. Западно-Сибирская равнина, Половинкинская скв. 100, гл. 1882—1892 м. Верхний кимеридж — нижний подъярус волжского яруса.

Описание. Раковина небольшая, удлиненная, приостренная в основании и равномерно расширяющаяся к устьевому концу, где она в 2—4 раза шире, чем в области начальных оборотов. Состоит из двух—восьми пар камер, прямоугольных в начальной части раковины и субквадратных в поздней. Обладает тенденцией к однорядности. Микросферические раковины (восемь пар камер) клиновидной формы, соотношение ширины начальной части к поздней 1:4. Мегалосферические раковины (две пары камер) равномерно расширяющиеся, с почти параллельными боковыми сторонами и крупной начальной камерой. Септальные швы поверхностные в начальной части и слабо углубленные в поздней. Стенка светлая, тонкая, кварцевая. Устье у взрослых экземпляров на слегка оттянутой шейке.

Изменчивость проявляется в вариациях степени расширения раковины (от клиновидной до экземпляров с почти параллельными сторонами), числа оборотов и величины камер (табл. V). В материале преобладают мегалосферические раковины с крупной начальной камерой, небольшим числом оборотов (2—4) и слабо расширяющимися сторонами. Микросферические особи встречаются реже, имеют маленькую начальную камеру и низкие последующие. Лишь последние обороты образованы высокими субквадратными камерами.

Сравнение. Описываемый вид обнаруживает сходство с *Pseudobolivina antarctica* Т а р р а п [113, с. 225, фиг. 2.31], отличаясь от нее менее вздутой раковиной, более плоскими камерами начальных оборотов.

Распространение и возраст. Западная Сибирь; верхний кимеридж — нижневолжский подъярус.

Таблица V

Параметры раковины *Pseudobolivina acutata* Komissarenko, sp. nov.

Экземпляр	Высота, мм	Ширина, мм		Число оборотов	Диаметр начальной камеры, мм
		проксимальный конец	дистальный конец		
Голотип № 564	0,47	0,05	0,14	8	0,018
Микросферический	0,28	0,06	0,14	5	0,017
”	0,44	0,05	0,14	7	0,015
Мегалосферический	0,18	0,1	0,11	2	0,05
”	0,26	0,09	0,17	3	0,05
”	0,31	0,12	0,15	3	0,06
”	0,33	0,08	0,17	4	0,06

Местонахождение и материал. Запад, юго-запад Тюменской обл.; Горная, Весенняя, Сысконсыннинская, Даниловская и другие площади; абалакская, даниловская свиты. Более 20 раковин удовлетворительной сохранности.

*Pseudobolivina tortusa* Komissarenko, sp. nov.

Табл. 28, фиг. 12

Название вида — от *tortus* (лат.) — изогнутый, скрученный.

Голотип — ЗапСибНИГНИ, № 1160. Западно-Сибирская равнина, Северо-Игримская скв. 225, гл. 1634—1636 м (низ). Средний подъярус волжского яруса, тутлеймская свита.

Описание. Раковина удлинённая, суженная у основания и постепенно расширяющаяся к устьевому концу. В поперечном сечении ромбовидно-овальная или близкая к округлой. Состоит из четырех—семи пар камер, субквадратных у слабо расширяющихся раковин и прямоугольных у расширенных в поздней части. Соотношение ширины начальной части к поздней у раковины с почти параллельными сторонами 1:2, у небольшого числа экземпляров — 1:4, раковина приобретает треугольную форму.

Начальная камера небольшая, ее величину измерить не удалось ввиду деформации начальной части раковины. Последующие камеры субквадратные или прямоугольные, расположены под прямым углом к вертикальной оси раковины. У большинства экземпляров наблюдается перекручивание вертикального ряда вокруг оси раковины, но имеются и не перекрученные. Спиральный шов зигзагообразный, углубленный, септальные

четкие, вдавленные. У ряда раковин последняя камера обособляется. Раковина довольно толстая в поздней части. Стенка тонкозернистая, светлая. Устье в виде щели на слабо развитой устьевой трубке либо на поверхности обособляющейся или стремящейся к обособлению камеры.

Размеры (в мм): а) наибольшего экземпляра — В 0,7; Ш 0,25; Т 0,2; число пар камер — 6; б) голотипа — В 0,625; Ш 0,275; Т 0,225; число пар камер — 7; в) наименьшего экземпляра — В 0,375; Ш 0,225; Т 0,15; число пар камер — 7.

Изменчивость проявляется в вариациях размеров раковины, числа камер в вертикальном ряду, степени расширения к устьевому концу.

Сравнение. Вид отличается от известной в Поволжье *P. textularioides* Daip [34] значительно большими размерами, характером и величиной камер, перекручиванием их вокруг оси раковины.

Местонахождение и материал. Ограниченное число разрезов Северо-Игримской, Леушинской и Даниловской разведочных площадей на западе и юго-западе Западно-Сибирской плиты. Верхний кимеридж — нижний подъярус волжского яруса, верхи абалакской, средняя часть даниловской, тутлеймская свиты. Большое число раковин, преимущественно деформированных.

### *Pseudobolivina jamalica* Rylkova, 1986

Табл. 92, фиг. 13, 14

*Pseudobolivina jamalica*: Рылькова, 1986, с. 158, табл. XIX, фиг. 6 а, б.

Голотип — ЗапСибНИГНИ, № 2144. Западно-Сибирская равнина, Харасавэйская скв. 19, гл. 3165—3179 м. Нижний валланжин, ахская свита.

Диагноз. Раковина маленькая, клиновидная, двурядная, постепенно расширяющаяся к устьевому концу, слегка уплощенная. Периферический край слаболопастный. В ряду четыре—шесть камер. Двурядная часть состоит из трех—пяти пар изогнутых камер. Стенка тонкая, гладкая, криптокристаллическая.

Замечание. В дополнение к авторскому описанию вида следует отметить, что форма камер и общие размеры раковин подвержены изменчивости. Так, форма раковины варьирует от удлиненно-овальной до клиновидно-расширяющейся к устьевому концу [25, табл. XIX, фиг. 6 а, б]. Колебания размеров раковин, по-видимому, связаны с условиями обитания.

Сравнение. Отмечается сходство вида с *Pseudobolivina textulariaeformis* (Akimes), описанной из готерив-баррема Белоруссии [2]. Отличается *P. jamalica* большими размерами, а также резко увеличивающейся в размере последней камерой, меньшим числом камер в ряду и тенденцией к их однорядному расположению.

Распространение и возраст. Западно-Сибирская равнина, северо-западная, север центральной части; нижний валанжин, зона *Temnoptychites insolutus* [75].

Местонахождение и материал. Крузенштернская, Харасавэйская площади; ахская свита. Около 200 экземпляров удовлетворительной сохранности.

Семейство TROCHAMMINIDAE Schwager, 1877

Подсемейство TROCHAMMININAE Schwager, 1877

РОД *TROCHAMMINA* Parker et Jones, 1859

*Trochammina inusitata* Schleifer, 1961

Табл. 29, фиг. 1—3

*Trochammina inusitata*: Герке, 1961, с. 146, табл. XVIII, фиг. 3—5.

Голотип.—ВНИИОкеангеология, колл. № 365—5. Средняя Сибирь, Оленекский район, скв. К-300, гл. 100,8—111,6 м. Плинсбах.

Диагноз. Раковина маленькая, в виде низкого конуса с широким основанием и тупой округленной вершиной. Периферический край лопастный. Спираль состоит из трех—четырёх с половиной оборотов, в последнем обороте, превышающем в ширину предшествующий в 2—3 раза, насчитывается семь-восемь камер, округленно-четырёхугольных со спинной стороны и неправильно-треугольных — с брюшной. Камеры выпуклые, разделены углубленными швами. Стенка тонкозернистая, однородная, почти гладкая с кремниевым цементом. Устье неразлично.

Распространение и возраст. Западная Сибирь; плинсбах. Средняя Сибирь; нижний подъярус плинсбаха.

Местонахождение и материал. Ограниченная территория Западной Сибири — п-ов Ямал, Новопортовская, Бованенковская площади; шеркалинская, левинская свиты. Скопления раковин до 300 экземпляров в образце.

*Trochammina rostouzevi* Levina, 1972

Табл. 29, фиг. 4—7; табл. 30, фиг. 1

Синонимика: см. Лутова, 1981, с. 25.

Голотип — ЗапСибНИГНИ, № 419. Западно-Сибирская равнина, Игримская скв. 114, гл. 1654—1657 м. Келловой, абалакская свита.

Диагноз. Раковина крупная или средних размеров, толстая, округлая. Брюшная сторона вогнута в области пупка, спинная ровная или слабо выпуклая. Образована двумя с по-

ловиной—тремя оборотами спирали. В последнем пять-шесть камер. По мере роста раковины камеры быстро увеличиваются в размерах. Швы углубленные; на спинной стороне косые, на брюшной прямые, радиальные. Стенка мелкозернистая, состоит из зерен халцедона.

З а м е ч а н и е. В. И. Левина выделяет в составе вида два подвида: *T. rostouzevi rostouzevi* (см. табл. 29, фиг. 4, 6, 7) и *T. rostouzevi lobata* in koll. [97, табл. XXII, фиг. 4]. Второй подвид отличается от первого более лопастным периферическим краем и, судя по небольшому материалу, несколько меньшими размерами раковины. Стратиграфический уровень *T. rostouzevi lobata* in koll. (см. табл. 29, фиг. 5) ограничен келловеем, а географическое распространение — западными районами Западной Сибири.

Распространение и возраст. Средняя и Западная Сибирь (северные районы), Земля Франца Иосифа, Шпицберген; келловей. Западная Сибирь; нижний оксфорд.

Местонахождение и материал. Западная Сибирь, повсеместно; абалакская, даниловская, васюганская свиты. Обилие раковин из многочисленных разрезов.

### *Trochammina kosyrevae* L e v i n a, 1972

Табл. 29, фиг. 8

*Trochammina omskensis*: Булырникова, 1962, табл. I, фиг. 5.

*Trochammina kosyrevae*: Левина, 1972, с. 83, табл. XXII, фиг. 5—9; табл. XXIX, фиг. 4 [97].

Голотип — ЗапСибНИГНИ, № 888. Западно-Сибирская равнина, Пунгинская скв. 212, гл. 1755,5—1761,4 м. Нижний оксфорд, абалакская свита.

Диагноз. Раковина средних размеров, слаболопастная, почти равномерно уплощенная с боковых сторон. Образована двумя—двумя с половиной оборотами спирали, в каждом из которых шесть камер, в последнем шесть-семь. Камеры удлиненные, неправильно-четыреугольной формы, в последнем обороте почти в 2 раза шире, чем в предшествующем. Швы на спинной стороне скошены, слегка изогнуты. Стенка гладкая, мелкозернистая, состоит из зерен халцедона. Устье на брюшной стороне, иногда со слабо развитой губой.

Распространение и возраст. Западная Сибирь; верхи келловая, нижний, средний оксфорд.

Местонахождение и материал. Арктические, северо-западные, западные, центральные районы Западно-Сибирской равнины; абалакская, даниловская, васюганская свиты. Большое число раковин.

*Trochammina* ex gr. *oxfordiana* Schaurovskaia, 1961

Табл. 30, фиг. 2, 3, 10

*Trochammina* ex gr. *oxfordiana*: Левина, 1972, табл. XXIV, фиг. 7 [97].

Распространение и возраст. Западная Сибирь; нижний — средний оксфорд.

Местонахождение и материал. Северо-западные, центральные и северо-восточные районы Западной Сибири; ваюганская, сиговская, даниловская свиты. Небольшое число раковин в образцах.

*Trochammina minutissima* Dain, 1972

Табл. 30, фиг. 11—13; табл. 33, фиг. 6

*Trochammina minutissima*: Даин, 1972, с. 86, табл. XXIV, фиг. 2—5 [97].

Голотип — ВНИГРИ, № 520/15. Приполярный Урал, восточный склон, бассейн р. Толья, скв. 159, гл. 168—171 м. Верхний оксфорда, маурыньинская свита.

Диагноз. Раковина маленькая, округлая, слаболопастная с несколько уплощенной спинной и более вздутой брюшной сторонами. Состоит из полутора-двух оборотов спирали. Камеры первого оборота очень маленькие, во втором пять-шесть камер, разделенных слабоизогнутыми почти прямыми углубленными швами. Они значительно крупнее, заметно увеличиваются в размерах, особенно две последние. Стенка кварцевая или кремнистая, слабошероховатая.

Распространение и возраст. Западная Сибирь; верхний оксфорда — низы кимериджа.

Местонахождение и материал. Северо-запад, восточный склон Полярного Урала, запад и юго-запад Западно-Сибирской равнины; маурыньинская, низы лопсинской, абалакская, даниловская свиты. В Зауралье встречается в большом количестве, в других районах Западной Сибири единичные экземпляры.

*Trochammina omskensis* Kosyрева, 1972

Табл. 31, фиг. 1, 2

*Trochammina omskensis*: Козырева, 1972, с. 84, табл. XXIII, фиг. 1—7; табл. XXIX, фиг. 9 [97].

Голотип — ВНИГРИ, № 521/6. Западно-Сибирская равнина, Колпашевская скв. 1, гл. 2345 м. Низы кимериджа, георгиевская свита.

**Диагноз.** Раковина средних размеров, округлая, слаболапастная, равномерно уплощенная с боковых сторон. Образована тремя—четырьмя с половиной оборотами спирали. В последнем шесть—семь камер, постепенно увеличивающихся в размерах, выпуклых на брюшной стороне, имеющих вид низких и широкоокругленных четырехугольников. Швы углубленные слабоскошенные на брюшной стороне, радиальные на спинной. Стенка тонкая, мелкозернистая, почти гладкая, состоит из мельчайших частиц кварца с включением зерен пирита и кремнистого материала.

**Распространение и возраст.** Западная Сибирь; нижний кимеридж.

**Местонахождение и материал.** Развита повсеместно, абалакская, даниловская, яновстанская свиты; наибольшее скопление в глинах георгиевской свиты. Большое число раковин.

### *Trochammina taboryensis* Levina, 1972

Табл. 31, фиг. 3—9; табл. 32, фиг. 1—3

*Trochammina taboryensis*: Левина, 1972, с. 89, табл. XXV, фиг. 1—2; табл. XXIX, фиг. 8 [97].

**Голотип** — ЗапСибНИГНИ, № 905. Западная Сибирь, Таборинская скв. 1, гл. 1243,2—1250,2 м. Нижний кимеридж, даниловская свита.

**Диагноз.** Раковина средних размеров с выпуклой, иногда слабо приостренной макушкой на спинной стороне и вдавленная в области пупка на брюшной. Образована тремя оборотами спирали, в каждом из которых по пять—шесть камер. Камеры спинной стороны неправильно-четырёхугольной формы, разделенные косоизогнутыми швами, на брюшной — в виде округленных треугольников. Стенка очень тонкая, состоит из зерен халцедона.

**Распространение и возраст.** Западная Сибирь; нижний кимеридж.

**Местонахождение и материал.** Запад и юго-запад Западной Сибири, Обской профиль, бассейны рек Волья и Толья, Ляпинская, Яхлинская, Эсская, Круглая, Владимирская, Таборинская, Половинкинская и другие площади; даниловская, абалакская, лопсинская свиты. Большое число раковин.

### *Trochammina quinquelocularis* Da in, 1972

Табл. 33, фиг. 2—5, 7—9

*Trochammina quinquelocularis*: Даин, 1972, с. 87, табл. XXIV, фиг. 6, 8—10 [97].

Голотип — ВНИГРИ, № 520/52. Приполярный Урал, р. Толья, скв. 159, гл. 159—162 м. Низы кимериджа, лопсинская свита.

Диагноз. Раковина небольшая, низкокonusовидная, с уплощенным последним оборотом на спинной стороне и слабоогнутой брюшной стороной. Образована тремя—четырьмя с половиной оборотами спирали, в каждом полном обороте пять, реже шесть камер. Камеры последнего оборота быстро увеличиваются в размерах. На брюшной стороне они удлиненно-трапециевидные, разделены косыми углубленными швами. Периферический край приостренный. Стенка состоит из микроагрегатного кварца.

Распространение и возраст. Западная Сибирь; верхняя часть оксфорда — низы кимериджа, реже низы волжского яруса.

Местонахождение и материал. Северо-запад, запад Западно-Сибирской равнины; профили: Обской, Щекурья-Саранпауль, Кунжальское поднятие; площади Карабашская, Половинкинская и др.; даниловская, верхи маурыннинской — низы лопсинской свит. На Приполярном Урале в больших количествах, в других районах — немного.

### *Trochammina elevata* Козырева, 1972

Табл. 34, фиг. 2

*Trochammina elevata*: Козырева, 1972, с. 88, табл. XXIII, фиг. 8—11, 13 [97].

Голотип — ВНИГРИ, № 521/12. Западно-Сибирская равнина, Тюменская опорная скв. 1, гл. 1393,9—1401 м. Верхи нижнего — низы верхнего кимериджа, даниловская свита.

Паратип — ЗапСибНИГНИ, № 796. Тюменская опорная скв. 1-Р, гл. 1393—1401 м (верх). Кимеридж, даниловская свита.

Диагноз. Раковина небольшая, свернута в спираль конической формы, с широколопастным и высоким периферическим краем. Образована тремя с половиной оборотами спирали. В полном обороте четыре сильно вздутые камеры, имеющие на спинной стороне неправильно-бобовидную удлиненную форму, разделенные косыми швами. На брюшной слабоуплощенной стороне хорошо выражено пупочное углубление; камеры округло-треугольные, швы радиальные. Стенка раковины очень тонкая, состоит из кремнистого материала, тонких зерен пирита и карбонатов вторичного происхождения.

Распространение и возраст. Западная Сибирь; кимеридж, слои с *Aulacostephanus* (*Xenostephanus*) sp.

Местонахождение и материал. Северо-запад, западные, центральные, северо-восточные районы Западной Сибири; даниловская, мулымьинская, абалакская, георгиевская, яновская свиты. Небольшое число раковин в многочисленных разрезах.

*Trochammina kumaensis* Levina, 1972

Табл. 30, фиг. 4—9; табл. 32, фиг. 4—8; табл. 33, фиг. 1

*Trochammina taboryensis*: Левина, 1972, табл. XXV, фиг. 3а—в [97].

*Trochammina kumaensis*: Левина, 1972, с. 91, табл. XXV, фиг. 4, 5, 7, 8; табл. XXIX, фиг. 5—7 [97].

Голотип — ЗапСибНИГНИ, № 890. Карабашская скв. 3-Р, гл. 1848—1852 м. Верхний кимеридж, даниловская свита.

Диагноз. Раковина средних размеров, ровная или слегка выпуклая со спинной стороны и выпукло-вогнутая с брюшной; периферический край высокий, лопастный в очертании. Состоит из полутора-двух оборотов спирали. В последнем пять с половиной—шесть камер, резко увеличивающихся в размерах по сравнению с камерами предшествующего оборота, имеющих неправильно-трапецевидную форму и разделенных косыми закругленными швами на спинной стороне. На брюшной стороне камеры округленно-треугольные, швы прямые, радиальные. В центральной части брюшной стороны наблюдается незначительное пупочное углубление. Стенка мелкозернистая кварцевая с примесью зерен халцедона.

Распространение и возраст. Западная Сибирь; кимеридж — нижний подъярус волжского яруса.

Местонахождение и материал. Северо-запад, западные, юго-западные, центральные и северо-восточные районы Западной Сибири; даниловская, абалакская, георгиевская, яновстанская свиты. До 15 экземпляров в образце.

*Trochammina septentrionalis* Scharovskaja, 1961

Табл. 33, фиг. 10; табл. 34, фиг. 1

*Trochammina septentrionalis*: Шаровская, 1961, с. 35, табл. III, фиг. 5—7а, в; табл. XXVI, фиг. 5 [97]; Булыникова и др., 1986, с. 126, табл. LI, фиг. 6 [5].

Голотип — ВНИИОкеангеология, № 748—16. Средняя Сибирь, Нордвикский район, Южно-Тигянский участок, скв. К-263, гл. 162,35—163,3 м. Нижний подъярус волжского яруса.

Диагноз. Раковина сравнительно небольшая, уплощенная с волнистым лопастным периферическим краем. Образована двумя—тремя с половиной оборотами спирали, плавно увеличивающимися в ширину. Последний превышает предшествующий более чем в 2 раза. В нем 10—11 камер, неправильно-прямоугольных на спинной стороне и косотреугольных на брюшной. Швы почти поверхностные, косоизогнутые, на деформированных экземплярах выпуклые. Стенка раковины кремнистая с примесью глинистого материала.

Распространение и возраст. Средняя Сибирь, север; волжский ярус. Западная Сибирь, средний — нижний подъярус волжского яруса.

Местонахождение и материал. Многочисленные скважины в различных районах Западной Сибири; баженовская, тутлеймская, даниловская, яновстанская свиты. Очень большое число преимущественно деформированных раковин.

*Trochammina annae* Levina, 1972

Табл. 34, фиг. 3—5, 10—12

*Trochammina annae*: Левина, 1972, с. 92, табл. XXVI, фиг. 1—4; табл. XXIX, фиг. 10 [97]; Комиссаренко, 1986, с. 127, табл. I, фиг. 7 а—в [5].

Голотип — ЗапСибНИГНИ, № 889. Западно-Сибирская равнина, Карабашская скв. 3, гл. 1828,45—1832,25 м. Нижний подъярус волжского яруса, даниловская свита.

Диагноз. Раковина очень маленькая, уплощенная со спинной стороны и вогнутая с брюшной. Периферический край лопастный. Образована двумя—двумя с половиной оборотами спирали, в каждом из них до шести камер. Камеры последнего оборота намного крупнее предшествующих. На спинной стороне они округленно-четыреугольные, на брюшной — округленно-треугольные. Швы тонкие, углубленные. Стенка гладкая, очень тонкая, состоит из зерен халцедона.

Распространение и возраст. Западная Сибирь; верхний кимеридж — волжский ярус.

Местонахождение и материал. Скважины Сысконьинской, Игримской, Мулымьинской, Семивидовской, Половинкинской, Окуневской, Губкинской и других площадей, Обской профиль; даниловская, тутлеймская, баженовская, мулымьинская свиты. В многочисленных скважинах в небольшом количестве.

*Trochammina rosacea* Zaspelova, 1948

Табл. 34, фиг. 6; табл. 92, фиг. 15, 16

Синонимика: см. Булыникова и др., 1986, с. 126, табл. LI, фиг. 4 а—в [5].

Голотип — ВНИГРИ, № 1734. Западно-Сибирская равнина, Ганькинская скв. Волжский ярус, даниловская свита.

Диагноз. Раковина маленькая, округлая с лопастным периферическим краем. Образована двумя с половиной—тремя оборотами спирали. В последнем семь-восемь, реже шесть камер, закругленно-трапецевидных на спинной стороне и закругленно-треугольных — на брюшной. Камеры выпуклые. Швы слабоуглубленные, незначительно изогнутые на брюшной стороне. Стенка тонкая, халцедоновая.

Распространение и возраст. Западная и север Средней Сибири; волжский ярус, преимущественно верхний подъярус.

Местонахождение и материал. Скважины, вскрывшие даниловскую, тутлеймскую, мулымьинскую, баженовскую (редко), яновстанскую свиты. Большое число раковин.

*Trochammina misinovi* Levina, 1972

Табл. 35, фиг. 1—5; табл. 36, фиг. 1, 2

*Trochammina* ex gr. *neocomiana*: Левина, 1972, табл. XXVI, фиг. 8 [97].

*Trochammina misinovi*: Левина, 1972, с. 93, табл. XXVII, фиг. 1—4; табл. XXIX, фиг. 13 [97].

Голотип — ЗапСибНИГНИ, № 445. Западно-Сибирская равнина, Мулымьинская скв. 10, гл. 1510—1513,9 м. Верхний подъярус волжского яруса, мулымьинская свита.

Диагноз. Раковина крупная, массивная, уплощенная, широкозакругленная с крупнолопастным периферическим краем. Образована двумя—двумя с половиной оборотами спирали, в каждом из которых шесть-семь камер, имеющих на спинной стороне закругленно-четыреугольную форму. Первые обороты несколько выше последнего или на одном уровне с ним. Швы углубленные прямые. Стенка относительно мелкозернистая, халцедоновая.

Распространение и возраст. Западная Сибирь; верхневолжский подъярус; единичные разрезы — средневолжский подъярус.

Местонахождение и материал. Западные и юго-западные районы Западно-Сибирской равнины; тутлеймская, мулымьинская, верхи даниловской свит. Большое число деформированных раковин.

*Trochammina kondaensis* Levina, 1972

Табл. 36, фиг. 3—5

Синонимика: см. Булынникова и др., 1986, с. 127.

Голотип — ЗапСибНИГНИ, № 868. Западная Сибирь, Эсская скв. 4, гл. 1590,2—1593,5 м. Верхний подъярус волжского яруса, даниловская свита.

Диагноз. Раковина небольшая, уплощенная с широкозакругленным лопастным периферическим краем. Образована двумя с половиной—тремя оборотами спирали. В последнем восемь-девять камер, округленно-трапециевидных на спинной стороне и округленно-треугольных на брюшной. На брюшной стороне довольно большое пупочное углубление. Швы углубленные отчетливые, слабоизогнутые на спинной стороне. Стенка толстая, мелкозернистая, халцедоновая.

Распространение и возраст. Западная Сибирь; верхний подъярус волжского яруса.

Местонахождение и материал. Многие скважины северо-западных, западных, юго-западных, северо-восточных районов; даниловская, тутлеймская, яновстанская свиты. Большое число раковин.

*Trochammina composita* Булыникова, 1987

Табл. 92, фиг. 17

*Trochammina composita*: Булыникова, 1986, с. 26—27, табл. IX, фиг. 1—2.

Голотип — СНИИГГиМС, № 1—Б/12-73. Западно-Сибирская равнина, Кыксинская скв. 1, гл. 1026,7—1031 м. Средний подъярус волжского яруса, слои с *Ammodiscus zaspelovae* — *Dorothia tortuosa* (= *Spiroplectammina vicinalis* — *Dorothia tortuosa*), яновстанская свита.

Диагноз. Раковина низкотраходная, маленькая, округлая, слегка выпуклая со спинной стороны и умеренно вогнутая с брюшной; в очертании слаболопастная, почти ровная. Образована двумя—двумя с половиной оборотами спирали. Ширина последнего более чем в 2 раза превышает ширину предшествующего. Общее число камер 11—19, чаще 17—19; в последнем обороте шесть—неполных восемь камер. На спинной стороне камеры округло-овальные, на брюшной — закругленно-треугольные, образующие в центральной части раковины широкий, умеренно углубленный пупок. Стенка состоит из зерен микроагрегатного кварца, тонкопесчанистая.

Распространение и возраст. Распространение прослежено локально. Ограничено средним — верхним подъярусом волжского яруса приуральской и восточной частей Западной Сибири.

Местонахождение и материал. Эсская площадь, скв. 2-Р, гл. 1600,2—1613,2 м; скв. 4-Р, гл. 1598 м. Верхний подъярус волжского яруса, яновстанская, даниловская свиты. Около 30 раковин удовлетворительной сохранности.

*Trochammina rosaceaformis* Романова, 1960

Табл. 93, фиг. 1

*Trochammina rosaceaformis*: Романова, 1960, с. 67, табл. X, фиг. 3—8; Субботина, 1964, с. 194, табл. XXVII, фиг. 1—3 [96].

Голотип — ВСЕГЕИ, колл. № 7766 Центрального геологического музея. Западно-Сибирская равнина, Рявкинская скв. 1, гл. 1350—1356 м. Валанжин, верхняя часть куломзинской свиты.

Диагноз. Раковина небольшая или средних размеров, уплощенная с тонким лопастным периферическим краем. Обра-

зована двумя—двумя с половиной оборотами спирали. В последнем 6—10 лепестковидных камер. Швы тонкие изогнутые. Стенка тонкая, халцедоновая.

Сравнение. По характеру периферического края и составу стенки вид сходен с *Trochammina rosacea* Zasp. Отличается большими размерами раковины и камер, меньшим числом оборотов спирали (2—2,5 против 2,5—3), числом камер в раковине (11—16, против 12—15) и последнем обороте (6—9, иногда 10 против 7—8).

Распространение и возраст. Западная Сибирь, запад, юго-запад, юг и северо-восток; берриас — валанжин (в Березовском районе — нижний готерив). Средняя Сибирь, Урдюк-Хая — Нордвик; берриас. Коми АССР и Архангельская область; валанжин.

Местонахождение и материал. Западная Сибирь — алясовская, ахская, тарская, куломзинская, верхняя подсвета марьяновской, нижнехетская, яновстанская свиты. Масса раковин, большая часть которых деформирована, плохой сохранности.

*Trochammina polymera* Dubrovskaja, 1962

Табл. 93, фиг. 2—4

*Trochammina polymera*: Дубровская, 1962, с. 68, табл. I, фиг. 1.

Голотип — ЗапСибНИГНИ, № 393. Западно-Сибирская равнина, Макаркинская скв. 67 (4-Р), гл. 1269—1271 м. Берриас, ахская свита.

Диагноз. Раковина маленькая или средних размеров, уплощенная, округлая, узколопастная с периферического края. Образована тремя оборотами спирали. В последнем 9—11 камер, закругленно-четыреугольных на спинной стороне и лепестковидных — на брюшной. Рост камер постепенный, как и увеличение ширины спирали. Швы углубленные, слабоскошенные на спинной стороне и почти радиальные на брюшной. Стенка раковины тонкая, халцедоновая.

Описание. Изменчивость вида проявляется в колебании размеров раковины и степени выпуклости камер. У наиболее мелких экземпляров раковина в целом кажется более выпуклой, чем у крупных. Неодинаков характер швов на брюшной стороне раковины: от почти радиальных до заметно скошенных, особенно между последними камерами относительно крупных раковин.

Сравнение. От наиболее близкой *Trochammina rosacea* Zaspelova [42] из верхнеюрских отложений юга Западно-Сибирской равнины *T. polymera* отличается заметно большим числом камер в оборотах спирали. От *T. rosaceaformis* Rom. [92] из неокома Западной Сибири отличается гораздо меньшими размерами при большем числе камер в оборотах (9—11 ка-

мер в последнем обороте у *T. polymera* и 6—9 камер у *T. roseaformis*).

Распространение и возраст. Западная Сибирь; берриас, зона *Tollia payeri*, слои с *Trochammina polymera*.

Местонахождение и материал. Запад, центральная часть и крайний север Западной Сибири; алясовская, мультымбинская, тутлеймская и ахская свиты. Большое число раковин, преимущественно деформированных.

*Trochammina anabarensis* Булынныйкова, 1986

Табл. 93, фиг. 8, 9

*Trochammina anabarensis*: Булынныйкова, 1986, с. 26—27, табл. IX, фиг. 5—6.

Голотип — СНИИГГиМС, № 1—Б/13-26. Средняя Сибирь, р. Анабар, обн. 1. Нижний валанжин, зона *Temnoptychites syzganicus*, харабыльская свита.

Диагноз. Раковина от средних до крупных размеров, двояковыпуклая с узким, но глубоким пупком на брюшной стороне и слаболопастным периферическим краем. Образована двумя оборотами спирали, в каждом по пять-шесть камер. Камеры первого оборота на спинной стороне закругленно-трапециевидные, почти овальные, по размерам немного превосходят начальную, второго — от закругленно-трапециевидных до закругленно-треугольных, резко увеличены в размерах. Стенка кварцевая, толстая, грубошероховатая, разнозернистая, с вкраплениями крупных зерен. Устье арковидно-щелевидное, расположено в основании брюшного края последней камеры (см. табл. 93, фиг. 8 б).

Местонахождение и материал. См. Голотип. Пять раковин различной сохранности.

*Trochammina fusca* N. Белоусова, 1986

Табл. 94, фиг. 12

*Trochammina fusca*: Белоусова, 1986, с. 157, табл. 19, фиг. 7 а—в.

Голотип — ЗапСибНИГНИ, № 1033. Западно-Сибирская равнина, Уватская скв. 1, гл. 2212—2216 м. Нижний готерив, зона *Speetonicerias versicolor*, слои с *Trochammina gyroidiniformis* — *Acruliammina pseudolonga*, ахская свита.

Диагноз. Раковина очень маленькая, низкотрохоидная, округлая в очертании. Образована двумя—двумя с половиной оборотами спирали, в последнем пять-шесть, реже семь камер. На спинной стороне они неправильно-трапециевидные, на брюшной закругленно-треугольные. Швы слабоизогнутые, почти поверхностные. Стенка шероховатая, прозрачная, кварцевая.

Распространение и возраст. Западная Сибирь, западная и центральная части; нижний готерив, зона *Speetonicerias versicolor*, слои с *Trochammina gyroidiniformis* — *Acruliammina pseudolonga*.

Местонахождение и материал. Скважины западной и центральной частей равнины; алясовская (устремская пачка), ахская и вартовская свиты. Многочисленные раковины удовлетворительной сохранности.

*Trochammina neocomiana* Mjatljuk, 1939

Табл. 94, фиг. 2, 3

*Trochammina neocomiana*: Мятлюк, 1939, с. 51, табл. I, фиг. 10 а, б; Романова, 1955, с. 12, табл. I, фиг. 9, 10; Романова, 1960, с. 66, табл. X, фиг. 1 а, б.

Голотип — ВНИГРИ, № 946. Среднее Поволжье, Городище. Готерив, зона *Speetonicerias versicolor*.

Диагноз. Раковина средних размеров, умеренно уплощенная, округлая, с лопастным периферическим краем. Образована двумя оборотами спирали. В последнем обороте, заметно увеличенном в ширину по сравнению с первым, пять-шесть камер, неправильно-четырёхугольной формы на спинной стороне и округленно-треугольной — на брюшной. Швы углубленные, изогнутые. Стенка шероховатая, довольно толстая, кварцевая.

Описание. Изменчивость у сибирских экземпляров, как отмечает В. И. Романова [92], проявляется в колебании размеров раковины, числа камер, до некоторой степени в отчетливости швов (от малоотчетливых до неясных). Стенка раковины в зависимости от литологического состава вмещающих отложений более или менее грубозернистая. Цвет ее от коричнево-желтого до желто-белого. Заметно присутствие на поверхности стенки большего количества кварцевых зерен.

Распространение и возраст. Среднее Поволжье (Городище); черные глины верхней части неокома, зона *Speetonicerias versicolor*. Западная Сибирь; готерив, зона *S. versicolor*, слои с *Trochammina gyroidiniformis* — *Acruliammina pseudolonga*. Крым; титон (редко), берриас, валанжин.

Местонахождение и материал. Западные части равнины, верхи ахской свиты. В значительном количестве отмечается на юго-западе (Тюменская опорная скважина); обычно не образуют больших скоплений. Сохранность раковин чаще хорошая.

*Trochammina micra* N. Belousova, 1977

Табл. 94, фиг. 8

*Trochammina micra*: Белоусова, 1977, с. 72, табл. III, фиг. 7, 8.

Голотип — ЗапСибНИГНИ, № 1035. Западно-Сибирская равнина, Минчимская св. 23, гл. 2107—2111,5 м. Готерив,

зона *Speetonicerias versicolor*, слои с *Trochammina gyroidiniformis* — *Acruliammina pseudolonga*; нижняя подсвита вартовской свиты (пимская пачка).

**Диагноз.** Раковина очень маленькая, выпуклая со спинной стороны и уплощенная с брюшной; в очертании округлая, со слаболопастным периферическим краем. Образована тремя—четырьмя с половиной оборотами, плавно увеличивающимися в размерах. В последнем обороте шесть с половиной—восемь камер, округленно-четырехугольных на спинной стороне и округленно-треугольных на брюшной. В центре брюшной стороны небольшое пупочное углубление. Швы слабоуглубленные, слегка скошенные или прямые. Стенка тонкая, халцедоновая.

**Распространение и возраст.** Западная Сибирь; нижний готерив, зона *Speetonicerias versicolor*, слои с *Trochammina gyroidiniformis* — *Acruliammina pseudolonga*.

**Местонахождение и материал.** Центральная часть равнины, пимская пачка нижней подсвиты вартовской свиты. Более 100 раковин, в основном плохой сохранности. Многие экземпляры деформированы и обломаны.

*Trochammina gyroidiniformis* Mjatljuk, 1961

Табл. 94, фиг. 4—7

*Trochammina gyroidiniformis*: Мятлюк, 1961, с. 143, табл. X, фиг. 2а—в; Акимец, 1971, с. 162, табл. 4, фиг. 3—5; Белоусова, 1977, с. 70, табл. III, фиг. 1—6.

**Экземпляры** — ЗапСибНИГНИ, № 384 и 385. Западно-Сибирская равнина, Алтатумпская скв. 160, гл. 1350,2—1356 м. Готерив, зона *Speetonicerias versicolor*, слои с *Trochammina gyroidiniformis* — *Acruliammina pseudolonga*; алясовская свита (чуэльская пачка).

**Описание.** В дополнение к авторскому описанию следует отметить, что у вида варьирует степень выпуклости раковины в пупочной области и вогнутости спинной стороны. У раковин с более выпуклой брюшной стороной сильнее вогнута спинная.

**Сравнение.** Сибирские экземпляры *Trochammina gyroidiniformis* почти не отличаются от голотипа. Они лишь несколько крупнее и имеют больше камер во всей раковине и в последнем обороте, по-видимому, за счет присутствия в материале более взрослых особей. Не исключено, что в Западной Сибири развит не сам вид, а его экологическая морфа.

**Распространение и возраст.** Среднерусская равнина, Ульяновско-Саратовское Поволжье, Припятская и Оршанская впадины, Жлобинская седловина и юго-западный склон Воронежской синеклизы; готерив, зона *Speetonicerias versicolor*. Общий Сырт; готерив. Западная Сибирь; валанжин — нижний готерив. Вне СССР: северо-западная часть ФРГ, окрестности г. Вендена; баррем.

Местонахождение и материал. Западно-Сибирская равнина, валанжин — готерив повсеместно; улансынская, мулымбинская (верхняя часть), алясовская (чуэльская и устремская пачки), ахская (верхняя подсвита), вартовская, суходунская (пеляткинская пачка) свиты. Для описания просмотрено 400 раковин одной популяции, разной возрастной стадии и сохранности. Массовый материал.

*Trochammina sibirica* N. Belousova, 1979

Табл. 93, фиг. 5, 6

*Trochammina sibirica*: Белоусова, 1979, с. 49, табл. 8, фиг. 7 а—в, 8.

Голотип — ЗапСибНИГНИ, № 2039. Западно-Сибирская равнина, Малотепловская скв. 82, гл. 2448,5—2452 м. Валанжин, слои с *Trochammina gyroidiniformis* — *Trochammina sibirica*, мегионская свита, чеускинская пачка (нижняя часть).

Диагноз. Раковина средних размеров, низкотрохоидная, уплощенная, округлая в очертании со слабопастным периферическим краем. Образована двумя-тремя оборотами спирали. Общее число камер 16—30, в последнем обороте 6—10. На спинной стороне они неправильно-четыреугольной формы, на брюшной ближе к треугольной. Швы слабоуглубленные, скошенные, на брюшной стороне радиальные. Стенка тонкая, халцедоновая.

Описание. Изменчивости подвержены размеры раковины, число оборотов и камер во всей раковине и в последнем обороте, что зависит от возрастной стадии и принадлежности к генерации.

Сравнение. Вид по типу строения раковины очень близок к *Trochammina valoulineriaformis* Акіт. [1] из готерив-баремских отложений Белоруссии (Гомельская обл.). Отличается более крупной раковиной и отсутствием языковидного отростка, закрывающего пупок. От сходной *T. polymera* Dubrov. [41], характерной для верхов берриаса Западной Сибири, отличается менее выпуклой брюшной стороной, наличием углубленного пупка и более тонкой стенкой раковины.

Распространение и возраст. Западная Сибирь; валанжин, зона *Temnoptychites insolutus*, слои с *Trochammina gyroidiniformis* — *Trochammina sibirica*.

Местонахождение и материал. Разведочные площади в северо-западной и центральной частях равнины; Деминская пачка алясовской свиты, низы чеускинской пачки и пачки 4-й мегионской свиты. Более 100 экземпляров на различных возрастных стадиях, частично или полностью пиритизированных, большей частью деформированных.

*Trochammina mugiensis* Dain et Bulynnikova, sp. nov.

Табл. 95, фиг. 1, 2

Название вида — по местонахождению.

Голотип — ВНИГРИ. Западно-Сибирская равнина, профиль Азовы—Мужи, скв. 4, гл. 854 м. Нижний готерив, алясовская свита.

Описание. Раковина средних размеров, уплощенная, слаболопастная в очертании. Образована четырьмя оборотами спирали, в которых насчитывается до 30 камер. Во втором и третьем оборотах по восемь-девять камер, в последнем — шесть-семь. Ширина оборотов и размеры камер резко увеличиваются по мере роста раковины. Камеры на спинной стороне в первом обороте очень маленькие, по форме почти округлые, в последующих неправильно-трапециевидные, на брюшной — закругленно-треугольные (см. табл. 95, фиг. 1). Спинная сторона незначительно выпуклая, брюшная в равной степени вогнутая. Спиральный и септальный швы тонкие, умеренно углубленные, достаточно четкие. Септальные швы на спинной стороне, как правило, косоизогнуты в направлении, обратном навиванию спирали, на брюшной — радиальные. Стенка раковины тонкая, очень эластичная, состоит из зерен халцедона; подвержена значительной деформации.

Размеры (в мм): а) голотипа — Д 0,5; Д<sub>1</sub> 0,6; Т 0,07; Т : Д = 0,14; число оборотов спирали — 4; число камер в последнем обороте — 6; б) 10 экземпляров — Д 0,35—0,6; Д<sub>1</sub> 0,6—0,7; Т 0,07—0,073; Т : Д = 0,1—0,2; число оборотов спирали 3,5—4; число камер в последнем обороте 6—7.

Сравнение. Вид напоминает по форме раковины, скорости увеличения размеров камер, их очертанию и числу в последнем обороте спирали кимериджскую *T. kumaensis* Lev. [97]. Отличается от последней большим числом оборотов спирали (4—3,5 против 3), общим числом камер (30 против 14—17) и, наконец, большей степенью уплощенности раковины.

Близкая к *T. mugiensis* форма обнаружена Н. А. Белоусовой в нижнем валанжине северной и центральной частей Западно-Сибирской равнины (см. табл. 94, фиг. 11, 13). Ее отличия от *T. mugiensis*, как полагает Н. А. Белоусова, заключаются лишь в меньшем числе оборотов спирали (3 вместе 3,5—4) и камер в целом. Н. А. Белоусовой высказывается предположение о возможной принадлежности *T. ex gr. mugiensis* к описываемому виду, но по ее мнению ранневаланжинские формы еще требуют дальнейшего изучения.

Местонахождение и материал. Профиль Азовы—Мужи северо-западной части Западно-Сибирской равнины, Усть-Балыкская разведочная площадь Широного Приобья. Нижний готерив, алясовская и мегионская ? свиты. 10—15 раковин в образце.

*Trochammina parviloculata* Gerke et Scharovskaja,

sp. nov. \*

Табл. 93, фиг. 7

Голотип — ВНИИОкеангеология, № 1009/102. Север Средней Сибири, п-ов Нордвик, скв. К-481, гл. 116,9 м. Пограничные отложения юра—мел, слои с *Evolutinella volossatovi* — *Ammodiscus veteranus*.

Описание. Раковина сравнительно небольшая, в основании округлая или слегка овально-округлая, с волнистым слабо-заостренным периферическим краем, обычно очень низкая (вследствие деформации). Отдельные экземпляры достигают большой высоты, что свидетельствует о более высококонусовидной форме раковины в прижизненном состоянии. Отношение наибольшего диаметра к наименьшему 1,1—1,4 (обычно 1,1—1,2), а к толщине 1,5—3,8 (чаще 1,5—2). Состоит из 11—21 (обычно 11—12) камер, образующих полтора—два с половиной оборота. Со спинной стороны прослеживаются все камеры. Начальная камера округлая, очень маленькая (15—20 мкм в диаметре), последующие в первом обороте также очень малы, округленные или округло-треугольные; их размеры плавно возрастают по мере роста раковины. При переходе ко второму обороту камеры резко увеличиваются в размерах, а в последнем и частично в предпоследнем оборотах достигают сравнительно крупных размеров и приобретают округленно-прямоугольные или ромбовидные очертания. Швы прямые или слегка изогнутые, довольно углубленные. Спиральный шов углубленный. Бочковые поверхности обычно выпуклые, из-за деформации бывают сглаженными. С брюшной стороны видны камеры последнего оборота (пять—семь, чаще шесть). Они сравнительно выпуклые, округленно-треугольные или лепестковидные, разделены углубленными радиальными или слегка изогнутыми швами. Септальная поверхность последней камеры округленно-треугольная, у деформированных форм овально-удлиненная, обращенная на брюшную сторону. В основании септальной поверхности расположено щелевидное устье. Стенка раковины мелкозернистая кварцевая (размер зерен 7—25, обычно 7—10 мкм), сравнительно толстая.

Размеры (в мм):  $D_{\text{наиб.}}$  0,31—0,74 (обычно 0,35—0,40);  $D_{\text{наим.}}$  0,26—0,62 (0,30—0,37);  $T$  (В) 0,10—0,48 (0,14—0,24).

Среди особей *Trochammina parviloculata*, наблюдается большая возрастная изменчивость (размеры раковины взрослых особей в 1,5—2 раза превышают таковые молодых особей). Наряду с очень низкими сдавленными формами, встречаются довольно высокие, свидетельствующие о том, что в прижизненном состоянии раковина была высококонусовидной. Сильно варьирует общее число камер и соответственно число оборотов. Принадлеж-

\* Вид описан А. А. Герке и Н. В. Шаровской.

ность к поколениям проявляется, вероятно, в различном направлении навивания спирали.

**З а м е ч а н и я.** По внешней форме раковины и очертанию камер *Trochammina parviloculata* имеет сходство с *T. praesquamata*, описанной Е. В. Мятлюк из среднеюрских отложений Средней Сибири [69] и *T. oxfordiana*, происходящей из одноименных слоев Нордвикского района [101]. От первого вида *T. parviloculata* отличается маленькими размерами, более низкой раковиной, состоящей из 1,75—2,5 оборотов (у *T. praesquamata* высококонусовидная раковина, образованная пятью оборотами), а также очень мелкозернистой структурой стенки раковины. Несомненно ближе *T. parviloculata* к *T. oxfordiana*, но и от нее она отличается сравнительно небольшими размерами и очень мелкозернистой структурой стенки. Общее число камер у особей рассматриваемых видов близко.

Из трохаммин, известных за пределами СССР, следует обратить внимание на некоторое сходство описываемого вида с *Trochammina umaistensis*, выделенной Х. Таппан [115] из альбских отложений (формация Грэндстенд) Северной Аляски. Оно выражается в общей форме раковин и камер. В отличие от *T. umaistensis* арктические особи *T. parviloculata* Сибири обладают более низкой раковиной, а также сравнительно мелкими камерами (особенно в последнем обороте, где насчитывается 5—7 камер против 4 у *T. umaistensis*). Однако значительное внешнее сходство позволяет высказать предположение о возможном существовании между сравниваемыми видами генетической связи.

**Распространение и возраст.** Средняя Сибирь; волжский ярус — берриас, слои с *Evolutinella volosatovi* — *Ammodiscus veteranus* в ряде разрезов Нордвикского района (Урюнг-Тумус), п-ва Пакса и р. Анабар; обычно очень редка; по-видимому, также волжские слои с *Trochammina septentrionalis* (редкие находки раковин этого вида отмечены в разрезе скважины К-220 Южного Тигяна); валанжин, слои с *Cribrostomoides infracretaceus* (Усть-Енисейский район, Хара-Тумус, п-ов Пакса). Западная Сибирь; пограничные отложения юра — мел и низы берриаса, нижний валанжин.

*Trochammina ficta* Романова, 1960

Табл. 94, фиг. 1

*Trochammina ficta*: Романова, 1960, с. 66, табл. X, фиг. 2 а—в [92].

**Голотип** — ВСЕГЕИ, № 7766, Центральный геологический музей. Западно-Сибирская равнина, Тюменская скв. 1, гл. 1265,85—1271,85 м. Валанжин, ахская свита.

**Диагноз.** Раковина небольшая, округлая, с лопастным периферическим краем. Спинная сторона выпуклая, брюшная более уплощенная. Состоит из восьми-девяти камер, свернутых в

спираль из неполных двух оборотов. Камеры быстро увеличиваются в размерах. Последняя сильно вздута. Все камеры имеют закругленно-треугольную форму. Септальные швы тонкие, углубленные, слабоизогнутые на спинной стороне. Стенка раковины мелко-среднезернистая кварцевая, с примесью зерен халцедона.

Распространение и возраст. Западная Сибирь, юг; валанжин.

Местонахождение и материал. Западная и южная части равнины; ахская, куломзинская свиты (редко). Единичные экземпляры.

*Trochammina schaimica* Kisseleva, sp. nov.\*

Табл. 94, фиг. 9, 10

Голотип — ЗапСибНИГНИ, № 1036. Западно-Сибирская равнина, Шаимская скв. 81, гл. 1479,5—1483 м. Готерив, низы улансынской свиты.

Топотип — ЗапСибНИГНИ, № 1039. Там же.

Описание. Раковина небольших размеров, округло-овальная, уплощенная или слабовыпуклая со спинной стороны и вогнутая с брюшной. Периферический край узкозакругленный, слаболопастный. Состоит из полутора-двух (неполных) оборотов спирали, в которых обычно насчитывается 12—16 камер; в последнем обороте их семь-восемь. Первые камеры очень мелкие, шаровидные, последующие трапециевидные; рост камер постепенный, последняя вытянута вверх. На брюшной стороне камеры округло-треугольные. Они сходятся своими внутренними концами в середине раковины, образуя небольшой вдавленный пупок. Иногда пупок заполнен породой. Септальные швы тонкие, отчетливые, с обеих сторон прямые, узкие, слегка углубленные. Спиральный шов четкий, слегка углубленный. Стенка раковины темно-серая; полости заполнены пиритом. Устье неразлично.

Изменчивость у *Trochammina schaimica* проявляется в колебании общего числа камер (от 10 до 17 на спинной стороне, от 6 до 8 в последнем обороте на брюшной), а также в форме последней камеры, которая либо вытянута вверх, либо более округлая. К изменчивым признакам относятся форма и размеры раковин (табл. VI).

Распространение и возраст. Западно-Сибирская равнина; готерив.

Местонахождение и материал. Запад равнины, Шаимский район, готерив, низы улансынской свиты; северо-запад, Березовский район, готерив, низы устремской пачки алясовской свиты. Более 100 экземпляров разной сохранности, в основном раковины пиритизированные, частично деформированные.

\* Вид описан О. Т. Киселевой.

Таблица VI

Размеры раковин *Trochammina schaimica* Kissel'ova, sp. nov., мм

Экземпляр	Диаметр		Толщина
	наибольший	наименьший	
Голотип № 1036	0,17	0,15	0,06
Топотип № 1039	0,15	0,13	0,04
, № 1039a	0,20	0,17	0,06

## Семейство ATAXOPHRAGMIIDAE Schwager, 1877

Подсемейство DOROTHIINAE Balakhmatova, 1972

РОД *DOROTHIA* Plummer, 1931*Dorothia insperata* (Bulynnikova), 1962

Табл. 37, фиг. 2, 3

*Marssonella insperata*: Булыникова, 1962, с. 92, табл. I, фиг. 7, 8 а, б. *Dorothia insperata*: Булыникова, 1972, табл. XXX, фиг. 6; табл. XXII, фиг. 12, 13 [97]; Лутова, 1981, с. 28, табл. IV, фиг. 1; табл. IX, фиг. 2.

Голотип — СНИИГГиМС, № 509. Западно-Сибирская равнина, Нарыкарская скв. 120, гл. 1882—1876 м. Келловой, абалакская свита.

Диагноз. Раковина маленькая, клиновидная с приостренным основанием или овальная с закругленным основанием. Составляет из четырех—десяти оборотов спирали. Два—четыре ранних оборота четырех—пятикамерные, затем трехкамерные, два последних — двухкамерные. Швы слабоуглубленные. Поперечное сечение закругленно-треугольное или овальное. Стенка кварцевая, гладкая, тонкозернистая.

Распространение и возраст. Западная Сибирь; келловой, низы нижнего оксфорда. Средняя Сибирь, север; нижний, средний келловой. Шпицберген, Земля Франца Иосифа; верхний келловой.

Местонахождение и материал. Западная Сибирь — повсеместно; абалакская, даниловская, васюганская свиты. Массовый материал. В отдельных образцах до 300 экземпляров.

*Dorothia tortuosa* Dain et Komissarenko, 1972

Табл. 37, фиг. 4—11

*Dorothia tortuosa*: Комиссаренко, 1972, с. 104, табл. XXX, фиг. 7—11; табл. XXXI, фиг. 1—20 [97]; 1986, с. 125, табл. LI, фиг. 1 [5].

Диагноз. Раковина от мелких до крупных размеров, овально-вытянутая с почти параллельными боковыми сторонами. Ранняя часть состоит из трех-четырех оборотов с последовательно уменьшающимся числом камер от пяти до трех. Каждый из двух—пяти оборотов поздней части включает две камеры. Швы углубленные. Поперечное сечение округлое. Стенка от тонко- до крупнозернистой, кварцевая.

Сравнение. От *Dorothia ipatouzevi*, описанной Л. Г. Дайн [34] из зоны *Dorsoplanites panderi* волжского яруса Русской платформы, сибирский вид отличается крупной раковиной с более развитым двурядным отделом.

Распространение и возраст. Западная Сибирь; нижний — средний подъярусы волжского яруса, не выше зоны *Dorsoplanites panderi*. Бассейн Печоры, зона *D. maximus*.

Местонахождение и материал. Более 50 разведочных площадей северо-запада, запада, юго-запада, востока Западно-Сибирской равнины; тутлеймская, даниловская, мулымьинская, яновстанская, частично баженовская свиты. До 300 экземпляров в образце.

РОД *EOMARSSONELLA* Levina, 1972

*Eomarssonella paraconica* Levina, 1972

Табл. 38, фиг. 1—7

*Eomarssonella paraconica*: Левина, 1972, с. 102, табл. XXXII, фиг. 1—11 [97].

Голотип — ЗапСибНИГНИ, № 907. Западная Сибирь, Игримская площадь, скв. 114, гл. 1654,5—1657,5 м. Нижний оксфорд, абалакская свита.

Диагноз. Раковина средних размеров, коническая, тупо-приостренная в вершине. Основание плоское, скошенное, слегка вдавленное, реже — слабовыпуклое. Спираль образована пятью-шестью равномерно-расширяющимися оборотами. Первые два четырехкамерные, последующие трехкамерные. Швы тонкие, углубленные. Стенка раковины тонкозернистая, кварцевая.

Распространение и возраст. Западная Сибирь; нижний, частично средний оксфорд.

Местонахождение и материал. Северо-западные, западные, юго-западные районы равнины; даниловская, абалакская свиты. Масса раковин.

*Orientalia* ? *baccula* Schleifer, sp. nov. \*

Табл. 95, фиг. 3, 4

Голотип — ВНИИОкеангеология, № 1009/125. Север Средней Сибири, Южный Тигян, скв. К-220, гл. 15—24 м. Берриас-валанжин.

Описание. Раковина средних размеров, спирально-винтовая, в основании слабозаостренная, быстро конусовидно расширяющаяся к устьевому концу. В поперечном сечении округлая с волнистым периферическим краем. Отношение высоты раковины к наибольшему диаметру 0,6—1,7 (чаще 1,3—1,4), наибольшего диаметра к наименьшему 1,3—2,5 (обычно 2,0). Образована тремя—пятью оборотами; ранние три-четыре состоят из шести камер, последний обычно заканчивается пятью, реже четырьмя камерами (у молодых особей в последнем обороте шесть камер). Начальная камера плохо различима, но, по-видимому, округлая, до 50—90 мкм в диаметре. Последующие плавно увеличиваются в размерах по мере роста раковины. Первый оборот состоит из очень маленьких камер, имеющих округлую форму. Во втором и последующих камеры приобретают ромбовидно-округленные очертания. Максимальных размеров они достигают в последнем обороте, по очертаниям приближаясь к овально-округленным или субшаровидным. Боковая поверхность камер ранних оборотов от незначительно выпуклой до уплощенной (вероятно, вследствие деформации), камер последних двух оборотов — сильно выпуклая. Септальные швы прямые, четкие, обычно сильно углубленные. Спиральный шов также отчетлив. Стенка раковины мелкозернистая (размеры зерен 15—35, реже до 50 мкм), сравнительно толстая (30—45 мкм). Септальная поверхность последней камеры овально-округлая, слегка выпуклая или уплощенная. Устье щелевидное, расположено в основании.

Размеры (в мм): В 0,38—0,72 (обычно 0,63); Д<sub>наиб.</sub> 0,38—0,58 (0,5—0,53); Д<sub>наим.</sub> 0,19—0,38 (0,24—0,26).

Вид обладает хорошо выраженной возрастной изменчивостью. Наблюдается два типа раковин. У одних особей она ширококоническая, с высотой конуса, равной наибольшему диаметру или несколько превышающей его; нередко диаметр меньше высоты (В: Д от 0,6 до 1,3). Ширококонические особи приближаются по строению раковины к трохондным, на основании чего, по-видимому, и были отнесены первоначально автором вида к роду *Trochammina*. Обычно у особей, обладающих такой раковиной, в последнем обороте насчитывается шесть камер, что указывает на сравнительно молодую стадию роста. У других особей раковина более высокая, спирально-винтовая — от почти

\* Вид описан А. Г. Шлейфер.

цилиндрической до конусовидно-расширяющейся к устьевому концу, с отношением В:Д от 1,3 до 1,7. Заканчивается раковиной на пятью, реже четырьмя камерами, что, вероятно, характерно для представителей вида во взрослом состоянии. В связи с различием в строении раковины изменяется характер ее конусовидной части, варьирующей от тупоокругленной до заостренной. Наблюдается отличие в характере состава стенки раковины — от сравнительно крупнозернистой до очень мелкозернистой (с большим количеством известкового цемента), на что влияли, по-видимому, фациальные условия, в которых существовал вид.

Сравнение. По строению и форме раковины, очертаниям камер особи *Orientalia ? baccula* имеют сходство с *O. ? jakutica* (L e v.) из байос-батских отложений Жиганского и Оленекского районов, отнесенной первоначально О. М. Лев [60] к роду *Trochammina ?* Отличаются особи *O. ? baccula* от указанного вида более мелкими размерами раковины и меньшим числом оборотов спирали. Кроме того, валанжинские особи обладают более выпуклыми четкими камерами и углубленными швами, вследствие чего периферический край становится более волнистым (лопастным).

Замечания. Вид относится к роду *Orientalia ?* условно, хотя имеет с ним ряд общих морфологических признаков, главный из которых — тип строения раковины. Отличается *O. ? baccula* от типичных ориенталий строением раковины на конечной стадии роста. Последний оборот у этого вида пяти-, реже четырехрядный, а у ориенталий — трехрядный.

Распространение и возраст. Средняя Сибирь, Нордвикский (Урюнг-Тумус, Южный Тигян, Сындаско), Усть-Енисейский, Анабарский (п-ов Пакса) и Лено-Оленекский районы; берриас — валанжин, слои с *Cribrostomoides infracretaceous*, обычно в сравнительно небольших количествах; пограничные слои юра—мел в комплексе с *Evolutinella volossatovi* — *Ammodiscus veteranus*; единичные находки в слоях с *Trochammina septentrionalis*. Западная Сибирь; нижний валанжин, слои с *Orientalia ? baccula* — *Ammodiscus micrus*. Имеются сведения о присутствии в неокоме Канады, где она фигурирует под названием *Arenobulimina baccula*.

Местонахождение и материал. Северо-западные и северо-восточные районы Западной Сибири; ахская, нижнехетская свиты. До 20—30 экземпляров в образце.

РОД *RIYADELLA* Redmond, 1965

*Riyadella ? aff. sibirica* (Mjatliuk), 1939

Табл. 37, фиг. 1

Экземпляр — ПГО «Новосибирскгеология», № 11. Западно-Сибирская равнина. Локосовская скв. 1, гл. 2778—2784 м. Келловой, васюганская свита.

Местонахождение и материал. Единичные разрезы в арктических и центральных районах Западной Сибири; келловей, даниловская, васюганская свиты.

**Семейство** VERNEULINIDAE Cushman, 1927

Подсемейство VERNEULININAE Cushman, 1911

**РОД** VERNEULINA d'Orbigny, 1839

*Verneuilina* ex gr. *pudica* Schleifer, 1961

Табл. 39, фиг. 1

Экземпляр — ЗапСибНИГНИ, № 2166. Западная Сибирь, Новопортовская скв. 146, гл. 2558—2564 м. Плинсбах, шеркалинская свита.

Местонахождение и материал. Западная Сибирь, ограниченное число разрезов п-ова Ямал; плинсбах, шеркалинская свита. До 10 раковин в образце.

**РОД** VERNEULINOIDES Loeblich et Tarpan, 1959

*Verneulinoides graciosus* Kosyрева, 1972

Табл. 39, фиг. 2—4

*Verneulinoides graciosus*: Козырева, 1972, с. 98, табл. XXX, фиг. 2—4 [97].

Голотип — ВНИГРИ, № 521/13. Омская скв. 1, гл. 2382 м. Нижний кимеридж, георгиевская свита.

Диагноз. Раковина очень маленькая, вытянутая по оси навания, приостренная в начальной части и расширяющаяся к устью; в поперечном сечении закругленно-треугольная. Стоит из шести оборотов спирали по три камеры в каждом. Камеры по мере роста раковины увеличиваются в размерах в 1,5—2 раза в каждом обороте. Разделены камеры углубленными швами. Спиральный шов зигзагообразный. Стенка кварцевая, слабощероховатая.

Сравнение. От известного из нижневолжских отложений Русской платформы *Verneulinoides kirillae* Daip [34] отличается более маленькой, слабо расширяющейся раковинкой, меньшим числом оборотов.

Распространение и возраст. Западная Сибирь; низы кимериджа.

Местонахождение и материал. Северо-запад, запад, юг, юго-запад и восток Западно-Сибирской равнины; абалакская, даниловская, георгиевская, марьяновская, сиговская свиты. Большое число раковин.

*Verneuilinoides postgraciosus* Komissarenko, 1972

Табл. 39, фиг. 5—10

*Verneuilinoides postgraciosus*: Комиссаренко, 1972, с. 99, табл. XXX, фиг. 5 [97].

Голотип — ЗапСибНИГНИ, № 805. Западно-Сибирская равнина, Половинкинская скв. 100, гл. 1889,45—1892,95 м. Верхний кимеридж, абалакская свита.

Диагноз. Раковина небольших размеров, на ранней стадии пирамидальная, расширяющаяся к притупленному устьевому концу. Поперечное сечение округленно-треугольное. Образована пятью—десятью оборотами спирали. Камеры в начальной части неправильно-четырёхугольные, позднее почти шаровидные. Швы между камерами углубленные, спиральный зигзагообразный шов поверхностный. Стенка кварцевая, очень тонкая, хрупкая.

Распространение и возраст. Западная Сибирь; верхний кимеридж — низы волжского яруса.

Местонахождение и материал. Северо-запад, запад, центральные районы, северо-восток равнины (повсеместно); даниловская, абалакская, частично тутлеймская, георгиевская, яновстанская свиты. Небольшое число раковин.

*Verneuilinoides kansasensis* Loeblich et Tarpan, 1950

Табл. 96, фиг. 3

Синонимика: см. в кн.: Фораминиферы меловых и палеогеновых отложений. . ., 1964, с. 197.

Экземпляр — ЗапСибНИГНИ, № 395. Западно-Сибирская равнина, Неремовская скв. 104, гл. 1418,35—1415,35 м. Берриас, зона *Tollia payeri*, слои с *Trochammina polymera*, тутлеймская свита, верхняя подсвита.

Диагноз. Раковина очень маленькая, узкопирамидальная, постепенно расширяющаяся к устьевому концу. В каждом вертикальном ряду шесть-семь, реже восемь вздутых округлой формы камер, разделенных четкими углубленными швами. Рост камер постепенный у раковин мегасферического поколения и более ускоренный на уровне последних двух оборотов у микро-сферических форм. Стенка кварцевая, очень тонкая.

Распространение и возраст. Прикаспийская низменность, Междуречье Волги и Урала; верхний апт. Западно-Сибирская равнина, северо-западная, западная и центральная части; берриас, зона *Tollia payeri*, слои с *Trochammina polymera*. Вне СССР: Северная Америка; нижний мел (*Thermopolis* Shale).

Местонахождение и материал. Многие скважины преимущественно северо-западной и западной частей Западно-Сибирской равнины; мулымьинская, тутлеймская, ахская свиты. В образцах в небольших количествах.

*Verneuilinoides neocomiensis* (Мятлюк), 1939

Табл. 96, фиг. 2

*Verneuilina neocomiensis*: Мятлюк, 1939, с. 50, табл. I, фиг. 13; Романова, 1960, с. 60, табл. 7, фиг. 5; Дубровская, Субботина, 1964, с. 198, табл. 28, фиг. 5, 6, 8, 9 [96].

Голотип — ВНИГРИ, № 944. Русская равнина, Общий Сырт, ст. Озинки, скв. 1, гл. 192—195 м. Неоком.

Диагноз. Раковина небольшая или средних размеров, пирамидальная, образована семью—десятью оборотами спирали. Камеры выпуклые округлые, постепенно увеличиваются в размерах; последние три почти шаровидные. Швы углубленные, четкие. Стенка тонкая, мелкозернистая, кварцевая.

Распространение и возраст. Русская равнина (ст. Озинки); неоком. Западно-Сибирская равнина; берриас—готерив. Вне СССР: Западная Европа; валанжин.

Местонахождение и материал. Скважины северо-западной, юго-западной и южной частей Западной Сибири; берриас — готерив, верхи марьяновской, куломзинской, ярротинская, алясовская (устремская пачка) свиты. Немногочисленные раковины, часто деформированные.

РОД *TRITAXIA* Reuss, 1860

*Tritaxia gracila* Nochrina, sp. nov. \*

Табл. 95, фиг. 5

Название вида — от *gracilis* (лат.) — тонкий.

Голотип — ЗапСибНИГНИ, № 2171. Западно-Сибирская равнина, Шухтунгортская скв. 325, гл. 1650—1652,6 м. Нижний готерив, зона *Speetonicerias versicolor*, слой с *Trochammina gyroidiniiformis* — *Acruliammina pseudolonga*, алясовская свита (чуэльская пачка).

Описание. Раковина удлинённая, пирамидальная, трехгранная, с выдающимися ребрами и сильно вогнутыми гранями. На всем протяжении трехрядная. Наиболее широкая вблизи устьевого конца, слегка суженного и слабозаостренного. Максимальное число камер в ряду у микросферических форм — 13, мегасферических — пять. Камеры прямоугольные, низкие, наклоненные, постепенно увеличивающиеся в размерах по мере роста, хорошо различимые. Швы слегка углубленные, прямые, тонкие. Стенка тонкозернистая. Устье плохо различимо.

\* Вид описан В. Н. Нохриной.

Размеры (в мм): а) голотипа (микросферическая особь) — В 0,5, Ш<sub>max</sub> 0,15; б) топотипа (мегасферическая особь) — В 0,25, Ш<sub>max</sub> 0,125.

Довольно постоянным признаком является форма раковины — удлиненная, пирамидальная. Изменчивости подвержены размеры раковины.

Сравнение. Близких видов неизвестно.

Распространение и возраст. Западная Сибирь; нижний готерив, зона *Speetonicerias versicolor*, слои с *Trochammina gyroidiniformis* — *Acruliammina pseudolonga*.

Местонахождение и материал. Западные, северо-западные, центральные районы Западно-Сибирской равнины; алясовская (чуэльская и устремская пачки), ахская (верхняя часть), нижняя (частично) и верхняя подсвиты вартовской свиты. Около 100 раковин.

Подсемейство GAUDRYININAE Balakhmatova, 1973

РОД *GAUDRYINA* d'Orbigny, 1839

*Gaudryina gerkei* (Vassilenko), 1954

Табл. 96, фиг. 4—6; табл. 112, фиг. 3

*Verneuilina gerkei*: Василенко, 1954, с. 62, табл. I, фиг. 7, 8.

Голотип — утрачен; происходил из валанжина Нордвикского района (мыс Илья, скв. К-2, гл. 204 м).

Экземпляр — ЗапСибНИГНИ, № 652. Западно-Сибирская равнина, Пугор-Пугольская скв. 23-ПР, гл. 634,45—642,55 м. Берриас, зона *Surites analogus*, слои с *Gaudryina gerkei*, ахская свита.

Диагноз. Раковина средних размеров, удлиненная, конусовидная, слабоприостренная у начального конца и более или менее расширяющаяся к устьевому. Трехрядная часть состоит из шести—восьми оборотов, двурядная — из двух—четырех. В сечении раковина округлая. Камеры имеют форму неправильных четырехугольников, на конечной стадии клиновидно-округлые или почти округлые. Спиральный и септальный швы четкие, углубленные. Стенка среднезернистая, кварцевая с примесью кремнистого материала.

Распространение и возраст. Средняя Сибирь, север; верхний подъярус волжского яруса — берриас. Западная Сибирь, запад (от г. Салехарда до г. Тюмени), северо-восток; берриас, зона *Surites analogus*, слои с *Gaudryina gerkei*.

Местонахождение и материал. Скважины, вскрывшие харосоймскую, ахскую, нижнехетскую, местами яновстанскую свиты. Большое число раковин.

ОТРЯД MILIOLIDA Lankaster, 1885

НАДСЕМЕЙСТВО CORNUSPIRACEA Schultze, 1854

Семейство NUBECULARIIDAE Jones, 1875

РОД HECHTINA Bartenstein et Brand, 1949

*Hechtina vagiformis* Булынная, 1986

Табл. 97, фиг. 1—3; табл. 113, фиг. 1—3

*Hechtina vagiformis*: Булынная и др., 1986, с. 158—159, табл. XIX, фиг. 8, 9.

Голотип — СНИИГГиМС, № 1—ФБ/12-84. Западно-Сибирская равнина, Варламовская скв. 1, гл. 375 м. Верхний валанжин — готерив — баррем?, юрацкая свита.

Диагноз. Раковина маленькая, широкоовальная или закругленно-треугольная, без тенденции к разворачиванию; со стороны периферического края овально-вытянутая. В последнем обороте три изогнутые, трубковидной формы камеры, часто более уплощенные в средней части. Стенка очень тонкая, кальцитовая, пронизана мелкими порами. Устье — открытый конец последней трубчатой камеры.

Распространение и возраст. Западная Сибирь, восточная часть; валанжин — готерив — баррем? Редкая форма, образует скопления.

Местонахождение и материал. См. голотип. Более 100 раковин удовлетворительной и чаще плохой сохранности.

НАДСЕМЕЙСТВО MILIOLACEA Ehrenberg, 1839

Семейство MILIOLIDAE Ehrenberg, 1839

Подсемейство QUINQUELOCULINAE Cushman, 1917

РОД QUINQUELOCULINA d'Orbigny, 1826

*Quinqueloculina oviformis* Булынная, 1986

Табл. 113, фиг. 4, 5

*Quinqueloculina oviformis*: Булынная, 1986, с. 109—110, табл. 2, фиг. 1, 2, а, б.

Голотип — СНИИГГиМС, № 1—ФБ/12-80. Западно-Сибирская равнина, Варламовская скв. 1, гл. 375,3 м. Валанжин — готерив, юрацкая свита, нижняя подсвита.

Диагноз. Раковина маленькая, широкоовальная, слабо сжатая с боков; в основании широкозакругленная с косоусеченным устьевым концом. Длина почти равна наибольшей ширине.

Периферический край округлый. Многокамерная сторона с четырьмя, малокамерная — с тремя видимыми камерами. Швы углубленные, ясные. Стенка тонкая, прозрачная, стекловидная, пронизана редкими порами. Устье наклонное, полулунное, у основания устьевой поверхности. Зуб простой, слабо развит, может отсутствовать.

Распространение и возраст. Западная Сибирь, восточная часть; валанжин — готерив.

Местонахождение и материал. См. голотип. 30 экземпляров различной сохранности.

### *Quinqueloculina berjosovica* Putrja, 1963

Табл. 97, фиг. 4—8

*Quinqueloculina berjosovica*: Путря, 1963, с. 105, 106, табл., фиг. 5—7.

Голотип — ЗапСибНИГНИ, № 27. Западно-Сибирская равнина, Макаркинская скв. 68, гл. 1214—1215 м. Готерив, алясовская свита.

Диагноз. Раковина удлинено-овальная, плосковыпуклая. Основание округлое, устьевой конец сужен, с тенденцией к образованию короткого горлышка. Длина превышает ширину в 2 раза и более. Периферический край округлый, слегка сжатый с боков. С устьевой стороны раковина имеет овально-треугольное очертание, в поперечном сечении чаще округло-треугольная.

Распространение и возраст. Западно-Сибирская равнина; нижний готерив, зона *Speetonicerias versicolor*, слои с *Trochammina gyroidiniformis* — *Acruliammina pseudolonga*.

Местонахождение и материал. Северо-западные и западные районы Западной Сибири, алясовская свита. Более 30 раковин хорошей сохранности.

### Семейство RZESNAKINIDAE Cushman, 1933

Вид не определен и не описан, так как представлен в коллекции СНИИГГиМС единственным экземпляром (см. табл. 96, фиг. 11).

### РОД *Miliammina* Heron-Allen et Earland, 1930

#### *Miliammina* aff. *mjatliukae* Dain, 1958

Табл. 39, фиг. 11

Экземпляр — ЗапСибНИГНИ, № 2141. Западно-Сибирская равнина, Северо-Толькинская скв. 300, гл. 2780—2797 м. Бат, тюменская свита.

Местонахождение и материал. Немногочисленные разрезы северо-запада Западной Сибири; Северо-Толькинская площадь, тюменская свита. Небольшое число преимущественно деформированных раковин.

*Miliammina* cf. *awunensis* Т а р р а н, 1957

Табл. 97, фиг. 9, 10

З а м е ч а н и е. Материал из валанжин-готеривских отложений представлен большим числом раковин неудовлетворительной сохранности, поэтому отождествление с североамериканским видом дается со знаком «cf.» по внешним нечетким признакам (форма раковины, размеры).

Р а с п р о с т р а н е н и е и в о з р а с т. Западная Сибирь, восточная часть, Варламовская площадь; валанжин — готерив, вартовская (?) свита.

М а т е р и а л. Большое число полуразрушенных пиритизированных раковин.

О Т Р Я Д NODOSARIIDA К ü h n, 1926

Семейство NODOSARIIDAE E h r e n b e r g, 1838

Подсемейство NODOSARIINAE E h r e n b e r g, 1838

Р О Д NODOSARIA L a m a r c k, 1912

*Nodosaria crassa* T y l k i n a, sp. nov.

Табл. 40, фиг. 4, 5

Г о л о т и п — ЗапСибНИГНИ, № 2174. Западно-Сибирская равнина, Половинкинская скв. 103, гл. 1902—1906 м. Средний подъярус волжского яруса, тутлеймская свита.

О п и с а н и е. Раковина заостренно-овальная, близка к цилиндрической, с притупленно-угловатыми концами, умеренно-удлиненная (В—2,5 мм), умеренно-уплощенная (Т—0,42 мм); по мере роста ширина меняется незначительно. Поперечное сечение звездчатое. Поверхность покрыта 10—13 четкими непрерывными ребрами, протягивающимися от начальной камеры до устья. Состоит из трех—пяти высоких, слабообъемлющих камер. Начальная камера слегка яйцевидная. Снаружи она и последняя камера шлемовидные. В длину последняя камера почти в 1,5 раза больше предыдущей. Остальные камеры прямоугольные. Межкамерные швы четкие, почти поверхностные. Стенка радиально-лучистая. Устье лучистое, расположено на устьевом возвышении.

Незначительно меняются размеры раковины. При одинаковом числе камер длина ее колеблется от 0,8 до 0,85 мм, ширина — от 0,3 до 0,34 мм. Постоянна форма раковины. Иногда встречаются экземпляры, у которых наблюдается четкий пережим при сочленении предпоследней и последней камер. Устойчивым признаком является протяженность ребер от начального до устьевого конца.

Сравнение. Ближе всего *N. crassa* к *N. pallida*, описанной З. В. Лутовой из среднего келловей о. Бегичева [63]. При одинаковом числе камер данный вид крупнее, камеры у него выше. Отличается он также большим числом ребер и наличием их на устьевой поверхности. По форме раковины *N. crassa* сходна с *N. olenekensis* Schleifer из плинсбахских отложений Оленекского района севера средней Сибири. Отличается поверхностными швами, размерами, а также протяженностью ребер и большим их числом.

Распространение и возраст. Западная Сибирь; верхний кимеридж — средний подъярус волжского яруса.

Местонахождение и материал. Западные (Березово-Игримский, Шаимский) районы равнины; даниловская, тутлеймская, мулымьинская свиты. Небольшое число раковин различной сохранности.

### *Nodosaria pseudohyspida* Gerke, 1968

Табл. 40, фиг. 8—12

Синонимика и описание: см. Басов, 1968, с. 117—119, табл. XX, фиг. 3—5.

Голотип — ВНИИОкеангеология, № 1009/145. Средняя Сибирь, восточный берег п-ова Пакса, обн. 26. Верхний оксфорд, зона *Amoeboceras alternans*.

Экземпляры — ЗапСибНИГНИ, № К-65, 2199, 2200. Западная Сибирь, Ялбыньинская скв. 169, гл. 1320—1327 м. Верхний кимеридж, абалакская свита. № 2201, 2202. Там же, Средне-Мулымьинская скв. 151, гл. 1735—1739 м. Возраст и свита те же.

Замечание. Диагноз вида не приводится, так как последний известен только по отдельным фрагментам очень хрупких раковин.

Распространение и возраст. Средняя Сибирь, север; верхний оксфорд, кимеридж, волжский ярус. Западная Сибирь; кимеридж. Эмбенская обл.; волжский ярус. Вне СССР: Польша; верхний келловей.

Местонахождение и материал. Многочисленные скважины западных районов Западной Сибири, абалакская свита. 30 раковин.

*Nodosaria tenuithec*a D a i n, 1972

Табл. 40, фиг. 1—3

*Nodosaria tenuithec*a: Даин, 1972, с. 106, табл. XXXIV, фиг. 15 [97].

Голотип — ВНИГРИ, № 520/125. Западно-Сибирская равнина, р. Щекурья, скв. 5, гл. 117 м. Верхний кимеридж.

Экземпляры — ЗапСибНИГНИ, № 2196. Западно-Сибирская равнина, Ятринская скв. 13-Р, гл. 5,6—9,7 м. Кимеридж, лопсинская свита. № 2197. Красноярский край, Ермаковская скв. 2, гл. 770—776 м. Верхний кимеридж, яновстанская свита.

Диагноз. Раковина длинная, прямая, суженная к началу и устьевому концам. Состоит из четырех-шести камер, начальная — округлая с шипом, последующие четырехугольные с выпуклыми боками. Последняя камера колпачковидной формы. Швы поперечные поверхностные или незначительно углубленные. Устье лучистое, на устьевом бугорке.

Сравнение. В материале, которым располагают авторы, чаще встречаются четырех- и трехкамерные экземпляры. Они толще голотипа — отношение Т:В от 0,31 до 0,41, тогда как у голотипа 0,21. По общему строению *Nodosaria tenuithec*a напоминает *N. nitidaeformis* Mitjapina [66] из оксфорда Белоруссии, но отличается неравномерным ростом камер и наличием инициального шипика.

Распространение и возраст. Западная Сибирь; верхний кимеридж.

Местонахождение и материал. Скважины Яхлинской, Даниловской, Эсской, Половинкинской, Шухтунгортской, Тагринской, Ермаковской и других площадей; даниловская, яновстанская, георгиевская свиты. Приполярный Урал — бассейны рек Волья, Толья, Лопсия, Щекурья; верхний кимеридж, лопсинская свита. Небольшое число раковин.

*Nodosaria invidiosa* B a s s o v, 1968

Табл. 40, фиг. 6, 7, 14

*Nodosaria invidiosa*: Басов, 1968, с. 122, табл. XXI, фиг. 3 а, б.

Голотип — ВНИИОкеангеология, № 800/580. Средняя Сибирь, р. Хета, пачка VI сводного разреза. Верхний подъярус волжского яруса, зона *Craspedites taimyrensis*.

Экземпляры — ЗапСибНИГНИ, № 2176. Западно-Сибирская равнина, Половинкинская скв. 103, гл. 1906—1909 м. Верхний кимеридж, абалакская свита. № 2177, 2198. Там же, Комсомольская скв. 318, гл. 1776,6—1782,6 м. Возраст и свита те же.

Диагноз. Раковина средних размеров, почти четковидная, со слабообъемлющими тремя-пятью округлыми камерами. Начальная камера самая крупная с тенденцией к образованию инициального шипика. Последующие камеры, включая последнюю,

одинаковые по размеру. Швы двуконтурные, узкие, поверхностные. Стенка радиально-лучистая, однослойная. Устье лучистое, на оттянутой устьевой поверхности.

Сравнение. Встреченные в западносибирских разрезах экземпляры описываемого вида имеют гладкую раковину. На ее поверхности нет тонкой струйчатой ребристости.

Распространение и возраст. Средняя Сибирь, бассейн р. Хеты; волжский ярус, зона *Craspedites taimyrensis*. Западная Сибирь; верхний кимеридж.

Местонахождение и материал. Скважины западных частей Западной Сибири; абалакская свита. Небольшое число раковин.

### *Nodosaria semiornata* Furssenko et Poljenova, 1950

Табл. 40, фиг. 13

*Nodosaria semiornata*: Фурсенко и Поленова, 1950, с. 78, табл. VII, фиг. 7.

Голотип — ВНИГРИ, Прикаспийская низменность, северо-западное побережье оз. Индер, овраг Караджира. Средний подъярус волжского яруса, зона *Dorsoplanites panderi*.

Экземпляр — ЗапСибНИГНИ, № 546. Западная Сибирь, Шухтунгортская скв. 303, гл. 1780—1785 м. Верхний кимеридж, абалакская свита.

Распространение и возраст. Эмбенская обл., северо-западное побережье оз. Индер; средний подъярус волжского яруса. Западная Сибирь; верхний кимеридж.

Местонахождение и материал. Скважины Шухтунгортской, Игримской, Половинкинской, Яхлинской, Даниловской и других площадей; абалакская, даниловская свиты.

### РОД *PSEUDONODOSARIA* Boomgaard, 1949

#### *Pseudonodosaria brandi* (Tarpan), 1955

Табл. 41, фиг. 2—7

*Rectoglandulina brandi*: Tarpan, 1955, табл. 26, фиг. 12.

*Pseudonodosaria brandi*: Тылкина, 1972, с. 111, табл. XXXIV, фиг. 12 [97].

Голотип — Национальный музей США, № 792. Арктическое побережье Северной Аляски, скв. у р. Топагорук. Верхняя юра.

Экземпляр — ЗапСибНИГНИ, № 429. Западная Сибирь, Пунгинская скв. 211, гл. 1874—1877 м. Нижний оксфорд, абалакская свита.

Диагноз. Раковина небольшая, удлиненная, коническая, быстро расширяющаяся к приостренному устьевому концу. Камеры широкие, снаружи усеченно-конические, последняя самая

широкая, колпачковидная, плавно суживается к устью. Швы почти поверхностные, четкие, поперечные, сечение округлое. Стенка радиально-лучистая, тонкая.

Распространение и возраст. Западная Сибирь; оксфорд — кимеридж. Вне СССР: Аляска; верхняя юра.

Местонахождение и материал. Многие скважины западной, южной и восточной частей Западной Сибири; оксфорд — кимеридж, даниловская, маурыньинская, абалакская, сивовская свиты. 30 раковин хорошей сохранности.

*Pseudonodosaria tutkowskii* (Mjatliuk), 1939

Табл. 41, фиг. 1, 8—11

*Pseudoglandulina tutkowskii*: Мятлюк, 1939, с. 65, табл. 39, фиг. 8—11; Шохина, 1954, с. 114, табл. 29, фиг. 41; Даин и др., 1972, табл. XXXIV, фиг. 7—11; Пяткова, 1978, с. 44, табл. 13, фиг. 7.

Голотип — ВНИГНИ, № 969. Среднее Поволжье, с. Городище. Кимеридж.

Экземпляр — ЗапСибНИГНИ, № 141. Западно-Сибирская равнина, Вяткинская скв. 4, гл. 1739—1746 м. Верхний оксфорд, даниловская свита.

Описание: см. [68], с. 65.

Замечание. Западносибирские особи *P. tutkowskii* при меньшем числе камер имеют раковину крупнее голотипа. На продольном шлифе хорошо просматривается внутреннее строение раковины. Внутренняя полость начальной камеры шаровидная ( $D=0,12$  мкм). Остальные камеры близки к полулунным; в ранней части они сильнообъемлющие, последняя слабообъемлющая. Стенка светлая, пористая, в ранней части двуслойная за счет облегающих слоев нарастания, в поздней — однослойная. Септы тонкие, в 2 раза тоньше наружной стенки, к устьям образуют устьевые конусовидные утолщения.

Изменчивости подвержены общие размеры раковины, число камер, степень закругленности основания. Размеры (в мм): В 0,73—0,88; Ш (D) 0,30—0,35.

Сравнение. От близкой *Pseudonodosaria brandi* (Тар-рап) экземпляры *P. tutkowskii* отличаются более крупной и менее вздутой раковиной (Т : В 40—41 против 56—54 у *P. brandi*).

Распространение и возраст. Среднее Поволжье; нижний кимеридж. Горьковская обл.; нижний и верхний кимеридж. Белоруссия; келловей и оксфорд. Днепровско-Донецкая впадина; келловей. Северный Кавказ; титон. Западная Сибирь; кимеридж — верхний оксфорд. П-ов Бегичева; келловей.

Местонахождение и материал. Западно-Сибирская равнина, повсеместно; кимеридж, верхний оксфорд, даниловская, абалакская, георгиевская свиты. 20 раковин хорошей сохранности.

*Ichtyolaria suprajurensis* (Мятлиук), 1961

Табл. 43, фиг. 3—6

Синонимика: см. Григялис, 1985, с. 55.

Голотип — ВНИГРИ, Куйбышевская обл., Самарская Лука (плитной овраг). Нижний оксфорд.

Экземпляры — ЗапСибНИГНИ, № 492, 491, 517. Западно-Сибирская равнина, Южно-Игримская скв. 116, гл. 1637—1638 м. Оксфорд, вогулкинская толща. ЗапСибНИГНИ, № 2182. Там же. Ново-Портовская скв. 71, гл. 2138—2143 м. Келловей, даниловская свита.

Распространение и возраст. Литва, Белоруссия, Западная Сибирь; келловей, оксфорд.

Местонахождение и материал. Северная и западная части Западной Сибири; вогулкинская толща, даниловская, абалакская свиты. Небольшое число раковин.

*Ichtyolaria antiqua* Tytkina, sp. nov.

Табл. 42, фиг. 11—15

Голотип — ЗапСибНИГНИ, № 2185. Западно-Сибирская равнина, Убинская скв. 304, гл. 1871—1874 м. Келловей, зона *Dorothia insperata* — *Trochammina rostovzevi*, абалакская свита.

Экземпляры — ЗапСибНИГНИ, № 2184. Там же, Убинская скв. 338, гл. 1848—1852 м. Келловей, абалакская свита. № 2178. Больше-Каменная скв. 144, гл. 2303—2312 м. Возраст и свита те же. № 2179. Новогодняя скв. 63, гл. 2613—2617 м. Келловей, васюганская свита. № 655. Нарыкарская скв. 120, гл. 1876—1882 м. Келловей, абалакская свита.

Описание. Раковина средних размеров, широколанцетовидная, слабоудлиненная (В:Ш от 1,8 до 2), умеренно уплощенная, приостренная с проксимального и устьевого концов. Боковые поверхности довольно выпуклые с хорошо выраженным срединным углублением, протягивающимся вдоль продольной оси от второй камеры до середины последней. Вогнутая часть оконтурена двумя ребрами с каждой стороны. Периферический край сжатоокругленный, вдоль него протягивается по одному ребру. Поперечное сечение ромбовидно-двояковыямчатое. Раковина образована пятью-восьмью камерами; начальная — овальная, диаметр ее 0,07—0,05 мм, последующие шлемовидные, расширяющиеся по мере роста раковины. Швы хорошо заметны, тонкие, углубленные, умеренно изогнутые под углом 102—108°. Устье лучистое, расположено на устьевом возвышении.

Размеры голотипа (в мм): В 0,62; Ш 0,30; Т 0,17; число камер 6, ребер — 6.

Сравнение. От близкой по форме *I. tjumenica* Tylk. из кимеридж-волжских отложений описываемый вид при одинаковом числе камер отличается меньшими размерами и толщиной, а также постоянным числом ребер (6 против 6—10 у сравниваемого вида).

Распространение и возраст. Западная Сибирь; келловей.

Местонахождение и материал. Западные и центральные районы Западной Сибири; абалакская, даниловская, васюганская свиты. 10 раковин удовлетворительной сохранности.

*Ichtyolaria tjumenica* Tylkina, 1979

Табл. 43, фиг. 7—9

*Ichtyolaria tjumenica*: Тылкина, 1972, с. 110, табл. XXXIII, фиг. 11—14 [97]; Комиссаренко, 1986, табл. 11, фиг. 1 [5].

Голотип — ВНИГРИ, № 21/29. Приполярный Урал, р. Щекурья, скв. 5, гл. 69—72 м. Средний подъярус волжского яруса.

Описание — см. [97, с. 110].

Замечание. При первоначальном описании допущена неточность в определении типа стенки раковины. Стенка у *Ichtyolaria tjumenica* радиально-лучистая, пористая, однослойная, вторично многослойная за счет нарастания слоев облекания.

Сравнение. От сходной по форме раковины *I. lustrata* (Tarrap) из лейаса Аляски [115] сибирский вид отличается вытянутой, но более вздутой раковиной. Отношение ширины к длине у нее 0,44—0,7 против 0,24—0,46 у сравниваемого вида. Кроме того *I. tjumenica* имеет менее крупную раковину с меньшим числом камер.

Распространение и возраст. Русская равнина; средний подъярус волжского яруса. Западная Сибирь, западная и южная части; кимеридж и волжский ярус. Средняя Сибирь; средний подъярус волжского яруса.

Местонахождение и материал. Скважины Даниловской, Верхне-Кондинской, Окуневской, Лемьинской, Яхлинской, Половинкинской, Верхне-Уральской, Озерной, Шекуринской и других площадей Западно-Сибирской равнины; кимеридж — средний подъярус волжского яруса, верхние подбиты даниловской, абалакской, низы тутлеймской, федоровской, лопсинская, георгиевская свиты. Более 30 раковин различной сохранности.

РОД *LINGULINA* d'Orbigny, 1826

*Lingulina ustremica* (Levina), 1970

Табл. 42, фиг. 10

*Frondicularia ustremica*: Левина, 1970, с. 146, табл. I, фиг. 1.

Голотип — ЗапСибНИГНИ, № 941. Западная Сибирь, Бе-

резовский район, вогулкинская толща. Оксфорд — нижний кимеридж.

Диагноз. Раковина маленькая, широколистовидная, уплощенная с боковых сторон; в сечении овально-вытянутая. Камеры низкие *v*-образные. Швы поверхностные, двуконтурные.

Распространение и возраст. Западная Сибирь; кимеридж — оксфорд.

Местонахождение и материал. Западные районы Западной Сибири; Березовский, Игримский районы, продуктивный горизонт, вогулкинская свита. Единичные раковины.

#### РОД *GEINITZINITA* Cuvrieux et Dessauvage, 1965

*Geinitzinita crassata* (Gerke), 1959

Табл. 44, фиг. 1

Синонимика: см. Григялис, 1985, с. 58.

Голотип — ВНИГРИ, № 451—9. Татария, бассейн р. Карлы, д. Старые Тинчали. Нижний келловей.

Диагноз. Раковина от небольших до средних размеров, вытянутая, клино- или ланцетовидная, медленно расширяющаяся, на устьевом конце куполовидная; поперечное сечение прямоугольно-овальное с вдавленными боковыми сторонами. Состоит из 6—11 слабоизогнутых, низких камер. Швы двуконтурные, широкие. Стенка тонкая, гладкая. Устье простое, овальное.

Распространение и возраст. Татария; нижний келловей. Литва; верхний келловей. Средняя Сибирь; байос-бат, келловей, оксфорд. Западная Сибирь; келловей, нижний оксфорд.

Местонахождение и материал. Многочисленные разрезы Западной Сибири; даниловская, абалакская, васюганская свиты. В небольших количествах во многих скважинах.

*Geinitzinita praenodulosa* Da in, 1972

Табл. 44, фиг. 2—4

*Paralingulina nodulosa*: Герке, 1969, с. 54, табл. I, фиг. 5—9; табл. 2, фиг. 1—6.

*Geinitzinita praenodulosa*: Даин, 1972, с. 108, табл. XXXIII, фиг. 1—5 [97].

Голотип — ВНИГРИ, № 520/95. Приполярный Урал, восточный склон, Лобытнангская скв. 11, гл. 349—355 м. Верхний оксфорд.

Экземпляры — ЗапСибНИГНИ, № 660. Приполярный Урал, восточный склон, Ляпинская скв. 150, гл. 1398—1404 м. Кимеридж, даниловская свита. Западно-Сибирская равнина,

№ 659. Эсская скв. 1, гл. 1690—1693 м. Верхний оксфорд, даниловская свита.

Описание. См. [97, с. 108].

Сравнение. *Geinitzinita praenodulosa* от родственной *G. crassa* Mjatl. из средней юры Нордвикского района и келловей Русской платформы отличается клиновидной формой раковины и хорошо развитым срединным углублением, едва намечающимся у сравниваемого вида. От *G. nodulosa* (Furss. et Pol.) описываемый вид отличается менее вытянутой, быстро расширяющейся раковиной и формой срединного углубления, имеющего вид желоба с волнистыми краями, тогда как у *G. nodulosa* оно четковидное.

Распространение и возраст. Урал, восточный склон, Западно-Сибирская равнина; верхний оксфорд, кимеридж. Средняя Сибирь, север; оксфорд.

Местонахождение и материал. Западная Сибирь, повсеместно; верхний оксфорд, кимеридж, даниловская, абалакская, георгиевская свиты. 15 раковин хорошей сохранности.

*Geinitzinita nodulosa* (Furssenko et Poljenova), 1950

Табл. 44, фиг. 5—8

*Frondicularia nodulosa*: Фурсенко, Поленова, 1950, с. 71, табл. 6, фиг. 9—11.

*Paralingulina nodulosa*: Герке, 1969 (частично), с. 54, табл. I, фиг. 8, табл. II, фиг. 1—6; Пяткова, 1978, с. 49, табл. 12, фиг. 30.

*Geinitzinita nodulosa*: Тылкина, 1972, табл. XXXIII, фиг. 6—10 [97].

Голотип — ВНИГРИ, № 2564. Эмбенская обл., северное побережье оз. Индер, овраг Караджира. Средний подъярус волжского яруса, зона *Dorsoplanites panderi*.

Описание: см. [98], с. 71.

Замечания. Западносибирские представители по всем основным признакам отвечают виду, описанному А. В. Фурсенко и Е. Н. Поленовой из волжских отложений Эмбенской обл. Отличаются они меньшими размерами, менее закругленными камерами. Начальная камера шаровидная (0,07—0,10 мм), остальные бобовидные, постепенно увеличивающиеся в размерах по мере нарастания. Ширина их в 1,5 раза больше высоты. Стенка радиально-лучистая, пористая, толщина 10—12 мкм. У изученных экземпляров изменчивости подвержены общие размеры раковины, степень обособленности начальной камеры, ее диаметр, а также ширина срединной бороздки. У некоторых экземпляров валики, оконтуривающие срединную бороздку, доходят до устьевого бугорка, тогда как у большинства раковин они заканчиваются немного выше середины высоты последней камеры.

Распространение и возраст. Днепровско-Донецкая впадина, Западный Казахстан, Среднее Поволжье и Общий Сырт; волжский ярус. Западно-Сибирская равнина и север Средней Сибири; кимеридж и волжский ярус. Вне СССР: Польша; бонон.

Местонахождение и материал. Скважины Половинкинской, Шухтунгорской, Окуневской, Даниловской, Лемьинской, Карабашской, Кондинской, Яхлинской и других площадей Западно-Сибирской равнины; кимеридж, волжский ярус, даниловская и низы мулымьинской свит. Восточный склон Приполярного Урала, р. Ятрия, Лопсия; волжский ярус, низы федоровской свиты. 20 раковин удовлетворительной сохранности.

Подсемейство LAGENINAE Brady, 1881

РОД *BOJARKAELLA* Bassov, 1968

*Bojarkaella firma* Bassov, 1968

Табл. 42, фиг. 5, 6

*Bojarkaella firma*: Басов, 1968, с. 115, табл. XXI, фиг. 4—6; табл. XXIII, фиг. 1, 3—5; Даин, К. Кузнецова, 1976, табл. XXIII, фиг. 4.

Голотип — ВНИИОкеангеология, № 800/576. Средняя Сибирь, север, р. Хета, сводный разрез, пачка VI. Верхний подъярус волжского яруса, зона *Craspedites taimyrensis*.

Экземпляры — ЗапСибНИГНИ, № 2190, 2191. Западно-Сибирская равнина, Шухтунгортская скв. 303, гл. 1780—1785 м. Кимеридж, абалакская свита.

Диагноз. Раковина небольшая, короткая, более вздутая в нижней половине. Состоит из двух—четырех округлых, почти шаровидных камер с тенденцией уменьшения в размерах по мере роста. Швы углубленные, узкие. Стенка простая, однослойная или неясно-двуслойная. Устье — простое округлое отверстие на слабо оттянутом конце последней камеры.

Распространение и возраст. Стратотип волжского яруса, зона *Dorsoplanites panderi*. Костромская обл., бассейн Печоры, Прикаспий [34, 94]; эти же отложения. Р. Хета, сводный разрез; волжский ярус, зона *Craspedites taimyrensis* [9]. Р. Боярка, опорный разрез; берриас. Западная Сибирь; кимеридж — средний подъярус волжского яруса.

Местонахождение и материал. Многочисленные скважины западных и южных районов Западной Сибири; абалакская, даниловская свиты. Редкая форма. 10 раковин хорошей сохранности.

Подсемейство DENTALININAE Schwager, 1877

РОД *DENTALINA* Risso, 1826

*Dentalina chochiai* Da in, 1972

Табл. 62, фиг. 1

*Dentalina chochiai*: Даин, 1972, с. 112, табл. XXXIV, фиг. 13 [97].

Голотип — ВНИГРИ, № 520/121. Полярный Урал, восточный склон, р. Лопсия, обн. 41. Низы волжского яруса.

Диагноз. Раковина длинная, узкая, слабо сдвоенная с боков, с приостренными концами и ярко выраженным инициальным шипом. Поперечное сечение широкоовальное. Состоит из шести—восьми слабообъемлющих, медленно увеличивающихся в размерах камер. Швы на ранней стадии поверхностные, позднее — слабоуглубленные, незначительно скошенные. Устье трубковидное, иногда с тенденцией к «лучистому», расположено на оттянутом к спинному краю конусовидном устьевом бугорке.

Распространение и возраст. Западная Сибирь; кимеридж, низы волжского яруса.

Местонахождение и материал. Восточный склон Урала, юго-западные, центральные, северо-восточные районы Западной Сибири; лопсинская, абалакская, георгиевская, яновстанская свиты. Встречается часто, но не более 5 экземпляров в образце.

**Семейство** LENTICULINIDAE Charman, Parr et Collins, 1934

Подсемейство LENTICULININAE Charman, Parr et Collins, 1934

РОД *LENTICULINA* Lamarck, 1804

*Lenticulina subpolonica* Gerke et Scharovskaja, 1961

Табл. 45, фиг. 2, 3

*Lenticulina subpolonica*: Шаровская, 1961, с. 59—62, табл. VI, фиг. 5; табл. VIII, фиг. 1; Лутова, 1981, с. 43, табл. VI, фиг. 1.

*Astacolus subpolonica*: Путря, 1972, с. 151, табл. XVIII, фиг. 4—7; табл. XXX, фиг. 4.

Голотип — ВНИИОкеангеология, № 748/47. Средняя Сибирь, Нордвикский район, скв. К-436, гл. 16 м. Оксфорд.

Экземпляр — ЗапСибНИГНИ, № 421, Западно-Сибирская равнина, Пунгинская скв. 211, гл. 1874—1877 м. Келловой, абалакская свита.

Диагноз. Раковина небольшая, плотносвернутая, овальная в очертании, со стороны устьевой поверхности удлинненно-линзо-

видная. Периферический край ровный, иногда килеватый. В последнем обороте шесть—девять треугольных камер, разделенных сильноизогнутыми углубленными швами. Поверхность раковины гладкая, иногда неясно ребристая. Стенка радиально-лучистая, однослойная. Устье лучистое, в вершине устьевой поверхности.

Распространение и возраст. Западная Сибирь и север Средней Сибири; келловей, нижний — средний оксфорд.

Местонахождение и материал. Многочисленные разрезы из различных районов Западной Сибири; абалакская, даниловская, васюганская свиты. Встречаются постоянно в большом количестве.

*Lenticulina darbyellaformis* Gerke

et Scharovskaja, 1961

Табл. 46, фиг. 1—3

*Lenticulina darbyellaformis*: Шаровская, 1961, с. 45—48, табл. V, фиг. 1—3; Левина, 1970, с. 148—149, табл. II, фиг. 9; Лутова (частично), 1981, с. 39—41, табл. VI, фиг. 4, табл. XI, фиг. 2.

Голотип — ВНИИОкеангеология, № 748/28. Средняя Сибирь, Нордвикский район, скв. К-441, гл. 26—29 м. Оксфорд.

Экземпляр — ЗапСибНИГНИ, № 494. Западная Сибирь, Игримская скв. 116, гл. 1637—1638 м. Оксфорд, вогулкинская толща.

Диагноз. Раковина средних размеров, неполностью инволютная, округлая в очертании. В последнем обороте шесть-семь округленно-треугольных камер, разделенных изогнутыми углубленными швами. Последняя камера сильно разросшаяся, частично прикрывает первую камеру внешнего оборота спирали. Стенка радиально-лучистая, толстая, однослойная. С устьевой поверхности раковина широкоовальная с несколько приостренным устьевым концом. Устье лучистое.

З а м е ч а н и я. У западносибирских представителей вида четко выражена асимметричность раковины. Подразделить вид на два подвида, как это делают его авторы, на имеющемся материале не удастся. Следует также отметить, что приведенное З. В. Лутовой изображение вида [63, табл. VI, фиг. 4] неудачно, так как у раковины отсутствует характерный признак — асимметричность боковых сторон. Кроме того, этим автором в синонимике вида необоснованно помещена *L. lili* Levina, встречающаяся в вогулкинской толще Западной Сибири и четко отличающаяся от *L. darbyellaformis* отсутствием асимметричности боковых сторон.

Распространение и возраст. Западная Сибирь и север Средней Сибири; келловей, нижний — средний оксфорд.

Местонахождение и материал. Северные, западные и центральные районы Западной Сибири; даниловская, абалакская, васюганская свиты. Несколько десятков раковин.

*Lenticulina narykaryensis* Putrja, 1972

Табл. 45, фиг. 1

*Lenticulina narykaryensis*: Путря, 1972, с. 51, табл. I, фиг. 1—4.

Голотип — ЗапСибНИГНИ, № 57. Западно-Сибирская равнина, Нарыкарская скв. 120, гл. 1876,2—1882,3 м. Верхний келловей.

Диагноз. «Раковина небольшая, чечевицеобразная, округлая в очертании, ромбовидная в оксиальном сечении» [84]. Периферический край с килем. Во внешнем обороте девять слегка выпуклых камер. Швы изогнутые, поверхностные с расширяющимися внутренними концами. Стенка однослойная. Устьевая поверхность копьевидной формы. Устье — лучистое на оттянутом «носике».

Распространение и возраст. Западная Сибирь; келловей, нижний оксфорд.

Местонахождение и материал. Западные и центральные районы Западной Сибири. Встречается в виде единичных раковин в темно-серых глинах даниловской, абалакской, васюганской свит.

*Lenticulina parahybrida* Da in, 1972

Табл. 45, фиг. 5

*Lenticulina parahybrida*: Даин, 1972, табл. XXXV, фиг. 3 [97]; Путря, 1972, с. 91, табл. VIII, фиг. 5—7.

Голотип — ВНИГРИ, № 520/88. Полярный Урал, Обской профиль, скв. 11, гл. 358—368 м. Келловей — нижний оксфорд, даниловская свита.

Диагноз. Раковина небольшая, инволютная, овальная в очертании, умеренно сжатая с боковых сторон. Периферический край слабоприостренный, ровный, без кия. Во внешнем обороте семь—девять изогнуто-треугольных камер, плавно увеличивающихся в размерах. Швы узкие поверхностные, между последними камерами — углубленные. Стенка однослойная, тонкая. Устьевая поверхность умеренно-клиновидной формы. Устье лучистое, на выступающем бугорке.

Распространение и возраст. Западная Сибирь; келловей, нижний оксфорд.

Местонахождение и материал. Северо-западные, западные и северо-восточные районы Западной Сибири; даниловская, абалакская, точинская свиты. Единичные раковины.

*Lenticulina solita* Dain, 1972

Табл. 45, фиг. 4

*Lenticulina solita*: Дайн, 1972, с. 114, табл. XXXV, фиг. 1, 2 [97]; Путря, 1972, с. 87, табл. VIII, фиг. 1, 2.

Голотип — ВНИГРИ, № 520/68. Полярный Урал, Лабытнангская скв. 11, гл. 358—368. Верхний келловей — нижний оксфорд.

Диагноз. Раковина небольшая, инволютная, округленно-овальная в очертании, с уплощенным брюшным краем, слегка выгнутая к устьевому концу. В последнем обороте спирали семь—девять камер, разделенных изогнутыми поверхностными швами. С брюшной стороны имеют ромбовидное очертание. Периферический край приостренный. Стенка однослойная, тонкая. Устьевой конец конусовидно оттянут. Устье лучистое.

Распространение и возраст. Западная Сибирь; келловей, нижний оксфорд.

Местонахождение и материал. Многочисленные разрезы из различных районов Западной Сибири; абалакская, даниловская, васюганская, точинская свиты. Большое число раковин.

*Lenticulina dashevskajae* Scharovskaja, 1961

Табл. 46, фиг. 5

*Lenticulina dashevskajae*: Шаровская, 1961, с. 48, табл. V, фиг. 4, 5; табл. VI, фиг. 1, 2; Путря, 1972, с. 77, табл. VI, фиг. 4, 5.

Экземпляры — ВНИИОкеангеология, № 748/31. Средняя Сибирь, Нордвикский район, скв. К-441, гл. 26—29 м. Оксфорд. № 748/34, Сындасский участок, скв. 201, гл. 639 м. Оксфорд.

Диагноз. Раковина средних размеров, удлинненно-овальная. Периферический край широкоокруглый, сильно приостренный. Образована одним—одним с четвертью оборотами спирали. Число камер, составляющих спираль — 6—12. Камеры низкие, серповидно-треугольные, плавно увеличивающиеся в размерах. Септальные швы дуговидно-изогнутые, поверхностные с тенденцией к незначительной выпуклости. Стенка радиально-лучистая, однослойная. Устьевая поверхность последней камеры высокая линзовидная. Устье лучистое.

Распространение и возраст. Средняя Сибирь, север; нижний, средний оксфорд. Западная Сибирь; келловей, нижний оксфорд.

Местонахождение и материал. Западные и центральные районы Западной Сибири; даниловская, абалакская, васюганская свиты. Немногочисленные раковины.

*Lenticulina lii* Levina, 1970

Табл. 47, фиг. 4

*Lenticulina lii*: Левина, 1970, с. 147, табл. II, фиг. 11.

Голотип — ЗапСибНИГНИ, № 481. Западно-Сибирская равнина, Игримская скв. 116-Р, гл. 1640—1641 м. Кимеридж, вогулкинская толща.

Диагноз. Раковина небольшая, сильновздутая, плотносвернутая, последний оборот состоит из шести камер. Швы углубленные.

Распространение и возраст. Западная Сибирь; келловей — оксфорд.

Местонахождение и материал. Западные и юго-западные районы Западной Сибири; абалакская свита, вогулкинская толща. Небольшое число раковин.

*Lenticulina subinvolvens* Scharovskaja, 1961

Табл. 46, фиг. 4

*Lenticulina subinvolvens*: Шаровская, 1961, с. 55, табл. VIII, фиг. 1; Лутова, 1981, с. 41, табл. VI, фиг. 2.

Голотип — ВНИИОкеангеология, № 748/10. Средняя Сибирь, Нордвикский район, Тигяно-Чайдахский участок, скв. К-230, гл. 22 м. Оксфорд.

Диагноз. Раковина сравнительно небольшая, по форме близкая к овальной. Периферический край приостренный. Состоит из 10—17 камер, образующих до 1,75 оборота спирали. В последнем восемь-девять камер. Устьевая поверхность ширококопьевидная. Швы двуконтурные, слабоизогнутые.

Распространение и возраст. Средняя Сибирь, север; келловей, нижний — средний оксфорд. Западная Сибирь; средний — верхний келловей, нижний — средний оксфорд.

Местонахождение и материал. Северные, западные, центральный районы Западной Сибири; даниловская, абалакская, васюганская свиты. Небольшое число раковин.

*Lenticulina memorabilissima* Gerke et Scharovskaja, 1961

Табл. 45, фиг. 8, 9

*Lenticulina memorabilissima*: Шаровская, 1961, с. 56—59, табл. VIII, фиг. 2, 3; табл. IX, фиг. 1—3; Путря, 1972, с. 80, табл. VII, фиг. 1—3; Лутова, 1981, табл. V, фиг. 4.

Голотип — ВНИИОкеангеология, № 748/11. Средняя Сибирь, Нордвикский район, скв. К-436, гл. 25 м. Оксфорд.

Экземпляр — ЗапСибНИГНИ. Западно-Сибирская равнина, Игримская скв. 112, гл. 1626—1627 м. Оксфорд — кимеридж, вогулкинская толща.

Диагноз. Раковина округло-овальная, довольно толстая, несколько асимметричная; в поперечном сечении овально-треугольная. На брюшной стороне относительно углубленное пупочное пространство. Периферический край широкоокруглый или слабозаостренный, волнистый. В последнем обороте шесть-семь камер.

Распространение и возраст. Средняя Сибирь, север; келловей, оксфорд. Западная Сибирь; келловей, нижний — средний оксфорд.

Местонахождение и материал. Западная Сибирь, повсеместно в зоне распространения даниловской, абалакской и васюганской свит. Многочисленные раковины.

*Lenticulina involvens solida* Gerke et Scharovskaja, 1961

Табл. 46, фиг. 6

*Lenticulina involvens solida*: Шаровская, 1961, с. 52, табл. VII, фиг. 2—4.

Голотип — ВНИИОкеангеология, № 748/38. Средняя Сибирь, Нордвикский район, скв. 433, гл. 43 м. Оксфорд.

Экземпляр — ЗапСибНИГНИ, № 122. Западно-Сибирская равнина, Кондинская скв. 7, гл. 1884—1887 м. Оксфорд, даниловская свита.

Диагноз. Раковина крупная, инволютная, почти округлая в очертании. Состоит из 15—20 камер, образующих полтора-два оборота спирали; в последнем 9—13 камер.

Распространение и возраст. Западная Сибирь и север Средней Сибири; оксфорд.

Местонахождение и материал. Единичные разрезы западных районов Западной Сибири; даниловская, абалакская свиты. Единичные раковины.

*Lenticulina oscunjoensis* Putrja, 1972

Табл. 47, фиг. 3

*Lenticulina oscunjoensis*: Путря, 1972, с. 78, табл. VI, фиг. 9—11.

Голотип — ЗапСибНИГНИ, № 70. Западно-Сибирская равнина, Окуневская скв. 49, гл. 1594—1599 м. Верхний оксфорд.

Диагноз. Раковина средних размеров, полуинволютная, сравнительно толстая, с открытым пупочным углублением. Состоит из 11—14 камер, образующих около полутора оборотов спирали; в последнем семь-девять камер. Септальные швы поверхностные, имеют сильно развитые надшовные утолщения, окаймляющие камеры в виде возвышающихся ободков.

Распространение и возраст. Западная Сибирь; верхний оксфорд.

Местонахождение и материал. Западные районы Западной Сибири; даниловская, абалакская свиты. Единичные раковины хорошей сохранности.

*Lenticulina belousovae* Levina, 1970

Табл. 47, фиг. 5, 6

*Lenticulina belousovae*: Левина, 1970, с. 151, табл. I, фиг. 7—9.

Голотип — ЗапСибНИГНИ, № 942. Западная Сибирь, Игримская скв. 112, гл. 1625—1628 м. Оксфорд — нижний кимеридж, вогулкинская толща.

Диагноз. Раковина средних размеров, дисковидная, включает 9—10 камер. Швы в виде валиковидных ребер, образующих в центре высокое кольцо. Периферический край округлый, без кия.

Распространение и возраст. Западная Сибирь; оксфорд — нижний кимеридж.

Местонахождение и материал. Северо-запад Западной Сибири; вогулкинская толща. Небольшое число раковин.

*Lenticulina greisli* Dubrovskaja, 1970

Табл. 48, фиг. 1

*Lenticulina greisli*: Левина, 1970, с. 163, табл. II, фиг. 3.

Экземпляр — ЗапСибНИГНИ, № 70. Западно-Сибирская равнина, Березовская скв. 40, гл. 1347—1348 м. Оксфорд — кимеридж, вогулкинская толща.

Диагноз. Раковина маленькая, плотносвернутая, эволютная, уплощенная с боковых сторон, состоит из 9—10 камер. Периферический край ровный, закругленный. Устье на незначительно оттянутом конце последней камеры.

Распространение и возраст. Западная Сибирь; оксфорд — нижний кимеридж.

Местонахождение и материал. Северо-западные районы Западной Сибири; абалакская свита, вогулкинская толща. Небольшое число раковин.

*Lenticulina comaeformis* Levina, 1970

Табл. 47, фиг. 7, 8

*Lenticulina comaeformis*: Левина, 1970, с. 162, табл. II, фиг. 5, 6, 8.

Голотип — ЗапСибНИГНИ, № 62. Западная Сибирь, Березовская скв. 1, гл. 1306—1312 м. Верхи оксфорда — нижний кимеридж, вогулкинская толща.

Диагноз. Раковина маленькая, линзовидной формы, двояковыпуклая. Образована одним оборотом спирали, состоящим из семи-восьми камер. В центре расположена крупная начальная камера.

Распространение и возраст. Западная Сибирь; оксфорд — нижний кимеридж.

Местонахождение и материал. Западные районы Западной Сибири; абалакская, даниловская свиты, вогулкинская толща. Небольшое число раковин.

*Lenticulina gerkei* Da in, 1972

Табл. 48, фиг. 4

*Lenticulina gerkei*: Даин, 1972, с. 117, табл. XXXVI, фиг. 7 [97].

Голотип — ВНИГРИ, № 520/71. Приполярный Урал, бассейн р. Толья, скв. 56, гл. 24,8—29,8 м. Верхний кимеридж, лопсинская свита.

Диагноз. Раковина средних размеров, слегка вытянутая к устьевому концу, слабовдавленная в пупочной области. В последнем обороте восемь постепенно увеличивающихся камер.

Распространение и возраст. Приполярный Урал, бассейн рек Толья и Волья, Западная Сибирь; кимеридж.

Местонахождение и материал. Западные и юго-западные районы Западной Сибири; кимеридж, даниловская, абалакская, лопсинская свиты. Единичные экземпляры в многочисленных скважинах.

*Lenticulina semipellucida* Da in, 1972

Табл. 48, фиг. 2, 3

*Lenticulina semipellucida*: Даин, 1972, с. 118, табл. XXXVI, фиг. 5 [97].

Голотип — ВНИГРИ, № 520/74. Приполярный Урал, восточный склон, р. Лопсия, обн. 42. Нижний кимеридж, зона *Pictonia involuta*, лопсинская свита.

Экземпляр — ЗапСибНИГНИ, № 936. Приполярный Урал, р. Ятрия, скв. 13, гл. 5,6—9,7 м. Верхний кимеридж, лопсинская свита.

Диагноз. Раковина инволютная, плотновернутая, чечевицеобразная. 15—16 камер составляют около двух быстро расширяющихся оборотов. Швы поверхностные. В центре небольшой прозрачный пупочный диск.

Распространение и возраст. Приполярный Урал, восточный склон; нижний кимеридж. Западная Сибирь; кимеридж.

Местонахождение и материал. Западные и юго-западные районы Западной Сибири; даниловская, абалакская, лопсинская свиты. Единичные раковины.

*Lenticulina michailovi* D a i n, 1972

Табл. 48, фиг. 7

*Lenticulina michailovi*: Даин, 1972, с. 115—116, табл. XXXVI, фиг. 1—3; табл. XIX, фиг. 4 [97].

Голотип — ВНИГРИ, № 520/69. Приполярный Урал, восточный склон, бассейн р. Толья, скв. 33, гл. 44 м. Кимеридж.

Диагноз. Раковина округлая, в осевом сечении имеет широкоромбовидное очертание. Боковые стороны в срединной области шишковидно вздуты. Образована двумя—двумя с половиной оборотами спирали, в последнем девять камер. Устьевая поверхность низкая.

Распространение и возраст. Западная Сибирь и север Средней Сибири; нижний кимеридж.

Местонахождение и материал. Многочисленные разрезы различных районов Западной Сибири; лопсинская, даниловская, абалакская, георгиевская свиты. В образцах единичные раковины.

*Lenticulina oculus-avis* D a i n, 1972

Табл. 48, фиг. 8, 9

*Lenticulina oculus-avis*: Даин, 1972, с. 122, табл. XXXVI, фиг. 4 [97].

Голотип — ВНИГРИ, № 520/72. Приполярный Урал, бассейн р. Толья, скв. 56, гл. 24,8—29,8 м. Кимеридж, лопсинская свита.

Диагноз. Раковина маленькая, округлая, плотносвернутая, уплощенная с боковых сторон. Образована семью—девятью камерами. Начальная камера круглая, в виде глазка, расположена в центре раковины. По периферии от области смыкания с последней камерой тянется небольшой прозрачный киль. Швы выпуклые. Устьевая поверхность последней камеры имеет боковые валики. Устье на оттянутом сосочковидном конце.

Распространение и возраст. Западная Сибирь; кимеридж.

Местонахождение и материал. Повсеместно в Западной Сибири в виде единичных раковин в кимериджских комплексах; абалакская, даниловская, георгиевская свиты.

*Lenticulina sibirensis* (Козырева), 1972

Табл. 48, фиг. 6

*Cristellaria sibirensis*: Козырева, 1957, табл. I, фиг. 6.

*Astacolus sibirensis*: Козырева, 1972, с. 126, табл. XL, фиг. 1, 2; табл. XXXV, фиг. 10 [97].

*Lenticulina sibirensis*: Путря, 1972, с. 107, табл. X, фиг. 1—3.

Голотип — ВНИГРИ, № 521/8. Западно-Сибирская равнина, Северо-Казахстанская обл., Рязкинская скв. 5-Р, гл. 1336 м. Кимеридж.

Экземпляр — ПГО «Новосибирскгеология», Тебисская скв. 2, гл. 2317—2324 м. Нижний кимеридж, марьяновская свита.

Диагноз. Раковина крупная, уплощенная с боковых сторон, овальная в очертании. Состоит из 11—16 треугольных камер, образующих до полутора оборотов спирали; в последнем до 11 камер. Септальные швы слабоуглубленные, поверхностные, со слегка выступающими надшовными утолщениями. Устье лучистое.

Распространение и возраст. Западная и север Средней Сибири; кимеридж.

Местонахождение и материал. Встречается повсеместно в кимериджских комплексах Западной Сибири; даниловская, абалакская, георгиевская, марьяновская свиты. 20 раковин хорошей сохранности.

*Lenticulina essica* Putrja, 1972

Табл. 50, фиг. 3

*Lenticulina essica*: Путря, 1972, с. 61, табл. III, фиг. 1—11, табл. XXVIII, фиг. 3.

Голотип — ЗапСибНИГНИ, № 63. Западно-Сибирская равнина, Эсская скв. 1, гл. 1672—1675 м. Кимеридж, даниловская свита.

Диагноз. Раковина по форме близка к чечевицеобразной. Состоит из 16—19 постепенно увеличивающихся камер, составляющих полтора-два оборота спирали; в последнем 9—10 узко-треугольных камер. Пупочная область слегка уплощенная. Периферический край слабоприостренный. Септальные швы изогнутые, поверхностные, становятся слегка углубленными между последними двумя-тремя камерами. Устье лучистое.

Распространение и возраст. Западная Сибирь; кимеридж.

Местонахождение и материал. Северо-западные, западные и юго-западные районы Западной Сибири; даниловская, абалакская свиты. До 30 раковин хорошей сохранности.

*Lenticulina undosa* Beljaevskaja, 1972

Табл. 49, фиг. 1, 2

*Lenticulina undosa*: Беляевская, 1972, с. 116, табл. XXXV, фиг. 6; 7 [97].

Голотип — ВНИГРИ, № 520/70. Западно-Сибирская равнина, Абалакская скв. 1, гл. 2233—2243 м. Нижний кимеридж, абалакская свита.

Диагноз. Раковина небольшая, полуокруглого очертания, несколько вытянутая к устьевому концу. В последнем обороте до восьми косотреугольных камер. Септальные швы покрыты валикообразными натеками, сливающимися своими широкими пупочными концами в приподнятую площадку. Устьевая поверхность очень высокая, широкотреугольная с узким основанием. Устье округлое, слаболучистое.

Распространение и возраст. Западная Сибирь; кимеридж.

Местонахождение и материал. Восточный склон Приполярного Урала, многочисленные разрезы западной, южной, центральной частей Западной Сибири; лопсинская, даниловская, абалакская, георгиевская, марьяновская свиты. Немногочисленные раковины.

*Lenticulina iatriensis* Da in, 1972

Табл. 49, фиг. 3, 4

*Lenticulina iatriensis*: Даин, 1972, с. 119, табл. XXXVIII, фиг. 1, 2; табл. XIX, фиг. 5 [97].

Голотип — ВНИГРИ, № 520/116. Приполярный Урал, восточный склон, р. Ятрия, обн. 5. Верхний кимеридж, лопсинская свита.

Экземпляр — ЗапСибНИГНИ, № 2161. Западно-Сибирская равнина, Люльинский профиль, скв. 64, гл. 336 м. Кимеридж, лопсинская свита.

Диагноз. Раковина крупная, округлая в очертании, инволютная. Состоит из 16—17 камер, в последнем обороте 10—11 низких, плавно увеличивающихся в размерах косотреугольных камер. Наибольшей толщины раковина достигает в пупочной области. Септальные швы приподняты в виде довольно широких валиков, образующих в центре небольшой стекловатый непрозрачный диск. Устьевая поверхность копьевидная с боковыми валиками. Устье лучистое.

Распространение и возраст. Приполярный Урал; верхний кимеридж. Западная Сибирь; кимеридж.

Местонахождение и материал. Западные и центральные районы Западной Сибири; абалакская, даниловская, георгиевская, лопсинская свиты. Единичные раковины во многих разрезах.

*Lenticulina saranpaulensis* Dain, 1972

Табл. 49, фиг. 5, 6

*Lenticulina saranpaulensis*: Дайн, 1972, табл. XXXVI, фиг. 6 [97].

Голотип — ВНИГРИ, № 520/76. Приполярный Урал, р. Щекурья, скв. 5, гл. 123 м. Нижний кимеридж.

Диагноз. Раковина средних размеров, округлой формы, овальная в осевом сечении. В последнем обороте спирали 10 вытянутых треугольных камер. Камеры внутренними концами не доходят до центра боковой стороны. Пупочная область прикрыта непрозрачным диском. Устье на оттянутом устьевом бугорке.

Распространение и возраст. Приполярный Урал, Западная Сибирь; кимеридж.

Местонахождение и материал. Западные районы Западной Сибири; даниловская, абалакская, лопсинская свиты. Единичные раковины.

*Lenticulina nordformis* Putrja et Romanova, 1972

Табл. 49, фиг. 7

*Lenticulina nordformis*: Путря, 1972, с. 58, табл. II, фиг. 5—7; табл. XXIX, фиг. 1.

Голотип — ЗапСибНИГНИ, № 61. Западно-Сибирская равнина, Владимирская скв. 3, гл. 1652,2—1665,7 м. Нижний кимеридж.

Диагноз. Раковина крупная, округлая в очертании, вздутая в пупочной области, ромбовидная в осевом сечении. 20 постепенно увеличивающихся камер образуют два—два с половиной оборота спирали; в последнем 10—11 камер. Септальные швы поверхностные, узкие, слабоуглубленные. Устье лучистое.

Распространение и возраст. Западная Сибирь; кимеридж.

Местонахождение и материал. Северо-западные, западные и южные районы Западной Сибири; даниловская, абалакская свиты. Небольшое число раковин.

*Lenticulina lauta* Dain, 1972

Табл. 50, фиг. 1

*Lenticulina lauta*: Дайн, 1972, с. 121, табл. XXXVII, фиг. 1 [97].

Голотип — ВНИГРИ, № 520/90. Приполярный Урал, восточный склон, р. Лопся, обн. 41. Верхний кимеридж, зона *Aulacostephanus eudoxus*, лопсинская свита.

Диагноз. Раковина крупная, инволютная, округлая, в осевом сечении — ромбовидная, с округлым периферическим краем. Образована 17 камерами с 9—12 — в последнем обороте. Пулочная область шишковидно-вздутая. Устьевая поверхность стрельчатая, с утолщенными боками и вогнутым основанием.

Распространение и возраст. Приполярный Урал, восточный склон, Западная Сибирь; кимеридж.

Местонахождение и материал. Северо-западные, западные, юго-восточные районы Западной Сибири; даниловская, абалакская, лопсинская свиты. Небольшое число раковин.

### *Lenticulina initabilis* (Zaspelova), 1948

Табл. 50, фиг. 7

*Cristellaria initabilis*: Заспелова, 1948, с. 205, табл. II, фиг. 3.

*Lenticulina initabilis*: Путря, 1972, с. 56, табл. II, фиг. 1—2; Булынникова и др., 1986, с. 212, табл. LI, фиг. 3 [5].

Голотип — ВНИГРИ, № 1740. Западно-Сибирская равнина, Ганькинская скв. Нижний подъярус волжского яруса.

Экземпляр — ЗапСибНИГНИ, № 102. Западно-Сибирская равнина, Владимирская скв. 2, гл. 1555—1559 м. Верхи нижнего кимериджа, даниловская свита.

Диагноз. Раковина крупная, чечевицеобразная, утолщенная в центре, с приостренным периферическим краем. В последнем обороте 9—10 треугольных камер. Швы тонкие, слабоизогнутые, поверхностные. Умбональный диск отсутствует. Устье лучистое.

Распространение и возраст. Западная Сибирь; кимеридж, волжский ярус.

Местонахождение и материал. Юго-западные и южные районы Западной Сибири; даниловская, абалакская, марьяновская свиты. Небольшое число раковин.

### *Lenticulina munda* Da in, 1972

Табл. 50, фиг. 2

*Lenticulina munda*: Даин, 1972, табл. XXXVII, фиг. 4 [97]; Путря, 1972, с. 114, табл. XI, фиг. 6.

Голотип — ВНИГРИ, № 520/87. Приполярный Урал, р. Лопсия, обн. 41. Низы верхнего кимериджа, лопсинская свита.

Диагноз. Раковина небольшая, инволютная, сжатая с боковых сторон овальная. Образована 10—12 камерами, из которых 8—10 составляют наружный оборот. Внутренние концы камер заострены и сближены. Септальные швы узкие, поверхностные. Устье лучистое.

Распространение и возраст. Западная Сибирь; кимеридж.

Местонахождение и материал. Западные и северо-западные районы Западной Сибири; лопсинская, даниловская, абалакская свиты. Постоянно встречается в виде единичных раковин в многочисленных комплексах.

*Lenticulina limpida* Dain, 1972

Табл. 50, фиг. 4, 5

*Lenticulina limpida*: Данин, 1972, с. 125, табл. XXXVII, фиг. 2, 3 [97].

Голотип — ВНИГРИ, № 520/89. Приполярный Урал, р. Лопсия, обн. 41. Верхний кимеридж, лопсинская свита.

Диагноз. Раковина маленькая, овальная, с почти прямым брюшным краем и слегка разгибающимся спинным, равномерно-уплощенная; со стороны периферического края имеет почти параллельные бока. Состоит из семи—деяти камер, образующих один оборот спирали. Швы слабоуглубленные, изогнутые. Устьевая поверхность узкоовальная, вогнутая в основании камеры. Устье лучистое.

Распространение и возраст. Приполярный Урал, восточный склон; низы верхнего кимериджа. Западная Сибирь; кимеридж.

Местонахождение и материал. Северо-западные, западные, юго-западные, восточные районы Западной Сибири; даниловская, абалакская, георгиевская, сиговская, яновстанская, лопсинская свиты. 20 раковин хорошей сохранности.

*Lenticulina crassisepta* (Kasanzev), 1936

Табл. 48, фиг. 5

*Cristellaria subangulata* Reuss var. *crassisepta*: Казанцев, 1936, с. 17, табл. II, фиг. 28, 29, 32.

*Lenticulina crassisepta*: Путря, 1972, с. 119, табл. XII, фиг. 9—11.

Голотип — ВНИГРИ. Прикаспийская низменность, Эмбенская обл. Нижний подъярус волжского яруса.

Диагноз. Раковина от средних до крупных размеров, инволютная, умеренно-вздутая, ромбовидная в осевом сечении. Периферический край заостренный. Септальные швы с сильно развитыми надшовными утолщениями, создающими в пупочной области своеобразный узел или диск. Устьевая поверхность невысокая, клиновидная. Устье простое, округлое.

Распространение и возраст. Прикаспийская низменность, Эмбенская обл.; нижний подъярус волжского яруса. Западная Сибирь; кимеридж.

Местонахождение и материал. Западные районы Западной Сибири; абалакская, даниловская свиты. 10 раковин хорошей сохранности.

*Lenticulina pungensis* E. Ivanova, 1971

Табл. 50, фиг. 10

*Lenticulina pungensis*: Иванова, 1971, с. 1—4, фиг. 1, 2 [46]; 1973, с. 107, табл. II, фиг. 1, 2; табл. III, фиг. 1; табл. IV, фиг. 4, 5; Комиссаренко, 1986, с. 129, табл. LII, фиг. 5 [5].

Голотип — ИГиГ, № 250/55. Западно-Сибирская равнина, Пунгинская скв. 212, гл. 1746,3—1748 м. Волжский ярус.

Диагноз. Раковина довольно крупная, почти инволютная, округлая в очертании, с умеренно выпуклыми боковыми сторонами и килеватым периферическим краем. Образована 11—17 камерами, из которых 7—10 составляют последний оборот. Камеры закругленно-треугольные, последняя закругленно-четырехугольная. Швы слабовыпуклые, в пупочной области формируют шишку. Устье лучистое, направлено вперед.

Распространение и возраст. Западная Сибирь; нижний, средний подъярус волжского яруса.

Местонахождение и материал. Западные районы Западной Сибири: Пунгинская, Озерная, Игримская, Даниловская, Окуневская и другие площади; тутлеймская, мулымьинская, даниловская свиты. Небольшое число раковин.

*Lenticulina dofleini* (Kasanzev), 1936

Табл. 50, фиг. 6

*Cristellaria dofleini*: Казанцев, 1936, с. 18, табл. II, фиг. 35—37; Фурсенко, Поленова, 1950, с. 30, табл. II, фиг. 4.

*Lenticulina dofleini*: Путря, 1972, с. 112, табл. XI, фиг. 2—4.

Голотип — ВНИГРИ. Прикаспийская низменность, Эмбенская обл. Средний подъярус волжского яруса, зона *Dorsoplinites panderi*.

Диагноз. Раковина крупная, сильно сжатая с боковых сторон, инволютная, округлая в очертании, с тонким килем. Камеры низкие, широкие, узкотреугольной формы. В последнем обороте 10—13 камер. Швы углубленные, изогнутые. Устьевая поверхность высокая, узкая. Устье лучистое.

Распространение и возраст. Прикаспийская низменность, Поволжье, Западная Сибирь; средний подъярус волжского яруса.

Местонахождение и материал. Юго-западные районы Западной Сибири; тутлеймская, мулымьинская свиты. Единичные раковины.

*Lenticulina sosvaensis* Dain, 1972

Табл. 50, фиг. 8, 9

*Lenticulina sosvaensis*: Дайн, 1972, с. 124, табл. XXXVIII, фиг. 4—6 [97]; Путря, 1972, с. 105, табл. IX, фиг. 17; Комиссаренко, 1986, с. 128, табл. LII, фиг. 4 а, б [5].

Голотип — ВНИГРИ, № 520/77. Приполярный Урал, восточный склон; р. Яны-Манья, обн. 23. Средний подъярус волжского яруса.

**Диагноз.** Раковина небольшая, почти инволютная, чечевицеобразная, вздутая в центральной части. Периферический край ровный, суженный. Камеры широкие, треугольные; в последнем обороте их семь-семь с половиной. Устьевая поверхность низкая, широкострельчатая. Устье — округлое отверстие на периферическом углу последней камеры.

**Распространение и возраст.** Западная Сибирь; средний подъярус волжского яруса.

**Местонахождение и материал.** Многочисленные разрезы северо-, юго-западных, западных районов Западной Сибири; тутлеймская, мулымьинская, федоровская, даниловская свиты. Встречается постоянно в небольшом количестве.

*Lenticulina versiformis* Булыникова, 1987

Табл. 101, фиг. 9

*Lenticulina versiformis*: Булыникова, 1987, с. 29—30, табл. X, фиг. 1—2.

**Голотип** — СНИИГГиМС, № 1—Б/13—39. Средняя Сибирь, п-ов Пакса, обн. 32, слой 14. Берриас, зона *Chetaites sibiricus*, паксинская свита.

**Диагноз.** Раковина средних размеров, округлая, чаще инволютная, умеренно сжатая с боковых сторон, с ровным, килеватым периферическим краем. Состоит из полутора оборотов спирали; в последнем 9—12 изогнуто-треугольных камер. Швы поверхностные, двуконтурные. Начальная камера иногда прикрыта скелетным веществом. Устьевая поверхность клиновидная с вогнутым основанием. Устье лучистое, на приостренном устьевом бугорке.

**Распространение и возраст.** Средняя Сибирь; берриас, зона *Chetaites sibiricus*.

**Местонахождение и материал.** См. голотип. 20 раковин удовлетворительной сохранности.

*Lenticulina gigantella* Романова, 1960

Табл. 99, фиг. 2—4; табл. 100, фиг. 1, 3

*Lenticulina gigantella*: Романова, 1960, с. 75—76, табл. XIII, фиг. 1а, б.

**Диагноз.** Раковина крупная, инволютная, почти округлая в очертании, с приостренным устьевым концом, симметричными боковыми сторонами, вогнутая в центральной части. В последнем обороте 10—11 косотреугольных камер, неясно смыкающихся в пупочной области, где расположен непрозрачный и не воз-

выступающий над поверхностью раковины более или менее выпуклый пупочный диск. Со стороны ровного, килевидного периферического края раковина ромбовидной формы, более или менее вытянутая в высоту. Устьевая поверхность последней камеры высокая, клиновидная, с вогнутым основанием. Устье неясно-лучистое, округлое.

Замечание. В качестве голотипа автором вида выделена нетипичная особь с округло-овальной формой раковины.

Распространение и возраст. Сибирь; берриас?, валанжин, слои с *Valanginella tatarica*.

Местонахождение и материал. Западно-Сибирская равнина, Большереченская скв. 2-Р, гл. 2429,5—2431,1 м; берриас. Чебурлинская разведочная площадь; нижний валанжин, куломзинская свита. Немногочисленные раковины хорошей сохранности.

### *Lenticulina pseudoarctica* E. Иванова, 1970

Табл. 98, фиг. 7—9; табл. 99, фиг. 1

*Lenticulina pseudoarctica*: Иванова, 1970, с. 94—96, табл. II, фиг. 1—3.

Экземпляр — СНИИГГиМС, № 1/13—50. Средняя Сибирь, р. Анабар, обн. 1. Нижний валанжин, зона *Temnoptychites syzranicus*.

Диагноз. Раковина крупная, инволютная, округлая в очертании. В последнем обороте спирали восемь—восемь с половиной косотреугольных камер. Со стороны слабоприостренного периферического края широколинзовидная. Наибольшая толщина раковины почти равна ее диаметру. Швы поверхностные, неширокие, двуконтурные. Устьевая поверхность последней камеры шлемовидная с вогнутым основанием. Устье лучистое.

Распространение и возраст. Сибирь; берриас, нижний валанжин.

Местонахождение и материал. Юго-западные и южные районы Западной Сибири; ахская, куломзинская, тарская свиты. Единичные раковины в образцах.

### *Lenticulina firma* Булыникова, 1987

Табл. 98, фиг. 3—5

*Lenticulina firma*: Булыникова, 1987, с. 31—32, табл. XI, фиг. 1, 2.

Голотип — СНИИГГиМС, № 1—Б/12—83. Западно-Сибирская равнина, Татарская скв. 1-Р, гл. 2280—2287 м. Нижний валанжин, тарская свита.

Диагноз. Раковина небольшая, инволютная, в очертании почти округлая с приостренным устьевым бугорком. Состоит из

одного-полутора оборотов спирали; в последнем шесть-семь высоких косотреугольных камер, разделенных натечными рогообразными швами, наиболее утолщенными в центральной части раковины. Периферический край округлый, окаймлен килем. С устьевой поверхности раковина широколинзовидная. Устьевая поверхность последней камеры, высота которой составляет более половины наибольшего диаметра, по краям имеет неширокие валики. Устье лучистое.

Распространение и возраст. Западная и север Средней Сибири; нижний валанжин, слои с *Valanginella tatarica*.

Местонахождение и материал. П-ов Пакса (север Средней Сибири), обн. 33; нижний валанжин. Встречается редко в виде единичных экземпляров.

Западная Сибирь, скважины южного обрамления Западно-Сибирской плиты; нижний валанжин, тарская свита. Единичные раковины удовлетворительной сохранности.

### *Lenticulina vegeta* Булыникова, 1987

Табл. 98, фиг. 1, 2, 6

*Lenticulina vegeta*: Булыникова, 1987, с. 32—33, табл. XI, фиг. 4—6.

Голотип — СНИИГГиМС, № 1—ФБ/12—103. Западно-Сибирская равнина, Медведевская скв. 22-Р, гл. 828—837 м. Нижний готерив, слои с *Trochammina gyroidiniformis* — *Acruliammina pseudolonga*, ахская свита.

Диагноз. Раковина средних размеров, инволютная, овально-вытянутая, со стороны устьевой поверхности почти ромбовидная. Образована одним-полутора оборотами спирали; в последнем шесть-семь камер, разделенных плавно изогнутыми неширокими швами. Устьевой конец несколько оттянут. Устьевая поверхность высокая, субтреугольная, с валиковидными утолщениями по краям. Устье лучистое, расположено в периферическом углу последней камеры.

Распространение и возраст. Западная Сибирь; нижний готерив. Средняя Сибирь, север; валанжин.

Местонахождение и материал. Скважины Медведевской площади на северо-западе Западной Сибири (ахская свита) и Долганской площади в Енисей-Хатангском прогибе (нижнехетская свита). Встречается часто в виде единичных экземпляров хорошей сохранности.

### *Lenticulina prima* Богомякова, 1979

Табл. 102, фиг. 9

*Lenticulina prima*: Богомякова, 1979, с. 55—57, табл. IX, фиг. 1—4.

Голотип — ЗапСибНИГНИ, № 1970. Западно-Сибирская равнина, Вершинская скв. 418-Р, гл. 2092—2097 м. Нижний готерив, зона *Speetoniceras versicolor*, комплекс *Lenticulina prima*, слои с *Trochammina gyroidiniiformis* — *A. pseudolonga*, вартовская свита.

Диагноз. Раковина сравнительно крупная, инволютная или полуинволютная, двояковыпуклая, округлая в очертании. Периферический край слегка приостренный. Образована полутора оборотами спирали; в последнем шесть-восемь косотреугольных камер, конечная — неправильно-четырёхугольной формы. Швы изогнутые, почти поверхностные. Устьевая поверхность высокая, округленно-треугольная, вогнутая в основании. Устье лучистое.

Сравнение. Вид близок к нижнемеловым западносибирским — *Lenticulina variabilis* Rom. и *L. lideri* Rom. От *L. variabilis* Rom. он отличается отсутствием четко выраженного умбонального диска у взрослых особей, формой септальной поверхности последней камеры; более узкими швами и отсутствием выступающих ребер на них, а от *L. lideri* Rom. — полуинволютной раковиной, более широкими септальными швами, отсутствием натечной шишки из раковинного вещества и формой устьевой поверхности последней камеры.

Распространение и возраст. Западная Сибирь; нижний готерив, зона *Speetoniceras versicolor*, слои с *Trochammina gyroidiniiformis* — *Acruliammina pseudolonga*.

Местонахождение и материал. Центральная часть Западно-Сибирской равнины, нижний готерив, ахская (вблизи кровли), вартовская свиты. Более 50 раковин, в основном хорошей сохранности.

### *Lenticulina variabilis* Романова, 1960

Табл. 101, фиг. 1—8; табл. 102, фиг. 8, 11; табл. 103, фиг. 1

*Lenticulina variabilis*: Романова, 1960, с. 73—74, табл. XII, фиг. 3—8 а, б.

Голотип — ВСЕГЕИ, Центральный геологический музей. Западно-Сибирская равнина, Заводоуковская скв. 2, гл. 1112—1113 м. Готерив.

Диагноз. Раковина средних размеров, полуинволютная, слабовыпуклая, округлая в очертании, овально-вытянутая со стороны периферического края. Состоит из одного-полутора оборотов спирали; в последнем 9—11,5 удлинненно-треугольных камер, разделенных слабоуглубленными, двуконтурными, незначительно искривленными швами. Рост камер постепенный. Устьевая поверхность последней высокая, колпачковидная, с небольшой выемкой в основании. Устье лучистое на несколько оттянутом устьевом конце.

Распространение и возраст. Западная Сибирь; валанжин — готерив.

Местонахождение и материал. Скважины Омской и Заводоуковской разведочных площадей; валанжин (тарская свита), готерив (карбанская свита). Большое число раковин хорошей сохранности (взрослые и молодые особи).

*Lenticulina lideri* Романова, 1960

Табл. 103, фиг. 2

*Lenticulina lideri*: Романова, 1960, с. 72—73; табл. XII, фиг. 9—12 а, б.

Голотип — ВСЕГЕИ, Центральный геологический музей. Западно-Сибирская равнина, Омская скв. 1, гл. 2167—2172,8 м. Валанжин, тарская свита.

Диагноз. Раковина небольшая или средних размеров, двояковыпуклая, инволютная, образована 1—1,2 оборотами спирали. В последней семь-девять косотреугольных камер, конечная иногда неправильно-четырёхугольная. Швы косые, тонкие, поверхностные. Со стороны округлого приостренного периферического края очертание раковины округло-овальное, с приостренным основанием и устьевым концом. Устьевая поверхность последней камеры треугольной формы с боковыми неширокими валиками. Устье лучистое.

Распространение и возраст. Западная Сибирь, юго-запад и юг; валанжин — готерив.

Местонахождение и материал. Скважины Уватской, Тюменской, Омской, Татарской, Тебисской разведочных площадей; ахская, тарская свиты. От единичных экземпляров до скопления (Омская площадь) в слоях с *Valanginella tatarica* (валанжинская часть).

РОД *ASTACOLUS* de Montfort, 1808

*Astacolus igrimensis* Levina, 1972

Табл. 47, фиг. 1, 2

*Astacolus igrimensis*: Левина, 1972, с. 129, табл. XLII, фиг. 1—12 [97].

Голотип — ЗапСибНИГНИ, № 447. Западно-Сибирская равнина, Игримская скв. 116, гл. 1640,4—1641,7 м. Оксфорд, вогулкинская толща.

Диагноз. Раковина средних размеров, эволютная, плоская, тонкая. Образована 14—18 камерами, составляющими один-полтора оборота спирали; в последнем 9—11 камер; характерны

вставные камеры. Швы несут невысокие сглаженные валики, выступающие над поверхностью раковины.

Распространение и возраст. Западная Сибирь; оксфорд.

Местонахождение и материал. Запад Западной Сибири, вогулкинская толща. Единичные экземпляры.

*Astacolus rovnini* Dain et Komissarenko, sp. nov.

Табл. 47, фиг. 9, 10

*Astacolus rovnini*: Дайн, 1972, табл. XXXVIII, фиг. 7, 8 [97].

Голотип — ВНИГРИ, № 520/86. Приполярный Урал, р. Щекурья, скв. 5, гл. 175 м. Верхний оксфорд.

Описание. Раковина средних и небольших размеров, овальная в очертании, почти инволютная. Образована 1,2 оборотами спирали; в последней семь с половиной — девять косо-треугольных камер, медленно увеличивающихся в размерах, не достигающих внутренними концами центра раковины. Они оставляют частично открытыми две-три камеры раннего оборота спирали, просвечивающие сквозь пупочный диск, незначительно смещенный к брюшному краю. Септальные швы слабо-углубленные, почти поверхностные, на ранней стадии роста раковины — радиальные, на поздней — несколько искривляющиеся в противоположную от направления нарастания спирали сторону. Вдоль периферического края иногда просвечивают устья камер. Устьевая поверхность полуовальной формы, составляет две трети или более половины наибольшего диаметра раковины. Устье последней камеры лучистое на слегка оттянутом конце. Развернутого отдела не наблюдается, но последняя камера придает раковине несколько удлиненный контур.

Изменчивость вида не прослежена из-за ограниченности материала. Можно лишь говорить о колебаниях размеров и очертаний раковин (от овальных до округло-овальных), степени их уплощенности.

Сравнение. Новый вид отличается от типичных представителей рода отсутствием развернутого отдела. По форме раковины он несколько напоминает западносибирский *Astacolus schaimicus* Putrja [84], но отличается формой последней камеры и ее устьевой поверхности, присутствием более или менее развитого пупочного диска и отсутствием относительно хорошо выраженного кля.

Распространение и возраст. Западная Сибирь; верхний оксфорд.

Местонахождение и материал. Западные районы Западной Сибири, даниловская свита; Приполярный Урал, маурыньинская свита. Единичные раковины.

*Astacolus declivatus* Levina, 1970

Табл. 52, фиг. 5, 6

*Lenticulina (Astacolus) declivatus*: Левина, 1970, с. 165, табл. II, фиг. 10, 12.

Голотип — ЗапСибНИГНИ, № 279. Западно-Сибирская равнина, Игримская скв. 116, гл. 1637—1638 м. Оксфорд — кимеридж.

Диагноз. Раковина эволютная, полуразвернутая, состоит из полутора оборотов спирали с 11—13 камерами; в развернутой части одна-две камеры.

Распространение и возраст. Западная Сибирь; оксфорд — кимеридж.

Местонахождение и материал. Западные районы Западной Сибири; вогулкинская толща, даниловская, абалакская свиты. Небольшое число раковин.

*Astacolus westsibiricus* Levina, 1972

Табл. 52, фиг. 1—4

*Lenticulina (Astacolus) westsibiricus*: Левина, 1970, с. 164, табл. III, фиг. 1—3, 6.

Голотип — ЗапСибНИГНИ, № 507. Западно-Сибирская равнина, Игримская скв. 116, гл. 1640—1641,7 м. Оксфорд, вогулкинская толща.

Диагноз. Раковина плоская, эволютная, пупок открытый, состоит из полутора оборотов спирали с 9—15 быстро удлиняющимися камерами.

Распространение и возраст. Западная Сибирь; оксфорд.

Местонахождение и материал. Западные районы Западной Сибири; вогулкинская толща, абалакская, даниловская свиты. Небольшое число раковин различной сохранности.

*Astacolus identatus* Putrja, 1972

Табл. 52, фиг. 7—9

*Astacolus identatus*: Путря, 1972, с. 132, табл. XV, фиг. 2—6.

Голотип — ЗапСибНИГНИ, № 93. Западно-Сибирская равнина, Половинкинская скв. 100, гл. 1889—1892,9 м. Нижний кимеридж.

Диагноз. Раковина крупная, сжатая с боковых сторон, в очертании овально-вытянутая. Состоит из 10—12 камер, из которых семь-восемь образуют спиральную часть, остальные выпрямленные.

Распространение и возраст. Западная Сибирь; оксфорд — кимеридж.

Местонахождение и материал. Западные, центральные районы Западной Сибири; вогулкинская толща, абалакская, даниловская, георгиевская свиты. Небольшое число раковин.

*Astacolus russiensis* (Mjatliuk), 1939

Табл. 53, фиг. 3

*Cristellaria russiensis*: Мятлюк, 1939, с. 58, табл. IV, фиг. 45, 46.

*Lenticulina (Astacolus) russiensis*: Митянина, 1963, с. 140, табл. III, фиг. 5—9.

*Astacolus russiensis*: Путря, 1972, с. 153, табл. XVIII, фиг. 9—12.

Голотип — ВНИГРИ, № 947. Среднее Поволжье (ст. Озинки). Нижний кимеридж.

Диагноз. Раковина крупная, эволютная, умеренно сжатая с боковых сторон, с переходами к прямолинейному отделу. Состоит из 15—21 камеры, образующих полтора-два оборота спирали; в последнем 9—13 камер. В выпрямленном отделе три-четыре камеры. Через прозрачный, слабо выпуклый пупочный диск просвечивают камеры раннего оборота.

Распространение и возраст. Русская платформа; верхний оксфорд — кимеридж. Западная Сибирь; кимеридж.

Местонахождение и материал. Западные районы Западной Сибири; даниловская, абалакская свиты. Небольшое число раковин хорошей сохранности.

*Astacolus transsibiricus* Putrja, 1972

Табл. 53, фиг. 4

*Astacolus transsibiricus*: Путря, 1972, с. 143, табл. XVI, фиг. 14—16.

Голотип — ЗапСибНИГНИ, № 99. Западно-Сибирская равнина, р. Конда, скв. 4, гл. 1884—1887 м. Верхи оксфорда — низы кимериджа, абалакская свита.

Диагноз. Раковина овальная, средних размеров. Состоит из восьми камер, пять из которых образуют спираль, остальные выпрямленные. Камеры спиральной части узкотреугольные, выпрямленной — прямоугольные. Септальные швы стекловатые, поверхностные.

Распространение и возраст. Западная Сибирь; верхняя часть оксфорда, нижняя часть кимериджа.

Местонахождение и материал. Западные районы Западной Сибири; даниловская, абалакская свиты. 10 раковин хорошей сохранности.

*Astacolus toliaensis* (Dain), 1972

Табл. 53, фиг. 1, 2

*Planularia toliansis*: Дайн, 1972, табл. XXXVII, фиг. 9 [97].

*Astacolus toliaensis*: Путря, 1972, с. 148, табл. XVII, фиг. 8—10; табл. XXX, фиг. 2.

Голотип — ВНИГРИ, № 520/100. Приполярный Урал, р. Толья, скв. 159, гл. 93—98 м. Верхний кимеридж, лопсинская свита.

Экземпляр — ЗапСибНИГНИ, № 213. Западно-Сибирская равнина, Тюменская опорная скв. 1; гл. 1394—1401 м. Нижний кимеридж, даниловская свита.

Диагноз. Раковина от средних до крупных размеров, сжатая с боковых сторон. Образована 14 камерами, 9—10 из которых составляют внешний оборот спирали. Септальные швы снабжены валиковидными надшовными утолщениями, которыми обрамлены и пупочные концы камер, оставляющие внутри маленькое округлое или петлевидное углубление. Устье лучистое.

Распространение и возраст. Западная Сибирь; кимеридж.

Местонахождение и материал. Западные и северо-западные районы Западной Сибири; лопсинская, абалакская, даниловская свиты. Небольшое число раковин.

*Astacolus inflatiformis* Dain, 1972

Табл. 53, фиг. 5

*Astacolus inflatiformis*: Дайн, 1972, с. 131, табл. XXXVII, фиг. 6—8 [97].

Голотип — ВНИГРИ, № 520/63. Приполярный Урал, р. Лопсия. Верхний кимеридж, лопсинская свита.

Экземпляр — ЗапСибНИГНИ, № 848. Западно-Сибирская равнина, Лемьинская скв. 35, гл. 1605—1616 м. Верхний кимеридж, даниловская свита.

Диагноз. Раковина удлиненно-овальная, умеренно вздутая. Образована шестью-семью камерами, свернутыми спирально и имеющими тенденцию к развертыванию. Септальные швы более или менее углубленные.

Распространение и возраст. Западная Сибирь; кимеридж.

Местонахождение и материал. Приполярный Урал, западные, юго-западные, центральные районы Западной Сибири; даниловская, лопсинская, абалакская, георгиевская свиты. Многочисленные раковины из различных разрезов.

*Astacolus* aff. *loinoensis* Dain, 1976

Табл. 103, фиг. 4

Экземпляр — СНИИГГиМС. Западно-Сибирская равнина, Татарская скв. 1, гл. 2280—2287 м. Нижний валанжин, слой с *Valanginella tatarica*, пограничные отложения куломзинской и тарской свит.

Описание. Раковина инволютная, овальная, с закругленным слабокилеватым спинным краем и почти ровным брюшным. Образована одним оборотом спирали, состоящим из 14—15 камер. Начальная камера овальная, последующие от узкотреугольных до изогнуто-трапециевидных на конечной стадии роста. Швы поверхностные, слабоизогнутые, четкие. Со стороны периферического края раковина уплощенно-линзовидная с высокой устьевой поверхностью предпоследней камеры. Последняя камера у описываемого экземпляра обломана, но можно предполагать, что она по высоте наполовину меньше предпоследней. Устьевой форамен у брюшного края, округлый.

Размеры изображенного экземпляра (в мм):  $D_1$  0,50;  $D_2$  0,88;  $T$  0,19;  $D_1 : D_2 = 0,58$ ;  $T : D_1 = 0,38$ ; число камер — 15.

Сравнение. *Astacolus* aff. *loinoensis* несколько напоминает по форме последних камер *A. mesezhnikovi* (Dain) из отложений верхнего кимериджа Западной Сибири [97], однако предпоследняя камера у него более короткая и не прикрывает первые. По очертанию раковина несколько отлична от *A. mesezhnikovi*, более широкая и менее вытянутая в высоту, имеет выраженный киль. Более похож описываемый вид по форме раковины и камер на *A. loinoensis* Dain из средневожских отложений Русской платформы [34]. Отличается относительно маленькой и многокамерной раковиной, выраженным килем, отсутствием пупочной шишки.

Судя по этим различиям описываемый вид может оказаться новым, но ограниченность материала и его сохранность не позволяют сделать окончательный вывод.

Местонахождение и материал. См. экземпляр. Один экземпляр с обломанной последней камерой.

*Astacolus aleskerovae* (Romanova), 1960

Табл. 104, фиг. 1

*Cristellaria aleskerovae*: Романова, 1960, с. 69, табл. XI, фиг. 4, 5 а, б.

Голотип — ВСЕГЕИ, № 7766. Западно-Сибирская равнина, Тебисская скв. 1, гл. 2112—2117 м. Валанжин, куломзинская свита.

Диагноз. Раковина средних размеров, значительно вытянутая в длину, умеренно-уплощенная. Ранняя часть состоит из трех-четырех камер, слегка закрученных в спираль. В одноряд-

ном отделе пять-шесть камер. Ранние камеры треугольной формы, поздние прямоугольной, низкие. Швы поверхностные, скошенные к брюшному краю. Периферический край тупой. Устье лучистое, расположено на короткой шейке у спинного края.

Распространение и возраст. Западная Сибирь; валанжин, зона *Temnoptychites insolutus* (частично), слои с *Valanginella tatarica*.

Местонахождение и материал. Южные районы Западно-Сибирской равнины; куломзинская свита. Встречается в виде единичных экземпляров.

*Astacolus (Marginulinopsis ?) parallelaeformis*  
(Романова), 1960

Табл. 104, фиг. 2—4

*Cristellaria parallelaeformis*: Романова, 1960, с. 262, табл. XI, фиг. 6 а, б; 7, 8—10 а, б.

Голотип — ВСЕГЕИ, № 7766. Западно-Сибирская равнина, Омская опорная скв. 1. Валанжин, тарская свита.

Диагноз. Раковина небольшая, продолговатая, почти прямая, сжатая с боковых сторон, узкая. Образована шестью—десятью камерами; в спиральной части четыре—пять камер, по форме близких к треугольной, в выпрямленной — две—четыре прямоугольных. Последняя камера с оттянутой устьевой шейкой, смещенной к спинной стороне. Швы тонкие, неглубокие. Устье лучистое.

Распространение и возраст. Западная Сибирь; берриас—валанжин, зоны *Surites analogus*—*Temnoptychites insolutus* (частично), слои с *Valanginella tatarica*; валанжин—готерив, зоны *Temnoptychites insolutus* (частично), *Polyptychites michalskii*, переходные слои от валанжина к нижнему готериву, слои с *Dichotomites* sp., *Homolsomites* sp. и частично зона *Homolsomites bojarkensis* нижнего готерива, слои с *Cribrosomoides ? sinuosus*—*C. infracretaceous*; нижний готерив, зоны *Homolsomites bojarkensis*, *Speetonicerias versicolor*, слои с *Trochammia gyroidiniformis*—*Acruliammina pseudolonga*.

Местонахождение и материал. Западная Сибирь; валанжин, тарская свита; валанжин—готерив, ахская, мегнионская свиты; готерив, вартовская свита. Небольшое число раковин.

РОД *DARBYELLA* Howe et Wallace, 1932

*Darbyella erviei* Levina, 1972

Табл. 51, фиг. 1, 2

*Darbyella erviei*: Левина, 1972, с. 137, табл. XLIII, фиг. 1—3 [97].

Голотип — ВНИГРИ, № 522/58. Западно-Сибирская равнина, Шухтунгортская скв. 303, гл. 1785—1792 м. Низы верхнего оксфорда, вогулкинская толща.

Экземпляр — ЗапСибНИГНИ, № 281. Западно-Сибирская равнина, Неремовская скв. 104, гл. 1445,9—1446 м. Оксфорд, вогулкинская толща.

Диагноз. Раковина крупная, двояковыпуклая, асимметричная. На спинной стороне видны два неполных оборота спирали, на брюшной — только камеры последнего оборота. Во внешнем обороте семь с половиной-девять камер. Швы поверхностные, дуоконтурные.

Распространение и возраст. Западная Сибирь; оксфорд—кимеридж.

Местонахождение и материал. Западные районы Западной Сибири; вогулкинская толща, даниловская, абалакская свиты. Небольшое число раковин.

РОД *SARACENARIA* De France in de Blainville, 1824

*Saracenaria carzevae* Scharovskaja, 1961

Табл. 57, фиг. 3

*Lenticulina (Saracenaria) carzevae*: Шаровская, 1961, с. 65, табл. X, фиг. 3, 4.

*Saracenaria ? carzevae*: Путря, 1972, с. 168, табл. XIX, фиг. 7.

Голотип — ВНИИОкеангеология, № 748/51. Средняя Сибирь, Нордвикский район, скв. 436, гл. 25 м. Оксфорд.

Экземпляр — ЗапСибНИГНИ, № 230. Западно-Сибирская равнина, Пунгинская скв. 242, гл. 1831,6—1836 м. Нижний оксфорд, абалакская свита.

Диагноз. Раковина маленькая, тонкая в основании, быстро расширяющаяся к устьевому концу. В поперечном сечении треугольная. Спиральный отдел состоит из трех—пяти камер, распрямленный — из одной—четырех. Швы поверхностные на ранней стадии роста и углубленные между поздними камерами.

Распространение и возраст. Средняя Сибирь, север; оксфорд. Западная Сибирь; келловей — средний оксфорд.

Местонахождение и материал. Единичные раковины постоянно встречаются в келловейских, нижнеоксфордских комплексах западных, центральных, восточных районов Западной Сибири; абалакская, даниловская, васюганская свиты. Несколько десятков раковин хорошей сохранности.

*Saracenaria subsuta* Beljaevskaja, 1972

Табл. 57, фиг. 4—7

*Saracenaria subsuta*: Беляевская, 1972, с. 138, табл. XXXV, фиг. 9 [97].

*Pravoslavlevia subsuta*: Путря, 1972, с. 122, табл. XIII, фиг. 1—4.

Голотип — ВНИГРИ, № 520/91. Западно-Сибирская равнина, Абалакская скв. 1, гл. 2233—2243 м. Нижний кимеридж, абалакская свита.

Диагноз. Раковина овальной формы, брюшной край прямой, спинной серповидно-изогнутый, слабозаостренный. Состоит из пяти—восьми камер, из которых одна—три составляют развернутый отдел. Швы двойные, натечные, у брюшной поверхности образуют кили.

Распространение и возраст. Полярный и Приполярный Урал, Западная Сибирь; кимеридж.

Местонахождение и материал. Вид-индекс широко распространенного раннекимериджского комплекса. Постоянно встречается в многочисленных разрезах различных районов Западной Сибири; даниловская, абалакская, георгиевская, сивговская свиты. Большое число раковин из многочисленных скважин.

*Saracenaria pravoslavlevi* F u r s s e n k o

et P o l j e n o v a, 1950

Табл. 57, фиг. 8

*Cristellaria italica*: Казанцев, 1936, с. 15, табл. I, фиг. 17—19.

*Saracenaria pravoslavlevi*: Фурсенко, Поленова, 1950, с. 45, табл. 4, фиг. 13—15; Шохина, 1954, с. 168, табл. 28, фиг. 16; Кузнецова 1962, с. 85—86, табл. II, фиг. 1—4 [55]; Даин, Кузнецова, 1976, с. 99, табл. XVII, фиг. 3; Пяткова, 1978, с. 89, табл. 30, фиг. 3.

*Pravoslavlevia pravoslavlevi*: Путря, 1972, с. 127, табл. 14, фиг. 5.

Голотип — ВНИГРИ, № 2553. Прикаспийская низменность, северо-западное побережье оз. Индер. Средний подъярус волжского яруса.

Экземпляр — ЗапСибНИГНИ, № 184. Западно-Сибирская равнина, Владимирская скв. 3, гл. 1631—1634,7 м. Средний подъярус волжского яруса, даниловская свита.

Диагноз. Раковина вытянутая, трехгранная. Спиральный отдел развит в различной степени, распрямленный — хорошо выражен. Швы выпуклые, широкие, на боковых сторонах серповидно-изогнутые. По спинному краю и боковым сторонам брюшного проходят кили.

Распространение и возраст. Западная Сибирь, север Средней Сибири; средний подъярус волжского яруса. Днепро-Донецкая впадина, Поволжье, Западный Казахстан; волжский ярус. Горьковская обл.; кимеридж [57, 85]. Вне СССР:

Польша (средний портланд) и Великобритания; отложения, соответствующие среднему подъярису волжского яруса. Мадагаскар; кимеридж — нижний мел.

Местонахождение и материал. Руководящий вид для средневожских отложений северо-западных, западных, юго-западных и восточных районов Западной Сибири; даниловская, тутлеймская, яновстанская свиты. Небольшое число раковин в многочисленных скважинах.

*Saracenaria eloguica* Булыникова, 1962

Табл. 57, фиг. 2

*Saracenaria eloguica*: Булыникова, 1962, с. 77, табл. I, фиг. 10.

*Pravoslavlevia eloguica*: Путря, 1972, с. 125, табл. XIII, фиг. 7; табл. XIV, фиг. 1—2.

Голотип — СНИИГГиМС. Западно-Сибирская равнина, Елогуйская скв. 1, гл. 1162 м. Нижний подъярус волжского яруса.

Экземпляр — ЗапСибНИГНИ, № 182. Западно-Сибирская равнина, Половинкинская скв. 100, гл. 1889,4—1892,9 м. Верхний кимеридж, абалакская свита.

Диагноз. Раковина удлиненная, трехгранная, расширяющаяся по мере роста. Спинной край снабжен острым килем. Распрямленный отдел хорошо развит. Швы двуконтурные, поверхностные.

Распространение и возраст. Западная Сибирь; кимеридж, нижний подъярус волжского яруса.

Местонахождение и материал. Западные и северо-восточные районы Западной Сибири; абалакская, даниловская, яновстанская свиты. Немногочисленные раковины хорошей сохранности.

*Saracenaria mirabilissima* Фурсенко  
et Poljeпова, 1950

Табл. 57, фиг. 9

*Saracenaria mirabilissima*: Фурсенко, Поленова, 1950, с. 47, табл. IV, фиг. 11, 12; К. Кузнецова, 1962, с. 88, табл. II, фиг. 5—7.

*Pravoslavlevia mirabilissima*: Путря, 1972, с. 131, табл. XIV, фиг. 9—11.

Голотип — ВНИГРИ. Прикаспийская низменность, оз. Индер. Средний подъярус волжского яруса, зона *Dorsoplanites pauderi*.

Диагноз. Раковина вытянутая, расширяющаяся у устьевого конца, трехгранная. Спиральный отдел выражен слабо, рас-

прямолинейный хорошо развит. Боковая поверхность покрыта тонкими ребрышками, не совпадающими друг с другом в соседних камерах. По брюшной стороне проходит три ребра. Периферический край килеватый.

Распространение и возраст. Прикаспий, Поволжье, Западная Сибирь; нижний—средний подъярусы волжского яруса.

Местонахождение и материал. Единичные разрезы западных районов Западной Сибири; даниловская, тутлеймская свиты. 10 раковин хорошей сохранности.

*Saracenaria lucida* Bulynnikova, sp. nov.

Табл. 103, фиг. 3

Название вида — от *lucidus* (лат.) — яркий, светлый.

Голотип — СНИИГГиМС, № 1—ФБ/12—87. Западно-Сибирская равнина, Татарская скв. 1, гл. 2280—2287 м. Нижний валанжин, слой с *Valanginella tatarica*, пограничные отложения куломзинской и тарской свит.

Описание. Раковина небольшая, бобовидная, постепенно разворачивающаяся, с дуговидно-изогнутой, снабженной небольшим килем спинной стороной и вогнутой брюшной (в месте сочленения первой и последней камер спиральной части). Спиральная часть хорошо развита, образована более чем одним оборотом, инволютная. В видимом обороте семь косотрехугольных низких камер, быстро увеличивающихся в ширину и слабо в высоту. Развертывающаяся часть состоит из двух скошенно-четырехугольных камер, вторая камера уменьшается по сравнению с первой в ширину и увеличивается в длину. Швы узкие, изогнутые вблизи спинного края, поверхностные, или слабоуглубленные, четкие. С периферического края раковина с симметрично выпуклыми боковыми сторонами, неправильно-широколинзовидная, расширяющаяся в основании устьевого поверхности последней камеры. Устьевая поверхность высокая, почти треугольная, с незначительно вогнутым основанием. Высота ее составляет около 2/3 высоты раковины. Устье небольшое, лучистое. Поверхность раковины гладкая, блестящая. Стенка пористая, с черепицеобразным сочленением камер и незначительным валиковидным утолщением в пупочной области.

Размеры голотипа (в мм): В 0,65; Ш 0,39; Т 0,25; число камер — 10; В : Т = 2,6; Ш : Т = 1,5.

Изменчивость из-за ограниченности материала не прослежена.

Сравнение. Из группы гладкостенных раковин рода *Saracenaria* новый вид ближе всего к *S. inobservabilis* K. Kuznetsova из средневожских отложений Русской платформы [34]. Отличается большими размерами, более вздутой ракови-

ной со стороны периферического края, высокой устьевой поверхностью и менее тонким килем.

Местонахождение и материал. См. голотип. Три раковины различной сохранности.

РОД *SARACENELLA* Franke, 1936

*Saracenella juganica* (Kosygeva), 1975

Табл. 57, фиг. 1

*Saracenella juganica*: Басов и др., 1975, с. 99, табл. VIII, фиг. 2—5.

Голотип — ЗапСибНИГНИ, № 20. Западная Сибирь, Пунгинская скв. 242, гл. 1831,6—1836 м. Келловой, абалакская свита.

Диагноз. Раковина больше средних размеров, почти прямая, в сечении округленно-треугольная. Образована семью — девятью слабонаклоненными камерами с черепицеобразным причленением. Швы поверхностные, двуконтурные, несколько искривленные по направлению к боковым сторонам. Устье периферическое, лучистое.

Распространение и возраст. Западная Сибирь и север европейской части СССР; келловой.

Местонахождение и материал. Западные и центральные районы Западной Сибири; абалакская, даниловская, васюганская свиты. Единичные раковины.

РОД *PLANULARIA* DeFrance in de Blainville, 1826

*Planularia septentrionalis* Gerke  
et Scharovskaja, 1961

Табл. 54, фиг. 2, 3

*Lenticulina (Planularia) septentrionalis*: Шаровская, 1961, с. 62, табл. X, фиг. 1, 2.

Голотип — ВНИИОкеангеология, № 748/49. Средняя Сибирь, Нордвикский район, Тигяно-Чайдахский участок, скв. К-218, гл. 77 м. Оксфорд.

Диагноз. Раковина вытянута в длину, развернутая, уплощенная, с параллельными боковыми сторонами. Состоит из 3—11 низких камер, сильно скошенных к начальной. Последние одна—четыре образуют выпрямленную часть. Швы узкие, изогнутые, выпуклые, между ранними камерами слабовыпуклые.

Распространение и возраст. Западная Сибирь; келловой — нижний оксфорд. Средняя Сибирь; оксфорд.

Местонахождение и материал. Многочисленные разрезы западных и центральных районов Западной Сибири; абалакская, васюганская, даниловская свиты. Весьма характерный вид, встречается в виде единичных раковин.

*Planularia colligatiformis* Козырева, 1972

Табл. 54, фиг. 4—7

*Planularia colligatiformis*: Козырева, 1972, с. 136, табл. XII, фиг. 14 [97]; Левина, 1970, с. 167, табл. IV, фиг. 1—5.

Голотип — ВНИГРИ, № 521/9. Западно-Сибирская равнина, Тобольская скв. 3, гл. 2205—2217 м. Нижний оксфорд.

Диагноз. Раковина вытянутая, сдавленная с боковых сторон, с округлым основанием. Состоит из спирального отдела с пятью камерами и распрямленного с четырьмя низкими камерами. Швы изогнутые, доходят до начальной камеры, поверхностные.

Распространение и возраст. Западная Сибирь; оксфорд—кимеридж.

Местонахождение и материал. Западные, юго-западные, южные районы Западной Сибири; вогулкинская толща, абалакская, васюганская, даниловская свиты. Небольшое число раковин.

*Planularia ossykoae* Levina, 1970

Табл. 54, фиг. 8

*Planularia ossykoae*: Левина, 1970, с. 168, табл. IV, фиг. 7.

Голотип — ЗапСибНИГНИ, № 493. Западно-Сибирская равнина, Игримская скв. 116, гл. 1637—1638 м. Оксфорд, вогулкинская толща.

Диагноз. Раковина высокая, быстро расширяющаяся по мере роста, уплощенная. Образована 11 камерами, из которых четыре составляют половину оборота, остальные — развернутую часть. Швы тонкие, почти поверхностные.

Распространение и возраст. Западная Сибирь; оксфорд.

Местонахождение и материал. Западные (Березовский, Игримский, Шухтунгортский, Пунгинский, Чуэльский) районы Западной Сибири; вогулкинская толща. Небольшое число раковин.

*Planularia praesibirensis* (Козырева), 1972

Табл. 54, фиг. 10, 11; табл. 55, фиг. 1

*Astacolus praesibirensis*: Козырева, 1972, с. 125, табл. XLI, фиг. 1—4 [97].

Голотип — ВНИГРИ, № 521/22. Западно-Сибирская равнина, Пихтовская скв. 1, гл. 868 м. Нижний кимеридж.

Диагноз. Раковина уплощенная, овальная в очертании. Состоит из двух отделов. 17—21 камера образуют два оборота спирали; в последнем до 14 камер. У некоторых раковин наблюдается тенденция к развертыванию.

Распространение и возраст. Западная Сибирь; нижний кимеридж.

Местонахождение и материал. Приполярный Урал, южные районы Западной Сибири; лопсинская, даниловская, марьяновская, георгиевская свиты. Единичные раковины.

### *Planularia messezchnikovi* Da in, 1972

Табл. 55, фиг. 2, 3

*Planularia messezchnikovi*: Даин, 1972, табл. XXXVIII, фиг. 3 [97]; Путря, 1972, с. 182, табл. XXII, фиг. 1—2.

Голотип — ВНИГНИ, № 520/101. Приполярный Урал, р. Ятрия, обн. 5. Верхи кимериджа, лопсинская свита.

Экземпляр — ЗапСибНИГНИ, № 242. Западно-Сибирская равнина, Половинкинская скв. 100, гл. 1889—1892 м. Нижний кимеридж, абалакская свита.

Диагноз. Раковина крупная, сжатая с боков, удлиненно-овальная. Спинной край серповидно-изогнутый, брюшной прямой или чуть вогнутый. Устьевой конец раковины зауженный. Состоит из спирального и выпрямленного отделов. Последние камеры распрямленной части располагаются по касательной к спиральной части. Устье слаболучистое на заостроенном углу последней камеры.

Распространение и возраст. Приполярный Урал; верхний кимеридж. Западная Сибирь; кимеридж.

Местонахождение и материал. Западные районы Западной Сибири; даниловская, абалакская, лопсинская свиты. Редкая форма; единичные раковины.

### *Planularia pressula* Schleifer, 1969

Табл. 55, фиг. 5—7

*Planularia pressula*: Путря, 1972, с. 175, табл. XIX, фиг. 3—6 [84].

Голотип — ВНИИОкеангеология, № 1009/378. Средняя Сибирь, Нордвикский район, Южный Тигян, скв. К-280, гл. 221 м. Средний подъярус волжского яруса.

Экземпляр — ЗапСибНИГНИ, № 462. Западно-Сибирская равнина, Южно-Игримская скв. 112, гл. 1610—1615 м. Верхи кимериджа — низы волжского яруса.

**Диагноз.** Раковина средних размеров, плоская, с развернутой спиральной частью, почти параллельными спинной и брюшной сторонами. Состоит из 7—13 камер. Первые три—восемь образуют спиральный отдел, последние одна—пять расположены по развертывающейся оси. Швы дуговидно-изогнутые, с надшовными валиками. Наблюдается пупочная шишка.

**З а м е ч а н и я.** Западносибирские представители вида отличаются от среднесибирских меньшим числом камер (6—10 против 9—15), менее развитым выпрямленным отделом, неполным оборотом спирали. При одинаковом числе камер западносибирские экземпляры крупнее среднесибирских и менее плоские. Главным образом западносибирские формы отличаются скульптурой поверхности раковины у многих экземпляров. У них от устья по боковым поверхностям расходятся очень тонкие, струйчатые, часто прерывистые ребрышки, косо секущие всю поверхность раковины. По этому признаку *P. pressula* приближается к *P. uralensis* из волжских отложений Поволжья [34], но отличается строением и формой раковины, расположением камер. По общему строению раковины *P. pressula* внешне сходны с *P. digna* Dain из верхнего кимериджа Среднего Поволжья, но при одинаковом числе камер последний вид мельче. Разница проявляется также в характере межкамерных швов — они узкие просвечивающие, лежат на одном уровне с поверхностью камер, тогда как у *P. pressula* швы часто слегка выступают над поверхностью.

**Распространение и возраст.** Западная и север Средней Сибири; кимеридж, нижний подъярус волжского яруса.

**Местонахождение и материал.** Западные, центральные и юго-восточные районы Западной Сибири, абалакская, даниловская, георгиевская свиты. Вид-индекс широко распространенного комплекса. Большое число раковин.

### *Planularia adulta* Путря, 1972

Табл. 55, фиг. 8

*Planularia adulta*: Путря, 1972, с. 183, табл. XXII, фиг. 3—6; табл. XXXI, фиг. 1.

**Голотип** — ЗапСибНИГНИ, № 120. Западно-Сибирская равнина, Половинкинская скв. 100, гл. 1871,5—1875,3 м. Средний подъярус волжского яруса, тутлеймская свита.

**Диагноз.** Раковина крупная, уплощенная с боков, овальная в очертании. Спинной край серповидно-изогнутый, брюшной — почти прямой. Общее число камер до 18, из них 12 образуют спираль, остальные — выпрямленные. Септальные швы узкие, слабоизогнутые, слегка углубленные. Устье лучистое.

**Распространение и возраст.** Западная Сибирь; средний подъярус, волжского яруса.

Местонахождение и материал. Западные районы Западной Сибири; даниловская, тутлеймская, мулымьинская свиты: 20 раковин хорошей сохранности.

РОД *DAINITELLA* Putrja, 1972

*Dainitella voicarensis* Putrja, 1972

Табл. 56, фиг. 4

*Dainitella voicarensis*: Путря, 1972, с. 163, табл. XX, фиг. 1. Голотип — ЗапСибНИГНИ, № 108. Западно-Сибирская равнина, оз. Войкар, скв. 2-КП, гл. 399—404 м. Верхний оксфорд, даниловская свита.

Диагноз. Раковина от средних до крупных размеров, удлиненно-овальная, суженная к устьевому концу. Состоит из 14—16 камер, 11—12 из которых образуют спираль. Камеры спрямленного отдела резко наклонены к спиральной части. Устьевая поверхность последней камеры овально-треугольной формы. Устье лучистое.

Распространение и возраст. Приполярный Урал; верхний оксфорд. Западная Сибирь; кимеридж. Редкая форма.

Местонахождение и материал. Западные районы Западной Сибири, Приполярный Урал; даниловская, абалакская, маурынская свиты. Несколько экземпляров.

*Dainitella perrarum* Putrja, 1972

Табл. 56, фиг. 1

*Dainitella perrarum*: Путря, 1972, с. 161, табл. XX, фиг. 2.

Голотип — ЗапСибНИГНИ, № 109. Западно-Сибирская равнина, Половинкинская скв. 100, гл. 1871,5—1875,3 м. Средний подъярус волжского яруса, тутлеймская свита.

Экземпляр — ЗапСибНИГНИ, № 945. Приполярный Урал, р. Ятрия, скв. 13, гл. 9,7—12,2 м. Верхний кимеридж, лопсинская свита.

Диагноз. Раковина крупная, удлиненная, массивная, сжатая с боковых сторон; по мере роста раковины утолщается. В спиральном отделе до 17 камер, в выпрямленном до трех. Швы узкие, чуть выступающие в спиральной части и слегка углубленные в выпрямленной. Устьевая поверхность последней камеры округло-треугольной формы, суженная к устьевому концу. Устье лучистое.

Распространение и возраст. Приполярный Урал, Западная Сибирь; верхний кимеридж, средний подъярус волжского яруса. Редкая форма.

Местонахождение и материал. Приполярный Урал, лопсинская свита; западные районы Западной Сибири, тутлеймская свита. Единичные раковины.

*Dainitella elongata* Putrja, 1972

Табл. 56, фиг. 2

*Dainitella elongata*: Путря, 1972, с. 166, табл. XX, фиг. 10.

Голотип — ЗапСибНИГНИ, № 113. Западно-Сибирская равнина, оз. Войкар, скв. 2-КП, гл. 382—385 м. Пограничные отложения кимериджа — волжского яруса, даниловская свита.

Диагноз. Раковина крупная, удлинённая, с хорошо развитой выпрямленной частью. Образована 13—15 камерами, 9—10 из которых свернуты в спираль; диаметр последней составляет 1/3 высоты раковины. В выпрямленном отделе пять-шесть неправильно-четырёхугольных высоких камер. Швы узкие, углубленные. Устье лучистое.

Распространение и возраст. Западная Сибирь; верхи кимериджа — низы нижнего подъяруса волжского яруса.

Местонахождение и материал. Западные районы Западной Сибири, даниловская, абалакская, тутлеймская свиты. Встречается в виде единичных раковин в комплексе с *Tolypamina virgula* — *Planularia pressula*.

*Dainitella explanata* Putrja, 1972

Табл. 56, фиг. 3

*Dainitella explanata*: Путря, 1972, с. 160, табл. XIX, фиг. 5, 6.

Голотип — ЗапСибНИГНИ, № 107. Западно-Сибирская равнина, Половинкинская скв. 100, гл. 1871,5—1875,3 м. Средний подъярус волжского яруса, тутлеймская свита.

Диагноз. Раковина крупная, массивная, с хорошо развитыми спиральной и выпрямленной частями. Периферический край в спиральной части приостренный. Спиральная часть состоит из 11—13 камер, выпрямленная из пяти-шести выпуклых высоких камер. Септальные швы поверхностные или слегка приподнятые в спиральной части и углубленные в выпрямленной. Устье лучистое.

Распространение и возраст. Западная Сибирь, средний подъярус волжского яруса.

Местонахождение и материал. Западные районы Западной Сибири; даниловская, тутлеймская свиты. Редкая форма. Небольшое число раковин.

Семейство VAGINULINIDAE Reuss, 1860

Подсемейство VAGINULININAE Reuss, 1860

РОД *CITHARINA* d'Orbigny in de la Sagra, 1839

*Citharina grigjalisi* Putrja, 1970

Табл. 58, фиг. 7

*Citharina grigjalisi*: Путря, 1970, с. 44, табл. IV, фиг. 18.

Голотип — ЗапСибНИГНИ, № 6/27. Западно-Сибирская равнина, Окуневская скв. 50, гл. 1566—1569 м. Средний подъярус, волжского яруса.

Экземпляр — ЗапСибНИГНИ, № 1061. Западно-Сибирская равнина, профиль Щекурья—Саранпауль, скв. 5-КП, гл. 183—184 м. Оксфорд, маурыньинская свита.

Диагноз. Раковина крупная, вытянутая в длину, уплощенная, скошенно-треугольная в очертании, с прямым или слегка вогнутым спинным краем и лопастным, круто скошенным к начальной камере — брюшным. Насчитывает до 10 камер, три из которых составляют слабо развитую спиральную часть, остальные — выпрямленную. Межкамерные швы узкие, углубленные, слабо изогнутые. Боковые стороны орнаментированы тремя — семью высокими продольными ребрами, расположенными почти параллельно спинному краю.

Распространение и возраст. Западная Сибирь; верхний оксфорд — средний подъярус волжского яруса.

Местонахождение и материал. Западная Сибирь, восточный склон Приполярного Урала, бассейн р. Щекурья, ряд скважин Шаимского района; маурыньинская, даниловская, тутлеймская, мулымьинская свиты. Небольшое число раковин в редких скважинах.

*Citharina rostriformis* (Furssenko et Poljenova), 1950

Табл. 58, фиг. 3, 4

*Vaginulina rostriformis*: Фурсенко, Поленова, 1950, с. 55, табл. V, фиг. 1.

Голотип — ВНИГРИ. Прикаспийская низменность, северо-западное побережье оз. Индер, овраг Караджира. Средний подъярус волжского яруса.

Экземпляр — ЗапСибНИГНИ, № 1060. Западно-Сибирская равнина, профиль Щекурья—Саранпауль, скв. 5, гл. 174—176 м. Верхний оксфорд, маурыньинская свита.

Диагноз. Раковина вытянутая, сбоку неправильно-овальная, согнутая, закругленная в начальной части и суженная к

верхнему концу. Состоит из девяти косых и высоких камер. На боковых поверхностях по восемь-девять ребер, более или менее совпадающих в соседних камерах.

Распространение и возраст. Западная Сибирь; верхний оксфорд, нижний кимеридж, средний подъярус волжского яруса. Прикаспийская низменность, северо-западное побережье оз. Индер; нижний подъярус волжского яруса.

Местонахождение и материал. Западная Сибирь, восточный склон Полярного Урала, ограниченное число разрезов Шаимского района; маурыньинская, лопсинская, абалакская тутлеймская свиты. Незначительное число раковин.

*Citharina* aff. *flabelloides* (Terq.), 1968

Табл. 58, фиг. 5, 6

Экземпляры — ЗапСибНИГНИ, № 1062. Западно-Сибирская равнина, Таборинская скв. 1, гл. 1240—1243 м. Верхний кимеридж, даниловская свита. № 1087. Там же, Половинкинская скв. 100, гл. 1892—1896 м. Верхний кимеридж, абалакская свита.

Местонахождение и материал. Западные, юго-западные районы Западной Сибири; даниловская, абалакская свиты. Небольшое число скважин.

*Citharina brevis* (Furssenکو et Poljenova), 1950

Табл. 58, фиг. 8, 9

*Citharina brevis*: Даин, Кузнецова, 1976, с. 106, табл. XXI, фиг. 1.

Голотип — ВНИГРИ. Прикаспийская низменность, северо-западное побережье оз. Индер. Средний подъярус волжского яруса.

Экземпляры — ЗапСибНИГНИ, № 1089, 1090. Западно-Сибирская равнина, Ялбыньинская скв. 169, гл. 1320,2—1326,7 м. Верхний кимеридж — нижний подъярус волжского яруса, абалакская свита.

Диагноз. Раковина неправильно-треугольной формы, сильно расширенная к верхнему окончанию, закругленная и загнутая на брюшную сторону в начальной части. Насчитывает шесть—девять коротких и высоких камер. Швы неясные. На боковых сторонах по семь—десять тонких и высоких пластинчатых ребер.

Распространение и возраст. Западная Сибирь; верхний кимеридж — средний подъярус волжского яруса. Европейская часть СССР; нижний подъярус волжского яруса.

Местонахождение и материал. Березовский, Шаимский районы Западной Сибири; верхи абалакской, тутлеймской свиты. Небольшое число раковин.

*Citharina nablium* E. Ivanova, 1967

Табл. 58, фиг. 10

*Citharina nablium*: Иванова, 1967, с. 12, табл. II, фиг. 2, 4; табл. III, фиг. 1, 3.

Голотип — ИГиГ СО АН СССР, № 250/22. Средняя Сибирь, Хатангская впадина, р. Дябака-Тари. Средний подъярус волжского яруса.

Экземпляр — ЗапСибНИГНИ, № 1088. Западно-Сибирская равнина, Маньинская скв. 11, гл. 19,3—22,6 м. Средний подъярус волжского яруса, федоровская свита.

Диагноз. Раковина вытянутая, с волнистой укороченной брюшной стороной, овальной начальной и треугольными последующими камерами, внутренние концы которых заострены, оттянуты и загнуты и брюшного края. Поверхность покрыта тонкими низкими ребрышками.

Распространение и возраст. Западная Сибирь, север Средней Сибири; средний подъярус волжского яруса.

Местонахождение и материал. Ограниченное число разрезов восточного Приуралья; федоровская свита. Небольшое число раковин.

РОД *CITHARINELLA* Marie, 1938

*Citharinella kostromensis* K. Kuznetsova  
et Umanskaja, 1970

Табл. 59, фиг. 1, 3

*Frondicularia uhligi*: Шохина, 1954, с. 11, табл. XXVIII, фиг. 32, 33.

*Citharinella kostromensis*: К. Кузнецова, Уманская, 1970, с. 57, табл. X, фиг. 1—4; Тылкина, 1977, с. 76, табл. VI, фиг. 1, 2; табл. VII, фиг. 5, 6.

Голотип — ГИН АН СССР, № 349/3. Средне-Русская равнина, Костромская обл. Нижний кимеридж.

Экземпляры — ЗапСибНИГНИ, № 2035. Западно-Сибирская равнина, Даниловская скв. 102, гл. 1779—1782 м. № 2036. Там же, Верхне-Уральская скв. 2, гл. 1825—1828 м. Кимеридж, даниловская свита.

Диагноз. Раковина широкая, плоская, состоит из 7—12 камер, три—восемь из которых образуют начальную часть, а последующие шеврообразные — однорядную. Межкамерные швы отчетливые, почти поверхностные в начальной части и углубленные в развернутом отделе. Поверхность раковины покрыта частыми короткими ребрышками, прерывающимися на швах.

Замечание. Ранее этот вид в западносибирских коллекциях фигурировал как *Frondicularia nikitini*, от которой он от-

личается более широкой раковиной и отсутствием на боковой стороне бороздки, лишенной ребер. Изменчива форма раковины — от широколистовидной до более вытянутой. Размеры западносибирских экземпляров (в мм): В 1,37—2,32; Ш 0,55—0,92; Т 0,10—0,12.

Распространение и возраст. Средне-Русская равнина, Костромская обл.; нижний кимеридж, зоны *Rasenia stephanoides* и *Amoeboceras kithini*. Горьковская обл.; верхний оксфорд, нижний кимеридж. Западная Сибирь; кимеридж.

Местонахождение и материал. Западные и южные районы Западной Сибири, скважины Чуэльской, Чан-Чарской, Комсомольской, Озерной, Даниловской, Половинкинской, Лемьинской, Карабашской и других площадей; даниловская, абалакская свиты. Небольшое число раковин.

### *Citharinella consimila* Tytkina, 1977

Табл. 59, фиг. 2, 4

*Citharinella consimila*: Тылкина, 1977, с. 79, табл. VIII, фиг. 1, 2; табл. IX, фиг. 1, 5.

Голотип — ЗапСибНИГНИ, № 2019. Западно-Сибирская равнина, Ятринская скв. 13, гл. 9,7—12,2 м. Верхний кимеридж.

Диагноз. Раковина крупная, овальная, приостренная к начальному и устьевому концам, сильно уплощенная. Включает 8—13 камер, из которых первые пять-шесть скошены к одной стороне, образуют ранний отдел, а последующие три-семь, шевронообразные, низкие, составляют однорядную часть. Швы отчетливые, слегка углубленные. Поверхность раковины покрыта тонкими, прерывистыми на швах ребрышками — по 28—32 на каждой из сторон.

Описание: см. [93], с. 79.

Довольно постоянными признаками являются овально-приостренная форма раковины и ее уплощенность. Незначительно, в пределах 55—60°, меняется угол перегиба камер. Размеры взрослых особей следующие (в мм): В 1,60—1,92; Ш 0,75—1,00; Т 0,10—0,12.

Сравнение. *Citharinella consimila* по форме раковины и тонкой ребристости сходна с *C. emendata* К. Kuznetsova et Uman'skaja [59], заметно отличаясь от нее степенью уплощенности (7,0—7,5 против 4,3—4,6), более волнистым периферическим краем и почти вдвое большим числом ребер.

Распространение и возраст. Западная Сибирь; верхи кимериджа — низы волжского яруса.

Местонахождение и материал. Западные и юго-западные районы Западной Сибири, скважины Игримской, Озерной, Даниловской, Леушинской, Лемьинской, Половинкинской и других площадей; даниловская, абалакская свиты. Приполярный Урал, скважины Ятринской площади; лопсинская свита. 10 раковин различной сохранности.

*Citharinella denisovae* Tytkina, 1977

Табл. 60, фиг. 1—3

*Citharinella denisovae*: Тылкина, 1977, с. 75, табл. IV, фиг. 1—3; табл. V, фиг. 1—2.

Голотип — ЗапСибНИГНИ, № 2030. Западно-Сибирская равнина, Южно-Чанчарская скв. 60, гл. 1617—1621 м. Нижний кимеридж, верхи абалакской свиты.

Экземпляры — ЗапСибНИГНИ, № 2034, 2033. Там же. № 2031. Пунгинская скв. 520, гл. 1743—1746 м. Кимеридж, абалакская свита.

Диагноз. Раковина крупная, широкая, ромбической формы, плоская. Включает 9—12 камер, из них первые три—восемь составляют ранний отдел, последующие шевронообразные — однорядную часть. Межкамерные швы четкие, поверхностные. Поверхность раковины покрыта четкими грубыми ребрами, пересекающими швы и проходящими по всей ее длине до середины последней камеры.

Описание: см. [93], с. 75.

Неизменны форма (всегда широкоромбическая) и массивность раковины. Характерна четкая грубая ребристость поверхности. Размеры (в мм): В 1,37—2,32; Ш 0,83—0,92; Т 0,10—0,12.

Сравнение. Наиболее близок описываемый вид к *Citharinella postromboidalis* К. Kuznetsova et Umanskaja из нижнего кимериджа Русской платформы. Они сходны по степени уплощенности раковины, углу перегиба камер. При почти одинаковой длине *C. denisovae* гораздо шире (1,1 против 0,78 мм), имеет вдвое большее число ребер. Шевронообразные камеры у нее очень низкие, в высоту возрастают постепенно, охват их сильный. Широкомбическая форма раковины, умеренная степень изгиба швов шевронообразных камер сближает *C. denisovae* с *C. rarissima* К. Kuznetsova et Umanskaja; последняя более плоская и отличается прерывистой ребристостью.

Распространение и возраст. Западная Сибирь; кимеридж.

Местонахождение и материал. Западные и юго-западные районы Западной Сибири; даниловская, абалакская свиты. 12 раковин хорошей сохранности.

*Citharinella leushiensis* (Putrja), 1970

Табл. 60, фиг. 4, 5

*Falsopalmula leushiensis*: Путря, 1970, с. 42, табл. IV, фиг. 15, 16.

Голотип — ЗапСибНИГНИ, № 6/24. Западно-Сибирская равнина, Леушинская скв. 506, гл. 1912,9—1916,5 м. Нижний кимеридж, абалакская свита.

Диагноз. Раковина небольшая, ромбовидная, сильно уплощенная, гладкая. Из 10—12 камер, формирующих раковину, ранние шесть—восемь составляют спиральную часть, остальные шевронообразные — выпрямленную. Септальные швы в начальной части поверхностные узкие, изогнутые, между шевронообразными камерами — слегка углубленные.

Распространение и возраст. Сибирское Приуралье; кимеридж.

Местонахождение и материал. Северо-западные, западные районы Западной Сибири; абалакская, даниловская, лопсинская свиты. Единичные раковины различной сохранности.

*Citharinella goldapi* (Bielecka et K. Kuznetsova), 1977

Табл. 61, фиг. 1—3

*Falsopalmula goldapi*: Белецка, К. Кузнецова, 1969, с. 75, табл. I, фиг. 9.

*Citharinella goldapi*: К. Кузнецова, Уманская, 1970, с. 66, табл. XIV, фиг. 2, 4—6; Тылкина, 1977, с. 88, табл. IX, фиг. 2—4; Григалис, 1985, с. 127, табл. XXVI, фиг. 9, 10.

Голотип — ГИН АН СССР, № 3489/5. Польша, центральные районы, скв. Гольдап. Нижний кимеридж.

Экземпляр — ЗапСибНИГНИ, № 2028. Западная Сибирь, Ереминская скв. 3, гл. 1020—1025 м. Кимеридж, даниловская свита.

Диагноз. Раковина изящная, ланцетовидная, плоская, слегка заостренная к концам. Состоит из пяти—девяти камер; две-три из них относятся к начальному отделу, остальные шевронообразные — к однорядной части. Швы четкие, углубленные. Поверхность раковины покрыта тонкими продольными ребрами (9—14 на боковой стороне), прерывающимися на швах.

Описание: см. [59], с. 66.

Сибирские формы *Citharinella goldapi* по общему облику обнаруживают сходство с описанной К. И. Кузнецовой и Е. Я. Уманской из нижнего кимериджа Костромской обл., особенно с экземпляром № 3494/27 [59, табл. XIV, фиг. 6]. При одинаковом числе камер они несколько меньше западноевропейских (0,92 мм против 1,25—1,45 мм), отличаются степенью изгиба швов (0,98—0,80 против 1,3—1,7) и углом перегиба (62—56° против 30—50°), а также большим числом ребрышек на боковых сторонах и отсутствием парных килей. Размеры (в мм): В 0,50—0,92; Ш 0,20—0,32; Т 0,6—0,8.

Распространение и возраст. Европейская часть СССР, Костромская обл. Западная Сибирь, зона *Amoeboceras kithini*, юго-западная Прибалтика; кимеридж. Вне СССР: Польша, центральные районы; кимеридж.

Местонахождение и материал. Западные районы Западной Сибири; даниловская, абалакская свиты. Редкая форма. Несколько раковин.

*Citharinella carinata* Tytkina, 1977

Табл. 61, фиг. 4, 5

*Citharinella carinata*: Тылкина, 1977, с. 78, табл. VII, фиг. 1, 4.

Голотип — ЗапСибНИГНИ, № 2023. Западно-Сибирская равнина, Даниловская скв. 91, гл. 1765—1769 м. Верхи кимериджа — низы волжского яруса, даниловская свита.

Диагноз. Раковина средней величины, треугольно-ромбическая, с закругленным основанием, сильно уплощенная. Состоит из пяти—восьми камер; четыре—пять из них относятся к начальной асимметричной части, последующие три—четыре шевронообразные — к однорядному отделу. По периферическому краю прослеживается четкий киль. Поверхность раковины покрыта веерообразно расходящимися редкими тонкими ребрышками. Постоянна треугольно-ромбическая, с закругленным основанием, сильноуплощенная форма раковины, а также наличие килей, оконтуривающих боковые поверхности. Изменчива и орнаментация раковины. Размеры (в мм): В 0,55—0,80; Ш 0,30—0,42; Т 0,10—0,13.

Сравнение. Наличием четких килей вид напоминает *Citharinella goldapi* (Bielecke et K. Kuznetsova) из нижнего кимериджа Костромской обл., но отличается формой и орнаментацией раковины. Других близких видов в литературе не отмечено.

Распространение и возраст. Западная Сибирь; кимеридж — низы волжского яруса.

Местонахождение и материал. Западные и центральные районы Западной Сибири; даниловская, абалакская, георгиевская свиты. Небольшое число раковин.

*Citharinella sibirica* (Putrja), 1970

Табл. 61, фиг. 6

*Falsopalmula sibirica*: Путря, 1970, с. 43, табл. IV, фиг. 17.

Голотип — ЗапСибНИГНИ, № 6/26. Западно-Сибирская равнина, Эсская скв. 1, гл. 1672,2—1675,6 м. Кимеридж, даниловская свита.

Диагноз. Раковина крупная, ромбовидная, сжато-округленная на периферическом крае. Состоит из восьми—десяти камер, ранние пять—шесть относятся к спиральной части, остальные шевронообразные — к однорядной. Межкамерные швы слегка углубленные. Поверхность раковины покрыта мелкими ве-

рообразными расходящимися ребрышками — до 16—18 на каждой стороне и четыре-пять вдоль периферического края.

Распространение и возраст. Западная Сибирь; кимеридж.

Местонахождение и материал. Западные районы; даниловская, абалакская свиты. Несколько раковин.

*Citharinella jany-maniensis* Dain, 1980

Табл. 61, фиг. 7

*Chitharinella jany-maniensis*: Дайн, 1980, с. 75, табл. 18, фиг. 10, 11.

Голотип — ВНИГРИ, № 520/99. Приполярный Урал, восточный склон, р. Яны-Манья. Средний подъярус волжского яруса, зона *Epilaugeites vogulicus*.

Диагноз. Раковина довольно крупная, листовидная, толстая, широкозакругленная в основании, наиболее широкая в средней части, с почти параллельными боковыми сторонами. Состоит из пяти—семи камер; ранние три-четыре образуют спиральную часть, остальные седловидные — однорядную. Межкамерные швы слабоуглубленные, почти поверхностные. По боковым поверхностям протягивается до 27 продольных тонких ребер.

Распространение и возраст. Западная Сибирь, Приполярный Урал; средний подъярус волжского яруса.

Местонахождение и материал. Западные районы Западной Сибири, Березовский, Шаимский районы; даниловская, тутлеймская свиты. Приполярный Урал, бассейн рек Яны-Манья, Ятрия; федоровская свита. Единичные раковины.

РОД *VAGINULINOPSIS* Silvestri, 1904

*Vaginulinopsis rjavkinoensis* Kosyrev, 1972

Табл. 58, фиг. 1

*Vaginulinopsis rjavkinoensis*: Козырева, 1972, с. 134, табл. XXXIX, фиг. 59 [97]; Путря, 1972, с. 211, табл. XXV, фиг. 5—8.

Голотип — ВНИГРИ, № 521/7. Западно-Сибирская равнина, Рявкинская скв. 1, гл. 1421—1432 м. Кимеридж, марьяновская свита.

Диагноз. Раковина удлиненная, уплощенная, суживающаяся к устьевому концу, округленная в начальной части. Спинной край дугообразный, брюшной заметно вогнут. Состоит из шести—девяти камер, ранние четыре-пять образуют неполную спираль, последующие — распрямленную часть. Септальные швы в ранней части плохо различимы, в поздней — углубленные тонкие. Поверхность покрыта частыми тонкими невысокими ребрами, повторяющими форму раковины.

Распространение и возраст. Западная Сибирь; кимеридж.

Местонахождение и материал. Восточный склон Полярного Урала, юго-западные, южные, частично центральные, северо-восточные районы; лопсинская, даниловская, абалакская, георгиевская, марьяновская, яновстанская свиты. В комплексах в небольших количествах.

*Vaginulinopsis flacidiformis* Putrja, 1972

Табл. 58, фиг. 2

*Vaginulinopsis flacidiformis*: Путря, 1972, с. 205, табл. XXIV, фиг. 11, 12.

Голотип — ЗапСибНИГНИ, № 133. Западно-Сибирская равнина, Комсомольская скв. 147, гл. 1783—1789 м. Пограничные отложения кимериджа и волжского яруса.

Диагноз. Раковина крупная, удлиненная, незначительно расширяющаяся к устьевому концу. Спинной край выгнутый, в выпрямленной части почти прямой, иногда слабоприостренный. Брюшной край слегка вогнутый, слаболопастный. Образована восьмью-девятью выпуклыми камерами; четыре из них составляют спиральную часть в четверть оборота, остальные — выпрямленную. Септальные швы углубленные, стекловатые.

Распространение и возраст. Западная Сибирь; верхний кимеридж — низы волжского яруса.

Местонахождение и материал. Западные и юго-западные районы Западной Сибири, Березовский, Шаимский районы, Владимировская площадь; абалакская, даниловская, тутлеймская свиты. 10 раковин хорошей сохранности.

РОД *MARGINULINA* d'Orbigny, 1826

*Marginulina polenovae* Dain, 1976

Табл. 62, фиг. 4

*Marginulina polenovae*: Дайн, 1976, с. 92, табл. IX, фиг. 3.

Голотип — ВНИГРИ, № 428/109. Средне-Русская равнина, Куйбышевская обл., пос. Большая Дергуновка. Нижний подъярус волжского яруса.

Экземпляр — ВНИГРИ, № 520/80. Приполярный Урал, р. Ятрия, обн. 5. Верхний кимеридж, лопсинская свита.

Диагноз. Раковина небольшая, вытянутая, сдавленная с боков, крючковидно-загнутая в начале, выпрямленная, однорядная на поздней стадии. Спинной край прямой, брюшной слаболопастный, вогнутый. Образована четырьмя—семью вздутыми камерами. Швы прямые вдавленные.

Распространение и возраст. Западная Сибирь; верхний кимеридж — средний подъярус волжского яруса. Европейская часть СССР; средний подъярус волжского яруса.

Местонахождение и материал. Северо-западные, западные, юго-западные районы Западной Сибири; даниловская, верхи абалакской; лопсинская, тутлеймская, мулымьинская свиты. Небольшое число раковин.

*Marginulina formosa* Mjatljuk, 1939

Табл. 62, фиг. 3

*Marginulina formosa*: Мятлюк, 1939, с. 62, табл. IV, фиг. 54 а, в; Кузнецова, 1976, с. 94, табл. XX, фиг. 2, 6; Пяткова, 1978, с. 84, табл. 29, фиг. 1 а, б; Путря, 1972, с. 226, табл. XXVII, фиг. 1.

Голотип — ВНИГРИ, № 963. Средне-Русская равнина, Общий Сырт, ст. Озинки, скв. 1, гл. 225—236 м. Нижний подъярус волжского яруса.

Экземпляр — ЗапСибНИГНИ, № 280. Западно-Сибирская равнина, Мулымьинская скв. 4, гл. 1501,8—1506,3 м. Средний подъярус волжского яруса, мулымьинская свита.

Диагноз. Раковина сравнительно крупная, вытянутая, почти прямая в основании с чуть выступающей на брюшную сторону закругленной спиральной частью, от которой отходит выпрямленная часть. Состоит из восьми-девяти камер, ранние четыре-пять образуют пол-оборота спиральной части, остальные — выпрямленную. Межкамерные швы в ранней части слабоизогнутые, поверхностные, в выпрямленной — относительно широкие, слегка углубленные.

Распространение и возраст. Западная Сибирь, Общий Сырт, Среднее Поволжье, Печорский бассейн; средний подъярус волжского яруса.

Местонахождение и материал. Западные, северо-, юго-западные разрезы Западной Сибири; даниловская, тутлеймская, мулымьинская свиты. Небольшое число раковин.

*Marginulina striatocostata* Reuss, 1862

Табл. 62, фиг. 5; табл. 104, фиг. 7—9

Синонимика: см. Григялис, 1985, с. 129.

Голотип — ФРГ, окрестности Брауншвейга. Верхний гильс (баррем).

Экземпляры — ЗапСибНИГНИ, № 539. Западно-Сибирская равнина, профиль Шекурья—Саранпауль, скв. 5-КП, гл. 135,0—140,8 м. Кимеридж, лопсинская свита. № 440. Там же. Похромская скв. 189, гл. 1423—1427 м. Валанжин, алясовская свита.

**Диагноз.** Раковина средних размеров, удлиненная, тонко-ребристая. Спиральный отдел изогнутый на брюшную сторону, поздний — выпрямленный. Межкамерные швы тонкие, углубленные. Поверхность раковины от начальной камеры до устьевой шейки покрыта 20—32 тонкими продольными ребрышками.

**Сравнение.** Западносибирские представители *Marginulina striatocostata* Reuss отличаются от голотипа, описанного Рейссом из верхнего гильса (баррема) окрестностей Брауншвейга, большими размерами (высота 0,73, против 0,49 мм).

**Распространение и возраст.** Сибирь, повсеместно; верхний кимеридж—альб. Прибалтика; юго-западная часть; нижневожский подъярус. Восточно-Европейская равнина, Печорский бассейн, Эмбенская обл.; волжский ярус, преимущественно средний подъярус. Поволжье (Городище); верхний кимеридж. Вне СССР: Польша; верхний кимеридж, нижний и средний портланд. ФРГ; баррем. Мадагаскар; верхний портланд—валанжин [32, 56].

**Местонахождение и материал.** Западная Сибирь; верхний кимеридж — ниже-средневожский подъярусы, верхи абалакской, средняя часть даниловской, тутлеймская свиты; берриас, ахская, куломзинская свиты; валанжин, мегнионская свита; валанжин—готерив, ахская, мегнионская свиты; готерив, алясовская, вартовская свиты; альб, ханты-мансийская свита. Около 100 экземпляров, преимущественно хорошей сохранности.

### *Marginulina robusta* Reuss, 1862

Табл. 53, фиг. 8; табл. 62, фиг. 7; табл. 104, фиг. 8

**Синонимика:** см. Григялис, 1985, с. 130.

**Голотип** — ФРГ, окрестности Брауншвейга. Верхний гильс (баррем).

**Экземпляры** — ЗапСибНИГНИ, № 853. Западно-Сибирская равнина, Лемьинская скв. 35, гл. 1605—1616 м. Средний подъярус волжского яруса, даниловская свита. № 535. Там же. Похромская скв. 189, гл. 1423—1427 м (1 м от верха интервала). Валанжин, алясовская свита.

**Диагноз.** Раковина короткая, довольно толстая, начальная часть изогнута на брюшную сторону, выпрямленная состоит из трех-четырех камер с почти параллельными краями. Межкамерные швы слегка углубленные. Поверхность раковины покрыта 12—14 грубыми ребрами, одно из которых проходит по спинному краю.

**Сравнение.** От *Marginulina striatocostata* Reuss вид отличается меньшим числом более грубых ребер и значительно более толстой стенкой раковины.

**Распространение и возраст.** Прибалтика, юго-западные районы; верхний кимеридж. Восточно-Европейская равнина; верхний кимеридж и волжский ярус. Печорский бассейн,

Эмбенская обл.; средневожские отложения. Западная и Средняя Сибирь; волжский ярус—альб. Вне СССР: Польша; средний портланд. ФРГ; баррем.

Местонахождение и материал. Западная Сибирь; верхний кимеридж — нижне-, средневожский подъярусы, верхи абалакской, средняя часть даниловской, тутлеймская свиты; берриас, ахская свита; валанжин — готерив, ахская, мегионская свиты; готерив, алясовская, вартовская свиты; альб, ханты-мансийская свита. Около 30 экземпляров хорошей сохранности.

*Marginulina gracilissima* (Reuss), 1862

Табл. 104, фиг. 5

*Marginulina gracilissima*: Мятлюк, 1939, табл. III, фиг. 3, 4; Романова, 1955 (частично), с. 17, табл. I, фиг. 16, 17 [6].

*Marginulina* ex gr. *gracilissima*: Басов, Иванова, 1972, табл. XLVI, фиг. 6, 9.

Голотип — ФРГ, окрестности Брауншвейга. Верхний гильс (баррем).

Экземпляр — ВСЕГЕИ, № 8. Западно-Сибирская равнина, Тюменская скв. 1, гл. 1301—1306 м. Валанжин, ахская свита.

Диагноз. Раковина вытянутая, изогнута в направлении навивания спирали. В неполном обороте спирального отдела камеры округленно-треугольные, в однорядном отделе — вздутые, округленно-четырёхугольные. Швы глубокие, косонаклоненные в спиральной части, почти прямые в выпрямленной. Поверхность покрыта шипиками. Устье на оттянутом к спинной стороне устьевом бугорке или коротком горлышке.

Сравнение. Западносибирские экземпляры *Marginulina gracilissima* отличаются от раковин из топотипической местности (готерив—баррем северной части ФРГ) лишь меньшим числом камер (5—7 против 7—9).

Распространение и возраст. Западная Сибирь; валанжин, зона *Temnoptychites insolutus*, слои с *Trochammina gyroidiniiformis* — *T. sibirica*; валанжин—готерив, зоны *T. insolutus* (частично), *Polyptychites michalskii*; переходные слои от валанжина к нижнему готериву, слои с *Dichotomites* sp., *Homolosomes* sp. и, по-видимому, частично зона *Homolosomes bojarkensis* нижнего готерива, слои с *Cribrostomoides? sinuosus* — *C. infracretaceous*; нижний готерив, слои с *Trochammina gyroidiniiformis* — *Acruliammina pseudolonga*. Север Средней Сибири; валанжин. В верхней юре вид известен в верхнем кимеридже — среднем подъярусе волжского яруса. Прикаспийская изменчивость; волжский ярус. Вне СССР: ФРГ, северная часть; готерив—баррем.

Местонахождение и материал. Западная Сибирь; верхний кимеридж — нижний и средний подъярусы волжского яруса, верхи абалакской, средняя часть даниловской, тутлейм-

ская свиты; валанжин, мегнионская, ахская свиты; валанжин—готерив, ахская, мегнионская свиты; готерив, вартовская, алясовская свиты. Около 40 экземпляров хорошей сохранности.

*Marginulina zaspelovae* Romanova, 1960

Табл. 104, фиг. 6

Синонимика: см. Басов, 1967, с. 46.

Голотип—ВСЕГЕИ, № 7766. Западно-Сибирская равнина, Татарская скв. 1-Р, гл. 2327—2334 м. Валанжин, куломзинская свита.

Диагноз. Раковина удлиненная, прямая, выпуклая, расширяется к устьевому концу. Состоит из небольшого завитка и выпрямленной части. Общее число камер—до 10. Камеры спиральной части округленно-треугольные, однорядной—округленно-четыреугольные; последние две самые широкие, конечная почти шаровидная. Швы тонкие, углубленные. Устье на оттянутом к спинной стороне низком горлышке.

Распространение и возраст. Средняя Сибирь, Хатангская впадина; верхний подъярус волжского яруса—берриас, зоны *Hectoroceras kochi*, *Surites analogus*. Западная Сибирь; берриас, валанжин, нижний готерив.

Местонахождение и материал. Западная Сибирь; берриас, куломзинская свита; валанжин, тарская, куломзинская, ахская, мегнионская свиты, нижний готерив, алясовская, вартовская свиты. Многие скважины, небольшое число экземпляров.

РОД *MARGINULINITA* K. Kuznetsova, 1972

*Marginulinita casacstanica* (Kazanzev), 1934

Табл. 62, фиг. 2

*Marginulina casacstanica*: Казанцев, 1934, с. 21, табл. V, фиг. 40, 41, 46; табл. VI, фиг. 52.

Экземпляр—ВНИГРИ. Приполярный Урал, р. Лопсия, обн. 41. Верхний кимеридж, лопсинская свита.

Диагноз. Раковина почти прямая, постепенно расширяющаяся к устьевому концу, в ранней части отмечается инициальный шипик. Швы косые углубленные. По всей длине раковины проходят 9—13 тонких продольных килей, сходящихся на последней камере и переходящих на устьевое коническое возвышение.

Распространение и возраст. Западная Сибирь; верхний кимеридж, нижний—средний подъярусы волжского яруса. Прикаспийская низменность, Эмбенская обл.; волжский ярус.

Местонахождение и материал. Многочисленные разрезы Березовского, Шаимского, частично центрального районов Западно-Сибирской равнины; даниловская, верхи абалакской, лопсинская, тутлеймская, георгиевская свиты. Единичные раковины из многих скважин.

РОД *MARGINULINOPSIS* Silvestri, 1904

*Marginulinopsis praecomptulaformis* Gerke  
et Scharovskaja, 1960

Табл. 53, фиг. 6

*Lenticulina (Marginulinopsis) praecomptulaformis*: Шаровская, 1960, с. 51, табл. III, фиг. 6, 7; Путря, 1972, с. 216, табл. XXV, фиг. 14, 15.

Голотип — ВНИИОкеангеология, № 526/166. Средняя Сибирь, Ильинско-Кожевниковский участок, скв. К-21, гл. 125 м. Байос—бат.

Экземпляр — ЗапСибНИГНИ, № 426. Западная Сибирь, Игримская скв. 119, гл. 1687—1696,6 м. Нижний оксфорд, абалакская свита.

Диагноз. Раковина небольшая, удлинённая, бобовидная, утолщается к раздутому устьевому концу. Состоит из шести—восьми камер; ранние три—четыре узкотреугольные, последние — скошенно-четырёхугольные с шириной, превышающей высоту в 2,5—3 раза. Септальные швы слабоизогнутые и слабоуглублённые. Поверхность раковины покрыта острыми ребрами, по четыре—пять на боковой стороне. Ребра не достигают устьевого конца последней камеры. Устье — неясноручиное на оттянутом к спинному краю бугорке.

Распространение и возраст. Средняя Сибирь, п-ов Нордик; байос—бат. Западная Сибирь, север Средней Сибири; келловей, нижний оксфорд.

Местонахождение и материал. Западные, центральные, северо-восточные районы Западной Сибири; абалакская, даниловская, васюганская, точинская свиты. Часто, единичные раковины.

*Marginulinopsis subrusticus* Dain, 1972

Табл. 53, фиг. 9

*Marginulinopsis subrusticus*: Дайн, 1972, с. 133, табл. XXXVII, фиг. 10 [97].

Голотип — ВНИГРИ, № 520/94. Приполярный Урал, восточный склон, левый берег р. Лопси. Верхний кимеридж, зона *Aulacostephanus sosvaensis*.

Диагноз. Раковина удлиненная, широкозакругленная в спиральной части и почти прямая с параллельными сторонами в выпрямленной. Спиральная часть состоит из пяти-шести камер, образующих один оборот с открытым пупком, равномерно сдавлена с боков. В выпрямленной части две—четыре камеры. Швы углубленные.

Распространение и возраст. Западная Сибирь, Приполярный Урал (бассейн рек Лопсия и Толья); верхний кимеридж. Хатангская впадина; нижний и средний подъярусы волжского яруса.

Местонахождение и материал. Западные, центральные районы Западной Сибири; даниловская, абалакская, георгиевская свиты. Несколько раковин хорошей сохранности.

*Marginulinopsis robustaeformis* Dain, 1972

Табл. 53, фиг. 7

*Marginulinopsis robustaeformis*: Путря, 1972, с. 220, табл. XXVI, фиг. 5, 6.

Голотип — ВНИГРИ. Приполярный Урал, пос. Новый, скв. 92, гл. 71 м. Кимеридж.

Экземпляр — ЗапСибНИГНИ, № 559. Западно-Сибирская равнина, Сысконсыньинская скв. 272, гл. 1561—1567 м. Средний подъярус волжского яруса, тутлеймская свита.

Диагноз. Раковина небольших размеров, вытянутая, слегка изогнутая. Состоит из шести-семи камер, ранние три-четыре образуют спиральную часть, остальные выпрямленную. Спинной край округлый, брюшной вогнутый, слегка лопастный. Межкамерные швы углубленные. Поверхность покрыта тонкими продольными ребрами, по пять-шесть на каждой стороне.

Распространение и возраст. Западная Сибирь; кимеридж — средний подъярус волжского яруса.

Местонахождение и материал. Северо-западные, западные районы Западной Сибири; даниловская, абалакская, тутлеймская свиты. Небольшое число раковин.

*Marginulinopsis embaensis* (Furssenko et Poljenova), 1950

Табл. 62, фиг. 6

*Cristellaria embaensis*: Фурсенко, Поленова, 1960, с. 36, табл. III, фиг. 9—13.

Голотип — ВНИГРИ, № 2350. Прикаспийская низменность, северо-западное побережье оз. Индер, овраг Караджира. Средний подъярус волжского яруса.

Экземпляр — ЗапСибНИГНИ, № 570. Западно-Сибирская равнина, Половинкинская скв. 100, гл. 1875—1878,95 м. Средний подъярус волжского яруса, тутлеймская свита.

Диагноз. Раковина крупная, удлиненная, слегка уплощенная, незначительно изогнутая, закругленная в начальном отделе и скошенная к устьевому концу. Состоит из 5—15 камер, ранние три-четыре образуют неполную спираль, остальные распрямленный отдел. Межкамерные швы неясные. Поверхность покрыта грубыми пластинчатыми ребрами, соединяющимися попарно в спиральной части.

Распространение и возраст. Восточно-Европейская равнина, Западная Сибирь; средний подъярус волжского яруса.

Местонахождение и материал. Западные, юго-западные районы Западной Сибири; даниловская, тутлеймская, мулымьинская свиты. Небольшое число раковин.

Семейство POLYMORPHINIDAE d'Orbigny, 1839

Подсемейство GUTTULININAE Kusina, 1973

РОД *GUTTULINA* d'Orbigny in de la Sagra, 1839

*Guttulina* ex gr. *dogieli* Dain, 1972

Табл. 62, фиг. 11

*Guttulina* ex gr. *dogieli*: Дайн, 1972, табл. XLIV, фиг. 5, 6 [197].

Экземпляры — ВНИГРИ, № 520/159 и 159а. Приполярный Урал, р. Яны-Манья, обн. 23. Средний подъярус волжского яруса.

Распространение и возраст. Западная Сибирь; верхний кимеридж, нижний, средний подъярус волжского яруса.

Местонахождение и материал. Немногочисленные разрезы западных районов Западной Сибири, Приполярный Урал, бассейн р. Яны-Манья; федоровская, даниловская, тутлеймская свиты. Небольшое число раковин.

*Guttulina racemiformis* Kusina, 1976

Табл. 105, фиг. 3

*Guttulina racemiformis*: Кузина, 1976, с. 69—70, табл. VI, фиг. 1—4.

Голотип — ВНИГРИ, № 649/38. Западная Сибирь, Покровская скв. 3, гл. 1380—1387 м. Готерив, слои с *Sigmomorphina variabilis*, карбанская свита.

Диагноз. Раковина горздевидной формы, в сечении неправильно-овальная. Камеры с боковых сторон овальные, вздутые, высокие. Швы тонкие, сильноуглубленные. Устье — многочисленные радиальные щели на поверхности притупленного устьевого бугорка.

Распространение и возраст. Западная Сибирь, южная, юго-западные и восточные районы; валанжин—готерив, слои с *Sigmomorphina variabilis*.

Местонахождение и материал. Западно-Сибирская равнина, Тюменская обл., Красноярский край; нижняя подсвита вартовской и низы верхней подсвиты карбанской свит. Большое число раковин.

РОД *EOGUTTULINA* Cushman et Ozawa, 1930

*Eoguttulina kimmeridjica* Dain, 1972

Табл. 62, фиг. 9

*Eoguttulina kimmeridjica*: Даин, 1972, с. 144, табл. XIV, фиг. 1 [97].

Голотип — ВНИГРИ, № 520/156. Приполярный Урал, восточный склон, р. Лопсия, обн. 41. Верхний кимеридж, лопсинская свита.

Диагноз. Раковина удлиненная, обтекаемая, неравномерно-вздутая в срединной области, с притупленным основанием и более заостренным устьевым концом, слабо сдавленная с боков. Спинной край неравномерно-выпуклый, брюшной — вначале слабовогнутый, но с середины высоты становится выпуклым. Образована пятью-шестью камерами, нарастающими по винтовой спирали. Расположение их вначале правильное трехрядное, затем двурядное. Швы поверхностные, косые. Устьевой конец суженный.

Распространение и возраст. Западная Сибирь; верхний кимеридж.

Местонахождение и материал. Единичные разрезы западных и центральных районов Западной Сибири, Приполярный Урал, реки Лопсия, Толья; даниловская, лопсинская, георгиевская свиты. Единичные раковины хорошей сохранности.

РОД *SIGMOMORPHINA* Cushman et Ozawa, 1928

*Sigmomorphina variabilis* Kusina, 1971

Табл. 105, фиг. 4

*Sigmomorphina variabilis*: Кузина, 1971, с. 18, табл. III, фиг. 1—8; 1976, с. 84, табл. XI, рис. 2—4.

Голотип — ВНИГРИ, № 638/1. Западно-Сибирская равнина, Покровская скв. 3, гл. 1380,53—1387,58 м. Готерив, карбанская свита, слои с *Globulina tubifera* — *Sigmomorphina variabilis*.

Диагноз. Раковина удлиненная, в поперечном сечении неправильно-овальная, периферический край округлый. Камеры

удлиненные, незначительно вздутые. Швы тонкие, слабоуглубленные. Устье — многочисленные тонкие щели, расположенные радиально на конусовидной поверхности.

Распространение и возраст. Западная Сибирь, южная, юго-западная и восточная части; валанжин—готерив, слои с *Globulina tubifera* — *Sigmomorphina variabilis*.

Местонахождение и материал. Тюменская, обл., Красноярский край; низы верхней подсвиты карбанской и нижняя подсвита юрацкой? свит. До 70 экземпляров.

*Sigmomorphina botryosa* Булыникова, 1986

Табл. 105, фиг. 6

*Sigmomorphina botryosa*: Булыникова, 1986, с. 110—111, табл. 2, фиг. 4 а—в.

Голотип — СНИИГГиМС, № 1—ФБ/12-115. Западно-Сибирская равнина, Варламовская скв. 1, гл. 375,3 м. Валанжин—готерив—баррем (?), слои с *Ammodiscus continentalis* — *Sigmomorphina variabilis* (комплекс *Hechtina vagiformis* — *Sigmomorphina variabilis*), вартовская? свита.

Диагноз. Раковина почти ромбоидальная в очертании, приостренная у проксимального и треугольно-закругленная у устьевого конца, с асимметричными боковыми сторонами, в поперечном сечении овальная. Камеры высокие, овально-вытянутые и удлиненно-узкие. Швы тонкие углубленные. Устье — радиально расположенные щели на округленном оттянутом конце последней камеры.

Распространение и возраст. Западная Сибирь; валанжин—готерив, слои с *Sigmomorphina variabilis* (комплекс *Hechtina vagiformis* — *Sigmomorphina variabilis*).

Местонахождение и материал. Красноярский край, валанжин—готерив, нижняя подсвита юрацкой? свиты, Варламовская площадь. Большое число раковин хорошей сохранности и смятых.

РОД *GLOBULINA* d'Orbigny in de la Sagra, 1839

*Globulina alexandrae* Даин, 1972

Табл. 62, фиг. 8

*Globulina alexandrae*: Даин, 1972, с. 148, табл. XLIV, фиг. 7, 8 [97].

Голотип — ВНИГРИ, № 520/142. Приполярный Урал, р. Лопсия, обн. 41. Верхний кимеридж, лопсинская свита.

Диагноз. Раковина гладкая, обтекаемая, вздутая, веретеновидная, суживающаяся к основанию и заостренная к устью. Поперечное сечение округлое или овальное. Швы поверхност-

ные, косые, с продольной осью скелета составляют угол 30—40°.

Распространение и возраст. Западная Сибирь; кимеридж.

Местонахождение и материал. Немногочисленные разрезы западных, юго-западных, центральных районов Западной Сибири, Приполярный Урал, река Лопсия; лопсинская, абалакская, даниловская, георгиевская свиты. Около 30 раковин хорошей сохранности.

*Globulina praelacrima* Mjatljuk, 1961

Табл. 105, фиг. 1, 5

Синонимика: см. Кузина, 1976, с. 103.

Голотип — утрачен; описан из верхнего баррема, зоны *Oxyteuthis jasykowi* Среднего Поволжья.

Экземпляр — ЗапСибНИГНИ, № 572. Западно-Сибирская равнина, Сургутская скв. 50, гл. 2204—2208 м. Валанжин—готерив, нижняя подсвита вартовской свиты.

Диагноз. Раковина яйцевидной формы, широкоокруглая в основании, с приостренным устьевым концом. В поперечном сечении округлая или овальная. На одной из боковых сторон различаются три-четыре, на другой — две-три камеры. Швы поверхностные или слабоуглубленные. Устье — многочисленные тонкие радиальные щели.

Распространение и возраст. Поволжье; готерив—баррем. Прикаспийская низменность; нижний готерив, глобулинская зона. Западно-Сибирская равнина; валанжин—готерив.

Местонахождение и материал. Западно-Сибирская равнина, повсеместно; валанжин—готерив, мегнионская, верхи мулымьинской и куломзинской, тарская, ахская и вартовская свиты. Несколько десятков экземпляров.

*Globulina tubifera* Kusina, 1964

Табл. 105, фиг. 2

Синонимика: см. Кузина, 1976, с. 102.

Голотип — ВНИГРИ, № 519/261. Западно-Сибирская равнина, Покровская скв. 3, гл. 1387—1380 м. Готерив, слой с *Sig-tomorpha variabilis* — *Globulina tubifera*, низы верхней подсвиты карбанской свиты.

Диагноз. Раковина маленькая, на одной из сторон видны четыре удлиненные камеры, на другой — три. Поперечное сечение овальное. Швы поверхностные, отчетливые. Устье — многочисленные тонкие щели на стекловатом устьевом бугорке.

Сравнение. От *Globulina praelacrima* Mjatljuk отличается формой раковины, притупленным устьевым бугорком и

своеобразным характером тонкой лучистости наружной части устьевого аппарата.

Распространение и возраст. Западная Сибирь, южная, юго-западная и восточная части; готерив, слои с *Sigmatophina variabilis* — *Ammodiscus continentalis*.

Местонахождение и материал. Скважины Покровской, Заводоуковской, Варламовской, Вяткинской площадей; низы верхней подсвиты карбанской и нижняя подсвита вартовской (?) свит. До 40 экземпляров хорошей сохранности.

ОТРЯД ROTALIDA Hartog in Harmer and Shipley, 1906

НАДСЕМЕЙСТВО CERATOBULIMINACEA Cushman, 1927

Семейство CERATOBULIMINIDAE Cushman, 1927

РОД CERATOLAMARCKINA Troelsen, 1954

*Ceratolamarckina levinae* Dain, 1980

Табл. 63, фиг. 5—9

*Ceratolamarckina* ex gr. *zatonica*: Дайн, 1972, табл. VI, фиг. 3—6 [97].

*Ceratolamarckina levinae*: Дайн, 1980, с. 102, табл. 23, фиг. 4—7.

Голотип — ВНИГРИ, № 520/158. Приполярный Урал, р. Лопсия, обн. 41. Верхний кимеридж, лопсинская свита.

Экземпляр — ЗапСибНИГНИ, № 2151. Западно-Сибирская равнина, Тагринская скв. 59, гл. 2795—2801 м. Верхний кимеридж, георгиевская свита.

Диагноз. Раковина маленькая, трохонидная, округлая, выпуклая на спинной стороне и уплощенная на брюшной, с широким глубоким пупком. Образована двумя-тремя оборотами спирали, по пять-шесть камер в каждом. Периферический край слаболопастный, суженный. Межкамерные швы слабоуглубленные.

Распространение и возраст. Западная Сибирь, север Средней Сибири; верхний кимеридж — низы волжского яруса.

Местонахождение и материал. Западная Сибирь, Приполярный и Полярный Урал; многочисленные разрезы Ямальского, Гыданского, Березовского, Салымского, Сургутского, Нижневартовского, Вахского, Часельского, Таркосалинского районов; верхи абалакской, георгиевской, даниловская, марьяновская, яновстанская свиты. Большое число раковин.

РОД *CERATOBULIMINA* Toulou, 1915

*Ceratobulimina* ? *poliarica* Dain, 1972

Табл. 63, фиг. 1—4

*Ceratobulimina* ? *poliarica*: Дайн, 1972, с. 175, табл. VI, фиг. 7—10 [97].

Голотип — ВНИГРИ, № 520/132. Западная Сибирь, Обской профиль, скв. 6, гл. 218—222 м. Верхний оксфорд, даниловская свита.

Диагноз. Раковина маленькая, высокая, колпачковидная. 11—13 быстро увеличивающихся камер образуют два с половиной-три оборота спирали по четыре камеры в каждом. Начальная камера шаровидная, очень маленькая, расположена в середине спинной стороны. Брюшная сторона, углубленная в пупочной области, разделена прямыми швами на четыре лопасти. Последняя камера в пупочной области дугообразно изгибается, оставляя языковидную вмятину. Межкамерные швы тонкие, углубленные.

Распространение и возраст. Западная Сибирь; средний—верхний оксфорд.

Местонахождение и материал. Западная Сибирь, многочисленных разрезы восточного склона Полярного и Приполярного Урала, Лабытнангский, Даниловский районы; даниловская, маурыннинская свиты. Большое число раковин.

РОД *CANCRISIELLA* Dain, 1980

*Cancrisiella ambitiosa* (Dain), 1972

Табл. 63, фиг. 10

*Ceratocancris ambitiosus*: Дайн, 1972, с. 176, табл. LVI, фиг. 1, 2 [97].

Голотип — ВНИГРИ, № 520/136. Западная Сибирь, Обской профиль, скв. 6, гл. 194—200 м. Нижний кимеридж, лопсинская свита.

Диагноз. Раковина маленькая, трохонидная, удлиненная по продольной линии последней камеры. Спинная сторона слегка вздута, брюшная уплощенная или несколько вогнутая. Периферический край приостренный, прямой у устьевого конца. Девять-десять камер образуют полтора-два оборота спирали, в последнем пять-шесть камер. Последняя камера языковидной лопастью почти полностью прикрывает пупок. Межкамерные швы слегка вдавленные.

Распространение и возраст. Западная Сибирь; нижний кимеридж.

Местонахождение и материал. Северо-западный, северо-восточный, юго-западный, центральный районы Западной Сибири, бассейны рек Волья, Толья, Лопсия, Шекурья; лопсинская, даниловская, абалакская, яновстанская, георгиевская свиты. Небольшие количества, но иногда образует скопления.

Подсемейство REINHOLDELLINAE Seiglie et Bermudez, 1965

РОД *PSEUDOLAMARCKINA* Mjatljuk, 1959

*Pseudolamarckina liapinensis* Dain, 1972

Табл. 64, фиг. 1—7

*Pseudolamarckina liapinensis*: Дайн, 1972, с. 169, табл. II, фиг. 1—6; табл. III, фиг. 1, 2; табл. V, фиг. 1, 9; табл. XIX, фиг. 7, 9, 11 [97].

Голотип — ВНИГРИ, № 520/212. Восточный склон Приполярного Урала, р. Лопсия, обн. 41. Верхний кимеридж (нижняя часть).

Диагноз. Раковина трохонидная, округлая, с низкой округло-конусовидной спинной и слабовдавленной брюшной сторонами. Периферический край узкий, угловатый. На спинной стороне два-три с половиной оборота спирали, в последнем семь-восемь. Межкамерные и спиральный швы двуконтурные, поверхностные. Камеры последнего оборота на брюшной стороне не доходят до середины раковины, а окружают приподнятую пупочную шишку.

Распространение и возраст. Западная Сибирь; низы верхнего кимериджа.

Местонахождение и материал. Приполярный Урал, Западная Сибирь, бассейны рек Волья, Толья, Лопсия, Шекурья, Тобольская, Тагринская, Карабашская, Владимирская, Половинкинская площади; лопсинская, даниловская, абалакская, георгиевская свиты. Обилие раковин различной сохранности.

*Pseudolamarckina lopsiensis* Dain, 1972

Табл. 65, фиг. 1—5

*Pseudolamarckina lopsiensis*: Дайн, 1972, с. 171, табл. III, фиг. 3—7; табл. V, фиг. 2—8; табл. XIX, фиг. 6, 8 [97].

Голотип — ВНИГРИ, № 520/118. Приполярный Урал, р. Ятрия, обн. 5. Верх кимериджа, лопсинская свита.

Диагноз. Раковина неправильно-чечевицеобразная, округлая, с сильно выпуклой приподнятой конусовидной спинной стороной и слегка выпуклой брюшной. На спинной стороне про-

смаатриваются три оборота спирали с 18—19 камерами, в последнем обороте их пять-шесть. Все камеры сходятся у пупочной области, образуя широкую, слегка приподнятую шишку. Спиральный и септальные швы приподняты над поверхностью камер в виде валиков. Межкамерные швы широкие, двуконтурные, косоизогнутые.

Распространение и возраст. Западная Сибирь, бассейн р. Печоры; верхний кимеридж.

Местонахождение и материал. Многочисленные разрезы западной, юго-западной, частично центральной, юго-восточной, северо-восточной частей Западной Сибири; абалакская, лопсинская, даниловская, георгиевская, яновстанская свиты. Обилие раковин хорошей сохранности.

*Pseudolamarckina voliaensis* Dain, 1972

Табл. 66, фиг. 1—4

*Pseudolamarckina voliaensis*: Даин, 1972, с. 172, табл. IV, фиг. 2—7 [97].

Голотип — ВНИГРИ, № 520/115. Приполярный Урал, восточный склон, р. Ятрия, на 100 м ниже устья ручья Ния-ю. Низы волжского яруса.

Диагноз. «Раковина округлая, низкоконическая, со спинной стороны обтекаемая, округло-выпуклая, плавно снижается к периферическому краю» [97]. Брюшная сторона чаще уплощенная. Периферический край слаболопастный, закругленный. 10—15 камер образуют полтора-два с половиной оборота спирали, в последнем — обычно пять, реже шесть камер. Спиральный и септальные швы поверхностные, двуконтурные, косые на спинной стороне, слегка углубленные, радиально-расходящиеся — на брюшной. Пупочный диск небольшой. Устьевые пластинки звездообразно сходятся в пупочной части раковины.

Распространение и возраст. Приполярный Урал, Западная Сибирь; низы волжского яруса. Бассейн р. Печоры; нижний подъярус волжского яруса.

Местонахождение и материал. Восточный склон Урала, Обской профиль, Озерная, Владимировская площади на западе, ограниченные разрезы на юго-востоке Западной Сибири; федоровская, тутлеймская, даниловская, марьяновская свиты. Многочисленные раковины.

РОД *VALANGINELLA* Dain, 1980

*Valanginella tatarica* (Romanova), 1960

Табл. 105, фиг. 7

*Lamarckina tatarica*: Романова, 1960, с. 111, табл. XVIII, фиг. 10, 11 а—в.

*Valanginella tatarica*: Данин, 1980, с. 106, рис. 6.

Голотип — не указан. Типовой вид — ВСЕГЕИ. Западно-Сибирская равнина, Тюменская скв. 1, гл. 1315,8—1322,0 м. Берриас, ахская свита.

Экземпляр — ВСЕГЕИ, колл. Центрального геологического музея, № 7766. Татарская скв. 3, гл. 2498,5—2501,1 м. Валанжин ?, куломзинская свита.

Диагноз. Раковина низкотрохоидная, плосковыпуклая, состоит из двух—двух с половиной оборотов спирали; в последнем пять—шесть камер, скошенных на спинной стороне и неправильно-треугольных на брюшной, где образуют пяти-семилучевую звезду. Стенка арагонитовая, многослойная. Устье петлевидное, изогнутое в виде щели.

Распространение и возраст. Западная Сибирь; берриас—валанжин, зоны *Surites analogus*; *Tollia payeri*; *Tempoptychites insolutus* (частично), слои с *Valanginella tatarica*. Север Средней Сибири; берриас—валанжин.

Местонахождение и материал. Северо-западные, южные, северо-восточные районы Западной Сибири; берриас—нижний валанжин, харасоимская, ахская, куломзинская, мегинская, нижнехетская свиты. Север Средней Сибири, берриас—нижний валанжин, паксинская, буолкалахская, харабылская, букатыйская свиты. Большое число раковин.

## НАДСЕМЕЙСТВО SPIRILLINIDEA Reuss, 1862

Замечание. Взгляды на систематическое положение спириллид авторитетных авторов и коллективов достаточно противоречивы. По-видимому, это послужило мотивом для исключения спириллид из систематики фораминифер, предложенной коллективом ВНИГРИ [29].

В настоящей работе спириллиды рассматриваются в рамках классификации семейства, предложенного Е. В. Мятлюк [76], с некоторыми дополнениями [113].

## Семейство SPIRILLINIDAE Reuss, 1862

### РОД *TURRISPIRILLINA* Cushman, 1927

#### *Turrispirillina belkinae* Levina, 1972

Табл. 67, фиг. 1

*Turrispirillina belkinae*: Левина, 1972, с. 155, табл. XLVII, фиг. 1—8; табл. XLVIII, f. 1—4 [97].

Голотип — ЗапСибНИГНИ, № 686. Западно-Сибирская равнина, Похромская скв. 78, гл. 1379—1383 м. Оксфорд — нижний кимеридж, вогулкинская толща.

Диагноз. Раковина маленькая, низкоконическая. Спинная сторона слабозаостренная, брюшная вдавленная. Начальная камера сферическая, вторая — трубчатая, образует четыре-пять быстрорасширяющихся оборотов спирали, хорошо различных на брюшной и спинной сторонах. Спиральный шов тонкий, слегка углубленный, хорошо заметный между последними двумя-тремя оборотами. Ранние два-три — сливаются в стекловатую шишку.

Распространение и возраст. Западная Сибирь; оксфорд — нижний кимеридж.

Местонахождение и материал. Немногочисленные скважины Березовского района Западной Сибири; вогулкинская толща. Более 50 раковин удовлетворительной сохранности.

РОД *TROCHOSPIRILLINA* Mjatjanina, 1957

*Trochospirillina pochromensis* Levina, 1972

Табл. 67, фиг. 4, 5

*Trochospirillina pochromensis*: Левина, 1972, с. 158, табл. XLVII, фиг. 14—19; табл. XLVIII, фиг. 5—8 [97].

Голотип — ЗапСибНИГНИ, № 695. Западно-Сибирская равнина, Похромская скв. 78, гл. 1379—1382 м. Оксфорд — нижний кимеридж.

Диагноз. Раковина очень маленькая, дисковидная, тонкая. Спинная сторона слабовыпуклая, чаще плоская, брюшная — плоская. Начальная камера сферическая; вторая — трубчатая, свернутая по плоской конической спирали, состоящей из пяти-восьми оборотов. На эволютной спинной стороне видны узкие, медленно возрастающие обороты, на брюшной вдоль оборотов располагаются мелкие невысокие бугорки.

Распространение и возраст. Западная Сибирь; оксфорд — нижний кимеридж.

Местонахождение и материал. Немногочисленные разрезы западной части Западной Сибири, Похромская, Кочевская, Игримская площади; вогулкинская толща. Около 50 раковин удовлетворительной сохранности.

РОД *TROCHOLINA* Paalзов, 1922

*Trocholina sibirica* Levina, 1972

Табл. 67, фиг. 6; табл. 68, фиг. 1—3

*Trocholina sibirica*: Левина, 1972, с. 161, табл. XLIX, фиг. 8—13, 15; табл. L, фиг. 6—10 [97].

182

Голотип — ЗапСибНИГНИ, № 418. Западно-Сибирская равнина, Похромская скв. 78, гл. 1379—1382 м. Оксфорд — нижний кимеридж, вогулкинская толща.

Диагноз. Раковина маленькая, башенковидная. Спинная сторона коническая, брюшная плоская или слегка вдавленная. Трубчатая камера образует пять-шесть оборотов спирали, последний толще первого в 2 раза. Начальная камера и первые обороты прикрыты стекловатым натеком. Последний оборот на брюшной поверхности гладкий. В углублении пупочной области располагаются 11—20 невысоких бугорков неправильной формы, иногда сливающихся в небольшие валики. Спиральный шов тонкий, почти поверхностный.

Распространение и возраст. Западная Сибирь; оксфорд — нижний кимеридж.

Местонахождение и материал. Немногочисленные скважины западной части Западной Сибири, Похромская, Кочевская, Игримская площади; вогулкинская толща. Около 100 раковин неудовлетворительной сохранности.

#### *Trocholina rubinae* Levina, 1972

Табл. 68, фиг. 4, 5

*Trocholina rubinae*: Левина, 1972, с. 162, табл. XLIX, фиг. 1—7; табл. L, фиг. 1—5 [97].

Голотип — ЗапСибНИГНИ, № 416. Западно-Сибирская равнина, Похромская скв. 78, гл. 1379—1382 м. Оксфорд — нижний кимеридж.

Диагноз. Раковина небольшая, низкоконическая, с широким основанием и тупой округлой вершиной. Трубчатая камера свернута в пять-шесть оборотов спирали. Из-за натека раковинного вещества начальная камера и первые обороты плохо различимы на спинной стороне. Выпуклая брюшная сторона прикрыта вторичным раковинным материалом, образующим на поверхности беспорядочно расположенные многочисленные бугорки. Спиральный шов неглубокий.

Распространение и возраст. Западная Сибирь; оксфорд — нижний кимеридж.

Местонахождение и материал. Немногочисленные разрезы запада Западной Сибири, Похромская, Кочевская, Игримская площади; вогулкинская толща. Около 100 раковин удовлетворительной сохранности.

#### РОД *CONICOSPIRILLINA* Cushman, 1927

#### *Conicospirillina vogulcaensis* Levina, 1972

Табл. 67, фиг. 2, 3

*Conicospirillina vogulcaensis*: Левина, 1972, с. 157, табл. XLVII, фиг. 9—13; табл. XLVIII, фиг. 9—11 [97].

Голотип — ЗапСибНИГНИ, № 683. Западно-Сибирская равнина, Похромская скв. 78, гл. 1379—1382 м. Оксфорд — нижний кимеридж, вогулкинская толща.

Диагноз. Раковина небольшая, имеет форму почти правильного конуса с заостренной вершиной, плоским или слегка вогнутым основанием, плоскими боковыми сторонами. Начальная камера шаровидная, расположена в вершине конуса, вторая образует трохондную спираль из семи-восьми оборотов — на спинной стороне эволютных, на брюшной — инволютных. Периферический край приостренный. Швы тонкие, поверхностные, плохоразличимые.

Распространение и возраст. Западная Сибирь; оксфорд — нижний кимеридж.

Местонахождение и материал. Единичные разрезы Березовского района Западной Сибири; вогулкинская толща. 20 раковин неудовлетворительной сохранности.

1. *Акимец В. С.* Стратиграфия и фораминиферы нижнемеловых отложений Белоруссии//Палеонтология и стратиграфия Прибалтики и Белоруссии.— Вильнюс: Минтис, 1966.— С. 350—351.
2. *Акимец В. С.* Новые данные по стратиграфии и фораминиферам нижнемеловых отложений восточной части Белоруссии//Палеонтология и стратиграфия Прибалтики и Белоруссии.— Вильнюс: Минтис, 1971.— С. 162.
3. *Алексейчик-Мицкевич Л. С.* К классификации фораминифер семейства *Nariphragmoididae*//Исследования в области систематики фораминифер.— Л.: 1973.— С. 12—14 (Тр. ВНИГРИ, вып. 343).
4. *Атлас* характерных фораминифер нижнемеловых отложений Прикаспийской низменности, полуострова Мангышлак и Устьюрта.— Л.: Недра, 1988.
5. *Баженовский* горизонт Западной Сибири//Ю. В. Брадучан, А. В. Гольберт, Ф. Г. Гурари и др.— Новосибирск: Наука, 1986 (Тр. ИГиГ СО АН СССР, вып. 649).
6. *Балахматова В. Т., Липман Р. Х., Романова В. И.* Характерные фораминиферы мела и палеогена Западно-Сибирской низменности.— М.: Гостеолтехиздат, 1955.
7. *Басов В. А.* Фораминиферы родов *Marginalina* и *Marginulinopsis* из волжских и берриасских отложений бассейна реки Хеты (Хатангская впадина)//Ученые записки. Палеонтология и биостратиграфия.— Л.: 1967.— С. 38—90 (Тр. НИИГА, вып. 18).
8. *Басов В. А.* О составе фораминифер в волжских и берриасских отложениях севера Сибири и Арктических островов//Мезозойские морские фауны Севера и Дальнего Востока СССР и их стратиграфическое значение.— М.: Недра, 1968.— С. 108—141.
9. *Басов В. А.* Некоторые волжские фораминиферы//Опорный разрез верхнеюрских отложений бассейна р. Хеты (Хатангская впадина).— Л.: Наука, 1969. С. 176.
10. *Басов В. А., Иванова Е. Ф.* Фораминиферы//Граница юры и мела и берриасский ярус в бореальном поясе.— Новосибирск: Наука, 1972.— С. 233—243.
11. *Белецка В., Кузнецова К. И.* Фораминиферы и палеогеография кимеридского века Восточной Европы (Польша и европейская часть СССР)//Вопросы микропалеонтологии.— 1969.— Вып. 12.— С. 58—79.
12. *Белоусова Н. А.* Представители рода *Trochammina* из нижнемеловых отложений Западной Сибири//Биостратиграфическая характеристика юрских и меловых нефтегазоносных отложений Западной Сибири.— Тюмень: 1977.— С. 70—73 (Тр. ЗапСибНИГНИ, вып. 119).
13. *Белоусова Н. А.* Новый вид *Trochammina sibirica* из неокомских отложений Западной Сибири//Вопросы биостратиграфии и детальной корреляции мезозойских и кайнозойских отложений Западно-Сибирской равнины.— Тюмень, 1979.— С. 50—51 (Тр. ЗапСибНИГНИ, вып. 141).
14. *Белоусова Н. А., Богомякова Е. Д., Рылькова Г. Е.* Биостратиграфическое расчленение берриасских и валанжинских отложений Западной Сибири по данным фораминифер//Палеонтологическая характеристика юрских и меловых отложений Западной Сибири.— Тюмень: 1977.— С. 21—31 (Тр. ЗапСибНИГНИ, вып. 119).
15. *Богомякова Е. Д.* *Lenticulina prima* — новый вид фораминифер из гоэриевских отложений Западной Сибири//Вопросы биостратиграфии и детальной корреляции мезозойских и кайнозойских отложений Западно-Сибирской равнины.— Тюмень, 1979.— С. 55—57 (Тр. ЗапСибНИГНИ, вып. 141).

16. Булатова З. И. Новые фораминиферы из медовых отложений Западно-Сибирской равнины//Материалы по региональной геологии Сибири.— Новосибирск, 1971.— С. 63—75 (Тр. СНИИГГиМС, вып. 115).

17. Булынникова С. П. О находке келловейских фораминифер в северо-западной части Западно-Сибирской низменности//Материалы по палеонтологии и стратиграфии Западной Сибири.— Л.: Гостоптехиздат, 1962.— С. 88—97.

18. Булынникова С. П. Некоторые литуолиды из валанжинских и готеривских отложений Западно-Сибирской низменности//Фораминиферы мезозоя и кайнозоя Западной Сибири, Таймыра и Дальнего Востока.— М.: Наука, 1967.— С. 57—68.

19. Булынникова С. П. Фораминиферы рода *Haplophragmium* Reuss, 1860 из неокома Западной Сибири//Материалы по региональной геологии Сибири.— Новосибирск: 1971.— С. 55—62 (Тр. СНИИГГиМС, вып. 115).

20. Булынникова С. П. Новые виды рода *Cribrostomoides* Cushman, 1910 из готеривских отложений Западной Сибири//Новые данные о микрофауне и микрофлоре Западно-Сибирской равнины.— М.: ВИЭМС, 1971.— С. 6—12.

21. Булынникова С. П. Новый род фораминифер *Schleiferella* Булынникова gen. nov. из верхнеюрских и неокомских отложений Западно-Сибирской равнины//Новые данные о микрофауне и микрофлоре Западно-Сибирской равнины.— М.: ВИЭМС, 1971.— С. 13—14.

22. Булынникова С. П. Новый вид фораминифер *Ammobaculites* Cushman, 1910 из берриаса Западной Сибири//Материалы по стратиграфии и палеонтологии Сибири.— Новосибирск: 1972.— С. 124—128 (Тр. СНИИГГиМС, вып. 146).

23. Булынникова С. П. Фораминиферы нефтегазоносных отложений неокома Западно-Сибирской равнины.— М.: Недра, 1973 (Тр. СНИИГГиМС, вып. 153).

24. Булынникова С. П. Новые поздневожские — неокомские агглютинирующие фораминиферы Сибири//Новые виды древних беспозвоночных и растений нефтегазоносных провинций Сибири.— Новосибирск: 1984.— С. 81—88.

25. Булынникова С. П., Белоусова Н. А., Богомякова Е. Д. Новое в био-стратиграфии неокома Западно-Сибирской равнины по фораминиферам//Био-стратиграфия мезозоя Сибири и Дальнего Востока СССР.— Новосибирск: 1986. С. 153—159.

26. Булынникова С. П. Систематический состав комплексов фораминифер вартовской свиты (валанжин, готерив Западной Сибири)//Региональные и местные стратиграфические подразделения для крупномасштабного геологического картирования Сибири.— Новосибирск, 1986.— С. 108—113.

27. Булынникова С. П. Новые виды фораминифер рода *Trochammina* Parker et Jones, 1859 из пограничных отложений юра—мел Сибири//Новые виды древних растений и беспозвоночных фанерозоя Сибири.— Новосибирск, 1987.— С. 24—28.

28. Василенко В. П. Фораминиферы среднеюрских и нижнемеловых отложений мыса Илья и сопки Кожевникова (залив Кожевникова, Хатангская губа)//Сборник статей по геологии Арктики.— Л.— М.: 1954.— С. 48—82.

29. Введение в изучение фораминифер/Под ред. Н. И. Субботиной, Н. А. Волошиной, А. Я. Азбель.— Л.: Недра, 1981.

30. Герке А. А. Фораминиферы пермских, триасовых и лейасовых отложений нефтеносных районов севера Центральной Сибири.— Л.: Гостоптехиздат, 1961.

31. Герке А. А. О некоторых вопросах систематики нодозарий и рода *Paralingulina*//Вопросы микропалеонтологии.— 1969.— Вып. 11.— С. 54—56.

32. Григалис А. А. Фораминиферы юрских отложений Юго-Западной Прибалтики.— Вильнюс: Мокслас, 1985.

33. Даин Л. Г. Об изменчивости некоторых юрских представителей подсемейства *Tolurammininae*//Вопросы микропалеонтологии.— 1966.— Вып. 10.— С. 225—233.
34. Даин Л. Г., Кузнецова К. И. Фораминиферы стратотипа волжского яруса.— М.: Наука, 1976.
35. Даин Л. Г. Новый мезозойский род фораминифер//Палеонтол. журнал, 1978.— № 3.— С. 131—133.
36. Даин Л. Г. Новый позднеюрский хаплофрагмоидес восточного склона Приполярного Урала//Новые роды и виды древних растений и беспозвоночных СССР.— Л.: Недра, 1980.— С. 29.
37. Даин Л. Г. Новая позднеюрская шлейферелла (?) Полярного Урала//Новые роды и виды древних растений и беспозвоночных СССР.— Л.: Недра, 1980.— С. 32.
38. Даин Л. Г. Новая позднеюрская цитиринелла с восточного склона Приполярного Урала//Новые роды и виды древних растений и беспозвоночных СССР.— Л.: Недра, 1980.— С. 75.
39. Даин Л. Г. Новый позднеюрский род канкризиелла из цератобулимид//Новые роды и виды древних растений и беспозвоночных СССР.— Л.: Недра, 1980.— С. 101—102.
40. Даин Л. Г. Новая юрская цератоламаркина Приполярного Урала//Новые роды и виды древних растений и беспозвоночных СССР.— Л.: Недра, 1980.— С. 102—103.
41. Дубровская Н. Ф. О зоне *Trochammina polymera* в отложениях валанжина на севере—западе Тюменского Приуралья.— Л.: Гостоптехиздат, 1962.— С. 68—73.
42. Заспелова В. С. Фораминиферы верхнеюрских и меловых отложений Западно-Сибирской низменности//Микрофауна нефтяных месторождений СССР.— М.—Л.: Гостоптехиздат, 1948.— С. 201—205.
43. Иванова Е. Ф. Новые виды фораминифер из отложений нижнего волжского яруса Хатангской впадины и Северного Таймыра//Фораминиферы мезозоя и кайнозоя Западной Сибири, Таймыра и Дальнего Востока.— М.: Наука, 1967.— С. 5—15.
44. Иванова Е. Ф. Фораминиферы из отложений верхнего волжского яруса Хатангской впадины//Фораминиферы мезозоя и кайнозоя Западной Сибири, Таймыра и Дальнего Востока.— М.: Наука, 1967.— С. 15—25.
45. Иванова Е. Ф. Новые виды фораминифер из отложений волжского и берриасского ярусов севера Сибири.— Новосибирск: Наука, 1970. С. 89—104.
46. Иванова Е. Ф. Фораминиферы из отложений волжского яруса Западной Сибири//Новые данные о микрофауне и микрофлоре Западно-Сибирской равнины.— М.: изд. ВИЭМСа, 1971.— С. 1—5.
47. Иванова Е. Ф. Фораминиферы волжского века бореальных бассейнов СССР.— Новосибирск: Наука, 1973.
48. Казанцев В. П. Материалы к познанию фауны юрских фораминифер промысла Макат Эмба-нефти.— Л.—М.: Главная редакция горно-топливной литературы, 1934 (Тр. НИГРИ, вып. 49).
49. Казанцев В. П. Материалы к познанию фораминифер неокома и юры Эмбенского района.— Л.—М.: Главная ред. горно-топл. литерат., 1936 (Тр. НИГРИ, вып. 56).
50. Комиссаренко В. К. Находки рода *Ammobaculoides* Plummer из верхней юры Западно-Сибирской равнины//Биостратиграфическая характеристика юрских и меловых нефтегазосных отложений Западной Сибири.— Тюмень, 1977.— С. 58—65 (Тр. ЗапСибНИГНИ, вып. 119).
51. Комиссаренко В. К., Тылкина К. Е. Находки батского комплекса фораминифер в тюменской свите.— Тюмень, 1977. (Тр. ЗапСибНИГНИ, вып. 119).
52. Кузина В. И. О внутреннем строении спиральных агглютинированных фораминифер (*Haplophragmoides*, *Discammina*, *Ammoscalaria*, *Trochammi-*

па)//Материалы IV семинара по микрофауне.— М.: Изд. ОНТИ ВИЭМС, 1967.— С. 51—56.

53. Кузина В. И. Фораминиферы из готеривских отложений юго-западной части Западно-Сибирской равнины//Новые данные о микрофауне и микрофлоре Западно-Сибирской равнины.— М.: изд. ВИЭМС, 1971.— С. 15—20.

54. Кузина В. И. Фораминиферы семейства Polymorphinidae СССР.— Л.: Недра, 1976.

55. Кузнецова К. И. Род *Saracenaria* и его представители из верхней юры Русской платформы//Вопросы микропалеонтологии.— 1962.— Вып. 6.— С. 73—90.

56. Кузнецова К. И. Биометрическое изучение раковин *Marginulina robusta* Reuss — основного элемента комплекса зоны *Spivirgatites nikitini* Подмосковного бассейна//Вопросы микропалеонтологии.— 1963.— Вып. 7.— С. 105—125.

57. Кузнецова К. И. Позднеюрские бореальные фораминиферы и их развитие на Русской платформе.— М.: изд. АН СССР, 1965.

58. Кузнецова К. И. О пределах вертикального распространения видов лягенид в юрских отложениях Поволжья//Вопросы микропалеонтологии.— М.: Наука, 1962. С. 107—115.

59. Кузнецова К. И., Уманская Е. Я. Род *Citharinella* Marie и его новые виды из кимериджа Русской платформы. М., Наука, 1970.

60. Лев О. М. Микрофауна ниже-среднеюрских отложений Лено-Оленекского района//Сб. статей по палеонтологии и биостратиграфии.— Л.: 1961, с. 35—72.

61. Левина В. И. О распространении комплекса с *Recurvoides scherkalynensis* в отложениях верхней юры северо-запада Западно-Сибирской низменности//Материалы по палеонтологии и стратиграфии Западной Сибири.— Л.: Гостоптехиздат, 1962.— С. 80—87. (Тр. СНИИГГѳМС, вып. 232).

62. Левина В. И. Фораминиферы продуктивного горизонта Березовского газоясного района//Решения и труды Межведомственного совещания по доработке и уточнению унифицированной и корреляционной стратиграфических схем Западно-Сибирской низменности.— Тюмень, 1970.— С. 145—170.

63. Лутова З. В. Стратиграфия и фораминиферы келловая севера Средней Сибири.— М.: Наука, 1981.

64. Макарьева С. Ф. Фораминиферы юрских отложений Северо-Восточного Кавказа и их стратиграфическое значение.— М.: Наука, 1966.

65. Международный кодекс зоологической номенклатуры, принятой XV Международным геологическим конгрессом.— М.—Л.: Наука, 1966.

66. Митянина И. В. О фораминиферах юрских отложений юго-запада Белоруссии//Палеонтология и стратиграфия БССР.— Минск: изд-во АН БССР, 1955.— С. 108—173.

67. Митянина И. В. Фораминиферы верхнего оксфорда Белоруссии//Палеонтология и стратиграфия БССР.— Минск: изд-во АН БССР, 1963.— С. 122—189.

68. Мятлюк Е. В. Фораминиферы верхнеюрских и нижнемеловых отложений Среднего Поволжья и Общего Сырта.— М.—Л.: ГОНТИ, 1939.

69. Мятлюк Е. В. Фораминиферы юрских отложений нефтяного месторождения Нордвик (Хатангский залив).— Л., 1939.— С. 221—246 (Тр. НИИГА, т. 126).

70. Мятлюк Е. В. Фораминиферы нижнего келловая бассейна р. Карлы Татарской АССР//Микрофауна СССР.— Л., 1959.— С. 393—433 (Тр. ВНИГРИ, нов. сер., вып. 136).

71. Мятлюк Е. В. Описание новых видов фораминифер верхнеюрских и нижнемеловых отложений Русской платформы//Труды Всесоюзного совещания по уточнению унифицированной схемы стратиграфии мезозойских отложений Русской платформы.— Л.: Гостоптехиздат, 1961.— С. 142—164.

72. Мятлюк Е. В. К систематике спирально-плоскостных представителей хаплофрагмоидид (фораминифер)//Новое в систематике фораминифер.— Л., 1971.— С. 18—25 (Тр. ВНИГРИ, вып. 291).

73. Мятлюк Е. В. Готеривские фораминиферы Среднего Поволжья//Микрофауна нефтегазоносных районов СССР.— Л.: изд. ВНИГРИ, 1984.— С. 74—85.

74. Новые виды древних растений и беспозвоночных СССР/А. Я. Азбель, Л. Л. Багдасарян, Е. В. Мятлюк и др.— Л.: Недра, 1973.

75. Новый комплекс фораминифер в нижнем валанжине на Ямале//Проблемы нефти и газа в Тюмени.— Тюмень, 1983.— С. 6—7.

76. Основы палеонтологии: Общая часть. Простейшие.— М.: изд-во АН СССР, 1959.

77. Подобина В. М. Аммодисциды верхнего мела Западно-Сибирской низменности//Фораминиферы мезозоя и кайнозоя Западной Сибири, Таймыра и Дальнего Востока.— М.: Наука, 1967.— С. 69—85.

78. Подобина В. М. Систематика и филогения гаплофрагмиидей.— Томск, 1978.

79. Проблемы систематики спиральных нодозарнид/А. А. Герке, Е. Ф. Иванова, К. И. Кузнецова и др.— Вильнюс: Минтис, 1975.

80. Путря Ф. С. Миллиолиды верхнемеловых и палеогеновых отложений Западно-Сибирской низменности//Материалы по палеонтологии и стратиграфии Западной Сибири.— Л.: Гостоптехиздат, 1961.— С. 29—66.

81. Путря Ф. С. Новые представители миллиолид из верхнеюрских и нижнемеловых отложений Западной Сибири//Геология и геофизика, 1963.— № 4.— С. 104—106.

82. Путря Ф. С. О группе *Recurvoides obskensis* из верхнеюрских и нижнемеловых отложений Западно-Сибирской низменности//Фораминиферы мезозоя и кайнозоя Западной Сибири, Таймыра и Дальнего Востока.— М.: Наука, 1967.— С. 50—56.

83. Путря Ф. С. К познанию юрских лентикулинид Западной Сибири//Палеонтологический журнал, 1970.— № 4.— С. 23—45.

84. Путря Ф. С. Лентикулиниды верхнеюрских отложений Западно-Сибирской низменности.— М.: Недра, 1972.

85. Пяткова Д. М., Пермякова М. Н. Фораминиферы и остракоды юры Украины.— Киев: Наукова Думка, 1978.

86. Региональные стратиграфические схемы мезозойских и кайнозойских отложений Западно-Сибирской равнины.— Тюмень, 1981.

87. Рыгина П. Т. Фораминиферы валанжина Южно-Эмбенского района//Геология, гидрогеология и разработка нефтяных месторождений Западного Казахстана.— М.: Недра, 1971.— С. 198—215.

88. Рылькова Г. Е. Новый вид *Ammodiscus micrus* из валанжинских отложений Западной Сибири//Вопросы биоистратиграфии и детальной корреляции мезозойских и кайнозойских отложений Западно-Сибирской равнины.— Тюмень, 1979.— С. 52—54 (Тр. ЗапСибНИГНИ, вып. 141).

89. Саидова Х. М. Бентосные фораминиферы Тихого океана.— М.: изд. ин-та океанологии АН СССР, 1975.

90. Саидова Х. М. О современном состоянии системы надвидовых таксонов кайнозойских бентосных фораминифер.— М.: изд. ин-та океанологии, 1981.

91. Соколов А. Р. Биоистратиграфическое расчленение и характерные виды фораминифер среднеюрских отложений арктических районов СССР//Стратиграфия и палеонтология мезозойских осадочных бассейнов севера СССР.— Л., 1985.— С. 62—71 (Сб. научн. тр. ПГО «Севморгеология»).

92. Стратиграфия и фауна меловых отложений Западно-Сибирской низменности/В. Т. Балахматова, Р. Х. Липман, В. И. Романова и др.— Л.: изд. ВСЕГЕИ, 1960.

93. Тылкина К. Ф. Представители рода *Citharinella* Marie из кимеридж-волжских отложений Западно-Сибирской равнины//Биостратиграфическая характеристика юрских и меловых нефтегазоносных отложений Западной Сибири.— Тюмень, 1977.— С. 76—82 (Труды ЗапСибНИГНИ, вып. 119).
94. Уманская Е. Я. Фораминиферы нижнего кимериджа Костромской области//Сборник статей по геологии и гидрогеологии.— М.: Недра, 1965. С. 12—17.
95. Уточнения и дополнения к унифицированной стратиграфической схеме нижнемеловых отложений Западно-Сибирской равнины, принятой в 1967 г. (по фораминиферам)/Н. А. Белоусова, Е. Д. Богомякова, С. Т. Киселева, Г. Е. Рылькова//Пути повышения эффективности геологоразведочных работ на нефть и газ в Тюменской области.— Тюмень, 1976.— С. 31 (Тр. ЗапСибНИГНИ, вып. 10).
96. Фораминиферы меловых и палеогеновых отложений Западно-Сибирской низменности/Н. Н. Субботина, Л. С. Алексейчик-Мицкевич, О. Ф. Барановская и др.— Л.: Недра, 1964.
97. Фораминиферы верхнеюрских отложений Западной Сибири/С. П. Булыжникова, Л. Г. Даин, В. Ф. Козырева и др.— Л.: Недра, 1972 (Тр. ВНИГРИ, вып. 317).
98. Фурсенко А. В., Поленова Е. Н. Фораминиферы нижнего волжского яруса Эмбенской области//Геология Эмбенской области.— Л.: Гостоптехиздат, 1950.— С. 14—96 (Тр. ВНИГРИ, нов. сер., вып. 49).
99. Шаровская Н. В. Некоторые новые виды фораминифер из среднеюрских отложений Нордвикского района//Сборник статей по палеонтологии и биостратиграфии.— Л.: изд. НИИГА, 1958.— С. 31—65.
100. Шаровская Н. В. Новые виды деналин, маргнуллин, лентикюлин из среднеюрских отложений Нордвикского района//Сборник статей по палеонтологии и биостратиграфии.— Л.: изд. НИИГА, 1960.— С. 42—65.
101. Шаровская Н. В. Некоторые виды фораминифер из верхнеюрских отложений Нордвикского района//Сборник статей по палеонтологии и биостратиграфии.— Л.: изд. НИИГА, 1961.— С. 33.
102. Шаровская Н. В. Некоторые виды амодиоцид и литуолид из мезозойских отложений севера Центральной Сибири//Уч. зап. НИИГА. Палеонтология и биостратиграфия, 1966.— Вып. 14.— С. 48—74.
103. Шаровская Н. В. Комплексы фораминифер из юрских и нижнемеловых отложений Усть-Енисейского и Турухан-Ермаковского районов//Уч. зап. НИИГА. Палеонтология и биостратиграфия, 1968.— Вып. 23.— С. 106—116.
104. Шохина В. А. Фораминиферы юрских и меловых отложений Горьковской области//Палеонтологический сборник.— Л.—М.: Гостоптехиздат, 1954.— С. 99—117.
105. Яковлева С. П. О находке представителей рода *Riyadhella* Redmond, 1965 в юрских отложениях северных районов СССР//Вопросы микропалеонтологии.— 1973.— Вып. 16.— С. 101—104.
106. Яковлева С. П. О статусе подсемейства *Haplophragmiinae* Cushman, 1927//Вопросы микропалеонтологии.— 1982.— Вып. 25.— С. 92—94.
107. Cushman J. A. Monograph of the Foraminifera of the North Pacific Ocean. Pt. I. Astrorhizidae and Lituolidae.— Washington, 1910, U. S. Nat. Mus. Bull. 71.
108. Cushman J. A. Note sur guelgues Foraminiferes Eurassiques d'Auber-ville (Calvados)//Bull. Soc. Linn. Normandie, 1929.— Ser. 8.— V. 2.— P. 132—135.
109. Cushman J. A. Foraminifera, their classification and economic use. Spec. Publ. Cushman Lab. Foram. Res., N 4, 1933.
110. Haeusler R. Monographie der Foraminiferen-Fauna der schweizerischen Transversarius — Zone, Abh. Schweiz. Pal. Ges. Bd. 17, 1890, pl. XI, fig. 26—27, 37.

111. *Hoglund H.* Foraminifera in the Gulmar Fjord und Skagerak//Zool. Bidrag Upsala, 1947.— V. 26.— P. 3—328.

112. *Loeblich A., Tappan H.* Foraminifera from the Walnut formation (Lower Cretaceous) of northern Texas and Southern Oklahoma//Journ. of Paleontol. 1949.— V. 23.— N 3.— P. 247.

113. *Loeblich A., Tappan H.* Treatise on Invertebrate Paleontology. Pt. C. Protista 2. Sarcodina, chiefly „Thecamebians“ and Foraminiferida//Geol. Sos. Amer. and Univ. Kansas Press, 1964.— C. 3—90.

114. *Maync W.* Critical taxonomic study and nomenclatural revision of the Lituolidae, based upon the prototype of the family Lituola nautiloidea Lamarck, 1804. Contr. Cushman Found. Foram. Pes., 1952.— V. 3.— Pt. 2.— C. 529—547.

115. *Tappan H.* Foraminifera from the Arctic slope of Alaska. Part. 2. Jurassic Foraminifera//U. S. Geol. Survey, Prof. Paper 236-B, 1955.— P. 19—90.

116. *Tappan H.* New Cretaceous index Foraminifera from northern Alaska//U. S. Nat. Mus. Bull., 1957.— V. 215.— P. 201—222.

Приложение 1  
 Региональная стратиграфическая схема верхнеюрских отложений Западно-Сибирской впадины.  
 Унифицированная часть

Общая стратиграфическая шкала			Региональные стратиграфические подразделения			
Ярус	Подъярус	Зона	Местная зона	Слои с бухиями	Зоны и слои с фораминиферами	
Верхний			<i>Chetaites chetae</i>	<i>Buchia unshensis</i>	Зона <i>Ammodiscus veteranus</i> — <i>Evolutina volosatovi</i>	
		<i>Craspedites nodiger</i>	<i>Craspedites taimyrensis</i>			
		<i>Craspedites subditus</i>		<i>Buchia obliqua</i>		
		<i>Kachpurites fulgens</i>	<i>Craspedites okensis</i>	?		
	нижний		<i>Epiovirgatites nikitini</i>	<i>Epilaugeites vogulicus</i>		Зона <i>Spiroplectammina vicinalis</i> — <i>Dorothia tortuosa</i>
				<i>Laugeites groenlandicus</i>		
			<i>Virgatites virgatus</i>   <i>Virgatites rosanovi</i>		<i>Buchia russiensis</i> +	
			<i>Virgatites virgatus</i>	<i>Dorsoplanites maximus</i>	<i>B. mosguensis</i>	

	Волж	Сред	Нижний	Верхний	Нижний
		<i>Dorsoplanites panderi</i> <i>Zaraiskites zarajskensis</i> <i>Paolovia pavlovi</i>	<i>Ilovaiskya pseudoscythica</i> <i>Ilovaiskya sokolovi</i> <i>Ilovaiskya klimovi</i>	<i>Aulacostephanus autisiodorensis</i> <i>Aulacostephanus eudoxus</i> <i>Aulacostephanus mutabilis</i>	<i>Rasenia cymodoce</i> <i>Pictonia baylei</i>
		<i>Dorsoplanites ilovaiskii</i> <i>Paolovia iatriensis</i>	<i>Pectinatites pectinatus</i>		<i>Amoeboceras kitchini</i> <i>Rasenia evoluta</i> <i>Pictonia involuta</i>
				<i>Buchia tenuistriata</i>	<i>Buchia concentrica</i>
				Зона <i>Pseudolamarckina lopsiensis</i>	Зона <i>Labrospira canuiiformis</i> — <i>Cancrisiella ambitiosa</i>
				Слои с <i>Trochammina omskensis</i> — <i>Verneuilinoides graciosus</i>	
			Слои с <i>Pseudolamarckina voliaensis</i>		Слои с <i>Astacolus igrimensis</i> — <i>Darbyella eroiei</i>
			Слои с <i>Tolypammina virgula</i> — <i>Planularia pressula</i>		Слои с <i>Astacolus praesibiriensis</i>

## Продолжение прилож. 1

Общая стратиграфическая шкала			Региональные стратиграфические подразделения				
Ярус	Подъярус	Зона	Местная зона	Слой с бухиями	Зоны и слои с фораминиферами		
Ский	Верхний	<i>Ringsteadia pseudocordata</i>	<i>Amoeboceras ravni</i>	<i>Praebuchia</i> cf. <i>kirghisensis</i>	Слой с <i>Astacolus igri-tensis</i> — <i>Darbyella erdtei</i>	Зона <i>Recurvoides disputabilis</i>	Слой с <i>Glo-mospirella galinae</i>
		<i>Decipia decipiens</i>					
		<i>Perisphinctes cautisnigrae</i>	Слой с <i>Amoeboceras</i> sp. sp.				
	Средний	<i>Gregoriceras transversarium</i>	<i>Larcheria schilli</i>		<i>Cardioceras tenuiserratum</i>		Слой с <i>Ammodiscus pseudoinjimus</i> — <i>Tolyrammina svetlanae</i>
			<i>Perisphinctes parandieri</i>				
		<i>Perisphinctes plicatilis</i>	<i>Perisphinctes antecedens</i>		<i>Cardioceras densiplicatum</i>		
<i>Cardioceras vertebrale</i>							

Келловейский	Оксфорд
<p>Нижний</p> <p><i>Sigaloceras calloviense</i></p> <p><i>Macrocephalites macrocephalus</i></p>	<p>Нижний</p> <p><i>Cardioceras cordatum</i></p> <p><i>Cardioceras percaelatum</i></p> <p><i>Cardioceras bukowski</i></p> <p><i>Quenstedtoceras mariae</i></p>
<p>Средний</p> <p><i>Erymnoceras coronatum</i></p> <p><i>Kosmoceras jason</i></p>	<p>Слон с <i>Cardioceras</i> (<i>Scarburgiceras</i>)</p>
<p>Верхний</p> <p><i>Quenstedtoceras lamberti</i></p> <p><i>Peltoceras athleta</i></p>	<p>Слон с <i>Eboraciceras subordinarium</i></p> <p><i>Longaeviceras keyserlingi</i></p>
<p>Нет бухий</p>	<p><i>Praebuchia orientalis</i></p>
<p>Зона <i>Dorothia insperata</i> — <i>Trochammina rostovzevi</i></p>	<p>Слон с <i>Dorothia insperata</i> — <i>Eo-marssonella paraconica</i></p>
<p>Слон с <i>Ammodiscus uglicus</i></p> <p>Слон с <i>Cribrostomoides? memorabilis</i></p>	<p>Зона <i>Ammobaculites tobolskensis</i> — <i>Trochammina oxfordiana</i></p>

## Региональная стратиграфическая схема нижнемеловых отложений Западно-Сибирской равнины. Унифицированная часть

Общая стратиграфическая шкала			Региональные стратиграфические подразделения		
Ярус	Под-ярус	Зона	Местная зона (лона)	Слой с бужиями	Зоны и слои с фораминиферами
Альбский	Верхний	<i>Stoliczkaia dispar</i>			Зона <i>Vernuilinoides borealis assanoviensis</i>
		<i>Mortoniceras inflatum</i>			
		<i>Diploceras cristatum</i>			
	Средний	<i>Euhoplites lautus</i>			Зона <i>Ammobaculites fragmentarius</i>
		<i>Hoplites dentatus</i>			
	Нижний	<i>Douvilleiceras mammilatum</i>			Слой с <i>Gaudryina tailleuri</i>
<i>Leymeriella tardefurcata</i>					
Ский	Верхний	<i>Diadochoceras nodosocostatum</i>			
		<i>Cheloniceras subnodosocostatum</i>			
		<i>Aconoceras nisus</i>			

	Готеривский	Барремский	Апт
	Нижний	Верхний	Нижний
	<i>Crioceras duvale</i>	Верхний	Верхний
	<i>Speetoniceras versicolor</i>	Нижний	Верхний
	<i>Homolsomites bojarkensis</i>	Верхний	Верхний
	<i>Buchia</i> aff. <i>keyserlingi</i>	Верхний	Верхний
	<i>Subsaynella sayni</i>	Верхний	Верхний
	<i>Pseudoturmannia angulicostata</i>	Верхний	Верхний
	<i>Niklosia pulchella</i>	Верхний	Верхний
	<i>Silesites serranonis</i>	Верхний	Верхний
	<i>Colchidites securiformis</i>	Верхний	Верхний
	<i>Turcmeniceras turcmenicum</i>	Верхний	Верхний
	<i>Deshayesites deshayesi</i>	Верхний	Верхний
	<i>Deshayesites welssi</i> , <i>Procheloniceras albrechti-austriacae</i>	Верхний	Верхний
	?	Верхний	Верхний
	Слой с <i>Trochammina gyroidiniiformis</i>	Верхний	Верхний
	Слой с <i>Trochammina gyroidiniiformis</i> — <i>Acruliammina pseudolonga</i>	Верхний	Верхний
	Слой с <i>Ammodiscus continentalis</i> — <i>Sigmomorphina variabilis</i>	Верхний	Верхний

Общая стратиграфическая шкала			Региональные стратиграфические подразделения				
Ярус	Под-ярус	Зона	Местная зона (лона)		Слои с бухиями	Зоны и слои с форамниферами	
Валацжинский	Верхний	<i>Saynoceras verrucosum</i>	Слой с <i>Dichotomites</i> sp. sp. и <i>Homolsomites</i> sp. sp.		<i>Buchia sublaevis</i>	Слой с <i>Trochammina gyroidiniiformis</i>	Слой с <i>Cribrostomoides infracretaceus</i> — <i>Cribrostomoides? sinuosus</i>
			<i>Prodichotomites ramulosus</i>				
	Нижний	<i>Kilianella roubaudiana</i>	<i>Polyptychites mitchalskii</i>	<i>Amundiptychites sachsi</i>		<i>Buchia keyserlingi</i>	Слой с <i>Trochammina gyroidiniiformis</i>
<i>Temnoptychites insolutus</i>					<i>Buchia inflata</i>	Слой с <i>Valanginitella tatarica</i>	Слой с <i>Orientalis? baccula</i> — <i>Ammodiscus micrus</i>
Берриасский	<i>Fauriella boissieri</i>	<i>Tollia payeri</i>		<i>Buchia volgensis</i>	Слой с <i>Valanginitella tatarica</i>		Слой с <i>Trochammina polymera</i>
		<i>Surites analogus</i>				<i>Buchia okensis</i>	Слой с <i>Gaudryina gerkei</i>
		<i>Hectoroceras kochi</i>					Слой с <i>Trochammina rosaceaformis</i>
		<i>Tirnovella occitanika</i>		<i>Chetaites sibiricus</i>		<i>Buchia unshensis</i>	Слой с <i>Ammodiscus veteranus</i> — <i>Evolutinella volossatovi</i>
<i>Pseudocubplanites grandis</i>						Слой с <i>Ammodiscus continentalis</i> — <i>Sigmomorphina variabilis</i>	

# Объяснения к палеонтологическим таблицам

Принятые обозначения: а, б — вид раковины с боковых сторон, в — с периферического края, г — с устьевой поверхности, д — с проксимального конца.

## Таблица 1

- Фиг. 1. *Saccamina inanis* Gerke et Sossipatrova,  $\times 40$ .  
Экземпляр 2121, ЗапСибНИГНИ. Новопортовская скв. 91, гл. 2697—2708 м. Плинсбах, шеркалинская свита (низ).
- Фиг. 2. *Ammodiscus* ex gr. *uglicus* Ehremeeva,  $\times 52$ .  
Экземпляр СНИИГГиМС. Песчано-Дубровская скв. 1, гл. 1214,5—1219,1 м. Верхний оксфорд, наунакская свита.
- Фиг. 3. *Ammodiscus* ex gr. *asper* (Terquem),  $\times 40$ .  
Экземпляр 2122, ЗапСибНИГНИ. Новопортовская скв. 91, гл. 2697—2708 м. Плинсбах, шеркалинская свита.
- Фиг. 4, 9. *Ammodiscus pseudoinfimus* Gerke et Sossipatrova:  
4 — экземпляр 2159, ЗапСибНИГНИ,  $\times 40$ . Еловая скв. 6, гл. 2912—2920 м. Келловей, васюганская свита. 9 — экземпляр ЗапСибНИГНИ,  $\times 28$ . Обской профиль, скв. 12-КП, гл. 312—320 м. Средний оксфорд, даниловская свита.
- Фиг. 5. *Ammodiscus uglicus* Ehremeeva,  $\times 72$ .  
Голотип 520/5, ВНИГРИ. Приполярный Урал, р. Толья, скв. 155, гл. 194—195 м. Келловей, маурыньинская свита.
- Фиг. 6. *Ammodiscus uglicus* subsp. *ehremeevae* Dain,  $\times 72$ .  
Топотип ВНИГРИ. Приполярный Урал, р. Оторья, скв. 100, гл. 134 м. Келловей — нижний оксфорд, маурыньинская свита.
- Фиг. 7. *Ammodiscus glutaceus* Gerke et Sossipatrova,  $\times 40$ .  
Экземпляр 2134, ЗапСибНИГНИ. Новопортовская скв. 88, гл. 2475—2490 м. Тоар, тогурская пачка.
- Фиг. 8. *Ammodiscus zaspelovae* Kosygeva,  $\times 72$ .  
Голотип 521/9, ВНИГРИ. Елогуйская скв. 1, гл. 1164,9—1194 м. Средний подъярус волжского яруса, яновстанская свита.
- Фиг. 10. *Ammodiscus veteranus* Kosygeva,  $\times 60$ .  
Топотип 443, ЗапСибНИГНИ. Владимирская скв. 3, гл. 1615,7—1619,2 м. Верхний подъярус волжского яруса, даниловская свита.
- Фиг. 11. *Arenoturrspirillina phiala* Kosygeva,  $\times 72$ .  
Голотип 512/3, ВНИГРИ. Татарская скв. 2, гл. 2364—2370 м. Верхний подъярус волжского яруса, марьяновская свита.

Фиг. 12. *Ammodiscoides visendus* Косырева,  $\times 72$ .  
Голотип 521/2, ВНИГРИ. Татарская скв. 2, гл. 2364 м. Верхний подъярус волжского яруса, марьяновская свита.

### Таблица 2

Фиг. 1. *Glomospira gordialis* (Parker et Jones),  $\times 40$ .  
Экземпляр 2120, ЗапСибНИГНИ. Новопортовская скв. 91, гл. 2697—2708 м. Плинсбах, шеркалинская свита (низы).

Фиг. 2, 3. *Glomospirella galinae* Schaurovskaia,  $\times 52$ .  
Экземпляры СНИИГГиМС. Песчано-Дубровская скв. 1, гл. 1214,5—1219,1 м. Верхний оксфорд, наунакская свита.

Фиг. 4. *Glomospirella* ex gr. *galinae* Schaurovskaia,  $\times 60$ .  
Экземпляр 943, ЗапСибНИГНИ. Ятринская скв. 13-Р, обр. 36, гл. 35,2—41,2 м, слой 21. Келловей, маурыньинская свита.

Фиг. 5, 6. *Tolypammina confusa* Dain,  $\times 72$ .  
5—голотип 520/13, 6—топотип; ВНИГРИ. Обская скв. 6, гл. 222—223 м. Верхний оксфорд, даниловская свита.

### Таблица 3

Фиг. 1, 2. *Tolypammina svetlanae* Dain,  $\times 72$ .  
1—голотип 520/2, 2—топотип; ВНИГРИ. Лабитнанги. Средний оксфорд, даниловская свита.

Фиг. 3. *Tolypammina confusa* Dain,  $\times 72$ .  
Там же.

Фиг. 4—6. *Tolypammina virgula* Косырева,  $\times 60$ .  
4—голотип 521/19, ВНИГРИ. Рязкинская скв. 1-Р, гл. 1421—1431 м. 5, 6—экземпляры ВНИГРИ. Покровская скв. 4, гл. 1595,3—1601,4 м. Нижний кимеридж, марьяновская свита.

Фиг. 7. *Glomospira otorica* (Romanova),  $\times 72$ .  
Голотип 520/10, ВНИГРИ. Приполярный Урал, р. Оторья, скв. 117, гл. 85 м. Нижний кимеридж, лопсинская свита.

Фиг. 8. *Ammovertella sincera* Dain,  $\times 72$ .  
Голотип 520/4. ВНИГРИ. Приполярный Урал, водораздел Вольи и Ятрии. Волжский ярус.

Фиг. 9. *Lituotuba igarkaensis* Bulynnikova, sp. nov.,  $\times 52$ .  
Голотип 1—ФБ/12-50, СНИИГГиМС. Игарский профиль, скв. 9, гл. 201,1—206,1 м. Оксфорд, у границы точинской и сиговской свит.

Фиг. 10. *Glomospira oxfordiana* Schaurovskaia,  $\times 60$ .  
Экземпляр 2204, ЗапСибНИГНИ. Вачимская скв. 5, гл. 2745—2749 м. Нижний оксфорд, васюганская свита.

### Таблица 4

Фиг. 1, 2. *Reophax adaptatus* Dain,  $\times 72$ .  
1—голотип 520/7, ВНИГРИ. Обской профиль, скв. 11, гл. 312—200

319 м. 2 — экземпляр ВНИГРИ. Лабитнанги, скв. 12, гл. 244—246 м. Средний подъярус волжского яруса, даниловская свита. Фиг. 3, 4. *Recurvoides anabarensis* Bassov,  $\times 40$ .

3 — экземпляр 2139, ЗапСибНИГНИ. Северо-Толькинская скв. 300, гл. 2780—2797 м. Бат, тюменская свита. 4 — голотип 526/309, ВНИИОкеангеология. Анабарская губа, обн. 128, слой 1. Бат, нижний подъярус.

Фиг. 5, 6. *Recurvoides canningensis* (Tarran),  $\times 40$ .  
Экземпляры 2104, 2128, ЗапСибНИГНИ. 5 — Мало-Тапская скв. 1, гл. 2096—2100 м. Нижний кимеридж, абалакская свита. 6 — Федоровская скв. 97, гл. 2795—2797 м. Келловей, васюганская свита.

Фиг. 7, 8. *Recurvoides scherkalyensis* Levina.  
7 — экземпляр 340,  $\times 60$ , 8 — голотип 406,  $\times 40$ ; ЗапСибНИГНИ. Игримская скв. 114, гл. 1654,5—1657,5 м. Келловей, абалакская свита.

#### Таблица 5

Фиг. 1, 2. *Recurvoides* ex gr. *scherkalyensis* Levina,  $\times 52$ .  
Экземпляры СНИИГГиМС. Резимовская скв. 47, гл. 1600—1606 м. Средний—верхний келловей, абалакская свита.

Фиг. 3—5. *Recurvoides* ? *gryci* (Tarran),  $\times 52$ .  
Экземпляры СНИИГГиМС (контурные рисунки). 3, 4 — Игримская скв. 114, гл. 1654—1657 м. 5 — Резимовская скв. 47, гл. 1600—1606 м. Средний—верхний келловей, абалакская свита.

Фиг. 6. *Recurvoides scherkalyensis* Levina,  $\times 52$ .  
Там же.

#### Таблица 6

Фиг. 1. *Recurvoides scherkalyensis* Levina,  $\times 72$ .  
Экземпляр ВНИГРИ. Тобольская скв. 5, гл. 2176,8—2187 м. Нижний оксфорд, абалакская свита.

Фиг. 2, 3. *Recurvoides eotrochus* Dain,  $\times 72$ .  
— голотип 520/22, 3 — экземпляр; ВНИГРИ. Обской профиль, скв. 6, гл. 227—230 м. Нижний оксфорд, даниловская свита.

Фиг. 4—6. *Recurvoides disputabilis* subsp. *disputabilis* Dain.  
— паратип 520/20а, 5 — голотип 520/20; ВНИГРИ,  $\times 72$ . Обской профиль, скв. 6, гл. 213—218 м. 6 — экземпляр 80, ЗапСибНИГНИ,  $\times 60$ . Обской профиль, скв. 12, гл. 308—310 м. Верхний оксфорд, даниловская свита.

#### Таблица 7

Фиг. 1—6. *Recurvoides disputabilis* subsp. *disputabilis* Dain,  $\times 72$ .

— паратип 520/20в, ВНИГРИ. Обская скв. 6, гл. 213—218 м.  
— паратип 520/20а, ВНИГРИ. 3—6 — паратипы ВНИГРИ. Ла-

бытнанги. 2, 3 — скв. 12, гл. 310—312 м. 4 — скв. 11, гл. 349—356 м; 5, 6 — скв. 12, гл. 212—215 м. Верхний оксфорд, даниловская свита.

#### Таблица 8

Фиг. 1—5. *Recurvoides disputabilis* subsp. *plana* Dain,  $\times 72$ .  
1, 2, 4, 5 — паратипы, 3 — голотип 520/24; ВНИГРИ. Обской профиль. 1—2 — скв. 6, гл. 201—203 м. 3—4 — скв. 11, гл. 341—345 м. 5 — скв. 12, гл. 310—312 м. 1—4 — нижний кимеридж. 5 — верхний кимеридж, даниловская свита.

Фиг. 6—8. *Recurvoides sublustris* Dain,  $\times 72$ .  
6 — голотип 520/23, ВНИГРИ. Приполярный Урал, водораздел Вольи и Ятрии, скв. 257, гл. 82 м. Нижний кимеридж, лопсинская свита. 7 — экземпляр 667, СНИИГГиМС. Покровская скв. 8, гл. 1616—1623 м. Нижний кимеридж, марьяновская свита. 8 — экземпляр 137, ЗапСибНИГНИ. Вяткинская скв. 4-Р, гл. 1739,7—1746,7 м. Верхний оксфорд, даниловская свита.

#### Таблица 9

Фиг. 1. *Recurvoides stschekuriensis* Dain,  $\times 72$ .  
Голотип 520/25, ВНИГРИ. Щекурыйнская скв. 5, гл. 72,8 м. Нижний подъярус волжского яруса, федоровская свита.

Фиг. 2—6. *Recurvoides praeobskiensis* Dain et Bulynnikova,  $\times 52$ .

2, 3 — экземпляры ВНИГРИ. Чуэльская скв. 7, гл. 1595—1599 м. Средний подъярус волжского яруса, тутлеймская свита. 4 — голотип 1-ФБ/13, 5, 6 — плезиотипы 1-ФБ/15, /16; СНИИГГиМС. П-ов Пакса, обн. 32. Верхний подъярус волжского яруса, зона *Craspedites okensis*, паксинская свита.

#### Таблица 10

Фиг. 1, 2. *Recurvoides transitorius* Bulynnikova,  $\times 52$ .  
Экземпляры 1-ФБ/13-19, -18; СНИИГГиМС. П-ов Пакса, обн. 32. Верхний подъярус волжского яруса, паксинская свита.

Фиг. 3. *Recurvoides* ex gr. *disputabilis* Dain,  $\times 52$ .  
Экземпляр СНИИГГиМС. П-ов Пакса, обн. 32. Оксфорд—кимеридж.

Фиг. 4, 5. *Recurvoides ? gryci* (Таррап),  $\times 52$ .  
Экземпляры СНИИГГиМС. Там же.

#### Таблица 11

Фиг. 1. *Recurvoides singularis* Lutova,  $\times 40$ .  
Экземпляр 2183, ЗапСибНИГНИ. Новопортовская скв. 87, гл. 2010—2025 м (0,14 м от верха). Келловой, даниловская свита.

Фиг. 2—9. *Recurvooides ? gryci* (Таррап),  $\times 52$ .

Экземпляры СНИИГГиМС (5, 6—шлифы раковин мегасферического поколения). 2—4, 7—9—Игримская скв. 114, гл. 1654—1657 м; 5, 6—Резимовская скв. 47, гл. 1623—1628 м. Келловей, абалакская свита.

#### Таблица 12

Фиг. 1. *Kutzevella memorabilis* (Scharovskaja),  $\times 40$ .

Экземпляр 507/34, ИГиГ СО АН СССР. Западный берег Анабарской губы, обн. 10, пачка 24. Нижний келловей.

Фиг. 2. *Haplophragmoides magnus* Вулупникова,  $\times 60$ .

Голотип 505, СНИИГГиМС. Нарыкарская скв. 120, гл. 1876—1882 м. Келловей, абалакская свита.

Фиг. 3. *Cribrostomoides ex gr. infracretaceous* (Mjatljuk),  $\times 40$ .

Экземпляр СНИИГГиМС. Вяткинская скв. 4, гл. 1660—1667 м. Волжский ярус, даниловская свита.

Фиг. 4, 5. *Cribrostomoides canui* (Cushman),  $\times 40$ .

4—экземпляр СНИИГГиМС, Вяткинская скв. 4, гл. 1767—1778 м. 5—экземпляр 2160, ЗапСибНИГНИ. Нейтинская скв. 33, гл. 2716—2731 м. Келловей, даниловская свита.

Фиг. 6. *Labrospira canuiiformis* (Dain),  $\times 72$ .

Паратип 520/41а, ВНИГРИ. Приполярный Урал, р. Толья, скв. 159, гл. 159,2—162,2 м. Нижний кимеридж, лопсинская свита.

#### Таблица 13

Фиг. 1. *Cribrostomoides dolininae* Вулупникова,  $\times 52$ .

Экземпляр СНИИГГиМС. Покровская скв. 3-Р, гл. 1538,5—1546,2 м. Верхний подъярус волжского яруса, марьяновская свита.

Фиг. 2. *Haplophragmoides incognitus* Вулупникова, sp. nov.,  $\times 52$ .

Экземпляр СНИИГГиМС. Игримская скв. 114, гл. 1654—1657 м. Оксфорд, абалакская свита.

Фиг. 3, 4. *Cribrostomoides mirandus* Dain,  $\times 72$ .

3—оригинал, 4—голотип 520/30; ВНИГРИ. Лабитнангская скв. 71. 3—гл. 292—297 м. Верхний подъярус волжского яруса (верхняя часть), даниловская свита. 4—гл. 345—349 м. Верхний оксфорд, даниловская свита.

Фиг. 5. *Evolutinella tota* Dain,  $\times 52$ .

Экземпляр СНИИГГиМС. Покровская скв. 8, гл. 1645—1655 м. Кимеридж, марьяновская свита.

Фиг. 6, 7. *Haplophragmoides loeblichii* Dain,  $\times 52$ .

Экземпляры СНИИГГиМС. 6—Покровская скв. 8, гл. 1645—1655 м. Кимеридж, марьяновская свита. 7—Песчано-Дубровская скв. 1, гл. 1214,5—1219,1 м. Оксфорд, наунакская свита.

#### Таблица 14

Фиг. 1—4. *Haplophragmoides incognitus* Bulynnikova, sp. nov.,  $\times 52$ .  
1—голотип 1Б/13-51, 2—4—топотипы 1Б/13-52, -53, -54, СНИИГГиМС. Западно-Пясинская скв. 2, гл. 163,3 м. Оксфорд—кимеридж (?).

#### Таблица 15

Фиг. 1—6. *Labrospira canuiformis* (Dain),  $\times 52$ .  
Экземпляры СНИИГГиМС. Западно-Пясинская скв. 2. 1—5—гл. 159 м, 6—гл. 163,3 м. Кимеридж (?).

#### Таблица 16

Фиг. 1. *Evolutinella* ex gr. *tota* (Dain),  $\times 52$ .  
Экземпляр 1Б/12-63, СНИИГГиМС. Белоярская скв. 1 (на р. Кети), гл. 2227,8—2232,8 м. Нижний кимеридж, георгиевская свита.

Фиг. 2. *Evolutinella* ex gr. *volossatovi* (Schleifer),  $\times 52$ .  
Экземпляр 1Б/12-64, СНИИГГиМС. Половинкинская скв. 100, гл. 1871,5—1875 м. Средний, верхний подъярусы волжского яруса, тутлеймская свита.

Фиг. 3. *Evolutinella* ex gr. *schleiferi* (Scharovskaja),  $\times 52$ .  
Экземпляр СНИИГГиМС. Чуэльская скв. 4-Р, гл. 1643,3—1645 м. Верхний подъярус волжского яруса, тутлеймская свита.

Фиг. 4—8. *Evolutinella volossatovi* (Scharovskaja),  $\times 52$ .  
Экземпляры СНИИГГиМС. П-ов Пакса, обн. 32, паксинская свита. 4—6—верхний подъярус волжского яруса, зона *Craspedites okensis*. 7—возраст тот же, зона *Craspedites taimyrensis*. 8—берриас, зона *Chetaites sibiricus*.

#### Таблица 17

Фиг. 1. *Evolutinella* ex gr. *tota* (Dain),  $\times 52$ .  
Экземпляр СНИИГГиМС. Покровская скв. 8, гл. 1645—1655 м. Кимеридж, марьяновская свита.

Фиг. 2. *Evolutinella schleiferi* (Scharovskaja),  $\times 52$ .  
Плезотиоп 620, СНИИГГиМС. Резимовская скв. 47-Р, гл. 1581—1585 м. Верхний подъярус волжского яруса, тутлеймская свита.

Фиг. 3. *Evolutinella tota* Dain,  $\times 72$ .  
Голотип 520/106, ВНИГРИ. Салехард, скв. 1-КС, гл. 394—395 м. Нижний кимеридж, даниловская свита.

Фиг. 4. *Evolutinella emeljanzevi* (Schleifer),  $\times 72$ .  
Экземпляр ВНИГРИ. Чуэльская скв. 83, гл. 1595—1599 м. Верхний подъярус волжского яруса, тутлеймская свита.

Фиг. 5. *Evolutinella volossatovi* (Schagovskaja),  $\times 40$ .  
Экземпляр 2162, ЗапСибНИГНИ. Эсская скв. 2, гл. 1596,6—1601 м. Верхний подъярус волжского яруса, даниловская свита.

#### Таблица 18

Фиг. 1, 2. *Cribrostomoides* ex gr. *canuiformis* Daip,  $\times 52$ .  
Экземпляры СНИИГГиМС. Игарский профиль, скв. 3-К, гл. 421,1—425,5 м. Волжский ярус, яновстановская свита.

Фиг. 3. *Recurvoides* ex gr. *sublustris* Daip,  $\times 52$ .  
Экземпляр СНИИГГиМС. Вяткинская скв. 4-Р, гл. 1709—1716 м. Кимеридж, марьяновская свита.

Фиг. 4. *Evolutinella emeljanzevi* (Schleifer),  $\times 60$ .  
Экземпляр ВНИГРИ. Чуэльская скв. 83, гл. 1595—1599 м. Верхний подъярус волжского яруса.

Фиг. 5. *Involutina* sp.,  $\times 60$ .  
Экземпляр 520, ВНИГРИ. Обской профиль, скв. 6, гл. 213,5—218,5 м. Верхний оксфорд, даниловская свита.

#### Таблица 19

Фиг. 1. *Ammobaculites* cf. *lobus* Gerke et Sossipatrova,  $\times 40$ .

Экземпляр 2135, ЗапСибНИГНИ. Новопортовская скв. 88, гл. 2475—2490 м. Тоар, шеркалинская свита, тогурская пачка.

Фиг. 2, 4. *Ammobaculites* aff. *fontinensis* Terquem subsp. *rossica* Макарева,  $\times 40$ .

Экземпляры 2138, 2140; ЗапСибНИГНИ. Северо-Толькинская скв. 300, гл. 2780—2797 м. Бат, тюменская свита.

Фиг. 3. *Ammobaculites igrimensis* Bulynnikova et Levina,  $\times 60$ .

Топотип 420, ЗапСибНИГНИ. Игримская скв. 112, гл. 1755,5—1761,5 м. Келловей — нижний оксфорд, абалакская свита.

Фиг. 5. *Ammobaculites tobolskensis* Levina,  $\times 60$ .  
Голотип 583, ЗапСибНИГНИ. Тобольская скв. 3, гл. 2205—2217 м. Нижний оксфорд, абалакская свита.

Фиг. 6. *Ammobaculites pungaensis* Levina, sp. nov.,  $\times 60$ .  
Голотип 909, ЗапСибНИГНИ. Пунгинская скв. 209-Р, гл. 1839,85—1845 м. Нижний оксфорд, абалакская свита.

#### Таблица 20

Фиг. 1, 2. *Ammobaculites pungaensis* Levina, sp. nov.,  $\times 60$ .  
Экземпляры 788, 789; ЗапСибНИГНИ (контурные рисунки). Эсская скв. 1-Р, гл. 1705—1709 м. Келловей, даниловская свита.

Фиг. 3. *Ammobaculites subgracilis* Levina, sp. nov.,  $\times 60$ .  
Экземпляр 338, ЗапСибНИГНИ. Игримская скв. 114, гл. 1654—1657,5 м. Келловей, абалакская свита.

Фиг. 4. *Ammobaculites* aff. *alaskensis* Гаррап,  $\times 72$ .  
Экземпляр 520/67, ВНИГРИ. Обской профиль, скв. 11, гл. 297—305 м. Средний подъярус волжского яруса, даниловская свита.

Фиг. 5. *Ammobaculites borealis* Gerke, in coll.,  $\times 60$ .  
Экземпляр 1009/59, ВНИИОкеангеология. П-ов Нордвик, скв. 497-К, гл. 33,3 м. Келловей.

#### Таблица 21

Фиг. 1—4. *Ammobaculites syndascoensis* Scharovskaja,  $\times 72$ .

1 — плезиотип 520/35, ВНИГРИ. Обской профиль, скв. 6, гл. 227—230 м. Оксфорд, даниловская свита. 2—4 — плезиотипы 520/190, /190а, /190б; ВНИГРИ. Приполярный Урал, р. Щекурья, скв. 5, гл. 192 м. Оксфорд, маурыньинская свита.

Фиг. 5. *Ammobaculites tobolskensis* Levina,  $\times 48$ .  
Паратип 78, ЗапСибНИГНИ. Черкашинская скв. 1, гл. 2325,45—2327,6 м. Нижний оксфорд, абалакская свита.

#### Таблица 22

Фиг. 1, 3—5. *Ammobaculites multiformis* Dain,  $\times 72$ .  
1, 3, 5 — паратипы, 4 — голотип 520/36; ВНИГРИ. Приполярный Урал, р. Толья, скв. 159, гл. 168—171 м. Верхний оксфорд, маурыньинская свита.

Фиг. 2. *Ammobaculites galjerkiniae* (Dain),  $\times 72$ .  
Голотип 520/110, ВНИГРИ. Обской профиль, скв. 11, гл. 292—297 м. Оксфорд, даниловская свита.

#### Таблица 23

Фиг. 1. *Ammobaculites validus* Beljaevskaja,  $\times 72$ .  
Паратип 520/26а, ВНИГРИ. Абалакская скв. 1, гл. 2233—2243 м. Нижний кимеридж, абалакская свита.

Фиг. 2. *Ammobaculites* aff. *alaskensis* Гаррап,  $\times 72$ .  
Экземпляр 520/67, ВНИГРИ. Обской профиль, скв. 11, гл. 297—305 м. Средний подъярус волжского яруса, даниловская свита.

Фиг. 3. *Ammobaculites infravolgensis* Mjatljuk,  $\times 60$ .  
Экземпляр 654, ЗапСибНИГНИ. Усть-Ляпинская скв. 150, гл. 1359,3—1362,3 м. Средний подъярус волжского яруса, федоровская свита.

Фиг. 4. *Ammobaculites haplophragmioides* Furssenko et Poljenova,  $\times 60$ .  
Экземпляр 653, ЗапСибНИГНИ. Там же.

Фиг. 5. *Ammobaculites verus* Dain,  $\times 40$ .  
Экземпляр 2155, ЗапСибНИГНИ. Тагринская скв. 59, гл. 2795—2801 м. Верхний кимеридж, георгиевская свита.

Фиг. 6. *Kutzevella labythnangensis* (Dain),  $\times 40$ .  
Экземпляр 263, ЗапСибНИГНИ. Обской профиль, скв. 12, гл. 278—280 м. Средний подъярус волжского яруса, даниловская свита.

#### Таблица 24

Фиг. 1. *Bulbobaculites taigaensis* Levina, sp. nov.,  $\times 60$ .  
Голотип 428, ЗапСибНИГНИ. Игримская скв. 114, гл. 1654,5—1657,5 м. Келловей — нижний оксфорд, абалакская свита.

Фиг. 2. *Bulbobaculites praeelongatum* Levina, sp. nov.,  $\times 60$ .

Голотип 2173, ЗапСибНИГНИ. Пунгинская скв. 520, гл. 1762,3—1766,3 м. Келловей, абалакская свита.

Фиг. 3—7. *Bulbobaculites pokrovkaensis* (Kosyugova).  
3 — топотип ВНИГРИ,  $\times 80$ . Покровская скв. 4, гл. 1595,34—1601,49 м. Нижний кимеридж, марьяновская свита. 4—7 — экземпляры ВНИГРИ,  $\times 40$ . Лабитнанги. 4, 5 — скв. 11, гл. 349,95—355,75 м. 6, 7 — скв. 24, гл. 1182—1201 м. Верхний оксфорд, даниловская свита.

Фиг. 8—10. *Bulbobaculites elongatum* (Dain).  
8 — экземпляр 1050, ЗапСибНИГНИ,  $\times 40$ . Даниловская скв. 80, гл. 1703—1707,1 м. 9 — экземпляр 236, ЗапСибНИГНИ,  $\times 60$ . Обской профиль, скв. 11, гл. 314,6—316,6 м. 10 — плезиотип ВНИГРИ,  $\times 72$ . Лабитнанги, скв. 24, гл. 1124—1134 м. Средний подъярус волжского яруса, даниловская свита.

#### Таблица 25

Фиг. 1—12. *Ammobaculoides primoris* Komissagenko.  
1 — голотип 1158, ЗапСибНИГНИ,  $\times 40$ . Даниловская скв. 106, гл. 1830,65—1834,15 м. Нижний оксфорд, даниловская свита. 2—8, 10, 11 — паратипы 1244, 1245, 1246, 1247, 1248, 1249, 1251, 1252, 1250 (в глицерине, в проходящем свете); ЗапСибНИГНИ,  $\times 60$ . Малотапская скв. 3, гл. 2121—2129 м. Нижний оксфорд, абалакская свита. 9, 12 — паратипы 1242 (шлиф), 1253 (в проходящем свете); ЗапСибНИГНИ,  $\times 60$ . Пунгинская скв. 520; 9 — гл. 1755,85—1759,35 м; 12 — гл. 1759,3—1762,3 м. Келловей — нижний оксфорд, абалакская свита.

Фиг. 13, 14. *Ammobaculoides spiroplectaminaeformis* Komissagenko,  $\times 60$ .

13 — голотип 1254, ЗапСибНИГНИ. Даниловская скв. 100, гл. 1769,9—1773,1 м. Нижний оксфорд, даниловская свита. 14 — паратип 1243 (шлиф), ЗапСибНИГНИ. Малотапская скв. 3, гл. 2121—2129 м. Нижний оксфорд, абалакская свита.

Фиг. 15—25. *Ammobaculoides instabilis* Komissagenko,  $\times 40$ .

15, 16 — паратипы 1155, 1156; ЗапСибНИГНИ. Весенняя скв. 320, гл. 1790,05—1795,30 м. 17 — голотип 2003, ЗапСибНИГНИ,

Кулыньгольская скв. 2, гл. 2314—2318 м. 15—16 — кимеридж — волжский ярус, абалакская свита. 18—25 — паратипы 2007, 2010, 2009, 2011, 2004, 2005, 2006, 2008 (в проходящем свете); ЗапСибНИГНИ. Кулыньгольская скв. 2, гл. 2314—2318 м. 17—25 — кимеридж, георгиевская свита.

#### Таблица 26

Фиг. 1—3. *Spiroplectamina tobolskensis* Beljaevskaja et Komissarenko.

1, 3 — экземпляры 806 и 807; ЗапСибНИГНИ,  $\times 60$ . Черкашинская скв. 1, гл. 2318,45—2325,45 м. 2 — голотип 520/129, ВНИГРИ,  $\times 72$ . Тобольская скв. 5, гл. 2176—2187 м. Верхний оксфорд, абалакская свита.

Фиг. 4—14. *Spiroplectamina suprajurassica* Kosygeva.

4, 5 — экземпляры ВНИГРИ,  $\times 72$ . Обской профиль, скв. 11, гл. 341—345 м. Нижний кимеридж, даниловская свита. 6, 9, 11 — паратипы ПГО «Новосибирскгеология»,  $\times 60$ . Омская скв. 1, гл. 2382 м. 7 — голотип 521/127 (в проходящем свете), ВНИГРИ,  $\times 72$ . 8, 10 — паратипы ВНИГРИ,  $\times 60$ . Татарская скв. 2, гл. 2465—2467 м. 12, 14 — паратипы ПГО «Новосибирскгеология»,  $\times 80$ . Татарская скв. 2, гл. 2445—2451 м. 13 — оригинал ВНИГРИ,  $\times 72$ . Приполярный Урал, водораздел Вольи и Ятри, скв. 257. Кимеридж, марьяновская свита.

#### Таблица 27

Фиг. 1—6. *Spiroplectamina paravicalinalis* Da in,  $\times 72$ .

1 — паратип 520/128, ВНИГРИ. 2—6 — экземпляры ВНИГРИ. Лабьтнанги, скв. 12. 1—4 — гл. 242—244 м; 5, 6 — гл. 244—248 м. Волжский ярус, даниловская свита.

Фиг. 7—9. *Spiroplectamina vicalinalis* Da in.

7 — экземпляр 520/128,  $\times 72$ ; 8 — экземпляр ВНИГРИ,  $\times 72$ . Лабьтнанги, скв. 11, гл. 297—305 м. 9 — плезиотип 800, ЗапСибНИГНИ,  $\times 60$ . Усть-Ляпинская скв. 150-Р, гл. 1362,3—1366,5 м. Средний подъярус волжского яруса, даниловская свита.

#### Таблица 28

Фиг. 1, 2. *Spiroplectamina vicalinalis* Da in.

1 — экземпляр 552, ЗапСибНИГНИ,  $\times 60$ . Половинкинская скв. 100, гл. 1889,15—1892,95 м. Кимеридж, абалакская свита. 2 — паратип 521/129, ВНИГРИ,  $\times 72$ . Лабьтнанги, скв. 11, гл. 297—305 м. Средний подъярус волжского яруса, даниловская свита.

Фиг. 3. *Textularia* aff. *gibbosa* d'Orbigny,  $\times 40$ .

Экземпляр 2123, ЗапСибНИГНИ. Новопортовская скв. 91, гл. 2697—2708 м. Плинсбах, шеркалинская свита.

Фиг. 4—6. *Textularia* ex gr. *areoplecta* Tarraп,  $\times 40$ .

Экземпляры 2168, 2165 и 2124; ЗапСибНИГНИ. Новопортовская скв. 146, гл. 2558—2563 м. Плинсбах, шеркалинская свита.

Фиг. 7, 8. *Textularia kisselmanae* Komissarenko, sp. nov.,  $\times 40$ .

7 — голотип 1048, ЗапСибНИГНИ. 8, 8а — экземпляры ЗапСибНИГНИ (зарисовки в проходящем свете). Даниловская скв. 85, гл. 1744,6—1748,2 м. Верхний оксфорд, даниловская свита.

Фиг. 9—11. *Pseudobolivina acutata* Komissarenko, sp. nov.,  $\times 40$ .

9, 10 — экземпляры 1054, 1053; ЗапСибНИГНИ. 9 — Даниловская скв. 96, гл. 1838,2—1841 м. 10 — Даниловская скв. 83, гл. 1833,3—1735,0 м. Кимеридж, даниловская свита. 11 — голотип 564, ЗапСибНИГНИ. Половинкинская скв. 100, гл. 1889,4—1892,9 м. Кимеридж, абалакская свита.

Фиг. 12. *Pseudobolivina tortusa* Komissarenko, sp. nov.,  $\times 40$ .

Голотип 1160, ЗапСибНИГНИ. Северо-Игримская скв. 225, гл. 1634,4—1636,75 м. Средний подъярус волжского яруса, тутлеймская свита.

#### Таблица 29

Фиг. 1—3. *Trochammina inusitata* Schleifer,  $\times 40$ .

Экземпляры 2167, 2119 и 2118; ЗапСибНИГНИ. 1 — Новопортовская скв. 146, гл. 2558—2564 м. 2, 3 — Новопортовская скв. 91, гл. 2697—2708 м. Плинсбах, шеркалинская свита.

Фиг. 4, 6, 7. *Trochammina rostouzevi* subsp. *rostouzevi* Levina,  $\times 60$ .

4 — голотип 419, 6 — топотип 898, 7 — паратип 684; ЗапСибНИГНИ. 4, 6 — Игримская скв. 114, гл. 1654,7—1657,5 м. 7 — Шеркалинская скв. 135, гл. 2197—2207 м. Келловой, абалакская свита.

Фиг. 5. *Trochammina rostouzevi* subsp. *lobata* Levina, in coll.,  $\times 60$ .

Экземпляр 888, ЗапСибНИГНИ. Пунгинская скв. 212, гл. 1755,5—1761,4 м. Нижний оксфорд, абалакская свита.

Фиг. 8. *Trochammina kosyrevae* Levina,  $\times 60$ .

Голотип 682, ЗапСибНИГНИ. Эсская скв. 1, гл. 1697,4—1698,9 м. Нижний оксфорд, даниловская свита.

#### Таблица 30

Фиг. 1. *Trochammina rostouzevi* Levina,  $\times 60$ .

Экземпляр 975, ЗапСибНИГНИ. Анеевская скв. 220, гл. 1574—1580,5 м. Средний оксфорд, абалакская свита.

Фиг. 2, 3, 10. *Trochammina* ex gr. *oxfordiana* Schagovskaja.

2 — экземпляр ВНИГРИ,  $\times 72$ . Лабытнанги, скв. 12, гл. 312—320 м. Оксфорд, даниловская свита. 3 — экземпляр ВНИИОкеангеология,  $\times 60$ . Сындыско, скв. 201, гл. 639,1 м. Оксфорд.

10 — экземпляр ВНИГРИ,  $\times 60$ . Обской профиль, скв. 11, гл. 352—355 м. Верхний оксфорд, даниловская свита.

Фиг. 4—9. *Trochammina kumaensis* Levina.

4 — экземпляр ВНИГРИ,  $\times 72$ . Обской профиль, скв. 6, гл. 227—230 м. Оксфорд, даниловская свита. 5—9 — паратипы 779, 830, 887, 888. ЗапСибНИГНИ,  $\times 60$ . 5, 6 — Елизаровская скв. 25, гл. 2458—2462 м. 7—9 — Пунгинская скв. 212, гл. 1755,65—1761,4 м. Средний оксфорд, абалакская свита.

Фиг. 11—13. *Trochammina minutissima* Dain,  $\times 72$ .

11, 13 — топотипы, 12 — голотип 520/15, ВНИГРИ. Приполярный Урал, р. Толья, скв. 159, гл. 168—171 м. Верхний оксфорд, маурынская свита.

### Таблица 31

Фиг. 1, 2. *Trochammina omskensis* Kosygeva,  $\times 60$ .

Экземпляры 891, 878, ЗапСибНИГНИ. 1 — Карабашская скв. 3, гл. 1855,55—1859,05 м. 2 — Эсская скв. 1, гл. 1672,25—1675,6 м. Кимеридж, даниловская свита.

Фиг. 3—9. *Trochammina taboryensis* Levina.

3—7 — экземпляры ВНИГРИ,  $\times 72$ . Приполярный Урал, р. Толья, скв. 282, гл. 149,5 м. Нижний кимеридж, лопсинская свита. 8 — экземпляр ВНИГРИ,  $\times 50$ . Обской профиль, скв. 12, гл. 304—305 м. Верхний кимеридж, даниловская свита. 9 — экземпляр 876, ЗапСибНИГНИ. Покровская скв. 4, гл. 1595,3—1601,5 м. Нижний кимеридж, марьяновская свита.

### Таблица 32

Фиг. 1—3. *Trochammina taboryensis* Levina,  $\times 60$ .

1 — экземпляр 798, 2 — голотип 905, 3 — топотип 415; ЗапСибНИГНИ. 1 — Покровская скв. 4, гл. 1587,8—1591,8 м (середина). Нижний кимеридж, марьяновская свита. 2, 3 — Таборинская скв. 1, гл. 1243,2—1250,2 м (верх). Нижний кимеридж, даниловская свита.

Фиг. 4—8. *Trochammina kumaensis* Levina,  $\times 60$ .

4 — паратип 879, ЗапСибНИГНИ. Покровская скв. 4-Р, гл. 1587,9—1591,2 м (середина). Нижний кимеридж, марьяновская свита. 5 — голотип 890, ЗапСибНИГНИ. Карабашская скв. 3-Р, гл. 1848,75—1852,15 м (верх). Верхний кимеридж, даниловская свита. 6—8 — топотипы 897, 899 и 900; ЗапСибНИГНИ. 6 — Карабашская скв. 3-Р, гл. 1852,15—1855,55 (низ). 7, 8 — Эсская скв. 1-Р, гл. 1672,25—1675,6 м (низ). Нижний кимеридж, даниловская свита.

Фиг. 9. *Trochammina* ex gr. *kumaensis* Levina,  $\times 60$ .

Экземпляр 874, ЗапСибНИГНИ. Усть-Ляпино, скв. 150-Р, гл. 1362,3—1366,15 м (середина). Средний подъярус волжского яруса, даниловская свита.

### Таблица 33

Фиг. 1. *Trochammina kumaensis* Levina,  $\times 60$ .  
Экземпляр 873, ЗапСибНИГНИ. Ханлызинская скв. 342, гл. 1731,45—1746 м (2 м от низа интервала). Средний подъярус волжского яруса, даниловская свита.

Фиг. 2—5. *Trochammina quinquelocularis* Dain,  $\times 72$ .  
2 — голотип 520/52, ВНИГРИ. Приполярный Урал, р. Толья, скв. 159, гл. 159—162 м. Нижний кимеридж, лопсинская свита.  
3—5 — экземпляры ВНИГРИ. 3 — Обской профиль, скв. 12-КП, гл. 304—305 м. Нижний кимеридж, даниловская свита. 4, 5 — профиль Щекурья—Саранпауль, скв. 5-КП, гл. 192 м. Верхний оксфорд — нижний кимеридж, верхи маурыньинской — низы лопсинской свит.

Фиг. 6. *Trochammina minutissima* Dain,  $\times 102$ .  
Паратип 520/15а, ВНИГРИ. Обской профиль, скв. 6, гл. 194—200 м. Нижний кимеридж, даниловская свита.

Фиг. 7—9. *Trochammina quinquelocularis* Dain,  $\times 60$ .  
7 — экземпляр ВНИГРИ. Приполярный Урал, р. Щекурья, скв. 5, гл. 192 м. Верхний оксфорд — нижний кимеридж. 8, 9 — экземпляры 82, 262; ЗапСибНИГНИ. 8 — Обской профиль, скв. 12-КП, гл. 292—293 м. Кимеридж, даниловская свита. 9 — Кунжальское поднятие, скв. 19-ПР, гл. 751,6—754,3 м. Волжский ярус, даниловская свита.

Фиг. 10. *Trochammina septentrionalis* Scharovskaja,  $\times 60$ .  
Экземпляр 828, ЗапСибНИГНИ. Шугинская скв. 2, гл. 1981,3—1984,9 м. Нижний подъярус волжского яруса, даниловская свита.

### Таблица 34

Фиг. 1. *Trochammina septentrionalis* Scharovskaja,  $\times 60$ .  
Плезеотип 870, ЗапСибНИГНИ. Эсская скв. 2, гл. 1621,45—1625 м (0,8 м от низа). Средний подъярус волжского яруса, даниловская свита.

Фиг. 2. *Trochammina elevata* Kosygeva,  $\times 60$ .  
Паратип 796, ЗапСибНИГНИ. Тюменская опорная скв. 1, гл. 1393—1401 м (верх). Нижний кимеридж, даниловская свита.

Фиг. 3—5. *Trochammina annae* Levina,  $\times 60$ .  
3, 4 — топотипы 902, 901; ЗапСибНИГНИ. Карабашская скв. 3, гл. 1845,35—1848,75 м (середина). Верхний кимеридж, даниловская свита. 5 — паратип 261, ЗапСибНИГНИ. Кунжальское поднятие, скв. 19-ПР, гл. 751,65—754,3 м. Средний подъярус волжского яруса, даниловская свита.

Фиг. 6. *Trochammina rosacea* Zaspelova,  $\times 60$ .  
Экземпляр 444, ЗапСибНИГНИ. Владимирская скв. 3, гл. 1615,7—1619,2 м. Верхний подъярус волжского яруса, даниловская свита.

Фиг. 7—9. *Trochammina composita* Булупникова,  $\times 60$ . Экземпляры 892, 893 и 869; ЗапСибНИГНИ. 7, 8—Эсская скв. 4, гл. 1598 м. 9—Эсская скв. 2, гл. 1609,25—1613,25 м (1,5 м от верха). Верхний подъярус волжского яруса, даниловская свита.

Фиг. 10—12. *Trochammina* ex gr. *annae* Levina,  $\times 52$ . Экземпляры СНИИГГиМС. Покровская скв. 7, гл. 1550,2—1555,9 м. Верхний подъярус волжского яруса, марьяновская свита.

#### Таблица 35

Фиг. 1—5. *Trochammina misinovi* Levina,  $\times 60$ . 1—голотип 445, 2—4—топотипы 872, 871 и 903; ЗапСибНИГНИ. Мулымьинская скв. 10, гл. 1510—1513,9 м. 5—паратип 895, ЗапСибНИГНИ (5в—контур раковины со стороны периферического края). Эсская скв. 4, гл. 1598 м. Верхний подъярус волжского яруса, мулымьинская свита.

#### Таблица 36

Фиг. 1, 2. *Trochammina misinovi* Levina,  $\times 60$ . Экземпляры 908, 875; ЗапСибНИГНИ. 1—Мортымьинская скв. 140, гл. 1552,6—1556,1 м (1 м от верха). Верхний подъярус волжского яруса, мулымьинская свита. 2—Ляпинская скв. 150, гл. 1362,3—1366,15 м. Средний подъярус волжского яруса, даниловская свита.

Фиг. 3—5. *Trochammina kondaensis* Levina,  $\times 60$ . 3—голотип 868, 4, 5—паратипы 894, 867; ЗапСибНИГНИ. 3—Эсская скв. 4, гл. 1590,2—1593,5 м (середина). 4—Эсская скв. 4, гл. 1598 м. 5—Эсская скв. 2, гл. 1588,65—1592,65 м. Верхний подъярус волжского яруса, даниловская свита.

#### Таблица 37

Фиг. 1. *Riyadella* ? aff. *sibirica* (Mjatliuk),  $\times 60$ . Экземпляр 11, ПГО «Новосибирскгеология». Локосовская скв. 1, гл. 2778,7—2784 м. Келловей, васюганская свита.

Фиг. 2, 3. *Dorothia insperata* (Булупникова). 2—топотип 713, ЗапСибНИГНИ,  $\times 60$ . Пунгинская скв. 212, гл. 1763,05—1766,05 м. Келловей, абалакская свита. 3—экземпляр 1057, ЗапСибНИГНИ,  $\times 40$ . Даниловская скв. 80, гл. 1782—1786 м. Келловей, даниловская свита.

Фиг. 4—11. *Dorothia tortuosa* Dain et Komissagenko. 4, 5, 7—экземпляры ВНИГРИ,  $\times 72$ . Обской профиль, скв. 11, гл. 285—292 м. Верхний среднего подъяруса волжского яруса, даниловская свита. 6—голотип 520/61, ВНИГРИ,  $\times 72$ . Там же, гл. 297—305 м. 8, 9—экземпляры 679, 696; ЗапСибНИГНИ,  $\times 60$ . 8—Половинкинская скв. 103, гл. 1902,8—1906,3 м. 9—Окуневская скв. 50, гл. 1583,2—1586,7 м (0,8 м от верха). Сред-

ний подъярус волжского яруса, мулымьинская свита. 10 — экземпляр 521, ВНИГРИ,  $\times 60$ . Анеевская скв. 220, гл. 1565—1568,3 м (низ). Средний подъярус волжского яруса, тутлеймская свита. 11 — экземпляр 85, ЗапСибНИГНИ,  $\times 60$ . Обской профиль, скв. 12-КП, гл. 245,4—247,4 м. Средний подъярус волжского яруса, даниловская свита.

#### Таблица 38

Фиг. 1—7. *Eomarssonella paraconica* Le vina.

1 — топотип 423, 2 — паратип 577, ЗапСибНИГНИ,  $\times 60$ . 1 — Игримская скв. 114, гл. 1654,5—1657,5 (середина). 2 — Чуэльская скв. 9, гл. 1636,6—1641,9 м. 3—6 — экземпляры 906, 87, 475, 907; ЗапСибНИГНИ,  $\times 60$ . 3 — Пунгинская скв. 209, гл. 1839,65—1845 м (середина). 4 — Тобольская скв. 3, гл. 2205—2217 м. 5 — Игримская скв. 225, гл. 1646,35—1649,05 м (0,2 м от верха). 6 — Пунгинская скв. 209, гл. 1839,65—1845 м (середина). Нижний оксфорд, абалакская свита. 7 — экземпляр 414, ЗапСибНИГНИ,  $\times 68$ . Игримская скв. 115, гл. 1643—1647 м. Келловей — нижний оксфорд, абалакская свита.

#### Таблица 39

Фиг. 1. *Verneuilina* ex gr. *pudica* Schleifer,  $\times 40$ .

Экземпляр 2166, ЗапСибНИГНИ. Новопортовская скв. 146, гл. 2558—2564 м (1,4 м от верха). Плинсбах, шеркалинская свита.

Фиг. 2—4. *Verneuilinoidea graciosa* Косугева.

2 — голотип 521/13, ВНИГРИ,  $\times 80$ . Омская скв. 1, гл. 2382 м. Нижний кимеридж, георгиевская свита, 3, 4 — экземпляры 520/134а, 520/134; ВНИГРИ,  $\times 75$ . Обской профиль, скв. 6, гл. 194—200 м. Нижний кимеридж, даниловская свита.

Фиг. 5—10. *Verneuilinoidea postgraciosa* Комиссаренко.

5—7 — экземпляры 562, 563 и 554; ЗапСибНИГНИ,  $\times 60$ . 5, 6 — Ахтым-Турская скв. 204, гл. 1600,9—1603,94 м (верх). 7 — Половинкинская скв. 100, гл. 1889,45—1892,95 м (0,15 м от верха). Верхний кимеридж, абалакская свита. 8 — голотип 805, 9 — топотип 553; ЗапСибНИГНИ,  $\times 60$ . Половинкинская скв. 100, гл. 1889,45—1892,95 м. Возраст тот же. 10 — экземпляр 2156, ЗапСибНИГНИ,  $\times 40$ . Тагринская скв. 59, гл. 2795—2801 м. Верхний кимеридж, георгиевская свита.

Фиг. 11. *Miliammina* aff. *tjatljukae* Da in,  $\times 40$ .

Экземпляр 2141, ЗапСибНИГНИ. Северо-Толькинская скв. 300, гл. 2780—2797 м. Бат, тюменская свита.

#### Таблица 40

Фиг. 1—3. *Nodosaria tenuitheca* Da in.

1 — голотип 520/125, ВНИГРИ,  $\times 72$ . Приполярный Урал, р. Щекурья, скв. 5, гл. 117 м. Верхний кимеридж, лопсинская свита.

2, 3 — экземпляры 2196, 2197; ЗапСибНИГНИ,  $\times 60$ . 2 — Ятринская скв. 13-Р, гл. 5,6—9,7 м. Кимеридж, лопсинская свита. 3 — Ермаковская скв. 2, гл. 770—776 м. Верхний кимеридж, яновстанская свита.

Фиг. 4, 5. *Nodosaria crassa* Tyłkina, sp. nov.

4 — голотип 2174, ЗапСибНИГНИ,  $\times 50$ . Половинкинская скв. 103, гл. 1902—1906 м. Средний подъярус волжского яруса, тутлеймская свита. 5 — экземпляр 2175, ЗапСибНИГНИ,  $\times 40$ . Ятринская скв. 13-Р, гл. 5,6—9,7 м. Кимеридж, лопсинская свита.

Фиг. 6, 7, 14. *Nodosaria invidiosa* Bassov,  $\times 60$ .

Экземпляры 2176, 2177, 2198; ЗапСибНИГНИ. 6 — Половинкинская скв. 103, гл. 1906—1909 м. 7, 14 — Комсомольская скв. 318, гл. 1776,6—1782,6 м. Верхний кимеридж, абалакская свита.

Фиг. 8—12. *Nodosaria pseudohypsidea* Gerke.

8—10 — экземпляры К-65, 2199 и 2200; ЗапСибНИГНИ,  $\times 75$ . Ялбыньинская скв. 169, гл. 1320—1327 м. Верхний кимеридж, абалакская свита. 11, 12 — экземпляры 2201, 2202; ЗапСибНИГНИ,  $\times 60$ . Средне-Мулымьинская скв. 151, гл. 1735—1739 м. Верхний кимеридж, абалакская свита.

Фиг. 13. *Nodosaria semiornata* Furszenko et Polenova,  $\times 60$ .

Экземпляр 546, ЗапСибНИГНИ. Шухтунгортская скв. 303, гл. 1780—1785 м. Верхний кимеридж, абалакская свита.

#### Таблица 41

Фиг. 1, 8—11. *Pseudonodosaria tutkowskii* (Mjatliuk).

1 — экземпляр 141, ЗапСибНИГНИ,  $\times 40$ . Вяткинская скв. 4, гл. 1739—1746 м. Верхний оксфорд, даниловская свита. 8, 9 — экземпляры ВНИГРИ,  $\times 60$ . Шухтунгортская скв. 303, гл. 1785—1792 м. Кимеридж, абалакская свита. 10 — экземпляр 521/93, ВНИГРИ,  $\times 60$ . Профиль Щекурья—Саранпауль, скв. 5, гл. 135—140 м. Кимеридж, лопсинская свита. 11 — экземпляр 520/93, ВНИГРИ,  $\times 72$ . Приполярный Урал, р. Толья, скв. 92, гл. 71 м. Верхний кимеридж, лопсинская свита.

Фиг. 2—7. *Pseudonodosaria brandi* (Tarran).

2 — экземпляр 429, ЗапСибНИГНИ,  $\times 60$ . Пунгинская скв. 211, гл. 1874,2—1877,9 м (0,9 м от верха). Келловой — нижний оксфорд, абалакская свита. 3, 4 — экземпляры 520/92, /92а; ВНИГРИ,  $\times 72$ . Профиль Щекурья—Саранпауль, скв. 5, гл. 134,8—149,8 м. Верхняя часть нижнего кимериджа. 5, 6 — экземпляры 521/98, /98а; ВНИГРИ,  $\times 60$ . Ермаковская скв. 2 (Красноярский край), гл. 855—861 м. Верхний оксфорд, сиговская свита. 7 — экземпляр ВНИГРИ (молодая раковина),  $\times 60$ . Профиль Щекурья—Саранпауль, скв. 5, гл. 150,6—154,5 м. Верхний оксфорд, маурыннинская свита.

#### Таблица 42

Фиг. 1—4. *Lagena pseudosulcata* D a i n,  $\times 60$ .  
Экземпляры 2186, 2187, 2188, 2189; ЗапСибНИГНИ. 1, 2 — Половинкинская скв. 103, гл. 1913—1917 м. 4 — Пунгинская скв. 212, гл. 1745—1748 м. Верхний кимеридж, абалакская свита. 3 — Ятринская скв. 13, гл. 5,6—9,7 м. Верхний кимеридж, лопсинская свита.

Фиг. 5, 6. *Vojarakaella firma* B a s s o v,  $\times 50$ .  
Экземпляры 2190, 2191; ЗапСибНИГНИ. Шухтунгортская скв. 303, гл. 1780—1785 м. Кимеридж, абалакская свита.

Фиг. 7—9. *Vojarakaella costata* B a s s o v,  $\times 60$ .  
Экземпляры 2194, 2192 и 2193; ЗапСибНИГНИ. Ляпинская скв. 150, гл. 1398—1404 м. Кимеридж, даниловская свита.

Фиг. 10. *Lingulina ustremica* (L e v i n a),  $\times 60$ .  
Голотип 941, ЗапСибНИГНИ. Березовская скв. 13, гл. 1283—1284 м. Оксфорд — кимеридж, вогулкинская толща.

Фиг. 11—15. *Ichtyolaria antiqua* T y l k i n a, sp. nov.,  $\times 60$ .  
11—13, 15 — экземпляры 2185, 2184, 2178, 655; ЗапСибНИГНИ. 11 — Убинская скв. 304, гл. 1871—1874 м. 12 — Убинская скв. 338, гл. 1848—1852 м. 13 — Больше-Каменная скв. 144, гл. 2303—2312 м. 15 — Нарыкарская скв. 120, гл. 1876—1882 м. Келловей, абалакская свита. 14 — экземпляр 2179, ЗапСибНИГНИ. Новогодняя скв. 63, гл. 2613—2617 м. Келловей, васюганская свита.

#### Таблица 43

Фиг. 1, 2. *Ichtyolaria* sp.,  $\times 60$ .  
Экземпляры 2180, 2181; ЗапСибНИГНИ. 1 — Убинская скв. 338, гл. 1848—1852 м. Келловей, абалакская свита. 2 — Новопортовская скв. 71, гл. 2138—2143 м. Келловей, даниловская свита.

Фиг. 3—6. *Ichtyolaria suprajurensis* (M j a t l i u k).  
3—5 — экземпляры 492 ( $\times 60$ ) 491 ( $\times 60$ ), 517 ( $\times 40$ ); ЗапСибНИГНИ. Южно-Игримская скв. 116, гл. 1630—1638 м. Оксфорд, вогулкинская толща. 6 — экземпляр 2182, ЗапСибНИГНИ,  $\times 60$ . Новопортовская скв. 71, гл. 2138—2143 м. Келловей, даниловская свита.

Фиг. 7—9. *Ichtyolaria tjumenica* T y l k i n a.  
7, 8 — экземпляры 2195, 605; ЗапСибНИГНИ,  $\times 60$ . 7 — Восточный Таймыр, р. Подкаменная Тунгуска, обн. 43 (43 П). Верхний кимеридж. 8 — Мулымьинская скв. 4, гл. 1508—1512 м. Средний подъярус волжского яруса, мулымьинская свита. 9 — экземпляр К/7, ЗапСибНИГНИ,  $\times 50$ . Кондинская скв. 27, гл. 1821—1827 м. Верхний кимеридж, даниловская свита.

#### Таблица 44

Фиг. 1. *Geinitzinita crassata* (G e r k e),  $\times 60$ .  
Экземпляр ВНИИОкеангеология. Восточная Сибирь, Сандыско, скв. 210, гл. 660 м. Келловей — оксфорд.

Фиг. 2—4. *Geinitzinita praenodulosa* Dain.  
2, 3 — экземпляры 660, 659; ЗапСибНИГНИ,  $\times 60$ . 2 — Ляпинская скв. 150, гл. 1398—1404 м. Кимеридж, даниловская свита.  
3 — Эсская скв. 1, гл. 1690—1693 м. Верхний оксфорд, даниловская свита. 4 — голотип 520/95, ВНИГРИ,  $\times 72$ . Лабытнанги, скв. 11, гл. 349—355 м. Верхний оксфорд, даниловская свита.

Фиг. 5—8. *Geinitzinita nodulosa* (Furssenکو et Poljevova).  
5 — экземпляр К/4, ЗапСибНИГНИ,  $\times 50$ . Приполярный Урал, р. Шекурья, скв. 5, гл. 145—150 м. Верхний кимеридж, лопсинская свита. 6 — экземпляр 520/97, ВНИГРИ,  $\times 72$ . Там же, р. Ятрия, обн. 5. Возраст тот же. 7 — экземпляр 521/28, ВНИГРИ,  $\times 50$ . Половинкинская скв. 100, гл. 1882—1885 м. Верхний кимеридж, абалакская свита. 8 — экземпляр 661, ЗапСибНИГНИ,  $\times 60$ . Ляпинская скв. 150, гл. 1390—1393 м. Нижний подъярус волжского яруса, даниловская свита.

#### Таблица 45

Фиг. 1. *Lenticulina narykaryensis* Putrja,  $\times 40$ .  
Экземпляр 100, ЗапСибНИГНИ. Нарыкарская скв. 120, гл. 1876—1882 м. Верхний келловей, абалакская свита.

Фиг. 2, 3. *Lenticulina subpolonica* Gerke et Scharovskaja.

2 — экземпляр 421, ЗапСибНИГНИ,  $\times 40$ . Пунгинская скв. 211, гл. 1874—1877 м. Келловей, абалакская свита. 3 — голотип 748/47, ВНИИОкеангеология,  $\times 60$ . Нордвикский район, скв. К-436, гл. 16 м. Оксфорд, сиговская свита.

Фиг. 4. *Lenticulina solita* Dain,  $\times 72$ .  
Экземпляр ВНИГРИ. Полярный Урал, Обской профиль, скв. 11, гл. 358—368 м. Келловей — нижний оксфорд, даниловская свита.

Фиг. 5. *Lenticulina parahybrida* Dain,  $\times 72$ .  
Голотип 520/88, ВНИГРИ. Там же.

Фиг. 6, 7. *Lenticulina* ex gr. *involvens* (Wisniowski),  $\times 72$ .

Экземпляры ВНИГРИ. Там же.

Фиг. 8, 9. *Lenticulina memorabilissima* Gerke et Scharovskaja.

8 — экземпляр 324, ЗапСибНИГНИ,  $\times 60$ . Игримская скв. 112, гл. 1626—1627 м. Оксфорд — кимеридж, вогулкинская толща.  
9 — голотип, ВНИИОкеангеология,  $\times 70$ . П-ов Нордвик, скв. 436, гл. 25 м. Оксфорд.

#### Таблица 46

Фиг. 1—3. *Lenticulina darbyellaformis* Gerke et Scharovskaja.

1, 3 — экземпляры 494, 582; ЗапСибНИГНИ,  $\times 60$ . 1 — Игримская скв. 116, гл. 1637—1638 м. Нижний оксфорд, вогулкинская

толща. 3 — Шухтунгортская скв. 303, гл. 1785—1792 м. Средний оксфорд, абалакская свита. 2 — экземпляр 422, ЗапСибНИГНИ, ×40. Пунгинская скв. 211, гл. 1874—1877 м. Келловой, абалакская свита.

Фиг. 4. *Lenticulina subinvolvens* Scharovskaja, ×60. Экземпляр 565, ЗапСибНИГНИ. Половинкинская скв. 100, гл. 1899—1903 м. Оксфорд, абалакская свита.

Фиг. 5. *Lenticulina dashevskajae* Scharovskaja, ×70. Экземпляр 748/34, ВНИИОкеангеология. Сындаско, скв. 201, гл. 639 м. Оксфорд.

Фиг. 6. *Lenticulina involvens solida* Gerke et Scharovskaja, ×40.

Экземпляр 122, ЗапСибНИГНИ. Кондинская скв. 7, гл. 1884—1887 м. Верхний оксфорд, даниловская свита.

#### Таблица 47

Фиг. 1, 2. *Astacolus igrimensis* Levina, ×60.

1 — голотип 447, 2 — экземпляр; ЗапСибНИГНИ. 1 — Игримская скв. 116, гл. 1640—1641 м. Нижний оксфорд, вогулкинская толща. 2 — Игримская скв. 112-Р, гл. 1626—1627 м. Оксфорд, вогулкинская толща.

Фиг. 3. *Lenticulina osunjovensis* Putrja, ×40.

Голотип 70, ЗапСибНИГНИ. Окуневская скв. 49, гл. 1594—1599 м. Оксфорд, абалакская свита.

Фиг. 4. *Lenticulina lii* Levina, ×60.

Голотип 481, ЗапСибНИГНИ. Игримская скв. 116, гл. 1640—1641 м. Оксфорд — кимеридж, вогулкинская толща.

Фиг. 5, 6. *Lenticulina belousovae* Levina, ×60.

5 — голотип 942, 6 — топотип 285; ЗапСибНИГНИ. Игримская скв. 112, гл. 1625—1628 м. Оксфорд — кимеридж, вогулкинская толща.

Фиг. 7, 8. *Lenticulina comaeformis* Levina, ×60.

7 — экземпляр 485, 8 — голотип 62; ЗапСибНИГНИ. 7 — Игримская скв. 116, гл. 1632—1633 м. 8 — Березовская скв. 1-Р, гл. 1306—1312 м. Оксфорд — кимеридж, вогулкинская толща.

Фиг. 9, 10. *Astacolus rovnini* Dain et Komissarenko, sp. nov., ×72.

9 — голотип 520/86, 10 — экземпляр; ВНИГРИ. Приполярный Урал, р Щекурья, скв. 5, гл. 175 м. Оксфорд (верхняя часть), маурыннская свита.

#### Таблица 48

Фиг. 1. *Lenticulina greisli* Dubrovskaja, ×60.

Экземпляр 70, ЗапСибНИГНИ. Березовская скв. 40, гл. 1347—1348 м. Оксфорд — кимеридж, вогулкинская толща.

Фиг. 2, 3. *Lenticulina semipellucida* D a i n.  
2 — голотип 520/74, ВНИГРИ, ×72. Приполярный Урал, р. Лопсия, обн. 42. 3 — экземпляр 936, ЗапСибНИГНИ. Там же, р. Ятрия, скв. 13, гл. 5,6—9,7 м. Кимеридж, лопсинская свита.

Фиг. 4. *Lenticulina gerkei* D a i n, ×72.  
Голотип 520/71, ВНИГРИ. Приполярный Урал, р. Толья, скв. 56, гл. 24,8—29,8 м. Верхний кимеридж, лопсинская свита.

Фиг. 5. *Lenticulina crassisepta* (K a s a n z e v), ×40.  
Экземпляр 174, ЗапСибНИГНИ. Эсская скв. 1, гл. 1672—1675 м. Верхний кимеридж, даниловская свита.

Фиг. 6. *Lenticulina sibirensis* (K o s y r e v a), ×72.  
Экземпляр ПГО «Новосибирскгеология». Тебисская скв. 2, гл. 2317—2324 м. Нижний кимеридж, марьяновская свита.

Фиг. 7. *Lenticulina michailovi* D a i n, ×72.  
Экземпляр ВНИГРИ. Приполярный Урал, р. Шекурья, скв. 5, гл. 145—150 м. Нижний кимеридж, лопсинская свита.

Фиг. 8, 9. *Lenticulina oculus—avis* D a i n, ×72.  
8 — голотип 520/72, 9 — экземпляр; ВНИГРИ. Приполярный Урал, р. Толья, скв. 56, гл. 24,8—29,8 м. Кимеридж, лопсинская свита.

#### Таблица 49

Фиг. 1, 2. *Lenticulina undosa* B e l j a e v s k a j a.  
1 — экземпляр 742, ЗапСибНИГНИ, ×60. Половинкинская скв. 109, гл. 1893—1895 м. 2 — экземпляр 168, ЗапСибНИГНИ, ×40. Половинкинская скв. 103, гл. 1917—1920 м. Нижний кимеридж, абалакская свита.

Фиг. 3, 4. *Lenticulina iatriensis* D a i n.  
3 — голотип 520/116, ВНИГРИ, ×72. Приполярный Урал, р. Ятрия, обн. 5. Верхи кимериджа, лопсинская свита. 4 — экземпляр 2161, ЗапСибНИГНИ, ×72. Люльинский профиль, скв. 64, гл. 336 м. Кимеридж, лопсинская свита.

Фиг. 5, 6. *Lenticulina saranpaulensis* D a i n, ×72.  
5 — голотип 520/76, 6 — экземпляр; ВНИГРИ. Приполярный Урал, р. Шекурья, скв. 5, гл. 123 м. Нижний кимеридж, лопсинская свита.

Фиг. 7. *Lenticulina nordformis* P u t r j a e t R o m a n o v a,  
×60.  
Экземпляр ЗапСибНИГНИ. Владимирская скв. 3, гл. 1652—1655 м. Нижний кимеридж, даниловская свита.

#### Таблица 50

Фиг. 1. *Lenticulina lauta* D a i n, ×72.  
Голотип 520/90, ВНИГРИ. Приполярный Урал, р. Лопсия, обн. 41. Низы верхнего кимериджа, лопсинская свита.

Фиг. 2. *Lenticulina munda* D a i n, ×72.  
Голотип 520/87, ВНИГРИ. Там же.

Фиг. 3. *Lenticulina essica* Putrja,  $\times 40$ .

Экземпляр 108/6, ЗапСибНИГНИ. Владимирская скв. 2, гл. 1552—1555 м. Верхи нижнего кимериджа, даниловская свита.

Фиг. 4, 5. *Lenticulina limpida* Dain,  $\times 72$ .

4 — голотип 520/89, 5 — экземпляры 520/98а; ВНИГРИ. Приполярный Урал, р. Лопсия, обн. 41. Верхний кимеридж, лопсинская свита.

Фиг. 6. *Lenticulina dofleini* (Kasanzev),  $\times 40$ .

Экземпляр 164, ЗапСибНИГНИ. Окуневская скв. 49, гл. 1565,8—1568,8 м. Средний подъярус волжского яруса, мулымьинская свита.

Фиг. 7. *Lenticulina initalis* (Zaspelova),  $\times 40$ .

Экземпляр 102, ЗапСибНИГНИ. Владимирская скв. 2, гл. 1555—1559 м. Верхи нижнего кимериджа, даниловская свита.

Фиг. 8, 9. *Lenticulina sosvaensis* Dain,  $\times 72$ .

8 — экземпляр 520/78, 9 — голотип 520/77; ВНИГРИ, р. Яны-Манья, обн. 23. Средний подъярус волжского яруса, федоровская свита.

Фиг. 10. *Lenticulina pungensis* E. Ivanova,  $\times 60$ .

Экземпляр 557, ЗапСибНИГНИ. Сысконсыннинская скв. 272, гл. 1561,9—1567 м. Нижний подъярус волжского яруса, тутлеймская свита.

#### Таблица 51

Фиг. 1, 2. *Darbyella erviei* Levina.

1 — голотип 522/58, ВНИГРИ,  $\times 60$ . Шухтунгортская скв. 303, гл. 1785,7—1792,2 м. Низы верхнего оксфорда, вогулкинская толща. 2 — паратип 281, ЗапСибНИГНИ,  $\times 48$ . Неремовская скв. 104, гл. 1445,9—1446 м. Оксфорд, вогулкинская толща.

#### Таблица 52

Фиг. 1—4. *Astacolus westsibiricus* Levina,  $\times 60$ .

1 — голотип 507, ЗапСибНИГНИ. Игримская скв. 116, гл. 1640,4—1641,7 м (середина). 2—4 — паратипы 61, 275 и 65; ЗапСибНИГНИ. 2, 4 — Березовская скв. 1, гл. 1306—1312 м. 3 — Чуэльская скв. 85, гл. 1627,1—1629,1 м. Оксфорд — кимеридж, вогулкинская толща.

Фиг. 5, 6. *Astacolus declivatus* Levina,  $\times 60$ .

5 — голотип 279, 6 — паратип 495; ЗапСибНИГНИ. Игримская скв. 116, гл. 1637—1638 м. Кимеридж — оксфорд, вогулкинская толща.

Фиг. 7—9. *Astacolus identatus* Putrja,  $\times 60$ .

7, 8 — экземпляры 480, 508; ЗапСибНИГНИ,  $\times 60$ . Игримская скв. 116, гл. 1640,4—1641,7 м (середина). Оксфорд — кимеридж, вогулкинская толща. 9 — экземпляр 2157, ЗапСибНИГНИ,  $\times 40$ . Тагринская скв. 59, гл. 2795—2801 м. Верхний кимеридж, георгиевская свита.

Таблица 53

Фиг. 1, 2. *Astacolus toliaensis* (Dain).

1 — экземпляр 213, ЗапСибНИГНИ,  $\times 50$ . Тюменская опорная скв. 1, гл. 1394—1401 м. Нижний кимеридж, даниловская свита. 2 — голотип 520/100, ВНИГРИ,  $\times 72$ . Приполярный Урал, р. Толья, скв. 159, гл. 93—98 м. Верхний кимеридж, лопсинская свита.

Фиг. 3. *Astacolus russiensis* (Mjatljuk),  $\times 40$ .

Экземпляр 221, ЗапСибНИГНИ. Тюменская опорная скв. 1, гл. 1387,3—1393,9 м. Нижний кимеридж, даниловская свита.

Фиг. 4. *Astacolus transsibiricus* Putrja,  $\times 60$ .

Экземпляр 75, ЗапСибНИГНИ. Обской профиль, скв. 11, гл. 349,95—365,75 м. Оксфорд, даниловская свита.

Фиг. 5. *Astacolus inflatiformis* Dain,  $\times 60$ .

Экземпляр 848, ЗапСибНИГНИ. Лемьинская скв. 35, гл. 1605,4—1616 м (0,1 м от верха). Верхи кимериджского яруса, даниловская свита.

Фиг. 6. *Marginulinopsis praecomptulaformis* Gerke et Scharovskaja,  $\times 60$ .

Экземпляр 426, ЗапСибНИГНИ. Игримская скв. 119, гл. 1687—1696,6 м. Нижний оксфорд, абалакская свита.

Фиг. 7. *Marginulinopsis robustaeformis* Dain,  $\times 60$ .

Экземпляр 559, ЗапСибНИГНИ. Сысконсыннинская скв. 272, гл. 1561—1567 м. Средний подъярус волжского яруса, тутлеймская свита.

Фиг. 8. *Marginulina robusta* Reuss,  $\times 60$ .

Экземпляр 541, ЗапСибНИГНИ. Профиль Щекурья — Саранпауль, скв. 5-КП, гл. 135—140 м. Кимеридж, лопсинская свита.

Фиг. 9. *Marginulinopsis subrusticus* Dain,  $\times 72$ .

Голотип 520/94, ВНИГРИ. Р. Лопсия, обн. 41. Верхний кимеридж, лопсинская свита.

Таблица 54

Фиг. 1, 9. *Planularia lokosoviensis* (Kosyugeva).

1 — голотип 521/16, ВНИГРИ,  $\times 80$ . Локосовская скв. 1, гл. 2778,7—2784 м. Келловей, васюганская свита. 9 — экземпляр 286 (молодая раковина), ЗапСибНИГНИ,  $\times 60$ . Неремовская скв. 104, гл. 1426,3—1427,3 м. Оксфорд — кимеридж, вогулкинская свита.

Фиг. 2, 3. *Planularia septentrionalis* Gerke et Scharovskaja,  $\times 60$ .

8 — паратип ВНИИОкеангеология. П-ов Нордвик, скв. К-433, гл. 36 м. 3 — экземпляр ВНИИОкеангеология. П-ов Нордвик, Тигяно-Чайдахский участок, скв. К-68, гл. 221 м. Оксфорд, горизонт темных глин.

Фиг. 4—7. *Planularia colligatiformis* К о с у г е в а,  $\times 60$ .  
Экземпляры 509, 511, 323, 510; ЗапСибНИГНИ. 4, 5, 7 — Игримская скв. 116, гл. 1640,4—1641,7 м. 6 — Игримская скв. 112, гл. 1626,8—1627,8. Оксфорд — кимеридж, вогулкинская толща.

Фиг. 8. *Planularia ossykoae* L e v i n a,  $\times 60$ .  
Голотип 493, ЗапСибНИГНИ. Игримская скв. 116, гл. 1637,4—1638,2 м. Оксфорд, вогулкинская толща.

Фиг. 10, 11. *Planularia praesibirensis* (К о с у г е в а).  
10 — экземпляр ВНИГРИ,  $\times 72$ . Профиль Щекурья — Саранпaulь, скв. 5, гл. 174 м. Нижний кимеридж, лопсинская свита.  
11 — экземпляр 71, ЗапСибНИГНИ,  $\times 60$ . Обской профиль, скв. 12, гл. 292—293 м. Кимеридж, даниловская свита.

#### Таблица 55

Фиг. 1. *Planularia praesibirensis* (К о с у г е в а),  $\times 60$ .  
Экземпляр 944, ЗапСибНИГНИ. Ятринская скв. 13, гл. 9,7—12,2 м. Кимеридж, лопсинская свита.

Фиг. 2, 3. *Planularia messezchnikovi* D a i n.  
2 — голотип 520/101, ВНИГРИ,  $\times 47$ . Приполярный Урал, р. Ятрия, обн. 5. Верх кимериджа, лопсинская свита. 3 — экземпляр 242, ЗапСибНИГНИ,  $\times 40$ . Половинкинская скв. 100, гл. 1889—1892 м. Нижний кимеридж, абалакская свита.

Фиг. 4. *Planularia beirana* G ü m b e l,  $\times 72$ .  
Экземпляр 520/178, ВНИГРИ. Приполярный Урал, р. Ятрия, обн. 5. Верхний кимеридж, лопсинская свита.

Фиг. 5—7. *Planularia pressula* S c h l e i f e r.  
5, 6 — экземпляры 462, 469; ЗапСибНИГНИ,  $\times 60$ . 5 — Южно-Игримская скв. 112-Р, гл. 1610—1615 м. 6 — Южно-Игримская скв. 116, гл. 1630—1631 м. Верхний кимеридж (верх) — нижний подъярус волжского яруса. 7 — экземпляр 234, ЗапСибНИГНИ,  $\times 50$ . Половинкинская скв. 100, гл. 1889—1892 м. Нижний кимеридж, абалакская свита.

Фиг. 8. *Planularia adulta* P u t r j a,  $\times 36$ .  
Экземпляр 244, ЗапСибНИГНИ. Окуневская скв. 49, гл. 1570—1574 м. Средний подъярус волжского яруса, мулымьинская свита.

#### Таблица 56

Фиг. 1. *Dainitella perrarum* P u t r j a,  $\times 60$ .  
Экземпляр 945, ЗапСибНИГНИ. Приполярный Урал, р. Ятрия, скв. 13-Р, гл. 9,7—12,2 м. Верхний кимеридж, лопсинская свита.

Фиг. 2. *Dainitella elongata* P u t r j a,  $\times 40$ .  
Голотип 113, ЗапСибНИГНИ, Войкарский профиль, скв. 2, гл. 382—385 м. Нижний подъярус волжского яруса, даниловская свита.

Фиг. 3. *Dainitella explanata* Putrja,  $\times 40$ .

Голотип 107, ЗапСибНИГНИ. Половинкинская скв. 100, гл. 1871—1875 м. Средний подъярус волжского яруса, тутлеймская свита.

Фиг. 4. *Dainitella voicarensis* Putrja,  $\times 40$ .

Голотип 108, ЗапСибНИГНИ. Войкарский профиль, скв. 2, гл. 399—404 м. Верхний оксфорд, даниловская свита.

#### Таблица 57

Фиг. 1. *Saracenella juganica* (Косугева),  $\times 40$ .

Экземпляр 2172, ЗапСибНИГНИ. Южно-Ягунская скв. 84, гл. 2882—2890 м. Келловей, васюганская свита.

Фиг. 2. *Saracenaria eloguica* Bulynnikova,  $\times 50$ .

Экземпляр 182 (микросферическая раковина), ЗапСибНИГНИ. Половинкинская скв. 100, гл. 1889,4—1892,9 м. Верхний кимеридж, абалакская свита.

Фиг. 3. *Saracenaria carzevae* Schaurovskaia,  $\times 50$ .

Экземпляр 230, ЗапСибНИГНИ. Пунгинская скв. 242, гл. 1831,6—1836 м. Нижний оксфорд, абалакская свита.

Фиг. 4—7. *Saracenaria subsuta* Beljaevskaia.

4 — экземпляр 536, ЗапСибНИГНИ,  $\times 40$ . Профиль Щекурья—Саранпауль, скв. 4, гл. 318—324 м. Кимеридж, лопсинская свита.

5 — экземпляр 73, ЗапСибНИГНИ,  $\times 60$ . Обской профиль, скв. 12-КП, гл. 292—293 м. Нижний кимеридж, даниловская свита.

6 — экземпляр 561 (молодая раковина), ЗапСибНИГНИ,  $\times 60$ . Сысконсыньская скв. 272, гл. 1561,9—1567,3 м (0,4 м от верха). Кимеридж, абалакская свита.

7 — голотип 520/91, ВНИГРИ,  $\times 72$ . Абалакская скв. 1, гл. 2233—2243 м. Нижний кимеридж, абалакская свита.

Фиг. 8. *Saracenaria pravoslavlevi* Furssenko et Poljeponova,  $\times 50$ .

Экземпляр 184, ЗапСибНИГНИ. Владимирская скв. 3, гл. 1631,2—1634,7 м. Средний подъярус волжского яруса, даниловская свита.

Фиг. 9. *Saracenaria mirabilissima* Furssenko et Poljeponova,  $\times 50$ .

Экземпляр 188, ЗапСибНИГНИ. Половинкинская скв. 103, гл. 1902,8—1906,3 м. Верхний кимеридж, абалакская свита.

#### Таблица 58

Фиг. 1. *Vaginulinopsis rjavkinoensis* Косугева,  $\times 80$ .

Голотип 521/7, ВНИГРИ. Рявкинская скв. 1, гл. 1421—1432 м. Кимеридж, марьяновская свита.

Фиг. 2. *Vaginulinopsis flacidiformis* Putrja,  $\times 40$ .

Экземпляр 2158, ЗапСибНИГНИ. Тагринская скв. 59, гл. 2795—2801 м. Верхний кимеридж, георгиевская свита.

Фиг. 3, 4. *Citharina rostriformis* (Furssenko et Polje-  
пова),  $\times 40$ .

Экземпляры 1060, 1058; ЗапСибНИГНИ. Профиль Щекурья—  
Саранпауль, скв. 5-КП. 3—гл. 174—176 м. Верхний оксфорд,  
маурыннинская свита. 4—гл. 135—140 м. Нижний кимеридж,  
лопсинская свита.

Фиг. 5, 6. *Citharina* aff. *flabelloides* (Terq.),  $\times 40$ .

Экземпляры 1062, 1087; ЗапСибНИГНИ. 5—Таборинская скв. 1,  
гл. 1240—1243 м. Верхний кимеридж, даниловская свита. 6—  
Половинкинская скв. 100, гл. 1892—1896 м. Верхний киме-  
ридж, абалакская свита.

Фиг. 7. *Citharina grigjalisi* Putja,  $\times 40$ .

Экземпляр 1061, ЗапСибНИГНИ. Профиль Щекурья—Саранпа-  
уль, скв. 5, гл. 183—184 м. Оксфорд, маурыннинская свита.

Фиг. 8, 9. *Citharina brevis* (Furssenko et Poljeпова),  
 $\times 40$ .

Экземпляры 1089, 1090 (контурная зарисовка); ЗапСибНИГНИ.  
Ялбыннинская скв. 169, гл. 1320,2—1326,7 м. Верхний киме-  
ридж—нижний подъярус волжского яруса, верхи абалакской  
свиты.

Фиг. 10. *Citharina nablium* E. Ivanova,  $\times 40$ .

Экземпляр 1088, ЗапСибНИГНИ. Маньинская скв. 11, гл. 19,3—  
22,6 м. Средний подъярус волжского яруса, федоровская свита.

#### Таблица 59

Фиг. 1, 3. *Citharinella kostromensis* K. Kuznetsova et  
Uman'skaja,  $\times 40$ .

Экземпляры 2035, 2036; ЗапСибНИГНИ. 1—Даниловская скв.  
102, гл. 1779—1782 м. 3—Верхне-Уральская скв. 2, гл. 1825—  
1828 м. Кимеридж, даниловская свита.

Фиг. 2, 4. *Citharinella consimila* Tytkina,  $\times 40$ .

2—голотип 2019, 4—экземпляр 2020; ЗапСибНИГНИ. Ятрин-  
ская скв. 13, гл. 9,7—12,2 м. Верхний кимеридж, лопсинская  
свита.

#### Таблица 60

Фиг. 1—3. *Citharinella denisovae* Tytkina,  $\times 40$ .

Экземпляры 2034, 2033 и 2031; ЗапСибНИГНИ. 1, 2—Южно-  
Чанчарская скв. 60, гл. 1617—1621 м. Верхи кимериджа, аба-  
лакская свита. 3—Пунгинская скв. 520, гл. 1743—1746 м. Ки-  
меридж, абалакская свита.

Фиг. 4, 5. *Citharinella leushiensis* (Putrja),  $\times 60$ .

Экземпляры 545, 569; ЗапСибНИГНИ. 4—профиль Щекурья—  
Саранпауль, скв. 5, гл. 135—140 м. Кимеридж, лопсинская сви-  
та. 5—Половинкинская скв. 100, гл. 1892—1896 м. Кимеридж,  
абалакская свита.

Таблица 61

Фиг. 1—3. *Citharinella goldapi* (Bielecka et K. Kuznetsova),  $\times 40$ .

Экземпляры 2028, 2027 и 2029; ЗапСибНИГНИ. Ереминская скв. 3, гл. 1020—1025 м. Кимеридж, даниловская свита.

Фиг. 4, 5. *Citharinella carinata* Tulkina,  $\times 40$ .

4 — экземпляр 2025, ЗапСибНИГНИ. Даниловская скв. 106, гл. 1821—1825 м. 5 — голотип 2023, ЗапСибНИГНИ. Даниловская скв. 91, гл. 1765—1769 м. Верхи кимериджа — низы волжского яруса, даниловская свита.

Фиг. 6. *Citharinella sibirica* (Putrja),  $\times 40$ .

Экземпляр 2037, ЗапСибНИГНИ. Чуэльская скв. 231, гл. 1628—1632 м. Кимеридж, абалакская свита.

Фиг. 7. *Citharinella jany-maniensis* Dain,  $\times 72$ .

Голотип 520/99, ВНИГРИ. Приполярный Урал, р. Яны-Манья, обн. 23. Средний подъярус волжского яруса, федоровская свита.

Таблица 62

Фиг. 1. *Dentalina chochiai* Dain,  $\times 72$ .

Экземпляр ВНИГРИ. Приполярный Урал, р. Лопсия, обн. 41. Верхний кимеридж, лопсинская свита.

Фиг. 2. *Marginulinita casacstanica* (Kazanzev),  $\times 72$ .

То же.

Фиг. 3. *Marginulina formosa* Mjatljuk,  $\times 50$ .

Экземпляр 280, ЗапСибНИГНИ. Мулымьинская скв. 4, гл. 1501,8—1505,3 м. Средний подъярус волжского яруса, мулымьинская свита.

Фиг. 4. *Marginulina polenovae* Dain,  $\times 72$ .

Оригинал 520/80, ВНИГРИ. Приполярный Урал, р. Ятрия, обн. 5. Верхний кимеридж, лопсинская свита.

Фиг. 5. *Marginulina striatocostata* Reuss,  $\times 60$ .

Экземпляр 539, ЗапСибНИГНИ. Профиль Щекурья—Саранпауль, скв. 5-КП, гл. 135—140,8 м. Кимеридж, лопсинская свита.

Фиг. 6. *Marginulinopsis embaensis* Furssenکو et Poljenova,  $\times 60$ .

Экземпляр 570, ЗапСибНИГНИ. Половинкинская скв. 100, гл. 1875,25—1878,95 м. Средний подъярус волжского яруса, тутлеймская свита.

Фиг. 7. *Marginulina robusta* Reuss,  $\times 60$ .

Экземпляр 853, ЗапСибНИГНИ. Лемьинская скв. 35-Р, гл. 1605,45—1616,1 м. Волжский ярус, даниловская свита.

Фиг. 8. *Globulina alexandrae* Dain,  $\times 72$ .

Голотип 520/142, ВНИГРИ. Приполярный Урал, р. Лопсия, обн. 41. Верхний кимеридж, лопсинская свита.

Фиг. 9. *Eoguttulina kimmeridjica* Dain,  $\times 72$ .

Голотип 520/156, ВНИГРИ. Там же.

- Фиг. 10. *Globulina vulgaris* D a i n,  $\times 72$ .  
 Голотип 520/158, ВНИГРИ. Приполярный Урал, р. Воля, скв. 92, гл. 71 м. Нижний кимеридж, лопсинская свита.
- Фиг. 11. *Guttulina* ex gr. *dogieli* D a i n,  $\times 72$ .  
 Экземпляр 520/159а, ВНИГРИ. Приполярный Урал, р. Яны-Манья, обн. 23. Средний подъярус волжского яруса, федоровская свита.

#### Таблица 63

- Фиг. 1—4. *Ceratobulimina* (?) *poljarica* D a i n,  $\times 92$ .  
 1, 2 — экземпляры ВНИГРИ. Обской профиль, скв. 6, гл. 213—216 м. Верхний оксфорд, даниловская свита. 3 — паратип, 4 — голотип 520/132; ВНИГРИ. Обской профиль, скв. 6, гл. 218—222 м. Низы верхнего оксфорда, даниловская свита.
- Фиг. 5—9. *Ceratolamarckina levinae* D a i n.  
 5, 6 — экземпляры ВНИГРИ,  $\times 72$ . 5 — Обской профиль, скв. 12, гл. 292—293 м. Нижний кимеридж, даниловская свита. 6 — водораздел Ятрии и Воля, скв. 257, гл. 82 м. Кимеридж, лопсинская свита. 7 — экземпляр 520/84, ВНИГРИ,  $\times 72$ . Там же. 8 — экземпляр ВНИГРИ,  $\times 92$ . Профиль Щекурья—Саранпауль, скв. 5, гл. 126 м. Верхний кимеридж, лопсинская свита. 9 — экземпляр 2151, ЗапСибНИГНИ,  $\times 40$ . Тагринская скв. 59, гл. 2795—2801 м. Верхний кимеридж, георгиевская свита.
- Фиг. 10. *Cancrisiella ambitiosa* (D a i n),  $\times 72$ .  
 Голотип 520/136, ВНИГРИ. Обской профиль, скв. 6, гл. 194—200 м. Нижний кимеридж, лопсинская свита.

#### Таблица 64

- Фиг. 1—7. *Pseudolamarckina liapinensis* D a i n,  $\times 72$ .  
 1 — голотип 520/112 (микросферическая раковина), ВНИГРИ. Приполярный Урал, р. Лопсия, обн. 41. Низы верхнего кимериджа, лопсинская свита. 2—4 — экземпляры ВНИГРИ. 2 — Приполярный Урал, р. Лопсия, обн. 41. Низы верхнего кимериджа, 3, 4 — профиль Щекурья—Саранпауль, скв. 5, гл. 134 м. Низы верхнего кимериджа, лопсинская свита. 5 — изображение форамена. 6 — паратип 520/112а (мегасферическая раковина), ВНИГРИ. Профиль Щекурья—Саранпауль, скв. 5, гл. 134 м. 7 — экземпляр (молодая раковина) ВНИГРИ. Там же. Верхний кимеридж (низ), лопсинская свита.

#### Таблица 65

- Фиг. 1—5. *Pseudolamarckina lopsiensis* D a i n.  
 1 — голотип 520/118, ВНИГРИ,  $\times 72$ . Приполярный Урал, р. Ятрия, обн. 5. Верхний кимеридж, лопсинская свита. 2, 4, 5 — экземпляры 2152, 2153 и 2154; ЗапСибНИГНИ,  $\times 40$ . Тагринская скв. 59, гл. 2795—2801 м. Верхний кимеридж, георгиевская

свита. 3 — внутренняя часть стенки раковины с брюшной стороны,  $\times 102$ . Водораздел Толы и Ятрии, скв. 258, гл. 91,5 м. Верхний кимеридж, допсинская свита.

#### Таблица 66

Фиг. 1—4. *Pseudolamarckina voliaensis* D a i n,  $\times 72$ .

1, 3, 4 — экземпляры ВНИГРИ (1 — микросферическая раковина). Приполярный Урал, р. Ятрия, обн. 1. Низы волжского яруса, даниловская свита. 2 — паратип ВНИГРИ. Усть-Ляпинская скв. 150, гл. 1406—1410 м. Нижний подъярус волжского яруса, даниловская свита.

#### Таблица 67

Фиг. 1. *Turrspirillina belkinae* L e v i n a,  $\times 60$ .

Голотип 686, ЗапСибНИГНИ. Похромская скв. 78, гл. 1379—1382 м. Оксфорд — нижний кимеридж, вогулкинская толща.

Фиг. 2, 3. *Conicospirillina vogulcaensis* L e v i n a,  $\times 60$ .

2 — топотип 694, 3 — голотип 683; ЗапСибНИГНИ. Похромская скв. 78, гл. 1379—1382 м. Оксфорд — нижний кимеридж, вогулкинская толща.

Фиг. 4, 5. *Trochospirillina pochromensis* L e v i n a,  $\times 60$ .

4 — голотип 695, 5 — топотип 685; ЗапСибНИГНИ. Там же.

Фиг. 6. *Trocholina sibirica* L e v i n a,  $\times 60$ .

Топотип 417, ЗапСибНИГНИ. Там же.

#### Таблица 68

Фиг. 1—3. *Trocholina sibirica* L e v i n a,  $\times 60$ .

1 — экземпляр 691, 2 — голотип 418, 3 — топотип 688; ЗапСибНИГНИ. 1 — Неремовская скв. 104, гл. 1425,35—1426,35 м. 2, 3 — Похромская скв. 78, гл. 1379—1382 м. Оксфорд — нижний кимеридж, вогулкинская толща.

Фиг. 4, 5. *Trocholina rubinae* L e v i n a,  $\times 60$ .

4 — голотип 416, 5 — топотип 521/62; ЗапСибНИГНИ. Похромская скв. 78, гл. 1379—1382 м. Возраст тот же.

#### Таблица 69

Фиг. 1—10. *Saccamina callosa* V u l a t o v a,  $\times 52$ .

1—9 — экземпляры 1—ФБ/1—/5а, /6—/9. СНИИГГиМС. Северо-Алясовская скв. 41, гл. 1214,9—1239 м. Нижний готерив, алясовская свита. 10 — экземпляр 1—ФБ/12-6а, СНИИГГиМС. Медведевская скв. 22, гл. 837—844 м. Нижний готерив, ахская свита.

Фиг. 11—13. *Saccamina testideformabilis* V u l a t o v a,  $\times 52$ .

11, 12 — экземпляры 1—ФБ/12-21, -7; СНИИГГиМС. 11 — Медведевская скв. 21, гл. 833,7—836,2 м. 12 — Медведевская скв. 22,

гл. 837—844 м. Нижний готерив, ахская свита. 13\* — голотип 21, СНИИГГиМС. Малиновская скв. 1, гл. 1193—1198 м. Альб, хантымансийская свита.

#### Таблица 70

Фиг. 1—6. *Saccamina orbiculata* В u л а т о в а, ×52.

Экземпляры 1—ФБ/12-24, -25, -26, -27, -28, -29; СНИИГГиМС. Северо-Алясовская скв. 41, гл. 1214—1239 м. Нижний готерив, алясовская свита.

Фиг. 7. *Lagenamma impexa* В u л ы н н и к о в а, ×52.

Голотип 1—ФБ/12-1, СНИИГГиМС. Медведевская скв. 22, гл. 828—837 м. Нижний готерив, ахская свита.

Фиг. 8. *Pelosinella parca* В u л ы н н и к о в а, ×52.

Голотип 1—ФБ/12-2, СНИИГГиМС. Медведевская скв. 22, гл. 837—844 м. Возраст тот же.

Фиг. 9. *Hippocrepina electa* В u л ы н н и к о в а, ×52.

Голотип 1—ФБ/12-3, СНИИГГиМС. Деминская скв. 19, гл. 1286—1288 м. Нижний готерив, алясовская свита.

Фиг. 10, 11. *Hippocrepinella rugosa* В о г о м ь а к о в а, ×40.

10 — голотип 2117, 11 — экземпляр 2145; ЗапСибНИГНИ. 10 — Уватская скв. 1, гл. 2363—2379 м. Валанжин, ахская свита. 11 — Лянторская скв. 53, гл. 2048—2053 м. Готерив, вартовская свита.

Фиг. 12, 14. *Hyperamma aptica* (D a m p e l e t M j a t l i - u k), ×52.

Экземпляры 40 б, г, СНИИГГиМС\*\*. Леушинская скв. 1, гл. 1207 м. Альб, хантымансийская свита.

Фиг. 13. *Hyperamma rugosa* В u л а т о в а, ×52.

Голотип 119, СНИИГГиМС\*\*. Тюменская скв. 5-КП, гл. 391—399 м. Средний альб, хантымансийская свита.

Фиг. 15, 17. *Hyperammoides patella* Р о м а н о в а, ×40.

Экземпляры ВСЕГЕИ. 15 — Покурская скв. 1, гл. 869 м. Кампан, березовский горизонт. 17 — Тюменская скв. 1-ОП, гл. 1300—1301 м. Валанжин, ахская свита.

Фиг. 16. *Bathysiphon proprius* В u л а т о в а, ×52.

Экземпляр 116, СНИИГГиМС\*\*. Луговская скв. 1-Р, гл. 849,5—855,5 м. Средний альб, хантымансийская свита.

Фиг. 18. *Hyperammoides apiculiformis* В u л ы н н и к о в а, ×52.

Голотип 1—ФБ/12-4, СНИИГГиМС. Медведевская скв. 22, гл. 838—847 м. Нижний готерив, ахская свита.

Фиг. 19. *Bathysiphon brosegi* Т а р р а п, ×52.

Экземпляр 117, СНИИГГиМС\*\*. Верхореченская скв. 34-ПР, гл. 676—680,3 м. Средний альб, хантымансийская свита.

\* Передан на хранение в Центральный Сибирский палеонтологический музей ИГиГ СО АН СССР.

\*\* Переданы на хранение в Центральный Сибирский палеонтологический музей ИГиГ СО АН СССР.

Таблица 71

Фиг. 1. *Hyperamminoides barksdalei* Таррап, ×42.

Экземпляр 52, СНИИГГиМС\*. Березовская скв. 1-ОП, гл. 726 м. Альб, хантымансийская свита.

Фиг. 2, 3. *Ammodiscus veteranus* Косырева, ×52.

Экземпляры 1—ФБ/12-46, -47; СНИИГГиМС. Кыксинская скв. 1, гл. 1026,6—1031 м. Верхний подъярус волжского яруса — берриас (?), яновстанская свита.

Фиг. 4, 8, 10. *Ammodiscus continentalis* (Scharovskaja). 4 — экземпляр 1—ФБ/12-35, СНИИГГиМС, ×52. Рявкинская скв. 1, гл. 1256,5—1262,5 м. Валанжин, тарская свита (у контакта с киялинской свитой). 8 — экземпляр 430, ЗапСибНИГНИ, ×60. Усть-Балыкская скв. 80, гл. 1906—1910 м. Нижний готерив, вартовская свита, 10 — голотип 1009/11, ВНИИОкеангеология. Хара—Тумус, скв. К-2, гл. 33,05—39,05 м. Верхний валанжин? — нижний готерив, тигянская свита.

Фиг. 5—7. *Ammodiscus micrus* Rylkova, ×40.

5, 6 — экземпляры 2046, 2049, 7 — голотип 2047; ЗапСибНИГНИ. Чуельская скв. 233, гл. 1612,3—1615,3 м. Нижний валанжин, алясовская свита.

Фиг. 9. *Ammodiscus kosyрева* Вулупникова, sp. nov., ×52.

Голотип 1—ФБ/12-49, СНИИГГиМС. Медведевская скв. 24, гл. 1075—1087 м. Валанжин, нижний готерив, ахская свита.

Таблица 72

Фиг. 1. *Ammodiscus* cf. *continentalis* (Scharovskaja), ×52.

Экземпляр 1—ФБ/12-36, СНИИГГиМС. Рявкинская скв. 1, гл. 1256,5—1262,5 м. Валанжин, тарская свита (у границы с киялинской свитой).

Фиг. 2, 3. *Glomospirella compacta* Вулупникова, ×52. 2 — экземпляр 1—ФБ/12-34, СНИИГГиМС. Рявкинская скв. 1, гл. 1256,5—1262,5 м. 3 — голотип 1—ФБ/12-31, СНИИГГиМС. Завьяловская скв. 3, гл. 2000,1—2005,1 м. Валанжин, киялинская свита.

Фиг. 4. *Reophax consonus* Вулупникова, ×52.

Голотип 1—ФБ/12-5, СНИИГГиМС. Медведевская скв. 22, гл. 837—844 м. Нижний готерив, ахская свита.

Фиг. 5, 6. *Glomospirella* ex gr. *gaultina* (Berthelin), 1880. 5 — экземпляр ВНИИОкеангеология, ×60. П-ов Нордвик, скв. К-98, гл. 342—346,8 м. Нижний мел. 6 — экземпляр 2164, ЗапСибНИГНИ, ×40. Харасавэйская скв. 19, гл. 3165—3179 м. Нижний валанжин, ахская свита.

Фиг. 7—9. *Recurvovoides praeobskiensis* Dain et Вулупникова, ×52.

Экземпляры 1—ФБ/13-31, -33, -34; СНИИГГиМС. П-ов Пакса, обн. 33, паксинская свита. 7, 9 — берриас, зона *Hectoroceras kochi*. 8 — верхний подъярус волжского яруса, зона *Chetaites chetae*.

Таблица 73

Фиг. 1, 2. *Recurvoides transitorius* Булыпникова,  $\times 52$ .  
1 — голотип 769, 2 — топотип 833; СНИИГГиМС. Рязкинская скв. 3, гл. 1343—1349 м. Берриас, куломзинская свита (нижняя часть).

Фиг. 3, 4. *Recurvoides paucus* subsp. *paucus* Дубровская.  
3 — голотип 397, ЗапСибНИГНИ,  $\times 40$ . 4 — экземпляр 805, СНИИГГиМС,  $\times 52$ . Сартыньинская скв. 152, гл. 1166—1171 м. Берриас, алясовская свита.

Фиг. 5. *Recurvoides obskiensis* Романова,  $\times 40$ .  
Голотип ВСЕГЕИ. Березовская скв. 1-ОП, гл. 1285,6—1311,2 м. Нижний готерив, алясовская свита.

Фиг. 6. *Recurvoides* ex gr. *obskiensis* Романова,  $\times 65$ .  
Экземпляр СНИИГГиМС. Вяткинская скв. 3-Р, гл. 1646—1650 м. Верхний подъярус волжского яруса — берриас (?), марьяновская свита.

Фиг. 7, 8. *Recurvoides paucus* Дубровская, subsp. *inflatus* Булыпникова,  $\times 52$ .  
7 — голотип 606, СНИИГГиМС. Деминская скв. 16, гл. 1184—1191,6 м. 8 — экземпляр 605, СНИИГГиМС. Резимовская скв. 105-Р, гл. 1504—1509 м. Нижний готерив, алясовская свита.

Таблица 74

Фиг. 1. *Recurvoides obskiensis* Романова,  $\times 52$ .  
Экземпляр 605, СНИИГГиМС. Резимовская скв. 105-Р, гл. 1545—1548 м. Нижний готерив, алясовская свита.

Фиг. 2, 5—7. *Recurvoides neremovensis* Булыпникова,  $\times 52$ .

2 — голотип 624, 5—7 — экземпляры 539, 627, 636 (шлиф); СНИИГГиМС. 2, 6 — Неремовская скв. 104, гл. 1410,2—1415,2 м. 7 — Березовская скв. 40, гл. 1285—1288 м. Нижний готерив, алясовская свита. 5 — Танопчинская скв. 3, гл. 1352—1356 м. Нижний готерив, ахская свита.

Фиг. 3, 4. *Recurvoides dubrovskajae* Булыпникова,  $\times 52$ .  
3 — голотип 629, 4 — топотип 631; СНИИГГиМС. Деминская скв. 19, гл. 1295—1298 м. Нижний готерив, зона *Speetonicerus versicolor*, алясовская свита.

Таблица 75

Фиг. 1. *Evolutinella schleiferi* (Шаровская),  $\times 52$ .  
Экземпляр 620, СНИИГГиМС. Резимовская скв. 105-Р, гл. 1581—1585 м. Верхний подъярус волжского яруса, тутлеймская свита.

Фиг. 2. *Evolutinella volossatovi* (Шаровская),  $\times 52$ .  
Экземпляр 844, СНИИГГиМС. Эсская скв. 2, гл. 1588,6—1592,6 м. Возраст тот же.

Фиг. 3—6. *Evolutinella emeljanzevi* (Schleifer),  $\times 52$ .  
Экземпляры 626, 652, 621 и 621a; СНИИГГиМС. 3 — Вяткин-  
ская скв. 2, гл. 1624—1627 м. Верхний подъярус волжского яру-  
са — берриас, у границы марьяновской и ахской свит; 4, 5 —  
Сухо-Дудинская скв. 1, гл. 1031,3—1040,3 м. Верхний подъярус  
волжского яруса, яновстанская свита. 6 — Рявкинская скв. 4,  
гл. 1400—1406 м. Берриас, куломзинская свита.

#### Таблица 76

Фиг. 1. *Evolutinella fimbriata* (Schagovskaja),  $\times 60$ .  
Экземпляр 1009/35, ВНИИОкеангеология. Малохетская скв. Р-10,  
гл. 924—927 м. Берриас, паксинская свита.

Фиг. 2—5. *Evolutinella nascens* (Kusipa),  $\times 52$ .  
Экземпляры 765, 763, 764 и 762 (шлиф); СНИИГГиМС. Демин-  
ская скв. 28, гл. 1163—1165 м. Нижний готерив, алясовская  
свита.

Фиг. 6 *Evolutinella grandis* (Romanova),  $\times 52$ .  
Экземпляр 710, СНИИГГиМС. Сухо-Дудинская скв. 1, гл. 833—  
857 м. Валанжин, нижнехетская свита.

Фиг. 7. *Cribrostomoides ? sinuosus* Bulynnikova,  $\times 60$ .  
Экземпляр 679, ЗапСибНИГНИ. Усть-Балыкская скв. 72, гл.  
2147,7—2158,6 м. Валанжин — готерив, вартовская свита.

#### Таблица 77

Фиг. 1, 2. *Evolutinella grandis* (Romanova),  $\times 52$ .  
Экземпляры 1—ФБ/12, 619; СНИИГГиМС. 1 — Тюменская скв.  
1-ОП, гл. 1295—1296 м. 2 — Покровская скв. 4, гл. 1507,9—  
1510 м. Нижний валанжин, ахская свита.

Фиг. 3. *Cribrostomoides ? sinuosus* Bulynnikova,  $\times 52$ .  
Экземпляр 705, СНИИГГиМС. Покровская скв. 4-Р, гл. 1507—  
1510 м. Возраст тот же.

#### Таблица 78

Фиг. 1, 2. *Cribrostomoides ? sinuosus* Bulynnikova,  $\times 52$ .  
1 — голотип 797, 2 — толотип 797a; СНИИГГиМС. Покровская  
скв. 8, гл. 1568,2—1574,2 м. Нижний валанжин, ахская свита.

Фиг. 3. *Cribrostomoides infracretaceus* (Mjatljuk),  $\times 52$ .  
Экземпляр 718, СНИИГГиМС. Рявкинская скв. 5, гл. 1281,6—  
1292 м. Нижний валанжин, куломзинская свита.

Фиг. 4. *Labrospira ? mutabila* (Bulynnikova),  $\times 52$ .  
Голотип 626, СНИИГГиМС. Рявкинская скв. 4, гл. 1400—  
1406 м. Берриас, куломзинская свита.

Фиг. 5. *Labrospira ? aff. mutabila* Bulynnikova,  $\times 52$ .  
Экземпляр СНИИГГиМС. Владимирская скв. 1, гл. 1410,4—  
1413,9 м. Верхняя ? юра, тюменская свита (на 10 м выше по-  
верхности фундамента).

### Таблица 79

Фиг. 1—3. *Haplophragmoides volgensis* Mjatljuk subsp. *inviolatus* Dain,  $\times 52$ .

Экземпляры СНИИГГиМС. 1, 2 — Ермаковская скв. 1, гл. 721,8—728,3 м. Волжский ярус, яновстанская свита. 3 — Кыксинская скв. 1, гл. 1019,5—1020,5 м. Средний — верхний подъярусы волжского яруса, яновстанская свита.

Фиг. 4, 7, 8. *Cribrostomoides volubilis* (Romanova),  $\times 52$ .  
Экземпляры 720, 1Б/12-121, -122; СНИИГГиМС. 4 — Кыксинская скв. 1, гл. 1026—1032 м. Средний — верхний подъярусы волжского яруса, яновстанская свита. 7, 8 — Рявкинская скв. 5, гл. 1281,6—1292,6 м. Берриас ?, куломзинская? свита.

Фиг. 5, 6. *Haplophragmoides* ? sp.,  $\times 52$ .  
Экземпляры СНИИГГиМС. Сухо-Дудинская скв. 2, гл. 762,2—767,2 м. Нижний валанжин, суходудинская свита.

### Таблица 80

Фиг. 1—3. *Cribrostomoides* sp.,  $\times 52$ .

Экземпляры СНИИГГиМС. Игарский профиль, скв. 3, гл. 421,1—424,5 м. Волжский ярус, яновстанская свита.

Фиг. 4, 5. *Cribrostomoides infracretaceous* (Mjatljuk),  $\times 52$ .

Экземпляры СНИИГГиМС. 4 — п-ов Пакса, обн. 32. Верхний подъярус волжского яруса, зона *Chetaites chetae*, паксинская свита. 5 — Деминская скв. 33, гл. 1308,7—1312,7 м. Нижний готерив, алясовская свита.

### Таблица 81

Фиг. 1. *Cribrostomoides umbonatus* (Romanova),  $\times 52$ .

Экземпляр 649, СНИИГГиМС. Добринская скв. 3-Р, гл. 1131—1138 м. Берриас — нижний валанжин, ахская свита.

Фиг. 2, 3. *Cribrostomoides* ? *kellogensis* Bulynnikova, sp. nov.,  $\times 52$ .

2 — экземпляр 604, СНИИГГиМС. Кыксинская скв. 3, гл. 1003—1011 м. Волжский ярус — берриас (?), яновстанская свита. 3 — голотип 1—Б/12-61, СНИИГГиМС. Кыксинская скв. 1, гл. 1026—1031 м. Средний — верхний (?) подъярусы волжского яруса, яновстанская свита.

### Таблица 82

Фиг. 1, 2, 4. *Cribrostomoides romanovae* Bulynnikova,  $\times 52$ .

1, 4 — экземпляры 648, 970, 2 — голотип 730; СНИИГГиМС. 1—2 — Медведевская скв. 21, гл. 815—821,2 м. Нижний готерив, ахская свита. 4 — Добринская скв. 3, гл. 1131—1138 м. Берриас — нижний валанжин, ахская свита.

Фиг. 3. *Cribrostomoides umbonatus* (Romanova),  $\times 52$ .  
Экземпляр 717, СНИИГГиМС. Покровская скв. 3, гл. 1441,2—1449,3 м. Берриас — нижний валанжин, ахская свита.

**Таблица 83**

Фиг. 1—4. *Cribrostomoides concavoides* Bulynnikova,  $\times 52$ .

1 — голотип 766, 2—4 — экземпляры 785, 788, 789; СНИИГГиМС. 1, 2 — Добринская скв. 3, гл. 1102,1—1107,8 м. Нижний готерив, ахская свита (у границы с карбанской свитой). 3, 4 — Северо-Алясовская скв. 41, гл. 1239—1241 м. Нижний готерив, алясовская свита.

Фиг. 5. *Cribrostomoides romanovae* Bulynnikova,  $\times 52$ .  
Экземпляр СНИИГГиМС. Деминская скв. 33, гл. 1308,7—1312,7 м. Нижний готерив, алясовская свита.

Фиг. 6, 7. *Cribrostomoides umbonatus* (Romanova),  $\times 52$ .  
Экземпляры 851, 852; СНИИГГиМС. Покровская скв. 8, гл. 1566—1574,2 м. Нижний валанжин, ахская свита.

**Таблица 84**

Фиг. 1, 2, 5. *Vulbobaculites scabrum* (Bulynnikova),  $\times 52$ .  
1 — голотип 792, 2, 5 — экземпляры 790, 861; СНИИГГиМС. 1 — Октябрьская скв. 2, гл. 1322—1328 м. Берриас, куломзинская свита. 2, 5 — Добринская скв. 3, гл. 1145,6—1152 м. Берриас, ахская свита.

Фиг. 4. *Vulbobaculites concinnus* (Bulynnikova),  $\times 52$ .  
Голотип 690, СНИИГГиМС. Тюменская скв. 1-ОП, гл. 1273,3—1280,4 м. Валанжин, ахская свита.

Фиг. 3, 6—9. *Vulbobaculites indigenus* (Bulynnikova),  $\times 52$ .  
3, 7—9 — экземпляры 745, 747, 739 и 748, 6 — голотип 740; СНИИГГиМС. 3, 7 — Добринская скв. 3, гл. 1131—1138 м. Берриас — нижний валанжин, ахская свита. 6, 8, 9 — Медведевская скв. 21, гл. 815—821,2 м. Нижний готерив, ахская свита.

**Таблица 85**

Фиг. 1—3. *Vulbobaculites proluxus* (Bulynnikova),  $\times 52$ .  
1 — голотип 689, 2, 3 — экземпляры 771, 688; СНИИГГиМС. Ярская скв. 3, гл. 1284,3—1289,9 м. Нижний готерив, ахская свита.

Фиг. 4, 5. *Ammobaculites praegoodlandensis* Bulynnikova,  $\times 52$ .  
Экземпляры 658, 1—ФБ/13-50; СНИИГГиМС. 4 — Добринская скв. 3, гл. 1145—1152 м. Берриас, ахская свита. 5 — п-ов Пакса, обн. 33. Берриас, зона *Chetaites sibiricus*, паксинская свита.

Таблица 86

Фиг. 1—5. *Ammobaculites praegoodlandensis* Булыпникова,  $\times 52$ .  
1 — голотип 681, 2—5 — экземпляры 1—ФБ/13-49, -48, 681а, 854; СНИИГГиМС. 1 — Добринская скв. 3, гл. 1145,6—1152,9 м. Берриас, ахская свита. 2, 3 — п-ов Пакса, обн. 33. Верхний подъярус волжского яруса, паксинская свита. 4 — Покровская скв. 6-Р, гл. 1444 м. 5 — Медведевская скв. 21, гл. 936,8—941,7 м. Берриас, ахская свита.

Таблица 87

Фиг. 1—3. *Ammobaculites subasper* Булыпникова,  $\times 52$ .  
1—2 — экземпляры 685, 774, 3 — голотип 775; СНИИГГиМС. 1, 2 — Березовская? скв. 23, гл. 1312,9—1314,9 м. Нижний готерив, алясовская свита. 3 — Добринская скв. 3, гл. 1102,1—1107,8 м. Нижний готерив, карбанская свита.

Фиг. 4—6. *Ammobaculites inornatus* Булатова,  $\times 52$ .  
Экземпляры 758, 758а, 871; СНИИГГиМС. 4, 5 — Добринская скв. 3, гл. 1131—1138 м. Берриас — нижний валанжин, ахская свита. 6 — Ракитинская скв. 6, гл. 1580—1686 м. Валанжин, ахская свита.

Фиг. 7. *Ammobaculites torosus* Таррап,  $\times 52$ .  
Экземпляр 779, СНИИГГиМС. Ракитинская скв. 6, гл. 1580—1586 м. Валанжин, ахская свита.

Фиг. 8. *Ammobaculites* ? sp.,  $\times 52$ .  
Экземпляр 793, СНИИГГиМС. Таборинская скв. 1, гл. 1220—1226,7 м. Верхний подъярус волжского яруса — берриас?, марьяновская свита.

Таблица 88

Фиг. 1. *Ammobaculites gerkei* Шагровская,  $\times 52$ .  
Экземпляр 578, СНИИГГиМС. Покровская скв. 4, гл. 1474,4—1475 м. Валанжин, ахская свита.

Фиг. 2. *Ammobaculites sertaeformis* Булыпникова, sp. nov.,  $\times 52$ .  
Голотип 779, СНИИГГиМС. Ракитинская скв. 6, гл. 1580—1586 м. Валанжин, ахская свита.

Фиг. 3, 4. *Ammobaculites fragosus* Булыпникова,  $\times 52$ .  
3 — экземпляр 818, 4 — голотип 817; СНИИГГиМС. Тавдинская скв. 1, гл. 1192—1195,5 м. Нижний готерив, карбанская свита (у границы с ахской свитой).

Таблица 89

Фиг. 1, 2. *Ammobaculites artutus* Булыпникова,  $\times 52$ .  
1 — экземпляр 761, 2 — голотип 761; СНИИГГиМС. Медведевская скв. 21, гл. 815—821 м. Нижний готерив, ахская свита.

Фиг. 3, 4. *Ammobaculites* sp.,  $\times 52$ .  
Экземпляры 858, 857; СНИИГГиМС. Березовская скв. 1, гл. 1271,4—1280,2 м. Нижний готерив, алясовская свита.

Таблица 90

Фиг. 1. *Triplasia* ? sp.,  $\times 52$ .  
Голотип 876, СНИИГГиМС. Медведевская скв. 21, гл. 815—821,2 м. Нижний готерив, ахская свита.

Таблица 91

Фиг. 1—5. *Kutsevella difficilis* (Kusina).  
1 — голотип 458/1, ВНИГРИ,  $\times 71$ . Покровская скв. 3, гл. 1366—1373 м. Готерив, карбанская свита. 2, 4, 5 — экземпляры 742, 864, 865; СНИИГГиМС,  $\times 52$ . Покровская скв. 4, гл. 1474—1475 м. Готерив, ахская свита. 3 — экземпляр 458/3, ВНИГРИ,  $\times 72$ . Покровская скв. 4, гл. 1377—1384 м. Готерив, карбанская свита.

Фиг. 6—8. *Ammoscalaria tenuitestata* Kusina.  
6, 8 — экземпляры 741, 863; СНИИГГиМС,  $\times 51$ . Покровская скв. 4, гл. 1474—1475 м. Готерив, ахская свита. 7 — голотип 458/5, ВНИГРИ,  $\times 72$ . Покровская скв. 3-Р, гл. 1380—1387 м. Готерив, карбанская свита.

Таблица 92

Фиг. 1, 2. *Ammobaculoides sibiricus* (Romanova),  $\times 42$ .  
Экземпляры 201, 201a; СНИИГГиМС. Рязкинская скв. 5, гл. 1292—1308 м. Берриас, куломзинская свита (нижняя часть, у границы с марьяновской свитой).

Фиг. 3—6. *Acruliammina pseudolonga* Subbotina.  
3 — экземпляр 439, ЗапСибНИГНИ,  $\times 60$ . Шаганская скв. 180, гл. 1118,9—1121,9 м. 4 — голотип 519/133, ВНИГРИ,  $\times 72$ . Южно-Алясовская скв. 22, гл. 1341,7—1345,8 м. Нижний готерив, алясовская свита. 5, 6 — экземпляры 815, 814; СНИИГГиМС,  $\times 52$ . Медведевская скв. 24, гл. 1063,5—1075,5 м. Возраст и слои те же, ахская свита.

Фиг. 7—10. *Spiroplectamina improcera* Bulynnikova, sp. nov.  
7 — голотип 900, 8—10 — экземпляры; СНИИГГиМС; 7, 8 а, в, 9, 10 —  $\times 52$ . 8 —  $\times 80$ . Медведевская скв. 21, гл. 847,3—860,6 м. Нижний готерив, ахская свита.

Фиг. 11, 12. *Pseudobolivina* (?) sp.,  $\times 52$ .  
Экземпляры СНИИГГиМС. Устремская скв. 3-Р, гл. 1267—1268 м. Нижний готерив, алясовская свита.

Фиг. 13, 14. *Pseudobolivina jamalica* Rykova,  $\times 40$ .  
13 — голотип 2144, 14 — топотип 2143; ЗапСибНИГНИ. Харасавэйская скв. 19, гл. 3165—3179 м. Нижний валанжин, ахская свита.

Фиг. 15, 16. *Trochammina rosacea* Zaspelova,  $\times 52$ .  
Экземпляры СНИИГГиМС. Кыксинская скв. 1, гл. 1026,7—1031 м. Средний—верхний (?) подъярусы волжского яруса, яновстанская свита.

Фиг. 17. *Trochammina composita* Bulynnikova,  $\times 52$ .  
Экземпляр 1—Б/12-74, СНИИГГиМС. Там же.

#### Таблица 93

Фиг. 1. *Trochammina rosaceaformis* Romanova,  $\times 40$ .  
Экземпляр ВСЕГЕИ, Центральный геологический музей. Рязнинская скв. 3-Р, гл. 1304—1307 м. Берриас—валанжин?, куломзинская свита.

Фиг. 2—4. *Trochammina polymera* Dubrovskaja.  
2—экземпляр 404, ЗапСибНИГНИ,  $\times 68$ . Чуэльская скв. 89 (10-Р), гл. 1628—1633 м. Берриас, тутлеймская свита. 3—экземпляр СНИИГГиМС,  $\times 52$ . Тавдинская скв. 1, гл. 1243,5—1245,5 м. 4—голотип 393, ЗапСибНИГНИ,  $\times 60$ . Макаркинская скв. 67, гл. 1269—1271 м. Берриас, ахская свита.

Фиг. 5, 6. *Trochammina sibirica* N. Belousova,  $\times 40$ .  
5—голотип 2039, 6—экземпляр 2041; ЗапСибНИГНИ. Малотепловская скв. 82, гл. 2448,5—2452 м. Валанжин, мегионская свита.

Фиг. 7. *Trochammina parvilocolata* Gerke et Scharovskaja, sp. nov.  
Голотип 1009/102, ВНИИОкеангеология. П-ов Нордвик, скв. К-481, гл. 116,9 м. Валанжин.

Фиг. 8, 9. *Trochammina anabarensis* Bulynnikova,  $\times 52$ .  
Голотип 1—ФБ/13-26, экземпляр 1—ФБ/13-27; СНИИГГиМС. Р. Анабар, обн. 1. Нижний валанжин, зона *Temnoptychites syzranicus*, харабыльская свита.

#### Таблица 94

Фиг. 1. *Trochammina ficta* Romanova,  $\times 40$ .  
Голотип 7766, ВСЕГЕИ. Тюменская скв. 1-ОП, гл. 1265,8—1271,8 м. Валанжин, ахская свита.

Фиг. 2, 3. *Trochammina neocomiana* Mjatljuk,  $\times 40$ .  
Экземпляры 1012, 1015; ЗапСибНИГНИ. Тюменская скв. 1-ОП, 2—гл. 1265,8—1271,3 м, 3—гл. 1273,3—1280 м. Готерив, ахская свита.

Фиг. 4—7. *Trochammina gyroidiniformis* Mjatljuk,  $\times 60$ .  
4—6—экземпляры 385а, 385, 384; ЗапСибНИГНИ. 4—Инги-Соимская скв. 15, гл. 1283—1288 м. 5, 6—Алтатумская скв. 160, гл. 1350,2—1356 м. 7—экземпляр СНИИГГиМС. Инги-Соимская скв. 15-Р, гл. 1283—1288 м. Нижний готерив, алясовская свита.

Фиг. 8. *Trochammina micra* N. Belousova,  $\times 40$ .  
Голотип 1035, ЗапСибНИГНИ. Минчимкинская скв. 23, гл. 2107—2111,5 м. Готерив, вартовская свита.

Фиг. 9, 10. *Trochammina schaimica* Kisseleva, sp. nov.,  $\times 60$ .

9 — голотип 1036, 10 — экземпляр 1039; ЗапСибНИГНИ. Шаимская скв. 81, гл. 1479,5—1483 м. Готерив, улансынская свита (нижняя часть).

Фиг. 11, 13. *Trochammina* ex gr. *mugiensis* Dain et Bulynnikova,  $\times 40$ .

Экземпляры 2044, 2043; ЗапСибНИГНИ. Малотепловская скв. 82, гл. 2448,5—2452,5 м. Валанжин, мегионская свита.

Фиг. 12. *Trochammina fusca* N. Belousova,  $\times 40$ .  
Голотип 1033, ЗапСибНИГНИ. Уватская скв. 1, гл. 2212—2216 м. Нижний готерив, ахская свита.

#### Таблица 95

Фиг. 1, 2. *Trochammina mugiensis* Dain et Bulynnikova, sp. nov.,  $\times 72$ .

1 — голотип, 2 — топотип; ВНИГРИ. Профиль Азовы—Мужи, скв. 4, гл. 854 м. Нижний готерив, алясовская свита, устремская пачка.

Фиг. 3, 4. *Orientalia ? baccula* Schleifer, sp. nov.,  $\times 60$ .  
3 — голотип 1009/125, ВНИИОкеангеология. Южный Тигян, скв. 220, гл. 15—24 м. Берриас—валанжин. 4 — экземпляр 715, ЗапСибНИГНИ, Шугинская скв. 82, гл. 1779,6—1783 м. Валанжин, ахская свита.

Фиг. 5. *Tritaxia gracila* Nochrina, sp. nov.,  $\times 40$ .  
Голотип 2171, ЗапСибНИГНИ. Шухтунгортская скв. 325, гл. 1650—1652,6 м. Готерив, алясовская свита.

#### Таблица 96

Фиг. 1. *Valvulammina ? ratnovskajae* Kusina,  $\times 72$ .  
Голотип 458/15, ВНИГРИ. Заводоуковская скв. 3, гл. 1155—1161 м. Готерив, карбанская свита.

Фиг. 2. *Verneuilinoides neocomiensis* (Mjatljuk),  $\times 40$ .  
Экземпляр 1028, ЗапСибНИГНИ, Новопортовская скв. 58, гл. 2063,7—2069,2 м. Валанжин—готерив, яротинская свита.

Фиг. 3. *Verneuilinoides kansasensis* Loeblich et Tarraп,  $\times 68$ .

Экземпляр 395, ЗапСибНИГНИ. Неремовская скв. 104, гл. 1418,3—1415,3 м. Берриас, тутлеймская свита.

Фиг. 4—6. *Saudryina gerkei* (Vassilenko).  
4, 6 — экземпляры 652, 650; ЗапСибНИГНИ,  $\times 60$ . 4 — Пугор-Пугольский профиль, скв. 23, гл. 634,5—642,5 м. 6 — Медведевская скв. 24, гл. 1124—1134 м. Берриас, ахская свита. 5 — эк-

земляр СНИИГГиМС,  $\times 52$ . П-ов Пакса, обн. 32. Верхний подъярус волжского яруса, зона *Chetaites chetae*, паксинская свита.

Фиг. 7, 8. *Orientalia* sp.,  $\times 60$ .

Экземпляры 1202, 2054; ЗапСибНИГНИ. 7 — Лянторская скв. 21, гл. 2196—2199,3 м. 8 — Федоровская скв. 99, гл. 2044—2047 м. Готерив, устьбалыкская свита, лимская пачка.

Фиг. 9, 10. *Pseudobolivina textularoides* Dain in koll.

Голотип ВНИГРИ. Медведевская скв. 24, гл. 1000—1010 м. Нижний готерив, ахская свита.

Фиг. 11. *Rzehakina* sp.,  $\times 80$ .

Экземпляр СНИИГГиМС. Заводоуковская скв. 4, гл. 1128—1130 м. Готерив, карбанская свита.

#### Таблица 97

Фиг. 1—3. *Hechtina vagiformis* Булупникова,  $\times 52$ .

1—3 — экземпляры 1—ФБ/12-79, -79а, 112; СНИИГГиМС. Варламовская скв. 1, гл. 375,3 м. Верхний валанжин—готерив—баррем?, юрацкая? свита.

Фиг. 4—8. *Quinqueloculina berjosovica* Putrja,  $\times 52$ .

4—7 — экземпляры СНИИГГиМС. Деминская скв. 17, гл. 1286,8—1294,7 м. 8 — голотип 27, ЗапСибНИГНИ. Макаркинская скв. 68 (2), гл. 1214—1215 м. Готерив, алясовская свита.

Фиг. 9, 10. *Miliammina* cf. *awunensis* Таррап,  $\times 52$ .

Экземпляры СНИИГГиМС. Туруханская скв. 1-ОР, гл. 1948,3—1954,6 м. Валанжин, юрацкая свита.

#### Таблица 98

Фиг. 1, 2, 6. *Lenticulina vegeta* Булупникова,  $\times 52$ .

1 — экземпляр 1—ФБ/12-104, 2 — голотип 1—ФБ/12-103; СНИИГГиМС. Медведевская скв. 22, гл. 828—837 м. 6 — экземпляр СНИИГГиМС. Медведевская скв. 21, гл. 860—867 м. Нижний готерив, ахская свита.

Фиг. 3—5. *Lenticulina firma* Булупникова,  $\times 52$ .

3 — голотип 1—Б/12-83, 4, 5 — экземпляры; СНИИГГиМС. 3 — Татарская скв. 1, гл. 2280—2287 м. Нижний валанжин, тарская свита. 4 — Горбуновская скв. 1, гл. 1906—1911 м. Берриас, куломзинская свита. 5 — п-ов Пакса, обн. 33. Нижний валанжин, паксинская свита.

Фиг. 7—9. *Lenticulina pseudoarctica* Е. Иванова.

7 — голотип 250/31, ИГиГ СО АН СССР,  $\times 60$ . Р. Боярка, берриас, букатыйская свита. 8, 9 — экземпляры 1—Б/12-100, -99; СНИИГГиМС,  $\times 52$ . 8 — Чебурлинская скв. 1, гл. 1891,1—1894,4 м. Нижний валанжин, тарская свита. 9 — Медведевская скв. 21, гл. 873,6—878,6 м. Готерив, ахская свита.

## Таблица 99

Фиг. 1. *Lenticulina pseudoarctica* E. Иванова,  $\times 52$ .  
Экземпляр СНИИГГиМС. Татарская скв. 3, гл. 2407—2410 м. Берриас? — нижний валанжин, куломзинская свита.

Фиг. 2—4. *Lenticulina gigantella* Романова,  $\times 52$ .  
Экземпляры 1—Б/12-105, -106, -109; СНИИГГиМС. 2, 3—Татарская скв. 1, гл. 2280—2287 м. Нижний валанжин, куломзинская свита. 4—Чебурлинская скв. 2, гл. 2069—2077 м. Берриас? — нижний валанжин, куломзинская свита.

## Таблица 100

Фиг. 1, 3. *Lenticulina gigantella* Романова,  $\times 52$ .  
Экземпляры 1—Б/12-102, -108; СНИИГГиМС. 1—Большереченская скв. 2, гл. 2429,5—2431 м. 3—Чебурлинская скв. 2, гл. 2036—2042 м. Нижний валанжин, тарская свита.

Фиг. 2, 4, 5. *Lenticulina arctica* Schleifer.  
2—экземпляр 1009, ВНИИОкеангеология,  $\times 60$ . Южный Тигян, скв. К-281, гл. 117 м. Валанжин, харабыльская свита. 4, 6—экземпляры СНИИГГиМС,  $\times 52$ . 4—Медведевская скв. 21, гл. 838,5—847,3 м. Нижний готерив, ахская свита. 6—п-ов Пакса, обн. 32. Берриас, зона *Bojarkia mesezhnikovi*, паксинская свита.

## Таблица 101

Фиг. 1—8. *Lenticulina variabilis* Романова,  $\times 52$ .  
1—7—экземпляры 1—Б/12-90, -91, -92, -95, -96, -98, -93; СНИИГГиМС. Заводоуковская скв. 3, гл. 1155—1161 м. Готерив, карбанская свита. 8—экземпляр СНИИГГиМС. Медведевская скв. 21, гл. 838,8—847,3 м. Нижний готерив, ахская свита.

Фиг. 9. *Lenticulina versiformis* Вулупникова,  $\times 52$ .  
Голотип 1—Б/13-39, СНИИГГиМС. П-ов Пакса, обн. 32. Берриас, зона *Chetaites sibiricus*, паксинская свита.

## Таблица 102

Фиг. 1, 2. *Saracenaria* (?) sp.,  $\times 52$ .  
Экземпляры СНИИГГиМС. 1—Горбуновская скв. 1, гл. 1906—1911 м. Берриас — нижний валанжин, куломзинская свита. 2—Большереченская скв. 2, гл. 2442,9—2446,6 м. Нижний валанжин, тарская свита.

Фиг. 3—5, 10. *Lenticulina* sp.,  $\times 52$ .  
Экземпляры СНИИГГиМС. 3, 4—Медведевская скв. 21, гл. 873,6—878,6 м. Нижний готерив, ахская свита. 5—Сухо-Дудинская скв. 1, гл. 927,6—943,3 м. Нижний валанжин, нижнехетская свита. 10—Варламовская скв. 1, гл. 496,8 м. Валанжин, вартовская? свита.

Фиг. 6. *Lenticulina vegeta* Булупникова,  $\times 52$ .  
Экземпляр СНИИГГиМС. Долганская скв. 2, гл. 1205—1214 м.  
Валанжин, нижнехетская свита.

Фиг. 7. *Astacolus* sp.,  $\times 52$ .  
То же.

Фиг. 8, 11. *Lenticulina variabilis* Романова,  $\times 52$ .  
Экземпляры 1—Б/12-97, -94; СНИИГГиМС. Заводоуковская  
скв. 3, гл. 1155—1162 м. Готерив, карбанская свита.

Фиг. 9. *Lenticulina prima* Воготякова,  $\times 40$ .  
Голотип 1970, ЗапСибНИГНИ. Вершинная скв. 418, гл. 2092—  
2097 м. Готерив, вартовская свита.

#### Таблица 103

Фиг. 1. *Lenticulina variabilis* Романова,  $\times 40$ .  
Экземпляр ВСЕГЕИ. Заводоуковская скв. 2, гл. 1112—1113 м.  
Готерив, карбанская свита.

Фиг. 2. *Lenticulina lideri* Романова,  $\times 40$ .  
Голотип ВСЕГЕИ. Омская скв. 1, гл. 2167—2172,8 м. Нижний  
валанжин, тарская свита.

Фиг. 3. *Saracenaria lucida* Булупникова, sp. nov.,  $\times 52$ .  
Голотип 1—Б/12-87, СНИИГГиМС. Татарская скв. 1, гл. 2280—  
2287 м. Нижний валанжин, куломзинская свита.

Фиг. 4. *Astacolus* aff. *loinoensis* Dain,  $\times 52$ .  
Экземпляр СНИИГГиМС. То же.  
Фиг. 5—7. *Saracenaria* sp.,  $\times 52$ .  
5 — экземпляр 1—Б/12-84, 6, 7 — экземпляры; СНИИГГиМС.  
Долганская скв. 2, гл. 1205—1214 м. Валанжин, нижнехетская  
свита.

Фиг. 8. *Astacolus* sp.,  $\times 52$ .  
Экземпляр 801, СНИИГГиМС. Ванзеватская скв. 51, гл. 1346,6—  
1347,6 м. Нижний готерив, алясовская свита.

Фиг. 9. *Astacolus* ex gr. *tigjanensis* (Schleifer),  $\times 52$ .  
Экземпляр СНИИГГиМС. Медведевская скв. 21, гл. 838,5—  
847,3 м. Нижний готерив, ахская свита.

Фиг. 10. *Astacolus* aff. *schlönbachi* (Reuss),  $\times 52$ .  
Экземпляр СНИИГГиМС. Татарская скв. 2, гл. 2343—2349 м.  
Берриас, куломзинская свита.

#### Таблица 104

Фиг. 1. *Astacolus aleskerovae* (Романова),  $\times 40$ .  
Голотип 7766, ВСЕГЕИ. Тебисская скв. 1, гл. 2112—2117 м.  
Нижний валанжин, куломзинская свита.

Фиг. 2—4. *Astacolus* (*Marginulinopsis*?) *parallelaeformis* (Ро-  
манова),  $\times 40$ .  
2 — экземпляр ВСЕГЕИ. Татарская скв. 2, гл. 2265—2271 м.  
Нижний валанжин, куломзинская свита. 3, 4 — экземпляры  
СНИИГГиМС. Горбуновская скв. 1, гл. 1906—1914 м. Берриас,  
куломзинская свита.

- Фиг. 5. *Marginulina gracilissima* (Reuss),  $\times 40$ .  
Экземпляр ВСЕГЕИ. Тюменская скв. 1-ОП, гл. 1301—1306 м.  
Нижний валанжин, ахская свита.
- Фиг. 6. *Marginulina zaspelovae* Романова,  $\times 40$ .  
Голотип ВСЕГЕИ. Татарская скв. 1, гл. 2327—2334 м. Нижний  
валанжин, куломзинская свита.
- Фиг. 7, 9. *Marginulina striatocostata* Reuss,  $\times 60$ .  
Экземпляры 440, 440а, ЗапСибНИГНИ. 7 — Похромская скв. 189,  
гл. 1423—1427 м. Валанжин, алясовская свита. 9 — Устремская  
скв. 65, гл. 1139—1141 м. Нижний готерив, алясовская свита.
- Фиг. 8. *Marginulina robusta* Reuss,  $\times 40$ .  
Экземпляр 535, ЗапСибНИГНИ. Похромская скв. 189, гл. 1423—  
1427 м. Валанжин, алясовская свита (деминская пачка).
- Фиг. 10, 11. *Geinitzinita arctocretacea* Gerke.  
Экземпляры ВНИИОкеангеология. Сындаско, скв. К-24/5,  
гл. 443 м. Валанжин.
- Фиг. 12. *Citharinella* cf. *filloides* (Schleifer),  $\times 52$ .  
Экземпляр СНИИГГиМС. Медведевская скв. 21, гл. 860—867 м.  
Нижний готерив, ахская свита.

#### Таблица 105

- Фиг. 1, 5. *Globulina praelacrима* Mjatluk.  
1 — экземпляр 519/94 ВНИГРИ,  $\times 47$ . Вяткинская скв. 4,  
гл. 1594—1600 м. Валанжин, ахская свита. 5 — экземпляр 572,  
ЗапСибНИГНИ,  $\times 60$ . Сургутская скв. 50, гл. 2204—2208 м. Ва-  
ланжин—готерив, вартовская свита.
- Фиг. 2. *Globulina tubifera* Kusina,  $\times 102$ .  
Голотип 519/261, ВНИГРИ. Покровская скв. 3, гл. 1380—1387 м.  
Готерив, карбанская свита.
- Фиг. 3. *Guttulina racemiformis* Kusina,  $\times 102$ .  
Голотип 649/38, ВНИГРИ. Покровская скв. 3, гл. 1380—1387 м.  
Возраст тот же.
- Фиг. 4. *Sigtomorphina variabilis* Kusina,  $\times 102$ .  
Голотип 638/1, ВНИГРИ. То же.
- Фиг. 6. *Sigtomorphina botryosa* Вулупникова,  $\times 52$ .  
Голотип 1—ФБ/12-115, СНИИГГиМС. Варламовская скв. 1,  
гл. 375,3 м. Валанжин—готерив, вартовская ? свита.
- Фиг. 7. *Valanginella tatarica* (Романова),  $\times 60$ .  
Экземпляр 235, ЗапСибНИГНИ. Обская скв. 1, гл. 212,4—  
214,4 м. Берриас, ахская свита.

#### Таблица 106

- Фиг. 1. *Saccammina callosa* Vulatova.  
Экземпляр СНИИГГиМС: а — общий вид,  $\times 72$ ; б — фрагмент  
поверхности стенки раковины,  $\times 360$ . Медведевская скв. 21,  
гл. 838—847 м. Нижний готерив, ахская свита.
- Фиг. 2. *Tolyrammina dainae* Вулупникова, sp. nov.  
Голотип 1—ФБ/12-38, СНИИГГиМС: а — общий вид,  $\times 100$ ;  
240

б — поверхность стенки раковины,  $\times 1200$ . Медведевская скв. 24, гл. 1075,5—1087,5 м. Нижний готерив, ахская свита.

Фиг. 3. *Glomospirella galinae* Scharovskaja.

Экземпляр СНИИГГиМС: а — общий вид,  $\times 72$ ; б — поверхность стенки раковины,  $\times 780$ . Нижний Имбат, скв. 7, гл. 267—270 м. Оксфорд, сиговская свита.

#### Таблица 107

Фиг. 1, 2. *Ammodiscus kosyrevaе* Bulynnikova, sp. nov.  
1 — экземпляр 1—Б/12-53, СНИИГГиМС,  $\times 44$ . Сухо-Дудинская скв. 1, гл. 905,3—916,5 м. Валанжин, нижнехетская свита.  
2 — экземпляр 1—Б/12-51, СНИИГГиМС: а — общий вид,  $\times 44$ ; б — поверхность стенки раковины,  $\times 1200$ . Медведевская скв. 24, гл. 1075,5—1087,5 м. Нижний готерив, ахская свита.

Фиг. 3. *Glomospirella multivoluta* (Romanova),  $\times 104$ .

Экземпляр СНИИГГиМС. Деминская скв. 19, гл. 1257—1261,9 м. Нижний готерив, алясовская свита.

Фиг. 4. *Recurvoides praeobskiensis* Dain et Bulynnikova.

Экземпляр 1—ФБ/13-11, СНИИГГиМС: а — общий вид,  $\times 72$ ; б — поверхность стенки раковины,  $\times 1800$ . П-ов Пакса, обн. 32. Верхний подъярус волжского яруса, зона *Chetaites chetae*, паксинская свита.

#### Таблица 108

Фиг. 1. *Glomospirella multivoluta* (Romanova),  $\times 72$ .

Экземпляр СНИИГГиМС. Березовская скв. 34, гл. 1227,5—1230 м. Нижний готерив, алясовская свита.

Фиг. 2. *Glomospirella ex gr. gaultina* (Berthelin),  $\times 240$ .

Экземпляр СНИИГГиМС. П-ов Пакса, обн. 33. Берриас, паксинская свита.

Фиг. 3—5. *Ammodiscus continentalis* (Scharovskaja).

Экземпляры 1—Б/12-45, 144, 52, СНИИГГиМС: 3а, 4 — общий вид,  $\times 160$ ; 3б — поверхность стенки раковины,  $\times 800$ . Завьяловская скв. 3, гл. 2000,1—2006,1 м. Валанжин, тарская свита.  
5а — общий вид,  $\times 78$ ; 5б — поверхность стенки раковины,  $\times 660$ . Рязкинская скв. 1, гл. 1256—1265 м. Валанжин — нижний готерив, киялинская свита.

#### Таблица 109

Фиг. 1. *Evolutinella grandis* (Romanova).

Экземпляр 1—Б/12-66, СНИИГГиМС: а — общий вид,  $\times 60$ ; б — поверхность стенки раковины,  $\times 1200$ . Тюменская скв. 1-ОП, гл. 1273,3—1280 м. Нижний валанжин, ахская свита.

Фиг. 2. *Cribrostomoides ? sinuosus* Bulynnikova.

Экземпляр 1—Б/12-67, СНИИГГиМС: а — общий вид,  $\times 54$ ; б — поверхность стенки раковины,  $\times 1200$ . Покровская скв. 4, гл. 1507,6—1510,6 м. Возраст тот же.

Фиг. 3, 4. *Cribrostomoides infracretaceous* (Mjatljuk),  $\times 72$ .

Экземпляры 1—Б/12-69, -58; СНИИГГиМС. Сухо-Дудинская скв. 1, гл. 833—857 м. Нижний валанжин, нижнехетская свита.

#### Таблица 110

Фиг. 1, 2. *Cribrostomoides infracretaceous* (Mjatljuk).

Экземпляры 1—Б/12-65, -63; СНИИГГиМС: а—общий вид; б—поверхность стенки раковины; 1а— $\times 60$ , 1б— $\times 660$ , 2а— $\times 78$ , 2б— $\times 720$ . 1—Медведевская скв. 21, гл. 838,8—847,3 м. 2—Медведевская скв. 24, гл. 1037,3—1047,3 м. Нижний готерив, ахская свита.

#### Таблица 111

Фиг. 1, 2. *Cribrostomoides umbonatus* (Romanova).

Экземпляры СНИИГГиМС: 1а—общий вид,  $\times 72$ ; 1б—поверхность стенки раковины,  $\times 640$ ; 2— $\times 86$ . Р. Анабар, обн. 1. Нижний валанжин, харабыльская свита.

Фиг. 3. *Cribrostomoides infracretaceous* (Mjatljuk),  $\times 86$ . Экземпляр СНИИГГиМС. Медведевская скв. 24, гл. 1037,3—1047,3 м. Нижний готерив, ахская свита.

Фиг. 4. *Rzehacina* sp.,  $\times 150$ .

Экземпляр СНИИГГиМС. Татарская скв. 4, гл. 2407—2410 м. Берриас, куломзинская свита.

#### Таблица 112

Фиг. 1, 2. *Ammobaculites praegoodlandensis* Bulynnikova.

Экземпляры 1—ФБ/12-20, -21; СНИИГГиМС: а—общий вид; б—поверхность стенки раковины; 1а— $\times 56$ , 1б— $\times 780$ , 2а— $\times 86$ , 2б— $\times 660$ . П-ов Пакса, обн. 32. Берриас, зона *Chetaites sibiricus*, паксинская свита.

Фиг. 3. *Gaudryina gerkei* (Vassilenko).

Экземпляр СНИИГГиМС (молодая особь): а— $\times 42$ ; б— $\times 780$ . Там же.

#### Таблица 113

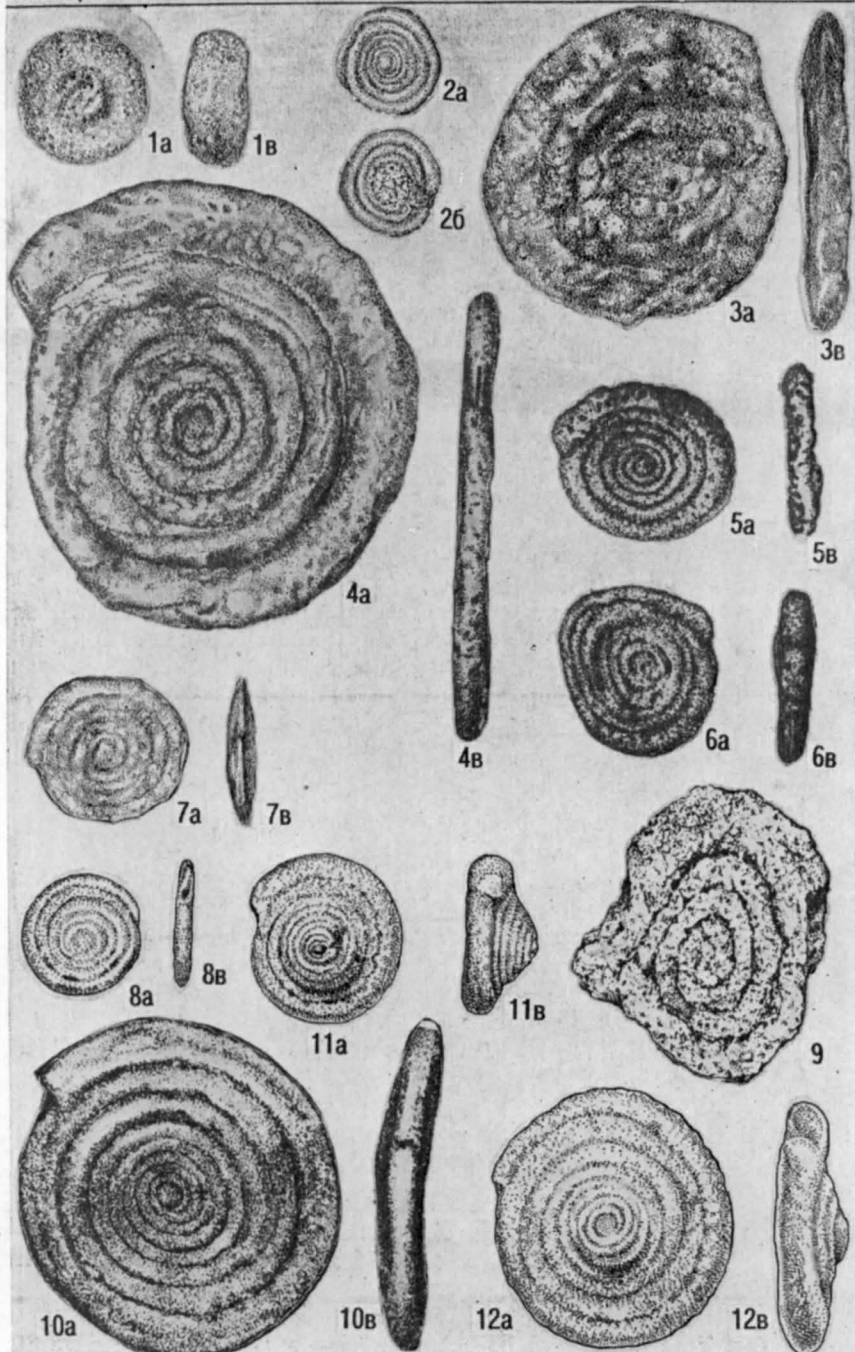
Фиг. 1—3. *Hechtina vagiformis* Bulynnikova,  $\times 110$ .

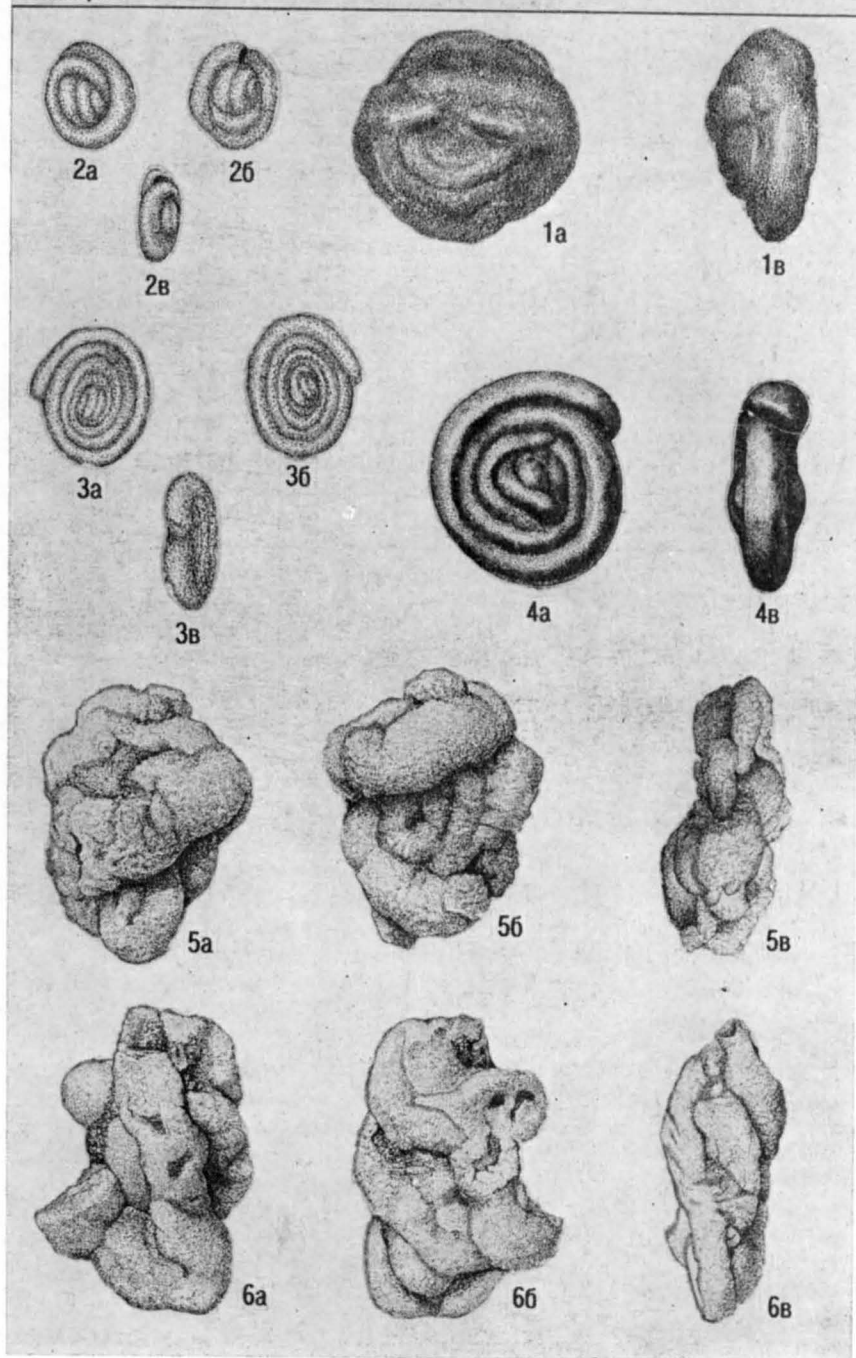
1—голотип 1—ФБ/12-84, 2, 3—экземпляры -81, -82; СНИИГГиМС. Варламовская скв. 1, гл. 375,3 м. Валанжин—готерив, баррем? юрацкая? свита.

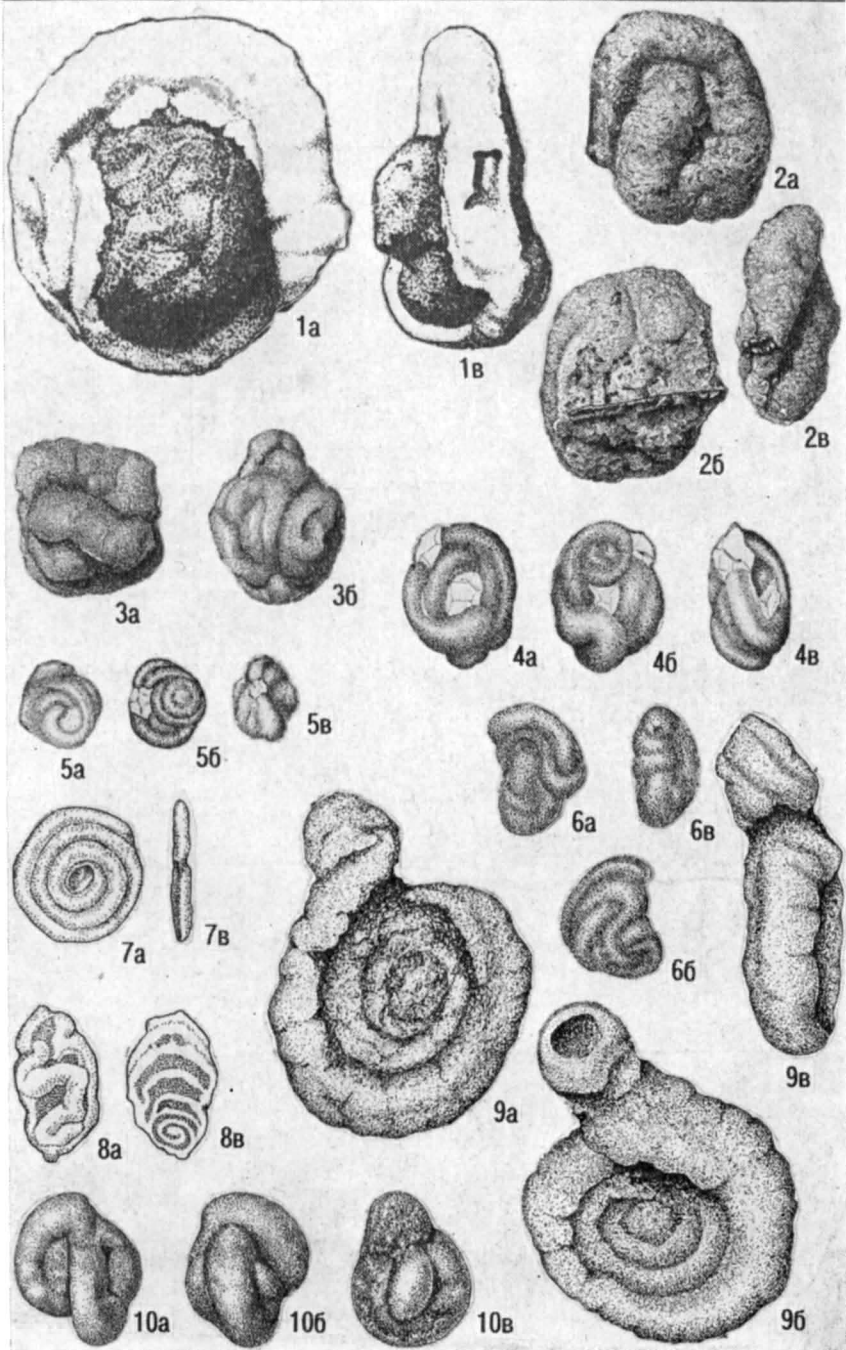
Фиг. 4, 5. *Quinqueloculina oviformis* Bulynnikova.

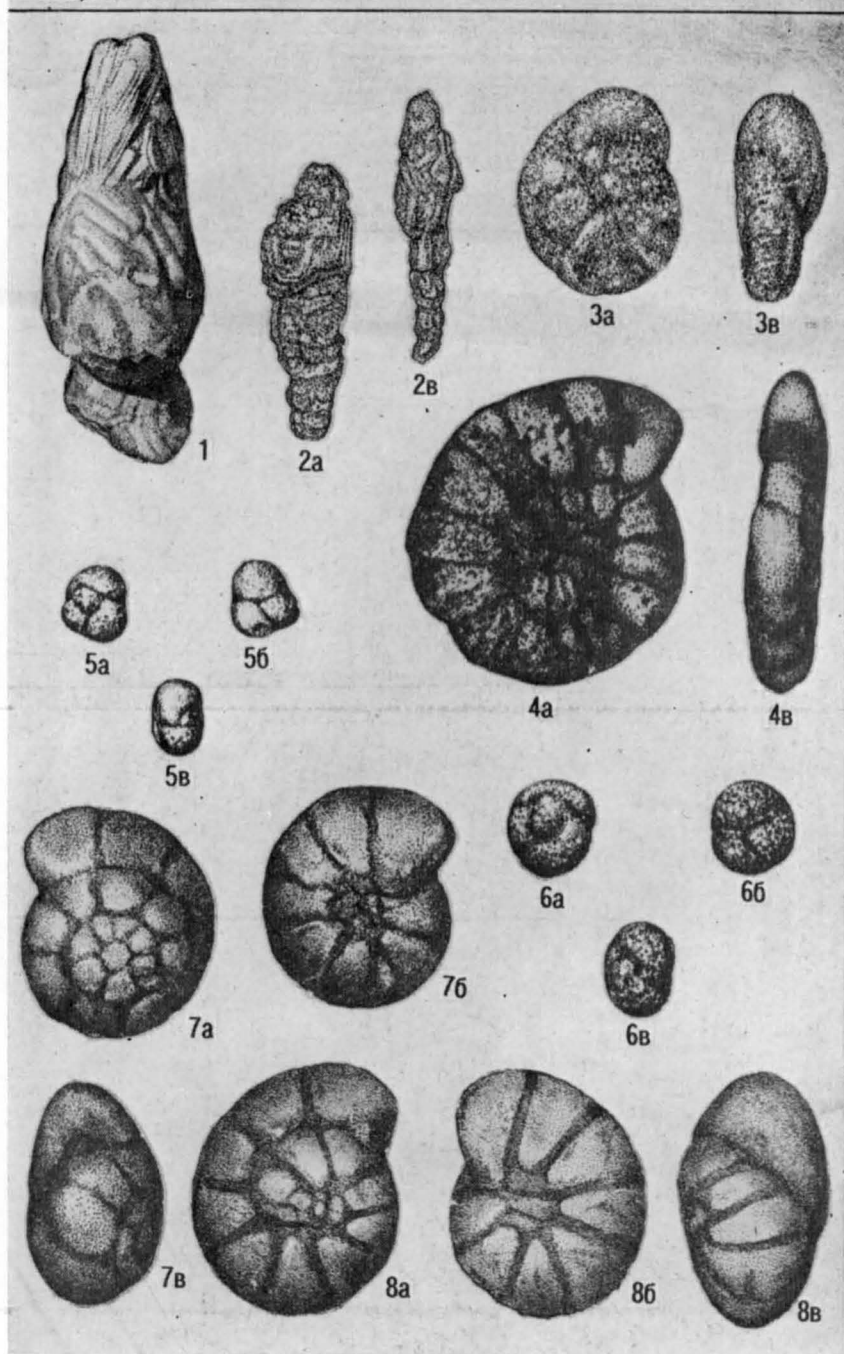
4—экземпляр 1—ФБ/12-79,  $\times 360$ , 5—голотип 1—ФБ/12-80: а— $\times 360$ , б— $\times 100$ ; СНИИГГиМС. Там же.

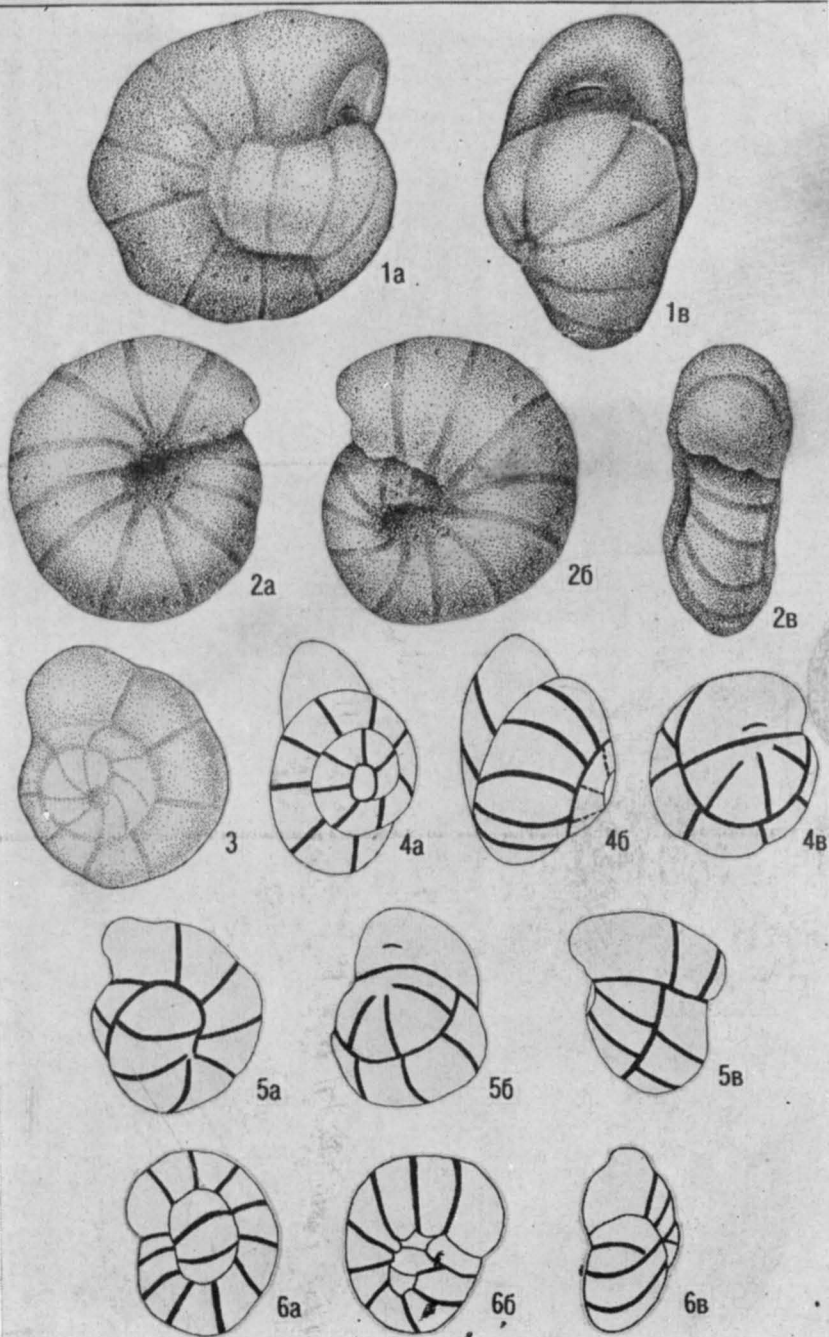
Таблица 1

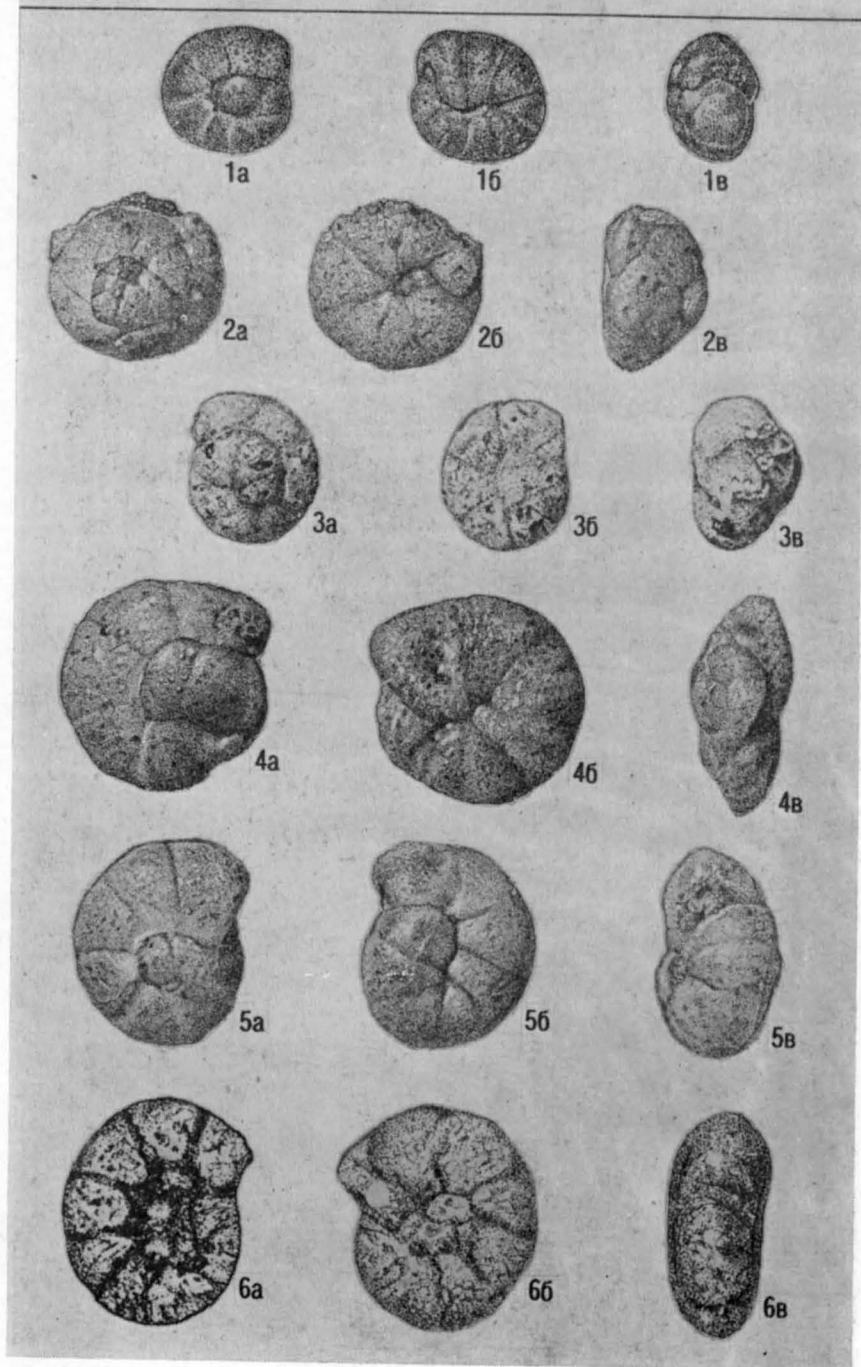














1a



1б



1в



2a



2б



2в



3a



3б



3в



5a



5б



5в



4a



4б



6a



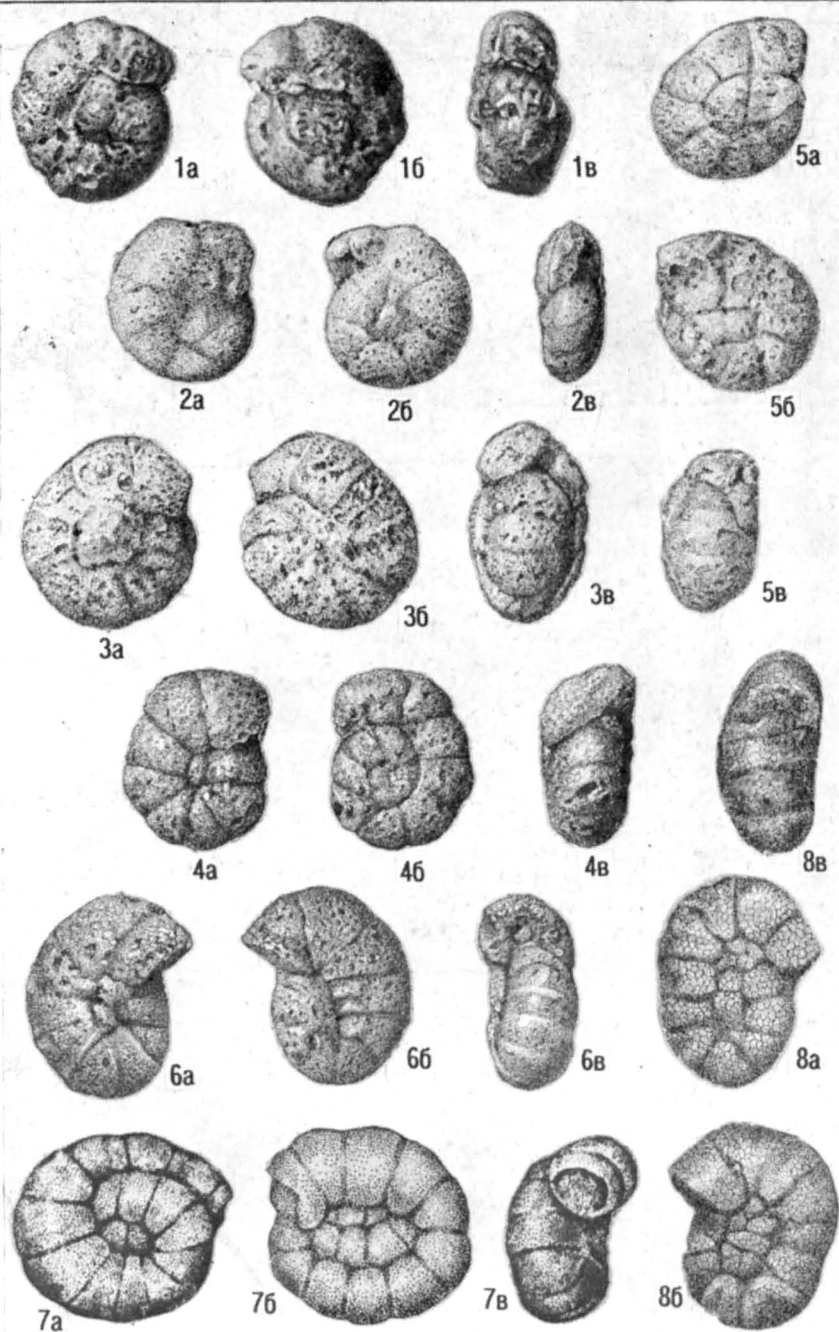
6б

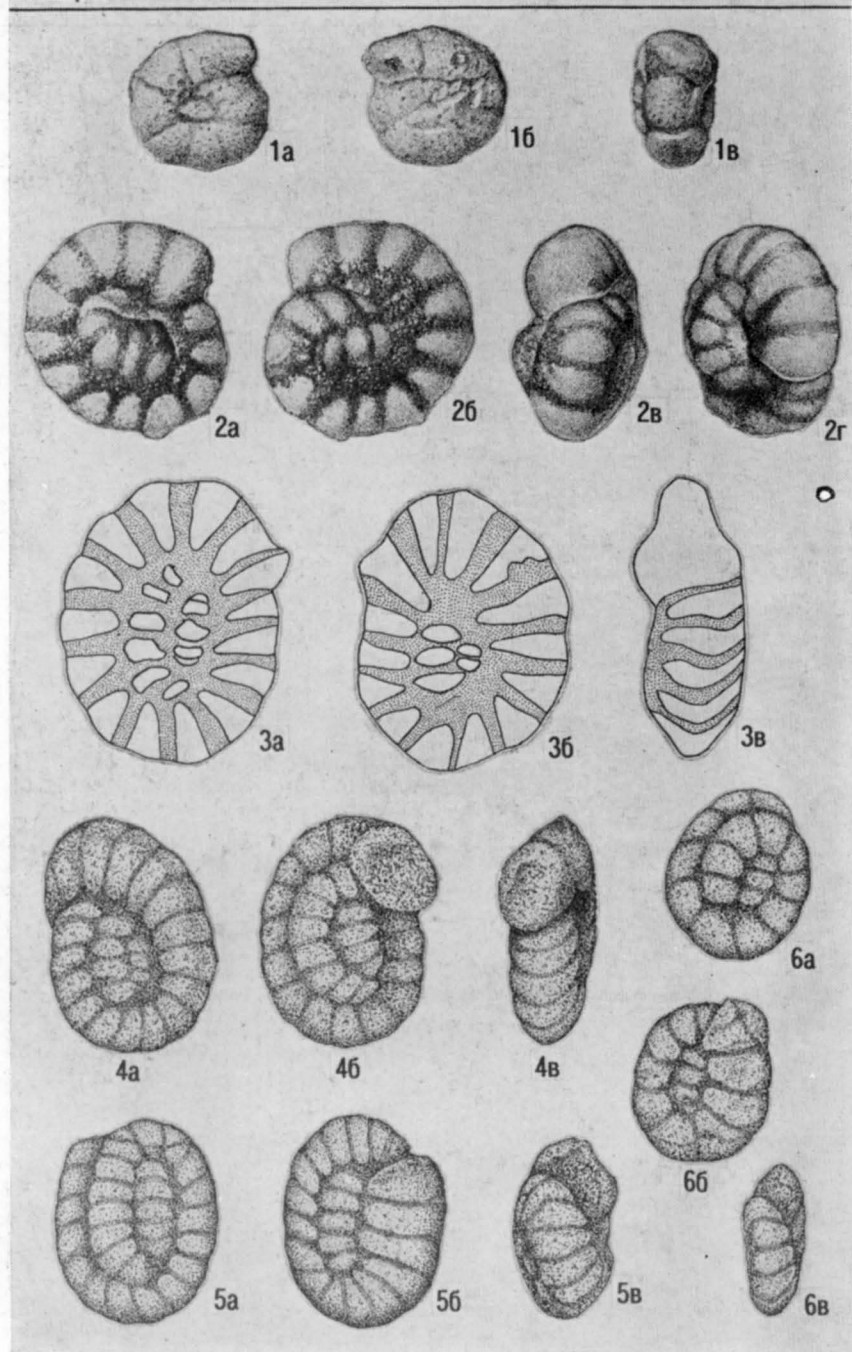


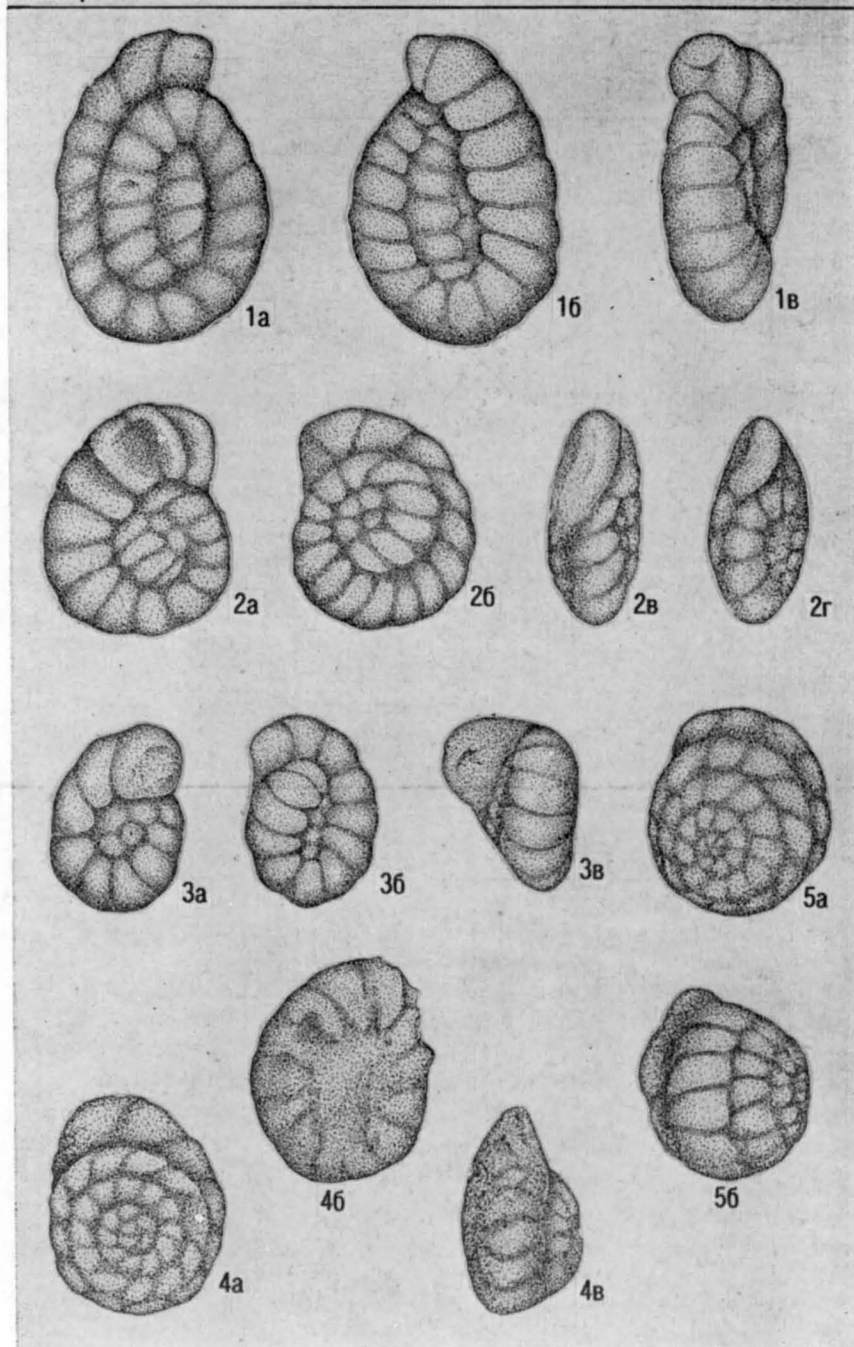
6в

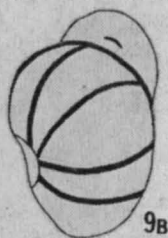
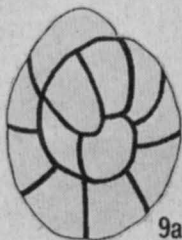
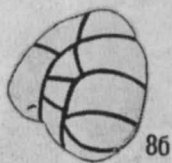
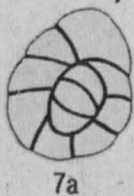
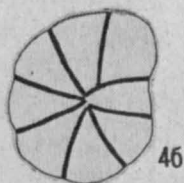
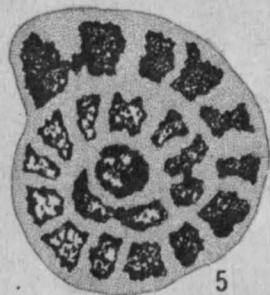
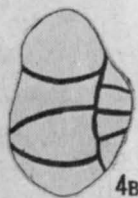
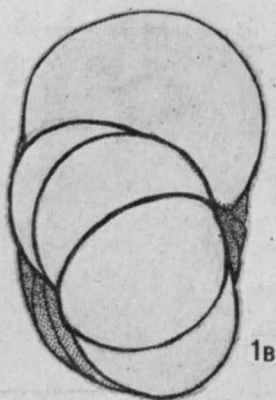


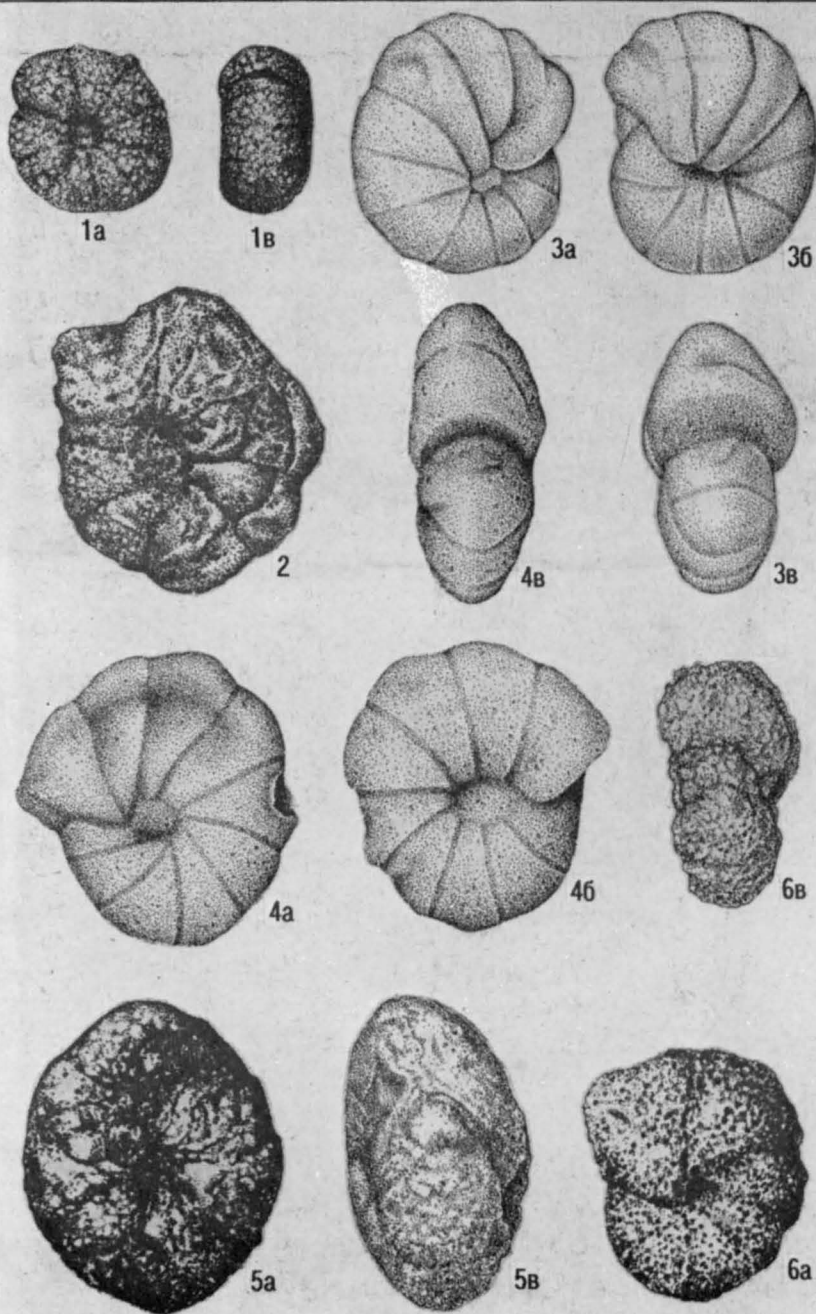
4в

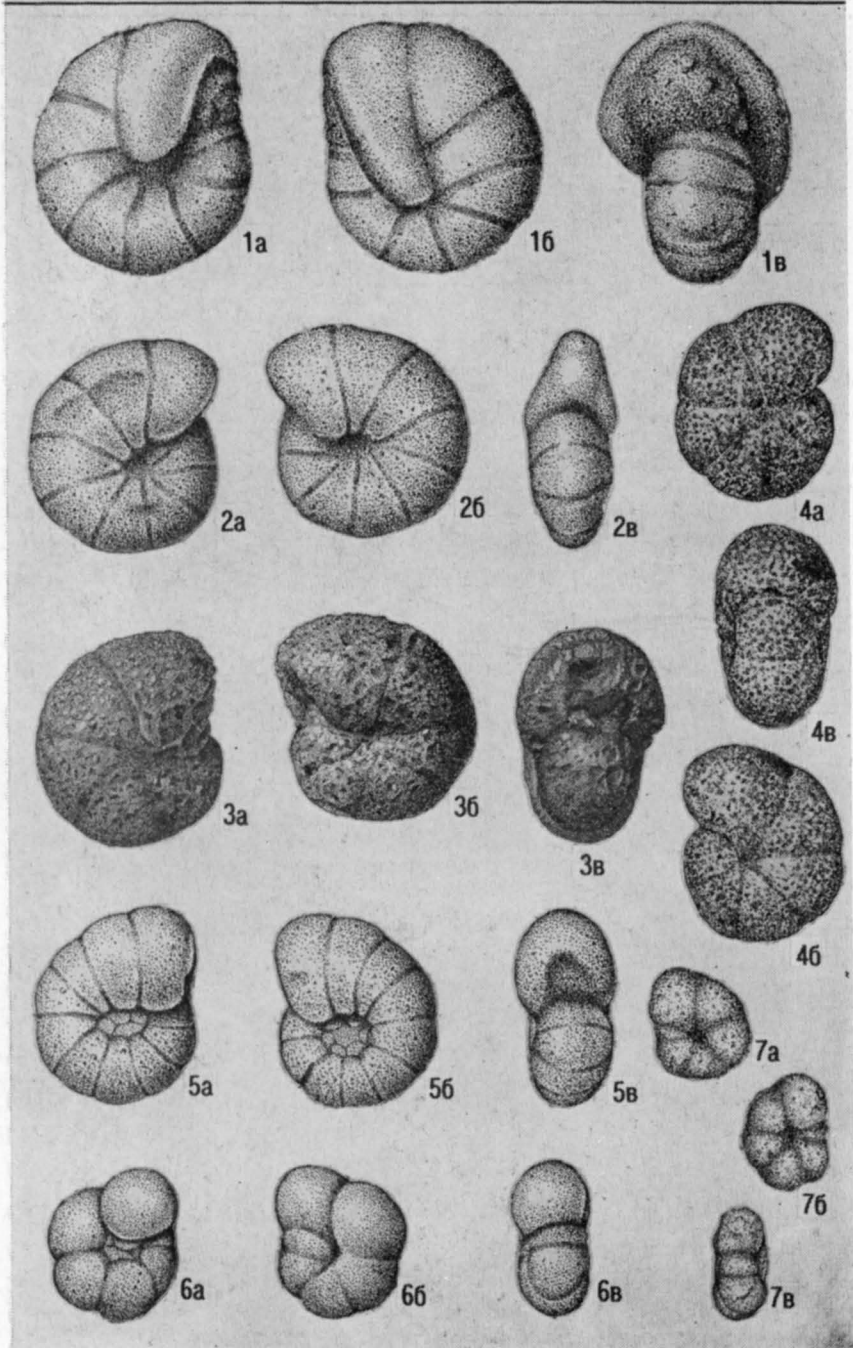


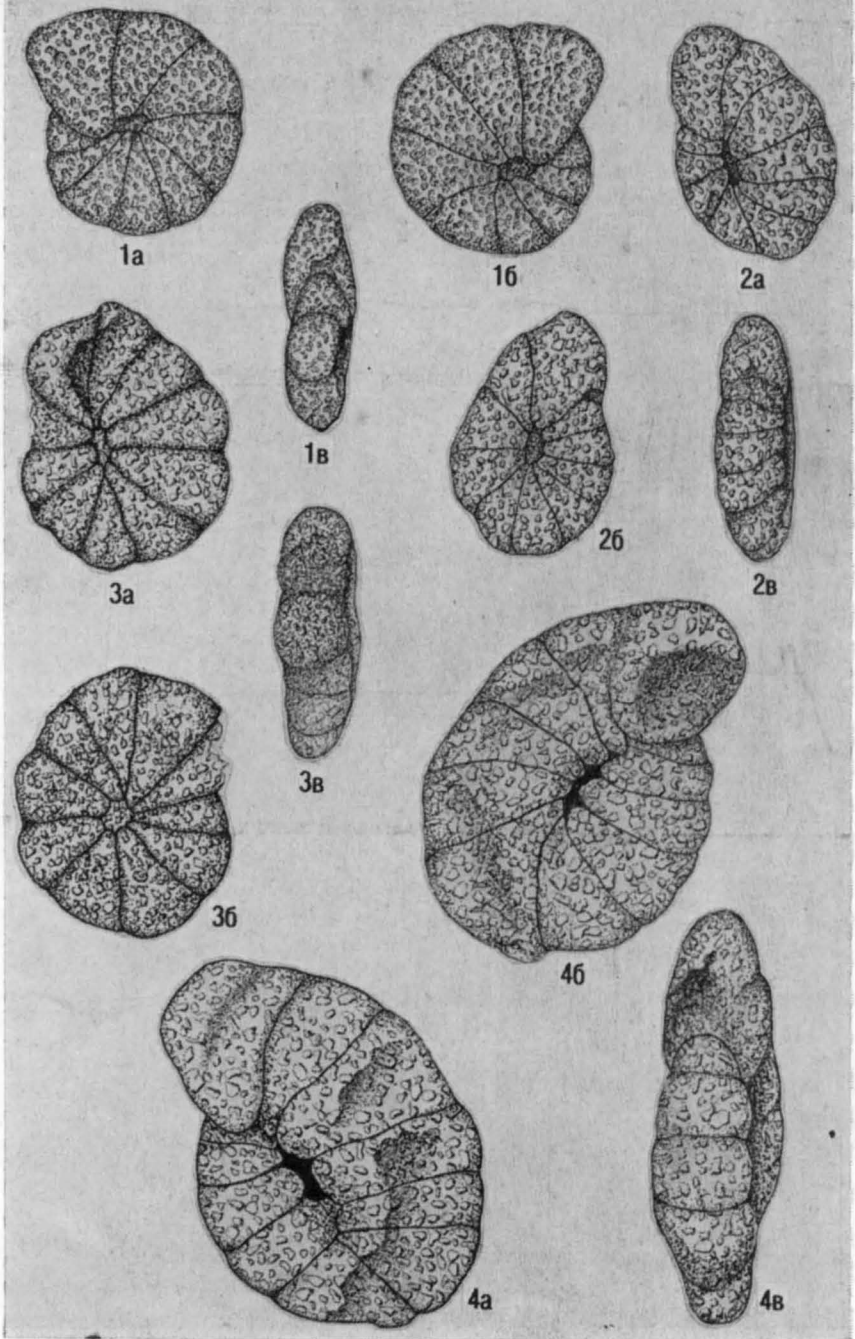






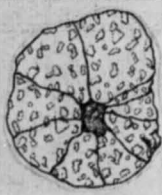








1а



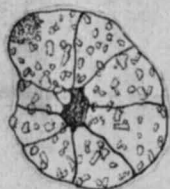
1б



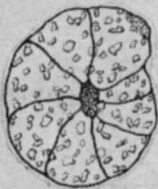
1в



2а



3а



3б



2б



2в



3в



4а



4б



4в



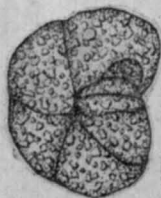
5а



6а



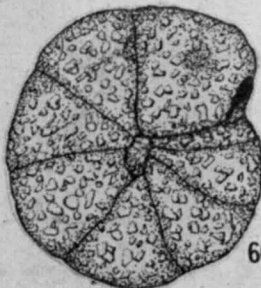
6б



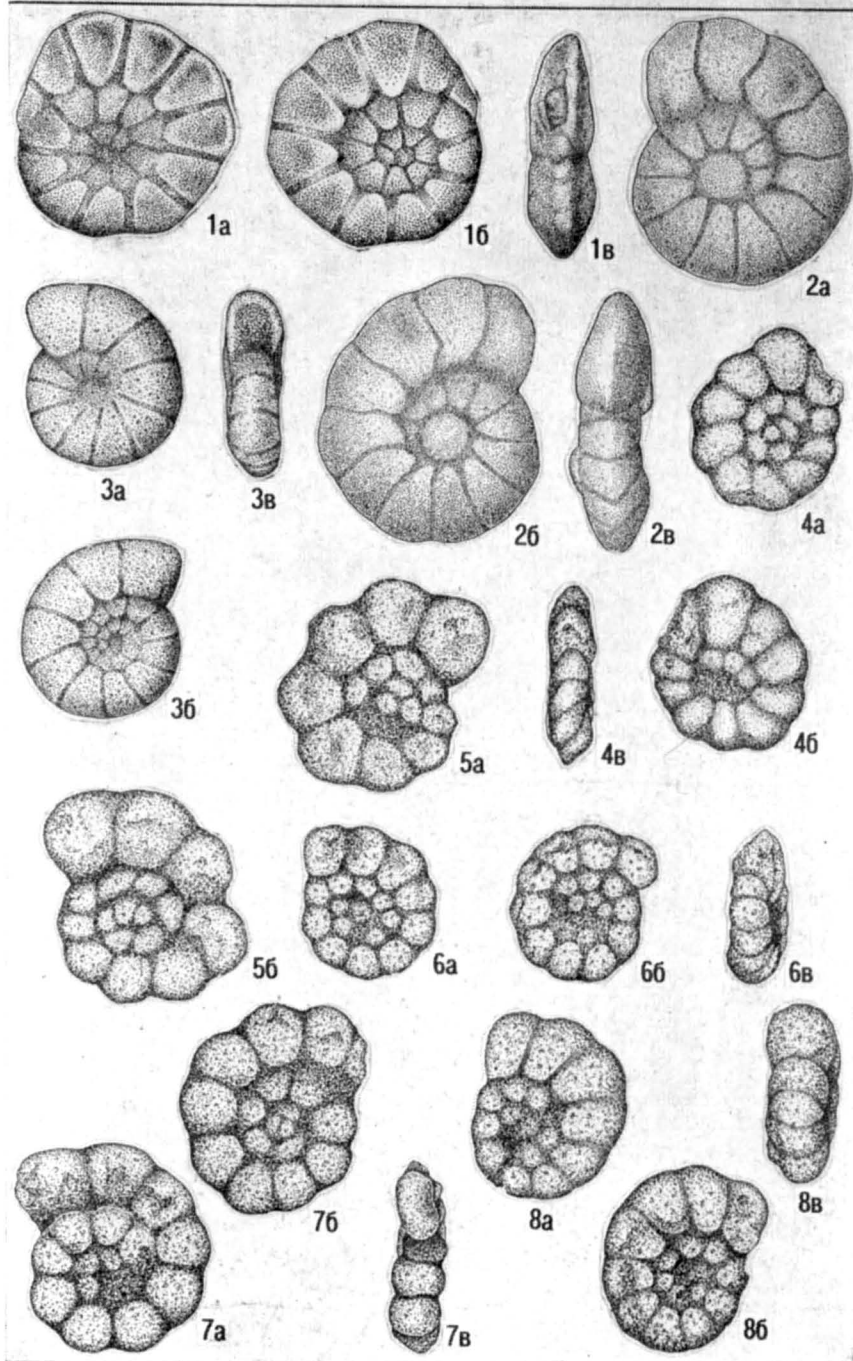
5б



5в

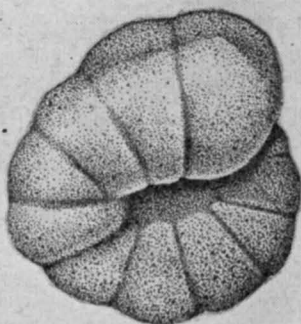


6в





1a



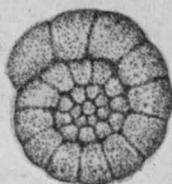
1б



1в



2a



2б



2в



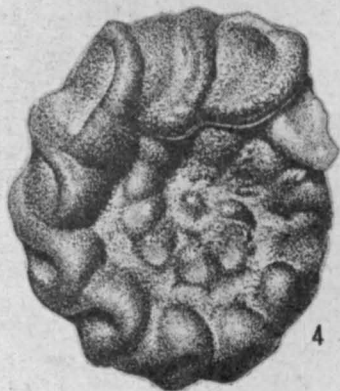
3a



3б



3в



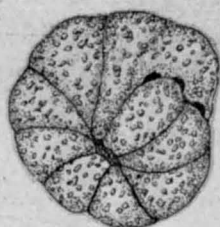
4



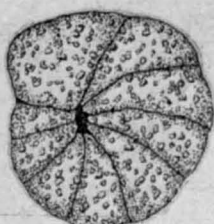
5a



5в



1a



1b



1b



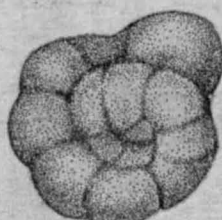
2a



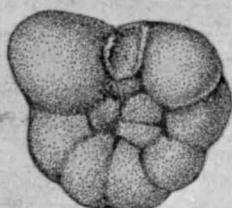
2b



2b



3a



3b



3b



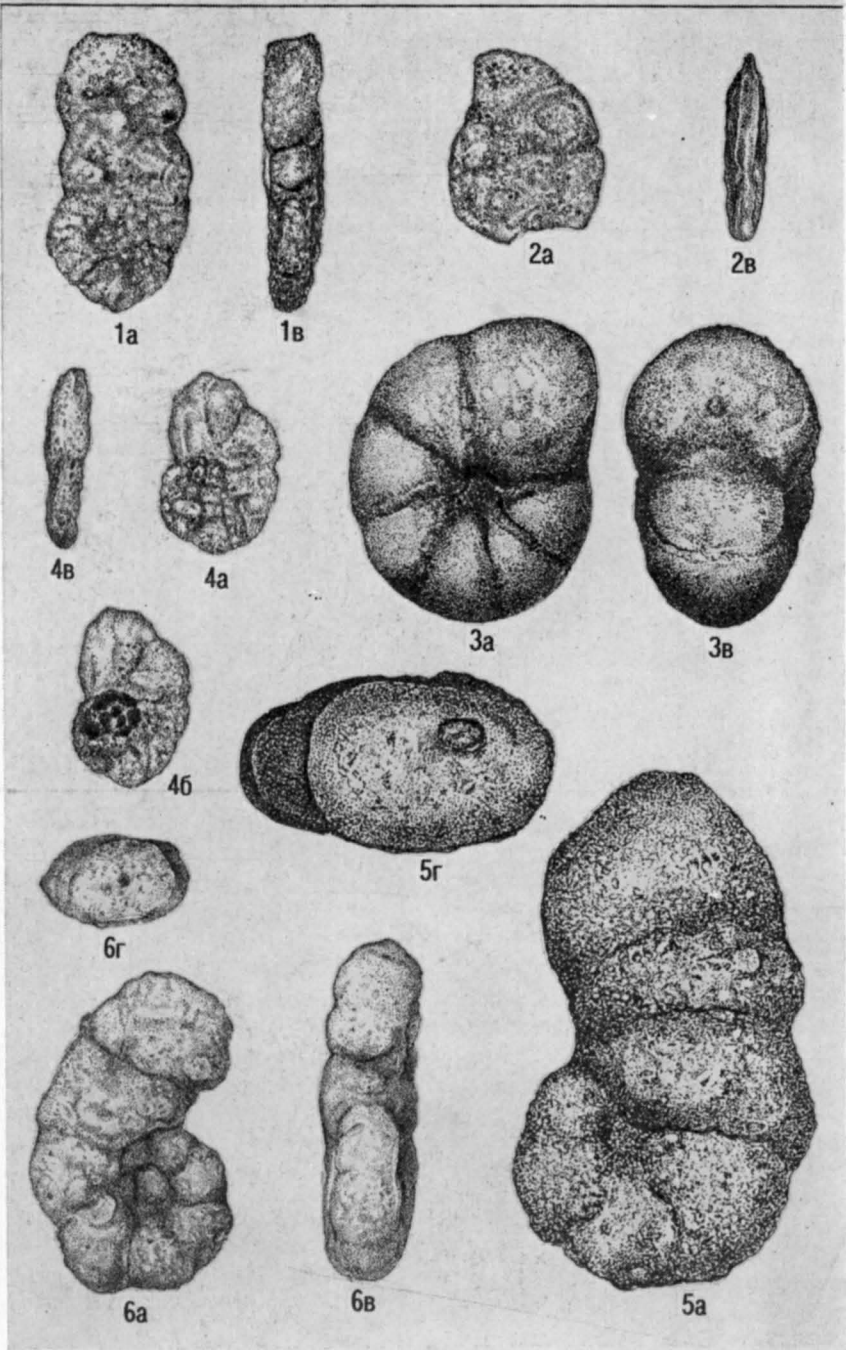
4

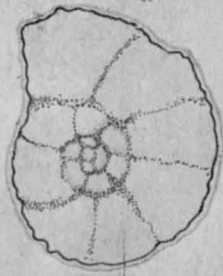


5a



5b





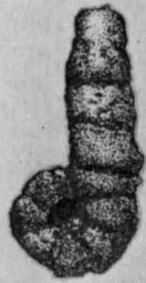
1



2a



2b



3a



3b



3



4a



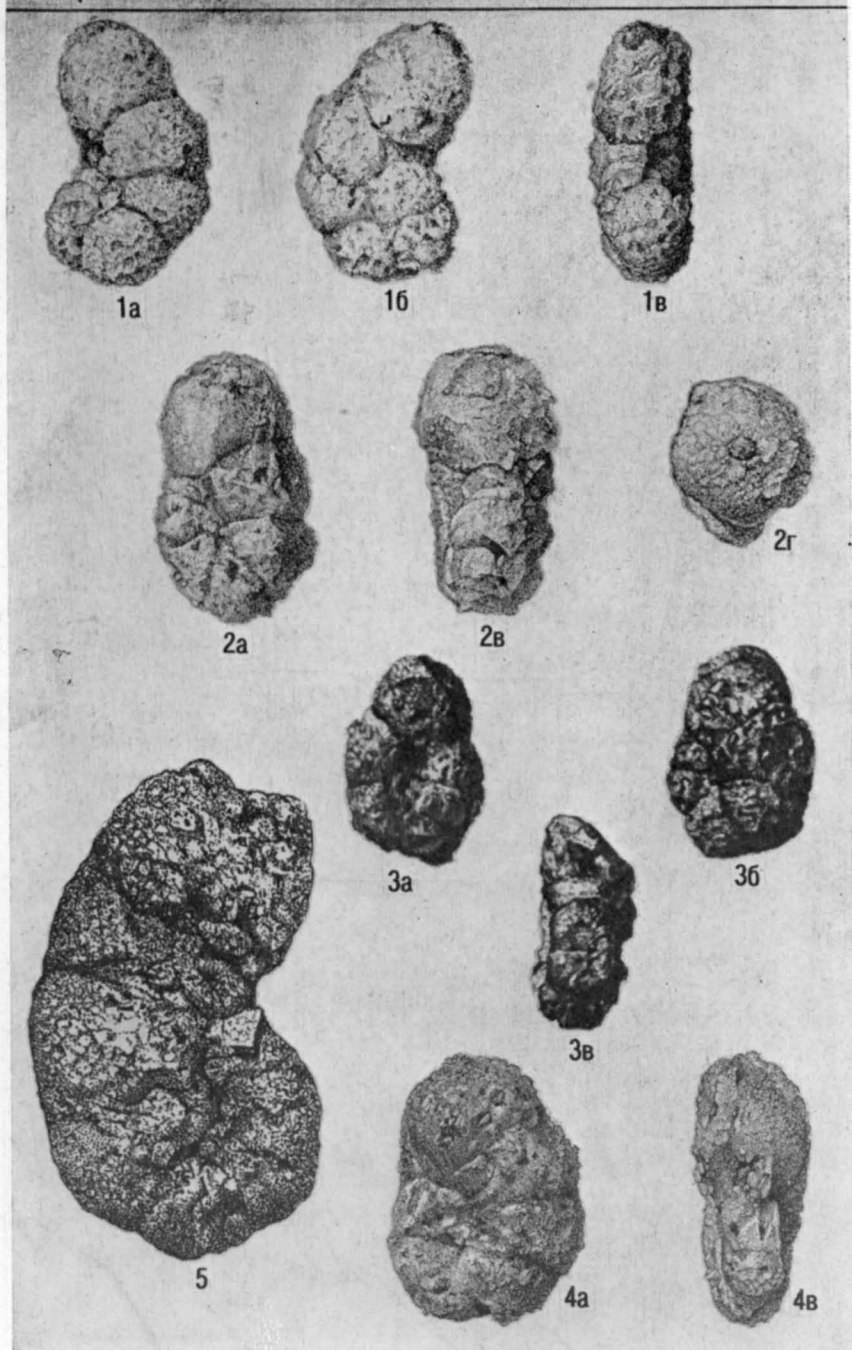
4b



5a



5b





1a



1b



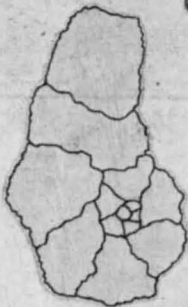
1в



2a



2b



2



2в



3



4a



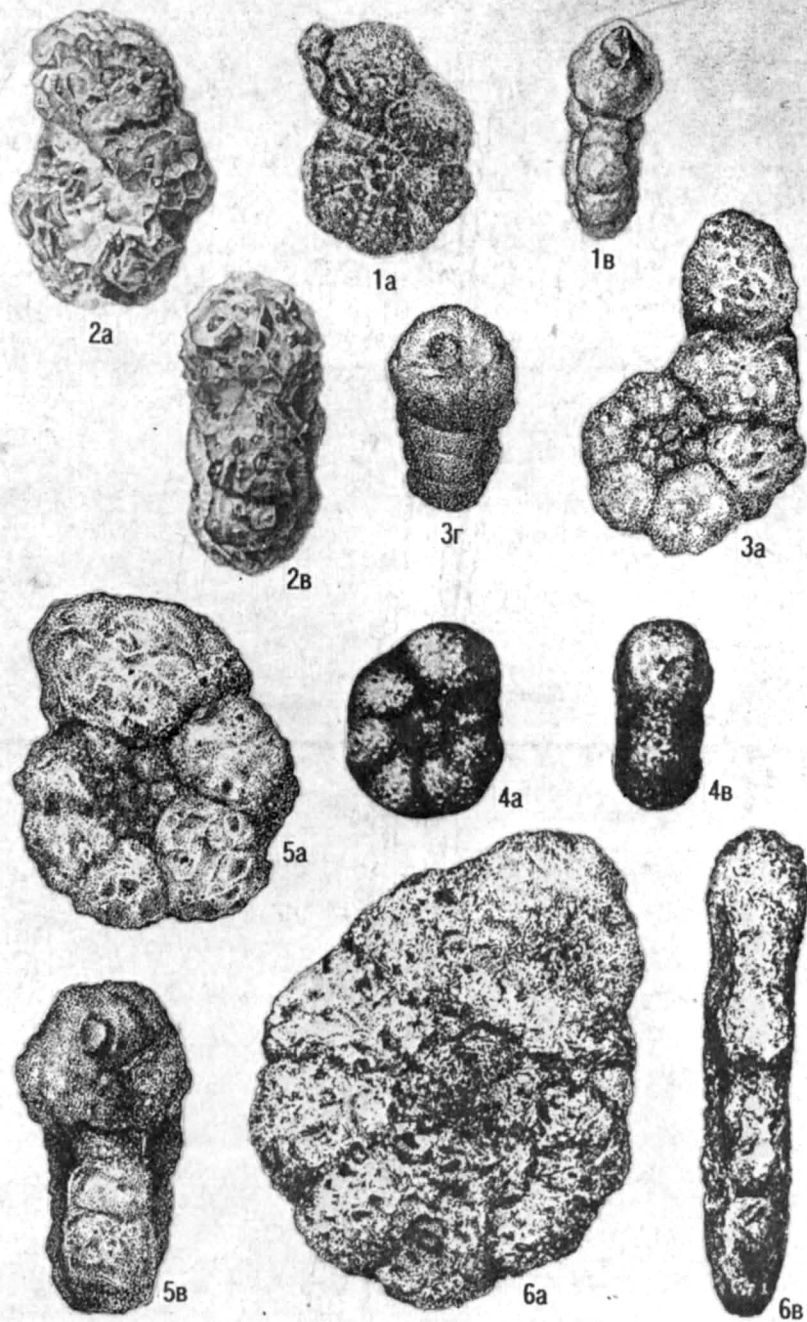
4b



5a



5b



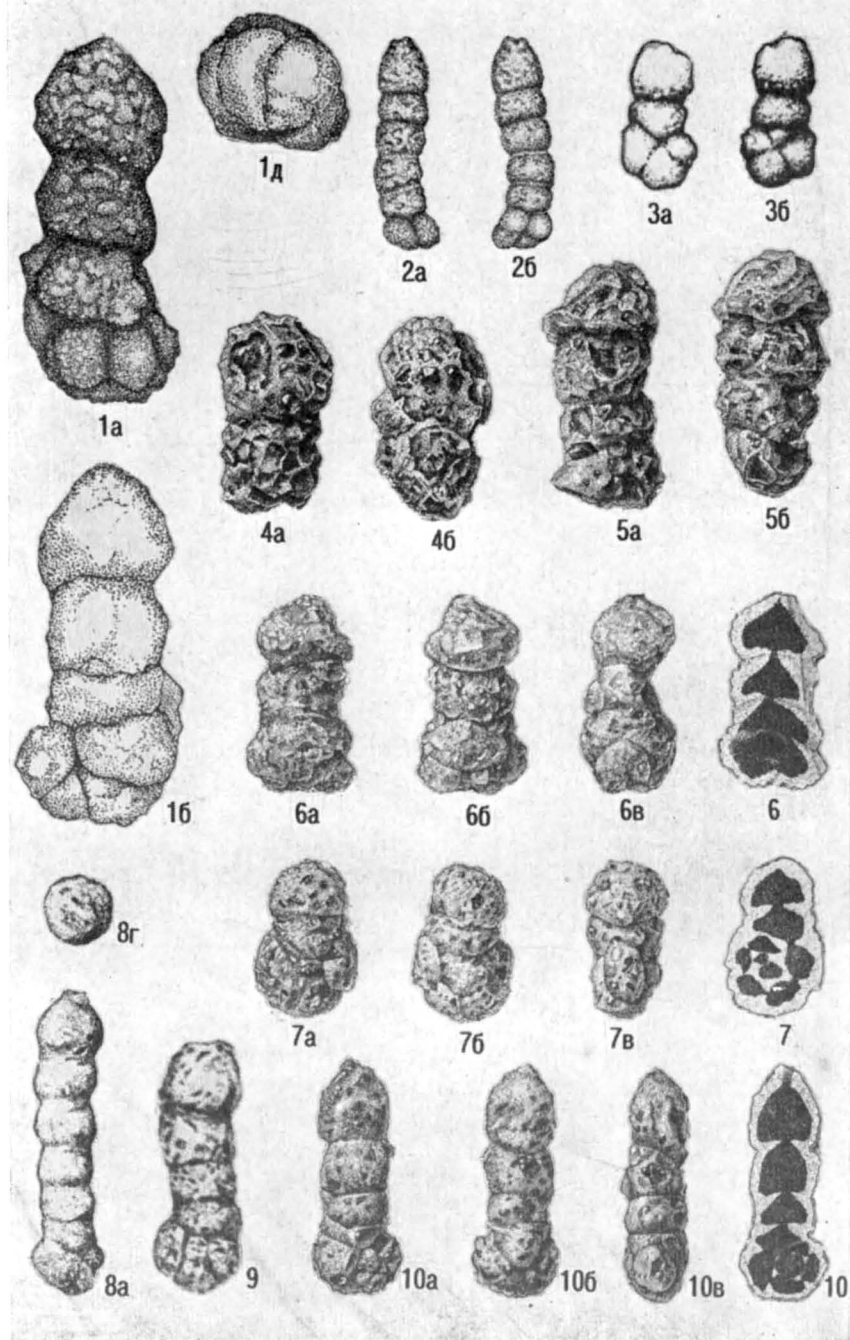
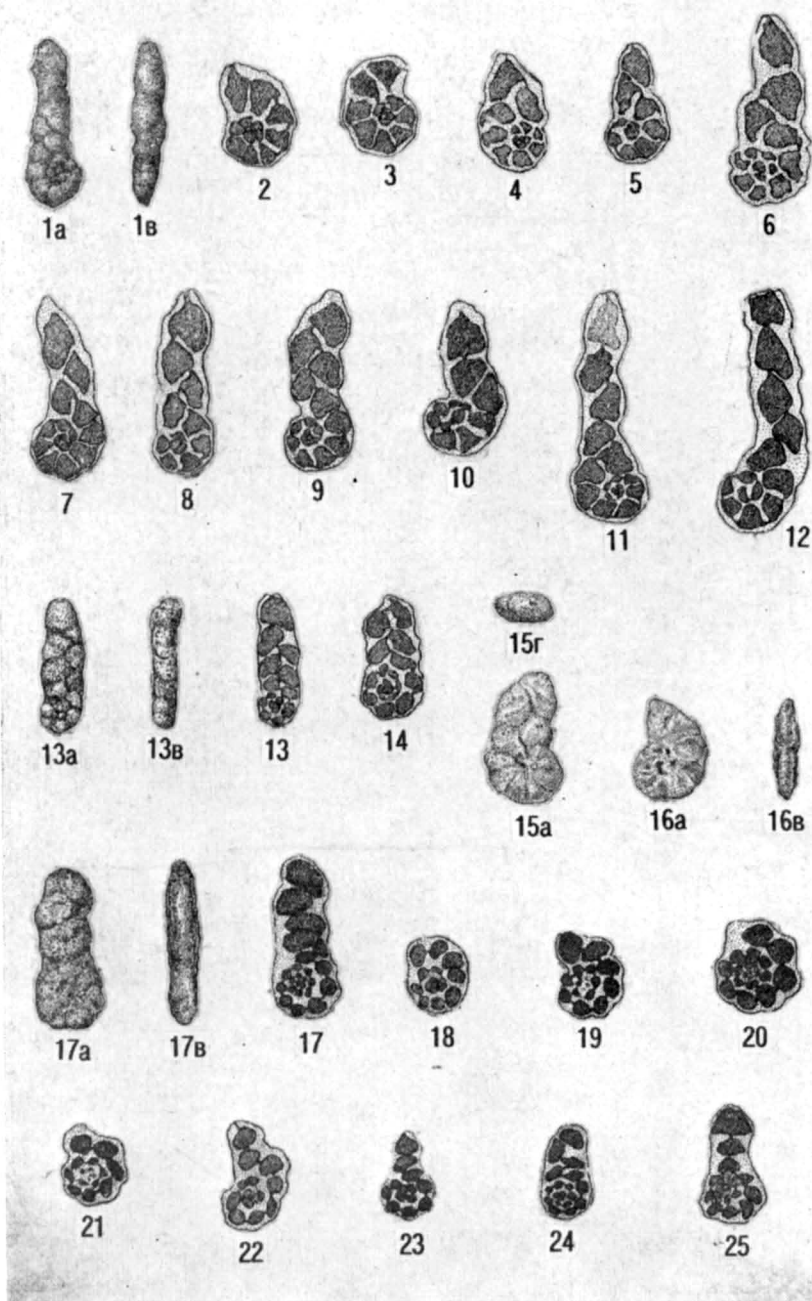


Таблица 25





1a



1b



2a



2



2b



2c



3a



3b



4a



4b



4



5a



5b



6a



6b



7c



7a



7b



7



8



9



10



11



12



13a

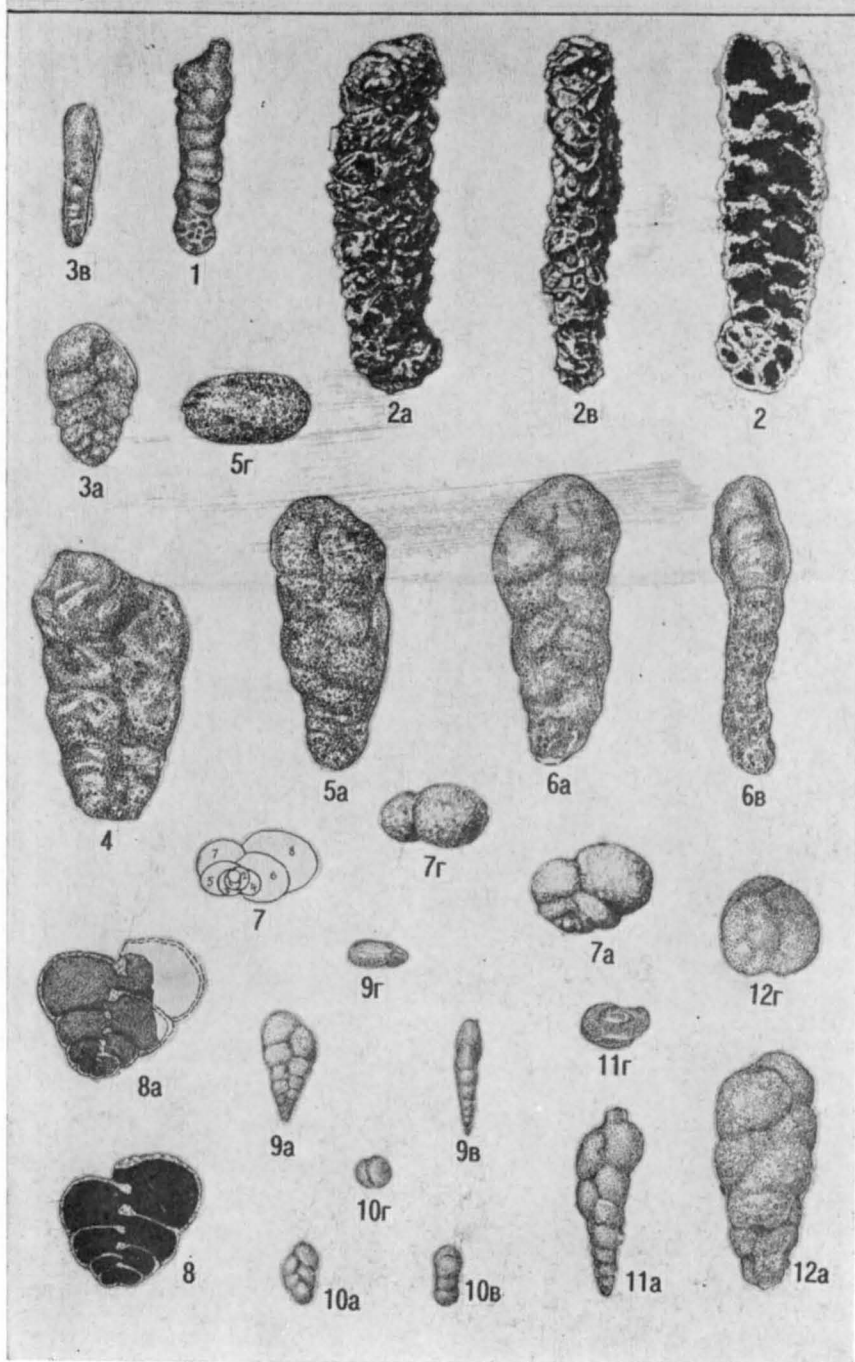


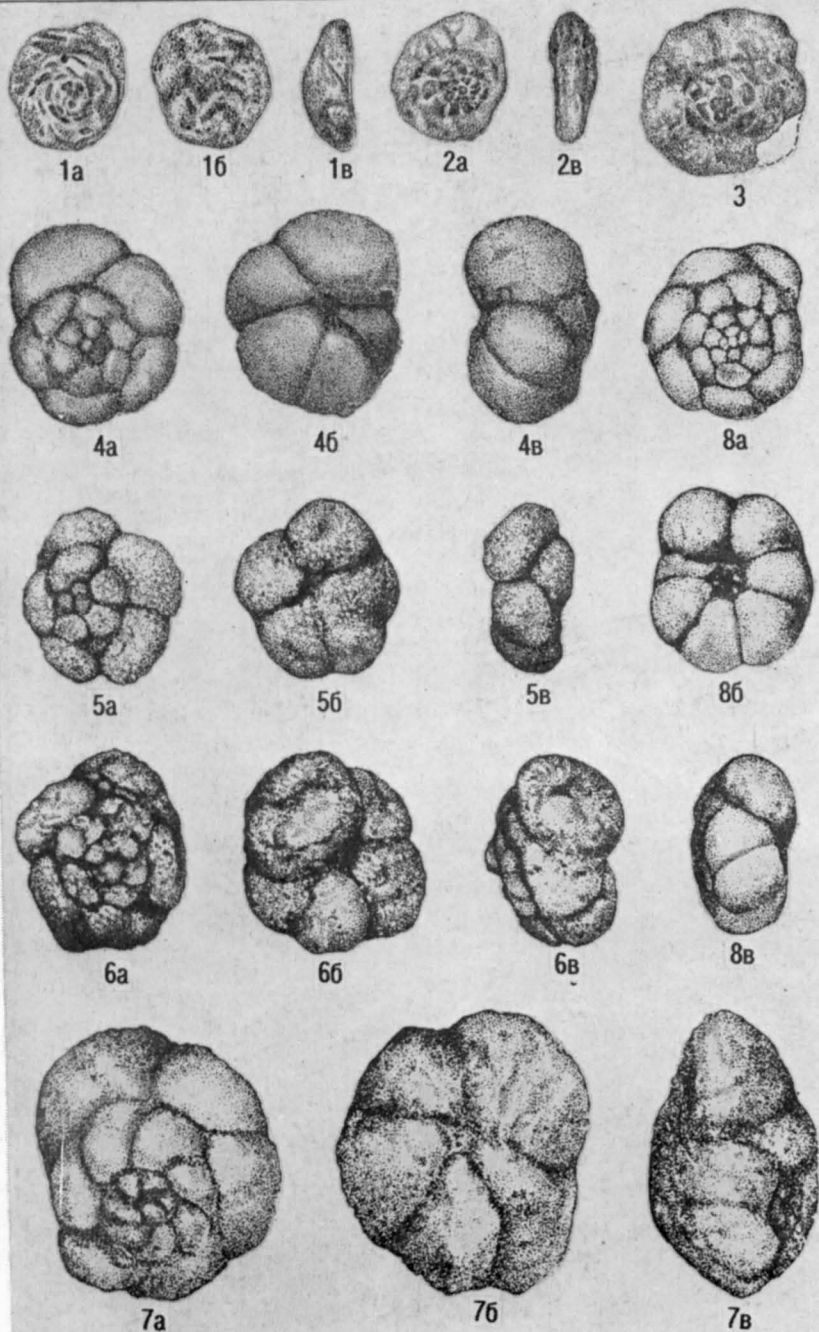
13b

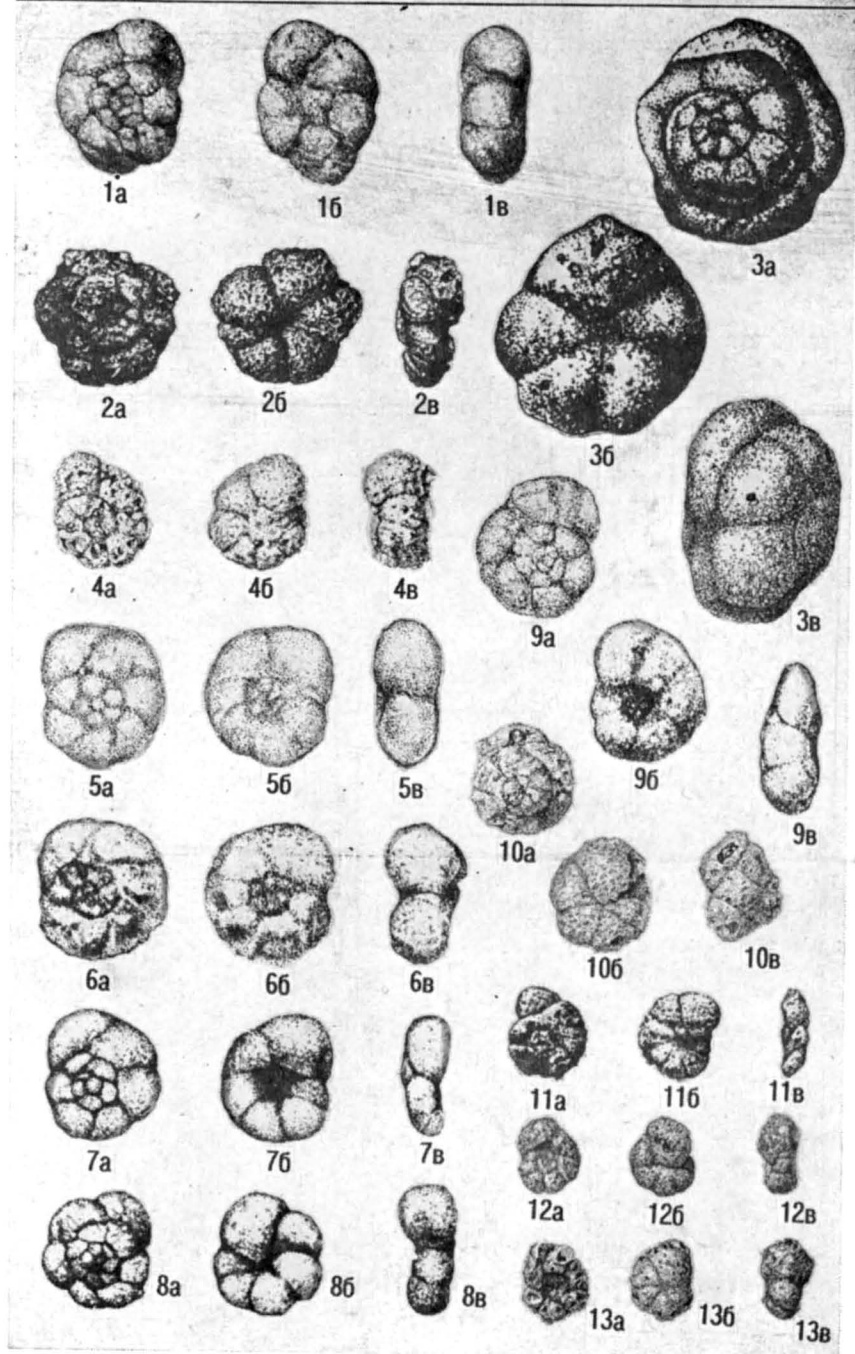


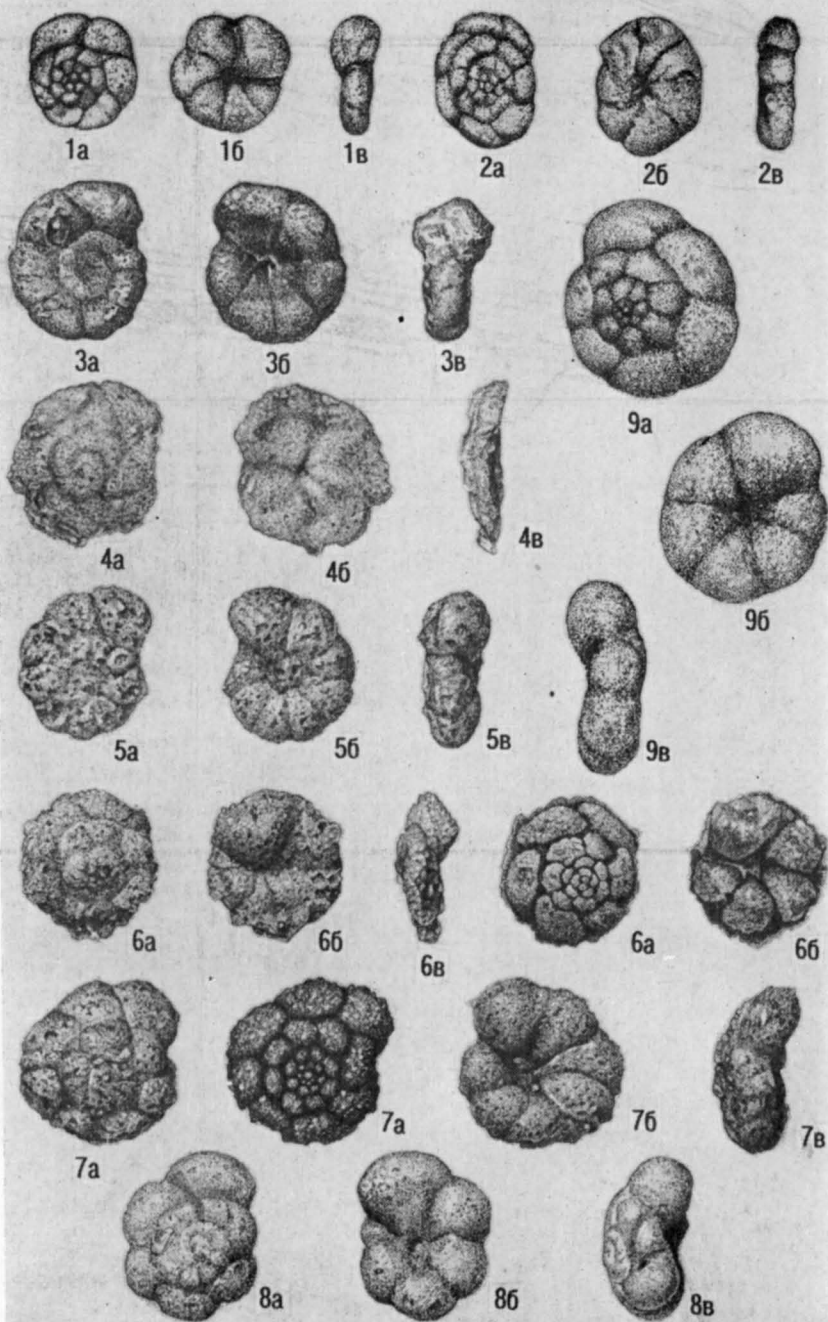
14

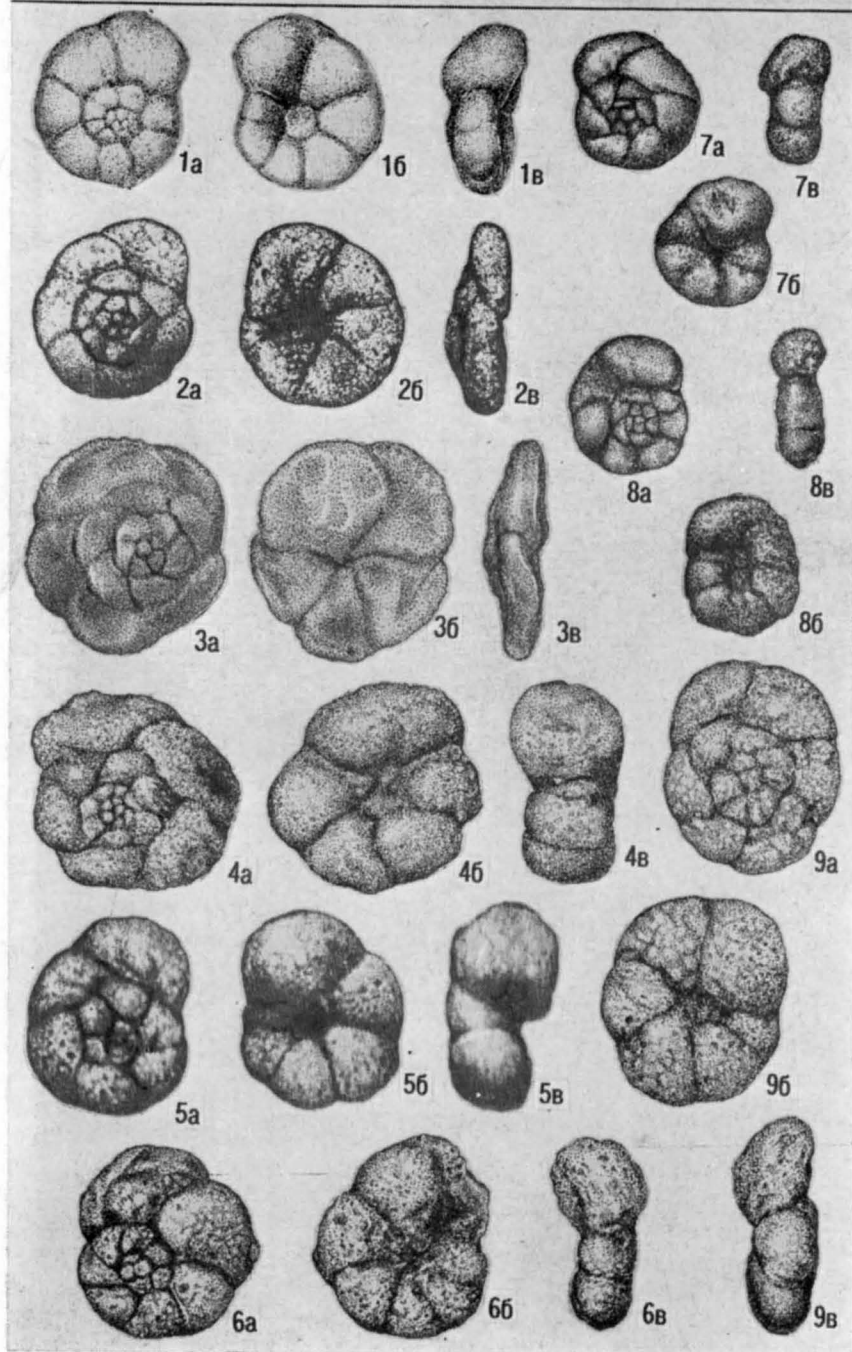


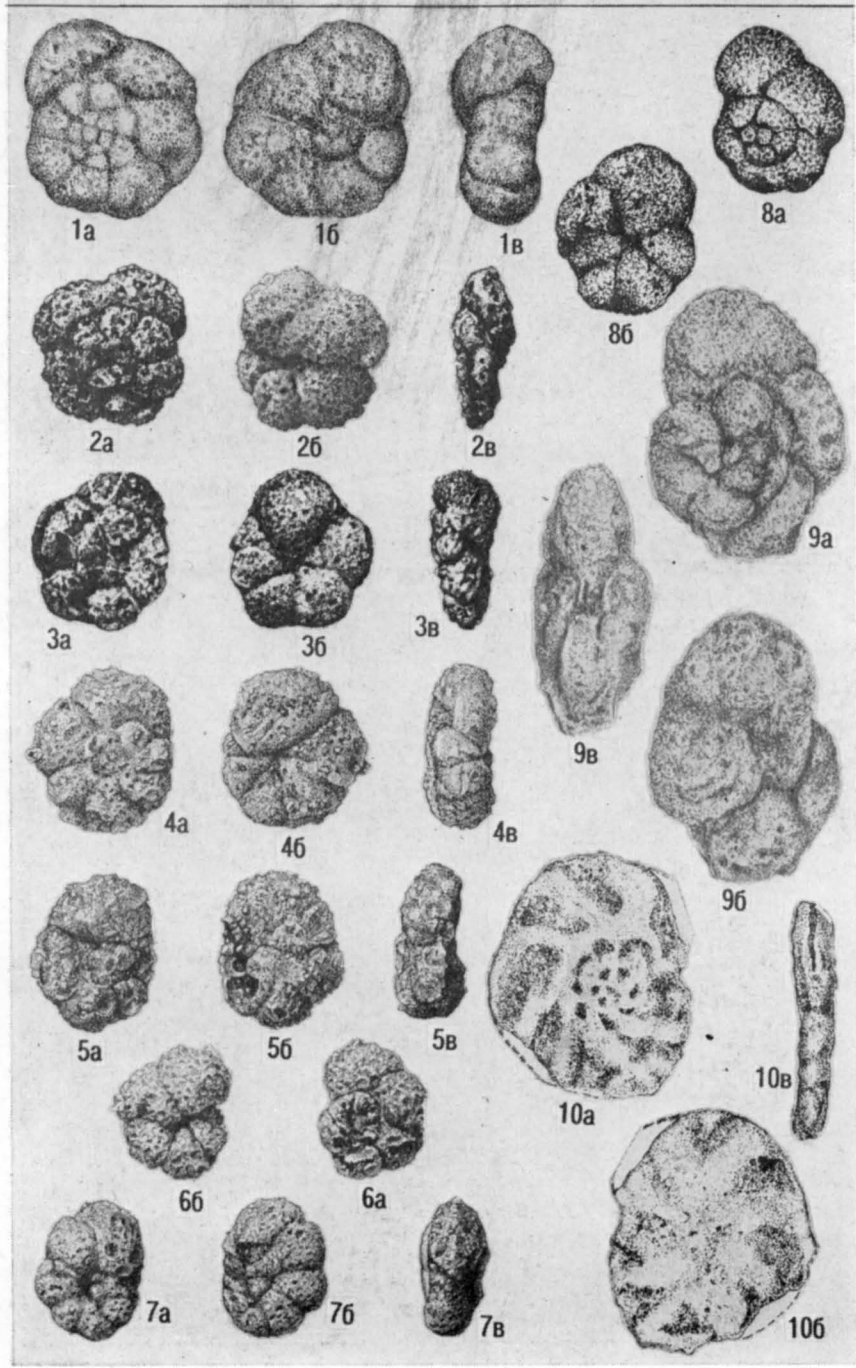


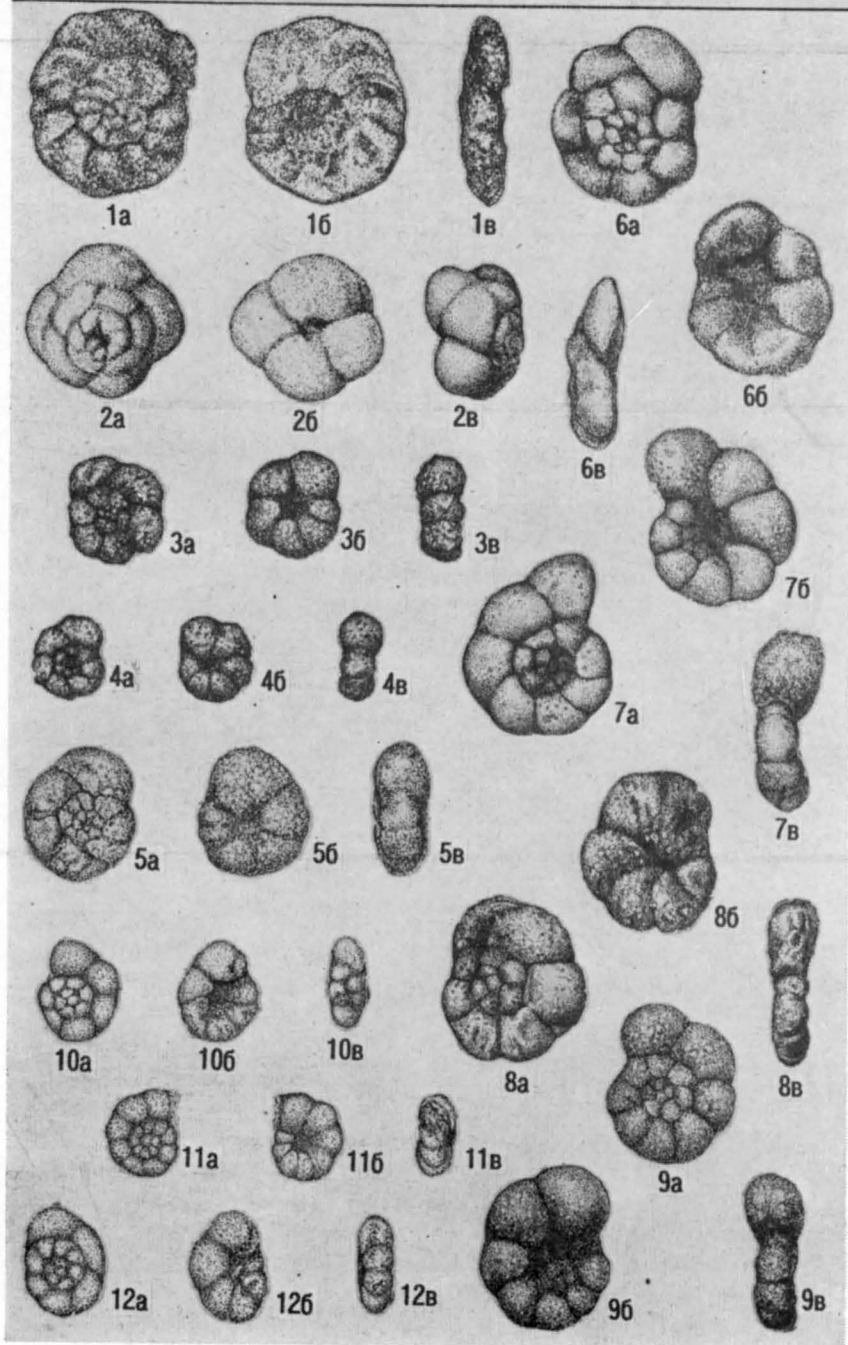


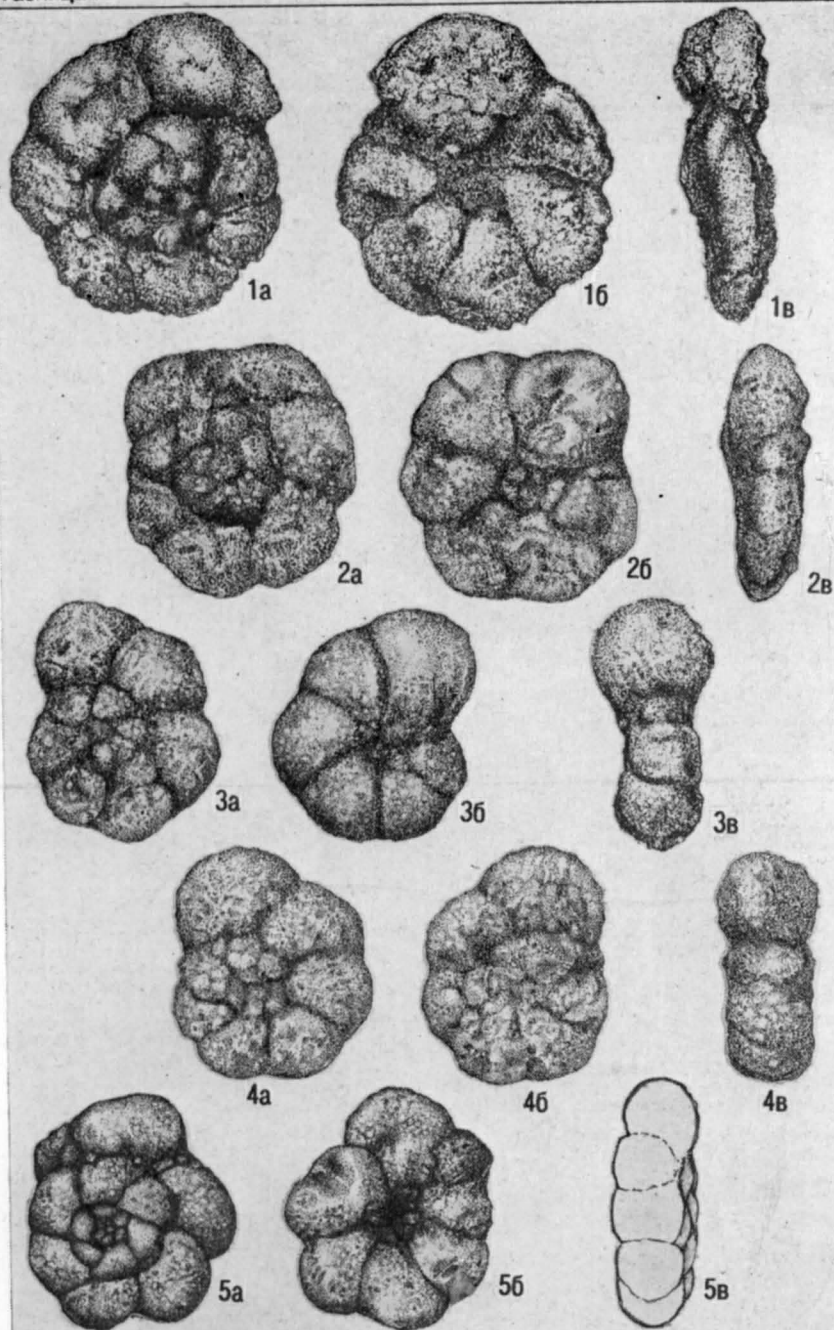


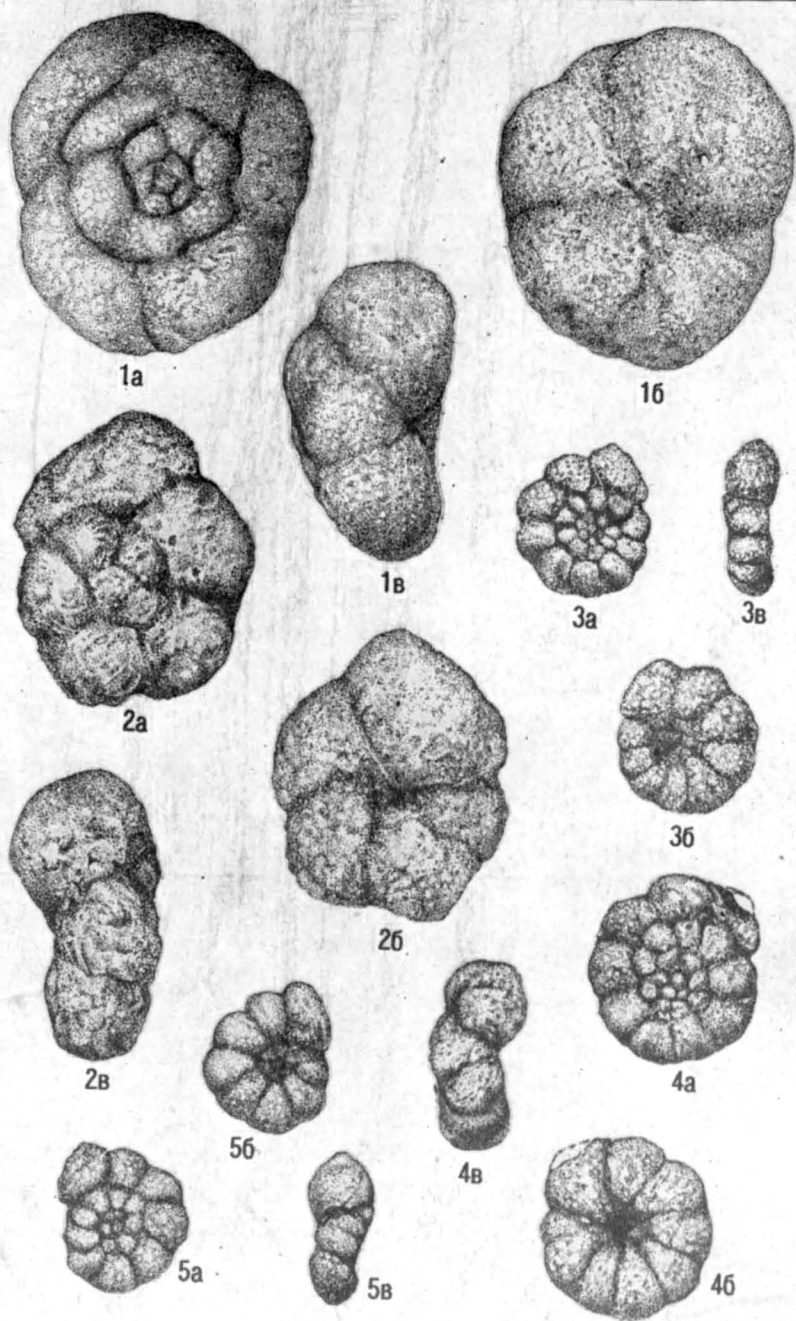


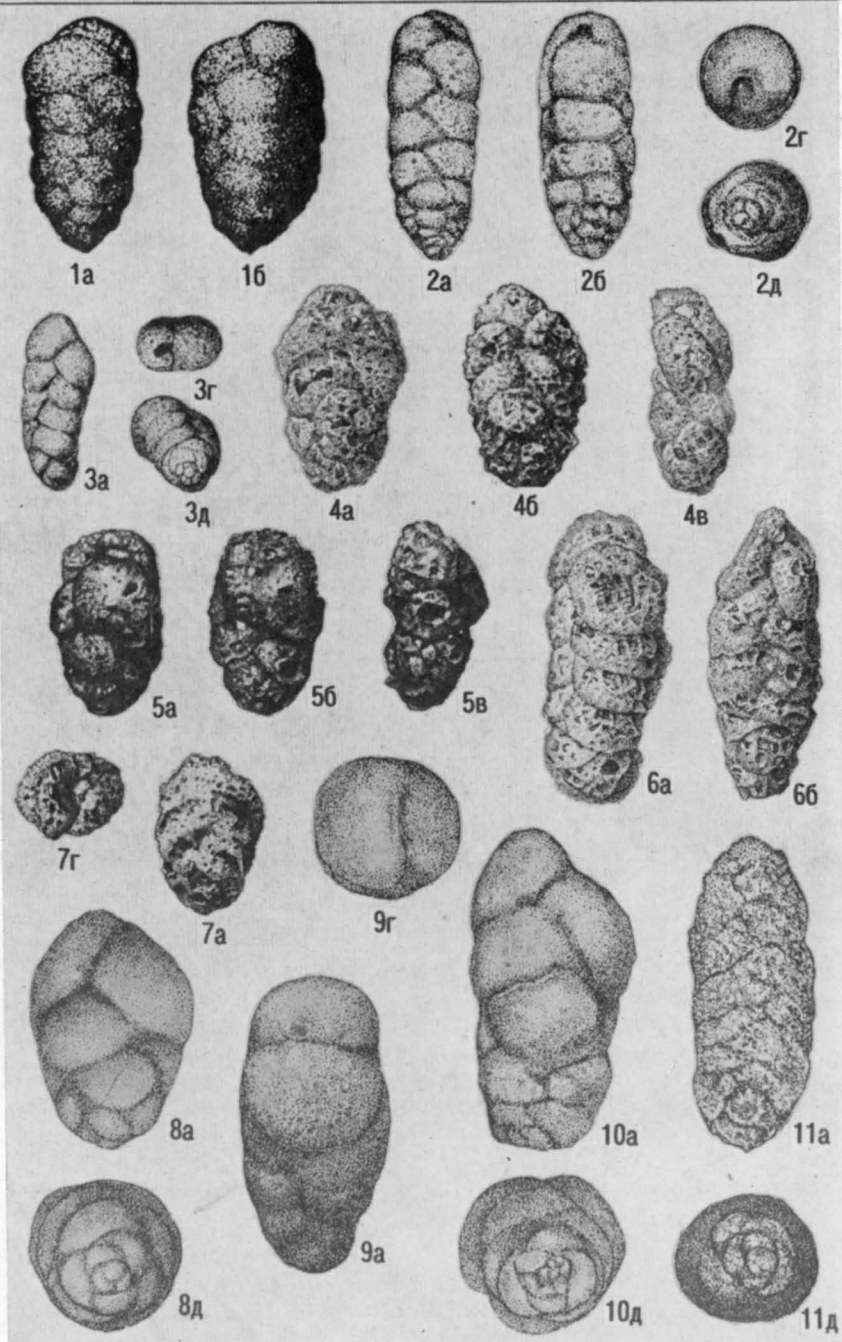


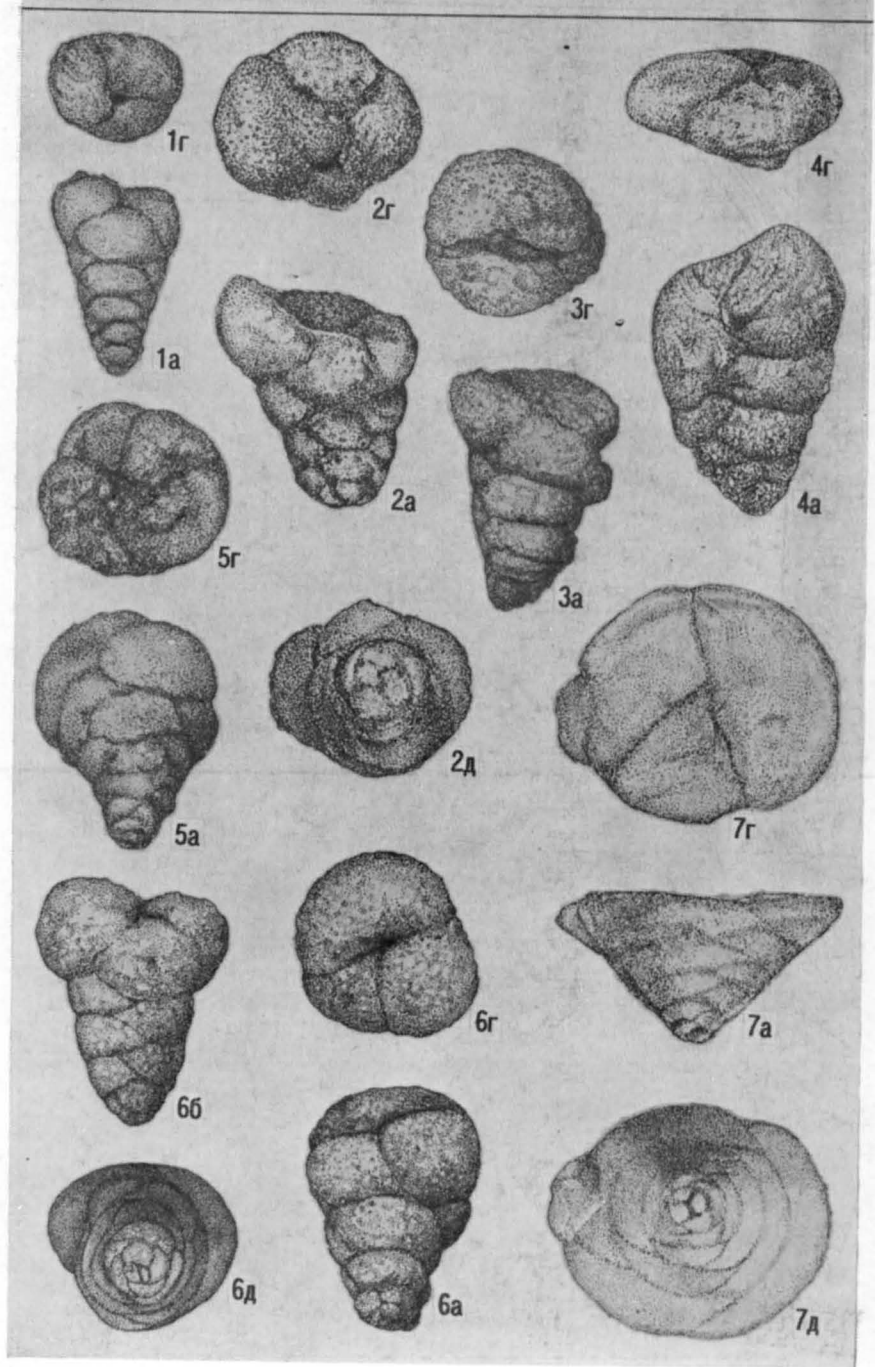


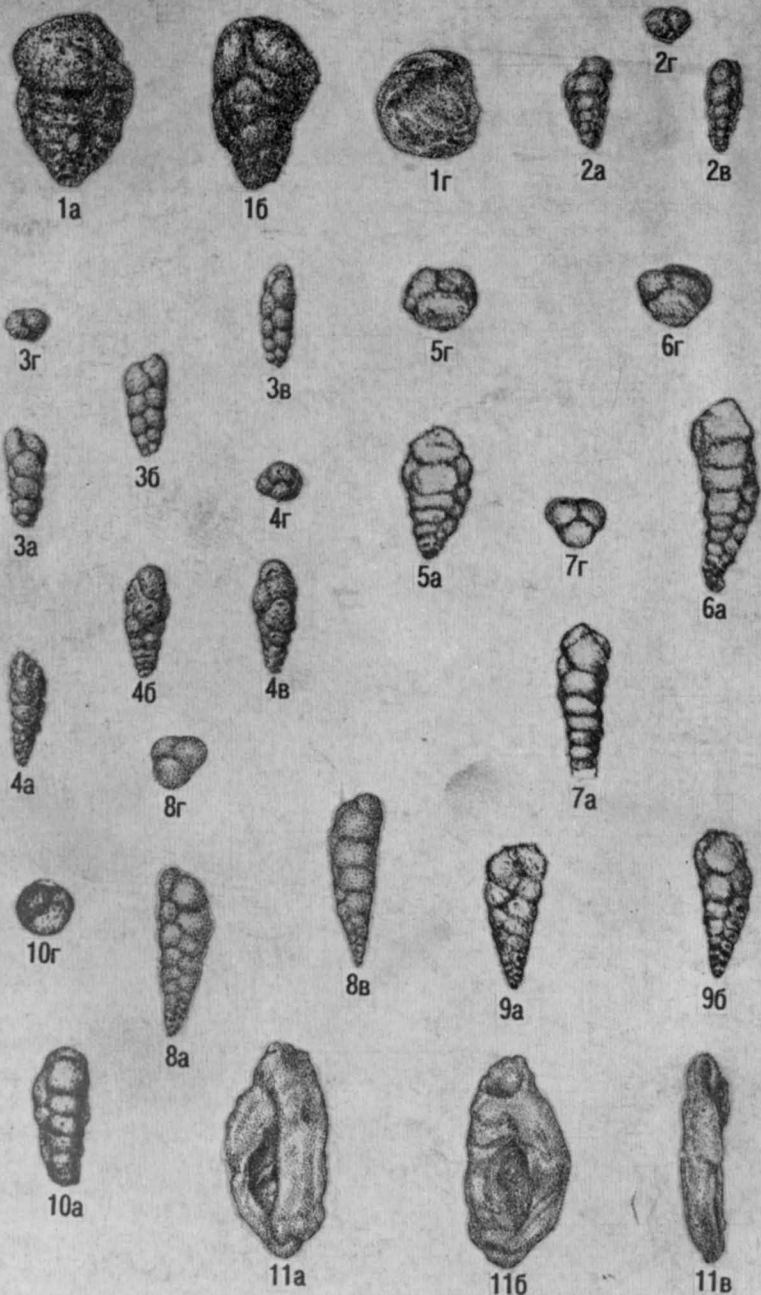


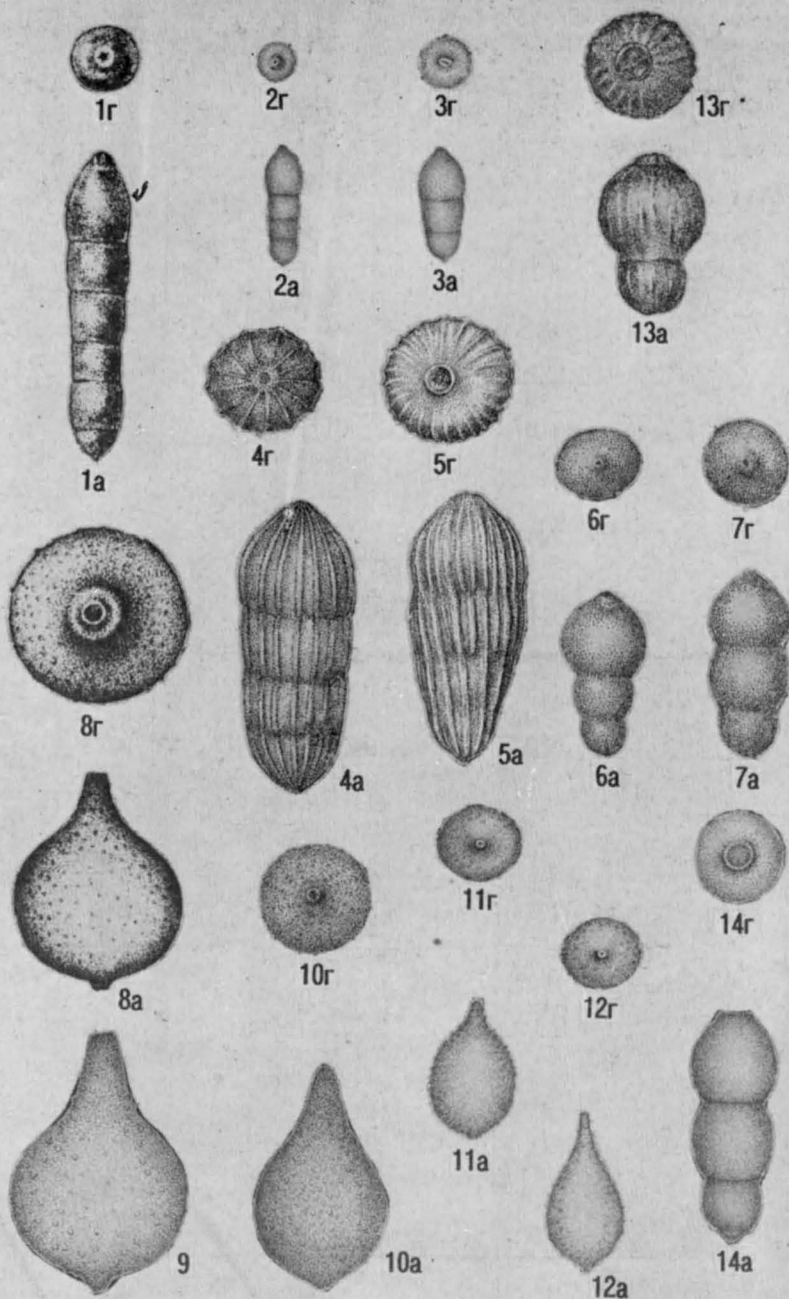


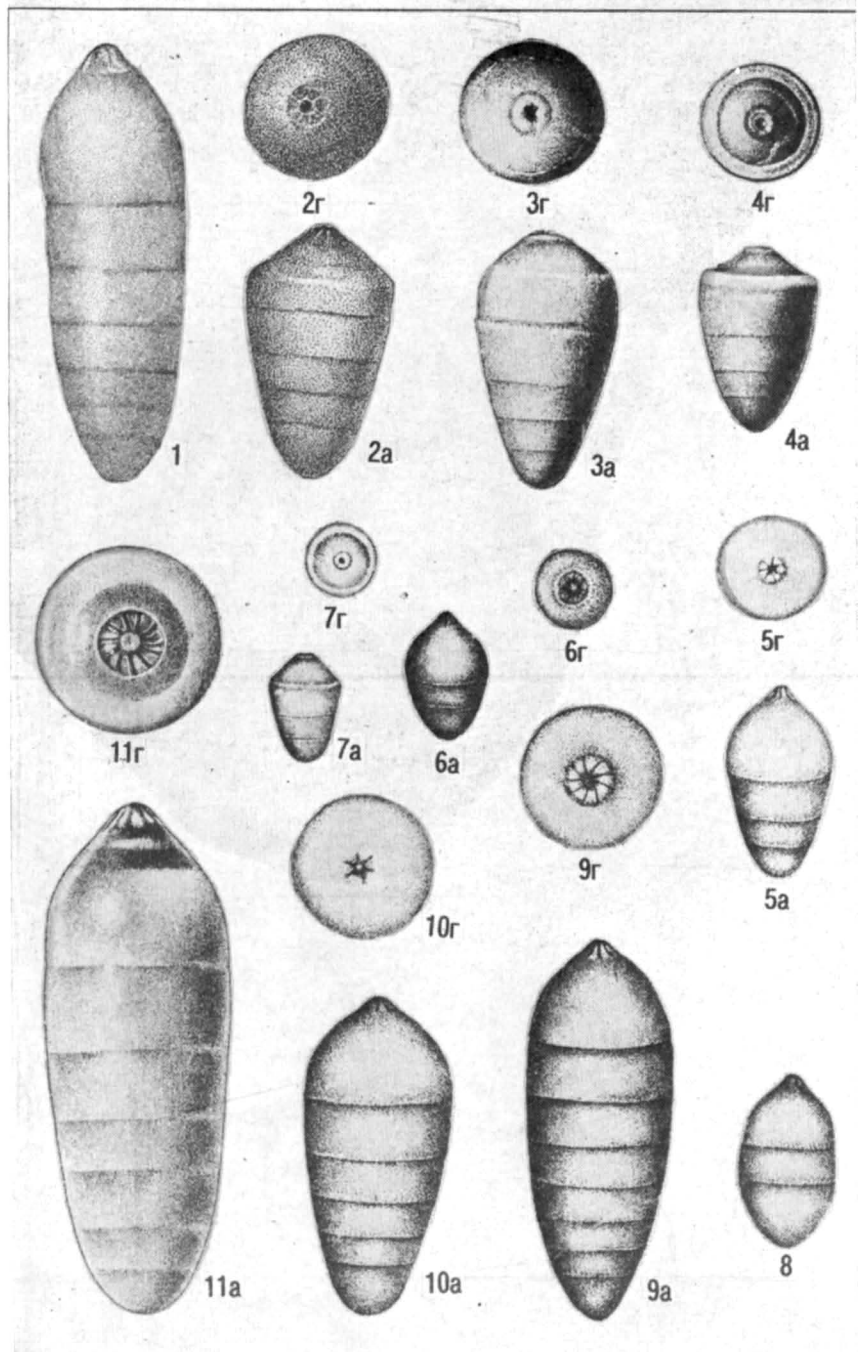


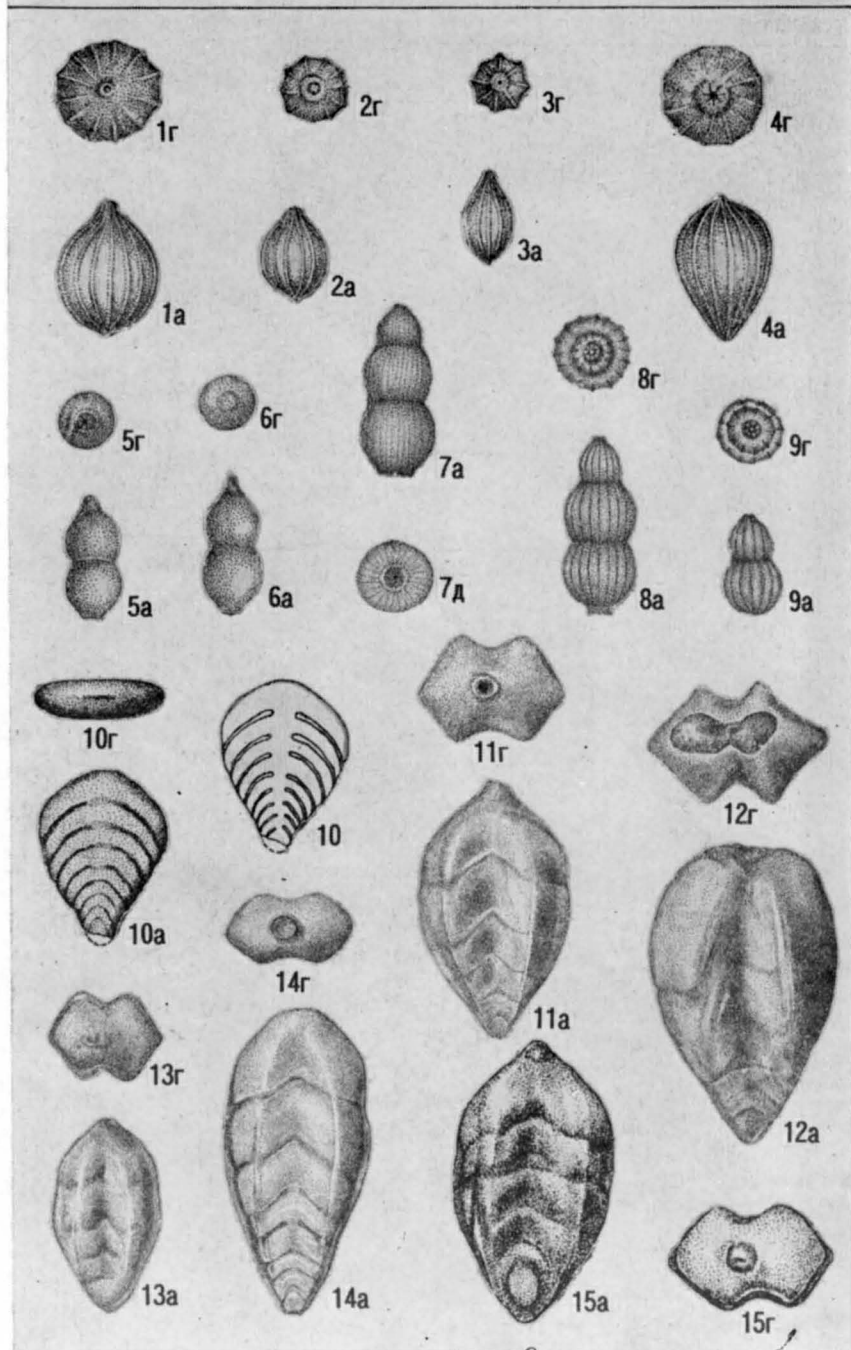


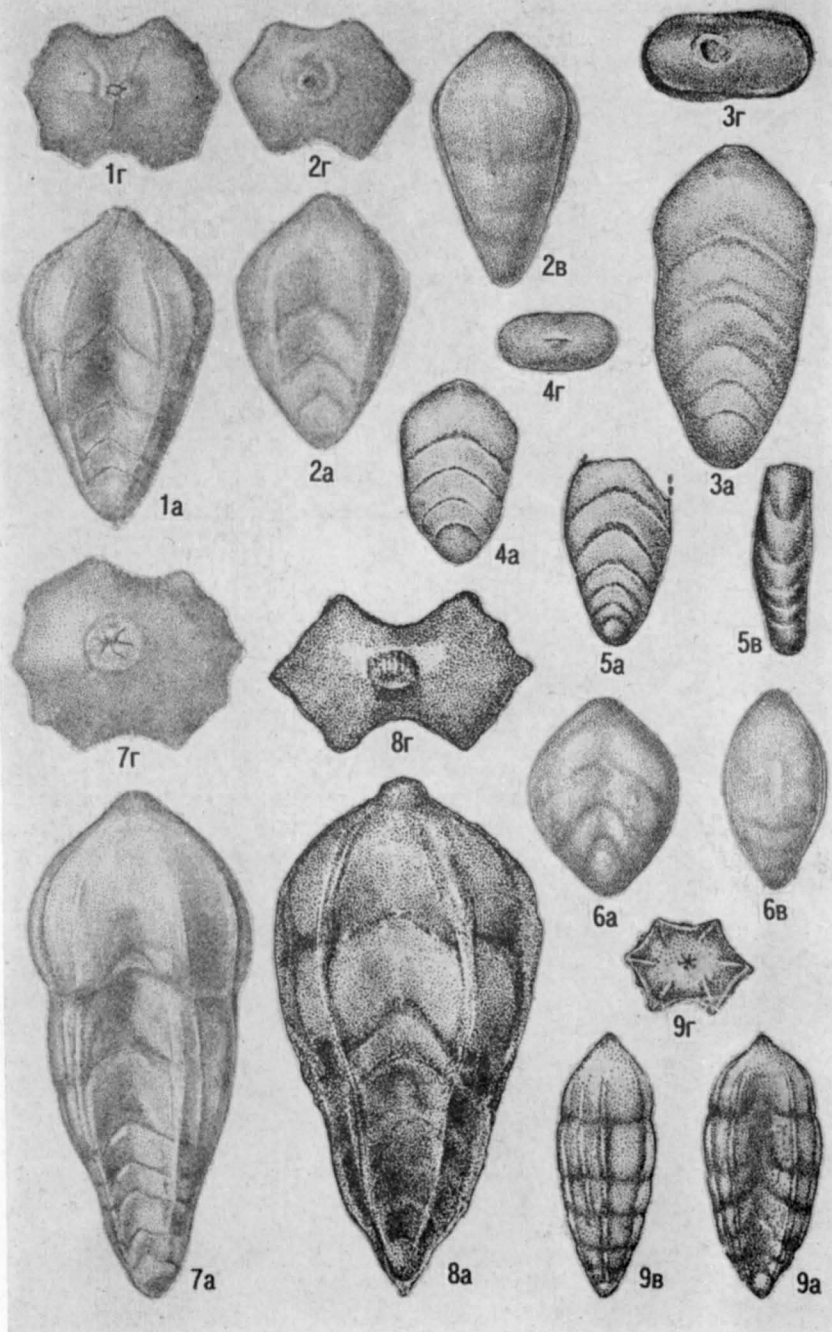


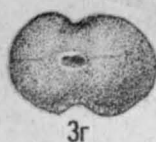
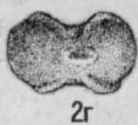


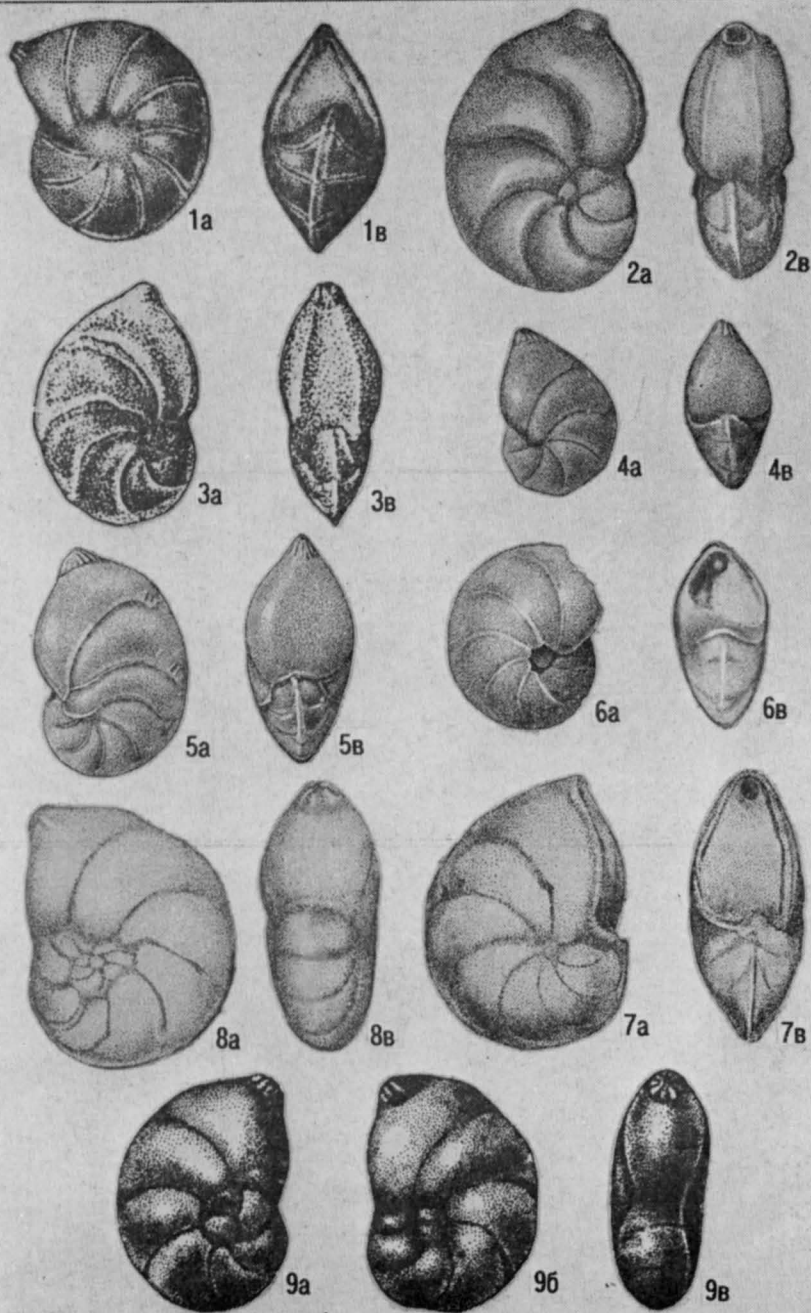


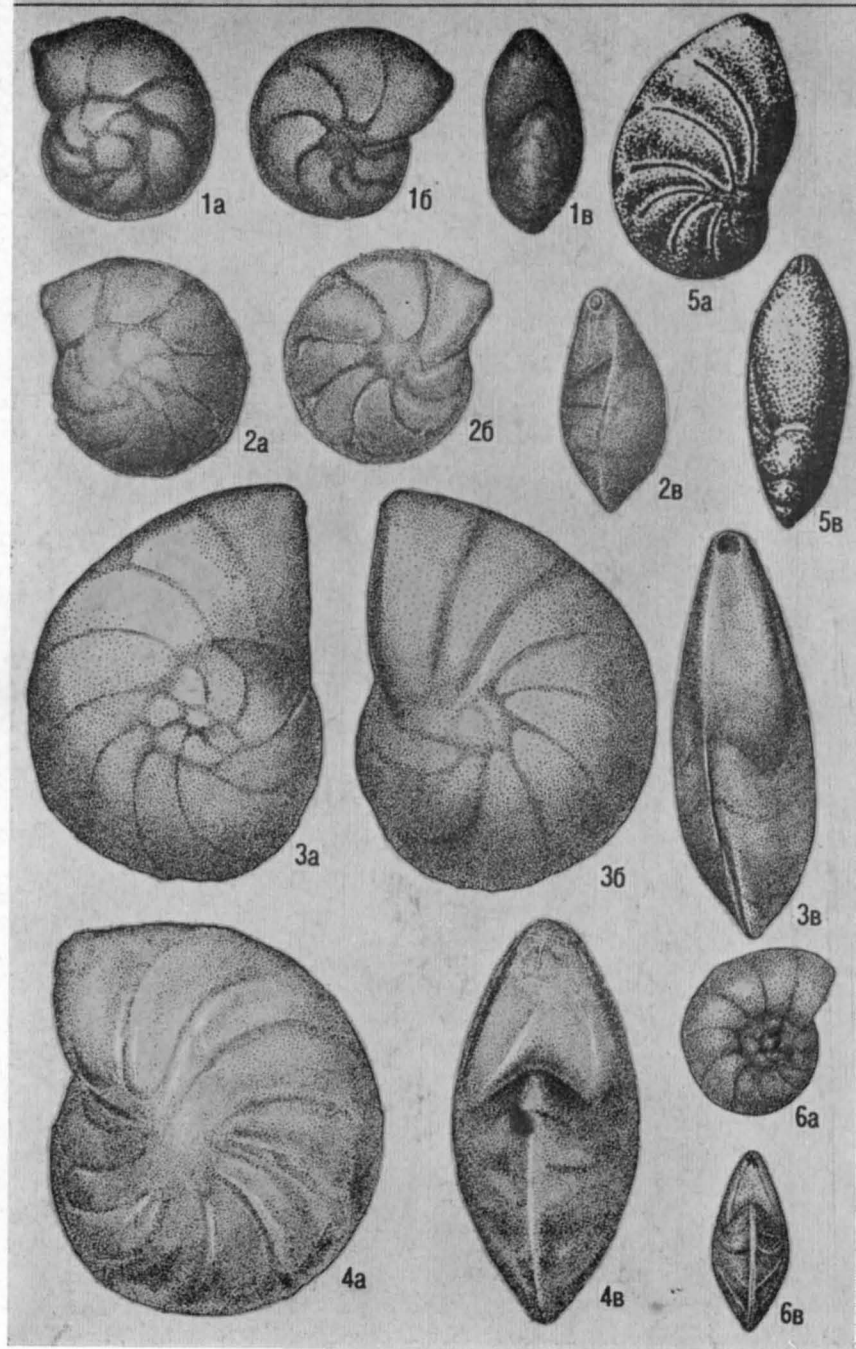


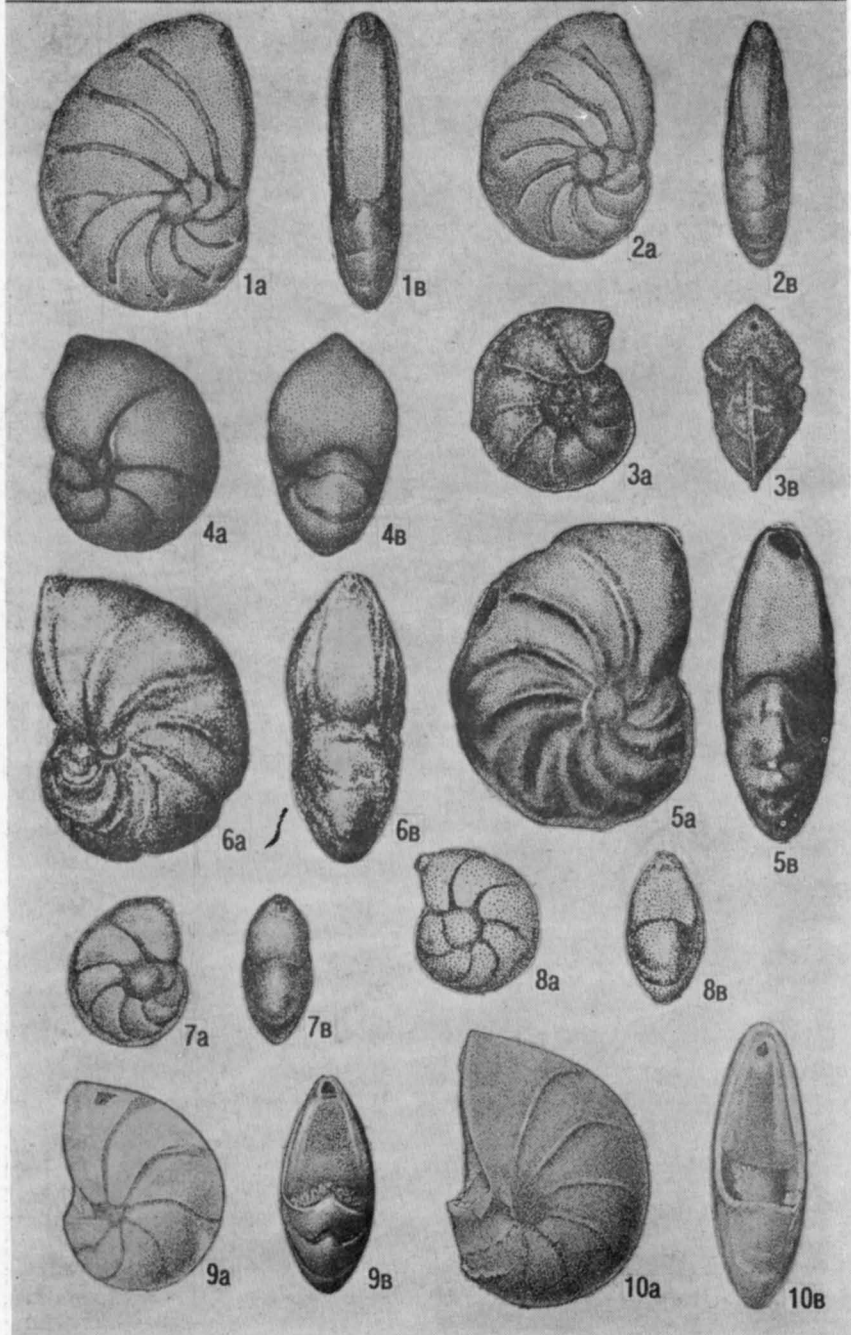












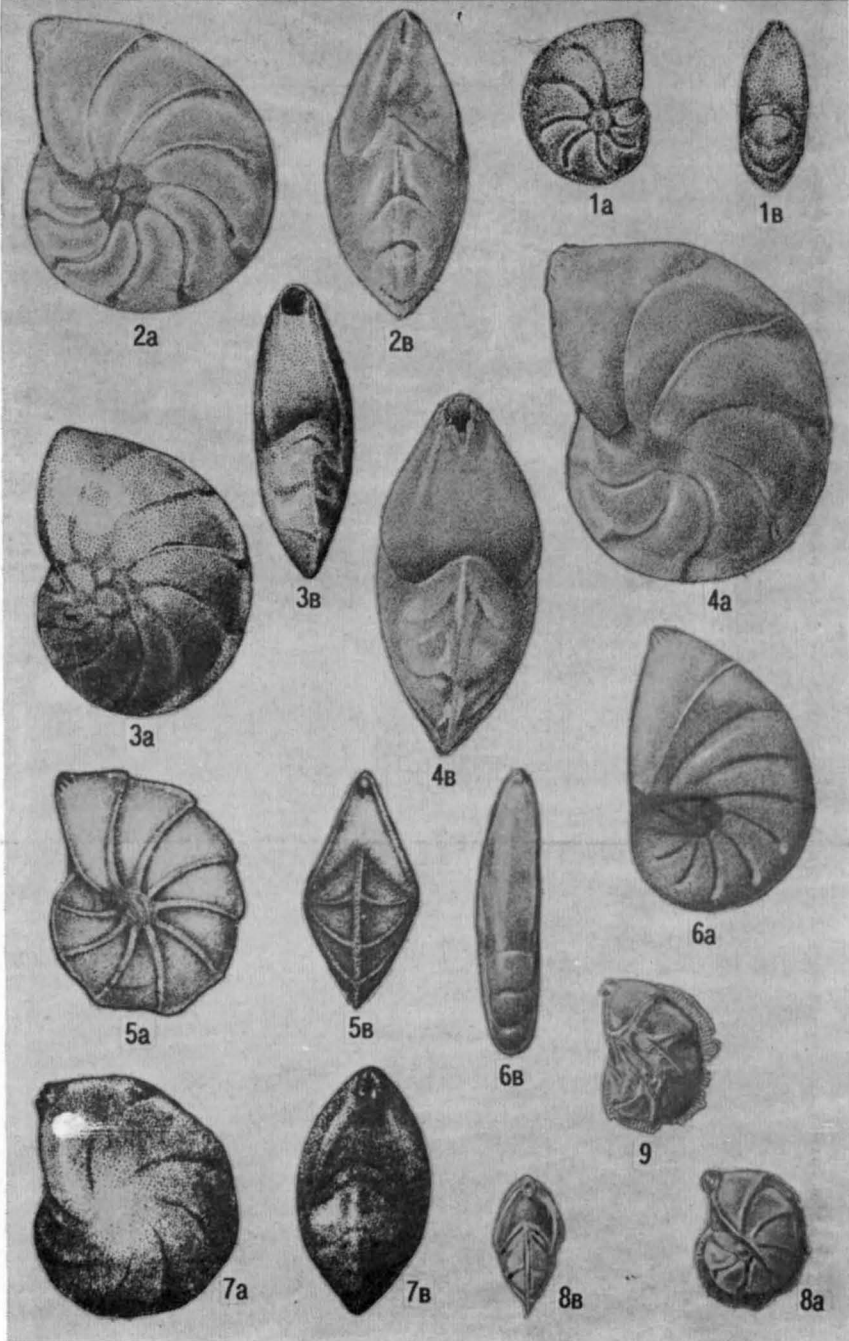
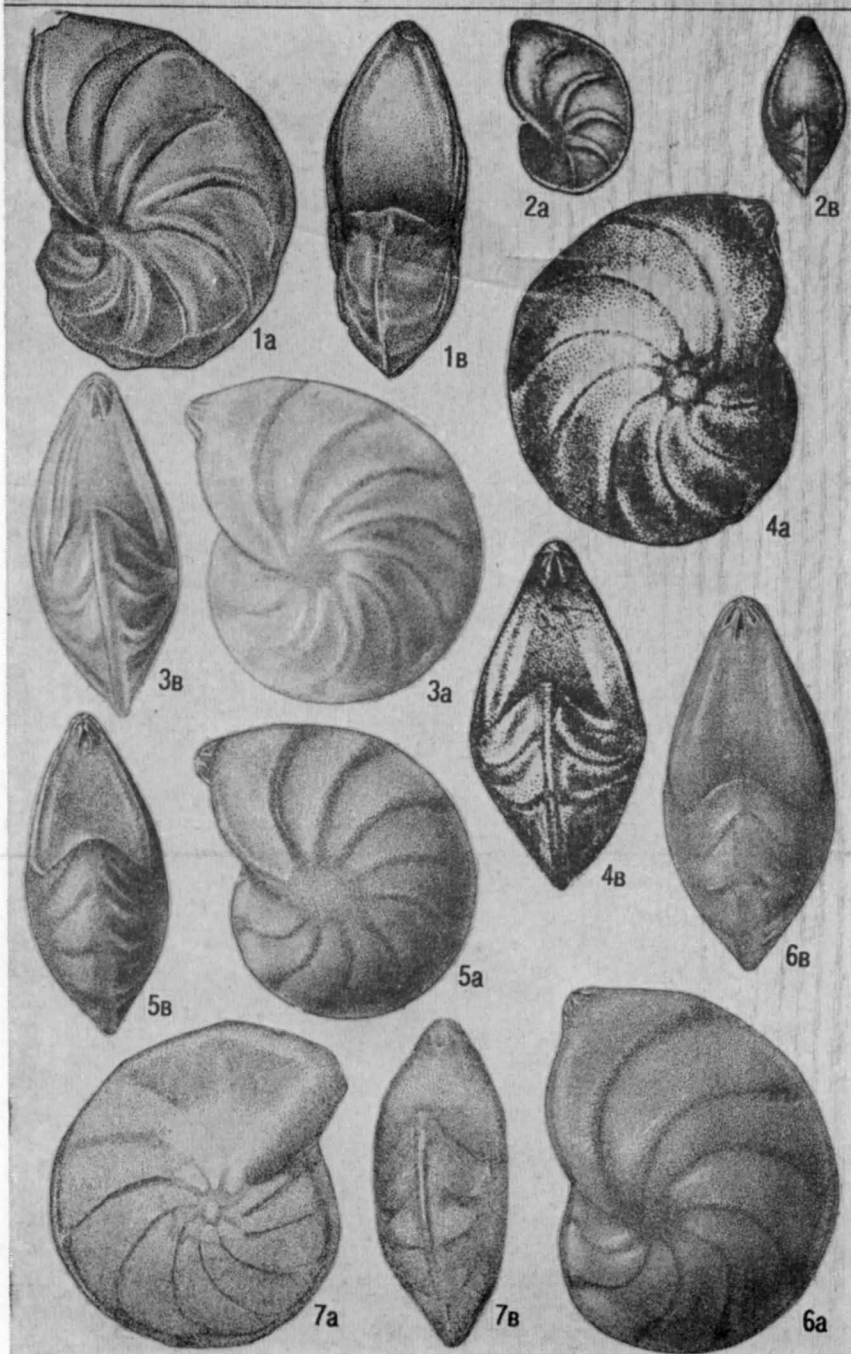
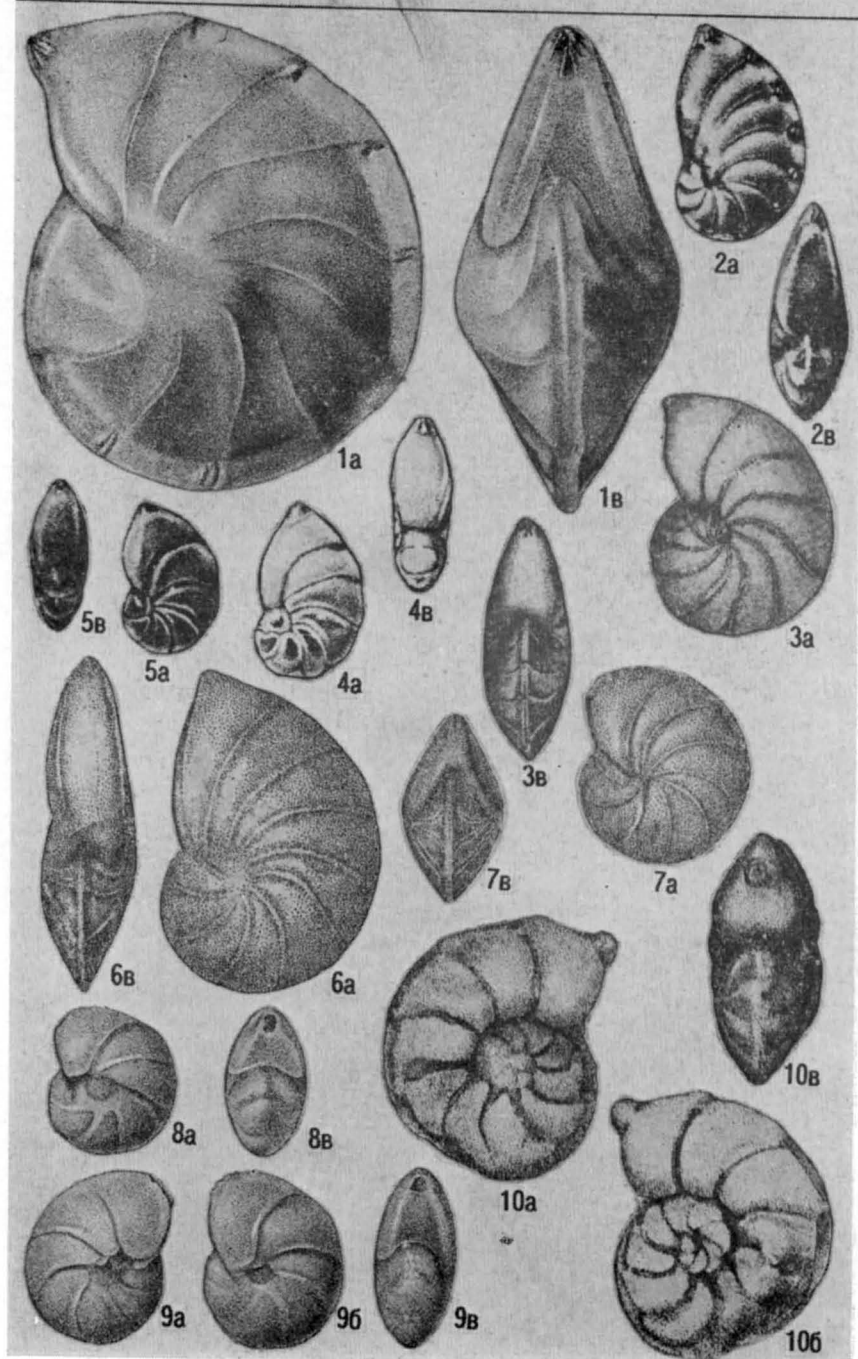
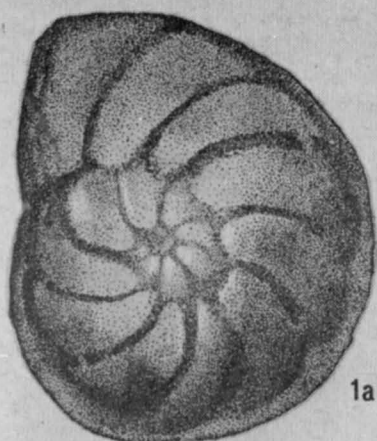


Таблица 49







1a



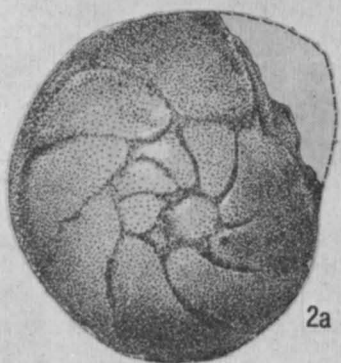
1b



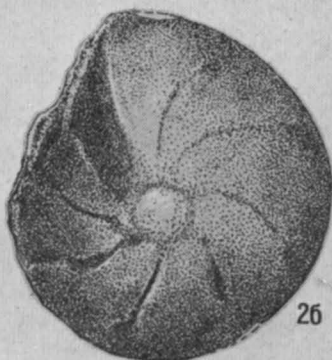
16



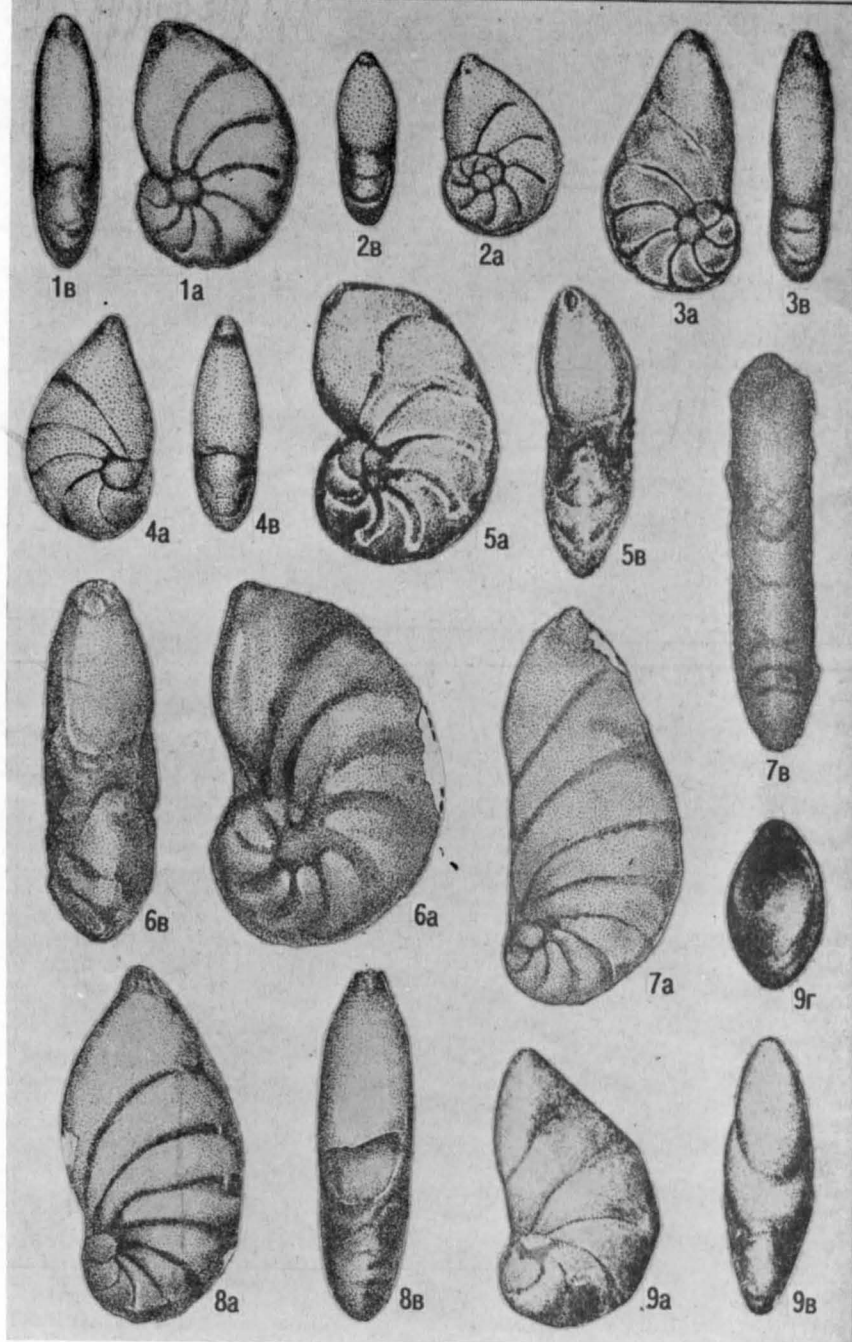
2b

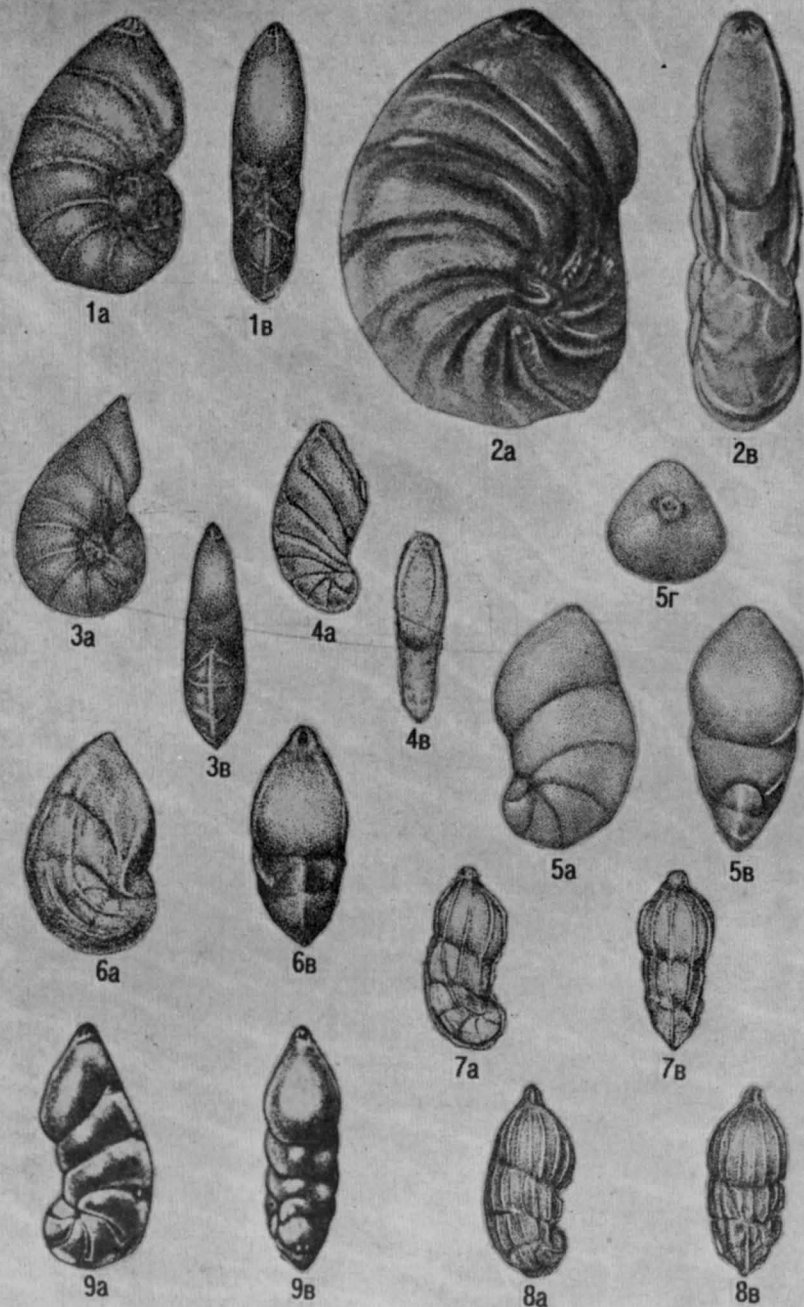


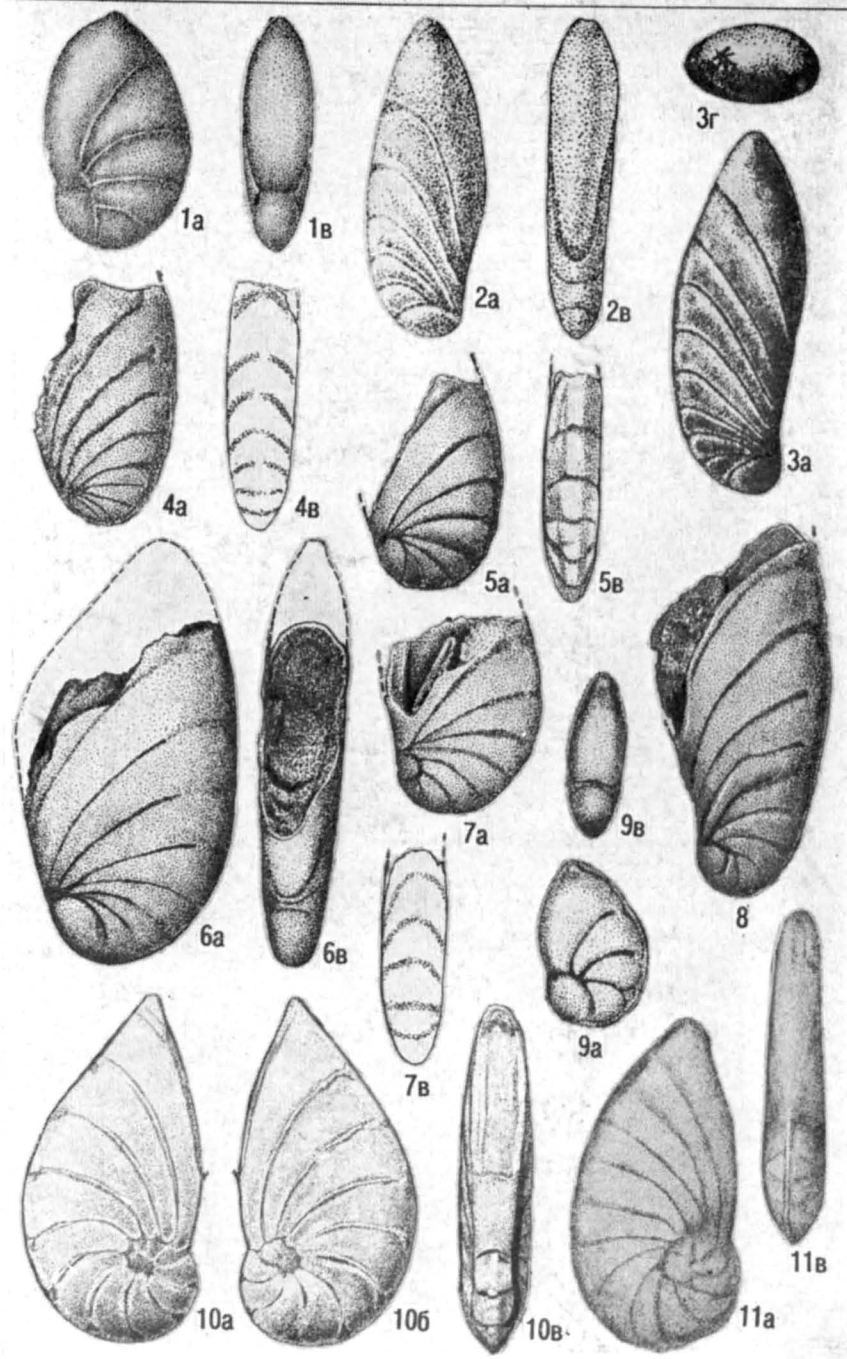
2a

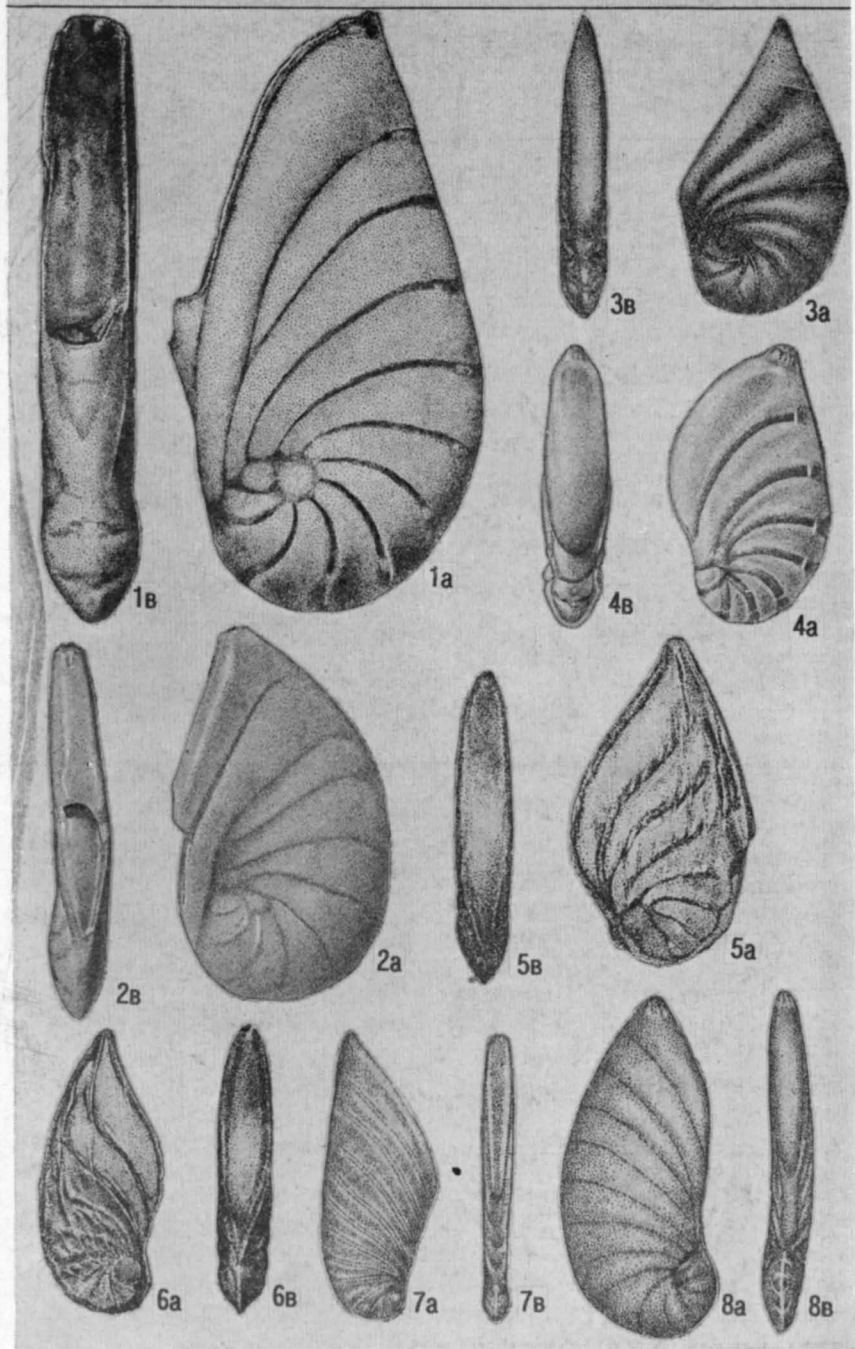


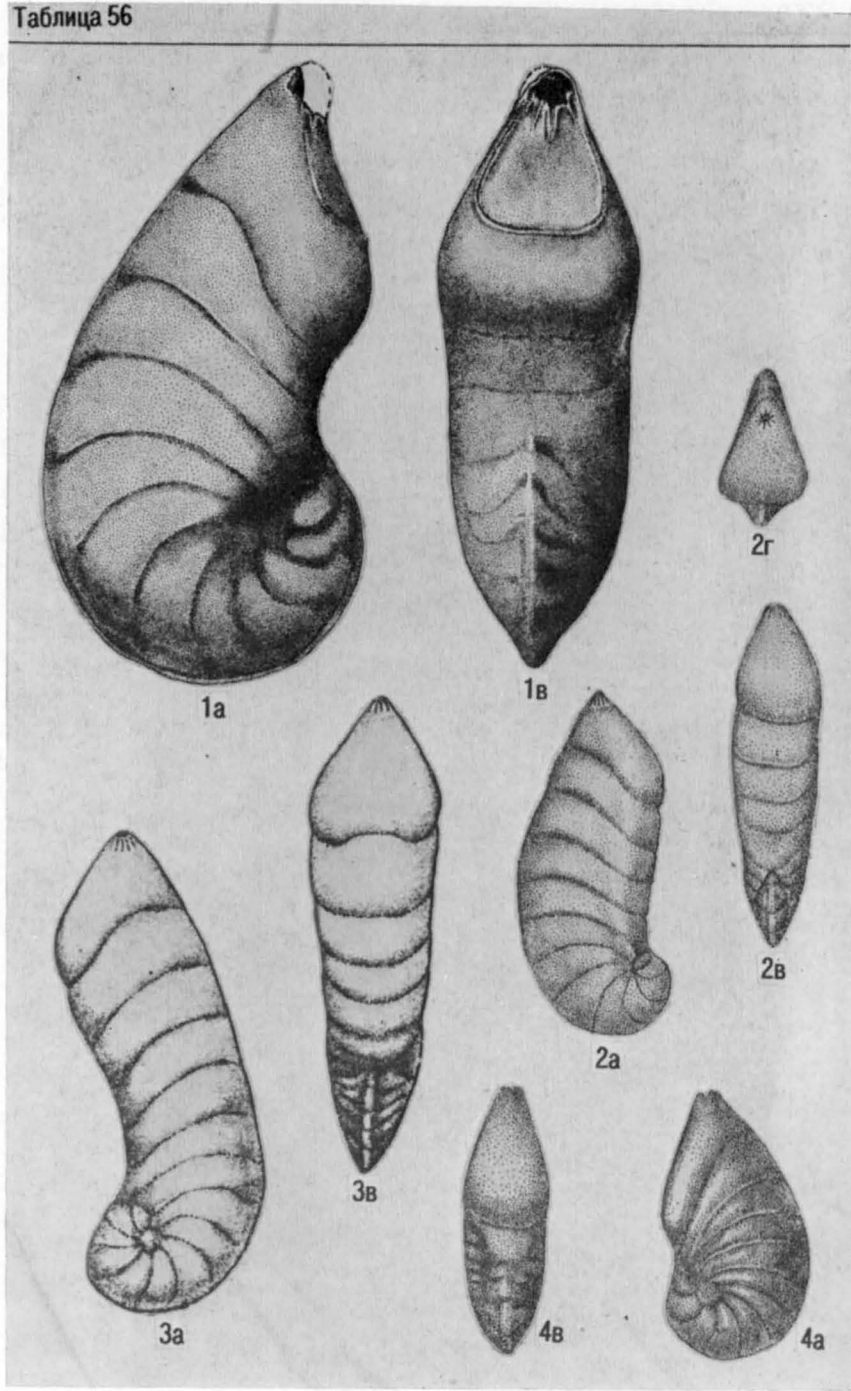
26

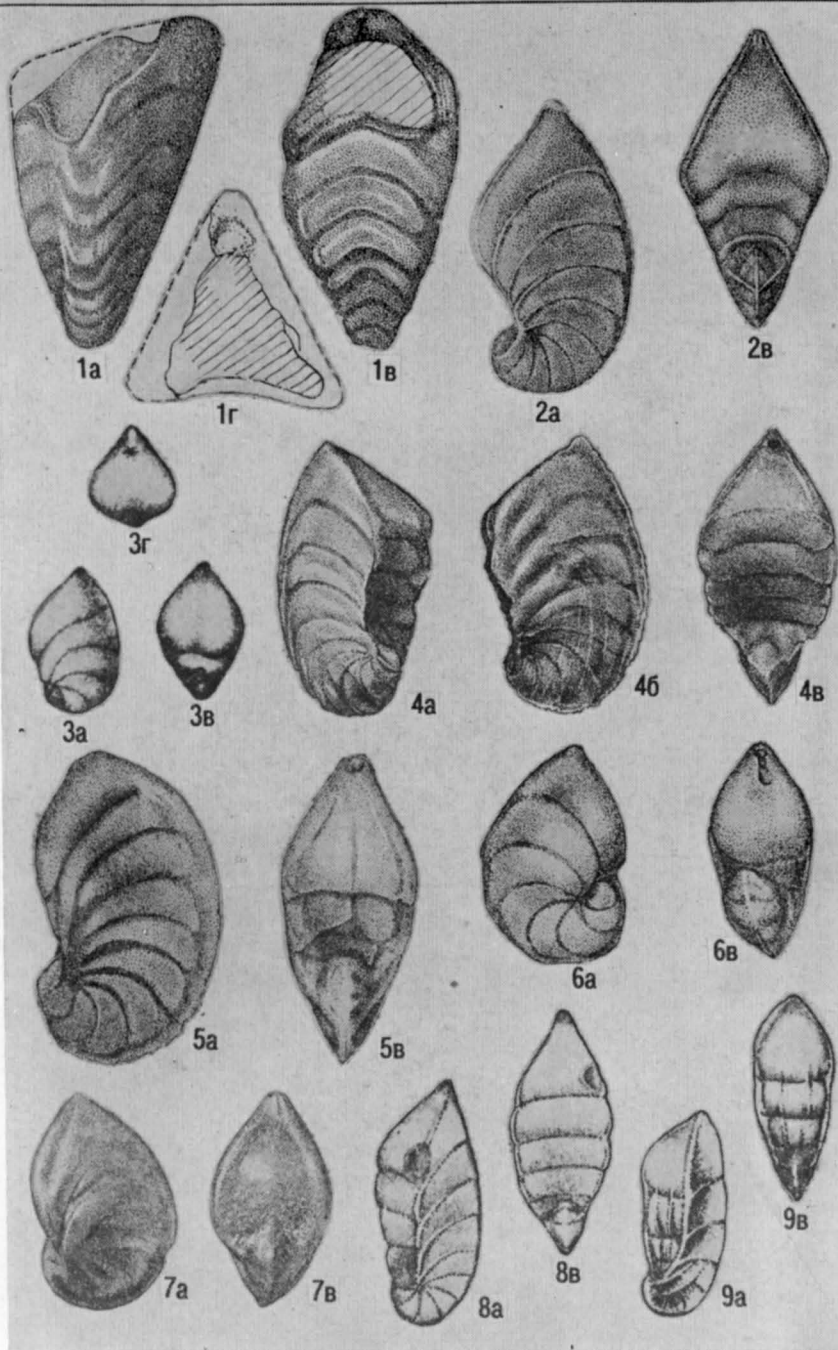


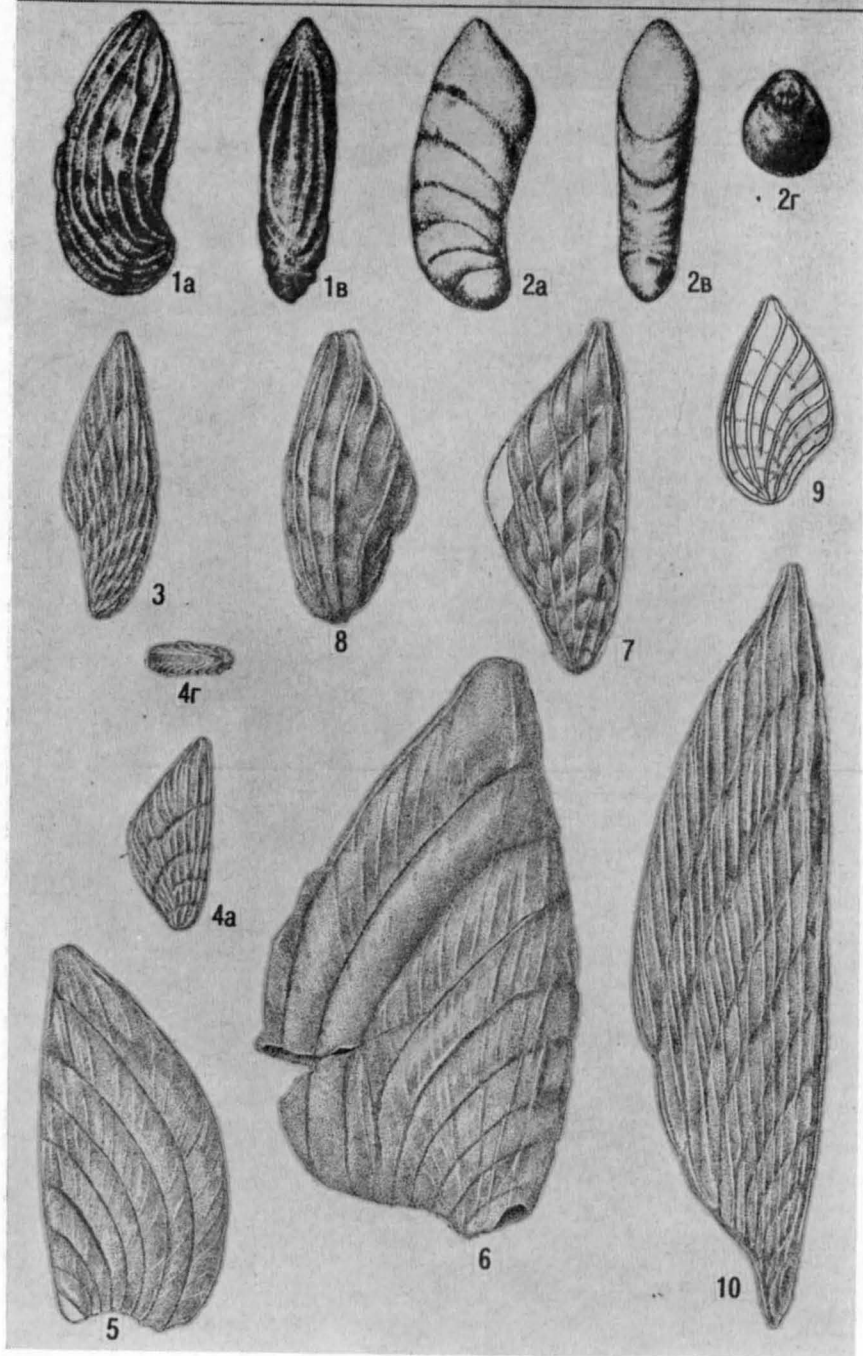


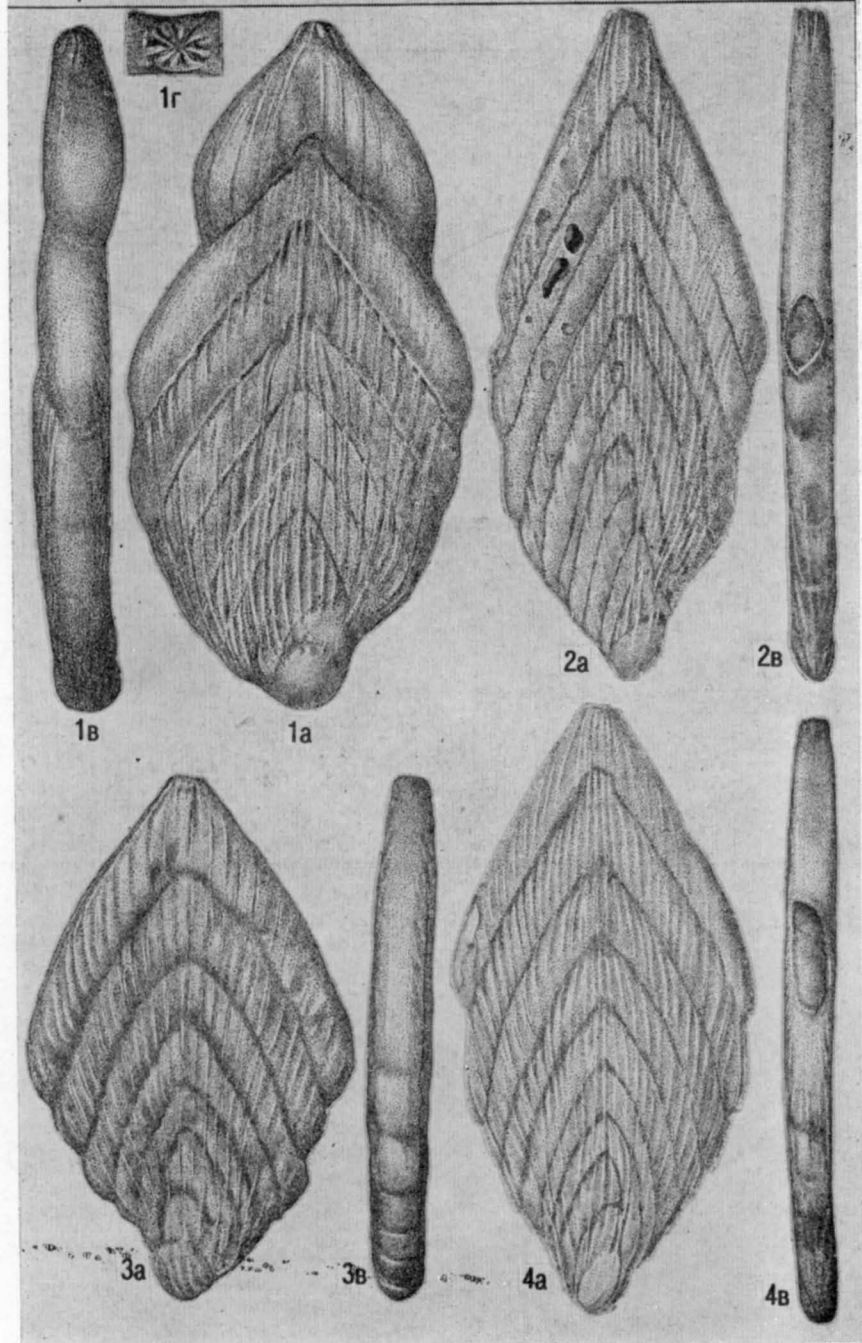


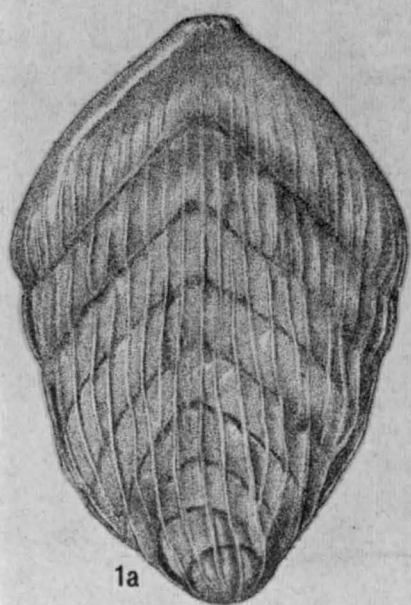








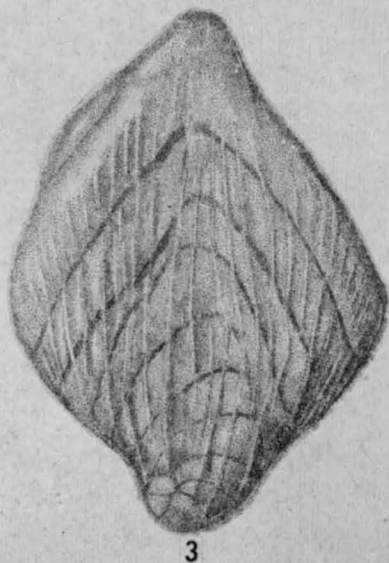




2r



2b



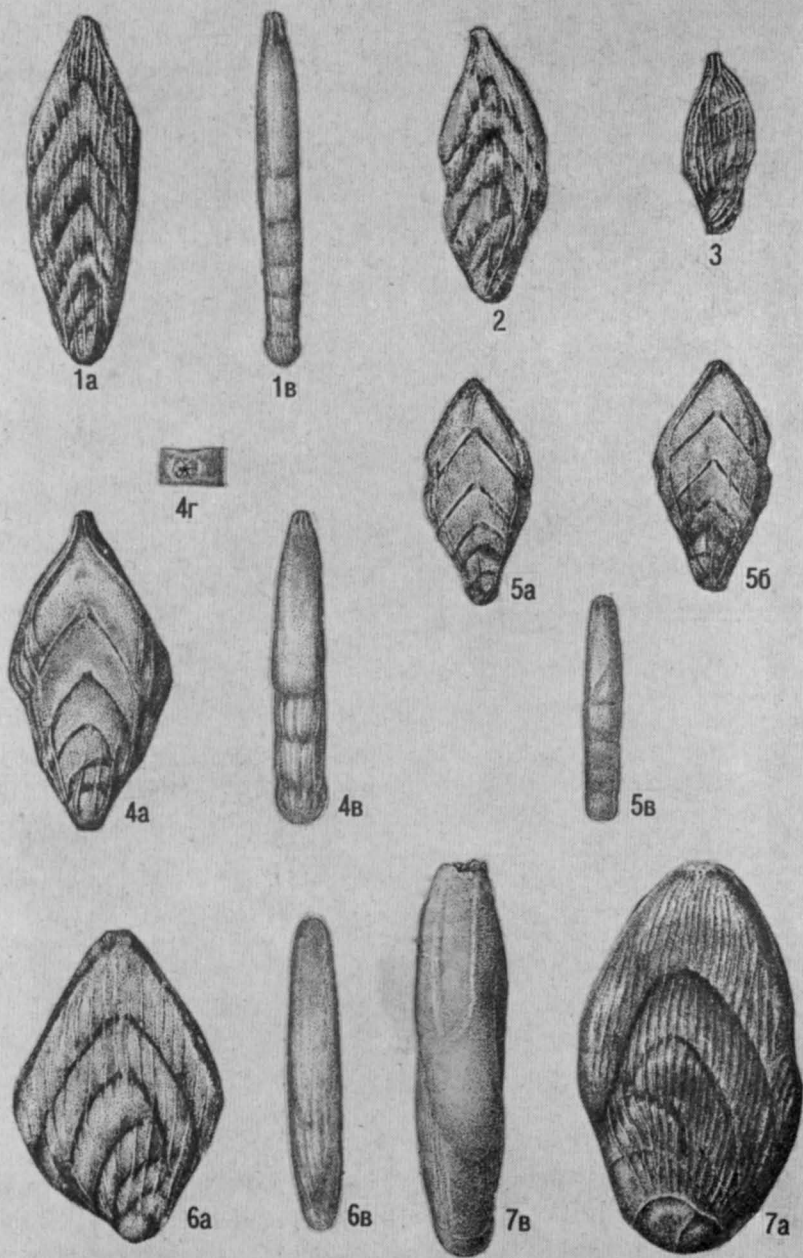
5r

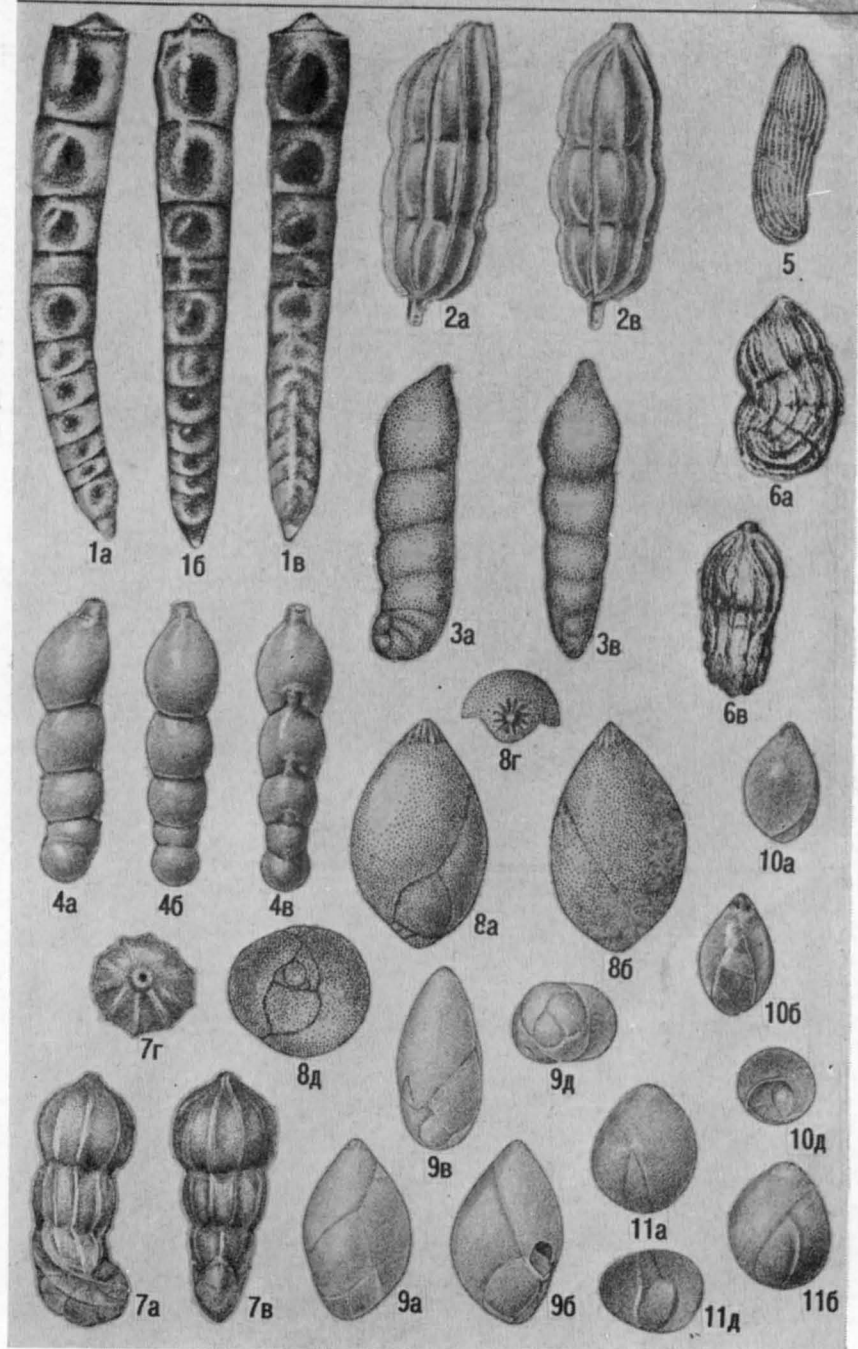


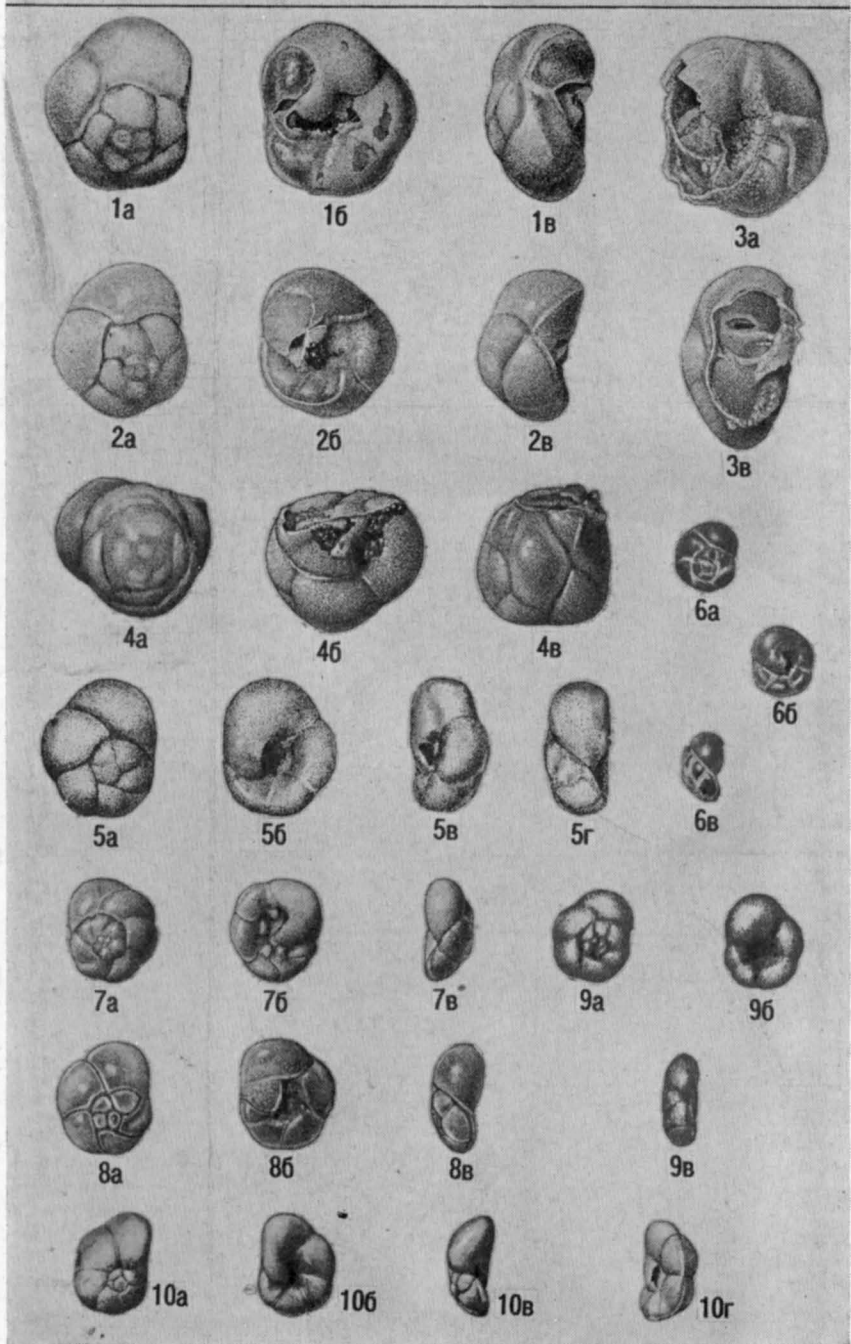
4

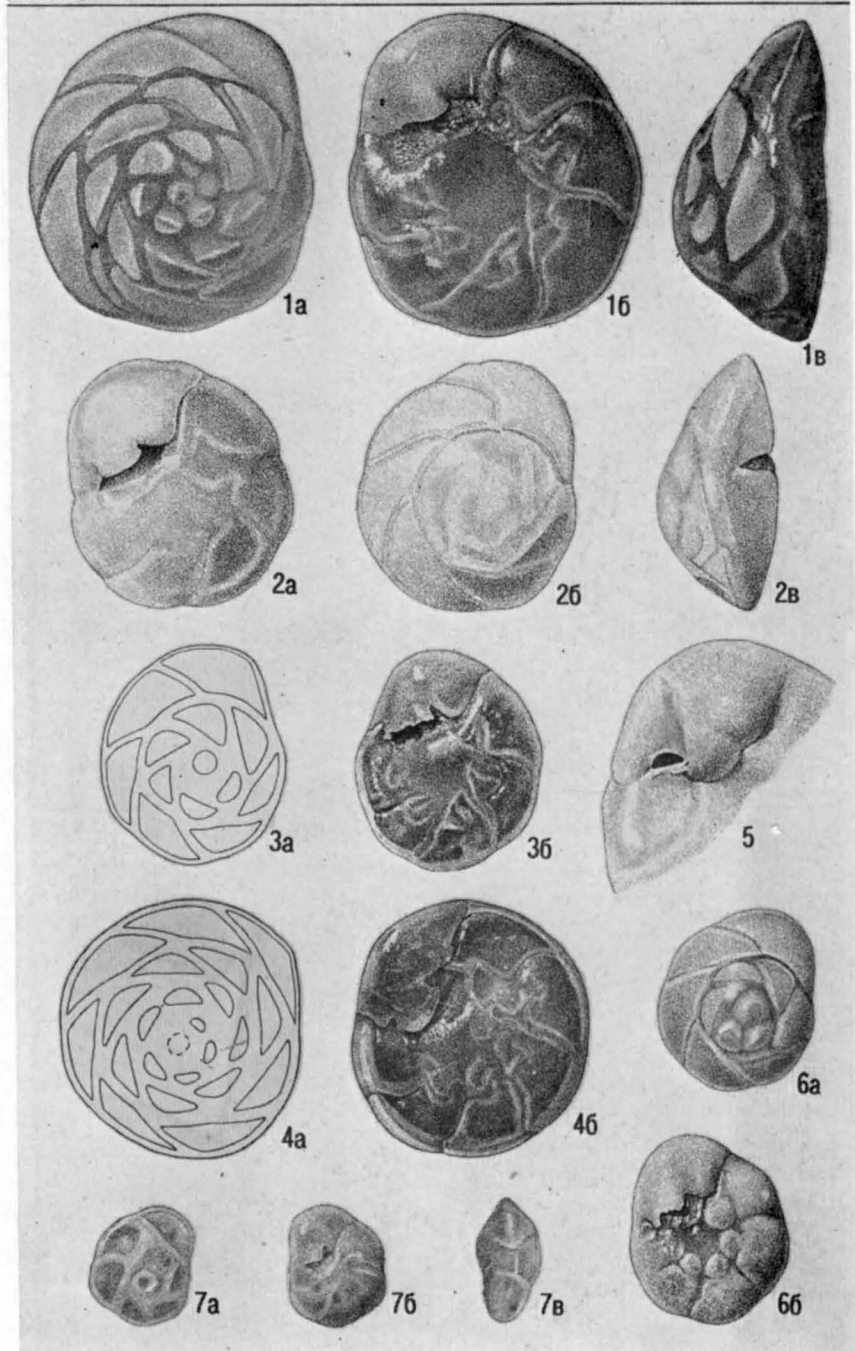


5a











1a



1b



1B



2a



2B



3



4a



4b



4B



5B



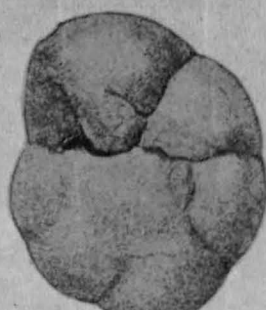
5a



5b



1a



1b



1b



2a



2b



2b



3a



3b



3b



4a



4b



4b



1a



1b



1b



2a



2b



2b



6a



3a



3b



3b



6b



4a



4b



4b



5a



5b



5b



6b



1a



1b



1c



2a



2c



2b



3a



3c



3b



4a



4c



4b



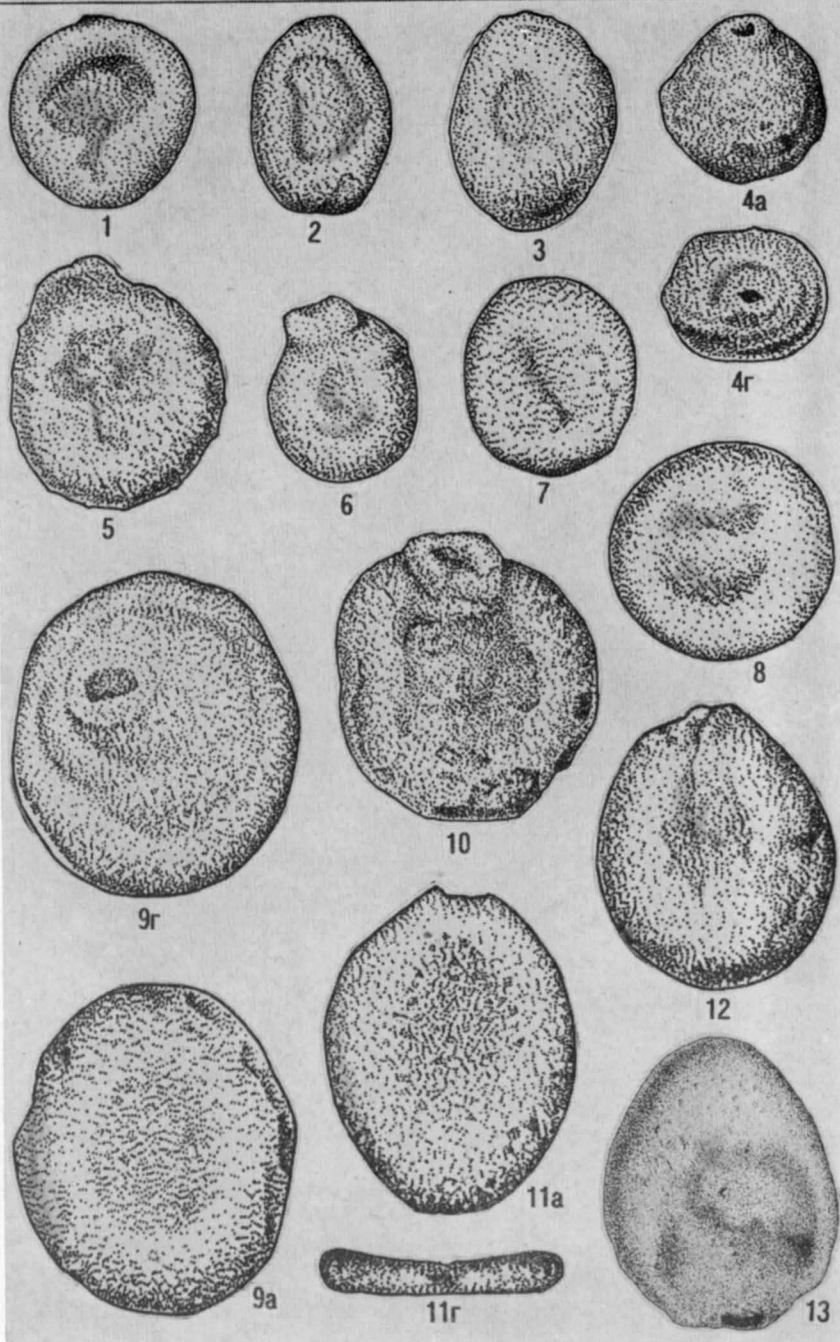
5a

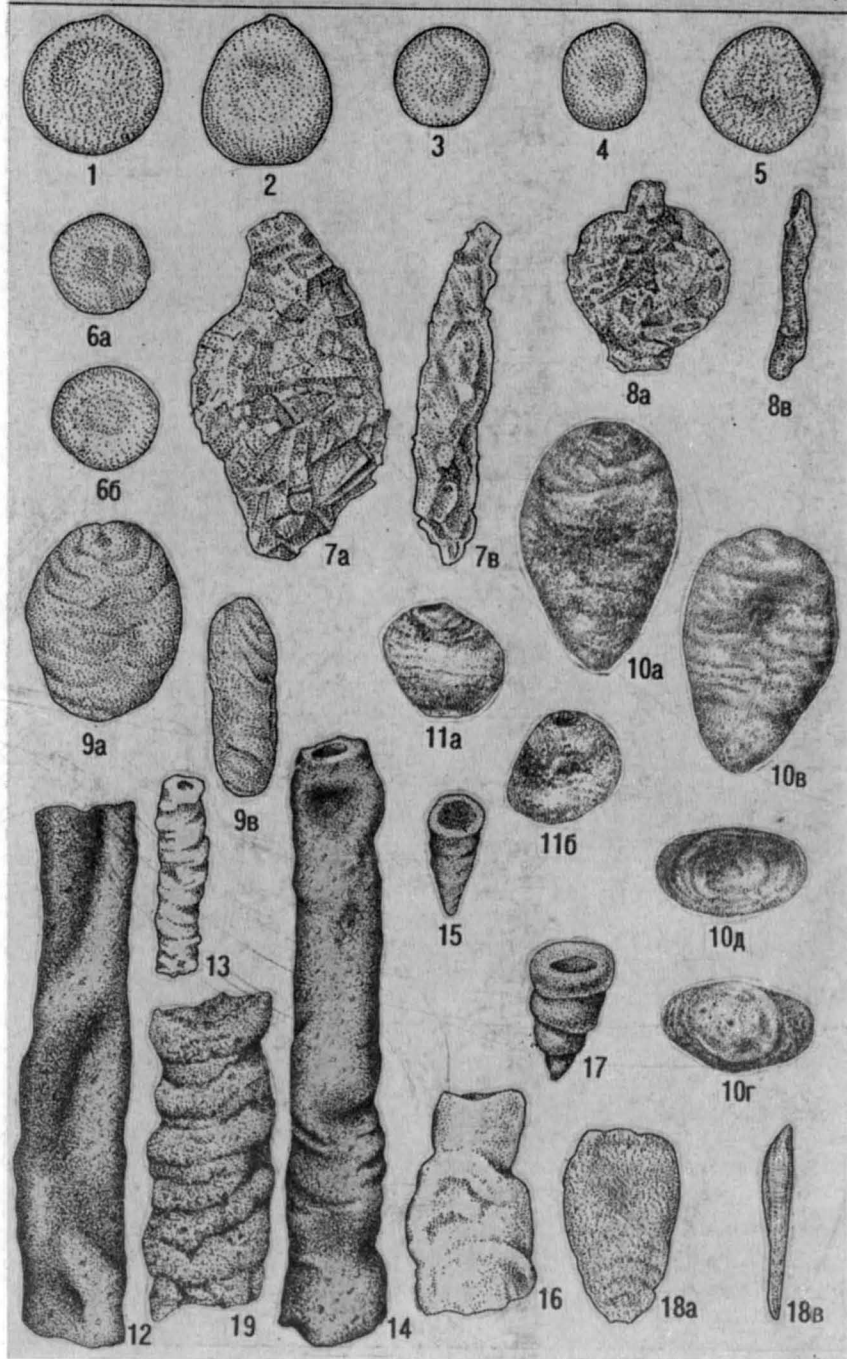


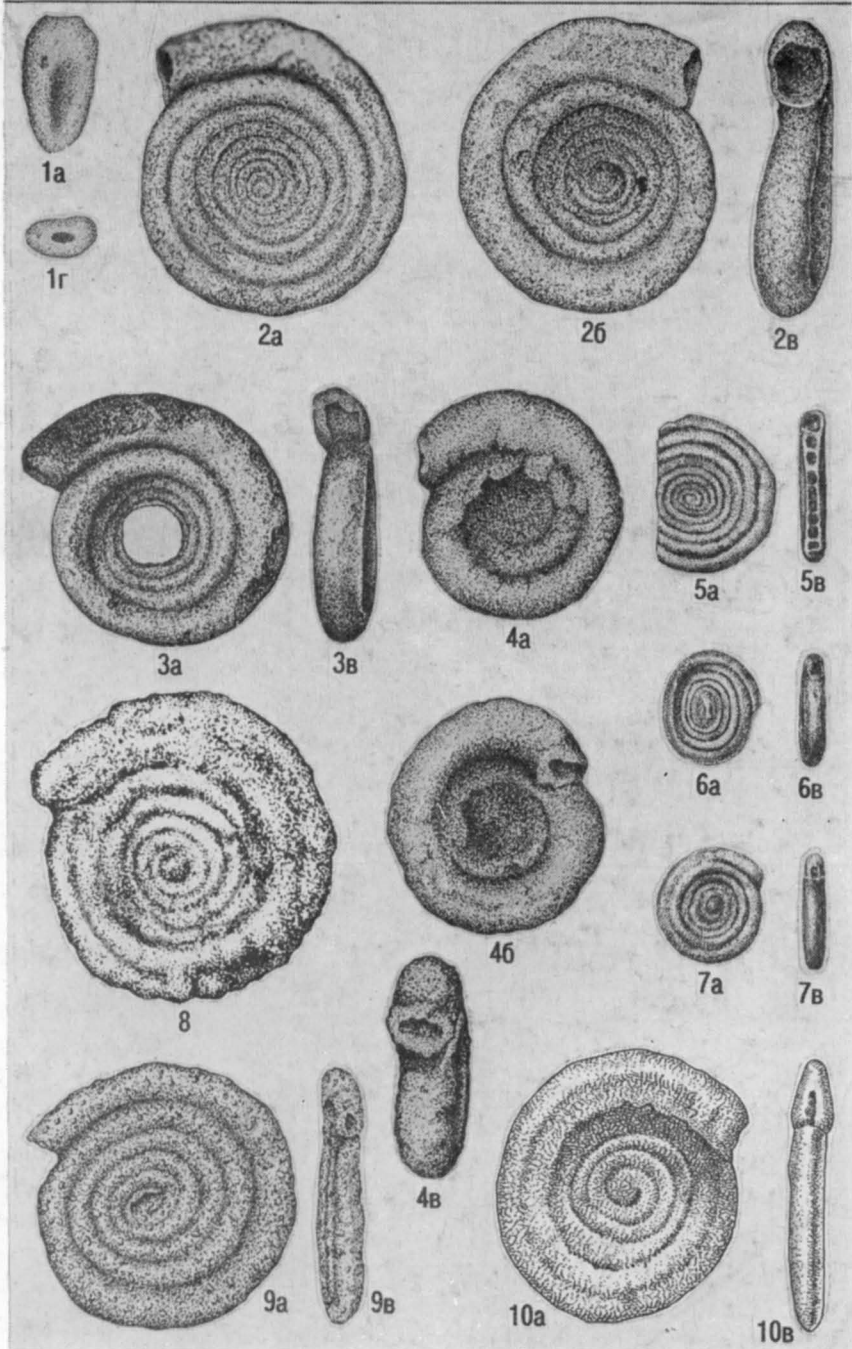
5c



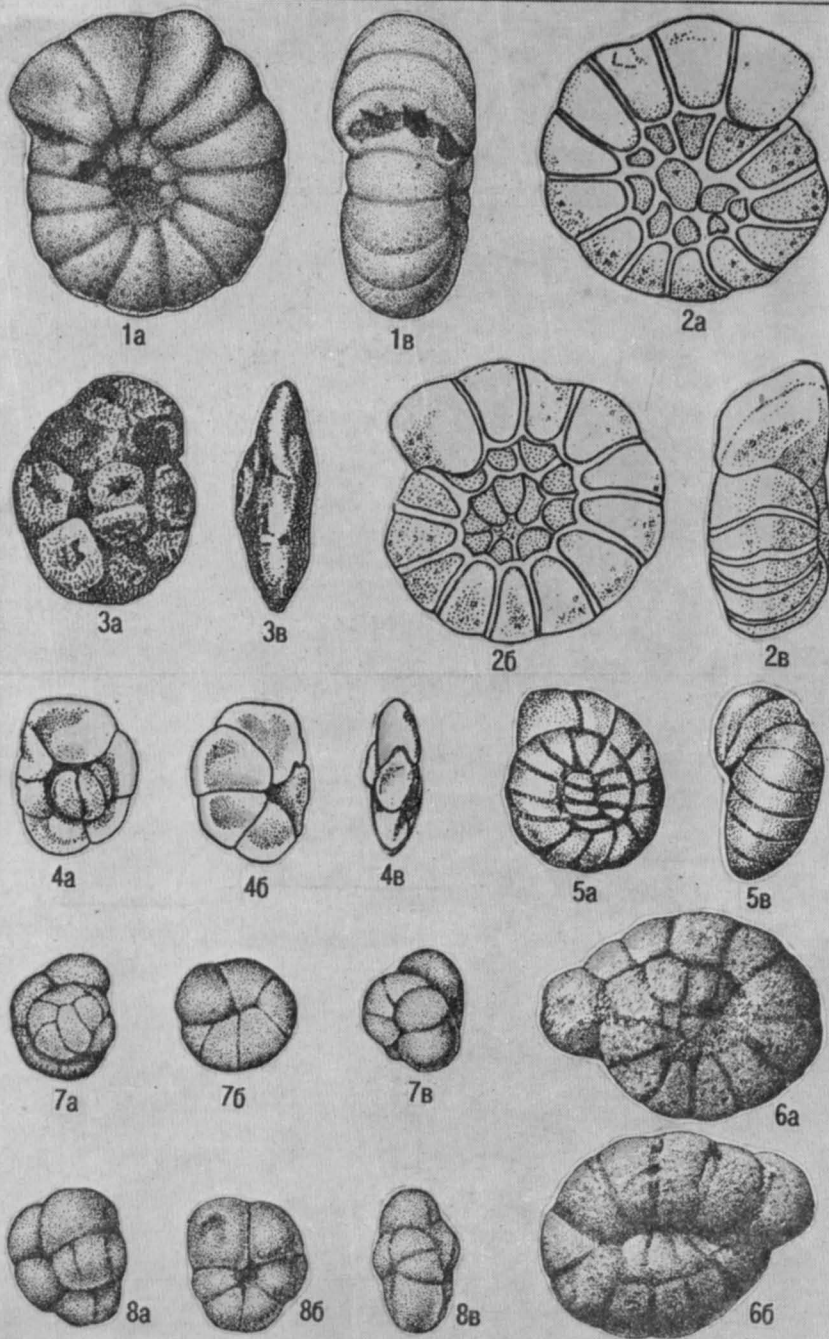
5b

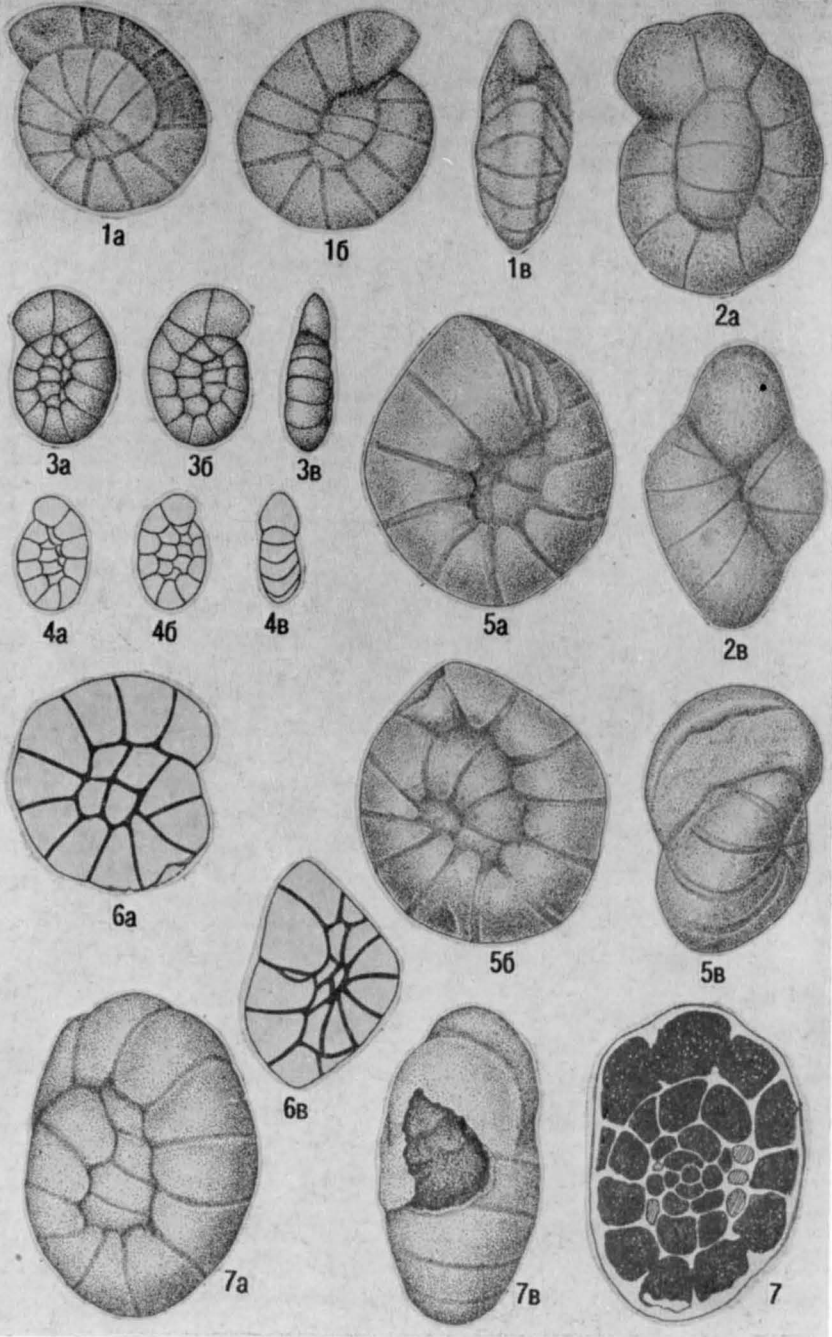


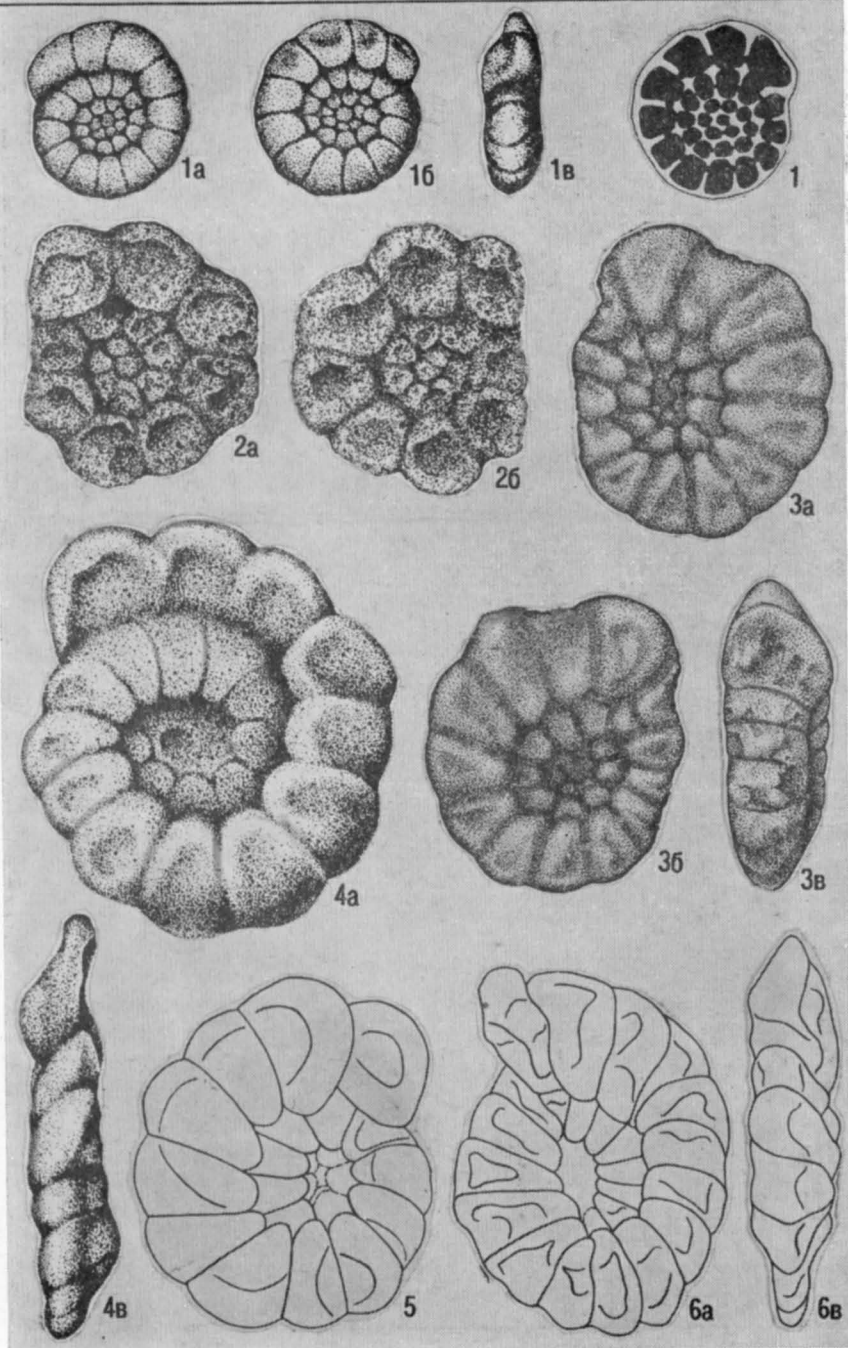


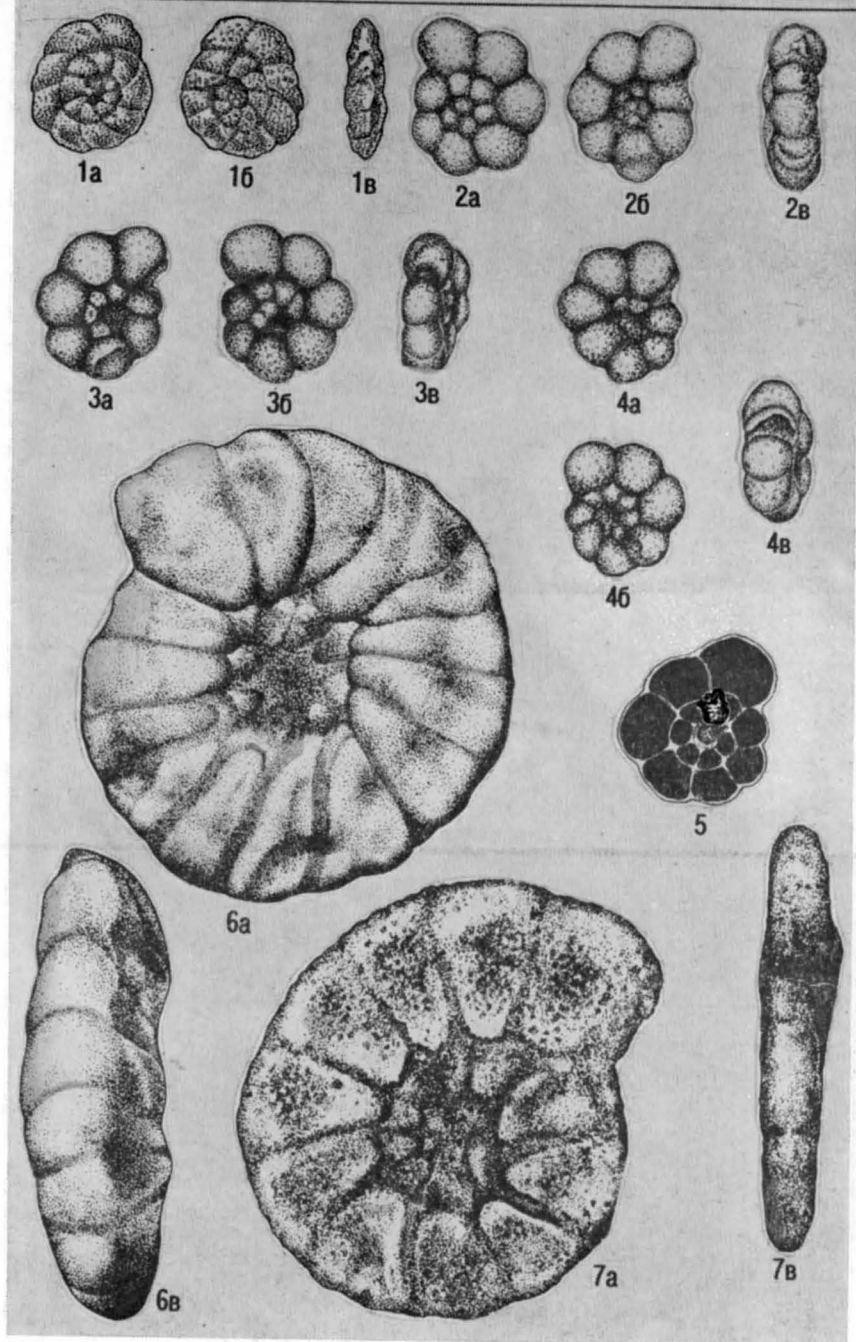


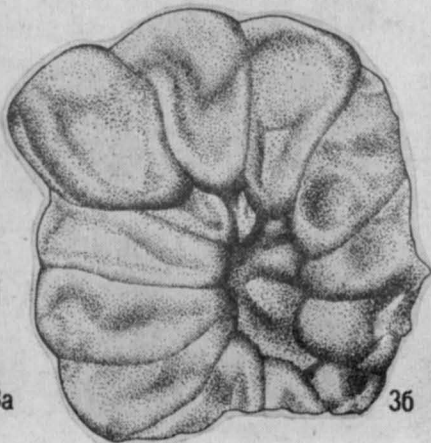
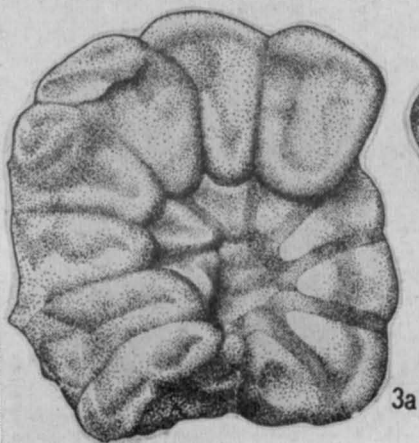
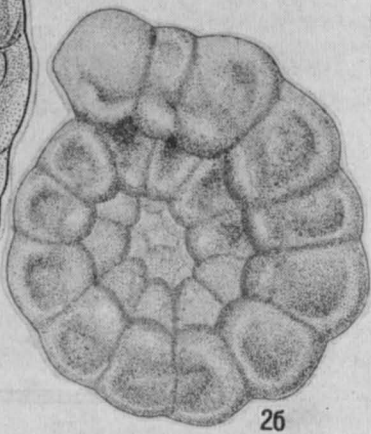
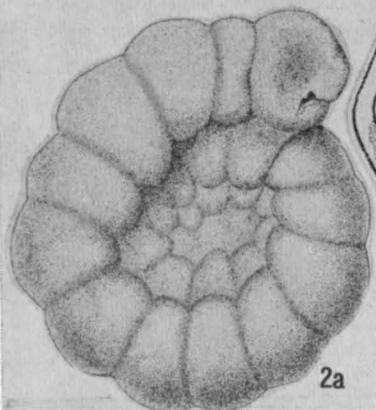
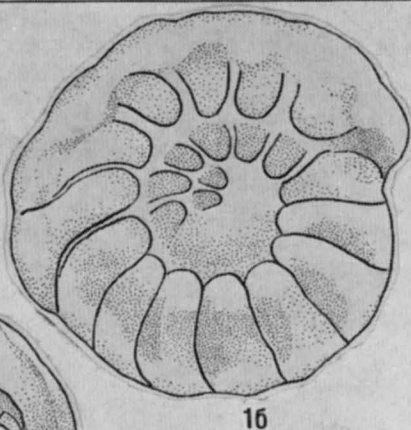
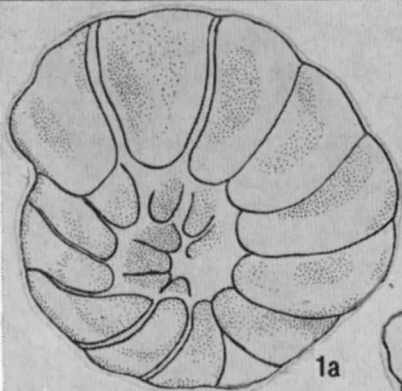


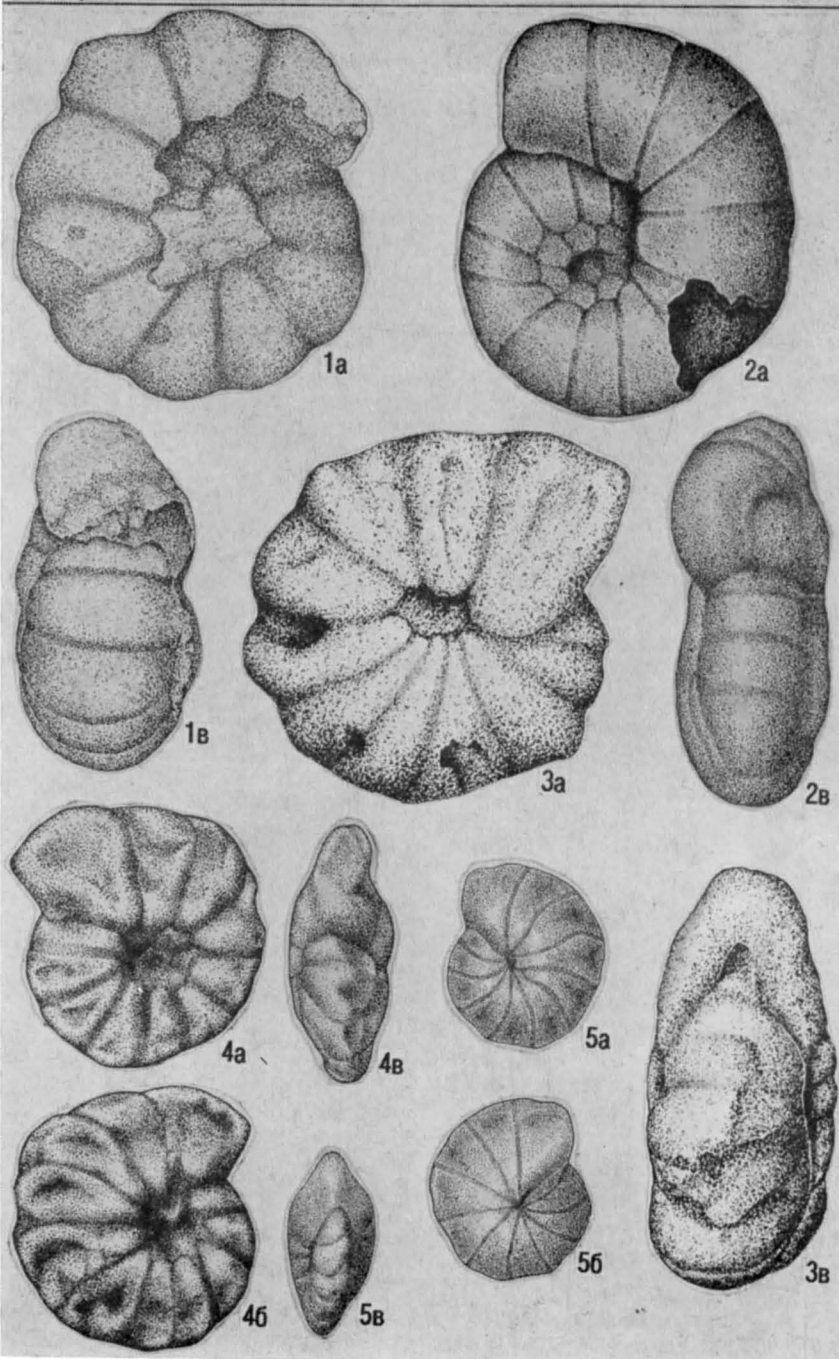


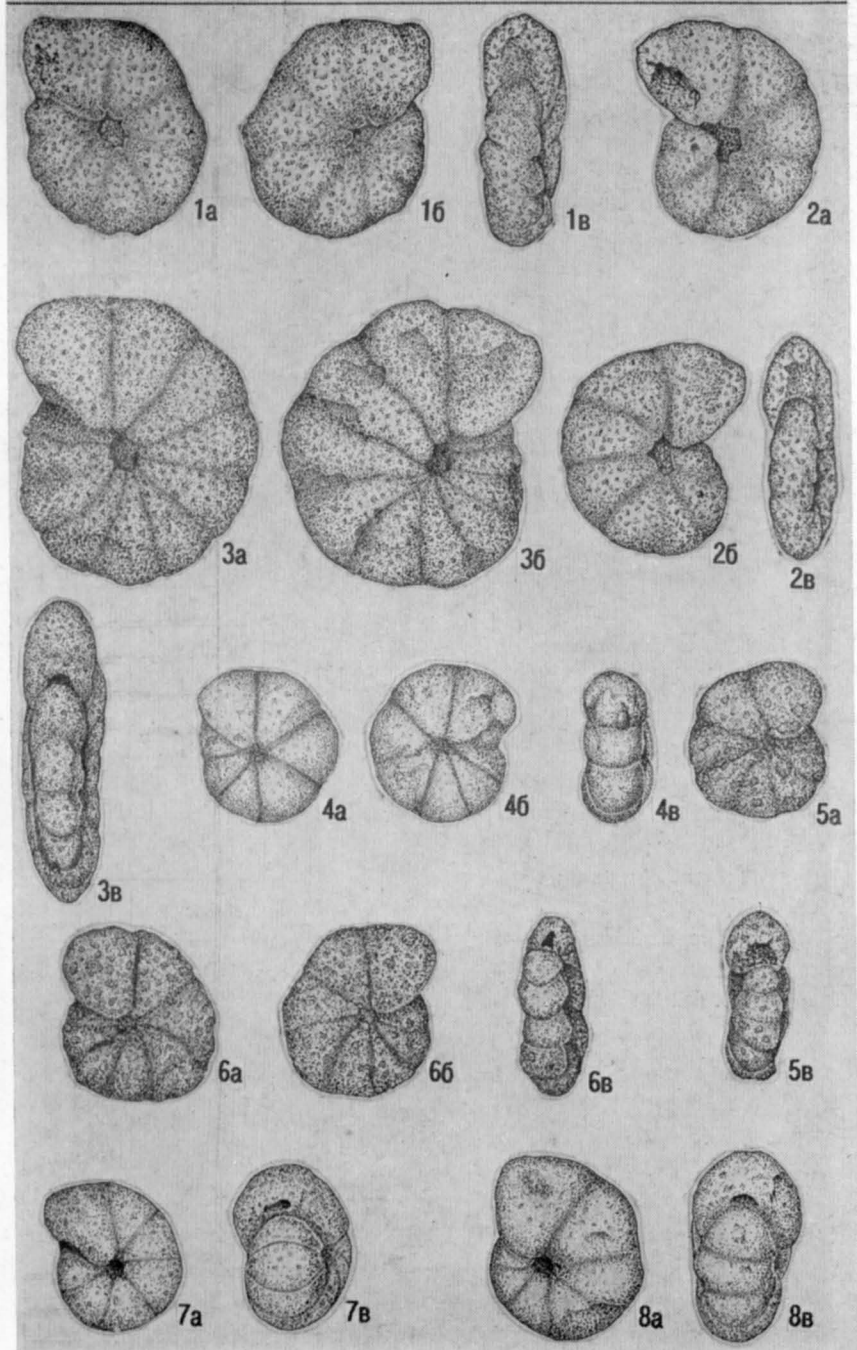


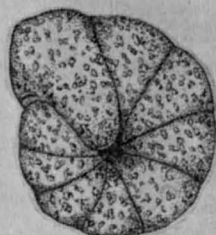




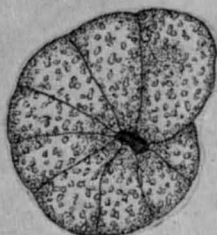








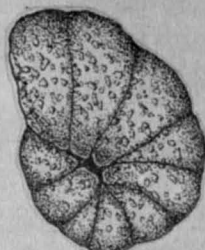
1a



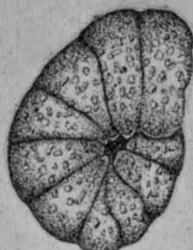
1b



1B



2a



2b



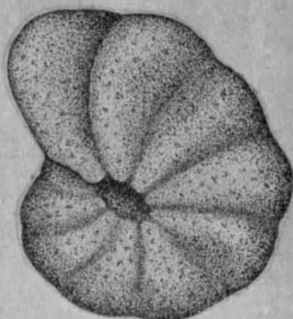
2B



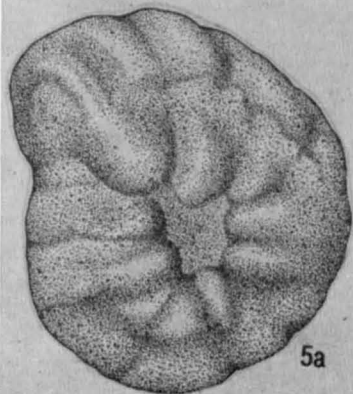
3a



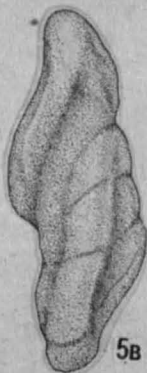
3b



4a



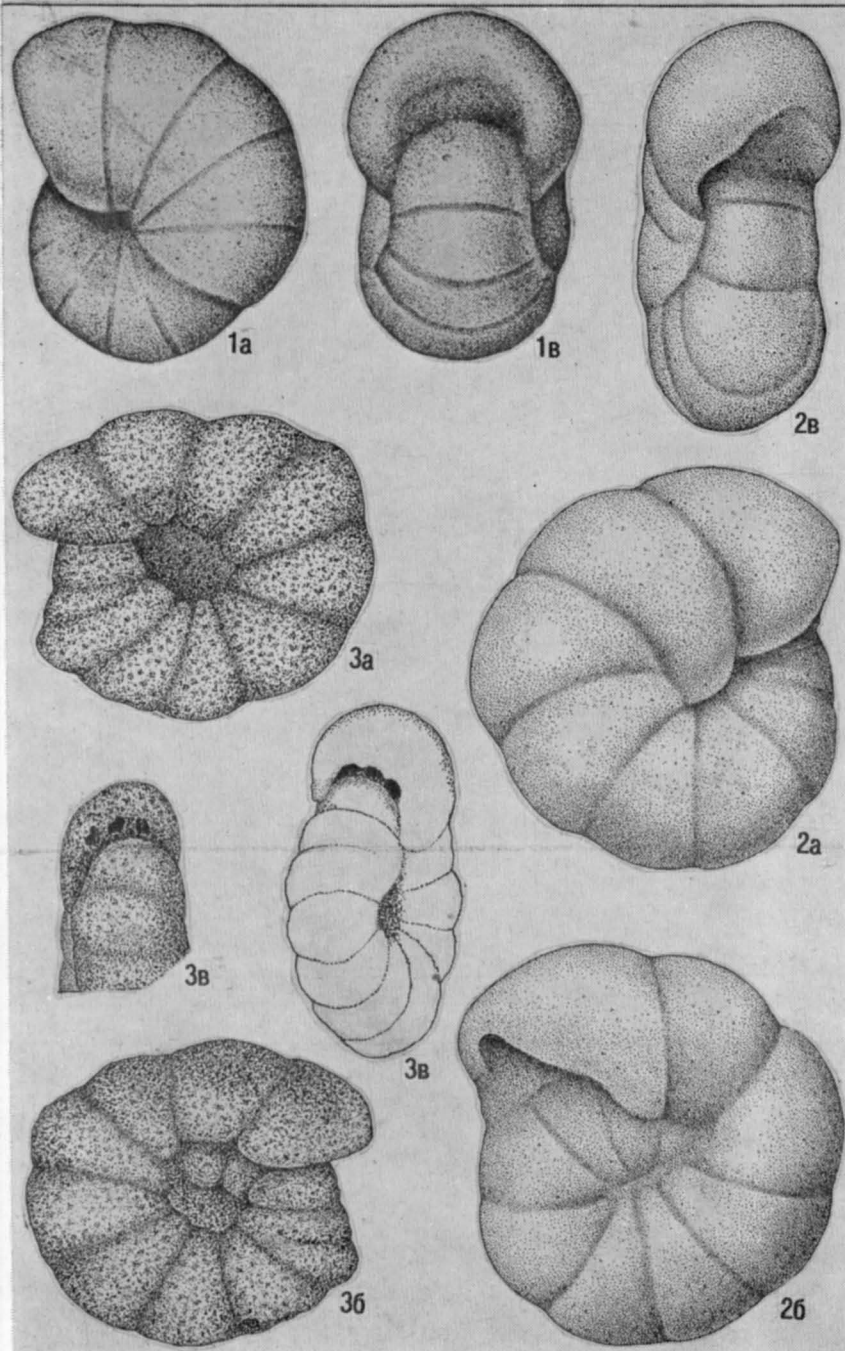
5a

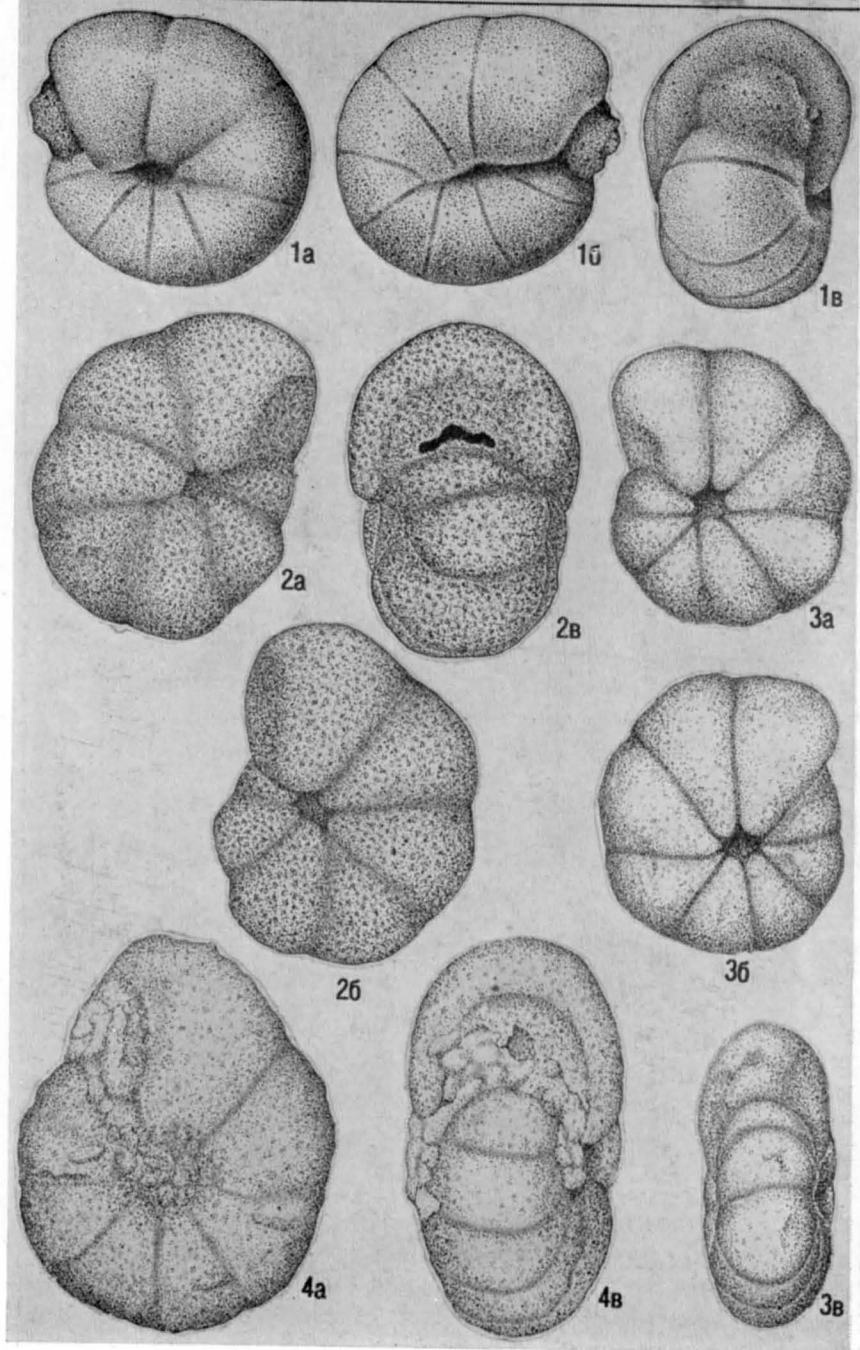


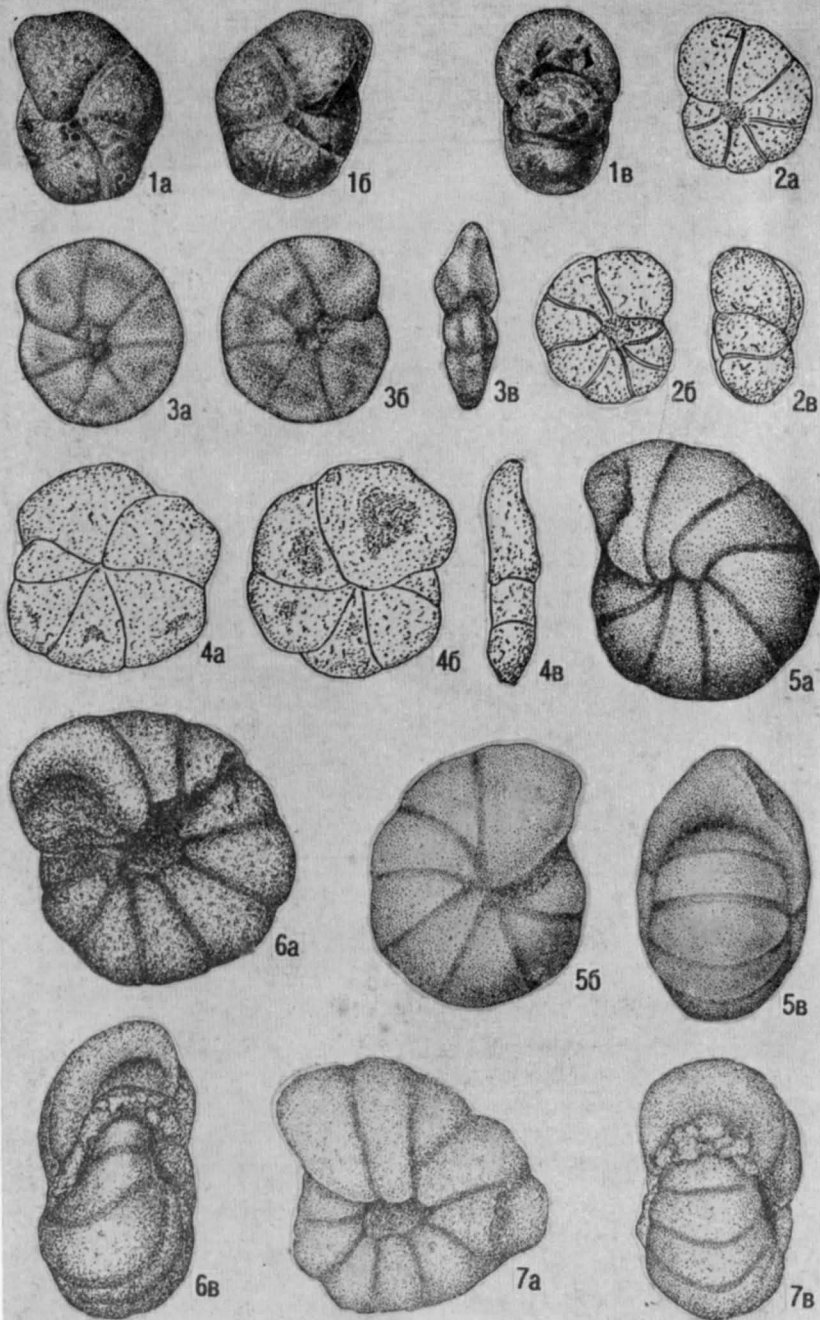
5b

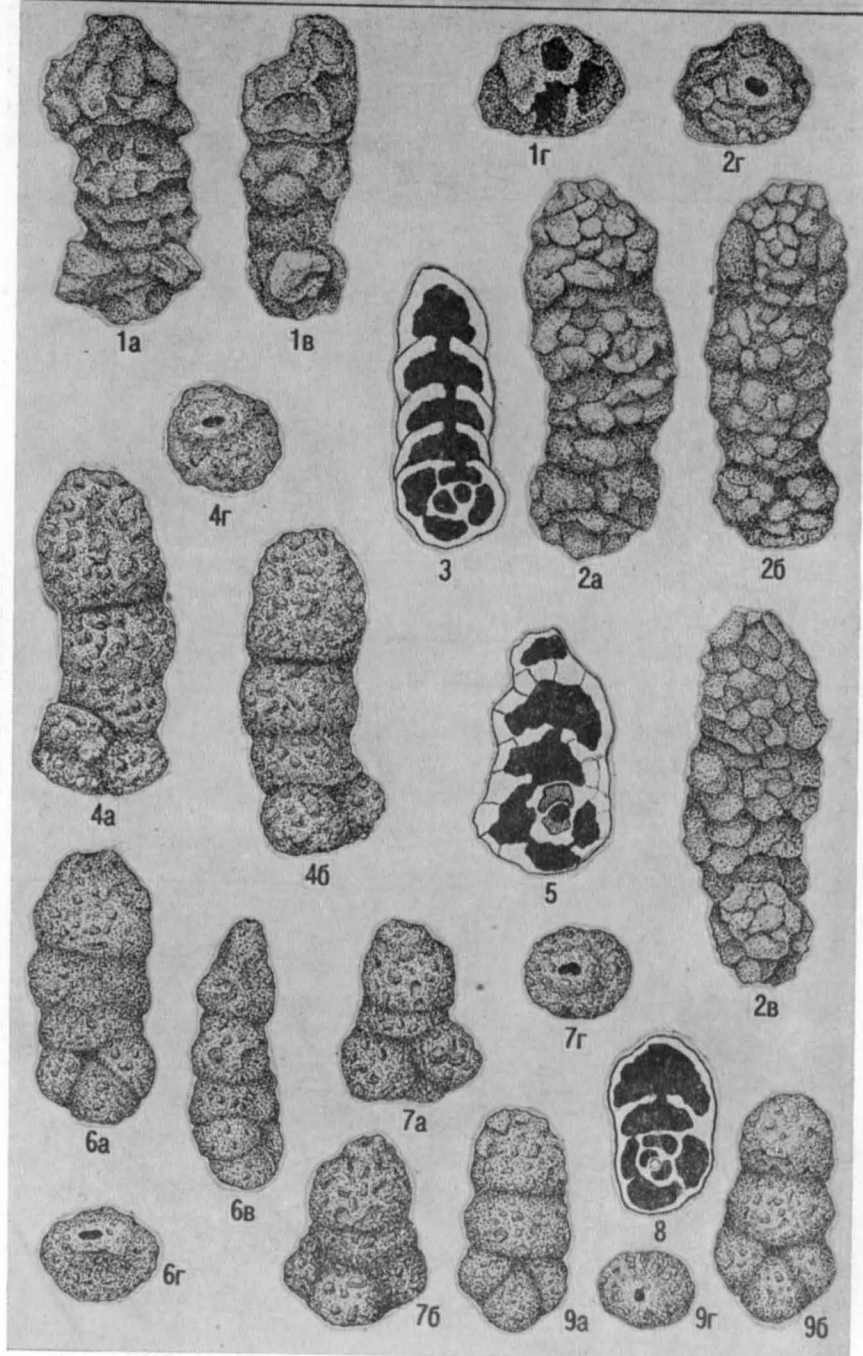


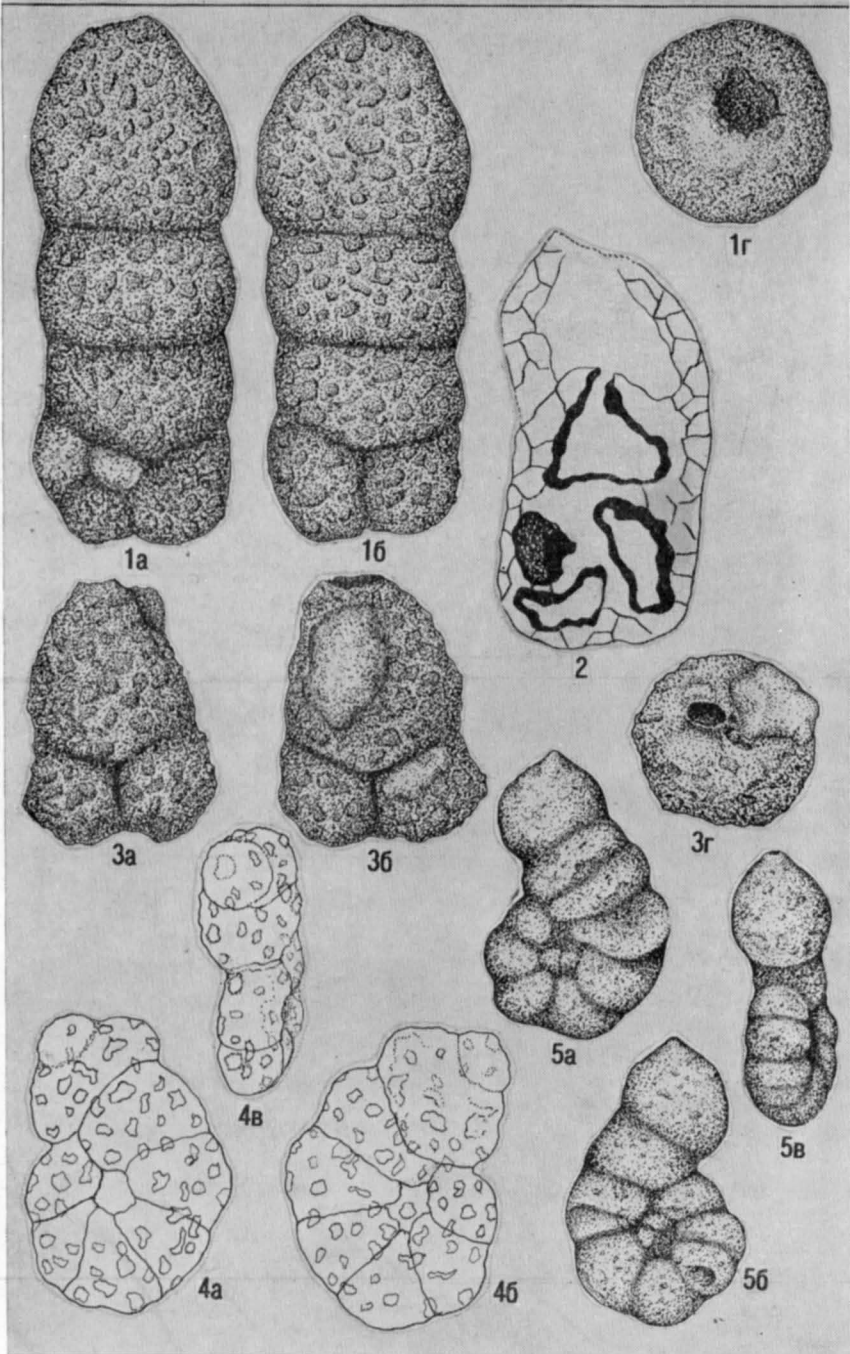
4B

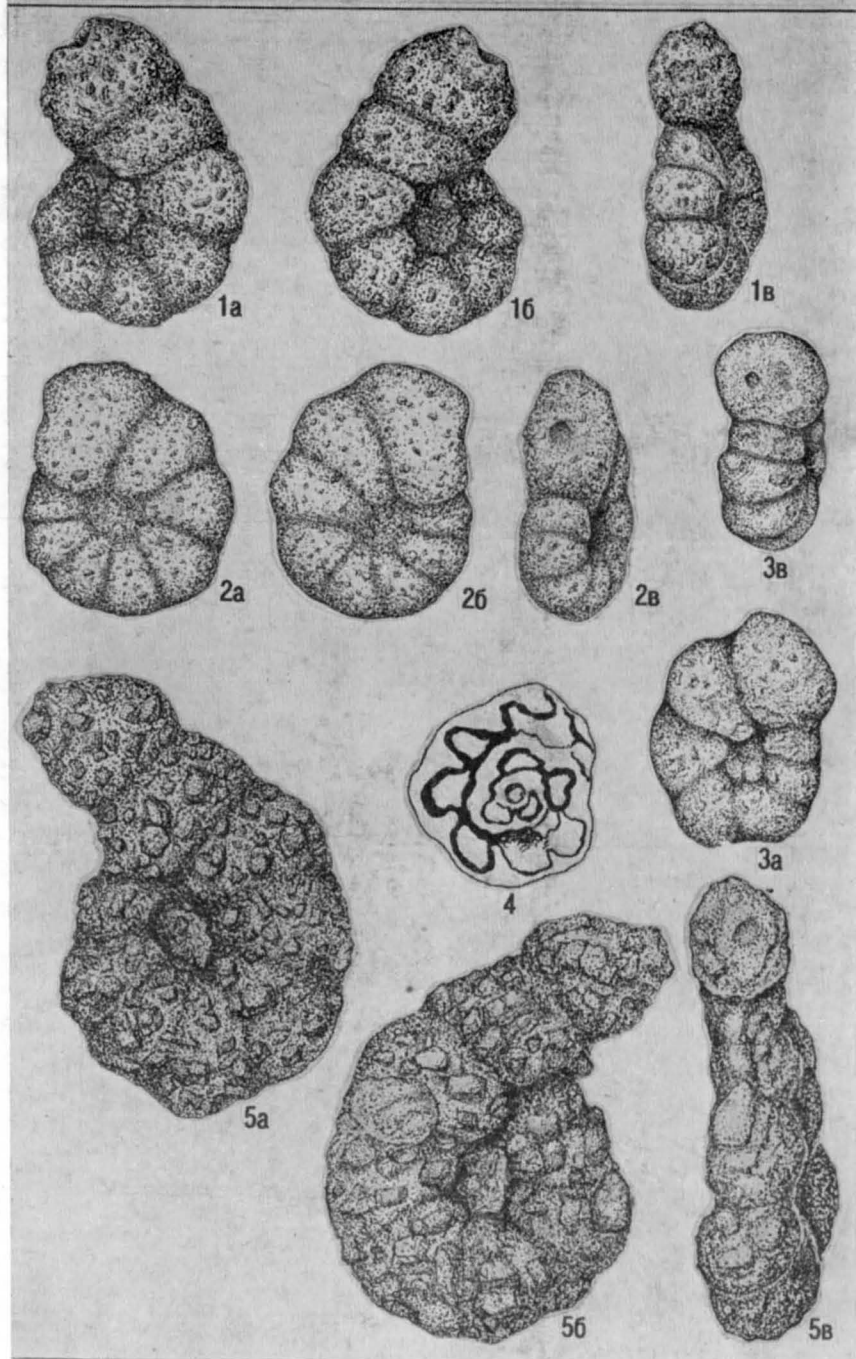


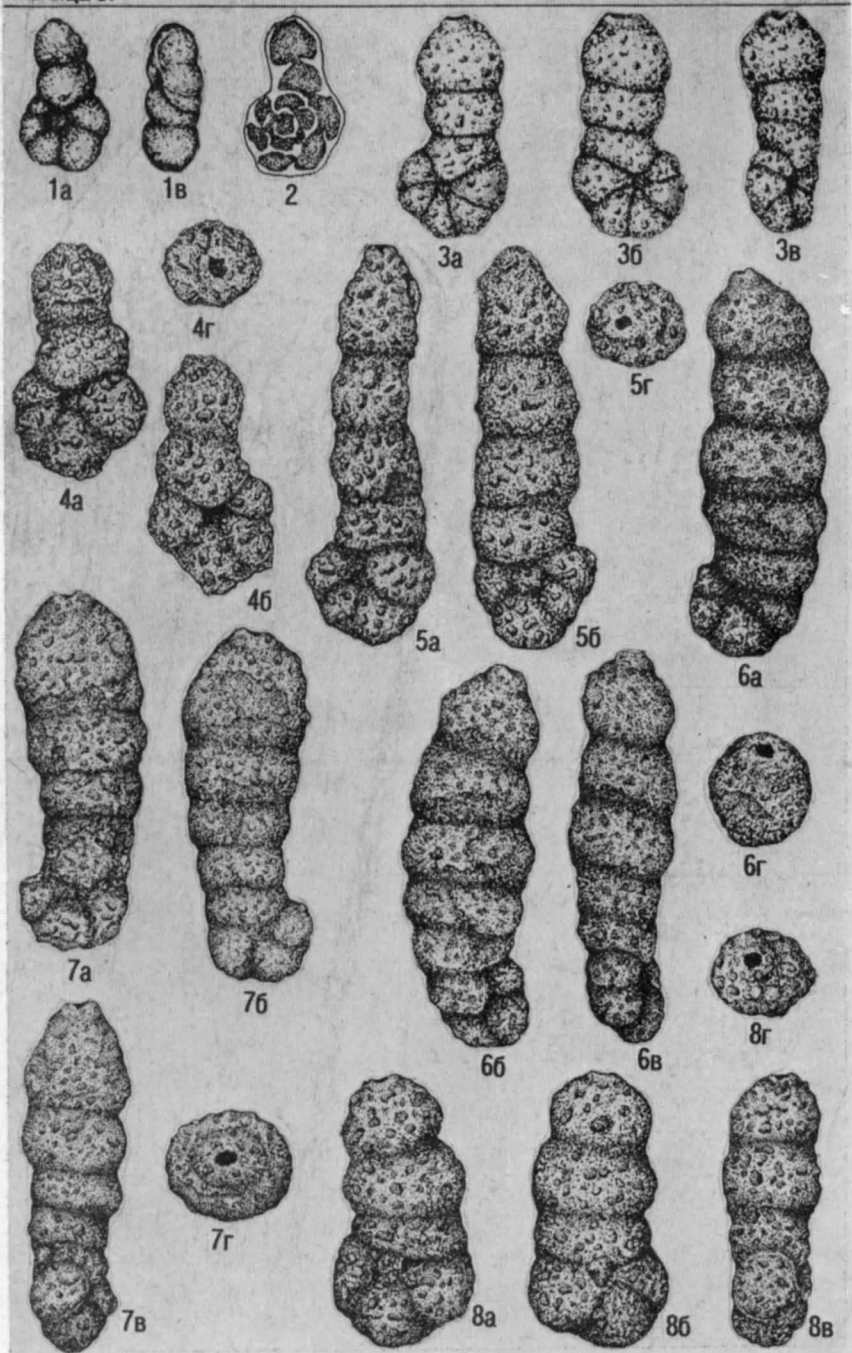


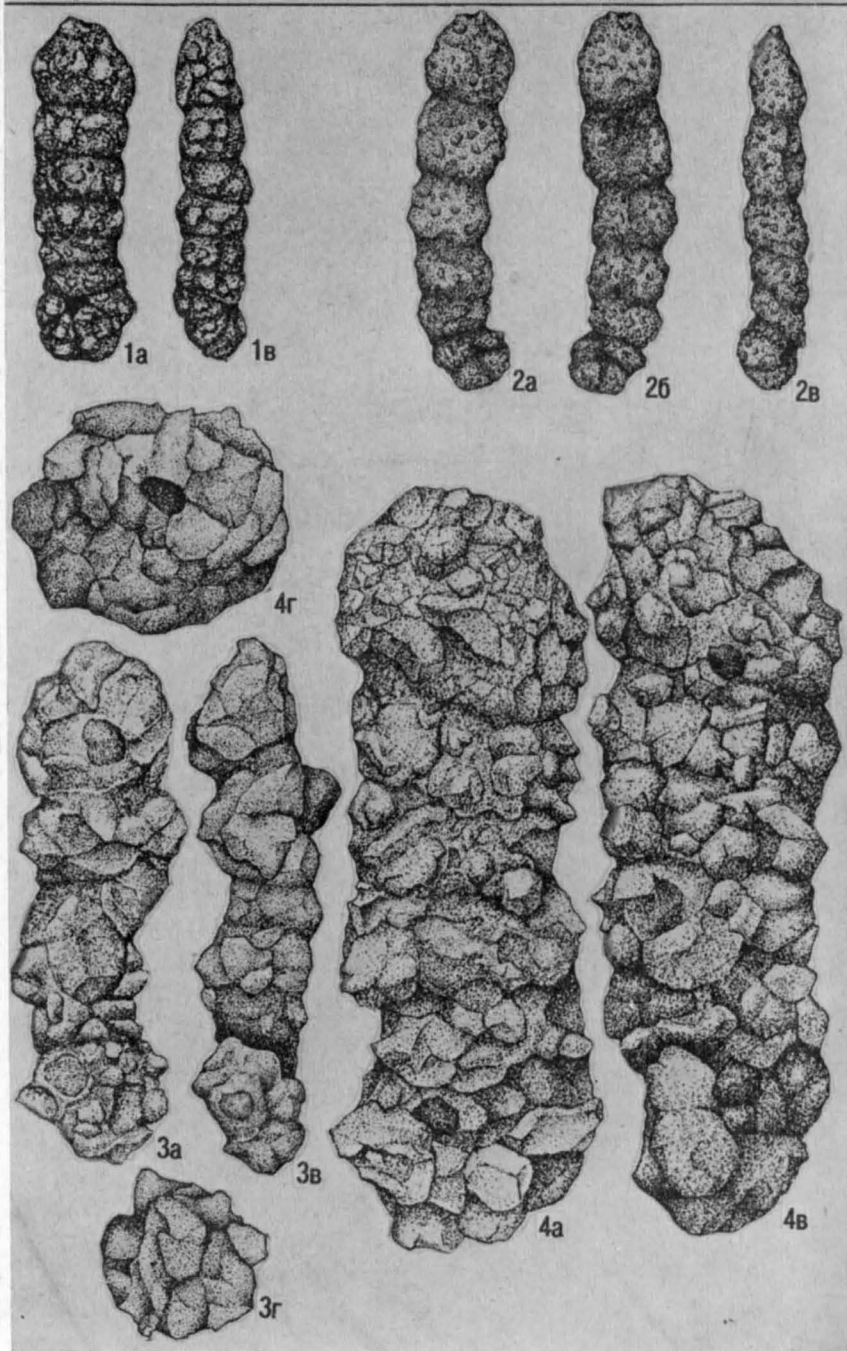


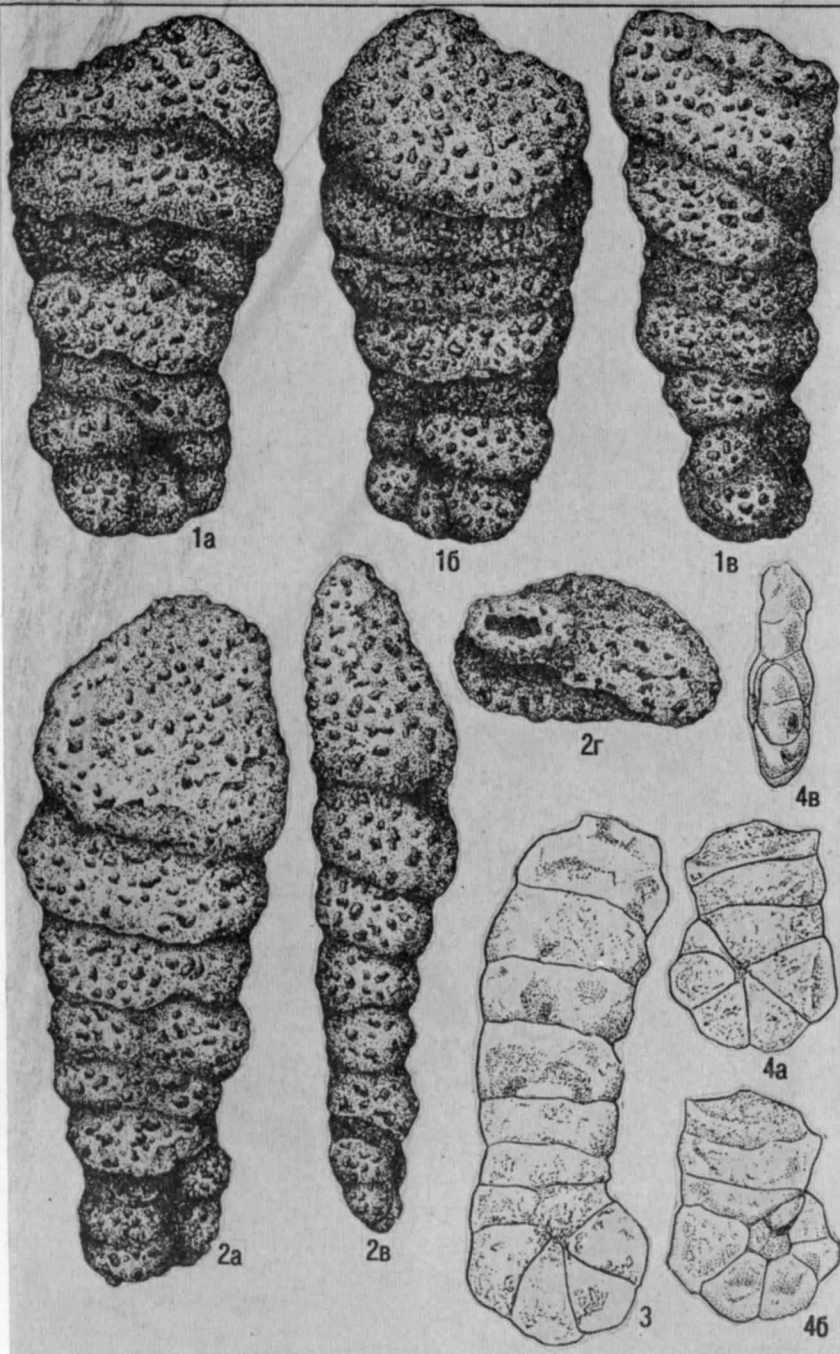


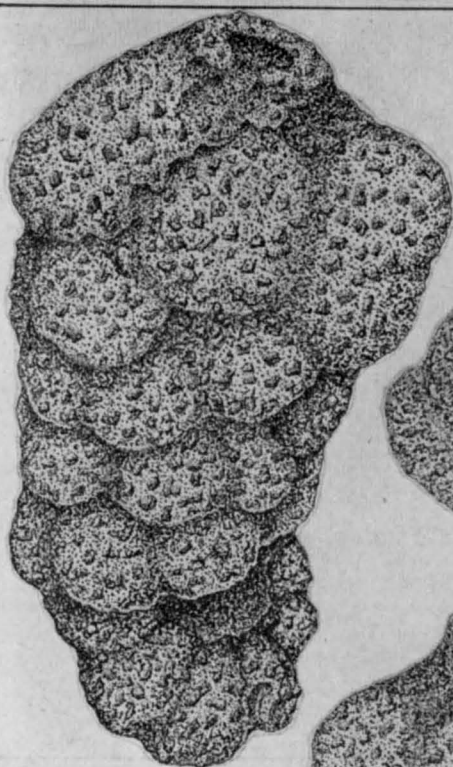








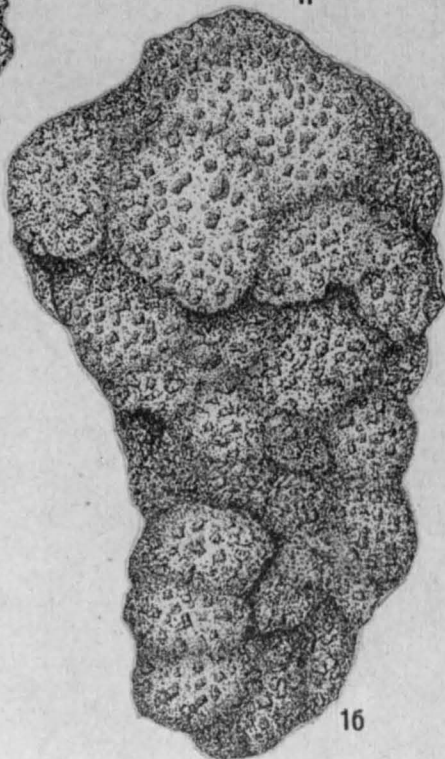




1a



1r



16

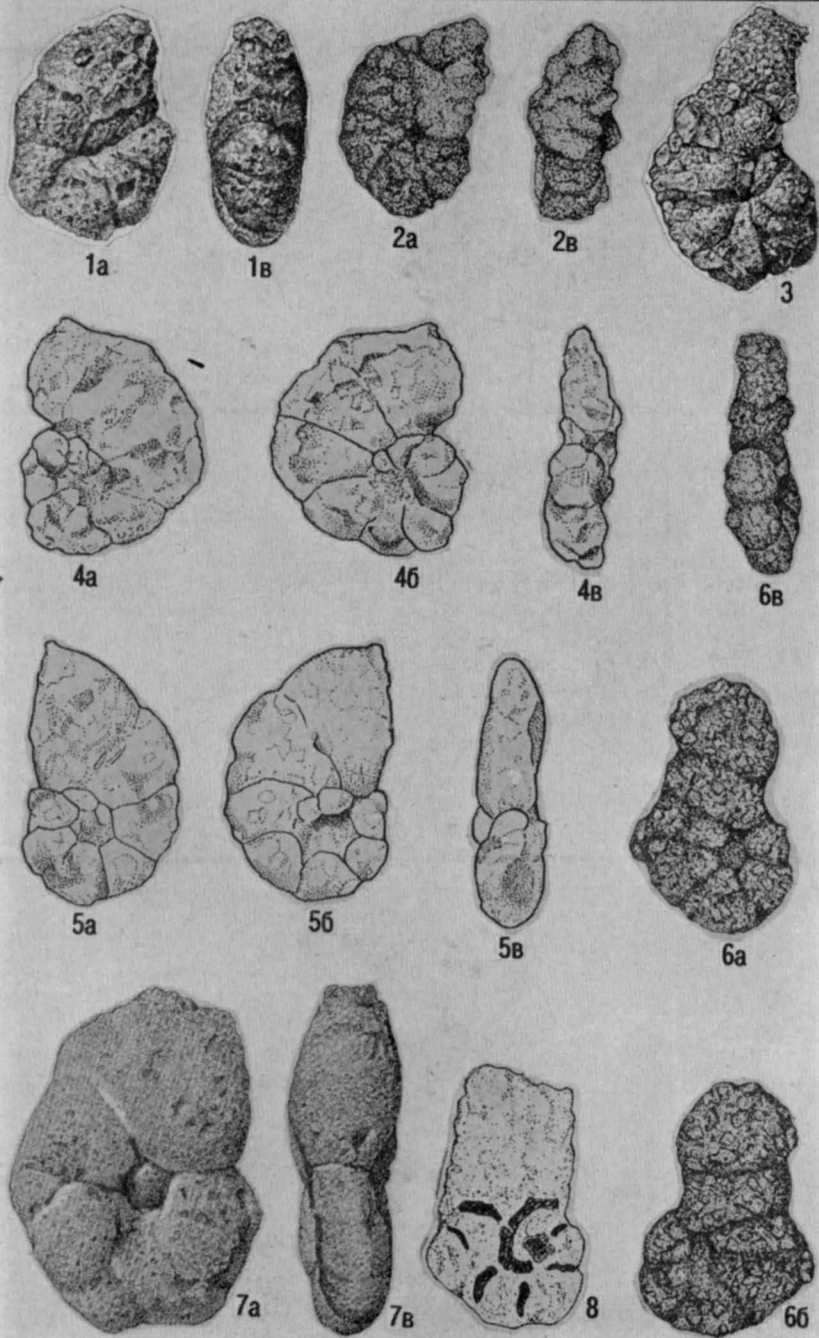
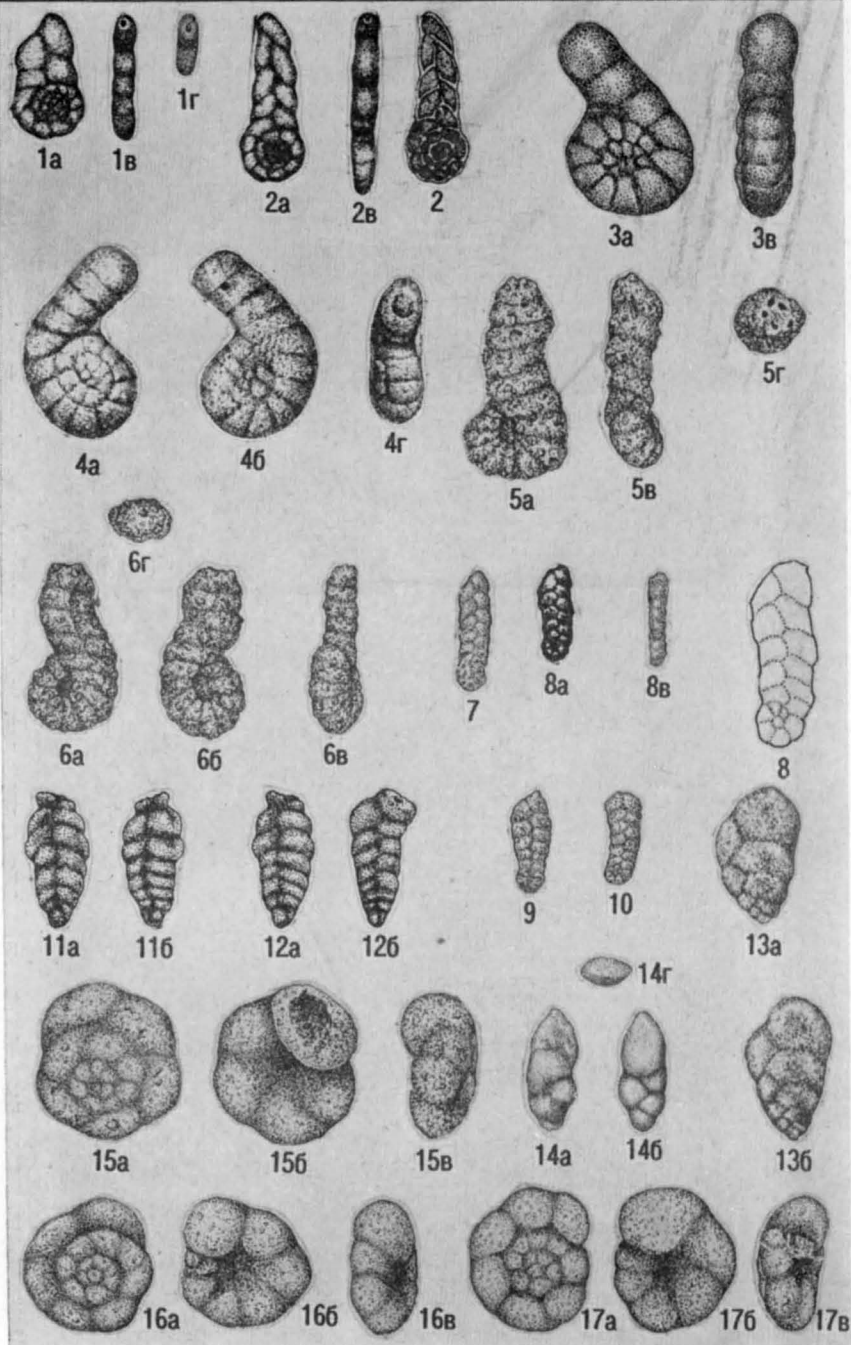
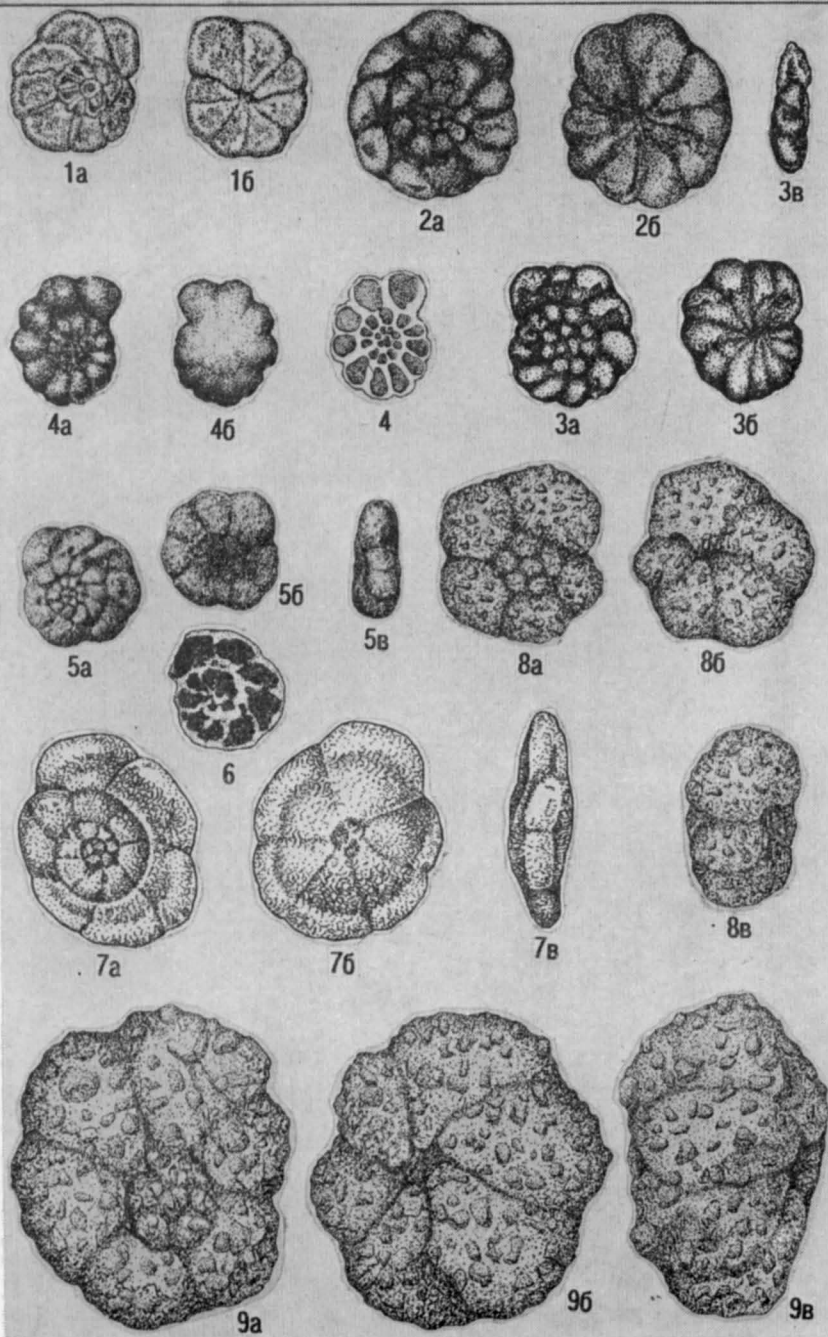
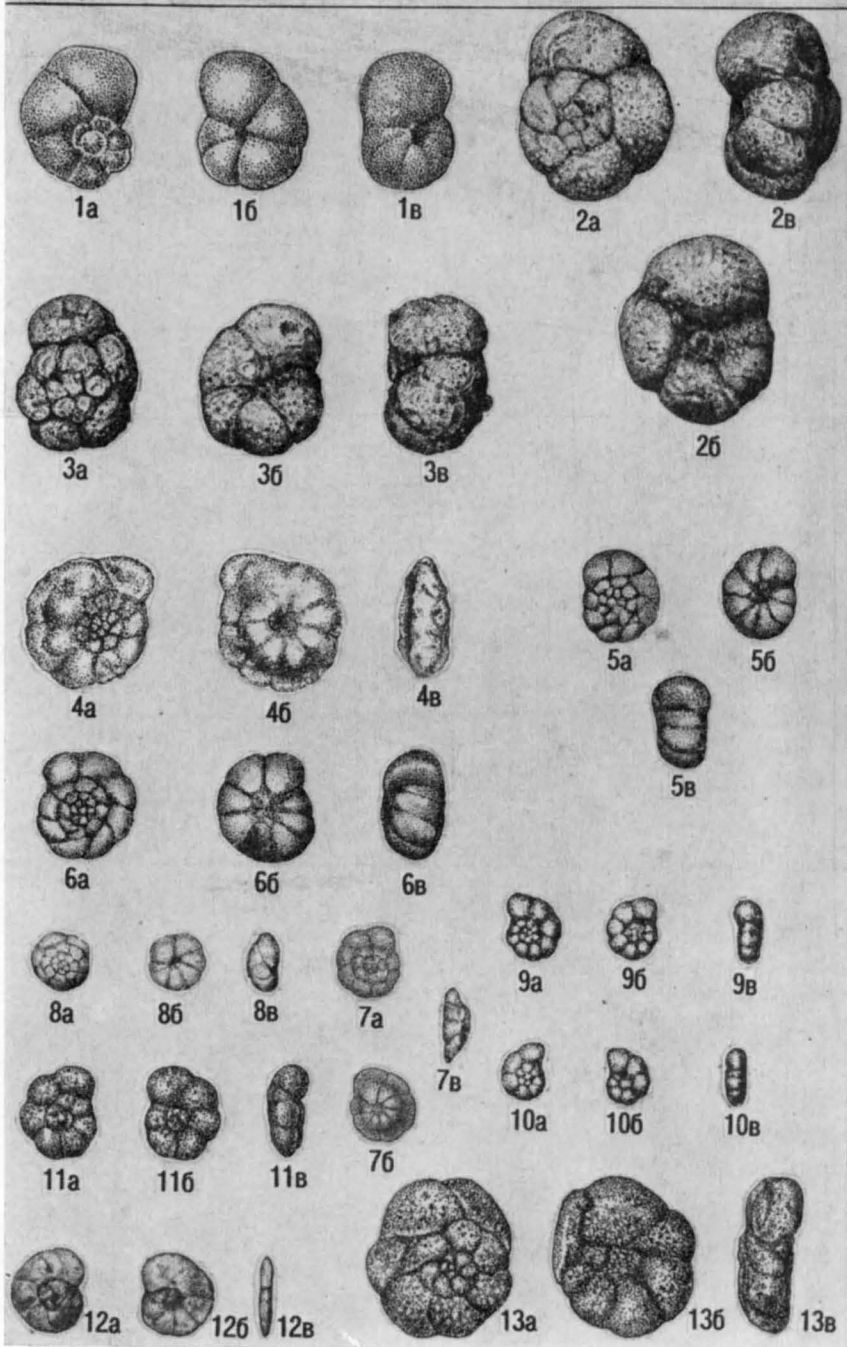
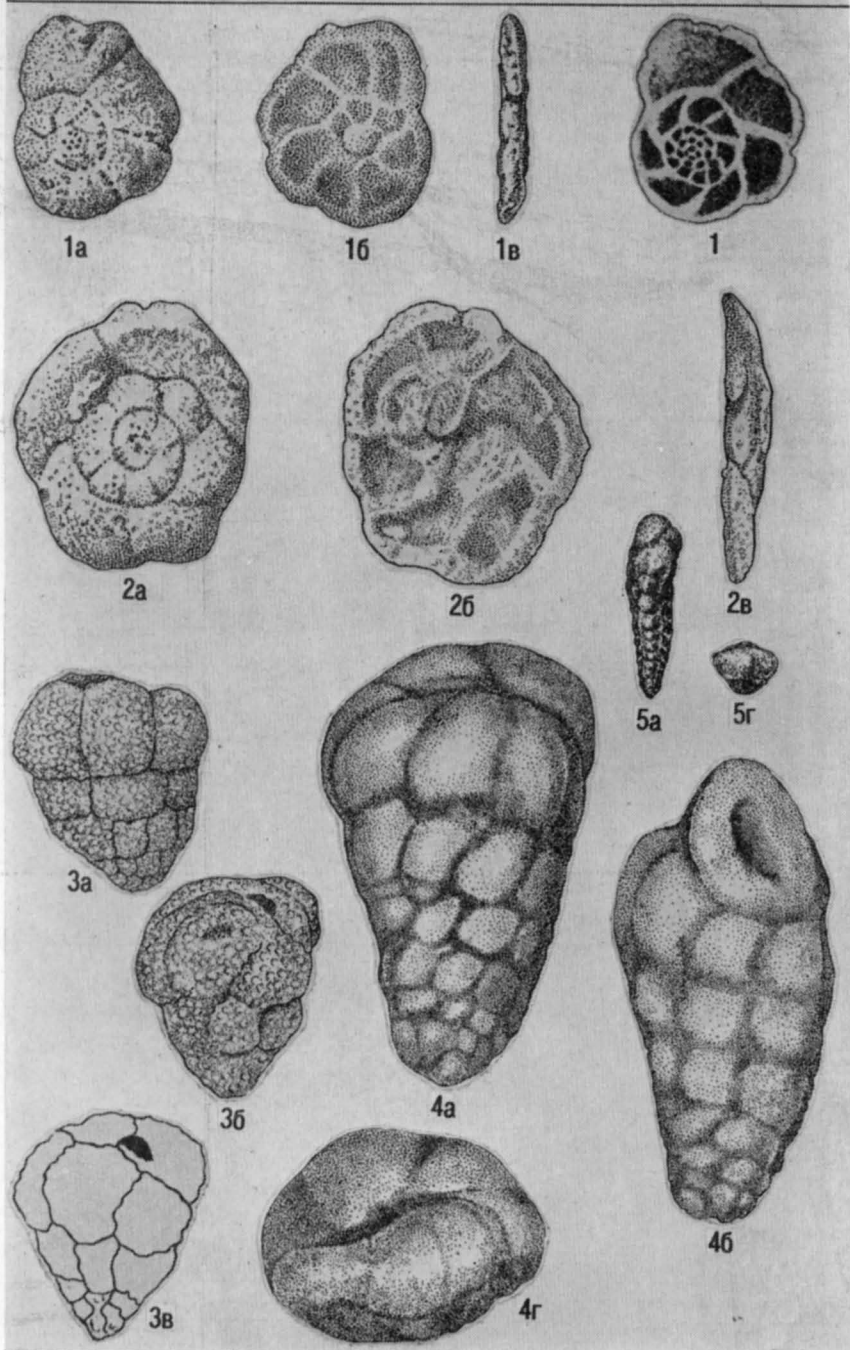


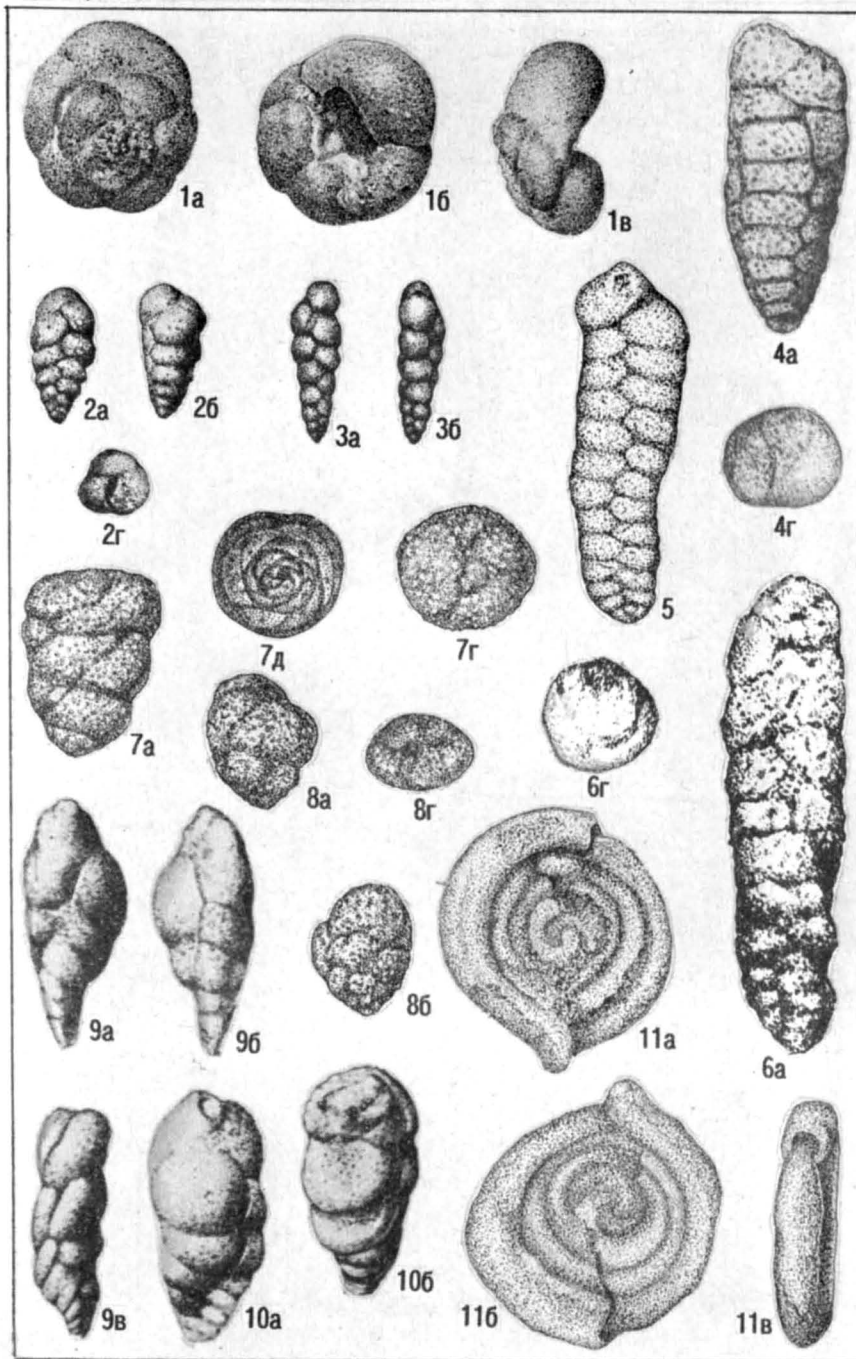
Таблица 92

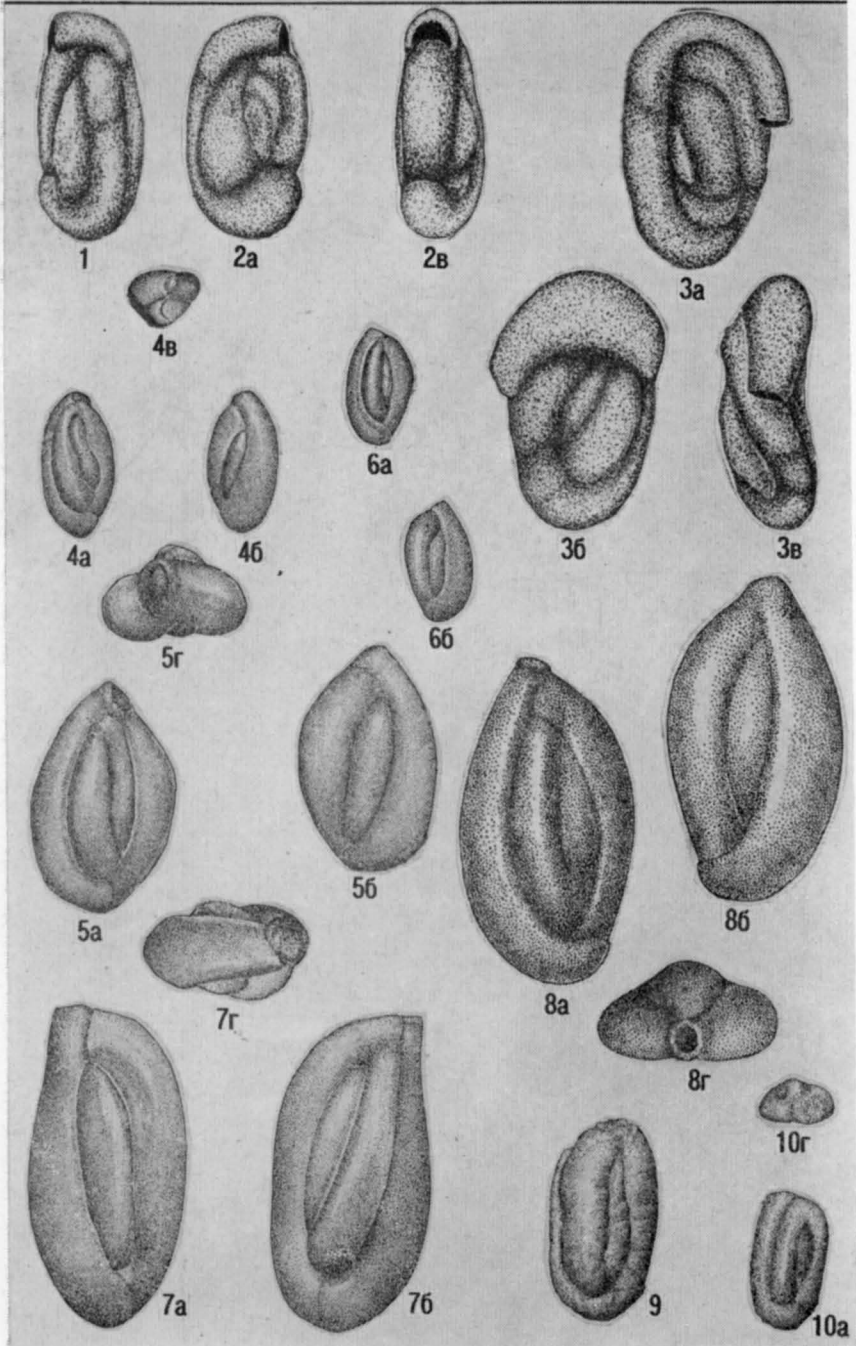


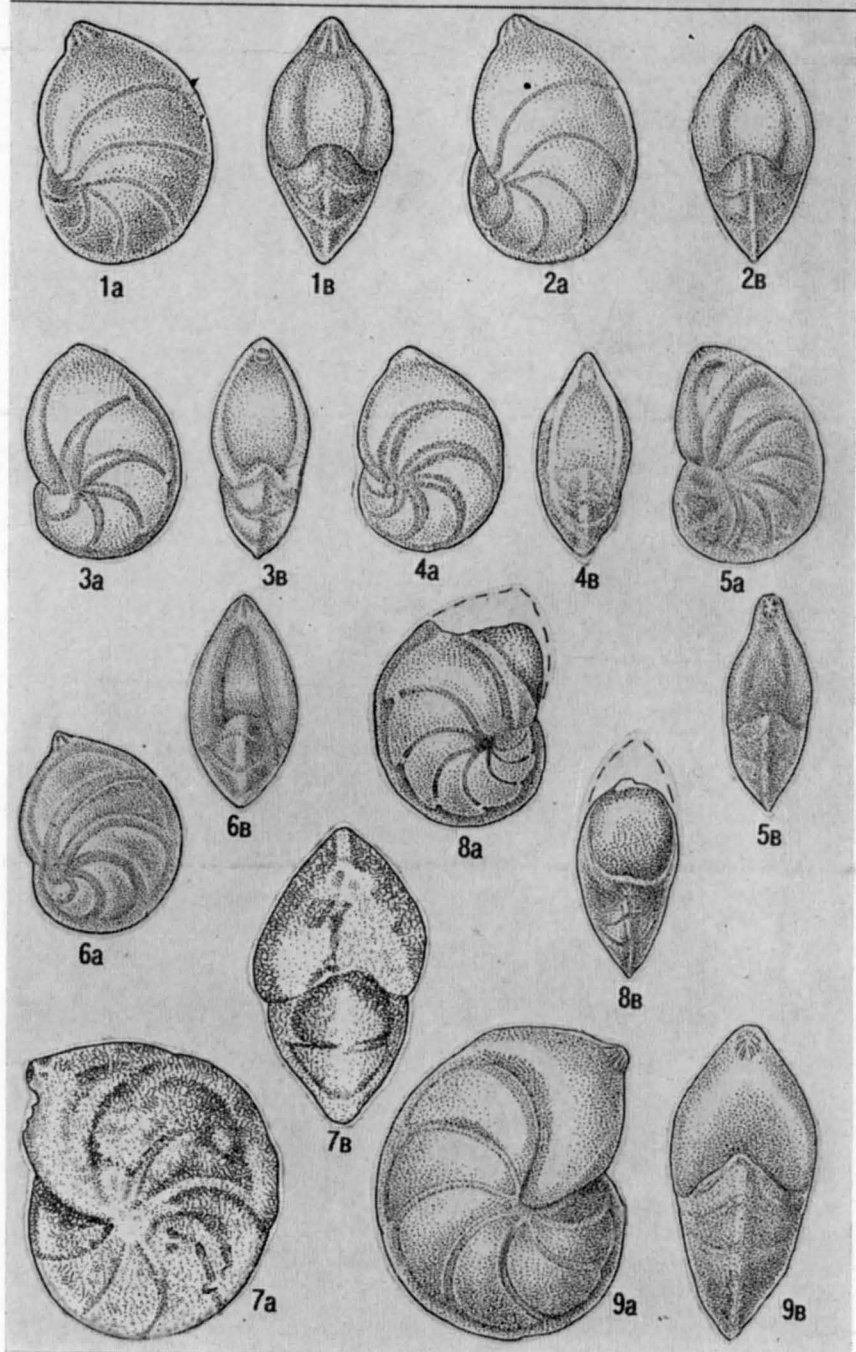






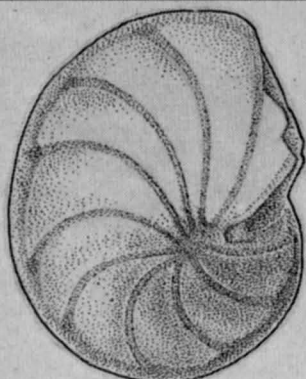








1a



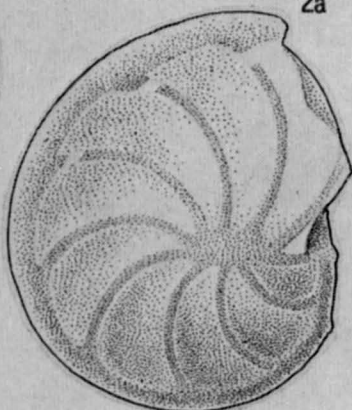
2a



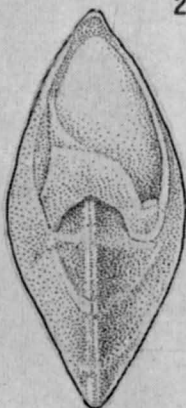
2b



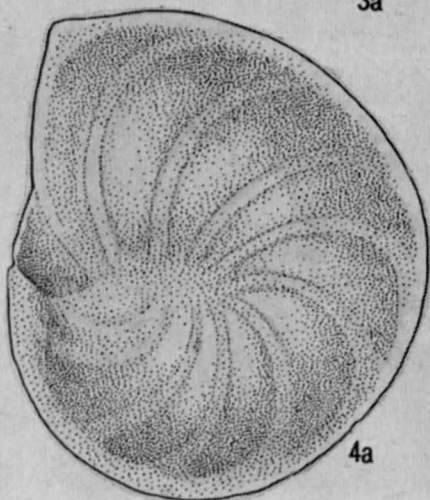
1b



3a



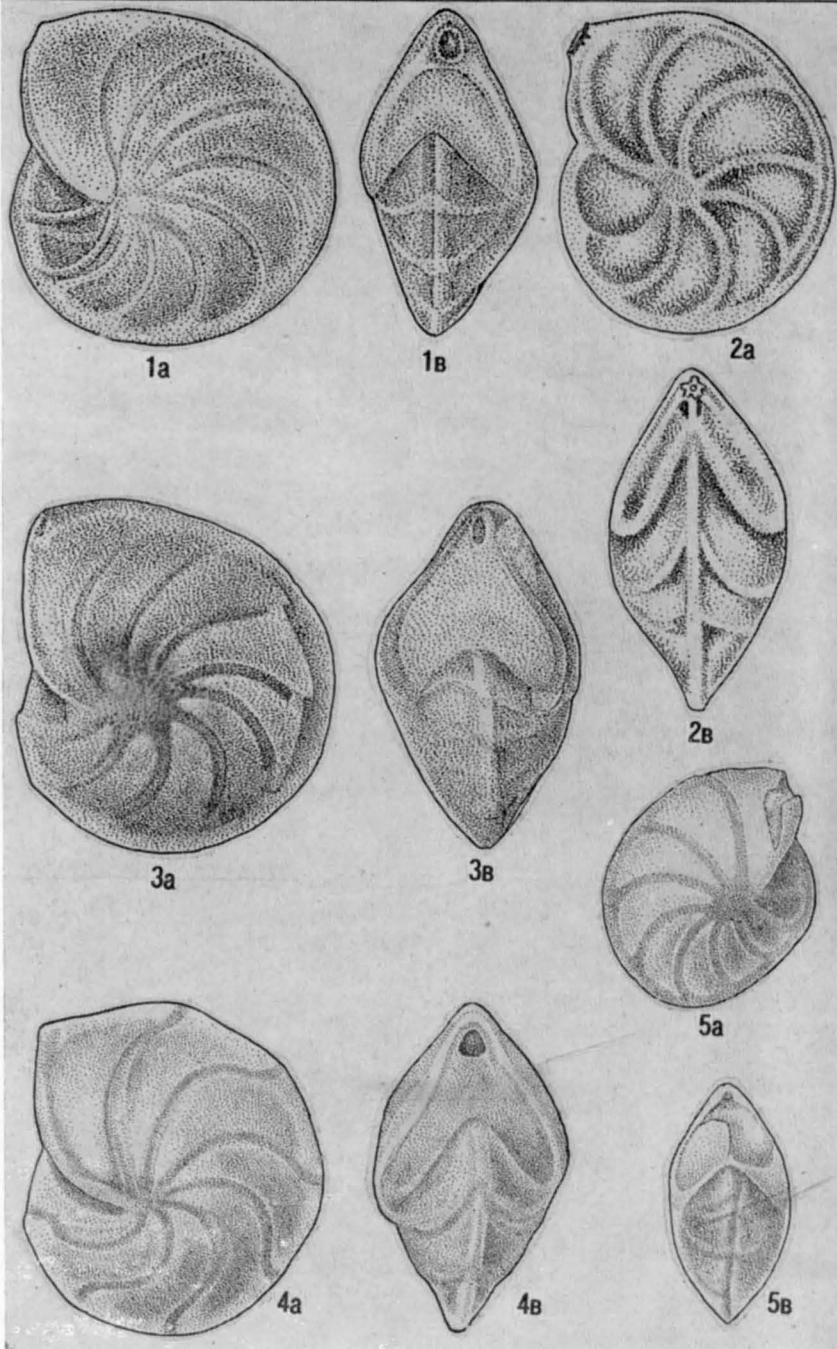
3b

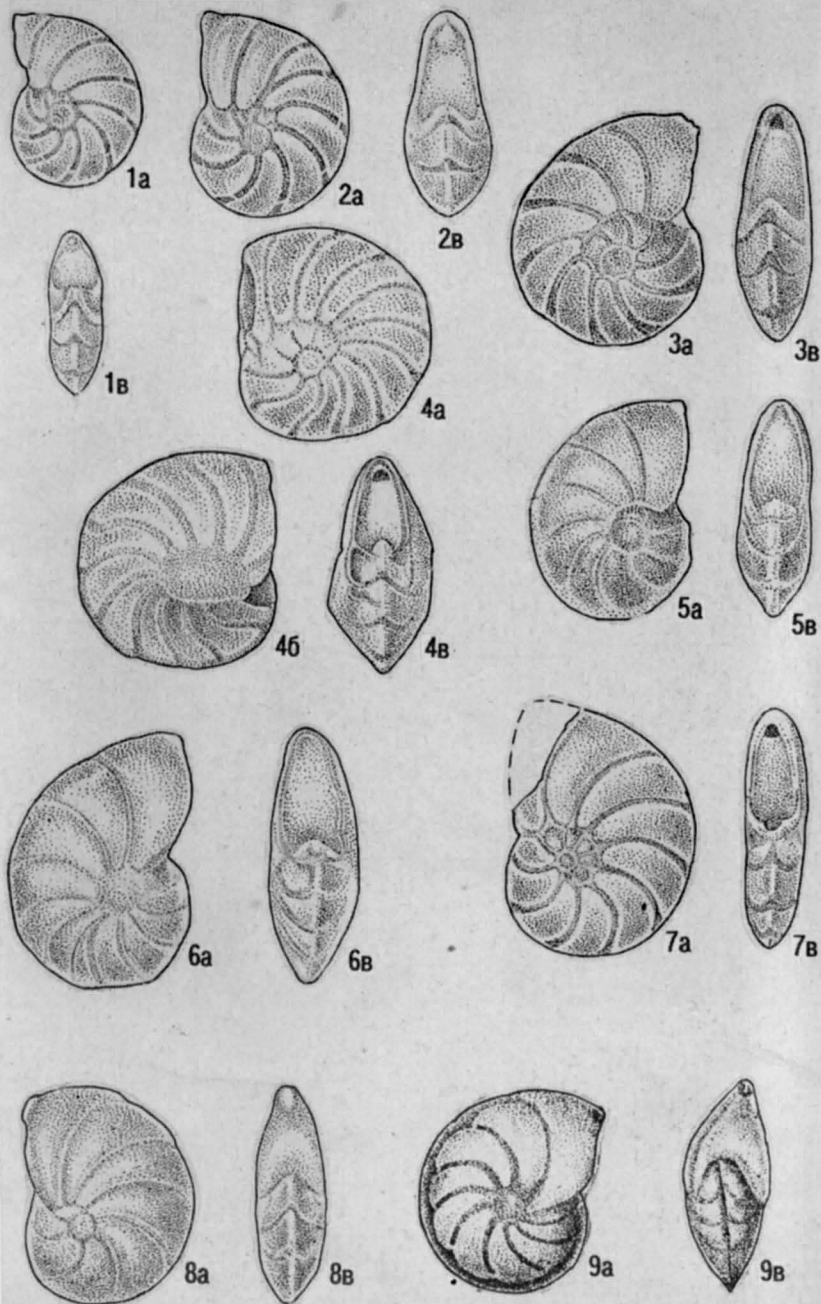


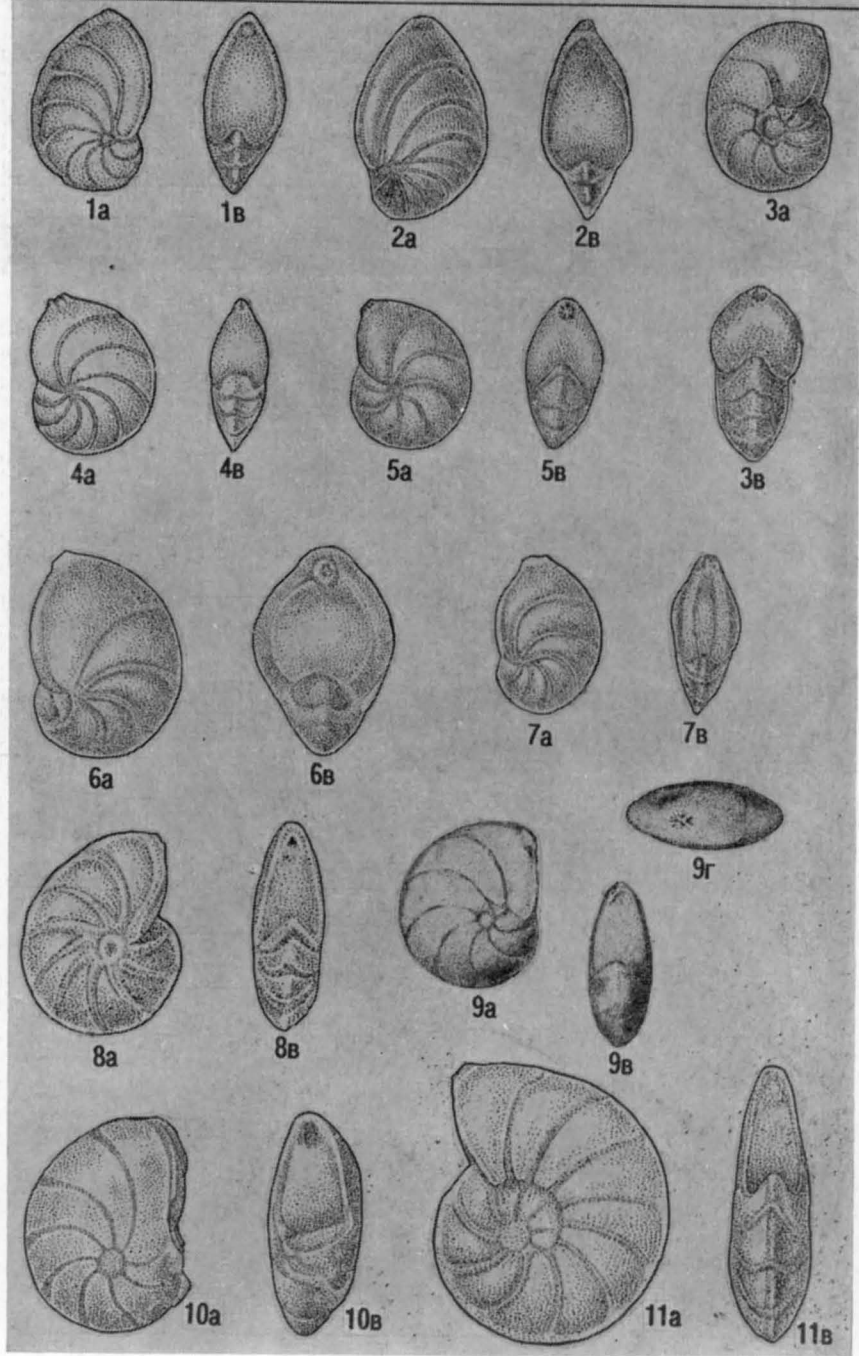
4a

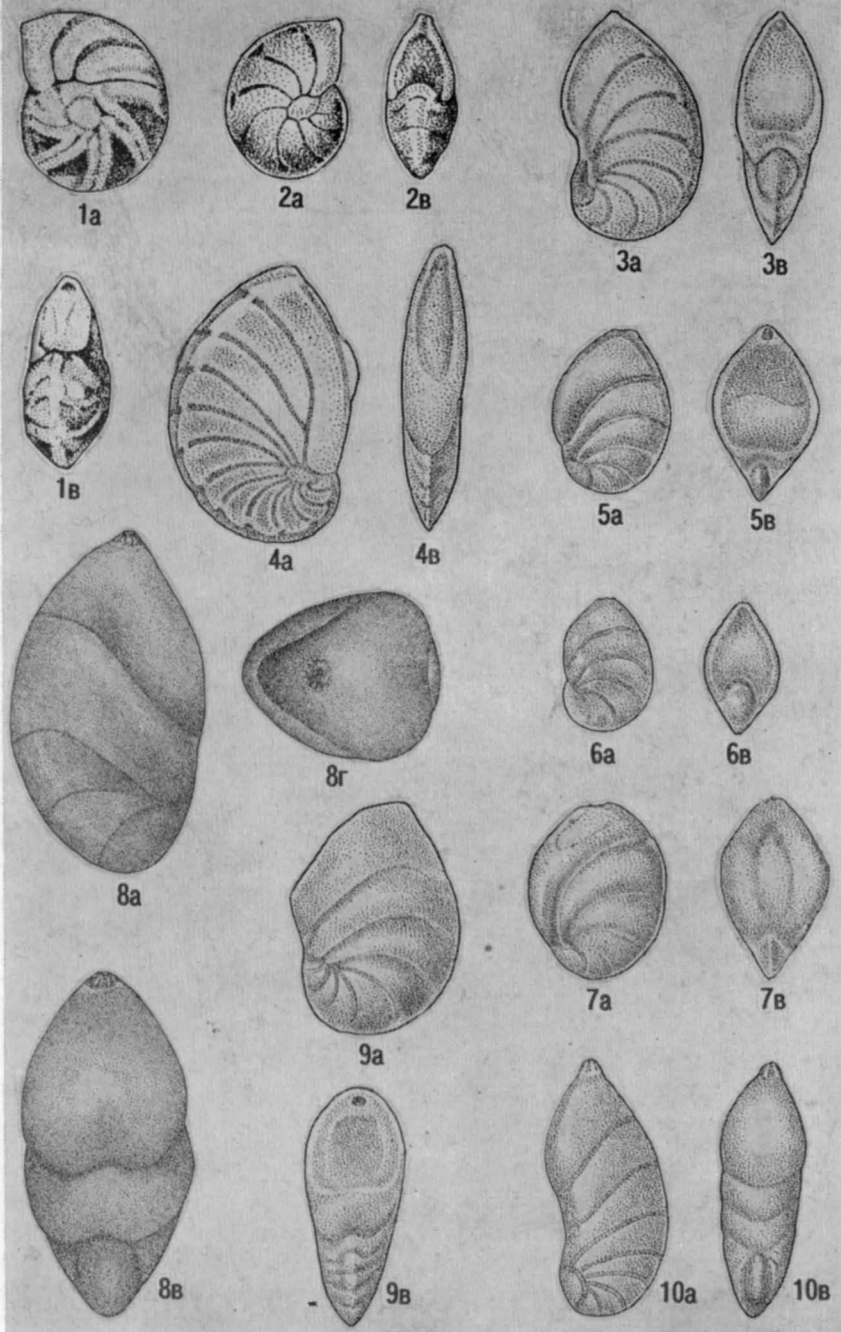


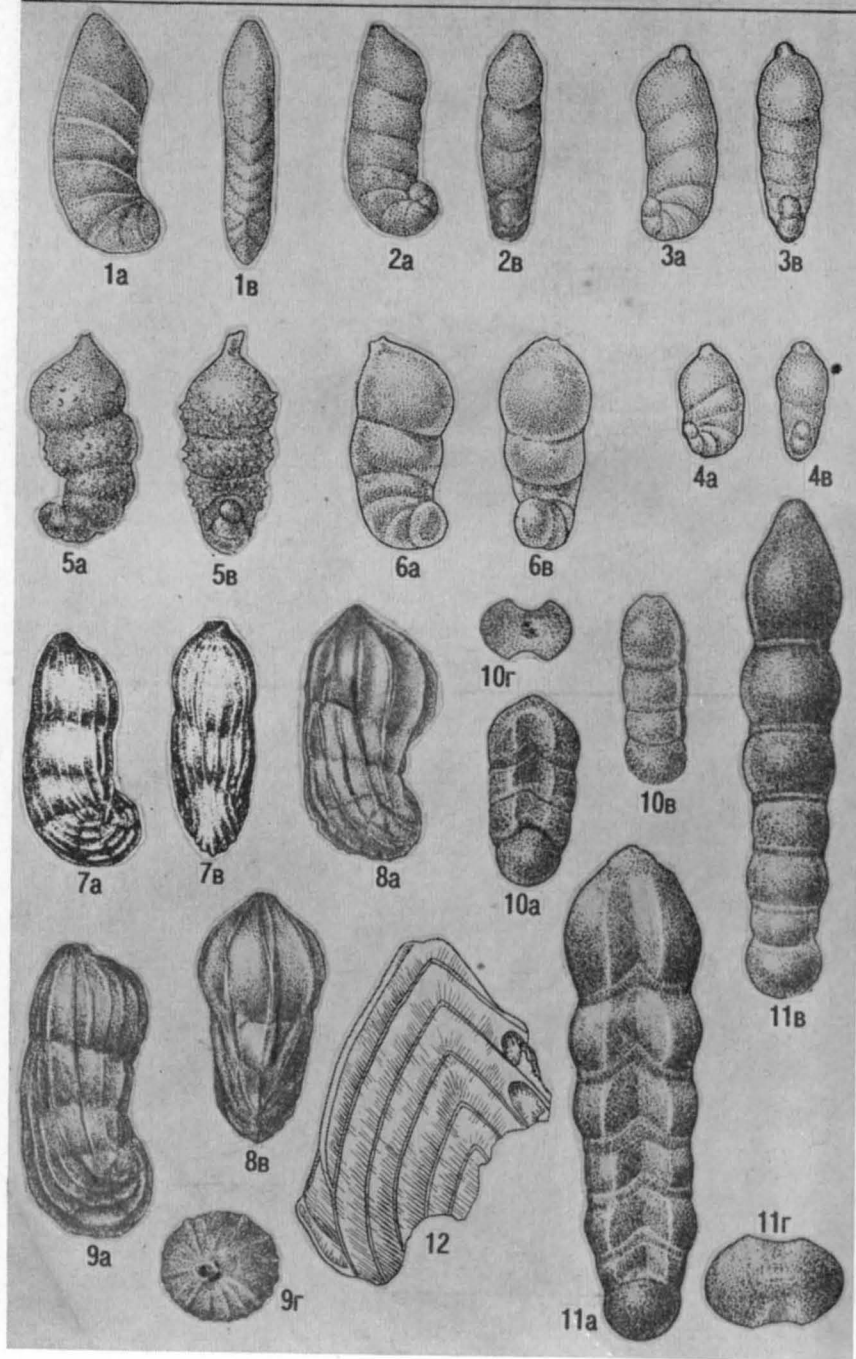
4b

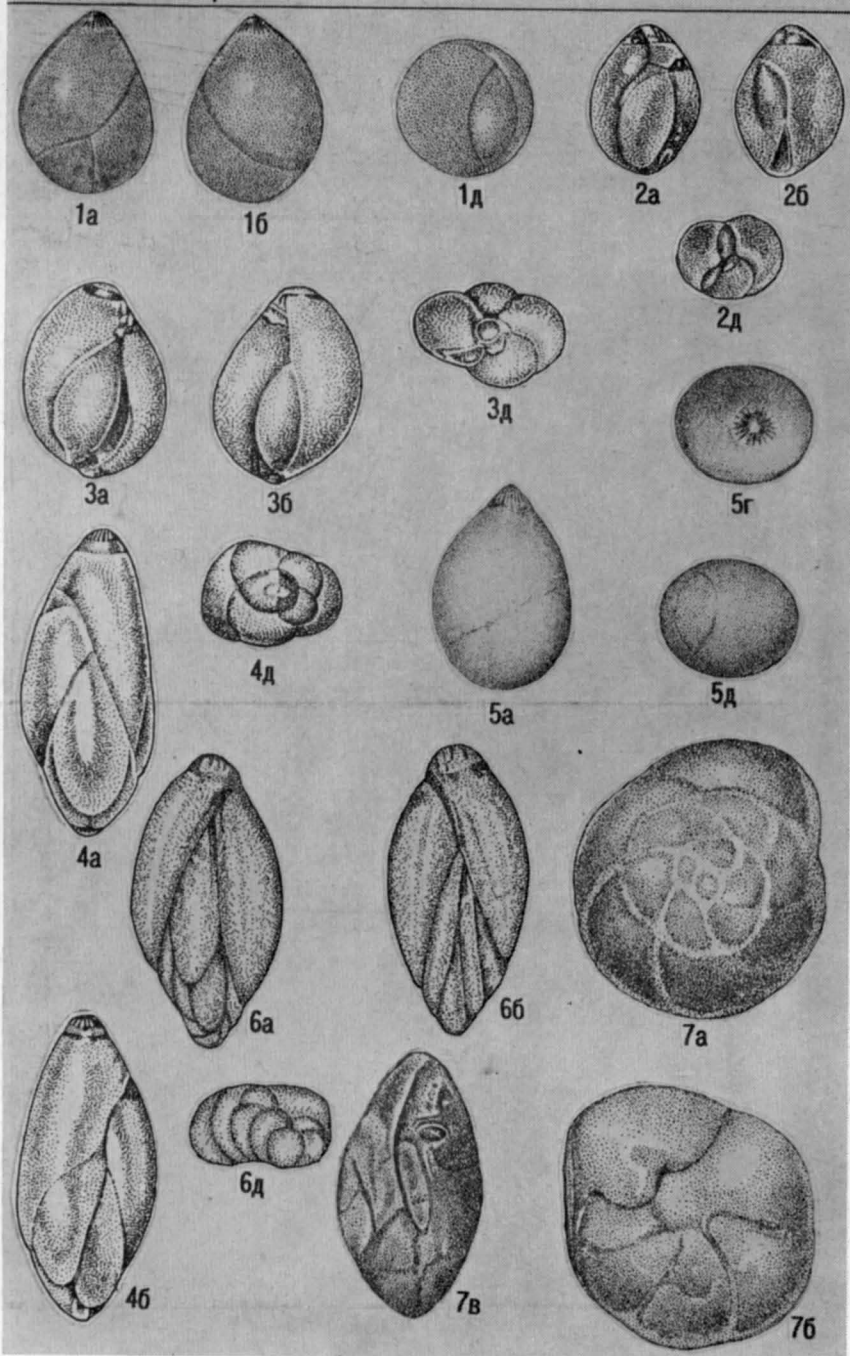






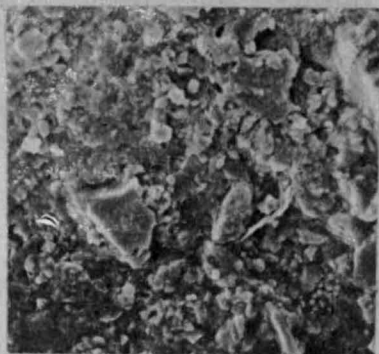








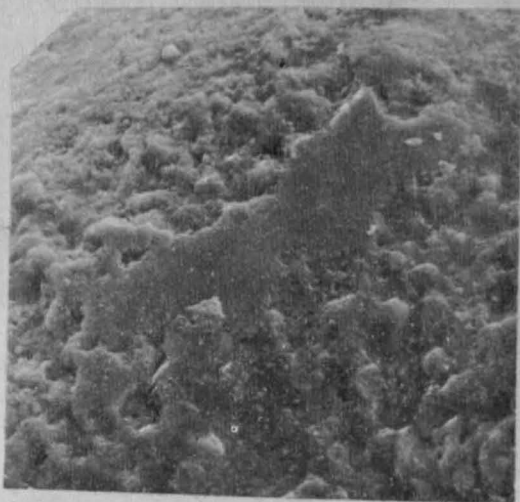
1a



1b



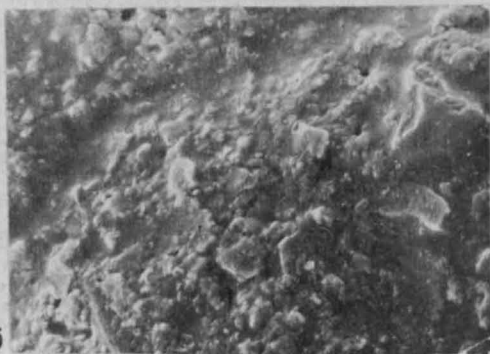
2a



2b



3a



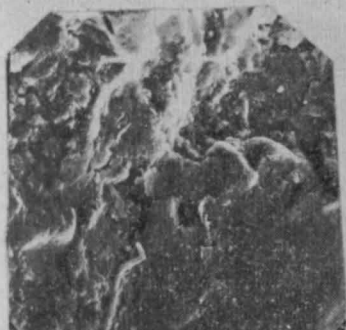
3b



1



2a



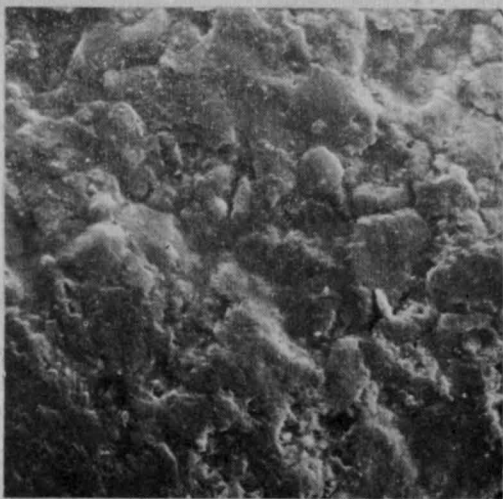
2b



3



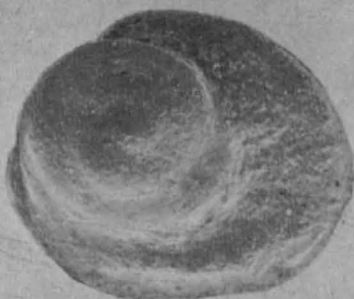
4a



4b



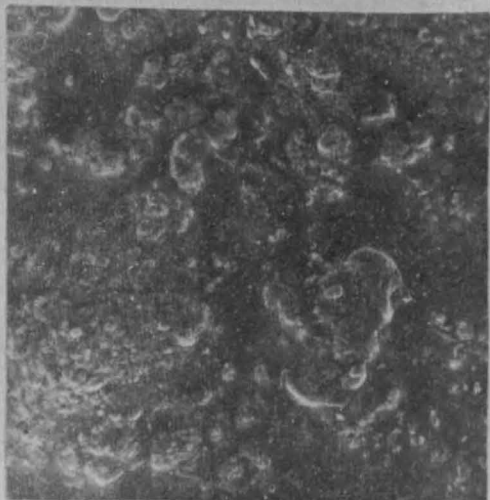
1



2



3a



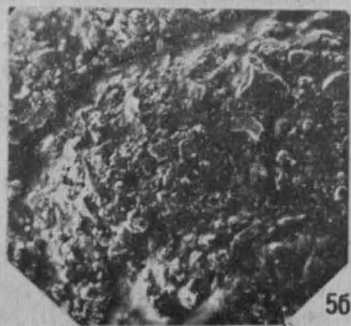
3b



4



5a



5b



1a



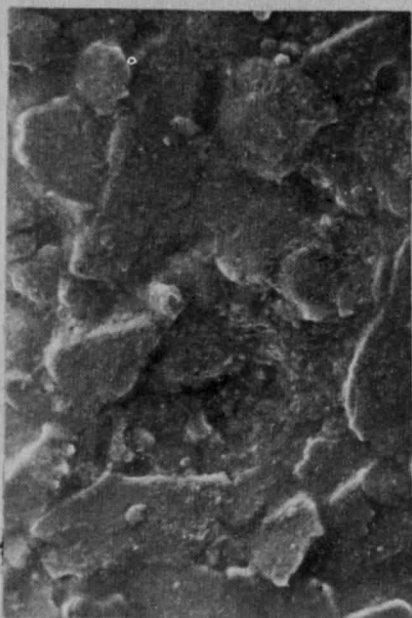
2a



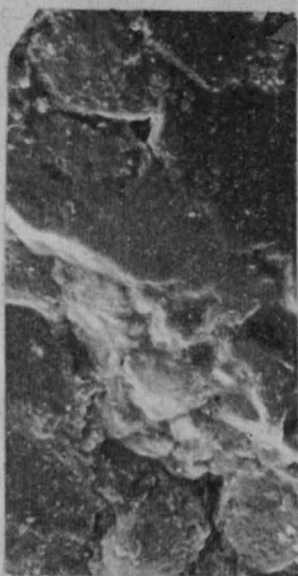
3



4



16



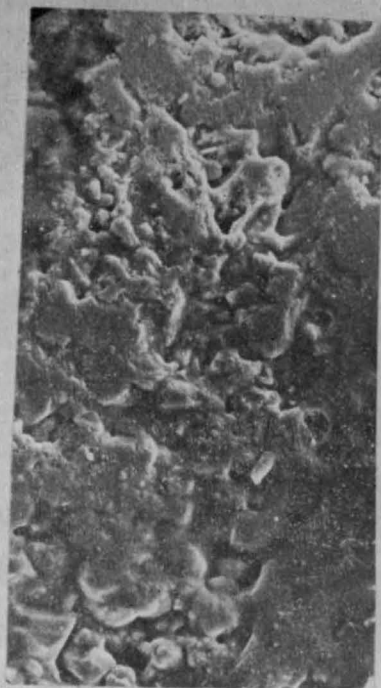
26



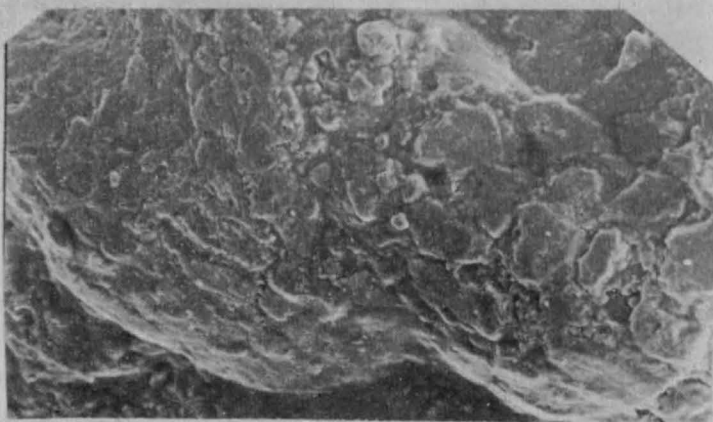
1a



2a



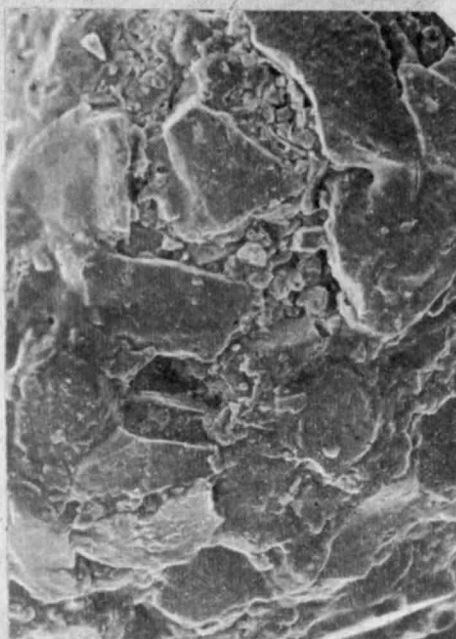
1b



2b



1a



16



2



4



3



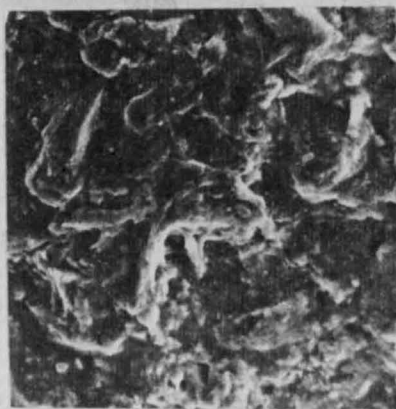
1a



1b



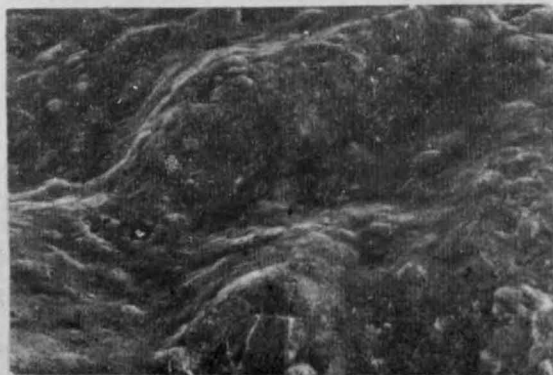
2a



2b



3a



3b



1



2



3



56



4



5a

- Acruliammina pseudolonga* 73  
*Ammobaculites* aff. *alaskensis* 66  
 — *artutus* 69  
 — *borealis* 59  
 — aff. *fontinensis rossica* 59  
 — *fragosus* 70  
 — *gerkei* 68  
 — *haplophragmoides* 63  
 — *igramensis* 61  
 — *infravolgensis* 65  
 — *lobus* 59  
 — *multiformis* 62  
 — *praegoodlandensis* 67  
 — *pungaensis* 64  
 — *sertaeformis* 68  
 — *subgracilis* 60  
 — *subasper* 69  
 — *syndascoensis* 62  
 — *tobolskensis* 61  
 — *validus* 63  
 — *verus* 66  
*Ammobaculoides instabilis* 74  
 — *primoris* 73  
 — *sibiricus* 75  
 — *spiroplectaminaeformis* 74  
*Amodiscus* ex gr. *asper* 16  
 — *glumaceus* 16  
 — *continentalis* 21  
*Amodiscus kosyrevae* 20  
 — *micrus* 19  
 — *pseudotrimus* 17  
 — *uglicus* 17  
 — *uglicus* subsp. *ehremeevae* 17  
 — *veteranus* 18  
 — *zaspelovae* 18  
*Amodiscoides visendus* 21  
*Ammoscalaria tenuitestata* 72  
*Ammovertella sincera* 25  
*Arenoturrispirillina phiala* 22  
*Astacolus aleskerovae* 146  
 — *declavatus* 143  
 — *identatus* 143  
 — *igramensis* 141  
 — *inflatiformis* 145  
 — aff. *loinoensis* 146  
 — *parallelaeformis* 147  
 — *rovnini* 142  
 — *russiensis* 144  
 — *toliaensis* 145  
 — *transsibiricus* 144  
 — *westsibiricus* 143  
  
*Bathisiphon broegei* 4  
 — *proprius* 4  
*Bojarkaella firma* 121  
  
*Bulbobaculites concinnus* 55  
 — *elongatum* 53  
 — *indigenus* 54  
 — *pokrovkaensis* 53  
*Bulbobaculites praeelongatum* 57  
 — *proluxus* 58  
 — *scabrum* 54  
 — *taigaensis* 55  
  
*Cancrisiella ambitiosa* 178  
 ? *Ceratobulimina poliarica* 178  
*Ceratolamarckina leviniae* 177  
*Citharina brevis* 159  
 — aff. *flabelloides* 159  
 — *grigjalisi* 158  
 — *nablum* 160  
 — *rostriformis* 158  
*Citharinella carinata* 164  
 — *consimila* 161  
 — *denisovae* 162  
 — *goldapi* 163  
 — *kostromensis* 160  
 — *leushiensis* 162  
 — *sibirica* 164  
 — *jany-maniensis* 165  
*Conicospirillina vogulcaensis* 183  
*Cribrostomoides canui* 46  
 — *concaovoides* 52  
 — *dolininae* 47  
 — *infracretaceous* 49  
 — *mirandus* 47  
 — *romanovae* 52  
 — *umbonatus* 51  
 — *volubilis* 51  
 ? *Cribrostomoides kellogensis* 48  
 — *sinuosus* 50  
  
*Dainitella elongata* 157  
 — *explanata* 157  
 — *perrarum* 156  
 — *voicarensis* 156  
*Darbiella erviei* 147  
*Dentalina chochiai* 122  
*Dorothia insperata* 102  
 — *tortuosa* 103  
  
*Eoguttulina kimmeridjica* 174  
*Eomarssonella paraconica* 103  
*Evolutinella emeljanzevi* 40  
 — *fimbriata* 40  
 — *grandis* 41  
 — *nascens* 42  
 — *schleiferi* 39  
 — *tota* 38  
 — *volossatovi* 39

- Gaudryina gerkei* 109  
*Geinitzinita crassata* 119  
— *nodulosa* 120  
— *praenodulosa* 119  
*Globulina alexandrae* 175  
— *praelacrime* 176  
— *tubifera* 176  
*Glomospira gordialis* 11  
— *otorica* 13  
— *oxfordiana* 12  
*Glomospirella compacta* 15  
— *galinae* 13  
— *ex gr. gaultina* 13  
— *multivoluta* 14  
*Guttulina ex gr. dogieli* 173  
— *racemiformis* 173
- Haplophragmoides incognitus* 43  
— *loeblichi* 44  
— *magnus* 43  
— *volgensis involatus* 45  
*Hecthina vagiformis* 110  
*Hippocrepeina electa* 8  
*Hippocrepeinella rugosa* 8  
*Hyperammina aptica* 9  
— *rugosa* 9  
*Hyperamminoides apiculiformis* 11  
— *barksdalei* 10  
— *patella* 10
- Ichtyolaria antiqua*, sp. nov. 117  
— *suprajurensis* 117  
— *tjumenica* 118
- Kutsevella difficilis* 71  
— *labythnangensis* 70  
— *memorabilis* 71
- Labrospira canuiformis* 45  
? *Labrospira mutabila* 46  
*Lagenammina impexa* 7  
*Lenticulina belousovae* 128  
— *comaeformis* 128  
— *crassisepta* 135  
— *darbyellaformis* 123  
— *daschevskajae* 125  
— *dofleini* 136  
— *essica* 131  
— *firma* 138  
— *gerkei* 129  
— *gigantella* 137  
— *greisli* 128  
— *iatriensis* 132  
— *initabilis* 134  
— *involvens solida* 127  
— *lauta* 133  
— *lideri* 141  
— *lii* 126  
— *limpida* 135  
— *memorabilissima* 126  
— *michailovi* 130  
— *munda* 134  
— *narykaryensis* 124  
— *nordformis* 133  
— *oculus-avis* 130  
— *ocunjoensis* 127  
— *parahybrida* 124  
— *prima* 139  
— *pseudoarctica* 138  
— *pungensis* 136  
*Lenticulina saranpaulensis* 133  
— *semipellucida* 129  
— *sibirensis* 131  
— *solita* 125  
— *sosvaensis* 136  
— *subinvolvens* 126  
— *subpolonica* 122  
— *undosa* 132  
— *variabilis* 140  
— *vegeta* 139  
— *versiformis* 137  
*Lingulina ustremica* 118
- Lituotuba igarkaensis* 25  
*Marginulina formosa* 167  
— *gracilissima* 169  
— *polenovae* 166  
— *robusta* 168  
— *striatocostata* 167  
— *zaspelovae* 170  
*Marginulinita casacstanica* 170  
*Marginulinopsis embaensis* 172  
— *praecomptulaformis* 171  
— *robustaeformis* 172  
— *subrusticus* 171  
*Miliammina cf. awunensis* 112  
— *aff. mjatliukae* 111
- Nodosaria crassa* 112  
— *invidiosa* 114  
— *pseudohypsida* 113  
*Nodosaria semiornata* 115  
— *tenuithea* 114
- ? *Orientalia baccula* 104
- Pelosinella parca* 7  
*Planularia adulta* 155  
— *colligatiformis* 153  
— *messezhnikovii* 154  
— *ossykoae* 153  
— *praesibirensis* 153  
— *pressula* 154  
— *septentrionalis* 152  
*Pseudobolivina acutata* 81  
— *tortusa* 82  
— *jamalica* 83  
*Pseudolamarckina liapinensis* 179  
— *lopsiensis* 179  
— *voliaensis* 180  
*Pseudonodosaria brandi* 115  
— *tutkowskii* 116

- Quingueloculina berjosovica* 111  
 — *oviformis* 110
- Recurvoides anabarensis* 32  
 — *canningensis* 35  
 — *disputabilis* subsp. *disputabilis* 29  
 — *disputabilis* subsp. *plana* 30  
 — *dubrovskejae* 32, 34  
 — *eotrochus* 35  
 — *neremovensis* 28, 31  
 — *obskiensis* 28, 30  
*Recurvoides paucus* D u b r. subsp.  
*inflatus* 36  
 — *paucus* subsp. *paucus* 36  
 — *praeobskiensis* 28, 30  
 — *scherkalyensis* 28  
 — *stschekuriensis* 32, 33  
 — *sublustris* 32  
 — *transitorius* 32, 33  
 ? *Recurvoides gryci* 29  
*Reophax adaptatus* 26  
 — *consonus* 27  
 ? *Riyadella* aff. *sibirica* 105
- Saccammina callosa* 5  
 — *inanis* 5  
 — *orbiculata* 6  
 — *testideformabilis* 6  
*Saracenaria carzevae* 148  
 — *eloguica* 150  
 — *lucida* 151  
 — *mirabilissima* 150  
 — *pravoslavlevi* 149  
 — *subsuta* 148  
*Saracenella juganica* 152  
*Sigmomorphina variabilis* 174  
 — *botryosa* 175  
*Spiroplectammina improcera* 78  
 — *paravicalinalis* 77  
 — *suprajurassica* 76  
 — *tobolskensis* 76  
 — *vicinalis* 77
- Textularia* ex gr. *areoplecta* 79  
 — aff. *gibbosa* 79  
 — *kisselmanae* 80
- Tolypammina confusa* 23  
 — *dainae* 24  
 — *svellanae* 22  
 — *virgula* 23  
*Tritaxia gracila* 108  
*Trochammina anabarensis* 94  
 — *annae* 90  
 — *composita* 92  
 — *elevata* 88  
 — *ficta* 100  
 — *jusca* 94  
 — *gyroidiniformis* 96  
 — *inuitata* 84  
 — *kondaensis* 91  
 — *kosyrevae* 85  
 — *kumaensis* 89  
 — *micra* 95  
 — *minutissima* 86  
 — *misinovi* 91  
 — *mugiensis* 98  
 — *neocomiana* 95  
 — *omskensis* 86  
 — ex gr. *oxfordiana* 86  
 — *parviloculata* 99  
 — *polymera* 93  
 — *quinquelocularis* 87  
 — *rosacea* 90  
*Trochammina rosaceaformis* 92  
 — *rostovzevi* 84  
 — *septentrionalis* 89  
 — *sibirica* 97  
 — *schaimica* 101  
 — *taboriensis* 87  
*Trocholina rubinae* 183  
 — *sibirica* 182  
*Trochospirillina pochromensis* 182  
*Turrispirillina belkinae* 181
- Vaginulinopsis flacidiformis* 166  
 — *rjavkinoensis* 165  
*Valanginella tatarica* 180  
*Verneuilina* ex gr. *pudica* 106  
*Verneuilinoides graciosus* 106  
 — *kansasensis* 107  
 — *neocomiensis* 108  
 — *postgraciosus* 107

## СОДЕРЖАНИЕ

---

Предисловие . . . . .	3
Палеонтологическое описание . . . . .	4
Список литературы . . . . .	185
Приложения . . . . .	192
Объяснения к палеонтологическим таблицам . . . . .	199
Указатель . . . . .	356

СПРАВОЧНОЕ ИЗДАНИЕ

**АТЛАС МОЛЛЮСКОВ И ФОРАМИНИФЕР МОРСКИХ ОТЛОЖЕНИЙ  
ВЕРХНЕЙ ЮРЫ И НЕОКОМА ЗАПАДНО-СИБИРСКОЙ  
НЕФТЕГАЗОНОСНОЙ ОБЛАСТИ**

Т. II. ФОРАМИНИФЕРЫ

**Составители:**

**Булынная Светлана Павловна,  
Комиссаренко Вера Константиновна,  
Белоусова Нина Анимподистовна и др.**

Заведующий редакцией *В. А. Крыжановский*  
Редактор издательства *Т. П. Мыскина*  
Переплет художника *Г. Н. Погореловой*  
Художественный редактор *Г. Н. Юрчевская*  
Технические редакторы *Г. В. Лехова, Н. В. Жидкова*  
Корректор *М. В. Дроздова*  
Н/К

---

Сдано в набор 03.05.90. Подписано в печать 17.12.90. Формат 60×90<sup>1/16</sup>.  
Бумага типографская № 1 и мелованная. Гарнитура Литературная. Печать высокая.  
Усл.-печ. л. 22,5 с вкл. Усл. кр.-отт. 22,5 с вкл. Уч.-изд. л. 24,58 с вкл. Тираж 300 экз.  
Заказ 299/12863—2. Цена 2 руб.

---

Ордена «Знак Почета» издательство «Недра».  
125047 Москва, пл. Белорусского вокзала, 3.

Ленинградская картографическая фабрика ВСЕГЕИ.  
199178 Ленинград, Средний проспект, 72.

